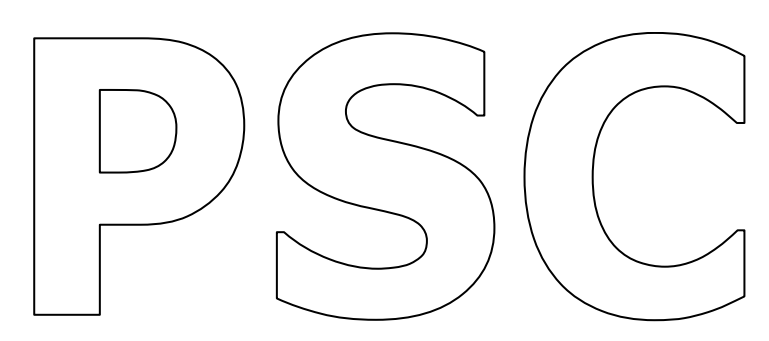


REGIONE EMILIA ROMAGNA PROVINCIA DI MODENA

CITTÀ DI CASTELFRANCO EMILIA

VÁRIANTE AL PIANO STRUTTURALE COMUNALE



ACCORDO DI PROGRAMMA ai sensi dell'art.34 del T.U.EE.LL. e dell'art.40 della L.R. 20/2000 PER OPERE DI RILEVANTE INTERESSE PUBBLICO

Delibera di Consiglio Comunale n° -- del --/--/2016 Atto del Presidente della Provincia n° -- del --/---

Sindaco

Stefano Reggianini

Assessore all'Urbanistica

Massimiliano Vigarani

Responsabile del procedimento Dirigente Settore Tecnico e Sviluppo del Territorio

Arch. Bruno Marino

Gruppo di Lavoro Ufficio Pianificazione Territoriale e Urbanistica

Arch. Valeria Ventura Ing. Stefania Comini Arch. Claudia Stanzani

P.S.C. Approvato con Del. C.C. n° 76 del 08/04/2009

Prima variante approvata con Del. C.C. n° 228 del 13/11/2014

Variante ex art. A-14bis L.R.20/2000 approvata con Del. C. C. n° 10 del 29/01/2015

RELAZIONE GEOLOGICA GEOTECNICA E SISMICA



INDICE

•	STRUTTURA DEL DOCUMENTO	p. 1
•	PARTE A – ambiti per dotazioni sportive AND 168, 169 e 105.2 e area per struttura scolastica in AC.b 100.1	
	1) Relazione geologica, geotecnica e sismica	p. 3
•	PARTE B – ambito produttivo di nuovo insediamento ANP 170	
	1) Relazione geologica, geotecnica e sismica	p. 123
	2) Microzonazione sismica di III livello	p. 221

COMUNE DI CASTELFRANCO EMILIA (MO) – VARIANTE PSC E POC EX ART. 40 L.R. 20/2000 RELAZIONE GEOLOGICA, GEOTECNICA E SISMICA

,

STRUTTURA DEL DOCUMENTO

Il presente documento raccoglie le Relazioni geologiche, geotecniche e sismiche redatte da un professionista incaricato dall'Amministrazione Comunale per quanto riguarda le aree per dotazioni pubbliche (168 AND, 169 AND, 105.2 AND e area per nuova struttura scolastica in 100.1 AC.b) e da professionisti incaricati dalle proprietà per quanto riguarda le aree private (170 ANP).

Il sottoscritto Arch. Bruno Marino, Dirigente del Settore Tecnico e Sviluppo del Territorio, in qualità di Responsabile del Procedimento, dichiara che i capitoli costitutivi del presente documento sono conformi agli originali trasmessi in formato digitale e digitalmente sottoscritti dai professionisti che li hanno redatti, assunti agli atti del Comune di Castelfranco Emilia ai protocolli di seguito elencati:

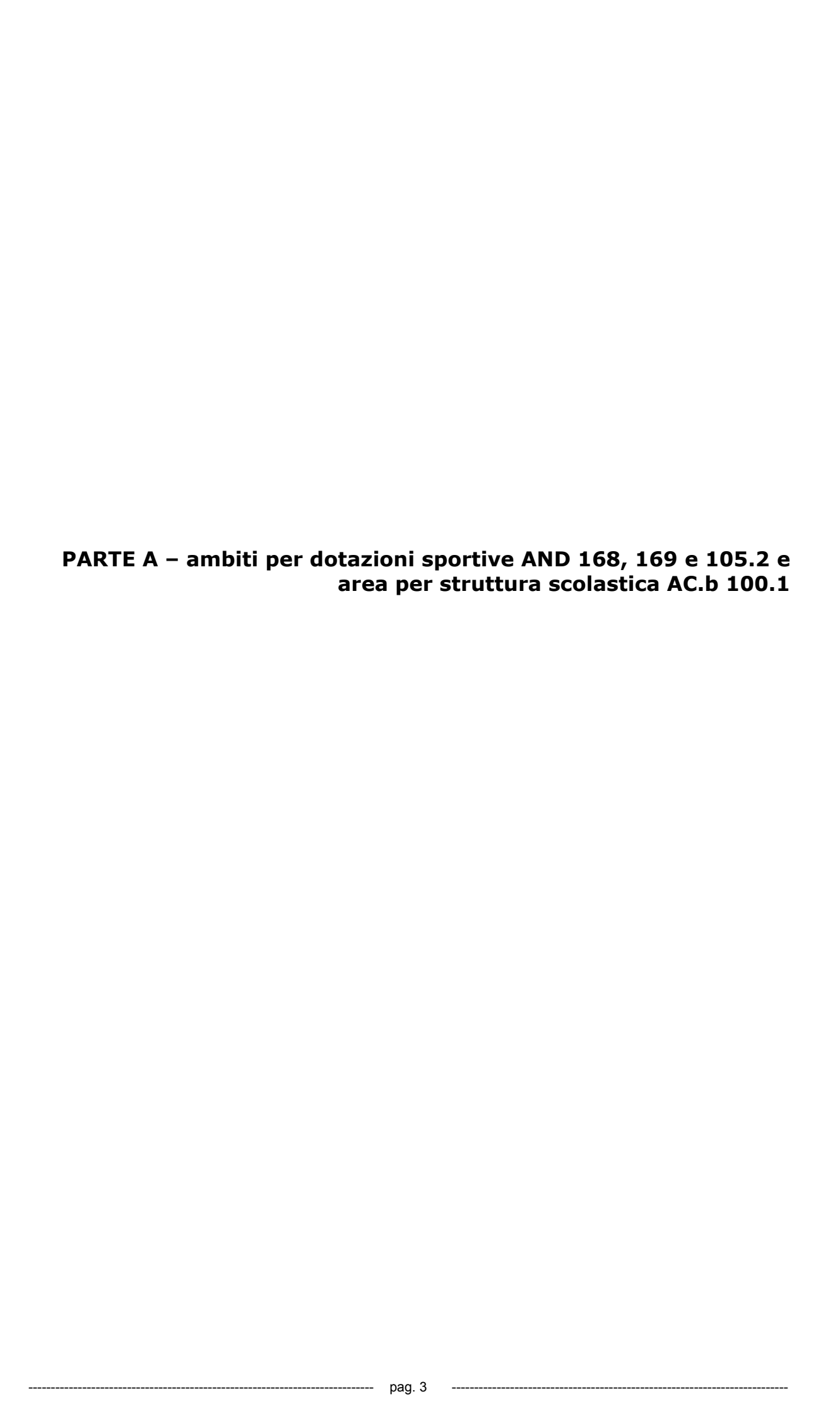
- a1) prot. 30124 del 04/07/2017 Relazione geologica, geotecnica e sismica redatta dal Dott. Geol. Valeriano Franchi ambiti 168 AND, 169 AND, 105.2 AND e area per nuova struttura scolastica in AC.b 100.1;
- b1) prot. 66214 del 15/12/2016 Relazione geologica, geotecnica e sismica redatt2 dal Dott. Geol. Alessandro Boni ambito 170 ANP;
- b2) prot. 31069 del 10/07/2017 Microzonazione sismica di III livello redatta dal Dott. Geol. Alessandro Boni ambito 170 ANP.

Il Dirigente del Settore Tecnico e Sviluppo del Territorio **Dott. Arch. Bruno MARINO**

Documento elaborato in formato PDF/A, firmato digitalmente ed inviato a mezzo PEC ai sensi delle normative vigenti in materia.

------ pag. 1 ------







PROVINCIA DI MODENA COMUNE DI CASTELFRANCO EMILIA

AREE A SERVIZI AMBITI AND 168, AND 169 E AND 105.2 E AREA SCUOLA (INTERNA AMBITO AC.b 100.1)

INTEGRAZIONE A SEGUITO PARERE GEOLOGICO-SISMICO PROVINCIA DI MODENA 08/06/2017

RELAZIONE GEOLOGICA, GEOTECNICA E SISMICA

A cura di:

DOTT. GEOL. Valeriano Franchi V.le Caduti in Guerra 1, 41121 Modena TEL. 059-226540 e-mail: valerianofranchi@tin.it

GIUGNO 2017

------ pag. 5 -------



Dott. Geol. Valeriano Franchi V.le Caduti in Guerra, 1 – 41121 Modena

Tel: 059-226540

e-mail: valerianofranchi@tin.it

Modena, 26/06/2017

RELAZIONE GEOLOGICA, GEOTECNICA E SISMICA

INDICE CONTENUTI

Premessa	2
1. Inquadramento geografico-fisico generale	
1.1. Descrizione di massima del progetto	
2. Inquadramento geologico, geomorfologico ed idrogeologico generale	
3. Indagini geognostiche e modello geologico-geotecnico	16
3.1. Area Gaggio	16
3.2. Area Manzolino	18
3.3. Aree Cavazzona	20
4. Indagine sismica	25
5. Fattori di amplificazione sismica ed effetti di sito	27
5.1. Amplificazione topografica	
5.2. Suscettibilità alla liquefazione	
6. Sintesi dell'analisi dei dati raccolti e conclusioni	

ALLEGATI

VARIANTE POC EX ART. 40 L.R. 20/2000 – AMBITI AND 168, AND 169 E AND 105.2 E AREA SCUOLA RELAZIONE GEOLOGICA, GEOTECNICA E SISMICA

INTEGRAZIONI A SEGUITO PARERE GEOLOGICO-SISMICO DELLA PROVINCIA DI MODENA DEL 8/06/2017

PREMESSA

La presente relazione è stata redatta a supporto della Variante al POC ai sensi dell'ex. art. 40 L.R. 20/2000 del Comune di Castelfranco Emilia; in particolare vengono trattati gli aspetti geologici, geotecnici e sismici inerenti quattro aree di cui tre destinate a servizi per lo sport ed altre attività ricreative, previste con la Variante al POC nei centri frazionali di Gaggio, Cavazzona e Manzolino ed una destinata ad ospitare una scuola primaria a Cavazzona.

In particolare la presente relazione riguarda i seguenti ambiti:

Gaggio

AND 168 'Gaggio - Impianti sportivi'

Manzolino

AND 169 'Manzolino - Impianti sportivi'

Cavazzona

AND 105.2 'Cavazzona - Metropolitana'

oltre all'AREA SCUOLA individuata a Cavazzona

Lo studio è stato condotto nel rispetto delle normative vigenti in materia, D.M. 11.03.1988, con riferimento specifico agli aspetti sismici come da D.M. 14.01.2008.

Per l'adempimento delle specifiche normative, sono stati effettuati sopralluoghi sulle aree in data 17/10/2016 al fine di verificarne l'idoneità geologica e geomorfologica.

Per la caratterizzazione litostratigrafia e geotecnica dei terreni di sottofondazione, in data 20/10/2016, per ciascun area sono state effettuate 2 prove penetrometriche statiche, spinte fino alla profondità di 20 m. Per la sola Area Scuola a Cavazzona non sono state eseguite indagini specifiche in questa occasione, ma sono state utilizzate indagini eseguite parzialmente all'interno dell'area stessa ed in aree attigue, da altro studio professionale, in occasione della formazione del POC 2 di Castelfranco Emilia e messe a disposizione dell'Amministrazione Comunale.

Per la classificazione sismica del terreno di sottofondazione sono stati utilizzati i dati ricavati da tre stendimenti sismici eseguiti, sempre in data 20/10/2016, in area verde, all'interno di ciascun area. Ogni stendimento, composto da 24 geofoni, con spaziatura tra essi di 2,0 metri per una lunghezza complessiva della linea sismica di 46 metri, ha fornito i dati necessari per individuare, tramite la metodologia d'analisi MASW, la sismostratigrafia nei primi 30 m dal piano di posa delle fondazioni ed il parametro di normativa $V_{\rm s30}$. Anche per quanto concerne le indagini geofisiche, per la sola Area Scuola a Cavazzona sono stati utilizzati i risultati di prove già eseguite in occasione del medesimo studio di cui sopra.

La relazione si articola nel seguente modo:

- Inquadramento geografico fisico generale
- Inquadramento geologico, geomorfologico ed idrogeologico generale
- Indagini geognostiche e modello geologico-geotecnico specifiche per ogni area

Dott. Geol. Valeriano Franchi, V.le Caduti in Guerra, 1 – 41121 Modena; tel. 059-226540; e-mail: valerianofranchi@tin.it

VARIANTE POC EX ART. 40 L.R. 20/2000 – AMBITI AND 168, AND 169 E AND 105.2 E AREA SCUOLA RELAZIONE GEOLOGICA, GEOTECNICA E SISMICA

INTEGRAZIONI A SEGUITO PARERE GEOLOGICO-SISMICO DELLA PROVINCIA DI MODENA DEL 8/06/2017

- Indagine sismica specifica per ogni area
- Fattori di amplificazione sismica (DGR 2193/2015)
- Effetti di sito
- Sintesi dell'analisi dei dati raccolti e conclusioni

ALLEGATI

COMUNE DI CASTELFRANCO EMILIA (MO) VARIANTE POC EX ART. 40 L.R. 20/2000 – AMBITI AND 168, AND 169 E AND 105.2 E AREA SCUOLA RELAZIONE GEOLOGICA, GEOTECNICA E SISMICA

INTEGRAZIONI A SEGUITO PARERE GEOLOGICO-SISMICO DELLA PROVINCIA DI MODENA DEL 8/06/2017

1. INQUADRAMENTO GEOGRAFICO-FISICO GENERALE

Le aree esaminate, sulle quali è prevista la realizzazione di spazi dedicati ad attività sportive e ricreative e di una scuola, sono ubicate lungo una fascia che scorre in senso divergente rispetto a quello della via Emilia, toccandola in corrispondenza di Cavazzona per poi dirigersi verso NO passando per Manzolino e chiudendosi a Gaggio.

Dal punto di vista topografico si trova in corrispondenza di un'ampia fascia pianeggiante, di alta pianura, sub-orizzontale, con una debole pendenza verso NE, e con quote che, in corrispondenza delle tre aree, variano da 30 a 40 m s.l.m. Gli elementi idrografici più prossimi sono rappresentati, per Gaggio, dal Fiume Panaro, che dista circa 1,5 km in direzione ovest, e dallo scolo Bonaghino, che scorre 500 m ad est dell'area d'intervento; per Manzolino sono i canali di bonifica

scorre 500 m ad est dell'area d'intervento; per Manzolino sono i canali di bonifica del Consorzio della Bonifica Burana, ovvero il canale di San Giovanni e lo scolo Finaletto, che racchiudono l'area d'intervento rispettivamente 180 m ad ovest e 500 m ad est rispetto ad essa; per Cavazzona sono lo scolo Finaletto stesso, 1,5 km ad ovest, e lo scolo Romita Superiore, circa 1 km a SE.

Il clima è caratterizzato, nel periodo 1991-2008, da precipitazioni totali annue, in media, di 711 mm e temperature medie annue di 14,5°C¹, pari, rispettivamente, ad una variazione di +15 mm e +1,3°C rispetto al periodo 1961-1990.

Nella cartografia regionale, l'area di Gaggio è compresa nella Tavola alla scala 1:25.000 nr. 202SO denominata "Nonantola" (Figura 1), nella Sezione alla scala 1:10.000 nr. 202130 denominata "Gaggio" e nell'Elemento alla scala 1:5.000 nr. 202134 denominato "Gaggio" (Figura 2). Le aree di Manzolino e Cavazzona sono entrambe comprese nella Tavola alla scala 1:25.000 nr. 220NO denominata "Castelfranco Emilia" (Figura 1), nella Sezione alla scala 1:10.000 nr. 220020 denominata "Manzolino" e nell'Elemento alla scala 1:5.000 nr. 220024 denominato "Manzolino" (Figura 4 e Figura 3Figura 6).

-

 $^{^1\} Atlante\ Idroclimatico\ dell'Emilia-Romagna\ -\ http://www.arpa.emr.it/sim/?clima$

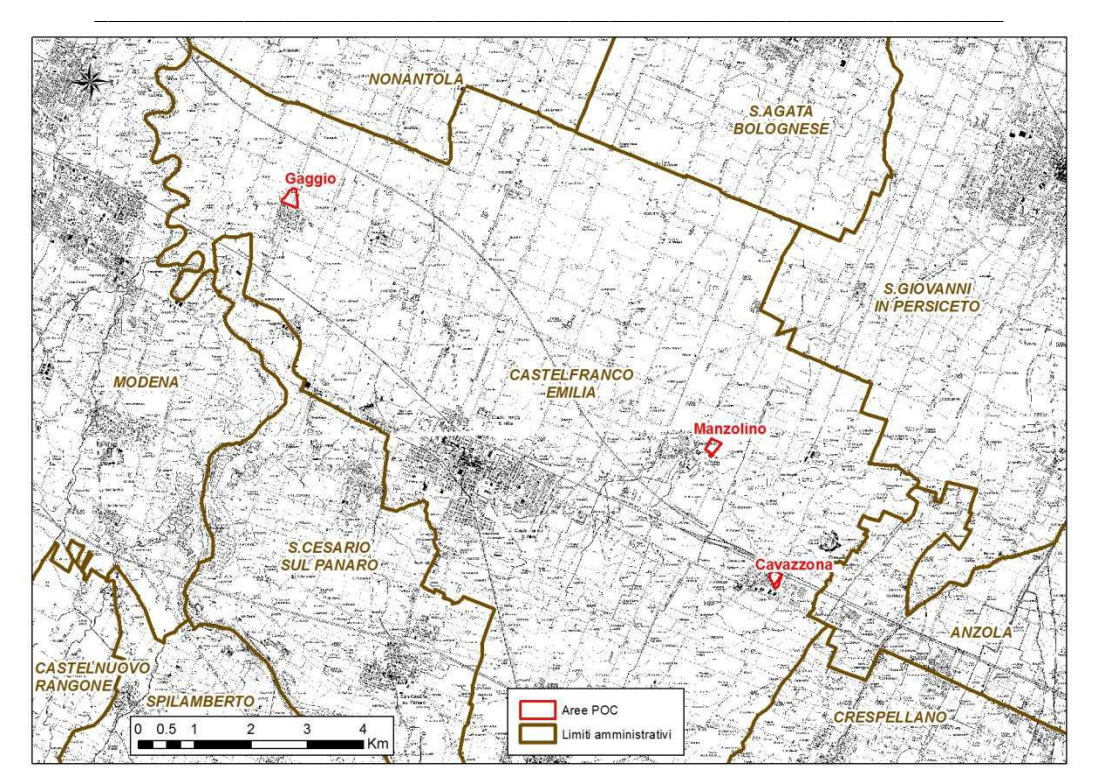


Figura 1 - Inquadramento geografico su C.T.R. con dettaglio topografico a scala 1:25.000 – Tavole nr. 202SO denominata "Nonantola" e 220NO denominata "Castelfranco Emilia".

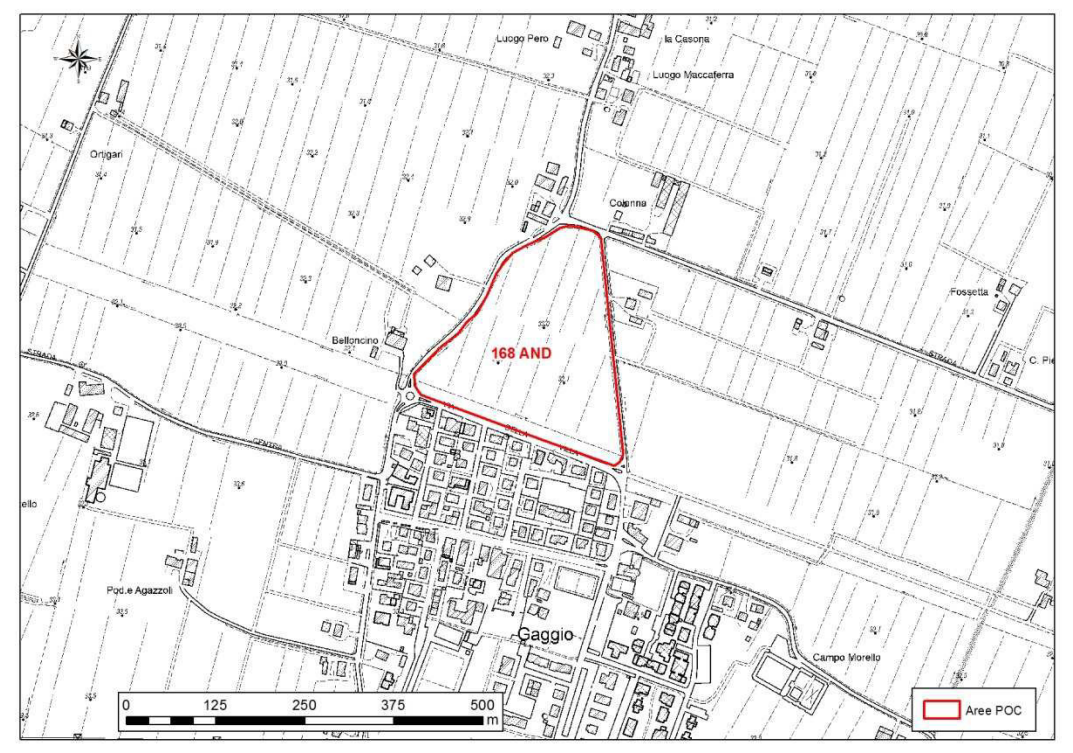


Figura 2 - Ubicazione dell'area d'indagine di Gaggio su C.T.R. con dettaglio topografico a scala 1:5.000 - Elemento nr. 202134 denominato "Gaggio".

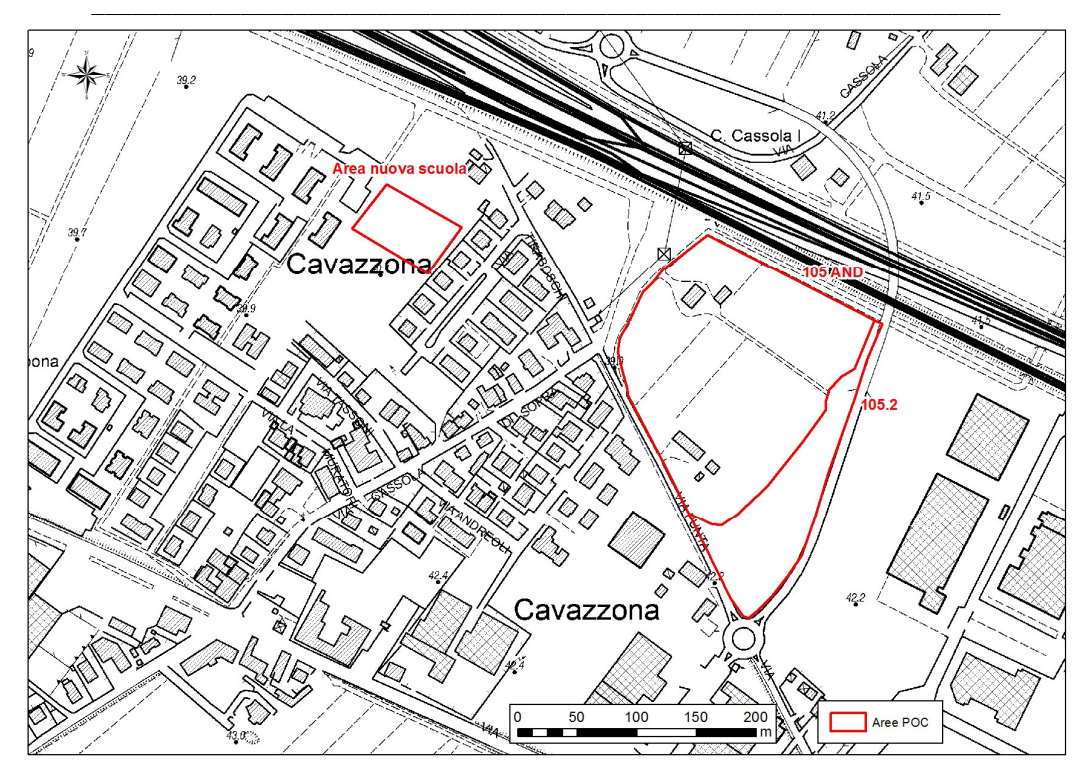


Figura 3 - Ubicazione delle aree d'indagine di Cavazzona su C.T.R. con dettaglio topografico a scala 1:5.000 - Elemento nr. 220024 denominato "Manzolino". L'area per attività sportive è la sola porzione identificata dal codice 105.2.

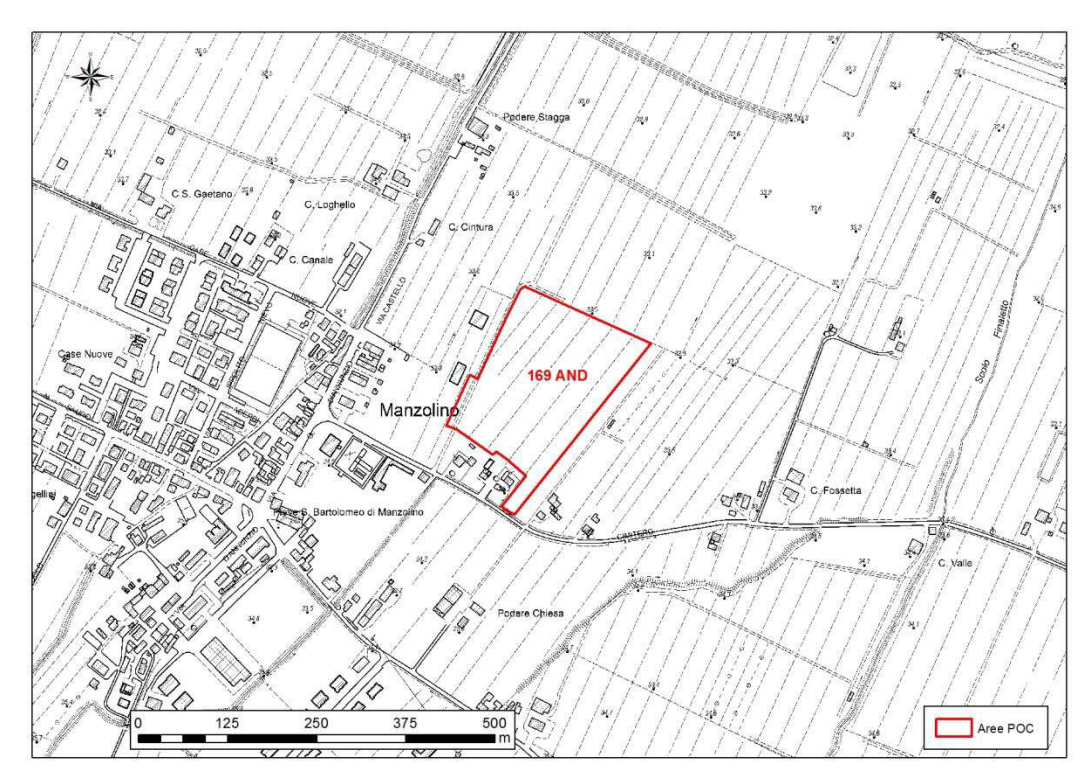


Figura 4 - Ubicazione dell'area d'indagine di Manzolino su C.T.R. con dettaglio topografico a scala 1:5.000 - Elemento nr. 220024 denominato "Manzolino".

1.1. Descrizione di massima del progetto

La Variante al POC prevede l'attuazione di tre nuovi ambiti da dedicare ad impianti sportivi e ad aree ricreative per le tre frazioni di Gaggio, Manzolino e Cavazzona oltre all'individuazione di un'area sulla quale realizzare la scuola primaria di Cavazzona con annesse pertinenze; in particolare, sarà potenziata l'offerta delle dotazioni pubbliche, con particolare riguardo alle strutture sportive e ricreative, nei centri frazionali di Gaggio e Manzolino, mentre il centro frazionale di Cavazzona sarà interessato da un potenziamento delle strutture per l'istruzione.

GAGGIO – Impianti sportivi 168 AND

L'ambito è posto immediatamente a nord del centro abitato tra Via Mavora e Via della Villa. Obiettivo della Variante POC è la realizzazione di nuove strutture sportive e ricreative finalizzate al potenziamento delle dotazioni pubbliche frazionali e, in particolare, alla ri-localizzazione di parte degli impianti sportivi esistenti.



Figura 5 - Ubicazione dell'area d'indagine di Gaggio su ortofoto satellitare (fonte: Ortofoto multifunzione EMILIA-ROMAGNA - AGEA 2011 - RGB).

CAVAZZONA - Metropolitana 105.2 AND e Area Scuola

L'ambito 105.2 AND è compreso tra la linea ferroviaria storica a nord, e gli ambiti consolidati produttivo e residenziale. Obiettivo della Variante POC è il completamento delle dotazioni sportive presenti nell'area limitrofa a sud di via Punta (palestra polifunzionale) con la realizzazione di attrezzature sportive e delle relative infrastrutture di servizio.

VARIANTE POC EX ART. 40 L.R. 20/2000 – AMBITI AND 168, AND 169 E AND 105.2 E AREA SCUOLA RELAZIONE GEOLOGICA, GEOTECNICA E SISMICA

INTEGRAZIONI A SEGUITO PARERE GEOLOGICO-SISMICO DELLA PROVINCIA DI MODENA DEL 8/06/2017



Figura 6 - Ubicazione delle aree d'indagine di Cavazzona su ortofoto satellitare (fonte: Ortofoto multifunzione EMILIA-ROMAGNA - AGEA 2011 - RGB). L'area destinata a dotazioni sportive è la sola porzione identificata dal codice 105.2.

L'Area Scuola invece è situata lungo il limite settentrionale dell'abitato di Cavazzona, circa 100 m a sud del tracciato ferroviario, in corrispondenza dell'attuale area dedicata alla coltivazione di orti; obiettivo della Variante è l'individuazione di un'area di proprietà completamente pubblica, da destinare alla realizzazione della struttura scolastica e delle relative pertinenze.

MANZOLINO - Impianti sportivi 169 AND

L'ambito è localizzato nella zona orientale della frazione tra la Via Cimitero e la Via Predieri. Obiettivo della Variante POC è la realizzazione di nuove strutture sportive e ricreative finalizzate al potenziamento delle dotazioni pubbliche frazionali, oltre alla ri-localizzazione di parte degli impianti sportivi esistenti.



Figura 7 - Ubicazione dell'area d'indagine di Manzolino su ortofoto satellitare (fonte: Ortofoto multifunzione EMILIA-ROMAGNA - AGEA 2011 - RGB).

2. INQUADRAMENTO GEOLOGICO, GEOMORFOLOGICO ED IDROGEOLOGICO GENERALE

Per quanto riguarda la litologia superficiale, l'esame della Tavola 1.1 "Litologia di superficie" del QC del PSC di Castelfranco Emilia (Figura 8) mostra come l'area di Gaggio si trovi in corrispondenza di terreni superficiali composti principalmente da sabbie, quella di Manzolino in corrispondenza di terreni superficiali principalmente composti da limi e quella di Cavazzona in corrispondenza di terreni superficiali principalmente composti da limi, ma che verso ovest tendono a lasciare il passo alle sabbie.

Sostanziale accordo con il quadro delle litologie superficiali del PSC si può trovare anche nella Tavola 2a.2 del PTCP della Provincia di Modena (Figura 9) in cui, per l'area di Gaggio viene confermata la presenza di sabbie, per quella di Manzolino la prevalenza di litologie fini (limi e/o argille) e per quella di Cavazzona una situazione di passaggio tra sabbie – ad ovest – e terreni fini, coerenti, ad est.

VARIANTE POC EX ART. 40 L.R. 20/2000 – AMBITI AND 168, AND 169 E AND 105.2 E AREA SCUOLA RELAZIONE GEOLOGICA, GEOTECNICA E SISMICA

INTEGRAZIONI A SEGUITO PARERE GEOLOGICO-SISMICO DELLA PROVINCIA DI MODENA DEL 8/06/2017

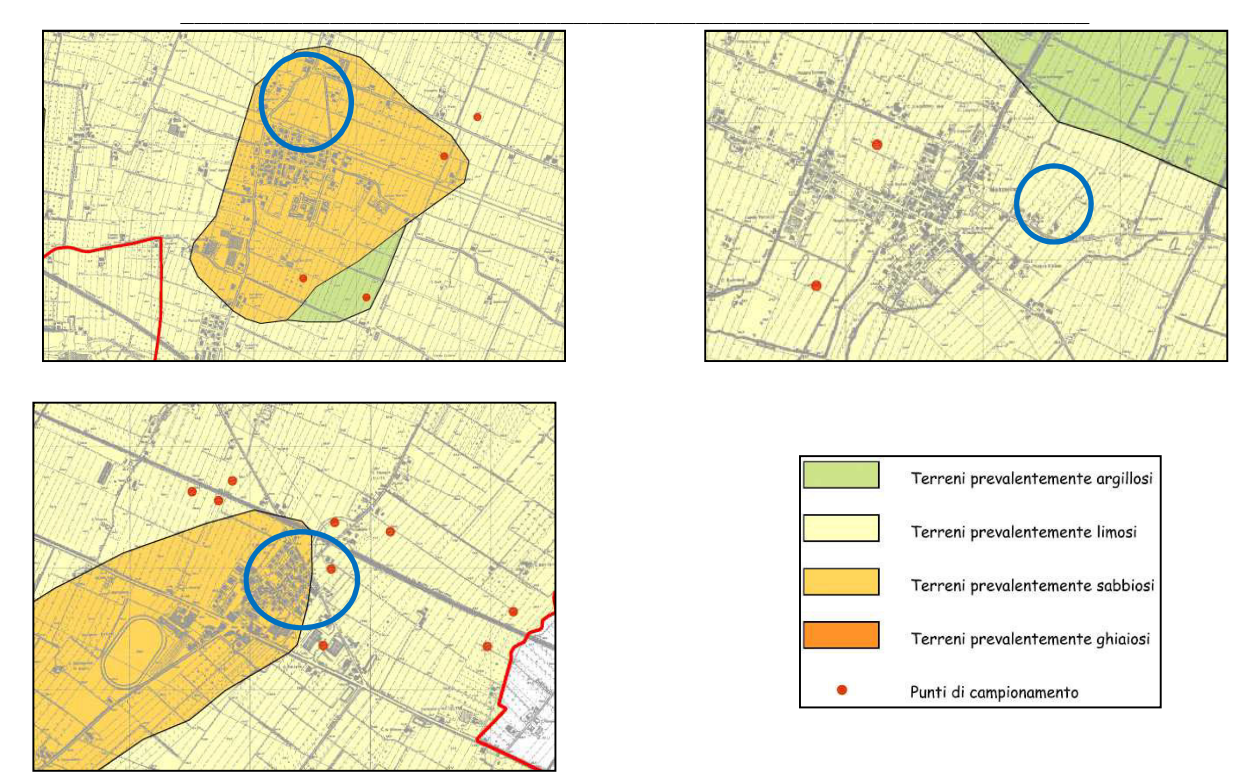
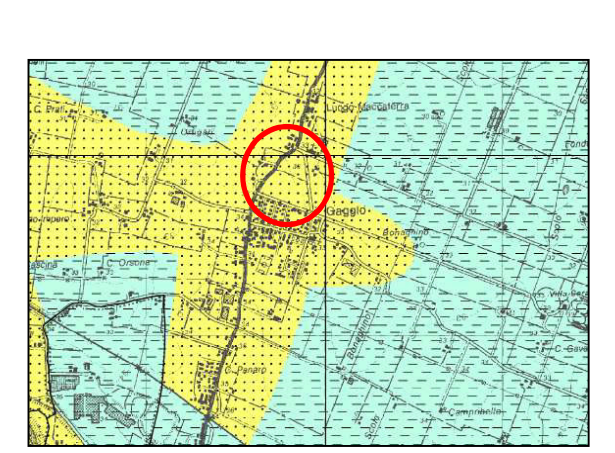


Figura 8 – Stralci della Tavola 1.1 "Litologia di superficie" del PSC di Castelfranco Emilia. I cerchi blu individuano le tre aree di studio: in alto a sinistra quella di Gaggio, in alto a destra quella di Manzolino e in basso a sinistra quella di Cavazzona.

E' pertanto ragionevole attendersi, per l'area, un ambiente deposizionale caratterizzato da ritmiche divagazioni dei corsi d'acqua minori (o, più probabilmente, del Fiume Panaro – si veda Figura 12), il cui risultato può essere una stratigrafia piuttosto variabile, sia nello spazio che verticalmente, con alternanze di livelli fini e a comportamento geomeccanico visco-plastico e di livelli incoerenti, sabbiosi, fino ad un tetto delle ghiaie che si può supporre abbastanza prossimo alla superficie topografica.

A tal proposito, per quanto riguarda la stratigrafia oltre il primo metro più superficiale, questa può essere ricavata, con buona approssimazione, da quella dei pozzi per acqua reperibili dal database geognostico della Regione Emilia-Romagna (Figura 10) e molto prossimi alle tre aree d'indagine.

Depositi che possono determinare effetti locali
ghiale di conoide effetti attest: amplificazione; studi: valutazione amplificazione
sabbie di canale effetti attest: amplificazione, potenziale liquefazione e cedimenti; studi: valutazione amplificazione, stima del rischio di liquefazione e dei cedimenti attesi
limi e argille (peliti) di piana alluvionale effetti attesi: amplificazione, possibili cedimenti; studi: valutazione amplificazione e stima dei cedimenti attesi
sabbie sepolte del Po effetti attesi: amplificazione, potenziale liquefazione e cedimenti; studi: valutazione amplificazione, stima del rischio di liquefazione e dei cedimenti attesi



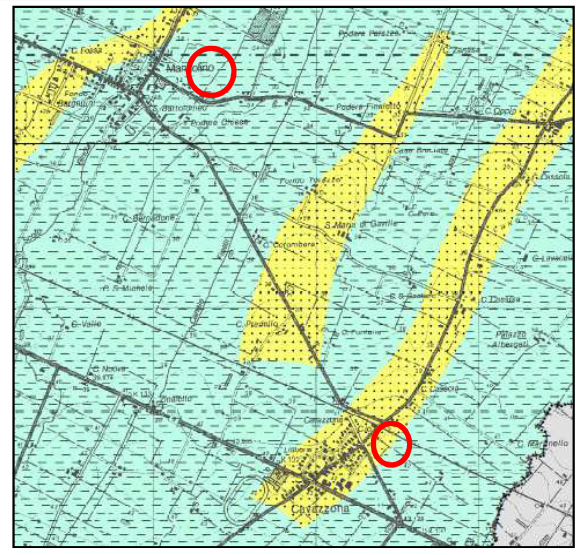
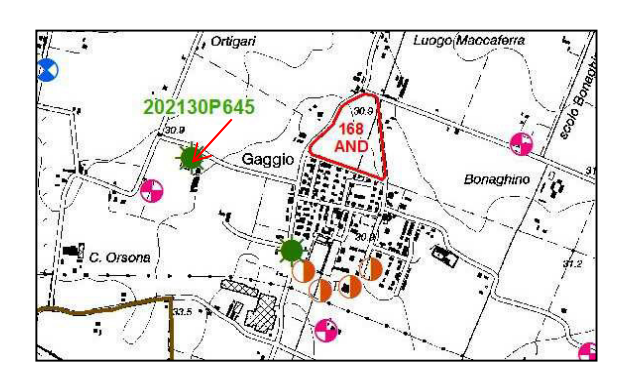


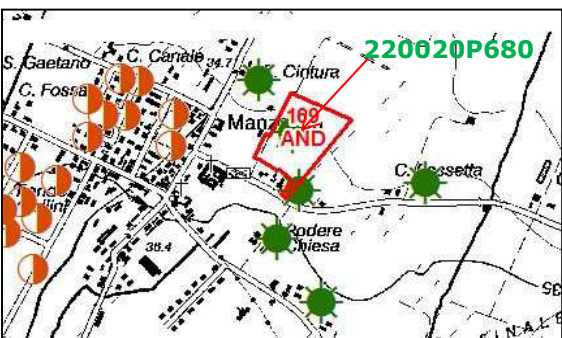
Figura 9 – Stralci della Tavola 2 a.5 "Carta delle aree potenzialmente soggette ad effetti locali" del QC del PTCP della Provincia di Modena (2009). I cerchi rossi individuano le tre aree di studio: a sinistra quella di Gaggio; a destra quelle di Manzolino (in alto) e di Cavazzona (in basso).

La stratigrafia del pozzo 202130P645 di Gaggio indica la presenza di un non meglio precisato "terreno vegetale" da piano campagna fino alla profondità di -33 m, seguita da sabbia fino a -42 m. La stratigrafia vede quindi la presenza di terreni fini (argille e limi) intervallati da due strati di ghiaie con sabbia: il primo da -91 a -93,5 m e il secondo da -124 a -127 m. Secondo il vicino pozzo a SE, che identifica solo i livelli ghiaiosi, questi sarebbero presenti tra -40 e -43 m, tra -60 e -63 m e tra -130 e -132 m, in evidente disaccordo con quanto ricavato dal primo pozzo.

La stratigrafia del pozzo 220020P680 di Manzolino indica la presenza di argille nei primi 9 m, seguita da un primo spessore di ghiaie fino a -14 m e poi da un'alternanza di argille e ghiaie, con quest'ultime presenti tra -22 e -40 m e tra -44 e -70 m.

La stratigrafia del pozzo 220020P669 di Cavazzona è piuttosto superficiale e indica la presenza di argilla nei primi 4,3 m, seguita da uno spessore con sabbia, ghiaia e limo fino a -11,5 m, da argilla fino a -21,4 m e da ghiaia fino a 26,5 m.





VARIANTE POC EX ART. 40 L.R. 20/2000 - AMBITI AND 168, AND 169 E AND 105.2 E AREA SCUOLA RELAZIONE GEOLOGICA, GEOTECNICA E SISMICA

INTEGRAZIONI A SEGUITO PARERE GEOLOGICO-SISMICO DELLA PROVINCIA DI MODENA DEL 8/06/2017

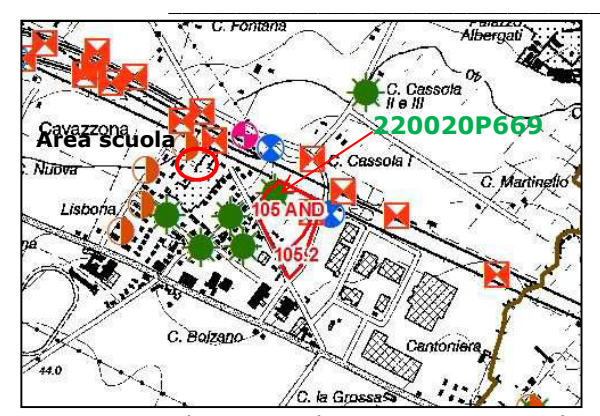


Figura 10 - Ubicazione dei pozzi per acqua (simboli verdi con identificativi: 202130P645 per l'area Gaggio, 220020P680 per l'area di Manzolino e 220020P669 per l'area di Cavazzona) più prossimi alle quattro aree d'indagine, contenuti nel geo-database della Regione Emilia-Romagna, di cui si dispone di stratigrafia.

Infine, il PTCP della Provincia di Modena, nella Tavola 3.2 di QC - "Depositi del sottosuolo che influenzano il moto sismico in superficie" – individua una profondità del tetto del substrato marino tra circa -340 e -390 m rispetto al piano campagna, ed una profondità del tetto del ciclo alluvionale inferiore prossima a -190 e 240 m rispetto al piano campagna (Figura 11).

Dal punto di vista geomorfologico, le aree in studio si sviluppano in un contesto caratterizzato dalla presenza di forme superficiali legate alla paleo-dinamica fluviale (Figura 13Figura 8).

In particolare, sono ubicate in una zona di transizione, come visibile in Figura 12², tra due paleoalvei del Fiume Panaro: quello più orientale, che attraversa S. Giovanni in Persiceto, abbandonato nell'età del Bronzo, e quello più occidentale, che passa di poco ad ovest di Castelfranco Emilia, abbandonato in età Romana. Pertanto, considerata anche la presenza, da 9 a 14 m dal piano campagna (Manzolino), di un primo livello ghiaioso rilevante, è ragionevole ipotizzare una forte impronta del Fiume Panaro nella costruzione della sequenza stratigrafica più superficiale della zona, con livelli ghiaiosi, forse di potenza minore, anche tra 4 e 11 m a Cavazzona. Molto dubbia è la sequenza stratigrafica deducibile dalle stratigrafie di pozzo a Gaggio, dove risulta abbastanza improbabile una profondità così alta del tetto delle ghiaie (in un caso -91 m e nell'altro -40 m), vista anche la prossimità della frazione con l'alveo attuale del Panaro.

² Panizza, M., Castaldini, D., Pellegrini, M., Giusti, C. & Piacentini, D. (2004) – Matrici geo-ambientali e sviluppo insediativo: un'ipotesi di ricerca - in Mazzeri, C. (a cura di): Per un Atlante Storico Ambientale Urbano, Edizioni APM, 31-51 pp.

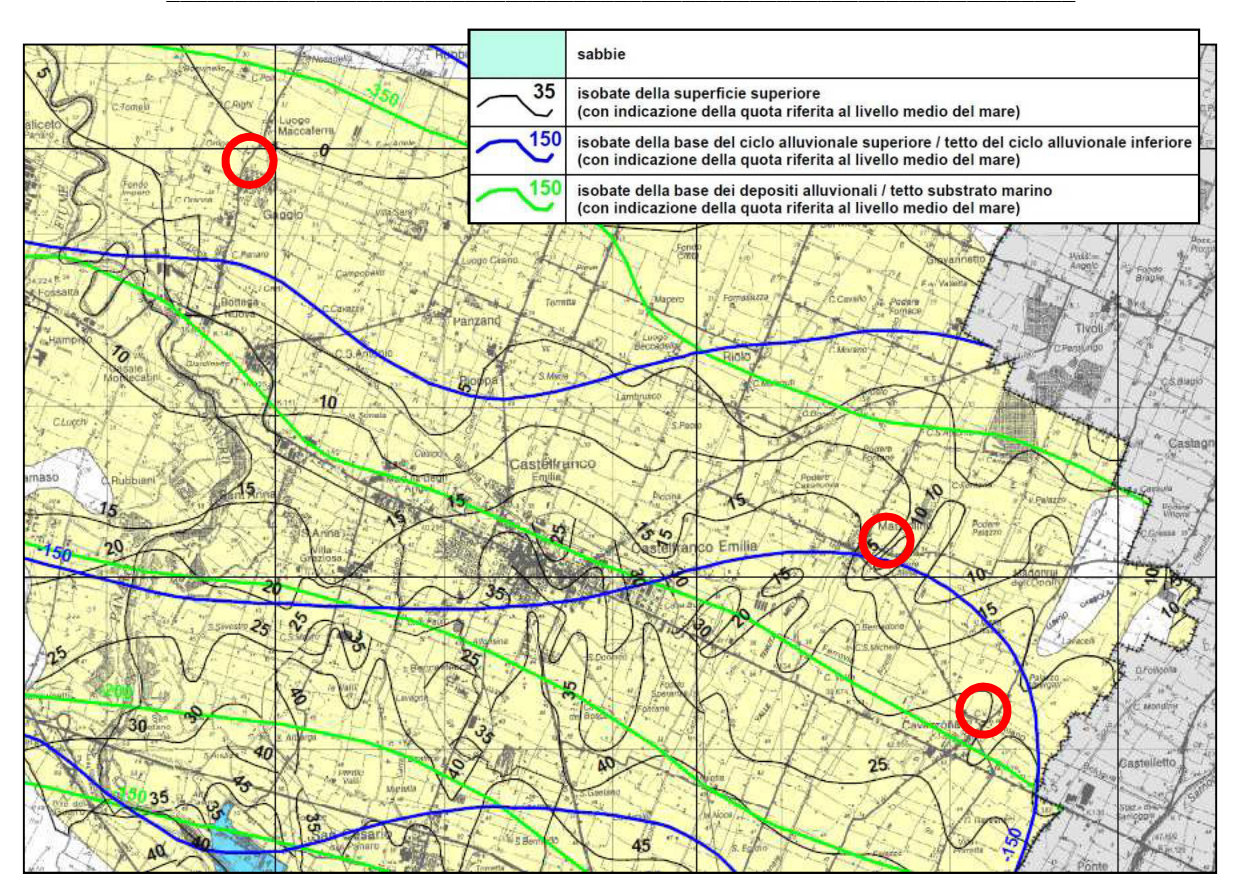


Figura 11 – Stralcio della Tavola 3.2 di QC del PTCP della Provincia di Modena – "Depositi del sottosuolo che influenzano il moto sismico in superficie". I cerchi rossi individuano le aree di studio.

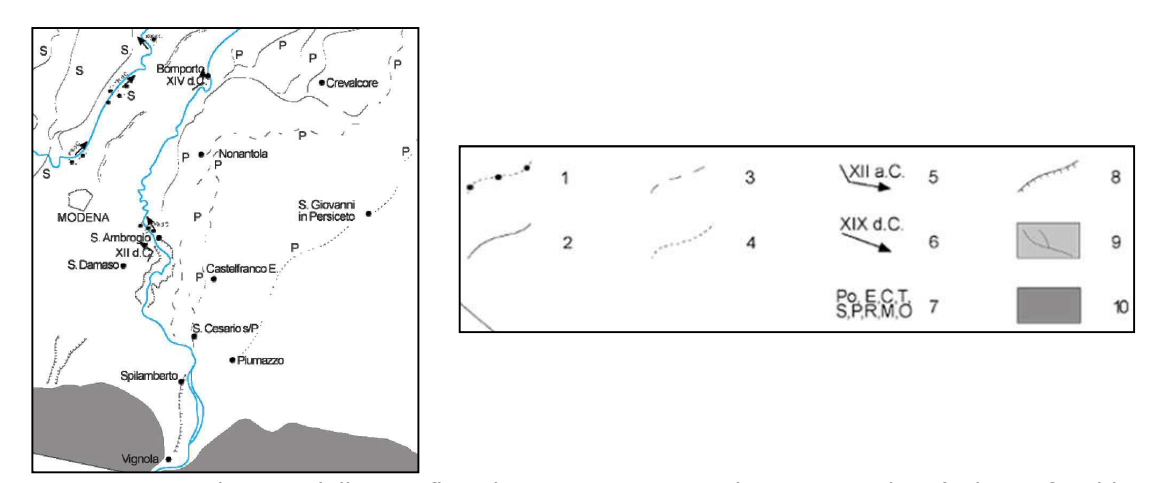


Figura 12 – Evoluzione della rete fluviale tra Mantova e Modena - Legenda: 1) idrografia abbandonata di età moderna, 2) idrografia abbandonata di età medioevale, 3) idrografia abbandonata di età romana, 4) idrografia abbandonata di età del Bronzo, 5) principale deviazione fluviale e indicazione della sua età, 6) principale taglio di meandro e indicazione della sua età, 7) indicazione di dominio fluviale: Po = Po, E = Enza, C = Crostolo, T = Tresinaro, S = Secchia, P = Panaro, M = Mincio, O = Oglio, 8) principale scarpata fluviale, 9) depositi fluvioglaciali e fluviali tardo pleistocenici con tracce di paleoalvei, 10) formazioni pre-quaternarie del margine appenninico.

La carta geomorfologica del QC del PSC di Castelfranco Emilia evidenzia molto bene l'evoluzione geomorfologica legata alla dinamica fluviale, identificando numerosi dossi fluviali di notevole estensione lineare. Uno di questi interseca l'area di Gaggio, verosimilmente ultimo segno della persistenza del paleo-Panaro prima della sua posizione attuale. Alvei antichi sembrano aver intersecato anche le altre due aree di Manzolino e Cavazzona: la prima è attraversata da un paleo-alveo a livello della pianura, mentre la seconda sembra cadere all'interno di un dosso fluviale, interrotto proprio in corrispondenza della frazione. Entrambe le forme fluviali mostrano, in base alla loro direzione e provenienza, una relazione genetica riconducibile all'ambiente deposizionale del paleo-Samoggia.

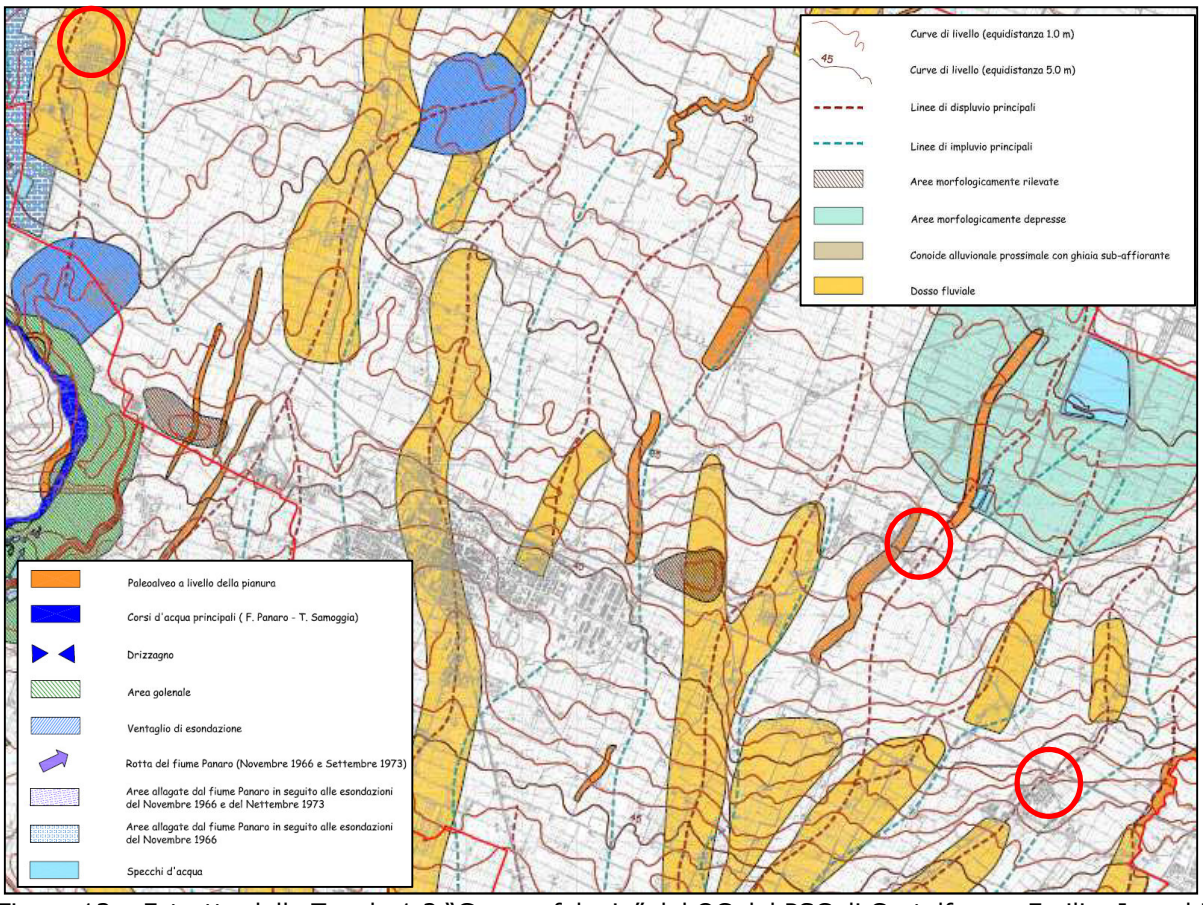


Figura 13 – Estratto della Tavola 1.2 "Geomorfologia" del QC del PSC di Castelfranco Emilia. I cerchi rossi identificano le tre quattro di studio.

In merito all'idrografia, gli elementi idrografici più prossimi sono rappresentati, per Gaggio, dal Fiume Panaro, che dista circa 1,5 km in direzione ovest, e dallo scolo Bonaghino, che scorre 500 m ad est dell'area d'intervento; per Manzolino sono i canali di bonifica del Consorzio della Bonifica Burana, ovvero il canale di San Giovanni e lo scolo Finaletto, che racchiudono l'area d'intervento rispettivamente 180 m ad ovest e 500 m ad est rispetto ad essa; per Cavazzona sono lo scolo Finaletto stesso, 1,5 km ad ovest, e lo scolo Romita Superiore, circa 1 km a SE.

Per quanto riguarda le acque sotterranee, l'elaborazione della piezometria della falda superficiale, rappresentata nel QC del PSC comunale, evidenzia, per l'area di Gaggio, la presenza di una direzione di flusso all'incirca da OSO verso ENE, con valori che, in prossimità delle aree d'indagine, sono pari a 26-27 m s.l.m., per una soggiacenza pari a circa 7-8 m dal piano campagna (Figura 14).

VARIANTE POC EX ART. 40 L.R. 20/2000 – AMBITI AND 168, AND 169 E AND 105.2 E AREA SCUOLA RELAZIONE GEOLOGICA, GEOTECNICA E SISMICA

INTEGRAZIONI A SEGUITO PARERE GEOLOGICO-SISMICO DELLA PROVINCIA DI MODENA DEL 8/06/2017

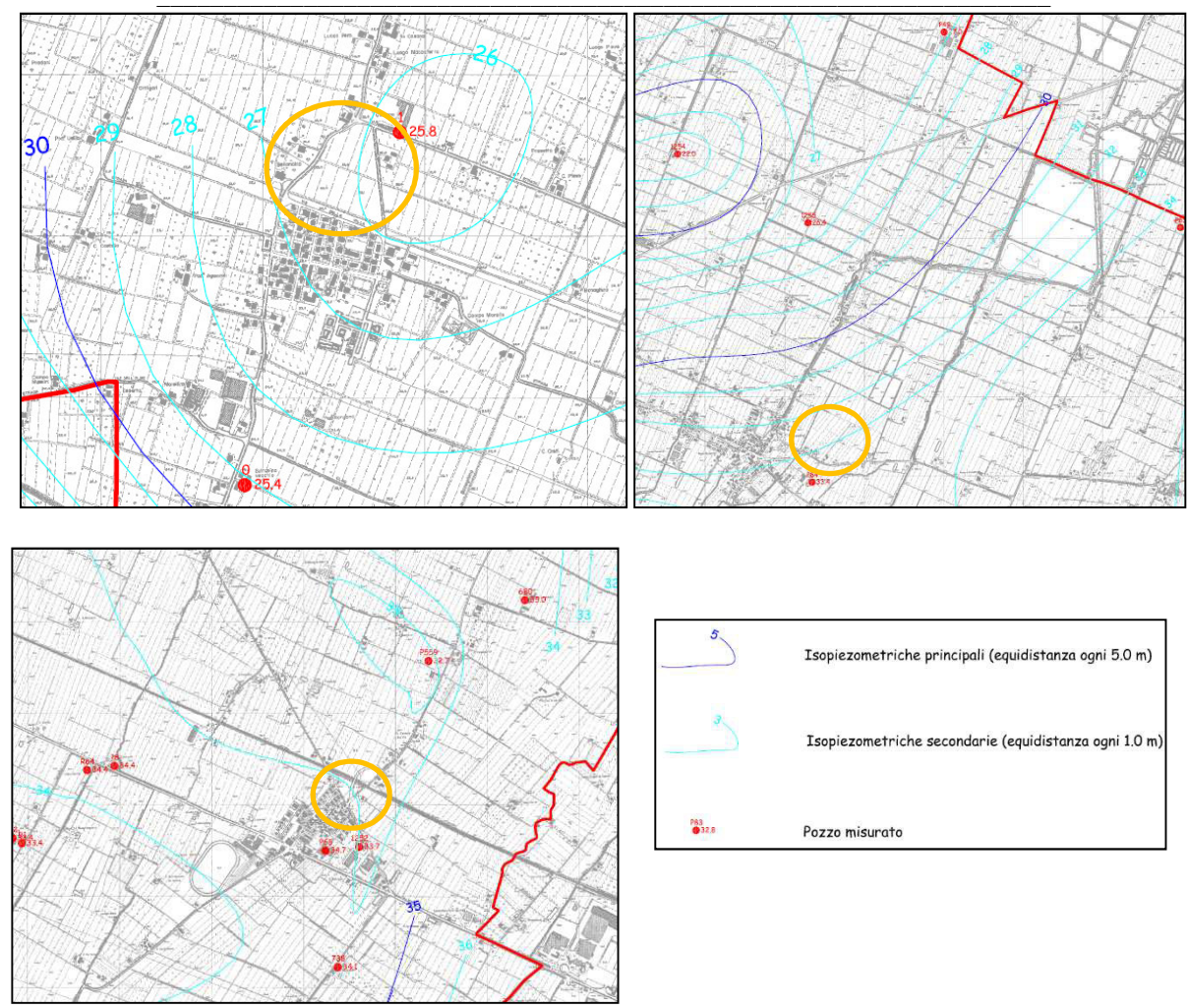


Figura 14 – Estratti della Tavola 1.6a "Piezometria – dati aggiornati primavera 2002". I cerchi arancioni identificano le tre aree di studio: in alto a sinistra, Gaggio; in alto a destra, Manzolino; in basso a sinistra, Cavazzona.

A Manzolino la piezometrica sembra assumere una direzione di flusso da SE a NO, con valori che, in prossimità dell'area d'indagine, sono pari a 33-34 m s.l.m., per una soggiacenza pari a circa 1 m dal piano campagna. Per carenza di pozzi disponibili per le misurazioni, l'area di Cavazzona non ha una piezometrica definibile con chiarezza; i livelli misurati da pozzi vicini sono su 33-34 m s.l.m., per una soggiacenza di 9-10 m.

In occasione dell'esecuzione delle prove penetrometriche statiche in corrispondenza delle aree di studio, la falda è stata intercettata a:

- Gaggio: -1 m da p.d.c.
- Manzolino: -1,6 m da p.d.c.
- Cavazzona: non rilevata dalle CPT eseguite per questo studio; rilevata a circa -1,5 m dalla CPTU eseguite per questo studio in corrispondenza dell'area destinata alla scuola (rilevata tra -0,8 m e 1,30 m da p.c nelle indagini d'archivio).

3. INDAGINI GEOGNOSTICHE E MODELLO GEOLOGICO-GEOTECNICO

In data 20/10/2016 è stata eseguita una campagna geognostica su tutte le tre aree destinate ad attrezzature sportive, al fine di analizzarne le caratteristiche litostratigrafiche e geotecniche. L'indagine è stata condotta mediante l'esecuzione, per ogni area, di 2 prove penetrometriche statiche a punta meccanica (CPT). L'ubicazione delle prove eseguite è mostrata nelle planimetrie di seguito riportate, mentre i diagrammi penetrometrici, unitamente ai tabulati di campagna, sono riportati in Allegato 2. Le prove, che hanno raggiunto la profondità di 20 m dal piano di campagna, sono state eseguite utilizzando un penetrometro statico Gouda 100kN, con le seguenti caratteristiche tecniche:

Rif. Norme	ASTM D3441-86
Diametro Punta conica meccanica	35,7
Angolo di apertura punta	60
Area punta	10
Superficie manicotto	150
Passo letture (cm)	20
Costante di trasformazione Ct	20

Per la sola Area Scuola ubicata a Cavazzona sono state eseguite, nel giugno 2017, due indagini penetrometriche statiche con piezocono (CPTU), spinte fino a circa 20 m dal p.d.c.

3.1. Area Gaggio

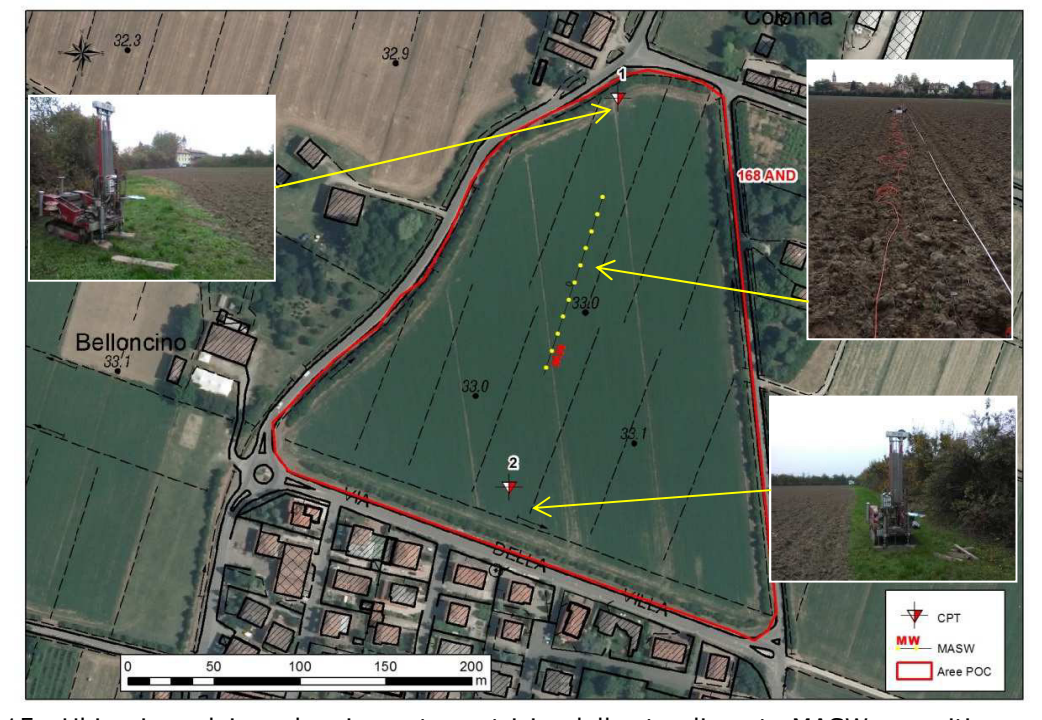


Figura 15 - Ubicazione dei sondaggi penetrometrici e dello stendimento MASW eseguiti per questo studio all'interno dell'area di Gaggio.

Dal punto di vista litostratigrafico, oltre il primo livello superficiale di suolo, le prove (Tabella 1 e Tabella 2) hanno evidenziato la presenza di terreni principalmente a comportamento meccanico visco-plastico (argille, a luoghi con livelli limosi e

sabbiosi). Solo la verticale indagata dalla CPT1 ha messo in evidenza la presenza di un sottile livello, tra 4,8 e 5,4 m, dove la percentuale di sabbia è leggermente superiore a tutti gli altri metri indagati, benché il rapporto q_c/f_s si alterni tra valori tipici dei limi e valori prossimi al limite inferiore delle sabbie. La stratigrafia evidenziata dalle due verticali penetrometriche sembra confutare il quadro litologico superficiale dei documenti cartografici precedentemente citati, che vedono l'area di Gaggio interamente inserita in un contesto dominato, in superficie, da litologie incoerenti.

Nr.	Prof.	Tipo	Cu	Eu	Mo	G	OCR	Puv	PuvS	Dr	Fi	Ey
1	1,40	CI	1,8	1313,9	70,4	246,6	0,7	2,1	2,1	83,4	40,0	0,0
2	3,40	C	0,7	542,6	48,4	145,3	>9	1,9	2,0			
3	4,80	C	0,4	257,6	36,4	94,7	4,3	1,8	1,9			
4	5,40	I			120,6	195,8	< 0.5	1,8	2,1	37,1	32,8	0,0
5	10,20	C	0,4	284,1	39,5	102,4	3,1	1,8	1,9			
6	14,80	CI	8,0	543,3	48,2	150,4	< 0.5	1,9	2,0	5,0	28,7	0,0
7	15,40	CI	1,6	1128,0	63,0	230,5	< 0.5	2,0	2,1	24,0	30,7	0,0
8	20,60	C	0.8	530.4	48.1	151.3	3.1	1.9	2.0			

Tabella 1 – Modello geotecnico in corrispondenza della CPT1 di Gaggio.

Nr.	Prof.	Tipo	Cu	Eu	Mo	G	OCR	Puv	PuvS	Dr	Fi	Ey
1	1,40	C	0,8	601,7	47,9	153,4	>9	1,9	2,0			
2	6,60	CI	0,6	398,2	46,0	123,5	< 0.5	1,9	1,9	5,0	28,7	0,0
3	10,20	C	0,5	299,2	42,4	110,8	1,8	1,8	1,9			
4	11,40	C	0,8	497,5	48,4	147,8	2,6	1,9	2,0			
5	13,40	C	0,5	319,6	45,0	119,7	1,3	1,8	1,9			
6	14,40	CI	1,3	871,8	51,6	204,0	< 0.5	2,0	2,1	5,0	28,7	0,0
7	20.60	CI	0.8	448.8	48.4	147.6	< 0.5	1.9	2.0	5.0	28.7	0.0

Tabella 2 – Modello geotecnico in corrispondenza della CPT2 di Gaggio.

Nr: Numero progressivo strato Prof: Profondità strato (m)

Tipo: C: Coesivo. I: Incoerente. CI: Coesivo-Incoerente

Cu: Coesione non drenata (Kg/cm²)

Eu: Modulo di deformazione non drenato (Kg/cm²)

Mo: Modulo Edometrico (Kg/cm²)

G: Modulo di deformazione a taglio (Kg/cm²)

OCR: Grado di sovraconsolidazione
Puv: Peso unità di volume (t/m³)
PuvS: Peso unità di volume saturo (t/m³)

Dr: Densità relativa (%)

Fi: Angolo di resistenza al taglio (°)
Ey: Modulo di Young (Kg/cm²)

Dal punto di vista geotecnico, le due prove effettuate hanno evidenziato la presenza di terreni a prevalente componente argillosa caratterizzati da valori di coesione non drenata mediocri se non addirittura scadenti, con valori molto bassi anche in profondità e che raggiungono i minimi assoluti di 40 kPa nella CPT1. Dato questo che conferma, per l'area di Gaggio, il quadro delle resistenze meccaniche dei terreni ricostruito per il QC del PSC e rappresentato nella tavola 1.3b "Aree con resistenza meccanica del 2° e/o 3° strato (4-10 m) inferiore a quella del 1° strato (1-4 m)". L'unico livello con una piccola percentuale di sabbie risulta scarsamente addensato (Dr = 37%).

Considerando la resistenza alla punta media, le CPT mostrano un andamento generale alquanto simile con la profondità, sebbene con diverse inversioni locali

nei valori di resistenza (Figura 16). L'intervallo di profondità con i valori di resistenza minimi si riscontra tra 4 e 10 m.

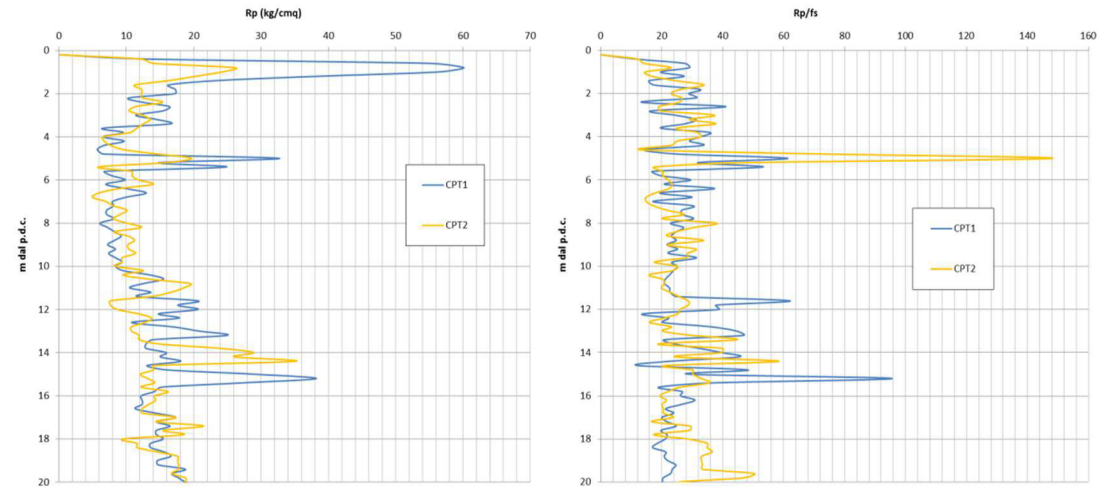


Figura 16 – Diagramma dei valori di Rp (sinistra) e del rapporto Rp/fs (destra) con la profondità per le due CPT eseguite nell'area di Gaggio.

3.2. Area Manzolino

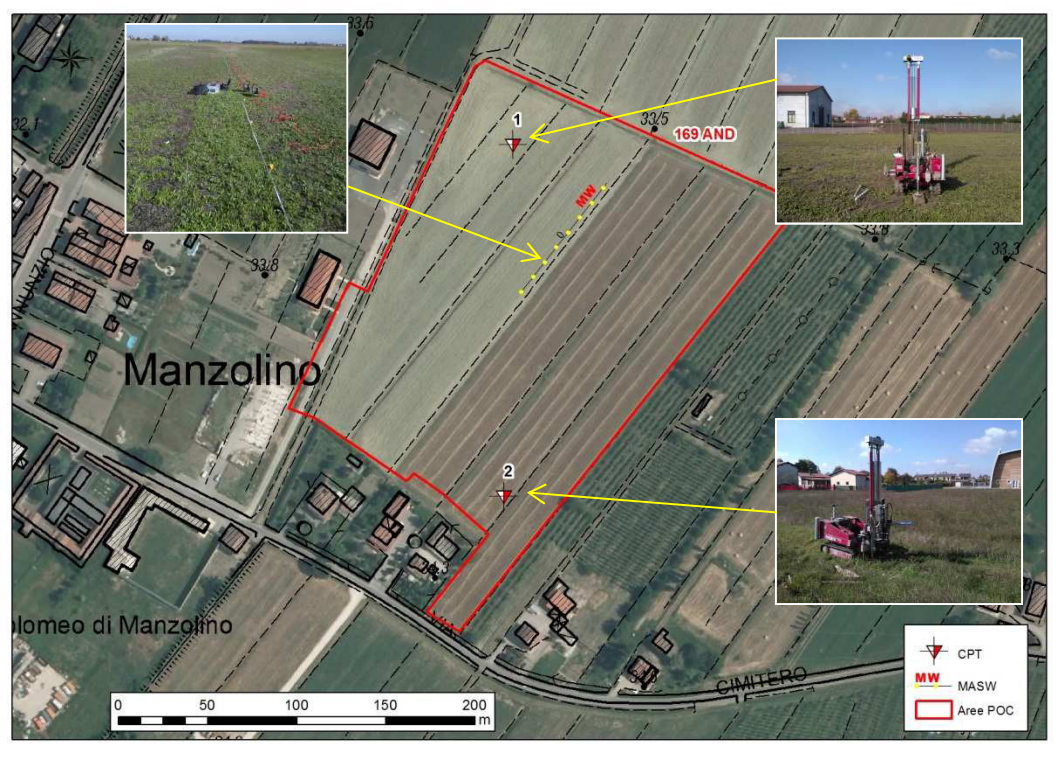


Figura 17 - Ubicazione dei sondaggi penetrometrici e dello stendimento MASW eseguiti per questo studio all'interno dell'area di Manzolino.

Dal punto di vista litostratigrafico, oltre il primo livello superficiale di suolo, le prove (Tabella 3 e Tabella 4) hanno evidenziato la presenza di terreni principalmente a comportamento meccanico visco-plastico (argille, a luoghi sabbiose). Solo la verticale indagata dalla CPT1 ha messo in evidenza la presenza di un sottile livello, tra 19,6 e 19,8 m, di sabbie, che risultano molto addensate solo negli ultimi 20

cm. La stratigrafia evidenziata dalle due verticali penetrometriche conferma il quadro litologico superficiale dei documenti cartografici precedentemente citati, che vedono l'area di Manzolino interamente inserita in un contesto dominato, in superficie, da litologie fini a comportamento meccanico visco-plastico.

Nr.	Prof.	Tipo	Cu	Eu	Mo	G	OCR	Puv	PuvS	Dr	Fi	Ey
1	1,60	C	2,8	2077,4	111,1	326,0	>9	2,1	2,2			
2	8,00	C	0,7	487,9	48,2	138,2	7,5	1,9	2,0			
3	10,00	C	0,4	274,5	39,4	102,1	2,3	1,8	1,9			
4	11,60	CI	0,8	526,9	48,4	147,6	< 0.5	1,9	2,0	5,0	28,7	0,0
5	17,80	C	1,2	839,1	47,8	194,7	5,2	2,0	2,1			
6	19,20	C	0,7	461,0	48,4	141,6	3,8	1,9	2,0			
7	19,80	I			220,3	590,3	1,6	1,9	2,2	68,6	37,3	0,0

Tabella 3 - Modello geotecnico in corrispondenza della CPT1 di Manzolino.

Nr.	Prof.	Tipo	Cu	Eu	Mo	G	OCR	Puv	PuvS	Dr	Fi	Ey
1	1,60	C	2,0	1458,9	78,1	262,9	>9	2,1	2,2			
2	3,80	C	0,9	661,0	45,9	163,6	>9	2,0	2,0			
3	10,60	C	0,6	429,2	47,1	129,2	4,9	1,9	2,0			
4	16,80	CI	1,3	915,6	51,6	204,0	< 0.5	2,0	2,1	17,7	29,8	0,0
5	18,00	C	0,8	501,9	48,4	147,2	2,6	1,9	2,0			
6	20,40	CI	1,5	1017,8	58,1	219,4	< 0.5	2,0	2,1	13,9	29,1	0,0

Tabella 4 – Modello geotecnico in corrispondenza della CPT2 di Manzolino.

Nr: Numero progressivo strato
Prof: Profondità strato (m)

Tipo: C: Coesivo. I: Incoerente. CI: Coesivo-Incoerente

Cu: Coesione non drenata (Kg/cm²)

Eu: Modulo di deformazione non drenato (Kg/cm²)

Mo: Modulo Edometrico (Kg/cm²)

G: Modulo di deformazione a taglio (Kg/cm²)

OCR: Grado di sovraconsolidazione
Puv: Peso unità di volume (t/m³)
PuvS: Peso unità di volume saturo (t/m³)

Dr: Densità relativa (%)

Fi: Angolo di resistenza al taglio (°) Ey: Modulo di Young (Kg/cm²)

Dal punto di vista geotecnico, le due prove effettuate hanno evidenziato la presenza di terreni a prevalente componente argillosa caratterizzati da valori di coesione non drenata mediocri se non addirittura scadenti, con valori molto bassi anche in profondità e che raggiungono i minimi assoluti di 40 kPa nella CPT1. Dato questo che conferma, per l'area di Manzolino, il quadro delle resistenze meccaniche dei terreni ricostruito per il QC del PSC e rappresentato nella tavola 1.3b "Aree con resistenza meccanica del 2° e/o 3° strato (4-10 m) inferiore a quella del 1° strato (1-4 m)", dove l'intero nucleo abitato sorge su terreni con resistenze meccaniche sia del 2° che del 3° strato inferiori a quelle del 1° strato. L'unico livello con sabbie risulta altamente addensato (Dr = 68%), anche se il rifiuto della sonda non ha permesso di identificarne lo spessore completo.

Considerando la resistenza alla punta media, le CPT mostrano un andamento generale alquanto simile con la profondità, con inversioni locali nei valori di resistenza particolarmente evidenti da -14 a -20 m (Figura 18). L'intervallo di profondità con i valori di resistenza minimi si riscontra tra 4 e 10 m, come nell'area di Gaggio.

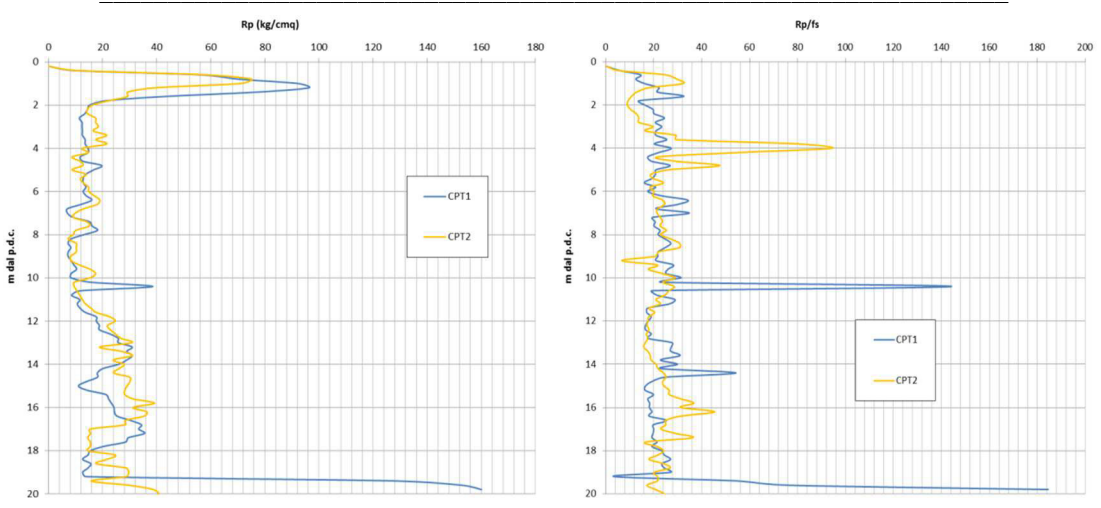


Figura 18 – Diagramma dei valori di Rp (sinistra) e del rapporto Rp/fs (destra) con la profondità per le due CPT eseguite nell'area di Manzolino.

3.3. Aree Cavazzona

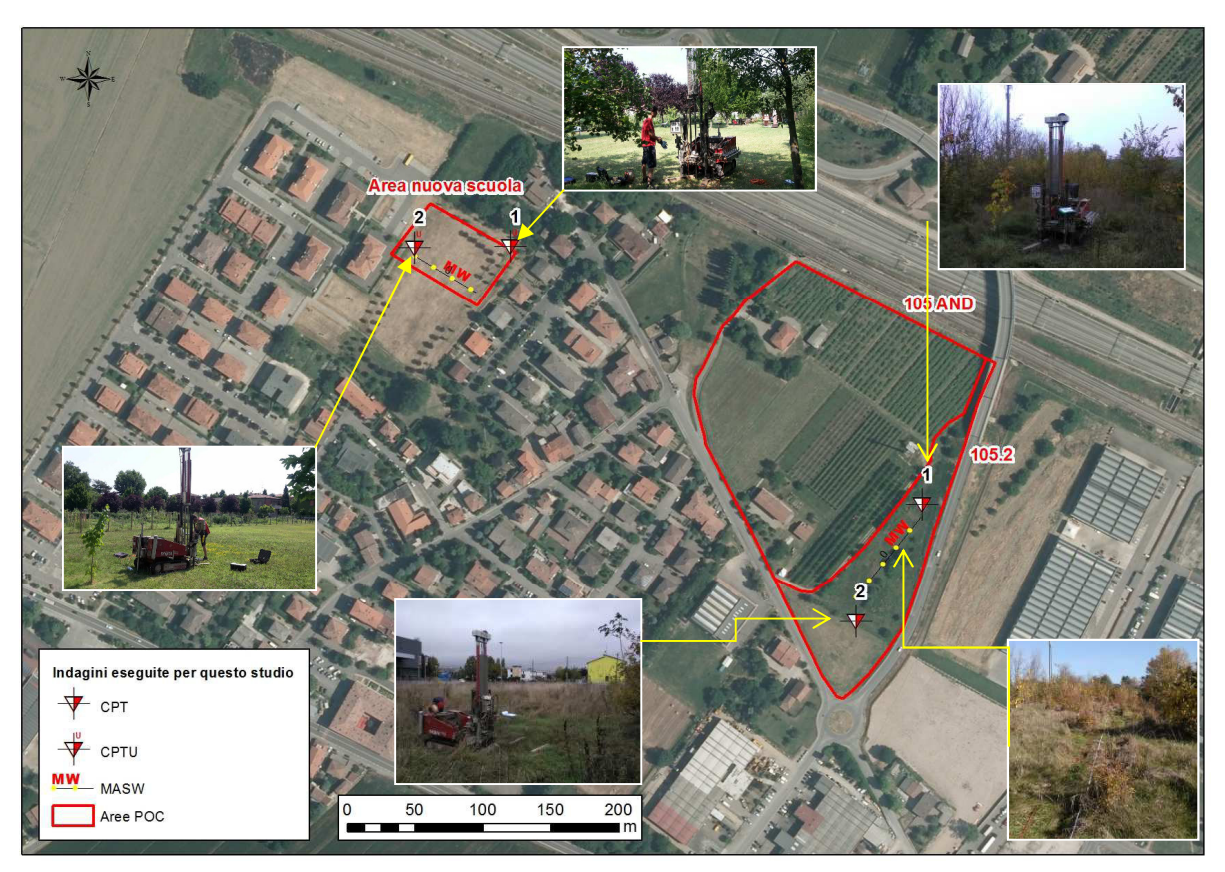


Figura 19 - Ubicazione dei sondaggi penetrometrici e degli stendimenti MASW eseguiti per questo studio all'interno delle aree di Cavazzona. L'area destinata a impianti sportivi è la sola porzione identificata dal codice 105.2, dove effettivamente si sono concentrate le indagini geognostiche.

Dal punto di vista litostratigrafico, relativamente all'area **105.2**, oltre il primo livello superficiale di suolo, le prove (Tabella 5 e Tabella 6) hanno evidenziato la

presenza di terreni principalmente a comportamento meccanico visco-plastico (argille, frequentemente sabbiose e limose, oltre i 7-11 m). Si evidenzia come lungo la verticale indagata dalla CPT1 sia presente di un livello, tra 15,4 e 17,4 m, con miscele di terreni a granulometria molto variabile. La stratigrafia evidenziata dalle due verticali penetrometriche conferma a grandi linee il quadro litologico superficiale dei documenti cartografici precedentemente citati, che vedono l'area di Cavazzona in una situazione di transizione tra litologie (superficiali) fini e litologie più grossolane.

Nr.	Prof.	Tipo	Cu	Eu	Mo	G	OCR	Puv	PuvS	Dr	Fi	Ey
1	1,20	C	1,0	745,5	42,0	174,6	>9	2,0	2,1			
2	5,60	C	0,5	348,0	43,3	113,7	5,0	1,8	1,9			
3	7,20	CI	0,7	516,6	48,4	146,2	< 0.5	1,9	2,0	5,0	28,7	0,0
4	8,80	CI	1,0	719,6	41,3	178,2	< 0.5	2,0	2,0	8,4	28,7	0,0
5	11,20	CI	0,7	487,3	48,4	145,7	< 0.5	1,9	2,0	5,0	28,7	0,0
6	15,40	CI	1,2	800,2	47,7	194,5	< 0.5	2,0	2,1	5,0	28,7	0,0
7	17,40	CI	2,0	1416,8	81,9	270,5	< 0.5	2,1	2,2	13,7	29,0	0,0
8	20,00	CI	1,1	693,2	44,2	185,6	< 0.5	2,0	2,0	5,0	28,7	0,0

Tabella 5 – Modello geotecnico in corrispondenza della CPT1 di Cavazzona, nell'area destinata ad attrezzature sportive.

Nr.	Prof.	Tipo	Cu	Eu	Mo	G	OCR	Puv	PuvS	Dr	Fi	Ey
1	1,40	C	0,7	532,0	48,4	142,4	>9	1,9	2,0			
2	11,00	C	0,6	406,8	46,9	128,0	3,1	1,9	2,0			
3	19.80	CI	1.5	1041.6	61.5	227.1	< 0.5	2.0	2.1	5.3	28.7	0.0

Tabella 6 – Modello geotecnico in corrispondenza della CPT2 di Cavazzona, nell'area destinata ad attrezzature sportive.

Nr: Numero progressivo strato Prof: Profondità strato (m)

Tipo: C: Coesivo. I: Incoerente. CI: Coesivo-Incoerente

Cu: Coesione non drenata (Kg/cm²)

Eu: Modulo di deformazione non drenato (Kg/cm²)

Mo: Modulo Edometrico (Kg/cm²)

G: Modulo di deformazione a taglio (Kg/cm²)

OCR: Grado di sovraconsolidazione
Puv: Peso unità di volume (t/m³)
PuvS: Peso unità di volume saturo (t/m³)

Dr: Densità relativa (%)

Fi: Angolo di resistenza al taglio (°)
Ey: Modulo di Young (Kg/cm²)

Dal punto di vista geotecnico, le due prove effettuate hanno evidenziato la presenza di terreni a prevalente componente argillosa caratterizzati da valori di coesione non drenata mediocri se non addirittura scadenti, con valori bassi anche in profondità e che raggiungono i minimi assoluti di 50 kPa nella CPT1. Dato questo che conferma, anche per l'area di Cavazzona, il quadro delle resistenze meccaniche dei terreni ricostruito per il QC del PSC e rappresentato nella tavola 1.3b "Aree con resistenza meccanica del 2° e/o 3° strato (4-10 m) inferiore a quella del 1° strato (1-4 m)", dove tre aree che circondano l'abitato a nord, ad est e a sud sono caratterizzate da terreni con resistenze meccaniche che decadono con la profondità oltre il 1° strato (1-4 m); in particolare, l'area più vicina a quella d'indagine per questo studio, mostra valori di resistenza meccanica del 2° o 3° strato inferiori rispetto a quelli del 1°.

Considerando la resistenza alla punta media, le CPT mostrano un andamento generale alquanto simile con la profondità, con una inversione sensibile da -18 a -

20 m (Figura 20). L'intervallo di profondità con i valori di resistenza minimi si riscontra tra 2 e 6 m.

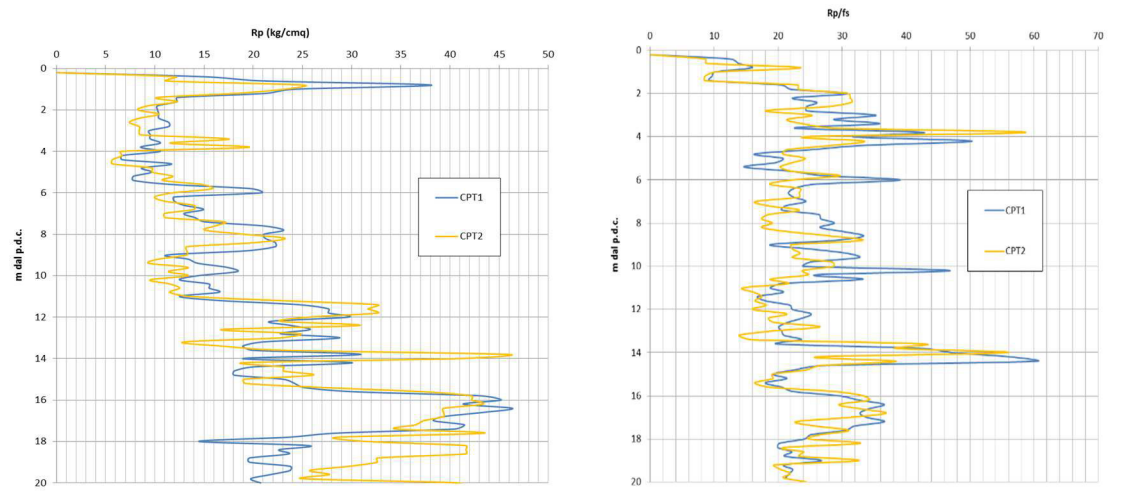


Figura 20 – Diagramma dei valori di Rp (sinistra) e del rapporto Rp/fs (destra) con la profondità per le due CPT eseguite nell'area di Cavazzona destinata ad attrezzature sportive.

Relativamente all'area destinata alla nuova scuola, sono state eseguite, nel giugno 2017, due prove penetrometriche statiche con piezocono (CPTU). L'ubicazione delle prove eseguite è mostrata in Figura 19, mentre i diagrammi penetrometrici, unitamente ai tabulati di campagna, sono riportati in Allegato 2. Le prove, che hanno raggiunto la profondità di 19 e 18 m dal piano di campagna, sono state eseguite utilizzando un piezocono G1-CPL2IN, con le seguenti caratteristiche tecniche:

PUNTA CONICA

Diametro Punta conica	35,7 mm
Altezza nominale	30,9 mm
Angolo di apertura punta	60°
Area nominale	1000 mm ²
Altezza filtro	5 mm
Diametro interno filtro	27 mm
Distanza filtro-base cono	4 mm
Altezza quadring	3,5 mm

PIEZOCONO

Area di punta	10.00 cm^2
Diametro	35.70 mm
Area netta (AN)	6.60 cm^2
Superficie manicotto	150.00 cm ²
Lunghezza manicotto	133.70 mm
Area superiore manicotto (F sup.)	2.22 cm ²
Area inferiore manicotto (F inf.)	3.31 cm^2
Lunghezza totale piezocono	600.00 mm
Peso complessivo	3.00 Kg
Lunghezza raccordo punta – aste	250.00 mm

Passo letture 2 cm

COMUNE DI CASTELFRANCO EMILIA (MO) VARIANTE POC EX ART. 40 L.R. 20/2000 – AMBITI AND 168, AND 169 E AND 105.2 E AREA SCUOLA

RELAZIONE GEOLOGICA, GEOTECNICA E SISMICA

INTEGRAZIONI A SEGUITO PARERE GEOLOGICO-SISMICO DELLA PROVINCIA DI MODENA DEL 8/06/2017

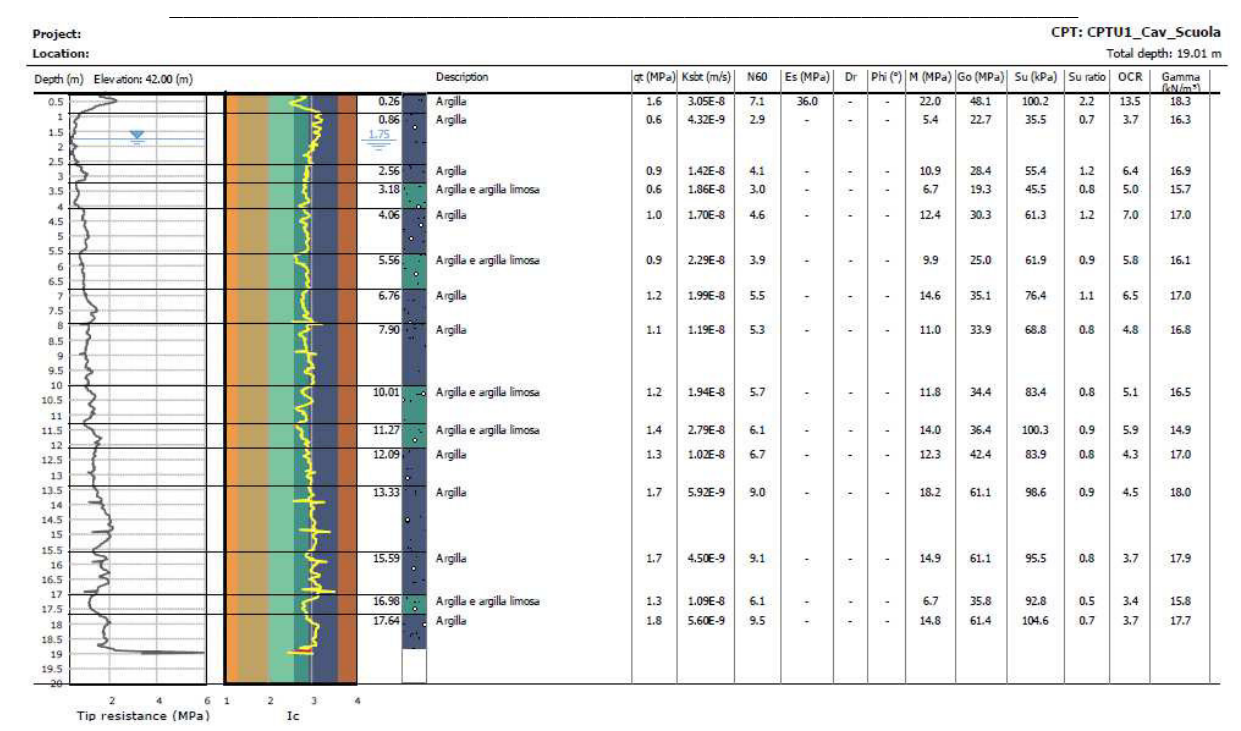


Tabella 7 - Modello geotecnico in corrispondenza della CPTU1 di Cavazzona, eseguita all'interno dell'area destinata alla nuova scuola.

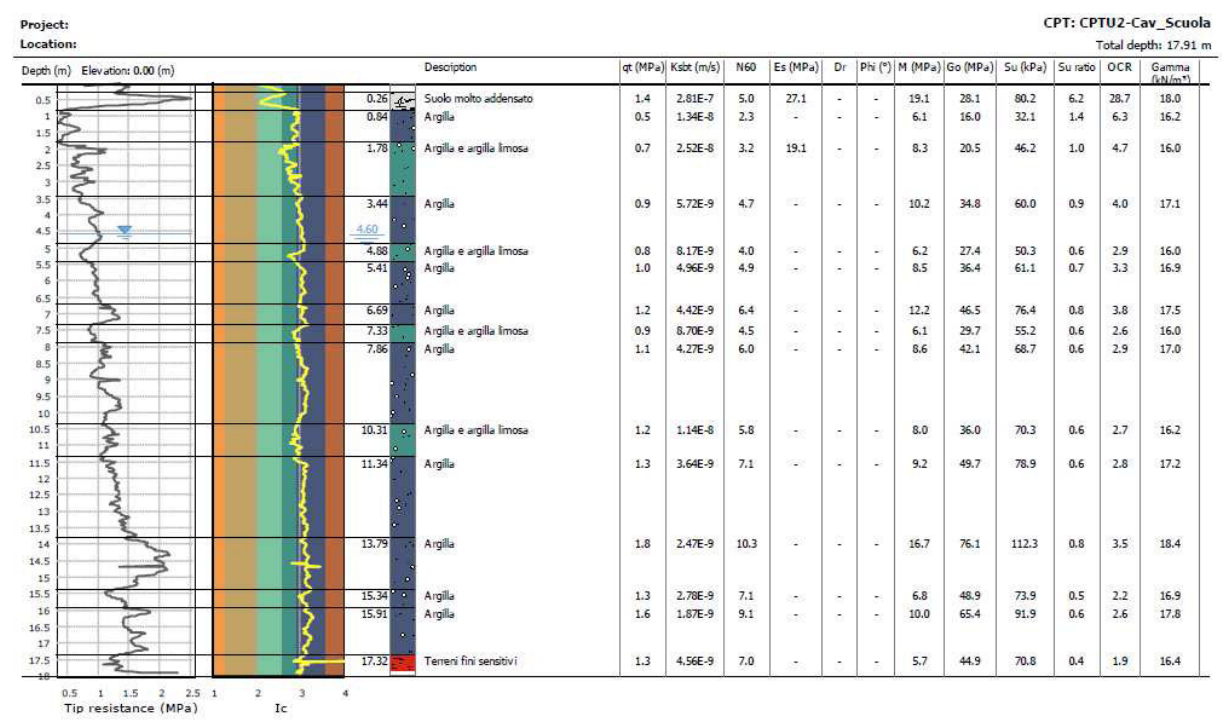


Tabella 8 - Modello geotecnico in corrispondenza della CPTU2 di Cavazzona, eseguita all'interno dell'area destinata alla nuova scuola.

Dal punto di vista litostratigrafico, relativamente all'area destinata alla scuola, oltre il primo livello superficiale di suolo, le prove (Tabella 7 e Tabella 8) hanno evidenziato una sequenza monotona di terreni a comportamento meccanico viscoplastico (argille, a luoghi con percentuale di limi).

Dal punto di vista geotecnico, le due prove effettuate hanno evidenziato la presenza di terreni argillosi caratterizzati da valori di coesione non drenata da scadenti a mediocri nei primi 10 e 13 m dal piano campagna, rispettivamente per la CPTU1 e CPTU2. Dato questo che conferma, anche per l'area della scuola, può essere esteso il quadro delle resistenze meccaniche dei terreni ricostruito per il QC del PSC e rappresentato nella tavola 1.3b "Aree con resistenza meccanica del 2º e/o 3º strato (4-10 m) inferiore a quella del 1º strato (1-4 m)", dove tre aree che circondano l'abitato a nord, ad est e a sud sono caratterizzate da terreni con resistenze meccaniche che decadono con la profondità oltre il 1º strato (1-4 m); in particolare, l'area più vicina a quella d'indagine per questo studio (a nord di essa), mostra valori di resistenza meccanica del 2º o 3º strato inferiori rispetto a quelli del 1º.

Considerando la resistenza alla punta media, le CPTU mostrano un andamento generale pressoché identico con la profondità, con un sensibile incremento delle pressioni interstiziali nella CPTU1 rispetto alla CPTU2 da 4 a 19 m.

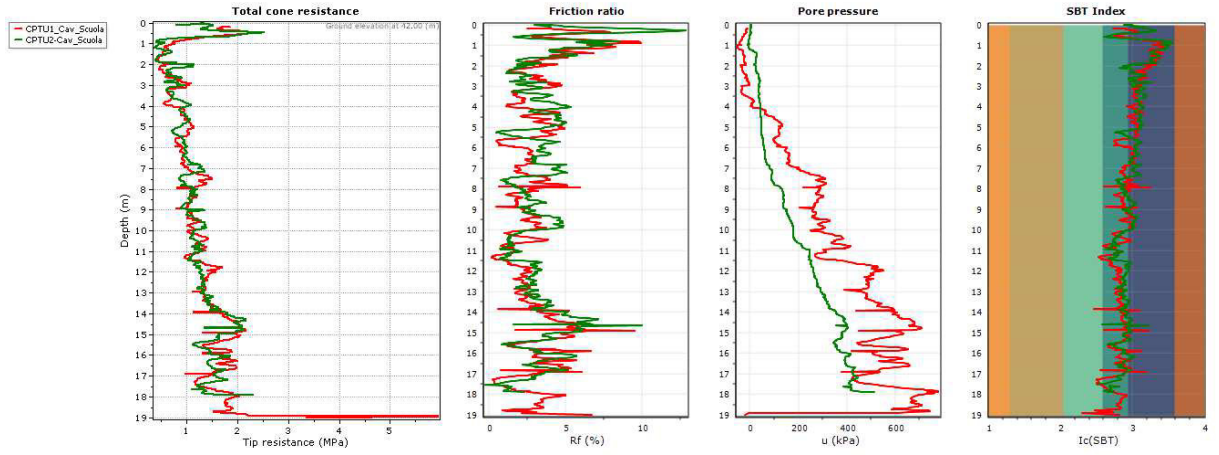


Figura 21 - Diagramma dei valori di Q_t (sinistra), del rapporto percentuale tra f_s e Q_t (centro-sinistra), della pressione interstiziale (centro-destra) e del Soil Behaviour Type Index (destra) con la profondità per le due CPTU eseguite nell'area di Cavazzona destinata alla nuova scuola.

4. INDAGINE SISMICA

Per la classificazione sismica dei terreni è stato eseguito, nel mese di ottobre 2016, uno stendimento sismico composto da 24 geofoni per ogni ambito di indagine; per la sola Area Scuola è stata eseguita una indagine MASW nel giugno 2017. Con riferimento ai quattro ambiti indagati, mediante la metodologia d'analisi attiva MASW del segnale registrato dai geofoni, è stato possibile individuare la frequenza, l'ampiezza, la lunghezza d'onda e la velocità di propagazione delle onde sismiche superficiali (principalmente onde di Rayleigh) generate artificialmente e calcolare il parametro di normativa $V_{\rm s30}$.

Le indagini sismiche sono state eseguite su terreno "naturale", all'interno di ognuna delle quattro aree di studio (Figura 15, Figura 17 e Figura 19). Esse hanno consentito di determinare gli spessori dei sismostrati e le relative velocità di taglio, permettendo di calcolare un valore di V_{s30} pari a:

Gaggio: 193 m/sManzolino: 181

Cavazzona: 207 m/s (ambito 105.2); 215 m/s per l'Area Scuola.

I tre valori ottenuti dalle indagini MASW inseriscono i rispettivi terreni indagati all'interno della classe $\bf C$ - Depositi di terreni a grana grossa mediamente addensati o terreni a grana fine mediamente consistenti, con spessori superiori a 30 m caratterizzati da graduale miglioramento delle proprietà meccaniche con la profondità e valori del V_{S30} compresi tra 180 m/s e 360 m/s (ovvero 15 < N_{SPT30} < 50 nei terreni a grana grossa e 70 < c_{u30} < 250 kPa nei terreni a grana fina).

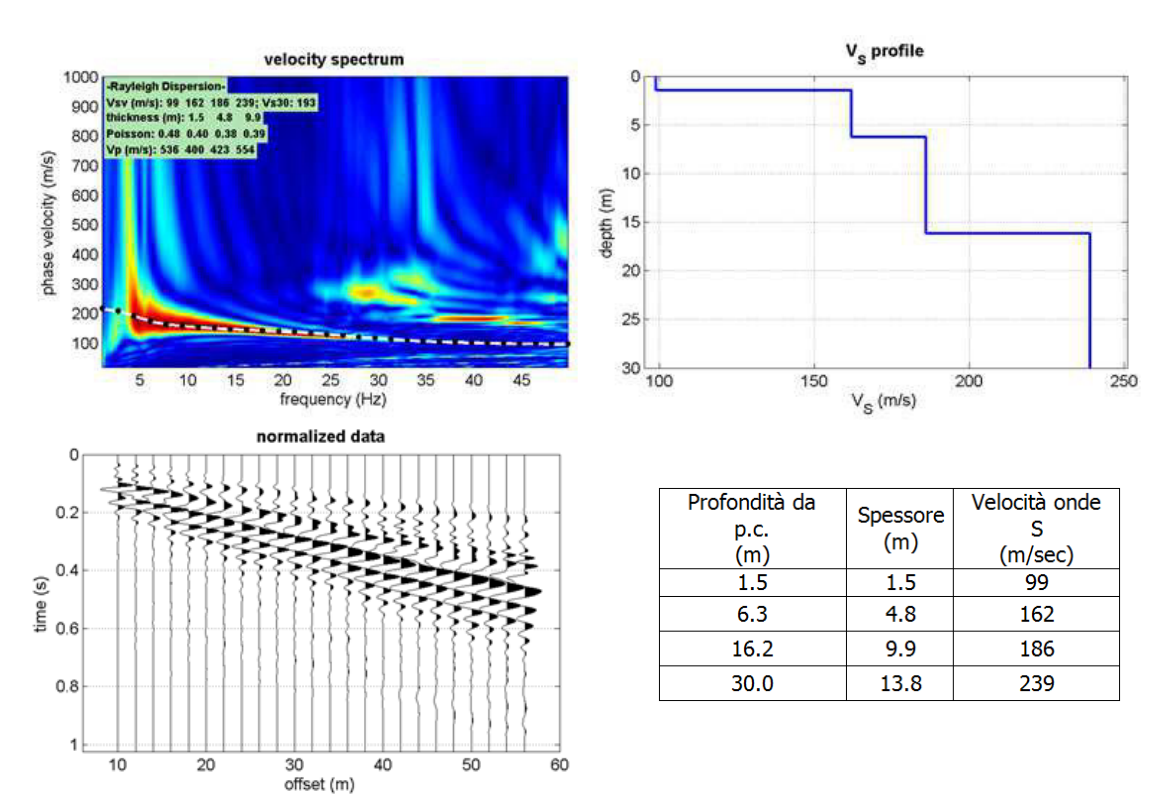


Figura 22 - Diagramma della curva di dispersione, diagramma velocità Vs/profondità e sismogramma relativi all'indagine MASW eseguita nell'area di Gaggio.

VARIANTE POC EX ART. 40 L.R. 20/2000 – AMBITI AND 168, AND 169 E AND 105.2 E AREA SCUOLA RELAZIONE GEOLOGICA, GEOTECNICA E SISMICA

INTEGRAZIONI A SEGUITO PARERE GEOLOGICO-SISMICO DELLA PROVINCIA DI MODENA DEL 8/06/2017

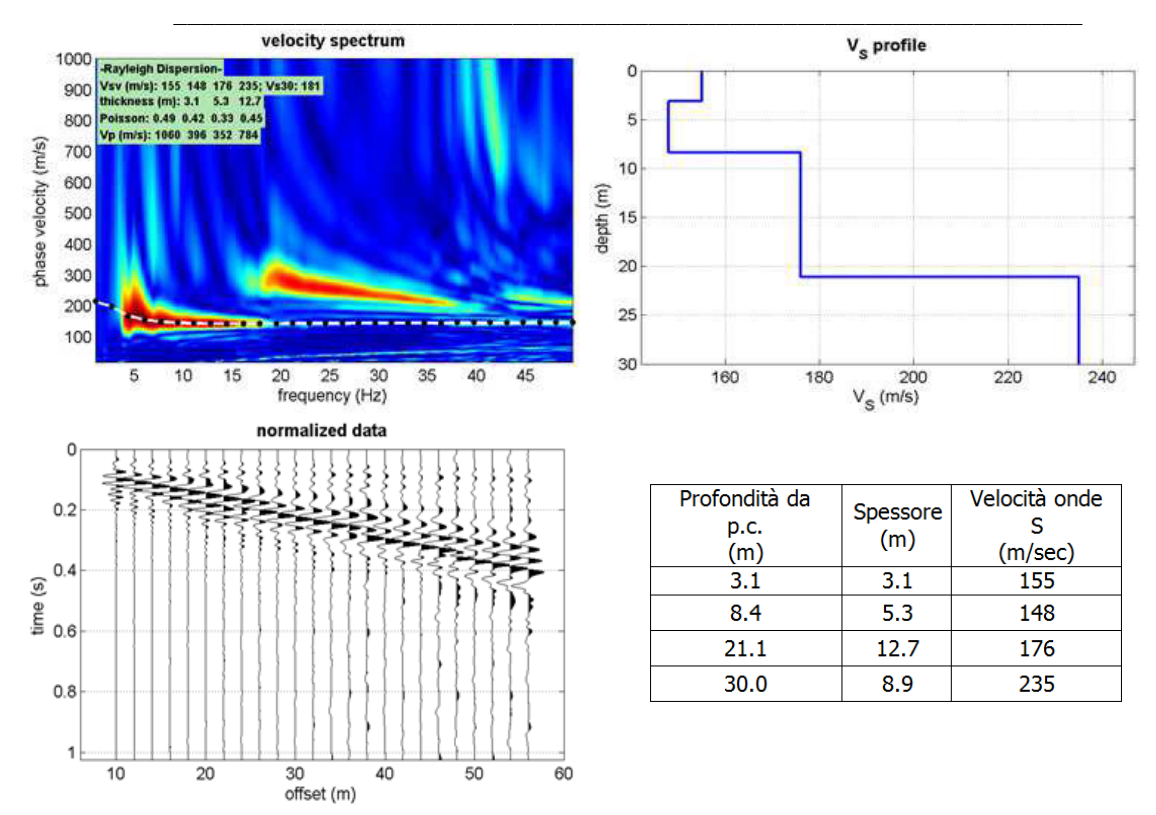


Figura 23 - Diagramma della curva di dispersione, diagramma velocità Vs/profondità e sismogramma relativi all'indagine MASW eseguita nell'area di Manzolino.

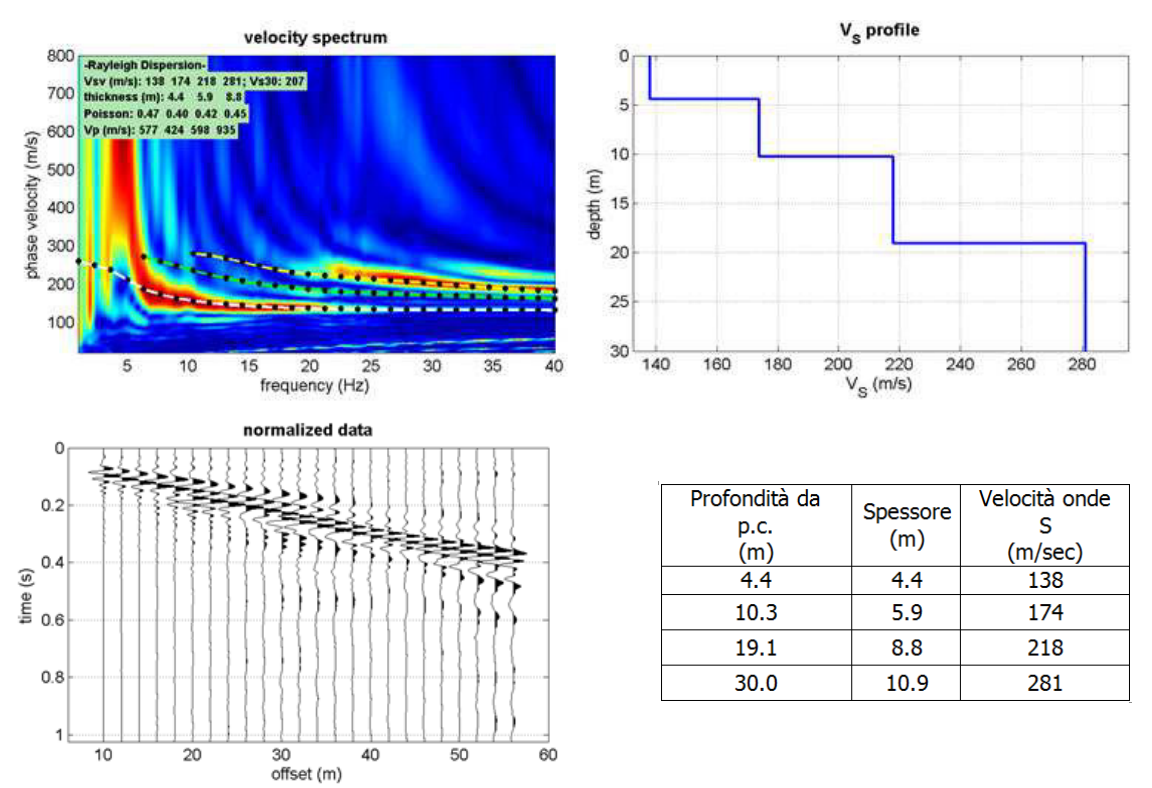


Figura 24 - Diagramma della curva di dispersione, diagramma velocità Vs/profondità e sismogramma relativi all'indagine MASW eseguita nell'area 105.2 di Cavazzona.

VARIANTE POC EX ART. 40 L.R. 20/2000 – AMBITI AND 168, AND 169 E AND 105.2 E AREA SCUOLA RELAZIONE GEOLOGICA, GEOTECNICA E SISMICA

Integrazioni a seguito parere geologico-sismico della Provincia di Modena del 8/06/2017

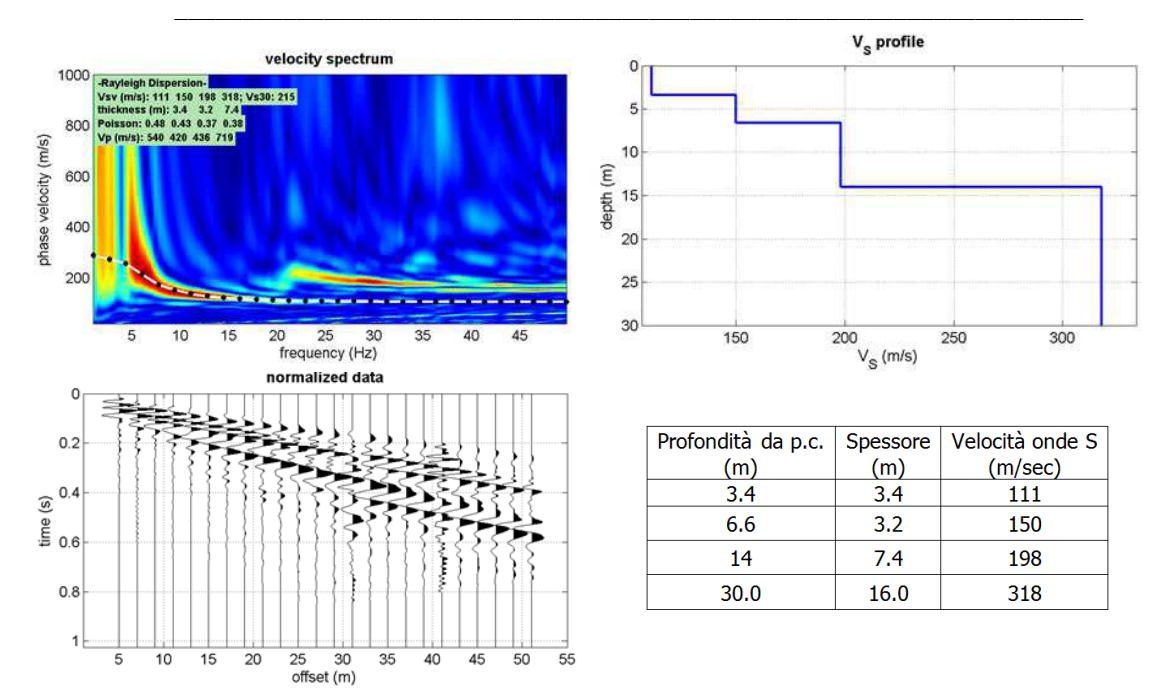


Figura 25 - Diagramma della curva di dispersione, diagramma velocità Vs/profondità e sismogramma relativi all'indagine MASW eseguita nell'Area Scuola di Cavazzona.

Nel complesso, le sismostratigrafie mostrano andamenti molto simili, con la Vs che aumenta con la profondità, tranne che per l'area di Manzolino, in cui si rileva una piccola inversione tra 5 e 10 m di profondità. Il primo sensibile contrasto di velocità si ha tra 15 e 20 m, ma senza mai raggiungere velocità delle onde s correlabili ad un bedrock sismico.

5. FATTORI DI AMPLIFICAZIONE SISMICA ED EFFETTI DI SITO

Sulla base delle stratigrafie ricavate dalle indagini effettuate in situ e dai dati bibliografici raccolti, in riferimento alla DGR 2193/2015, si possono collocare le aree in esame all'interno dell'ambito geomorfologico e litostratigrafico denominato "Margine" e, nello specifico, in quello di "tipo B", ovvero caratterizzato da spessore dei terreni fini superiore a 30 m; gli strati grossolani sovrastano altri strati di terreni fini presenti fino al substrato.

Fino a 20 m di profondità, infatti, le stratigrafie risultanti dalle CPT eseguite in situ hanno mostrato una netta prevalenza di terreni fini, principalmente argillosi, con rare lenti sabbiose di transizione, molto sottili. Le stratigrafie di pozzo non sono risultate molto attendibili e comunque individuano strati ghiaiosi di spessori non particolarmente rilevanti. Infine, la sezione stratigrafica nr. 066 del database regionale (Figura 26) mostra due livelli ghiaiosi tra 30 e 50 m di profondità, seguiti da circa 350 m di alternanze fra strati fini e strati sabbiosi, fino al contatto con il substrato marino.

VARIANTE POC EX ART. 40 L.R. 20/2000 – AMBITI AND 168, AND 169 E AND 105.2 E AREA SCUOLA RELAZIONE GEOLOGICA, GEOTECNICA E SISMICA

INTEGRAZIONI A SEGUITO PARERE GEOLOGICO-SISMICO DELLA PROVINCIA DI MODENA DEL 8/06/2017

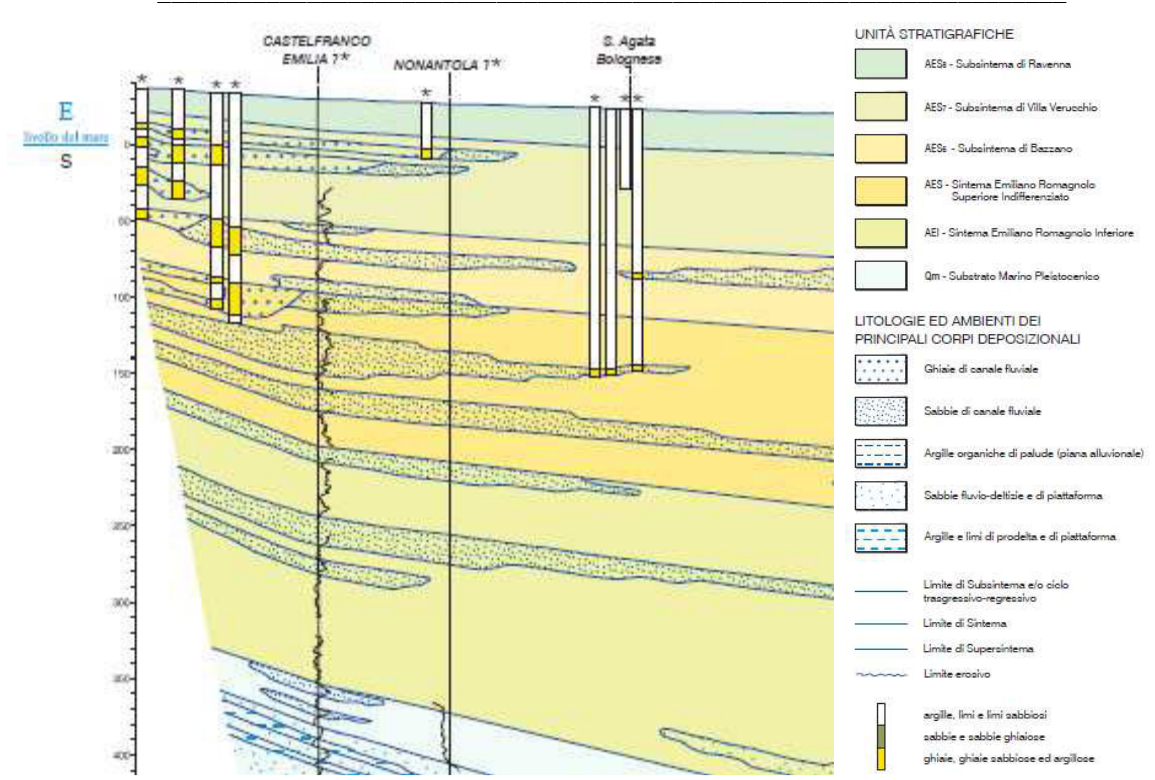


Figura 26 – Stralcio della sezione nr. 066 del database delle prove geognostiche e sezioni geologiche della Regione Emilia-Romagna.

Lo stesso prolungamento lineare dei profili di Vs ricavati in situ conduce al raggiungimento di profondità del bedrock sismico che variano da 100 a 190 m dal p.d.c.

A seguito delle integrazioni richieste dalla Provincia di Modena del 8/06/2017, per tutte le aree di studio si è reso necessario eseguire analisi di risposta sismica locale per individuare i fattori di amplificazione sismica del terreno, prescindendo dall'utilizzo delle tabelle della DGR 2193/2015.

Le analisi di risposta sismica locale sono state condotte utilizzando il codice di calcolo "STRATA"³, lineare equivalente, nel dominio delle frequenze.

I profili stratigrafici sono stati inseriti, fino a circa -20 m, sulla base dell'elaborazione delle prove penetrometriche CPT e CPTU eseguite nel 2014 e nel 2017, rappresentative della porzione di terreno con minore velocità delle onde di taglio. Oltre tale profondità, le stratigrafie sono state assunte uguali a quelle ricavabili dai pozzi per acqua precedentemente citati in questa relazione e presenti in Allegato 1. Laddove la stratigrafia del pozzo non è risultata sufficiente a descrivere la sequenza stratigrafica sino alla profondità stimata del bedrock sismico, la stratigrafia è stata integrata con l'analisi della Sezione nr. 066 (Figura 26).

I valori di Vs, fino a -30 m, sono stati calcolati dai profili MASW eseguiti per questo studio; da -30 m al bedrock sismico stimato, i valori sono stati estrapolati sulla

Dott. Geol. Valeriano Franchi, V.le Caduti in Guerra, 1 – 41121 Modena; tel. 059-226540; e-mail: valerianofranchi@tin.it

³ Kottke, A.R. & Rathje, E.M. (2008) – Technical Manual for Strata. PEER Report 2008, Pacific Earthquake Engineering Research Center, College of Engineering, University of California, Berkeley, 81 p.

VARIANTE POC EX ART. 40 L.R. 20/2000 – AMBITI AND 168, AND 169 E AND 105.2 E AREA SCUOLA RELAZIONE GEOLOGICA, GEOTECNICA E SISMICA

INTEGRAZIONI A SEGUITO PARERE GEOLOGICO-SISMICO DELLA PROVINCIA DI MODENA DEL 8/06/2017

base della linea di tendenza lineare, calcolata sui primi 30 m. Il valore della Vs per il bedrock sismico è stato assunto per definizione pari a quello convenzionale di 800 m/s.

In base all'estrapolazione lineare del profilo di Vs da MASW, la profondità del bedrock sismico è risultata pari a:

Gaggio:

Manzolino:
Cavazzona (area sportiva):

Cavazzona (area scuola):

150 m dal p.d.c.,
120 m dal p.d.c.,
100 m dal p.d.c.

L'analisi congiunta dei valori di Vs ottenuti dalle MASW e della frequenza del picco delle curve H/V (con ampiezza del rapporto superiore a 3), indicata nelle tavole di microzonazione sismica del territorio comunale di Castelfranco, ha permesso di definire anche la profondità di quella che può essere identificata come una importante superficie a significativo contrasto d'impedenza, più superficiale rispetto a quella del bedrock sismico di cui sopra, ma comunque importante da considerare ai fini dell'amplificazione sismica locale. A seguire si riportano i valori calcolati di tale profondità:

- Gaggio: **-50** m dal p.d.c., da una Vs superficiale di 193 m/s e f₀ = 1Hz (Vs all'interfaccia: 300 m/s);
- Manzolino: **-43** m dal p.d.c., da una Vs superficiale di 181 m/s e $f_0 = 1,09$ Hz (Vs all'interfaccia: 370 m/s);
- Cavazzona (area sportiva): -26 m dal p.d.c., da una Vs superficiale di 207 m/s e f₀ = 1,78Hz (Vs all'interfaccia: 300 m/s);
- Cavazzona (area scuola): -20 m dal p.d.c., da una Vs superficiale di 215 m/s e $f_0 = 1,78$ Hz (Vs all'interfaccia: 300 m/s).

Tali profondità sono riconducibili, con molta probabilità, al tetto del primo strato ghiaioso, la cui presenza, come risulta dai dati geologici precedentemente esposti, si rileva a profondità di 40 m per Gaggio, di 9, 22 e 44 m per Manzolino e di 20 m per Cavazzona.

Provata, quindi, l'esistenza di questa interfaccia potenzialmente importante per l'amplificazione sismica di sito, si è deciso di scomporre l'analisi di risposta sismica locale, per ogni area, in due sotto-analisi: una che vede la presenza del bedrock profondo; una che vede la presenza della sola interfaccia con le prime ghiaie.

Nelle analisi di risposta sismica locale la DGR 2193/2015 fa obbligo di utilizzare la terna di accelerogrammi di input individuata dal Servizio Geologico, Sismico e dei Suoli per l'intera Regione, opportunamente scalata al valore di PGA di riferimento del nodo della rete più prossimo all'area di studio, nelle fattispecie pari a:

Gaggio: 0,162g
Manzolino: 0,164g
Cavazzona (area sportiva): 0,164g
Cavazzona (area scuola): 0,164g

Variando spessori degli strati, Vs e curve di degrado dei materiali (utilizzando sia curve a disposizione dello scrivente per litologie simili, ricavate da indagini di laboratorio geotecnico da campioni estratti in contesti stratigrafici simili a quello di studio, sia le curve fornite dallo stesso programma di calcolo corredate dalle possibili incertezze), STRATA ha eseguito, per i 3 accelerogrammi, 100 analisi di risposta sismica da cui scaturiscono altrettanti spettri di risposta elastici in superficie.

I risultati complessivi (per SLV) sono sintetizzati nelle figure da 27 a 34, in cui vengono rappresentate la curva 84° percentile dello spettro di risposta in superficie (NON normalizzato) ottenuto da RSL e, per confronto, la sua forma normalizzata, lo spettro di Normativa normalizzato per l'area di studio: SLV, sottosuolo di tipo A e di tipo C. Si è optato per considerare lo spettro 84° percentile dei 100 restituiti per ottenere un risultato conservativo solitamente considerato efficace nella consuetudine operativa.

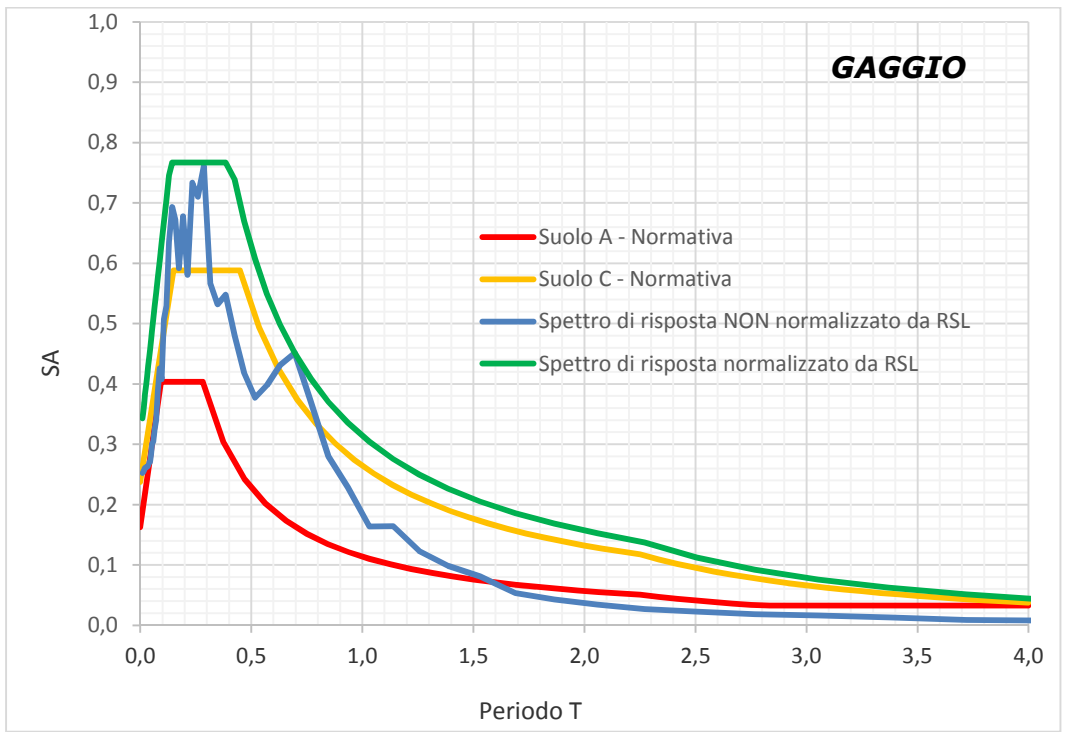


Figura 27 - Spettro di risposta visco-elastico (5% di smorzamento) relativo al sito in esame alla superficie attuale, ricavato dall'analisi di risposta sismica locale effettuata per questo studio presso l'area di Gaggio, considerando l'interfaccia risonante alla profondità di -50 m. Lo stesso viene confrontato con la sua forma normalizzata e con lo spettro di normativa per suolo A e per suolo C (SLV).

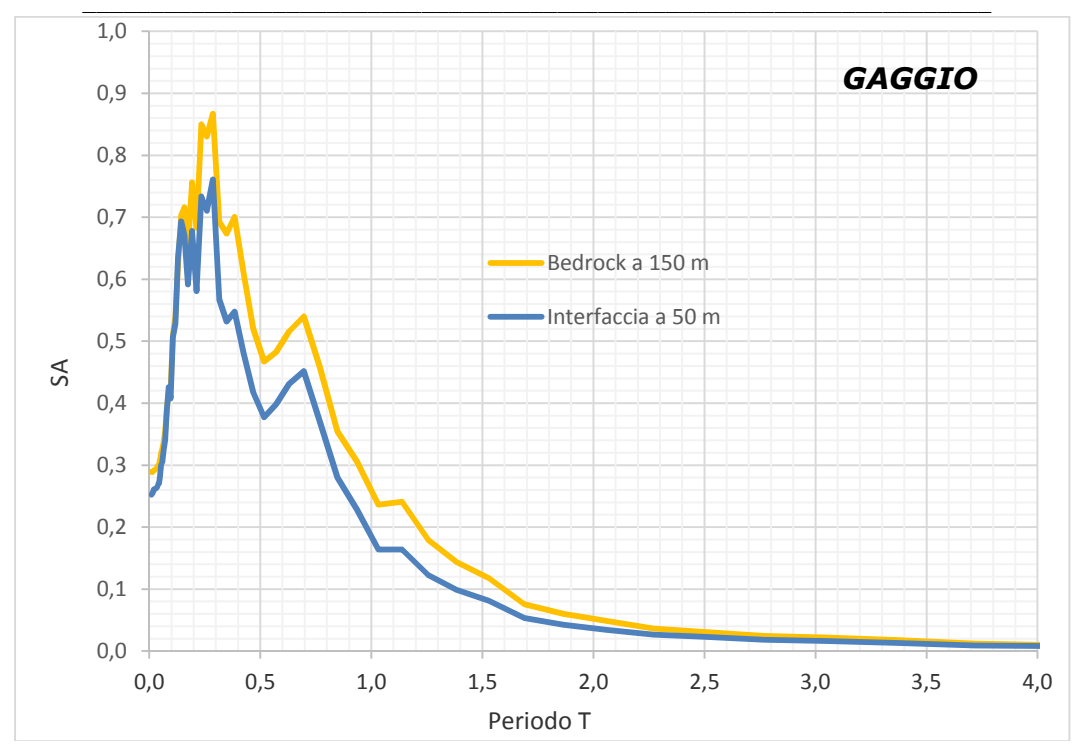


Figura 28 – Confronto tra gli spettri di risposta visco-elastici, NON normalizzati, ottenuti da analisi di risposta sismica locale considerando il bedrock sismico a -150 m e l'interfaccia risonante a -50 m.

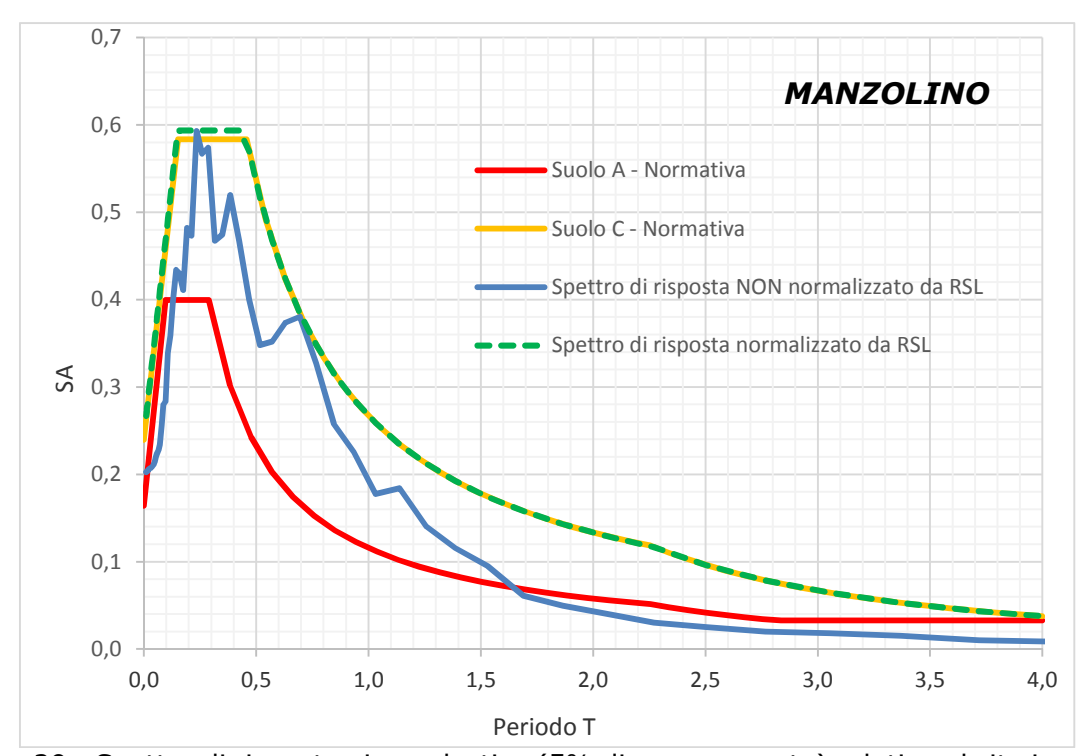


Figura 29 - Spettro di risposta visco-elastico (5% di smorzamento) relativo al sito in esame alla superficie attuale, ricavato dall'analisi di risposta sismica locale effettuata per questo studio presso l'area di Manzolino, considerando l'interfaccia risonante alla profondità di -44 m. Lo stesso viene confrontato con la sua forma normalizzata e con lo spettro di normativa per suolo A e per suolo C (SLV).

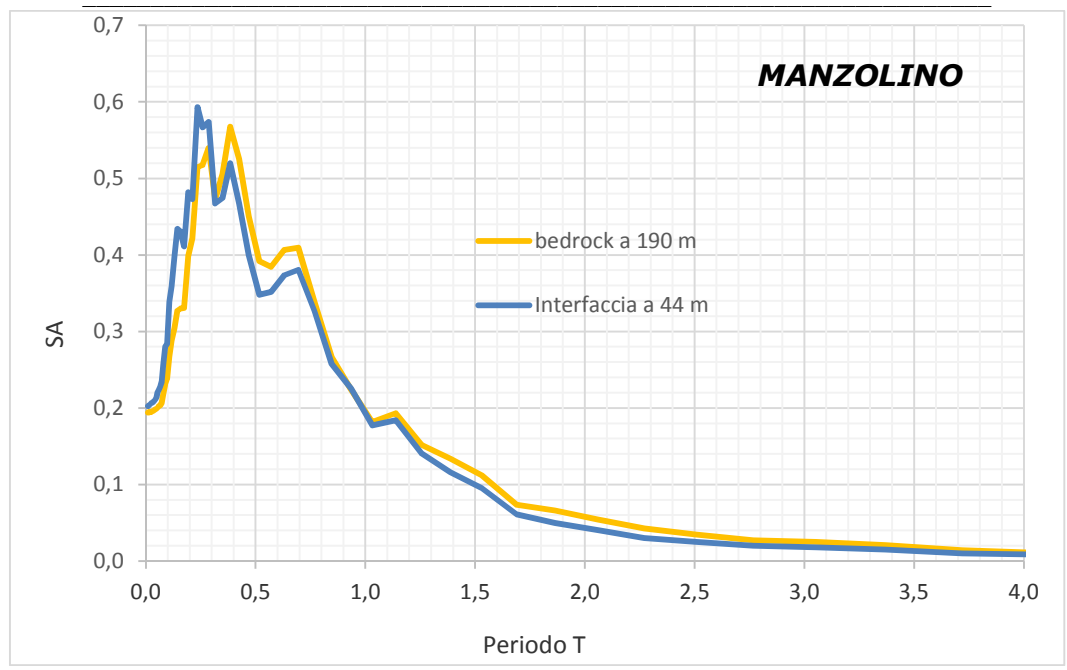


Figura 30 - Confronto tra gli spettri di risposta visco-elastici, NON normalizzati, ottenuti da analisi di risposta sismica locale considerando il bedrock sismico a -190 m e l'interfaccia risonante a -44 m.

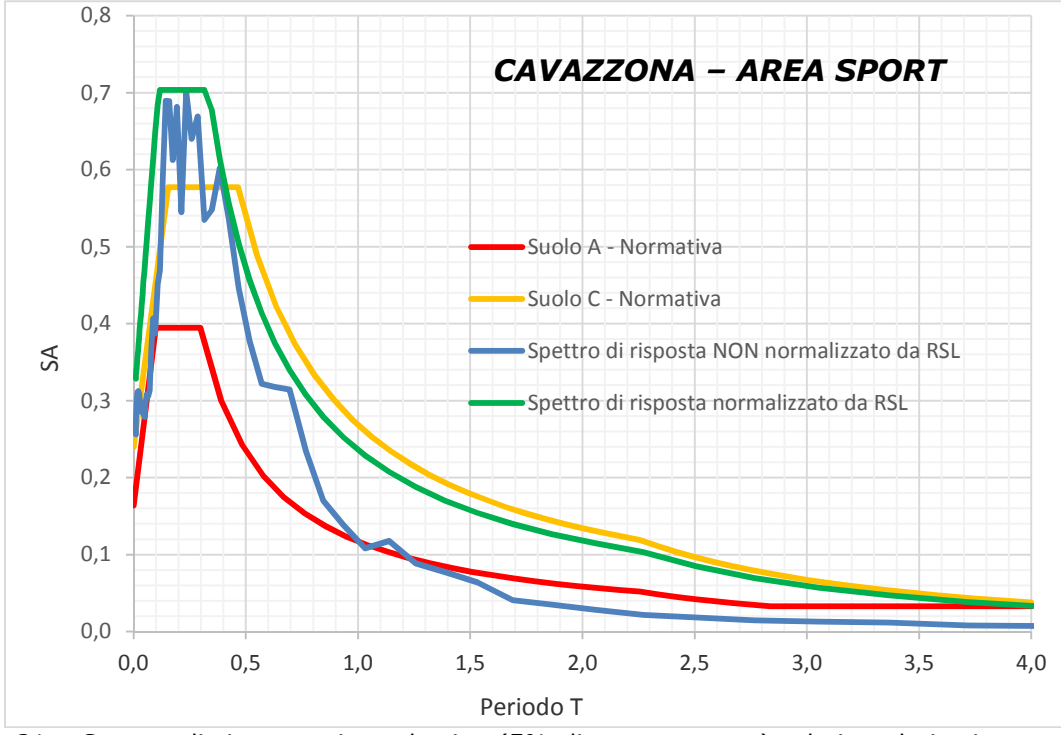


Figura 31 - Spettro di risposta visco-elastico (5% di smorzamento) relativo al sito in esame alla superficie attuale, ricavato dall'analisi di risposta sismica locale effettuata per questo studio presso l'area di Cavazzona (area sport), considerando l'interfaccia risonante alla profondità di -26 m. Lo stesso viene confrontato con la sua forma normalizzata e con lo spettro di normativa per suolo A e per suolo C (SLV).

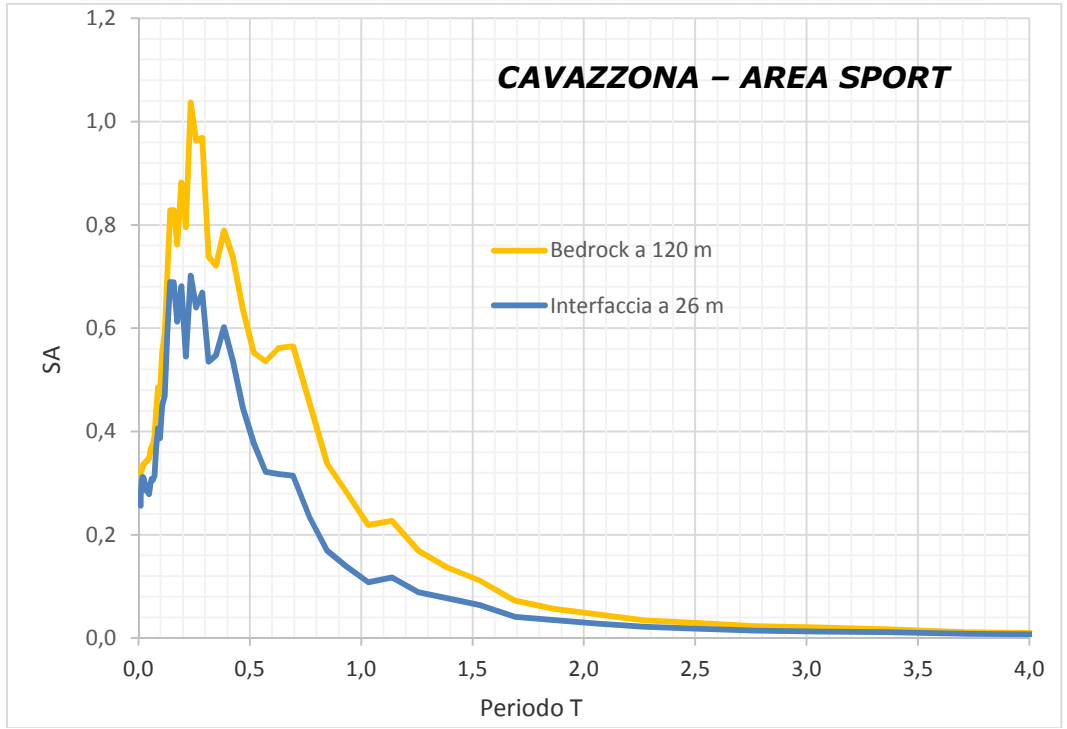


Figura 32 - Confronto tra gli spettri di risposta visco-elastici, NON normalizzati, ottenuti da analisi di risposta sismica locale considerando il bedrock sismico a -120 m e l'interfaccia risonante a -26 m.

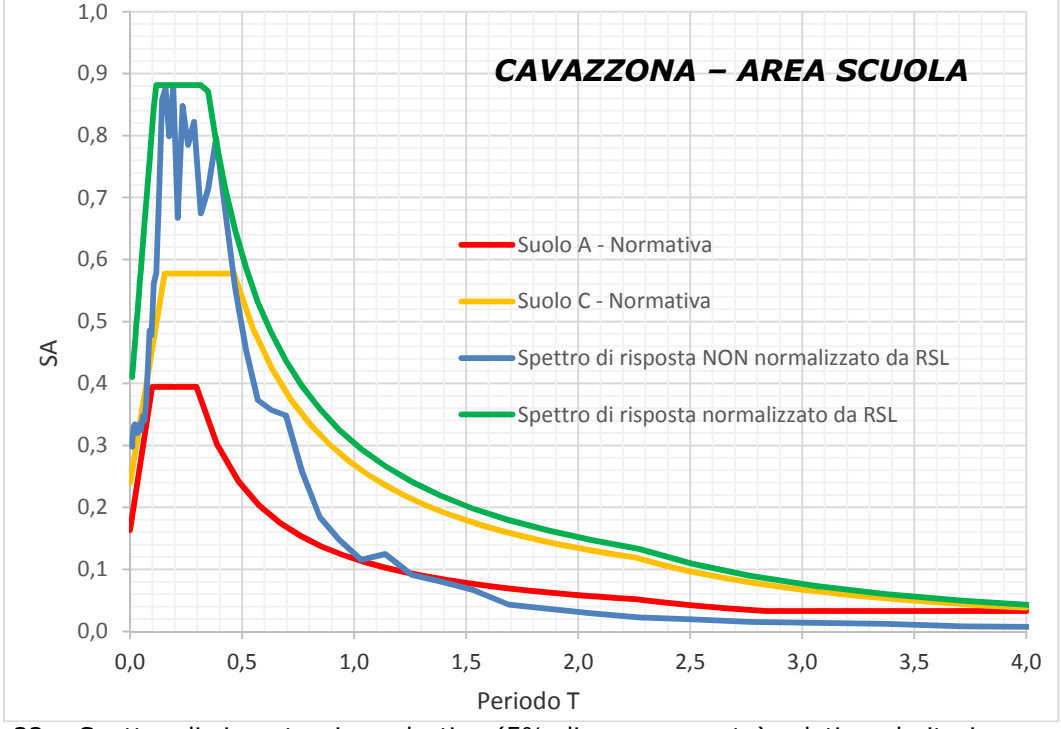


Figura 33 - Spettro di risposta visco-elastico (5% di smorzamento) relativo al sito in esame alla superficie attuale, ricavato dall'analisi di risposta sismica locale effettuata per questo studio presso l'area di Cavazzona (scuola), considerando l'interfaccia risonante alla profondità di -20 m. Lo stesso viene confrontato con la sua forma normalizzata e con lo spettro di normativa per suolo A e per suolo C (SLV).

VARIANTE POC EX ART. 40 L.R. 20/2000 – AMBITI AND 168, AND 169 E AND 105.2 E AREA SCUOLA RELAZIONE GEOLOGICA, GEOTECNICA E SISMICA

INTEGRAZIONI A SEGUITO PARERE GEOLOGICO-SISMICO DELLA PROVINCIA DI MODENA DEL 8/06/2017

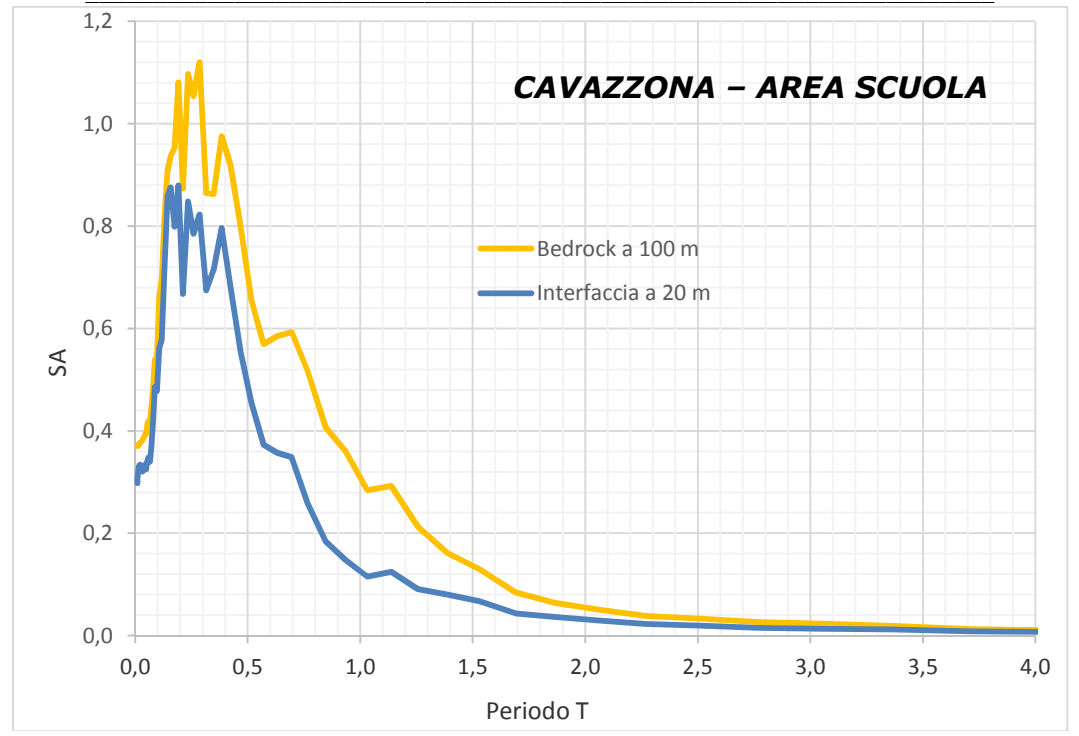


Figura 34 - Confronto tra gli spettri di risposta visco-elastici, NON normalizzati, ottenuti da analisi di risposta sismica locale considerando il bedrock sismico a -100 m e l'interfaccia risonante a -20 m.

Come si può vedere dall'esame delle figure da 27 a 34, l'analisi di risposta sismica locale è più conservativa rispetto all'approccio semplificato di Normativa per suolo C, tranne il caso di Manzolino; nel caso di Cavazzona-scuola lo spettro risulta molto più amplificato rispetto a quello di normativa per suolo C.

Nei casi di Gaggio e Cavazzona-sport, utilizzare il bedrock sismico piuttosto che l'interfaccia risonante superficiale porta a risultati più gravosi dal punto di vista dell'amplificazione locale; nel caso di Manzolino non vi è sostanziale differenza tra l'utilizzo del bedrock o dell'interfaccia.

I fattori di amplificazione, sensu DGR 2193/2015, nei vari casi esplorati dalla risposta sismica locale, sono i seguenti:

FA		GAG	GIO	MANZ	OLINO	CAVAZ SPO		CAVAZZONA SCUOLA	
	prof. input sismico	-50	-150	-44	-190	-26	-120	-20	-100
PGA		1,55	1,77	1,23	1,18	1,57	1,95	1,82	2,26
SI1		1,7	2,1	1,6	2	1,6	2,2	2,1	2,6
SI2		1,9	2,4	1,9	2,4	1,3	2,4	1,5	2,8
SI3		1,8	2,4	1,8	2,3	1,2	2,3	1,3	2,7

Tabella 9 – Sintesi dei fattori di amplificazione sismica per la PGA e per gli intervalli dell'intensità di Housner secondo DGR2193/2015, calcolati nei vari scenari di risposta sismica locale contemplati in questo studio.

VARIANTE POC EX ART. 40 L.R. 20/2000 – AMBITI AND 168, AND 169 E AND 105.2 E AREA SCUOLA RELAZIONE GEOLOGICA, GEOTECNICA E SISMICA

INTEGRAZIONI A SEGUITO PARERE GEOLOGICO-SISMICO DELLA PROVINCIA DI MODENA DEL 8/06/2017

5.1. Amplificazione topografica

Considerando le condizioni topografiche e morfologiche delle quattro aree di studio (pianura, superficie topografica sub-orizzontale, assenza di aree di cava colmate), il coefficiente di amplificazione topografica \mathbf{S}_{T} può essere considerato del tutto trascurabile.

5.2. Suscettibilità alla liquefazione

Considerata l'assenza di spessori superiori ad almeno 30/40 cm di sabbie o miscele sabbiose, in falda, nei primi 20 m dal p.d.c. indagati dalle prove penetrometriche appositamente eseguite in questo studio (per i quattro ambiti), è lecito ipotizzare, per le aree in esame, una probabilità alla liquefazione, in caso di sisma, molto bassa.

Per l'Area Scuola, la monotona presenza di argille e argille limose lungo tutti i 20 metri indagati dalle CPTU è ancora più evidente rispetto a tutte le altre aree.

La recente microzonazione sismica del territorio comunale, nella "Carta delle microzone omogenee in prospettiva sismica – MOPS" (Tavv. 7.2 e 7.3), realizzata con il contributo di cui all'OPCM 4007/20012, con il coordinamento della Regione Emilia-Romagna (Servizio Geologico, sismico e dei suoli) (Figura 35), che costituisce variante al PSC, conferma il quadro evidenziato da questo studio.

In particolare, l'area di Gaggio, pur non indagata dalla microzonazione sismica di PSC, è adiacente ad una Zona 1, costituita da depositi prevalentemente fini (limi e argille), talora intercalati da sottili lenti sabbiose e sabbioso-limose, con attenzione per instabilità da liquefazione (ZA_{LQ1}), legata principalmente alla presenza dell'asse di paleoalveo cartografato. L'area di Manzolino risulta anche questa non indagata dalla microzonazione sismica di PSC, ma risulta adiacente ad una Zona 2, costituita da depositi prevalentemente fini (limi e argille), intercalati da corpi ghiaiosi plurimetrici, a partire da una profondità di circa 20 m da p.c., e talora da sottili lenti sabbiose e sabbioso-limose.

L'area di Cavazzona risulta indagata dalla microzonazione sismica di PSC e ricade in Zona 2 (vedi sopra).

In ogni caso, per rispondere alle osservazioni della Provincia di Modena, è stata eseguita un'analisi di suscettività alla liquefazione in corrispondenza di tutte le verticali penetrometriche eseguite per questo studio, utilizzando l'algoritmo di calcolo sviluppato da Boulanger & Idriss (2014). Il metodo risulta generalmente più conservativo rispetto ad altri metodi semplificati riconosciuti dalla bibliografia scientifica, in grado di restituire indici di potenziale liquefazione che, nel caso della sua applicazione nel cratere degli eventi sismici del 2012, meglio si correlano a quanto effettivamente osservato in termini di manifestazioni superficiali del fenomeno della liquefazione.

VARIANTE POC EX ART. 40 L.R. 20/2000 – AMBITI AND 168, AND 169 E AND 105.2 E AREA SCUOLA RELAZIONE GEOLOGICA, GEOTECNICA E SISMICA

INTEGRAZIONI A SEGUITO PARERE GEOLOGICO-SISMICO DELLA PROVINCIA DI MODENA DEL 8/06/2017

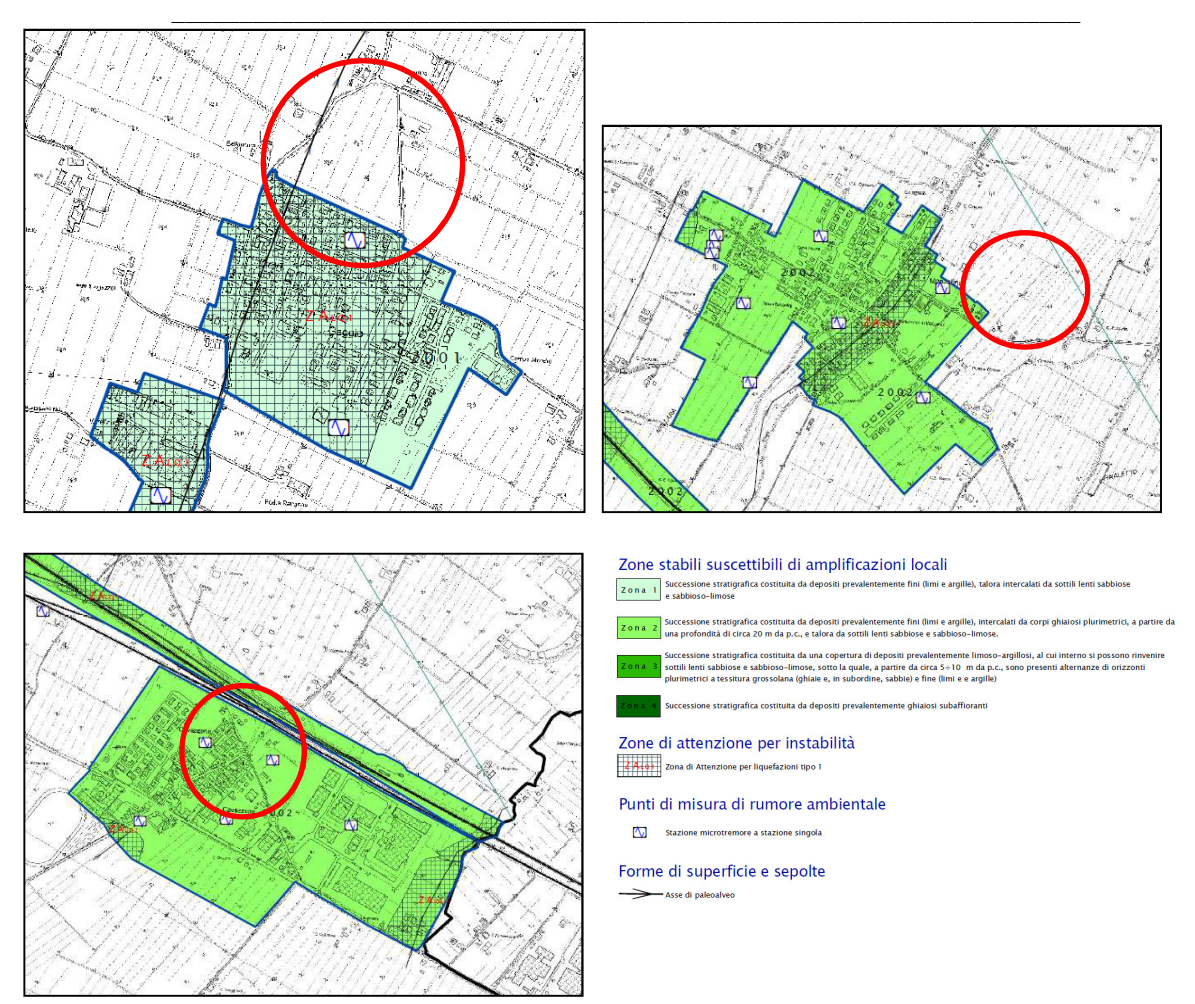


Figura 35 – Stralci delle Tavv. 7.2 e 7.3 "Carta delle microzone omogenee in prospettiva sismica – MOPS" della variante PSC in materia di microzonazione sismica. I cerchi rossi individuano le aree di studio. In alto a sinistra: area Gaggio; in alto a destra: area Manzolino; in basso a sinistra: aree Cavazzona.

La magnitudo di riferimento per la liquefazione utilizzata è stata selezionata dalla tabella in Allegato 1 delle "Linee guida per la gestione del territorio in aree interessate da liquefazione (LQ)", versione 1.0 (2017) della Commissione tecnica per la microzonazione sismica. Il suo valore è **5,98** per Castelfranco Emilia. Il valore di accelerazione massima al suolo (PGA) è stato calcolato applicando il codice di calcolo SASHA per la stima della pericolosità sismica da dati di sito (D'Amico & Albarello, 2007) ed è risultato pari a **0,35g** per <u>Gaggio</u>, **0,3g** per <u>Manzolino</u> e **0,33g** per <u>Cavazzona</u>. Questa scelta si avvale proprio delle più recenti indicazioni contenute nelle linee guida nazionali di cui sopra, che si ritengono più innovative rispetto alle indicazioni precedentemente indicate dalla letteratura in materia.

Il profilo di CSR (Rapporto di Sforzo Ciclico – Cyclic Stress Ratio) ricavato dalle analisi di risposta sismica locale effettuate, è stato inserito nel codice di calcolo di Boulanger & Idriss (2014) per il calcolo dell'IPL. Il risultato è riassunto in Tabella 10.

VARIANTE POC EX ART. 40 L.R. 20/2000 – AMBITI AND 168, AND 169 E AND 105.2 E AREA SCUOLA RELAZIONE GEOLOGICA, GEOTECNICA E SISMICA

INTEGRAZIONI A SEGUITO PARERE GEOLOGICO-SISMICO DELLA PROVINCIA DI MODENA DEL 8/06/2017

CP T			Gaggio				Man	zolino		Ca	ıvazz	ona s	ona sport Cavazzona scuola				ola
	prof. inpu t sism	-5	0	-15	50	-4	4	-1	90	-2	26	-1.	20	-2	20	-1	00
		PL	C cm	PL	C cm	PL	C cm	PL	C cm	P L	C c m	PL	C cm	PL	C cm	PL	C cm
1		1,3 1	2, 3	2,1	2, 6	0,2 3	0, 7	0,2 3	0,7	0	0	0	0	0,1 1	0,0 7	0,0 9	0,0 7
2		1,5 6	1, 5	1,7 8	1, 9	0,9 6	1, 3	0,9 2	1,2 6	0	0	0,0 4	0,2 6	0,0 9	0,0 7	0,1 1	0,0 8

Tabella 10 – Indice di potenziale liquefazione (PL) e cedimenti post-sismici (C) calcolati per ogni verticale penetrometrica inserendo nel codice di calcolo di Boulanger & Idriss (2014) il profilo di CSR ricavato dalle analisi di risposta sismica locale eseguite nel doppio scenario di profondità della superficie di immissione dell'input sismico.

Come si vede, l'indice di potenziale liquefazione è sempre inferiore a 2, ovvero indicativo di una pericolosità per liquefazione "bassa" in base a Sonmez (2003), tranne che nel caso delle CPT di Gaggio nello scenario con bedrock sismico a -150 m, in cui la soglia di 2 viene superata, anche se di poco, entrando in classe "moderata". Per il resto, l'Indice sembra diminuire progressivamente spostandosi da Gaggio a Cavazzona, dove raggiunge i valori minimi, fino ad essere pari a zero in gran parte degli scenari contemplati.

I cedimenti verticali post-sismici sono dell'ordine di 1-2 cm per Gaggio e minori o uguali ad 1 cm per tutti gli altri casi.

VARIANTE POC EX ART. 40 L.R. 20/2000 – AMBITI AND 168, AND 169 E AND 105.2 E AREA SCUOLA RELAZIONE GEOLOGICA, GEOTECNICA E SISMICA

INTEGRAZIONI A SEGUITO PARERE GEOLOGICO-SISMICO DELLA PROVINCIA DI MODENA DEL 8/06/2017

6. SINTESI DELL'ANALISI DEI DATI RACCOLTI E CONCLUSIONI

Dall'analisi integrata dei dati scientifici disponibili in bibliografia, delle osservazioni di campagna effettuate durante il sopralluogo e dei dati acquisiti ed elaborati grazie ai sondaggi geognostici e sismici eseguiti, è stato possibile caratterizzare il terreno delle aree in esame dai punti di vista litostratigrafico, geotecnico e sismico ed esprimere un giudizio sulla fattibilità degli interventi di trasformazione pervisti dalla Variante al POC.

Giudizio che è risultato essere positivo e che ha permesso di dichiarare la fattibilità degli interventi di trasformazione previsti dalla Variante al POC.

Dallo studio eseguito emerge come le aree si collochino in zone a debolissima inclinazione topografica, che permettono uno sviluppo urbanistico senza particolari problemi, con presenza, nei primi 20 m dal p.d.c. indagati dalle prove penetrometriche, di terreni fini, principalmente argillosi e argilloso-sabbiosi, con rare e sottilissime intercalazioni sabbiose, del tutto assimilabili a livelli di transizione. La resistenza geomeccanica dei terreni è risultata essere alquanto mediocre, con valori di coesione non drenata che tendono a diminuire da 4 a 10 m di profondità rispetto ai primi 4 m dal piano campagna. Questo deve indurre a porre attenzione, nelle successive fasi progettuali, alla verifica della profondità dei bulbi di pressione in relazione alle eventuali strutture che si prevede di realizzare.

Considerando la resistenza alla punta media, le CPT mostrano valori di Rp che raggiungono i minimi in corrispondenza degli intervalli di profondità 2-6 m e 4-10 m.

La soggiacenza della falda più superficiale, sulla scorta dei dati elaborati dal QC del PSC di Castelfranco Emilia, dovrebbe attestarsi intorno a -7/-10 m dal p.d.c., con un minimo a Manzolino in cui dovrebbe essere a circa -1 m; in occasione dell'esecuzione delle prove penetrometriche, il livello di falda è stato rilevato a -1 m dal p.d.c. a Gaggio, e a -1,6 m dal p.d.c. a Manzolino; a Cavazzona la falda è stata rilevata a circa -1,5 m.

Per la caratterizzazione sismica del terreno presente nei quattro ambiti d'interesse, sono stati utilizzati i dati ricavati da altrettanti stendimenti sismici realizzati all'interno di ogni area d'indagine, su terreno naturale.

I dati elaborati hanno restituito valori di Vs_{30} che permettendo di assegnare ai terreni in esame la categoria di suolo \mathbf{C} "Depositi di terreni a grana grossa mediamente addensati o terreni a grana fine mediamente consistenti, con spessori superiori a 30 m caratterizzati da graduale miglioramento delle proprietà meccaniche con la profondità e valori del V_{S30} compresi tra 180 m/s e 360 m/s (ovvero $15 < N_{SPT30} < 50$ nei terreni a grana grossa e $70 < c_{u30} < 250$ kPa nei terreni a grana fina)".

Sono stati, inoltre, determinati i fattori litostratigrafici di amplificazione sismica in base a quanto disposto dalla DGR 2193/2015, a valle dell'esecuzione di un'analisi di risposta sismica locale che, per le particolari condizioni stratigrafiche locali, è stata suddivisa in due scenari distinti, per ogni area, in base alla profondità del bedrock sismico e della principale superficie di risonanza superficiale, non assimilabile a bedrock sismico, ma comunque indice della presenza di sensibile

Dott. Geol. Valeriano Franchi, V.le Caduti in Guerra, 1 – 41121 Modena; tel. 059-226540; e-mail: valerianofranchi@tin.it

COMUNE DI CASTELFRANCO EMILIA (MO) VARIANTE POC EX ART. 40 L.R. 20/2000 – AMBITI AND 168, AND 169 E AND 105.2 E AREA SCUOLA RELAZIONE GEOLOGICA, GEOTECNICA E SISMICA

INTEGRAZIONI A SEGUITO PARERE GEOLOGICO-SISMICO DELLA PROVINCIA DI MODENA DEL 8/06/2017

contrasto d'impedenza non trascurabile per la risposta di sito. L'amplificazione topografica è risultata trascurabile.

In considerazione della stratigrafia evidenziata dalle prove eseguite in situ e dei dati bibliografici consultati, si è valutata come molto improbabile l'occorrenza di fenomeni di liquefazione in caso di sisma; l'ipotesi è stata provata eseguendo su ogni verticale penetrometrica un calcolo dell'Indice di Potenziale Liquefazione attraverso la metodologia proposta da Boulanger & Idriss (2014). La pericolosità alla liquefazione (sensu Sonmez, 2003) è risultata da "bassa" a "moderata" per Gaggio e "bassa" per le altre aree.

In generale, la configurazione litostratigrafia, geotecnica e sismica rende possibile ipotizzare l'adozione di fondazioni dirette superficiali, il cui dimensionamento strutturale dovrà tener conto dei parametri geotecnici e sismici in questa sede indicati, in relazione alle reali strutture fondali ed ai relativi carichi trasmessi al terreno. Si dovrà porre particolare attenzione al decadimento delle proprietà geomeccaniche dei terreni con la profondità ed ai conseguenti possibili cedimenti a breve e lungo termine, anche in condizione post-sismica.

Modena, 26/06/2017

Il Tecnico incaricato

Dott. Geol. Valeriano Franchi

Allegato 1

Indagini geognostiche Archivio dati geognostici della Regione Emilia-Romagna

1 1	TUBAGGIO			STRATIGRAFIA P645					
rofondità	! int.	i tipo	!						
	! in mm	!	! profor	dità !	! litologi	ia			
nr de see in		1	i		Ä				
0 ! 127	<u> </u>	.!	! da m	la m 1					
!!	!	!	!	1	!	<u> </u>			
!!	!	!	! 0	! 33 !	! TERRENO VEGET	ALE			
!	!	!	!	! 42 !	! SABBIA				
!	!	!	!	! 91 !	! ARGILLA				
			1		GHIAIA CON SA	BBIA			
		!	! 124	! ARGILLA E LIM					
		!	! 127 !	GHIAIA E SABB					
rofondità	! int.	! tipo	!	! !					
	! in mm	1	!	! !	•				
m!am	!	1	. 1	!					
124 ! 127	! 114	!	!	! !					
!	!	!	1	! !	!				
!	!	.!	!	! !	!				
. !	!	!	1	! !	!				
. !	!	!		1 !		1			
-				1 1	<u> </u>				
			1	· · ·					
				· ' '		. A second second			
TI POMPA E I	MOTORE		1	1 1					
				!!					
po ELETTROS	OMMERSA			!!					
	OMMERSA installaz	ione20 ML	!	!					
ipo.ELETTROS rofondità di	OMMERSA installaz		!						
ipo.ELETTROS rofondità di	OMMERSA installaz	ione20 ML	!						
ipo.ELETTROS rofondità di	OMMERSA installaz	ione20 ML	!						
po.ELETTROS rofondità di otore (tipo	OMMERSA installaz	ione20 ML.	!	!! !!					
po.ELETTROS rofondità di otore (tipo	OMMERSA installaz	ione20 ML.							
po.ELETTROS rofondità di otore (tipo	OMMERSA installaz	ione20 ML.							
po.ELETTROS rofondità di otore (tipo	OMMERSA installaz	ione20 ML.							
po.ELETTROS Pofondità di Ptore (tipo	OMMERSA installaz	ione20 ML.							
po.ELETTROS Pofondità di Ptore (tipo	OMMERSA installaz	ione20 ML.							
po.ELETTROS ofondità di tore (tipo NOGRAFIA :	OMMERSA installaz	ione20 ML.							
po.ELETTROS ofondità di tore (tipo	OMMERSA installaz	ione20 ML.							
po.ELETTROS ofondità di tore (tipo NOGRAFIA :	OMMERSA installaz	ione20 ML.							
po.ELETTROS ofondità di tore (tipo NOGRAFIA :	OMMERSA installaz	ione20 ML.							
po.ELETTROS ofondità di tore (tipo NOGRAFIA :	OMMERSA installaz	ione20 ML.							
po.ELETTROS ofondità di tore (tipo NOGRAFIA :	OMMERSA installaz	ione20 ML.							
po.ELETTROS ofondità di tore (tipo NOGRAFIA :	OMMERSA installaz	ione20 ML.							
po.ELETTROS ofondità di tore (tipo NOGRAFIA :	OMMERSA installaz	ione20 ML.							
po.ELETTROS ofondità di tore (tipo NOGRAFIA :	OMMERSA installaz	ione20 ML.							
po.ELETTROS ofondità di tore (tipo NOGRAFIA :	OMMERSA installaz	ione20 ML.							
po.ELETTROS ofondità di tore (tipo NOGRAFIA :	OMMERSA installaz	ione20 ML.							
po.ELETTROS ofondità di tore (tipo NOGRAFIA :	OMMERSA installaz	ione20 ML.							
po.ELETTROS Pofondità di otore (tipo ONOGRAFIA :	OMMERSA installaz	ione20 ML.							
po.ELETTROS Pofondità di otore (tipo ONOGRAFIA :	OMMERSA installaz	ione20 ML.							

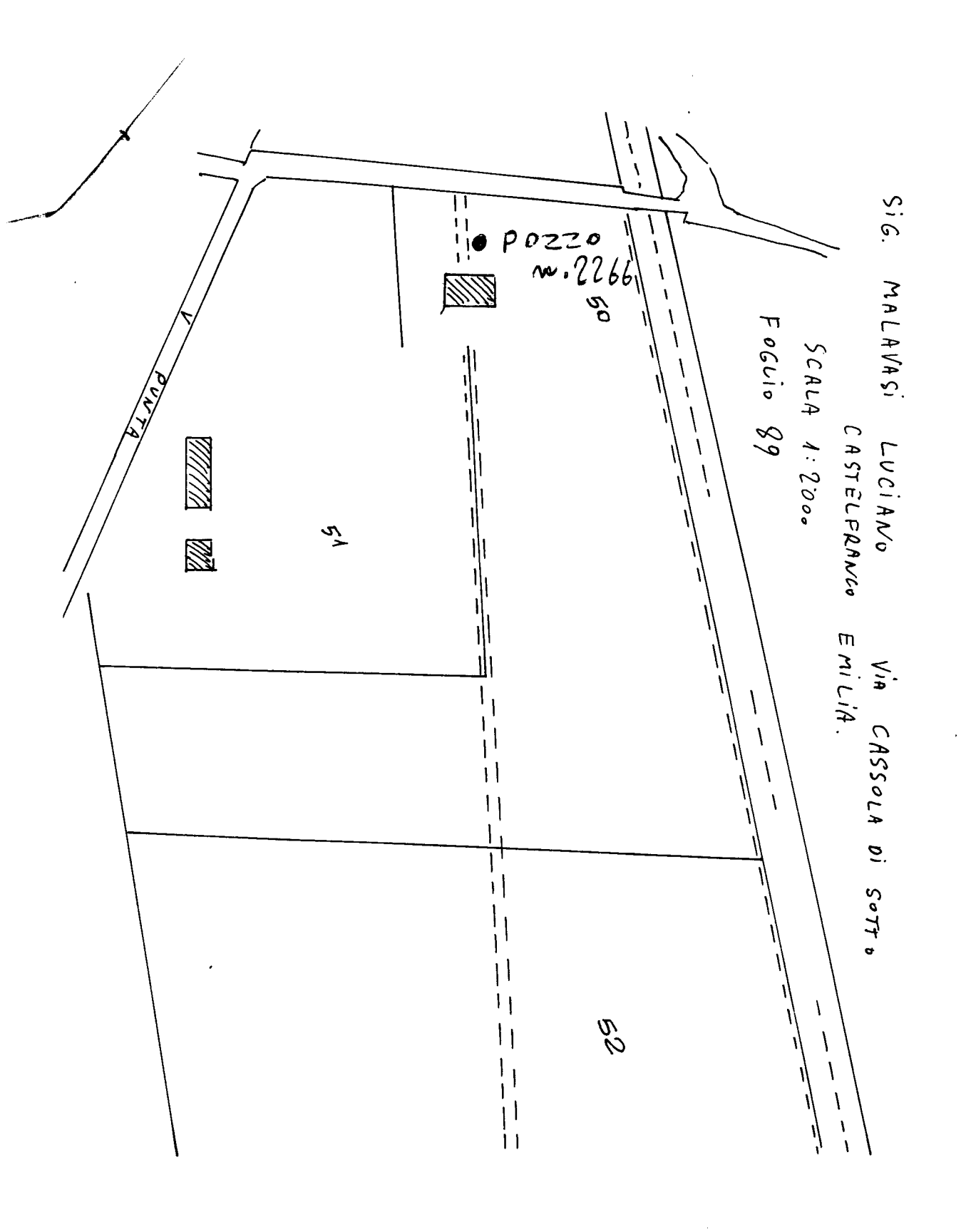
POZZO AD USO DOMESTICO

P669

scheda di denuncia 🗢

COMPRENSORIO 1 4 COMUNE 4 D	NUMERO PROGRESSIVO 2 2 6 6
-Ditta titolare del pozzo: MALAVAS	
residente a ASTELFRANCO EMILIA in	Via PUNTA K
	oelità -45502H S. DITO, Mapp. No 50 /Fg. 8
-Data perforazione: 19 18-14-10; -Ditta :	perforatrice: 163450 AEVES
Parte riservata alla Ditta	Parte riservata all'Ufficio Tecnico Com.le
Garatteristiche del pozzo:	Localizzazione del pozzo
avenpozzo (si o no): N >	Longit. Latit. Ha.
ø dei tubi: mm	Quota piano campagna:m.s.l.m.
profondità mt	STRATIGRAFIA DEL TERRENO
Usi cui è destinata l'acqua -familiare -abbeveraggio bestiame -inaffiamento orto -inaffiamento giardino Portata: lt./sec. Consumo giornaliero: me. ql. La Ditta sottoscritta afferma, sotto la propria responsabilità, che la presente dichiarazione è completa e veritiera: data: M. Mariany Lagran	Natura dei terreni e indicazione delle falde acquifere attraversate (fenestrature) -da mt

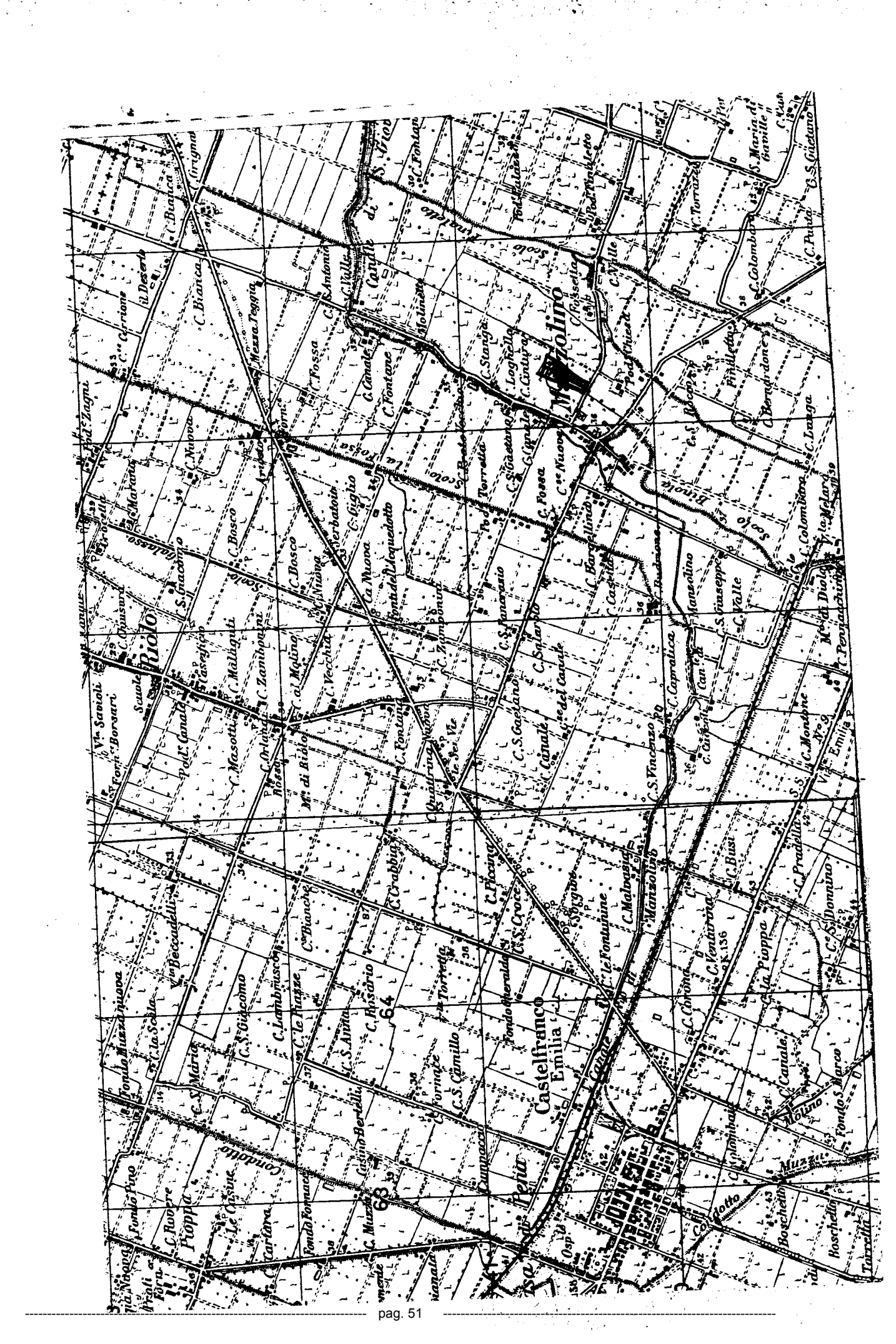
N.B.: Qualora la Ditta sia in possesso di referti di analisi dell'acqua del pozzo, rilasciati da Laboratori o Gabinetti, è invitata ad allegarne copia.

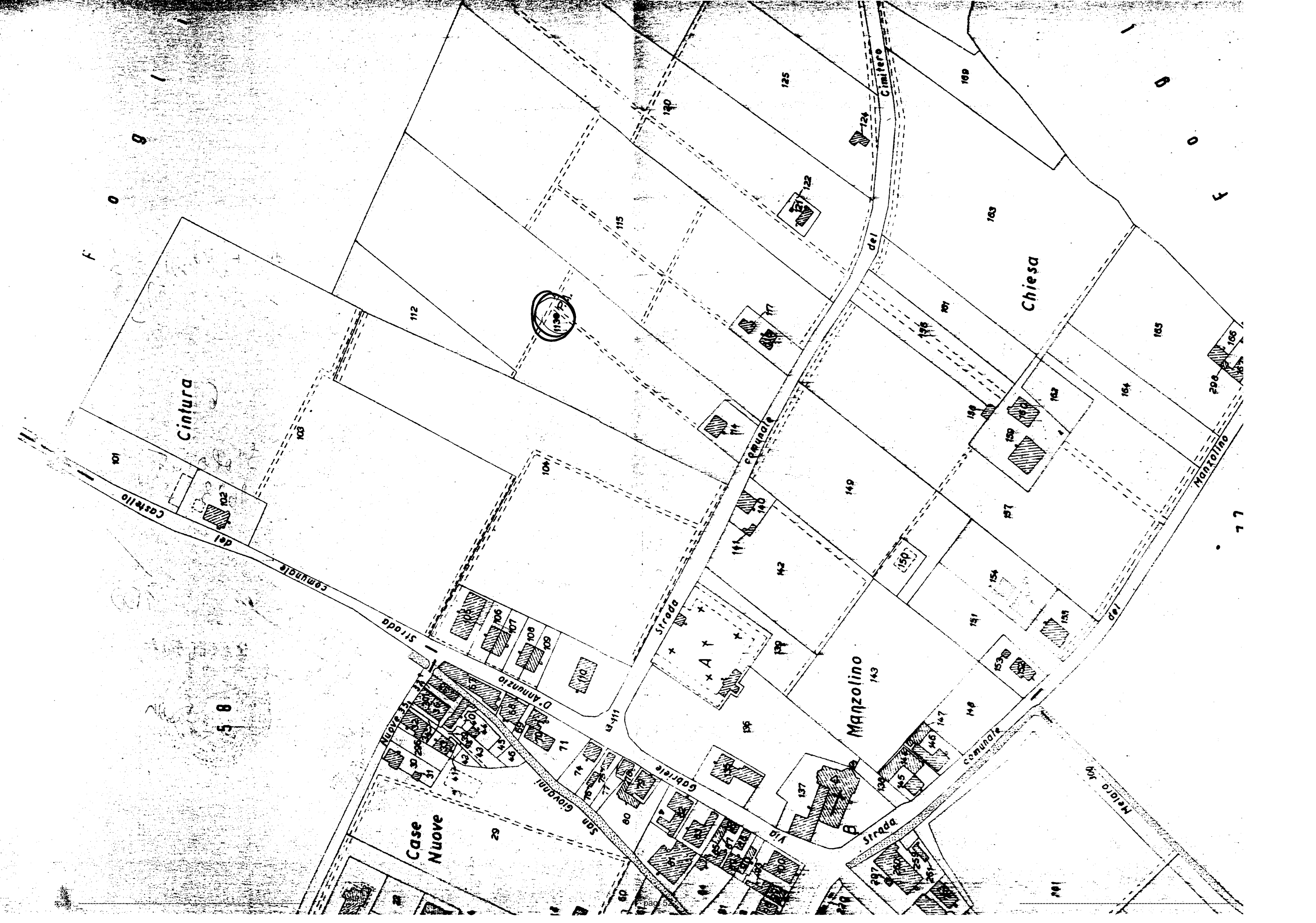


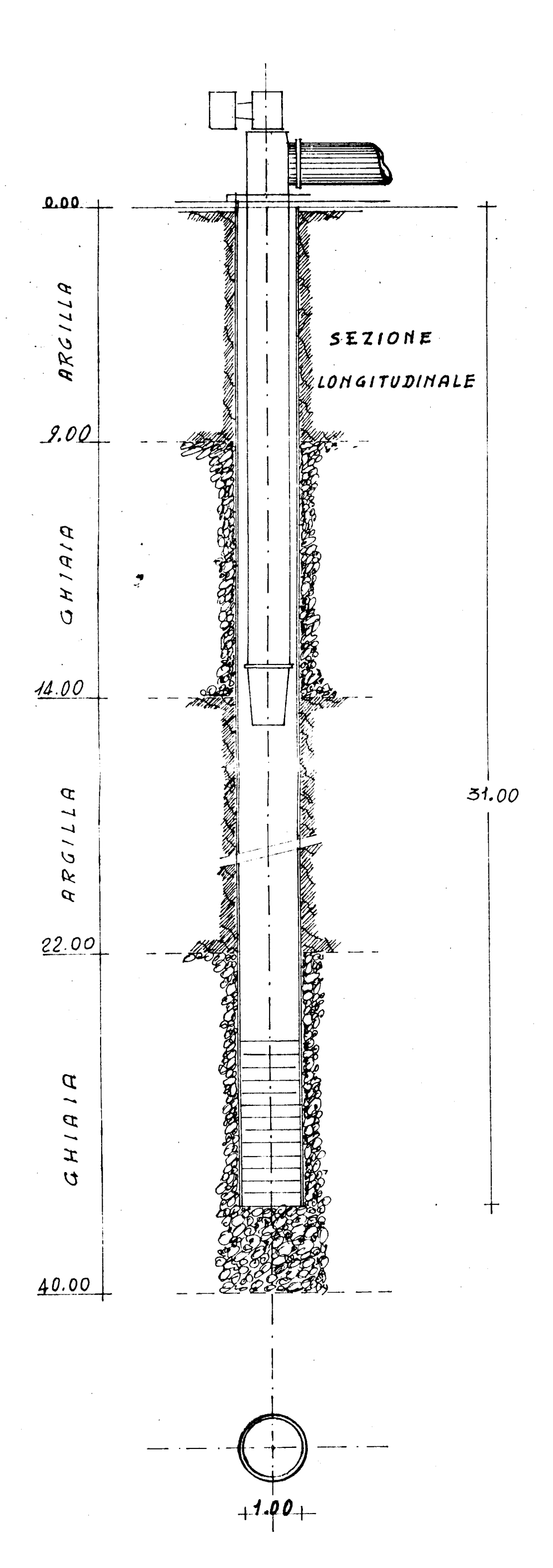
pag. 49

P680

Pratica No Ditta SPOLZING GEOVANNINA residente a Castelfranco E. in Via _ Pozzo ad uso irrigazione ir Frazione Manzolino Località Via G Data di uttimazione della perforazione: Ditta perforatrice: Baruffato CARATTERISTICHE DEL POZZO *avanpozzo (si o no) no	Comune di <u>Castelfranco E.</u> Simutero 7 Mapp.Nº 113 /Fg.59
residente a Castelfranco E. in Via	STRATIGRAFIA DEL TERRENO dicare la natura dei terreni e le ELDE ACQUIFERE attraversati a mt. 0,00 a mt. 9,00 argilla a mt. 9,00 a mt. 14,00 ghiai.
Pozzo ad uso irrigazione ir Frazione Manzolino Località Via C Data di uttimazione della perforazione: Baruffato CARATTERISTICHE DEL POZZO *avanpozzo (si o no) no Inc *diametro interno tubi mm. 100 tubo Mannesmann *profondità mt. 31 EQUIPAGGIAMENTO *tipo della pompa M.P. Ruggerini RA 95 Cv. 10	STRATIGRAFIA DEL TERRENO dicare la natura dei terreni e le ELDE ACQUIFERE attraversati a mt. 0,00 a mt. 9,00 argilla a mt. 9,00 a mt. 14,00 ghiai.
Pozzo ad uso irrigazione in Frazione Manzolino Località Via G Data di uttimezione della perforazione:	STRATIGRAFIA DEL TERRENO dicare la natura dei terreni e le ELDE ACQUIFERE attraversati a mt. 0,00 a mt. 9,00 argilla a mt. 9,00 a mt. 14,00 ghiai.
Frazione Manzolino Località Via Contra di uttimazione della perforazione: Ditta perforatrice: Baruffato CARATTERISTICHE DEL POZZO *avanpozzo (si o no) no Inc *diametro interno tubi mm. 100 tubo Mannesmann *profondità mt. 31 EQUIPAGGIAMENTO *tipo della pompa M.P. Ruggerini RA 95 Cv. 10	STRATIGRAFIA DEL TERRENO dicare la natura dei terreni e le ELDE ACQUIFERE attraversati a mt. 0,00 a mt. 9,00 argilla a mt. 9,00 a mt. 14,00 ghiai.
*avanpozzo (si o no) no Inc. *diametro interno tubi mm. 100	STRATIGRAFIA DEL TERRENO dicare la natura dei terreni e le proper de la matura dei terreni e le proper de la mt. 0,00 a mt. 9,00 argilla a mt. 9,00 a mt. 14,00 ghiai.
*avanpozzo (si o no) no Inc. *diametro interno tubi mm. 100	STRATIGRAFIA DEL TERRENO dicare la natura dei terreni e le proper de la matura dei terreni e le proper de la mt. 0,00 a mt. 9,00 argilla a mt. 9,00 a mt. 14,00 ghiai.
*avanpozzo (si o no) no Inc *diametro interno tubi mm. 100 tubo Mannesmann *profondità mt. 31 -d. *tipo della pompa M.P. Ruggerini RA 95	dicare la natura dei terreni e le proprie de la matura dei terreni e le proprie de la mat. O.00 a mt. 9.00 argilla a mt. 9.00 a mt. 14.00 ghiai.
*avanpozzo (si o no) no Inc *diametro interno tubi mm. 100 tubo Mannesmann *profondità mt. 31 -d. *tipo della pompa M.P. Ruggerini RA 95	dicare la natura dei terreni e le proprie de la matura dei terreni e le proprie de la mat. O.00 a mt. 9.00 argilla a mt. 9.00 a mt. 14.00 ghiai.
*diametro interno tubi mm. 100 tubo Mannesmann *profondità mt. 31 -d. EQUIPAGGIAMENTO *tipo della pompa M.P. Ruggerini RA 95	a mt. 0,00 a mt. 9,00 argilla a mt. 9,00 a mt. 14,00 ghiai.
tubo Mannesmann *profondità mt. 31 EQUIPAGGIAMENTO *tipo della pompa M.P. Ruggerini RA 95 Cv. 10	a mt. 0,00 a mt. 9,00 argilla a mt. 9,00 a mt. 14,00 ghiai.
*profondità mt. 31 EQUIPAGGIAMENTO *tipo della pompa M.P. Ruggerini RA 95 Cv. 10	a mt. 9,00 a mt. 14,00 ghiai
*tipo della pompa M.P. Ruggerini RA 95	a mt. 9,00 a mt. 14,00 ghiai
*tipo della pompa M.P. Ruggerini RA 95	
*tipo della pompa M.P. Ruggerini RA 95	
M.P. Ruggerini RA 95	- mt 14 00 a mt 22.00 argilla
*potenza Cv 10	9 mt. 17,00 8 mt. ==10
· KWa	a mt. 22,00 a mt. 40,00 ghiai
*prevalenza mt	
*portata lt/sec. 9 -d	a mt. 40,00 a mt. 44,00 argilla
	a mt. 44.00 a mt. 70.00 ghiai
-Portata pozzo:lt/sec. <u>16</u>	
	a mta mt
ha. 2 are 19 ca. 20	
-Consumo giornaliero (24 ore):, -d metri cubi 190	a mt a mt
metri cubi	
	Localizzazione del pozzo
La Ditta sottoscritta afferma,sotto La propria responsabilità,che la pre=	ong. Lat. Ha.
sente dichiarazione è completa e ves	uota piano campagna:m.s.l.m.
ritiera.	
Data 27/9/1977	NNOTAZIONI:
Firma Spobino Giovannine	











COMUNE DI CASTELFRANCO E.

DERIVAZIONE ACQUE PUBBLICHE

DAL SOTTOSUOLO

DITTA: SPOLZINO GIOVANNINA

VIA Cimitero nº 7

Manzolino - Castefranco E.

POZZO ARTESIANO

POMPA

STRATIGRAFIA DEL TERRENO

ATTRAVERSATO DAL POZZO

IL TECHICO

VARIANTE POC EX ART. 40 L.R. 20/2000 – AMBITI AND 168, AND 169 E AND 105.2 E AREA SCUOLA RELAZIONE GEOLOGICA, GEOTECNICA E SISMICA

INTEGRAZIONI A SEGUITO PARERE GEOLOGICO-SISMICO DELLA PROVINCIA DI MODENA DEL 8/06/2017

Allegato 2

Indagini geognostiche eseguite per questo studio (CPT e CPTU)

Dott. Geol. Valeriano Franchi, V.le Caduti in Guerra, 1 – 41121 Modena; tel. 059-226540; e-mail: valerianofranchi@tin.it

PROVA PENETROMETRICA STATICA

Committente: Dott. Grol. Valeriano Franchi Cantiere: 168AND - Gaggio Località: Castelfranco E MO	

Caratteristiche Strumentali PAGANI 100 kN

Rif. Norme	ASTM D3441-86
Diametro Punta conica meccanica	35,7
Angolo di apertura punta	60
Area punta	10
Superficie manicotto	150
Passo letture (cm)	20
Costante di trasformazione Ct	10

PROVA ... Nr.1

Committente: Dott. Grol. Valeriano Franchi Strumento utilizzato: PAGANI 100 kN Prova eseguita in data: 24/10/2016 Profondità prova: 20,60 mt Località: Castelfranco E. – MO Livello falda= -1,0 m da p.c.

Profondità	Lettura punta	Lettura laterale	qc	fs	qc/fs	fs/qcx100
(m)	(Kg/cm²)	(Kg/cm²)	(Kg/cm²)	(Kg/cm²)	Begemann	(Schmertmann)
0,20	0,00	0,0	0,138		0,099	1014,5
0,40	13,00	34,0	13,138		11,596	8,6
0,60	55,00	72,0	55,138	2,0	27,569	3,6
0,80	60,00	90,0	60,138	2,067	29,094	3,4
1,00	56,00	87,0	56,138		19,581	5,1
1,20	38,00	81,0	38,276		27,34	3,7
1,40	23,00	44,0	23,276		15,866	6,3
1,60	16,00	38,0	16,276		17,445	5,7
1,80	17,00	31,0	17,276		32,413	3,1
2,00	17,00	25,0	17,276		28,793	3,5
2,20	10,00	19,0	10,414		31,273	3,2
2,40 2,60	12,00 16,00	17,0 30,0	12,414 16,414		13,305	7,5
2,80	15,00	21,0	15,414		41,035 16,521	2,4 6,1
3,00	11,00	25,0	11,414		24,441	4,1
3,20	14,00	21,0	14,552		31,161	3,2
3,40	16,00	23,0	16,552		27,587	3,6
3,60	6,00	15,0	6,552	0,333	19,676	5,1
3,80	9,00	14,0	9,552		35,775	2,8
4,00	6,00	10,0	6,552	0,2	32,76	3,1
4,20	9,00	12,0	9,69		29,099	3,4
4,40	6,00	11,0	6,69		33,45	3,0
4,60	5,00	8,0	5,69		14,225	7,0
4,80	6,00	12,0	6,69	0,267	25,056	4,0
5,00	32,00	36,0	32,69	0,533	61,332	1,6
5,20	14,00	22,0	14,828	0,467	31,752	3,1
5,40	24,00	31,0	24,828		53,165	1,9
5,60	6,00	13,0	6,828	0,4	17,07	5,9
5,80	7,00	13,0	7,828	0,4	19,57	5,1
6,00	9,00	15,0	9,828		29,514	3,4
6,20	6,00	11,0	6,966		20,919	4,8
6,40	9,00	14,0	9,966		37,326	2,7
6,60	12,00	16,0	12,966		19,439	5,1
6,80	9,00	19,0	9,966		29,928	3,3
7,00	7,00	12,0	7,966		17,058	5,9
7,20 7,40	7,00 6,00	14,0 10,0	8,104 7,104		30,352 26,607	3,3 3,8
7,40	6,00	10,0	7,104		26,607	3,8
7,80	7,00	11,0	8,104		30,352	3,3
8,00	5,00	9,0	6,104		22,861	4,4
8,20	6,00	10,0	7,242		27,124	3,7
8,40	7,00	11,0	8,242		24,751	4,0
8,60	8,00	13,0	9,242		23,105	4,3
8,80	7,00	13,0	8,242		24,751	4,0
9,00	6,00	11,0	7,242	0,333	21,748	4,6
9,20	7,00	12,0	8,38	0,333	25,165	4,0
9,40	6,00	11,0	7,38		22,162	4,5
9,60	7,00	12,0	8,38		31,386	3,2
9,80	8,00	12,0	9,38		23,45	4,3
10,00	7,00	13,0	8,38		25,165	4,0
10,20	8,00	13,0	9,518		23,795	4,2
10,40	12,00	18,0	13,518		22,53	4,4
10,60	14,00	23,0	15,518		21,171	4,7
10,80	11,00	22,0	12,518		20,863	4,8
11,00	9,00	18,0	10,518	0,467	22,522	4,4

11,20	12,00	19,0	13,656		22,76	4,4
11,40	10,00	19,0	11,656		24,959	4,0
11,60	19,00	26,0	20,656		62,03	1,6
11,80	16,00	21,0	17,656		37,807	2,6
12,00	19,00	26,0	20,656	0,533	38,754	2,6
12,20	13,00	21,0	14,794	1,067	13,865	7,2
12,40	16,00	32,0	17,794	0,8	22,243	4,5
12,60	9,00	21,0	10,794	0,533	20,251	4,9
12,80	15,00	23,0	16,794	0,467	35,961	2,8
13,00	19,00	26,0	20,794	0,467	44,527	2,2
13,20	23,00	30,0	24,932	0,533	46,777	2,1
13,40	12,00	20,0	13,932	0,667	20,888	4,8
13,60	11,00	21,0	12,932	0,533	24,263	4,1
13,80	11,00	19,0	12,932	0,4	32,33	3,1
14,00	14,00	20,0	15,932	0,4	39,83	2,5
14,20	13,00	19,0	15,07	0,333	45,255	2,2
14,40	16,00	21,0	18,07		22,588	4,4
14,60	11,00	23,0	13,07	1,067	12,249	8,2
14,80	14,00	30,0	16,07	0,333	48,258	2,1
15,00	27,00	32,0	29,07	1,0	29,07	3,4
15,20	36,00	51,0	38,208	0,4	95,52	1,0
15,40	25,00	31,0	27,208		37,119	2,7
15,60	13,00	24,0	15,208		19,01	5,3
15,80	12,00	24,0	14,208		26,657	3,8
16,00	10,00	18,0	12,208		26,141	3,8
16,20	10,00	17,0	12,346		30,865	3,8 3,2
16,40	10,00	16,0	12,346	0,467	26,437	3,8
16,60	9,00	16,0	11,346		21,287	4,7
16,80	12,00	20,0	14,346		23,91	4,2
17,00	15,00	24,0	17,346	0,867	20,007	5,0
17,20	12,00	25,0	14,484	0,667	21,715	4,6
17,40	14,00	24,0	16,484	0,667	24,714	4,0
17,60	12,00	22,0	14,484	0,733	19,76	5,1
17,80	12,00	23,0	14,484		21,715	4,6
18,00	13,00	23,0	15,484		21,124	4,7
18,20	11,00	22,0	13,622	0,733	18,584	5,4
18,40	11,00	22,0	13,622		17,028	5,9
18,60	13,00	25,0	15,622	0,733	21,312	4,7
18,80	14,00	25,0	16,622		20,778	4,8
19,00	12,00	24,0	14,622	0,667	21,922	4,6
19,20	12,00	22,0	14,76		24,6	4,1
19,40	16,00	25,0			23,45	4,3
19,60	14,00	26,0	16,76		22,865	4,4
19,80	15,00	26,0	17,76		20,484	4,9
20,00	16,00	29,0	18,76		20,107	5,0
20,20	17,00	31,0	19,898		18,649	5,4
20,40	21,00	37,0	23,898		18,862	
20,60	19,00	38,0	21,898		18,248	
20,00	17,00	23,0		- , -	10,210	- y-

Prof. Strato (m)	qc Media	fs Media	Gamma Medio	Comp. Geotecnico	Descrizione
(III)	(Kg/cm²)	(Kg/cm²)	(t/m³)		
1,40	35,177	1,762	2,0	Incoerente-Coesivo	Argille sabbiose e limose
3,40	14,8	0,62	1,9	Coesivo	Argilla inorganica compatta
4,80	7,345	0,286	1,8	Coesivo	Argilla inorganica di media consistenza
5,40	24,115	0,489	1,9	Incoerente	Sabbie
10,20	8,353	0,344	1,8	Coesivo	Argilla inorganica di media consistenza
14,80	15,664	0,574	1,9	Incoerente-Coesivo	Argille sabbiose e limose
15,40	31,495	0,711	2,0	Incoerente-Coesivo	Terre Limo sabbiose - Sabbie Arg Limi
20,60	15,822	0,744	1,9	Coesivo	Argilla inorganica compatta

STIMA PARAMETRI GEOTECNICI

Nr: Numero progressivo strato Prof: Profondità strato (m)

Tipo: C: Coesivo. I: Incoerente. CI: Coesivo-Incoerente

Cu: Coesione non drenata (Kg/cm²)

Eu: Modulo di defomazione non drenato (Kg/cm²)

Mo: Modulo Edometrico (Kg/cm²)

G: Modulo di deformazione a taglio (Kg/cm²)

OCR: Grado di sovraconsolidazione
Puv: Peso unità di volume (t/m³)
PuvS: Peso unità di volume saturo (t/m³)

Dr: Densità relativa (%)

Fi: Angolo di resistenza al taglio (°)
Ey: Modulo di Young (Kg/cm²)
Vs: Velocità onde di taglio (m/s)

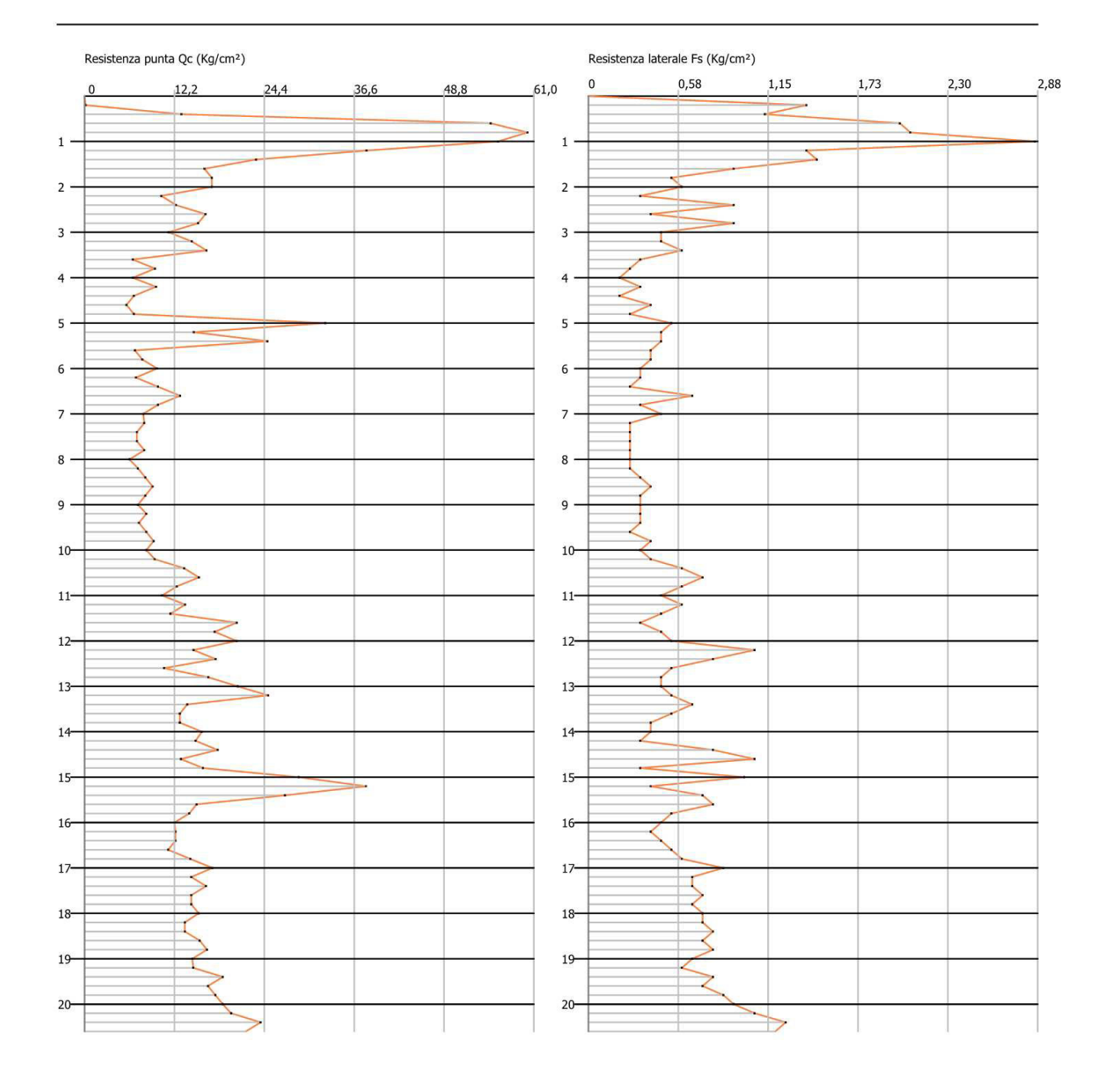
Nr.	Prof.	Tipo	Cu	Eu	Mo	G	OCR	Puv	PuvS	Dr	Fi	Ey	Vs
1	1,40	ČI	1,8	1313,9	70,4	246,6	0,7	2,1	2,1	83,4	40,0	0,0	234,18
2	3,40	C	0,7	542,6	48,4	145,3	>9	1,9	2,0				195,68
3	4,80	C	0,4	257,6	36,4	94,7	4,3	1,8	1,9				182,75
4	5,40	I			120,6	195,8	< 0.5	1,8	2,1	37,1	32,8	0,0	253,07
5	10,20	C	0,4	284,1	39,5	102,4	3,1	1,8	1,9				202,30
6	14,80	CI	0,8	543,3	48,2	150,4	< 0.5	1,9	2,0	5,0	28,7	0,0	249,16
7	15,40	CI	1,6	1128,0	63,0	230,5	< 0.5	2,0	2,1	24,0	30,7	0,0	303,76
8	20,60	C	0,8	530,4	48,1	151,3	3,1	1,9	2,0				256,7 2

------ pag. 58 ------

Probe CPT - Cone Penetration Nr.1 Strumento utilizzato PAGANI 100 kN

Committente: Dott. Grol. Valeriano Franchi Data: 24/10/2016

Cantiere: 168AND - Gaggio Località: Castelfranco E. - MO





PROVA ... Nr.2

Committente: Dott. Grol. Valeriano Franchi Strumento utilizzato: PAGANI 100 kN Prova eseguita in data: 24/10/2016 Profondità prova: 20,60 mt Località: Castelfranco E. – MO Livello falda= -1,0 m da p.c.

Profondità	Lettura punta	Lettura laterale	qc	fs	qc/fs	fs/qcx100
(m)	(Kg/cm²)	(Kg/cm²)	(Kg/cm ²)	(Kg/cm²)	Begemann	(Schmertmann)
0,20	0,00	0,0	0,138		0,122	821,0
0,40	12,00	29,0	12,138		12,138	8,2
0,60	14,00	29,0	14,138		14,138	7,1
0,80	26,00	41,0	26,138	1,133	23,07	4,3
1,00	24,00	41,0	24,138		14,48	6,9
1,20	20,00	45,0	20,276		16,897	5,9
1,40	16,00	34,0	16,276		24,402	4,1
1,60	11,00	21,0	11,276		33,862	3,0
1,80	12,00	17,0	12,276		26,287	3,8
2,00	12,00	19,0	12,276		23,032	4,3
2,20	12,00	20,0	12,414		26,582	3,8
2,40	15,00	22,0	15,414		25,69	3,9
2,60	11,00	20,0	11,414		19,023	5,3 5,1
2,80	10,00	19,0	10,414		19,538	5,1
3,00	12,00	20,0	12,414		37,279	2,7
3,20	13,00	18,0	13,552		29,019	3,4
3,40 3,60	12,00 11,00	19,0 16,0	12,552 11,552	0,333 0,467	37,694 24,737	2,7
3,80	10,00	17,0	10,552	0,333	31,688	4,0 3,2
4,00	6,00	11,0	6,552	0,333	32,76	3,1
4,00	6,00	9,0	6,69	0,267	25,056	4,0
4,40	7,00	11,0	7,69	0,333	23,093	4,3
4,60	9,00	14,0	9,69	0,733	13,22	7,6
4,80	14,00	25,0	14,69	0,733	73,45	1,4
5,00	19,00	22,0	19,69	0,133	148,045	0,7
5,20	15,00	17,0	15,828	0,333	47,532	2,1
5,40	5,00	10,0	5,828		17,502	5,7
5,60	10,00	15,0	10,828	0,533	20,315	4,9
5,80	10,00	18,0	10,828	0,533	20,315	4,9
6,00	11,00	19,0	11,828		22,191	4,5
6,20	13,00	21,0	13,966		23,277	4,3
6,40	8,00	17,0	8,966	0,4	22,415	4,5
6,60	5,00	11,0	5,966	0,333	17,916	5,6
6,80	4,00	9,0	4,966	0,333	14,913	6,7
7,00	6,00	11,0	6,966	0,467	14,916	6,7
7,20	7,00	14,0	8,104		17,353	5,8
7,40	9,00	16,0	10,104		21,636	4,6
7,60	8,00	15,0	9,104		27,339	3,7
7,80	7,00	12,0	8,104		20,26	4,9
8,00	9,00	15,0	10,104		37,843	2,6
8,20	11,00	15,0	12,242		30,605	3,3
8,40	7,00	13,0	8,242	0,333	24,751	4,0
8,60	9,00	14,0	10,242		21,931	4,6
8,80	10,00	17,0	11,242	0,333	33,76	3,0
9,00	9,00	14,0	10,242		21,931	4,6 3,2
9,20	9,00	16,0	10,38		31,171	
9,40	10,00	15,0	11,38		28,45	3,5
9,60 9,80	8,00	14,0 13,0	9,38	0,333 0,533	28,168	3,6 5,7
10,00	8,00 7,00	15,0	9,38 8,38		17,598 25,165	3,7 4,0
10,00	11,00	16,0	12,518		23,486	4,0
10,40	8,00	16,0	9,518		15,863	6,3
10,40	12,00	21,0	13,518		20,267	4,9
10,80	18,00	28,0	19,518		20,207	4,8
11,00	17,00	31,0	18,518		19,848	5,0
11,00	17,00	31,0	10,310	0,733	17,010	3,0

----- pag. 61

11,20	15,00	29,0	16,656	0,733	22,723	4,4
11,40	12,00	23,0	13,656	0,533	25,621	3,9
11,60	6,00	14,0	7,656	0,267	28,674	3,5
11,80	6,00	10,0	7,656	0,267	28,674	3,5
12,00	7,00	11,0	8,656	0,333	25,994	3,8
12,20	10,00	15,0	11,794	0,467	25,255	4,0
12,40	12,00	19,0	13,794	0,667	20,681	4,8
12,60	11,00	21,0	12,794		15,993	6,3
12,80	9,00	21,0	10,794	0,467	23,113	4,3
13,00	9,00	16,0	10,794	0,533	20,251	4,9
13,20	10,00	18,0	11,932	0,4	29,83	3,4
13,40	10,00	16,0	11,932	0,267	44,689	2,2
13,60	13,00	17,0	14,932		18,665	5,4
13,80	22,00	34,0	23,932		39,887	2,5
14,00	27,00	36,0	28,932	0,733	39,471	2,5
14,20	24,00	35,0	26,07	1,067	24,433	4,1
14,40	33,00	49,0	35,07	0,6	58,45	1,7
14,60	12,00	21,0	14,07	0,667	21,094	4,7
14,80	12,00	22,0	14,07	0,467	30,128	3,3
15,00	10,00	17,0	12,07		30,175	3,3
15,20	11,00	17,0	13,208	0,4	33,02	3,0
15,40	12,00	18,0	14,208	0,4	35,52	2,8
15,60	10,00	16,0	12,208	0,467	26,141	3,8
15,80	14,00	21,0	16,208	0,733	22,112	4,5
16,00	12,00	23,0	14,208	0,733	19,383	5,2
16,20	12,00	23,0	14,346	0,667	21,508	4,6
16,40	11,00	21,0	13,346	0,667	20,009	5,0
16,60	10,00	20,0	12,346		20,577	4,9
16,80	10,00	19,0	12,346		20,577	4,9
17,00	15,00	24,0	17,346	0,733	23,664	4,2
17,20	12,00	23,0	14,484	0,867	16,706	6,0
17,40	19,00	32,0	21,484	0,733	29,31	3,4
17,60	13,00	24,0	15,484	0,533	29,051	3,4
17,80	16,00	24,0	18,484	1,067	17,323	5,8
18,00	7,00	23,0	9,484	0,333	28,48	3,5
18,20	9,00	14,0	11,622	0,333	34,901	2,9
18,40	9,00	14,0	11,622	0,333	34,901	2,9
18,60	12,00	17,0	14,622		36,555	2,7
18,80	15,00	21,0	17,622	0,533	33,062	3,0
19,00	15,00	23,0	17,622	0,533	33,062	3,0
19,20	15,00	23,0	17,76	0,533	33,321	3,0
19,40	15,00	23,0	17,76	0,533	33,321	3,0
19,60	14,00	22,0	16,76	0,333	50,33	2,0
19,80	16,00	21,0	18,76	0,4	46,9	2,1
20,00	16,00	22,0	18,76	0,733	25,593	3,9
20,20	15,00	26,0	17,898	0,6	29,83	3,4
20,40	14,00	23,0	16,898	0,533	31,704	3,2
20,60	11,00	19,0	13,898	0,5	27,796	3.6

Prof. Strato	qc	fs	Gamma	Comp. Geotecnico	Descrizione
(m)	Media	Media	Medio		
	(Kg/cm²)	(Kg/cm²)	(t/m³)		
1,40	16,177	1,114	1,9	Coesivo	Argille organiche e
					terreni misti
6,60	11,352	0,42	1,8	Incoerente-Coesivo	Argille sabbiose e
					limose
10,20	9,504	0,4	1,8	Coesivo	Argilla inorganica di
					media consistenza
11,40	15,231	0,733	1,9	Coesivo	Argilla inorganica
					compatta
13,40	10,78	0,447	1,8	Coesivo	Argilla inorganica di
					media consistenza
14,40	25,787	0,76	2,0	Incoerente-Coesivo	Terre Limo sabbiose
					- Sabbie Arg Limi
20,60	15,194	0,544	1,9	Incoerente-Coesivo	Argille sabbiose e
					limose

STIMA PARAMETRI GEOTECNICI

Nr: Numero progressivo strato Prof: Profondità strato (m)

Tipo: C: Coesivo. I: Incoerente. CI: Coesivo-Incoerente

Cu: Coesione non drenata (Kg/cm²)

Eu: Modulo di defomazione non drenato (Kg/cm²)

Mo: Modulo Edometrico (Kg/cm²)

G: Modulo di deformazione a taglio (Kg/cm²)

OCR: Grado di sovraconsolidazione
Puv: Peso unità di volume (t/m³)
PuvS: Peso unità di volume saturo (t/m³)

Dr: Densità relativa (%)

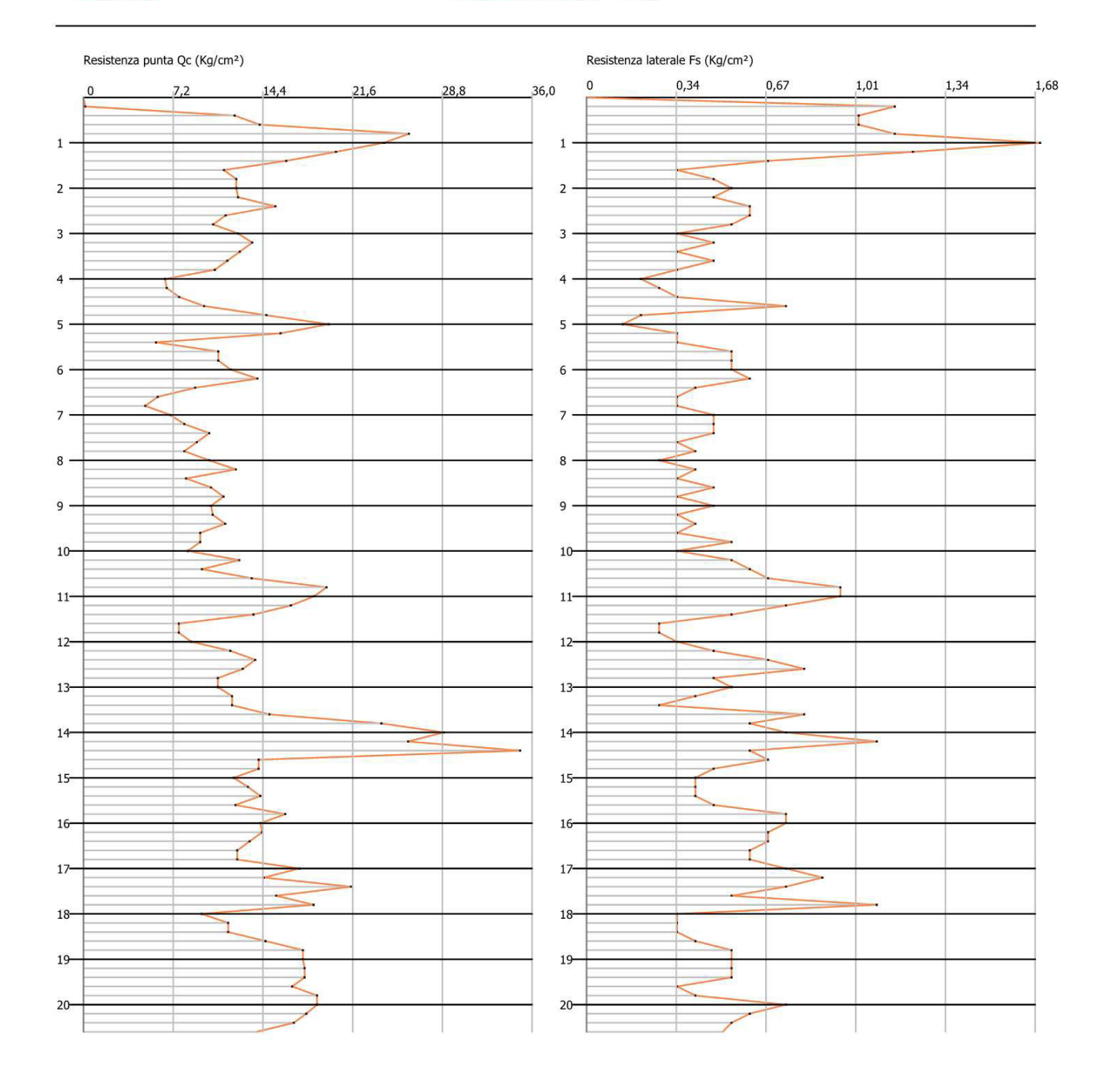
Fi: Angolo di resistenza al taglio (°)
Ey: Modulo di Young (Kg/cm²)
Vs: Velocità onde di taglio (m/s)

Nr.	Prof.	Tipo	Cu	Eu	Mo	G	OCR	Puv	PuvS	Dr	Fi	Ey	Vs
1	1,40	C	0,8	601,7	47,9	153,4	>9	1,9	2,0				172,03
2	6,60	CI	0,6	398,2	46,0	123,5	< 0.5	1,9	1,9	5,0	28,7	0,0	216,69
3	10,20	C	0,5	299,2	42,4	110,8	1,8	1,8	1,9				230,58
4	11,40	C	0,8	497,5	48,4	147,8	2,6	1,9	2,0				261,44
5	13,40	C	0,5	319,6	45,0	119,7	1,3	1,8	1,9				251,11
6	14,40	CI	1,3	871,8	51,6	204,0	< 0.5	2,0	2,1	5,0	28,7	0,0	310,71
7	20,60	CI	0,8	448,8	48,4	147,6	< 0.5	1,9	2,0	5,0	28,7	0,0	280,34

Probe CPT - Cone Penetration Nr.2 Strumento utilizzato PAGANI 100 kN

Committente: Dott. Grol. Valeriano Franchi Data: 24/10/2016

Cantiere: 168AND - Gaggio Località: Castelfranco E. - MO





PROVA PENETROMETRICA STATICA

Committente: Dott. Grol. Valeriano Franchi Cantiere: 169AND_Manzolino Località: Castelfranco E MO	
---	--

Caratteristiche Strumentali PAGANI 100 kN

Rif. Norme	ASTM D3441-86
Diametro Punta conica meccanica	35,7
Angolo di apertura punta	60
Area punta	10
Superficie manicotto	150
Passo letture (cm)	20
Costante di trasformazione Ct	10

PROVA ... Nr.1

Committente: Dott. Grol. Valeriano Franchi Strumento utilizzato: PAGANI 100 kN Prova eseguita in data: 21/10/2016 Profondità prova: 19,80 mt Località: Castelfranco E. – MO Livello falda: -1,6 da p.c.

Profondità	Lettura punta	Lettura laterale	qc	fs	qc/fs	fs/qcx100
(m)	(Kg/cm²)	(Kg/cm²)	(Kg/cm²)	(Kg/cm²)	Begemann	(Schmertmann)
0,20	0,00	0,0	0,138		0,129	773,2
0,40	9,00	25,0	9,138		5,711	17,5
0,60	56,00	80,0	56,138		14,517	6,9
0,80	70,00	128,0	70,138		12,525	8,0
1,00	92,00	176,0	92,138		16,072	6,2
1,20	96,00	182,0	96,276		22,219	4,5
1,40	77,00	142,0	77,276		21,466	4,7
1,60	43,00	97,0	43,276		32,465	3,1
1,80	21,00	41,0	21,276		13,879	7,2
2,00	15,00	38,0	15,276		16,373	6,1
2,20	14,00	28,0	14,414		19,664	5,1
2,40	13,00	24,0	13,414		20,111	5,0
2,60	11,00	21,0	11,414		24,441	4,1
2,80	12,00	19,0	12,414		20,69	4,8
3,00	12,00	21,0	12,414		23,291	4,3
3,20	12,00	20,0	12,552		20,92	4,8
3,40	12,00	21,0	12,552		20,92	4,8
3,60	13,00	22,0	13,552		25,426	3,9
3,80	13,00	21,0	13,552		20,318	4,9
4,00	14,00	24,0	14,552	0,533	27,302	3,7
4,20	14,00	22,0	14,69		22,024	4,5
4,40	11,00	21,0	11,69		17,526	5,7
4,60	12,00	22,0	12,69		19,025	5,3
4,80	19,00	29,0	19,69		26,862	3,7
5,00	16,00	27,0	16,69		20,863	4,8
5,20	13,00	25,0	13,828		20,732	4,8
5,40	12,00	22,0	12,828		19,232	5,2
5,60	12,00	22,0	12,828		16,035	6,2
5,80	13,00	25,0	13,828		20,732	4,8
6,00	12,00	22,0	12,828		17,501	5,7
6,20	13,00	24,0	13,966		23,277	4,3
6,40	15,00	24,0	15,966		34,188	2,9
6,60	11,00	18,0	11,966		29,915	3,3
6,80	6,00	12,0	6,966		20,919	4,8
7,00	6,00	11,0	6,966		34,83	2,9
7,20	8,00	11,0	9,104		19,495	5,1
7,40	14,00	21,0	15,104		20,606	4,9
7,60	15,00	26,0	16,104		20,13	5,0
7,80	17,00	29,0	18,104		22,63	4,4
8,00	12,00	24,0	13,104		21,84	4,6
8,20	7,00	16,0	8,242		24,751	4,0
8,40 8,60	6,00 7,00	11,0 11,0	7,242 8,242		27,124 24,751	3,7
8,80	6,00	11,0	7,242		24,751	4,0
9,00	6,00	11,0	7,242		21,748	4,6
9,00	7,00	12,0	8,38		20,95	4,8
9,20	8,00	14,0	9,38		28,168	3,6
9,60	9,00	14,0	10,38		25,95	3,9
9,80	7,00	13,0	8,38		25,165	4,0
10,00	7,00	12,0	8,38	0,333	31,386	3,2
10,00	14,00	18,0	15,518		23,265	4,3
10,40	37,00	47,0	38,518	0,367	144,262	0,7
10,40	10,00	14,0	11,518		19,197	5,2
10,80	7,00	16,0	8,518		21,295	4,7
11,00	10,00	16,0	11,518		28,795	3,5
11,00	10,00	10,0	11,318	U, †	20,193	3,3

(Dott. Grol. Valeriano Franchi-169AND_Manzolino-Castelfranco E. - MO) 2 ----- pag. 67

11,20	9,00	15,0	10,656	0,4	26,64	3,8
11,40	10,00	16,0	11,656	0,667	17,475	5,7
11,60	12,00	22,0	13,656	0,8	17,07	5,9
11,80	16,00	28,0	17,656	0,933	18,924	5,3
12,00	16,00	30,0	17,656	1,0	17,656	5,7
12,20	17,00	32,0	18,794	1,133	16,588	6,0
12,40	17,00	34,0	18,794	1,133	16,588	6,0
12,60	21,00	38,0	22,794	1,2	18,995	5,3
12,80	24,00	42,0	25,794	1,467	17,583	5,7
13,00	24,00	46,0	25,794	0,933	27,646	3,6
13,20	29,00	43,0	30,932	1,133	27,301	3,7
13,40	27,00	44,0	28,932	1,067	27,115	3,7
13,60	29,00	45,0	30,932	1,0	30,932	3,2
13,80	27,00	42,0	28,932	1,267	22,835	4,4
14,00	24,00	43,0	25,932	0,867	29,91	3,3
14,20	18,00	31,0	20,07	0,867	23,149	4,3
14,40	16,00	29,0	18,07	0,333	54,264	1,8
14,60	16,00	21,0	18,07	0,733	24,652	4,1
14,80	12,00	23,0	14,07	0,733	19,195	5,2
15,00	9,00	20,0	11,07	0,667	16,597	6,0
15,20	12,00	22,0	14,208	0,867	16,388	6,1
15,40	19,00	32,0	21,208	1,067	19,876	5,0
15,60	20,00	36,0	22,208	1,267	17,528	5,7
15,80	21,00	40,0	23,208	1,267	18,317	5,5
16,00	22,00	41,0	24,208	1,333	18,161	5,5
16,20	22,00	42,0	24,346	1,267	19,215	5,2
16,40	23,00	42,0	25,346		18,104	5,5
16,60	28,00	49,0	30,346		25,288	4,0
16,80	32,00	50,0	34,346	1,733	19,819	5,0
17,00	31,00	57,0	33,346	1,667	20,004	5,0
17,20	33,00	58,0	35,484		19,713	5,1
17,40	27,00	54,0	29,484	1,533	19,233	5,2
17,60	26,00	49,0	28,484	1,333	21,368	4,7
17,80	18,00	38,0	20,484	1,067	19,198	5,2
18,00	13,00	29,0	15,484	0,667	23,214	4,3
18,20	12,00	22,0	14,622	0,6	24,37	4,1
18,40	10,00	19,0	12,622	0,467	27,028	3,7
18,60	13,00	20,0	15,622	0,667	23,421	4,3
18,80	12,00	22,0	14,622	0,6	24,37	4,1
19,00	10,00	19,0	12,622	0,467	27,028	3,7
19,20	11,00	18,0	13,76	3,8	3,621	27,6
19,40	125,00	182,0	127,76	2,333	54,762	1,8
19,60	150,00	185,0	152,76	2,0	76,38	1,3
19,80	160,00	190,0	160,0	0,867	184,544	
27,00	223,00	270,0	200,0	-,	20.,0	- /-

Prof. Strato (m)	qc Media (Kg/cm²)	fs Media (Kg/cm²)	Gamma Medio (t/m³)	Comp. Geotecnico	Descrizione
1,60	55,565	3,392	2,1	Coesivo	Argilla inorganica molto compatta
8,00	13,635	0,652	1,9	Coesivo	Argilla inorganica compatta
10,00	8,311	0,333	1,8	Coesivo	Argilla inorganica di media consistenza
11,60	15,195	0,525	1,9	Incoerente-Coesivo	Argille sabbiose e limose
17,80	23,903	1,138	2,0	Coesivo	Argilla inorganica molto compatta
19,20	14,193	1,038	1,9	Coesivo	Argille organiche e terreni misti
19,80	146,84	1,733	2,0	Incoerente	Sabbie addensate o cementate

------ pag. 68 ------

STIMA PARAMETRI GEOTECNICI

Nr: Numero progressivo strato
Prof: Profondità strato (m)

Tipo: C: Coesivo. I: Incoerente. CI: Coesivo-Incoerente

Cu: Coesione non drenata (Kg/cm²)

Eu: Modulo di defomazione non drenato (Kg/cm²)

Mo: Modulo Edometrico (Kg/cm²)

G: Modulo di deformazione a taglio (Kg/cm²)

OCR: Grado di sovraconsolidazione
Puv: Peso unità di volume (t/m³)
PuvS: Peso unità di volume saturo (t/m³)

Dr: Densità relativa (%)

Fi: Angolo di resistenza al taglio (°)
Ey: Modulo di Young (Kg/cm²)
Vs: Velocità onde di taglio (m/s)

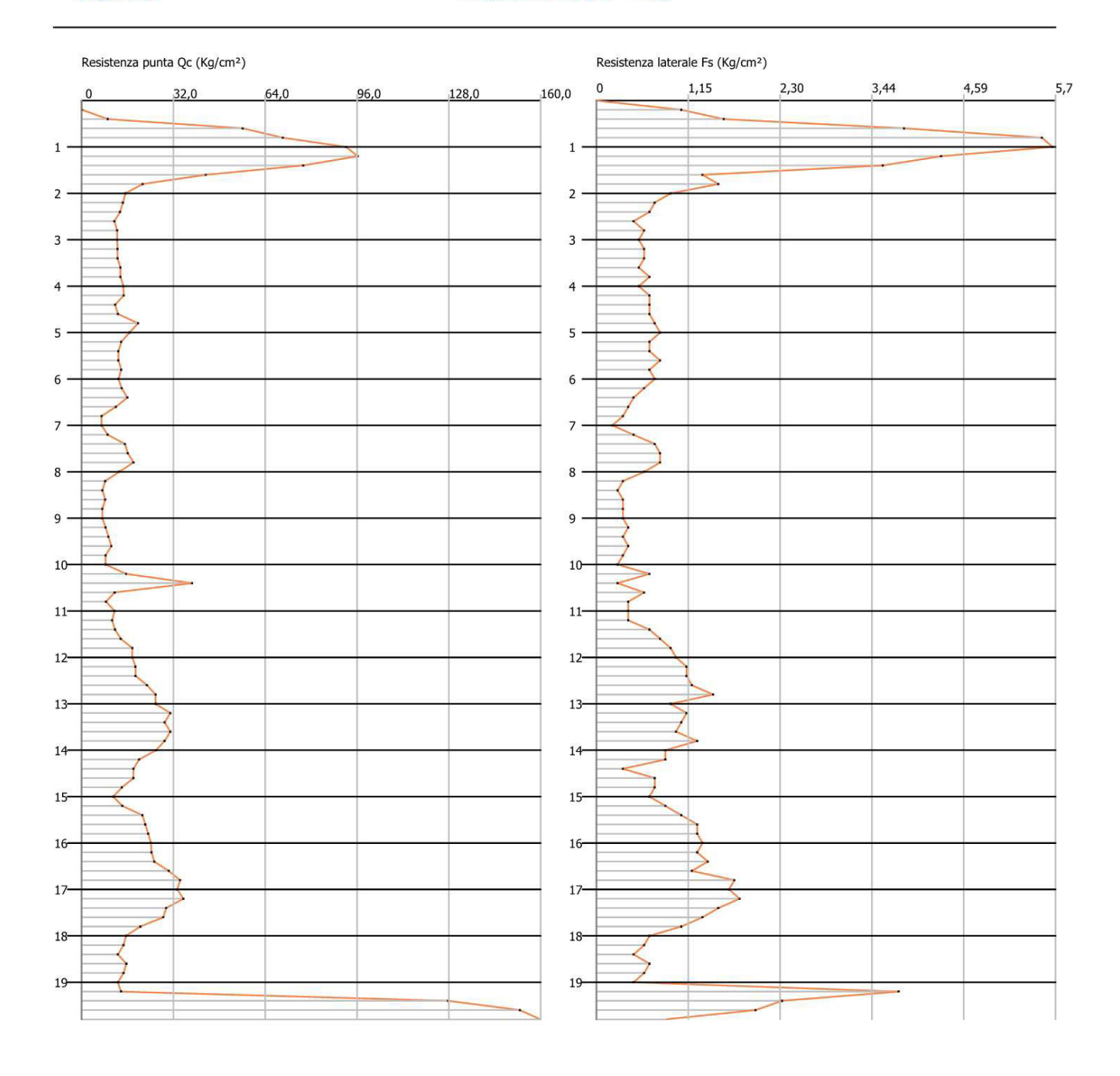
Nr.	Prof.	Tipo	Cu	Eu	Mo	G	OCR	Puv	PuvS	Dr	Fi	Ey	Vs
1	1,60	C	2,8	2077,4	111,1	326,0	>9	2,1	2,2				223,24
2	8,00	C	0,7	487,9	48,2	138,2	7,5	1,9	2,0				213,42
3	10,00	C	0,4	274,5	39,4	102,1	2,3	1,8	1,9				210,10
4	11,60	CI	0,8	526,9	48,4	147,6	< 0.5	1,9	2,0	5,0	28,7	0,0	246,39
5	17,80	C	1,2	839,1	47,8	194,7	5,2	2,0	2,1				272,47
6	19,20	C	0,7	461,0	48,4	141,6	3,8	1,9	2,0				256,73
7	19,80	I			220,3	590,3	1,6	1,9	2,2	68,6	37,3	0,0	466,5 3

(Dott. Grol. Valeriano Franchi-169AND_Manzolino-Castelfranco E. - MO) 4

Probe CPT - Cone Penetration Nr.1 Strumento utilizzato PAGANI 100 kN

Committente: Dott. Grol. Valeriano Franchi Data: 21/10/2016

Cantiere: 169AND_Manzolino Località: Castelfranco E. - MO



(Dott. Grol. Valeriano Franchi-169AND_Manzolino-Castelfranco E. - MO) 5



PROVA ... Nr.2

Committente: Dott. Grol. Valeriano Franchi Strumento utilizzato: PAGANI 100 kN Prova eseguita in data: 21/10/2016 Profondità prova: 20,40 mt Località: Castelfranco E. – MO Livello falda:: -1,6 m da p.c.

Profondità	Lettura punta	Lettura laterale	qc	fs	qc/fs	fs/qcx100
(m)	(Kg/cm ²)	(Kg/cm²)	(Kg/cm ²)	(Kg/cm²)	Begemann	(Schmertmann)
0,20	0,00	0,0	0,138	1,0	0,138	724,6
0,40	10,00	25,0	10,138	1,933	5,245	19,1
0,60	58,00	87,0	58,138	2,333	24,92	4,0
0,80	75,00	110,0	75,138	2,533	29,664	3,4
1,00	71,00	109,0	71,138	2,2	32,335	3,1
1,20	39,00	72,0	39,276	2,2	17,853	5,6
1,40	29,00	62,0	29,276	2,267	12,914	7,7
1,60	29,00	63,0	29,276	2,733	10,712	9,3
1,80	22,00	63,0	22,276	2,4	9,282	10,8
2,00	16,00	52,0	16,276	1,8	9,042	11,1
2,20	14,00	41,0	14,414	1,4	10,296	9,7
2,40	14,00	35,0	14,414	1,133	12,722	7,9
2,60	17,00	34,0	17,414	1,267	13,744	7,3
2,80	17,00	36,0	17,414	1,267	13,744	7,3
3,00	18,00	37,0	18,414		19,736	5,1
3,20	16,00	30,0	16,552	1,0	16,552	6,0
3,40	21,00	36,0	21,552		29,402	3,4
3,60	17,00	28,0	17,552	0,6	29,253	3,4
3,80	21,00	30,0	21,552		80,719	1,2
4,00	12,00	16,0	12,552		94,376	1,1
4,20	14,00	16,0	14,69		55,019	1,8
4,40	8,00	12,0	8,69		21,725	4,6
4,60	11,00	17,0	11,69		29,225	3,4
4,80	12,00	18,0	12,69		47,528	2,1
5,00	8,00	12,0	8,69		26,096	3,8
5,20	13,00	18,0	13,828	0,733	18,865	5,3
5,40	11,00	22,0	11,828		19,713	5,3 5,1
5,60	12,00	21,0	12,828		24,068	4,2
5,80	14,00	22,0	14,828		18,535	5,4
6,00	14,00	26,0	14,828		20,229	4,9
6,20	16,00	27,0	16,966		19,569	5,1
6,40	18,00	31,0	18,966		23,708	4,2
6,60	17,00	29,0	17,966		24,51	4,1
6,80	12,00	23,0	12,966		21,61	4,6
7,00	9,00	18,0	9,966		21,34	4,7
7,20	8,00	15,0	9,104		22,76	4,4
7,40	13,00	19,0	14,104		23,507	4,3
7,60	14,00	23,0	15,104		22,645	4,4
7,80	9,00	19,0	10,104		25,26	4,0
8,00	8,00	14,0	9,104		22,76	4,4
8,20	6,00	12,0	7,242		27,124	3,7
8,40	9,00	13,0	10,242		30,757	3,3
8,60	9,00	14,0	10,242		30,757	3,3
8,80	9,00	14,0	10,242		21,931	4,6
9,00	7,00	14,0	8,242		20,605	4,9
9,20	7,00	13,0	8,38		6,614	15,1
9,40	10,00	29,0	11,38		21,351	4,7
9,60	14,00	22,0	15,38		17,739	5,6
9,80	16,00	29,0	17,38		23,711	4,2
10,00	14,00	25,0	15,38		28,856	3,5
10,20	8,00	16,0	9,518		23,795	4,2
10,40	8,00	14,0	9,518		28,583	3,5
10,60	9,00	14,0	10,518		26,295	3,8
10,80	10,00	16,0	11,518		24,664	4,1
11,00	11,00	18,0	12,518		20,863	4,8
11,00	11,00	10,0	12,510	- y ··	20,000	1,0

----- pag. 72

11,20	12,00	21,0	13,656	0,6	22,76	4,4
11,40	14,00	23,0	15,656	0,867	18,058	5,5
11,60	16,00	29,0	17,656	0,867	20,364	4,9
11,80	21,00	34,0	22,656	1,267	17,882	5,6
12,00	23,00	42,0	24,656		17,611	5,7
12,20	20,00	41,0	21,794	1,267	17,201	5,8
12,40	21,00	40,0	22,794	1,267	17,991	5,6
12,60	23,00	42,0	24,794	1,467	16,901	5,9
12,80	25,00	47,0	26,794	1,533	17,478	5,7
13,00	29,00	52,0	30,794	1,867	16,494	6,1
13,20	17,00	45,0	18,932		15,777	6,3
13,40	25,00	43,0	26,932	1,533	17,568	5,7
13,60	29,00	52,0	30,932	1,667	18,555	5,4
13,80	22,00	47,0	23,932	1,267	18,889	5,3
14,00	26,00	45,0	27,932	1,333	20,954	4,8
14,00	24,00	44,0	26,07		21,725	4,6
				1,0		4,6
14,40	22,00	40,0	24,07		24,07	4,2
14,60	28,00	43,0	30,07		25,058	4,0
14,80	28,00	46,0	30,07	1,267	23,733	4,2
15,00	27,00	46,0	29,07		24,225	4,1
15,20	26,00	44,0	28,208	1,067	26,437	3,8
15,40	26,00	42,0	28,208	1,067	26,437	3,8
15,60	29,00	45,0	31,208		31,208	3,2
15,80	37,00	52,0	39,208	1,067	36,746	2,7
16,00	29,00	45,0	31,208		31,208	3,2
16,20	34,00	49,0	36,346		45,433	2,2
16,40	33,00	45,0	35,346	1,133	31,197	3,2
16,60	26,00	43,0	28,346	1,133	25,019	4,0
16,80	26,00	43,0	28,346	1,133	25,019	4,0
17,00	13,00	30,0	15,346	0,667	23,007	4,3
17,20	13,00	23,0	15,484	0,533	29,051	3,4
17,40	12,00	20,0	14,484	0,4	36,21	2,8
17,60	13,00	19,0	15,484	0,933	16,596	6,0
17,80	13,00	27,0	15,484	0,733	21,124	4,7
18,00	12,00	23,0	14,484	0,6	24,14	4,1
18,20	22,00	31,0	24,622	1,133	21,732	4,6
18,40	19,00	36,0	21,622	1,2	18,018	5,5
18,60	15,00	33,0	17,622	0,733	24,041	4,2
18,80	26,00	37,0	28,622	1,067	26,825	3,7
19,00	27,00	43,0	29,622	1,467	20,192	5,0
19,20	26,00	48,0	28,76	1,333	21,575	4,6
19,40	13,00	33,0	15,76	0,733	21,501	4,7
19,60	27,00	38,0	29,76	1,733	17,173	5,8
19,80	36,00	62,0	38,76	1,867	20,761	4,8
20,00	38,00	66,0	40,76	1,667	24,451	4,1
20,20	35,00	60,0	37,898	1,533	24,721	4,0
20,40	32,00	55,0	34,898	0,533	65,475	
20,40	32,00	55,0	51,070	0,555	05,175	-,-

Prof. Strato (m)	qc Media (Kg/cm²)	fs Media (Kg/cm²)	Gamma Medio (t/m³)	Comp. Geotecnico	Descrizione
1,60	39,065	2,15	2,0	Coesivo	Argilla inorganica molto compatta
3,80	17,985	1,164	1,9	Coesivo	Argilla inorganica molto compatta
10,60	12,21	0,529	1,9	Coesivo	Argilla inorganica compatta
16,80	25,797	1,153	2,0	Incoerente-Coesivo	Argille sabbiose e limose
18,00	15,128	0,644	1,9	Coesivo	Argilla inorganica compatta
20,40	29,059	1,25	2,0	Incoerente-Coesivo	Argille sabbiose e limose

------ pag. 73 ------

STIMA PARAMETRI GEOTECNICI

Nr: Numero progressivo strato Prof: Profondità strato (m)

Tipo: C: Coesivo. I: Incoerente. CI: Coesivo-Incoerente

Cu: Coesione non drenata (Kg/cm²)

Eu: Modulo di defomazione non drenato (Kg/cm²)

Mo: Modulo Edometrico (Kg/cm²)

G: Modulo di deformazione a taglio (Kg/cm²)

OCR: Grado di sovraconsolidazione
Puv: Peso unità di volume (t/m³)
PuvS: Peso unità di volume saturo (t/m³)

Dr: Densità relativa (%)

Fi: Angolo di resistenza al taglio (°)
Ey: Modulo di Young (Kg/cm²)
Vs: Velocità onde di taglio (m/s)

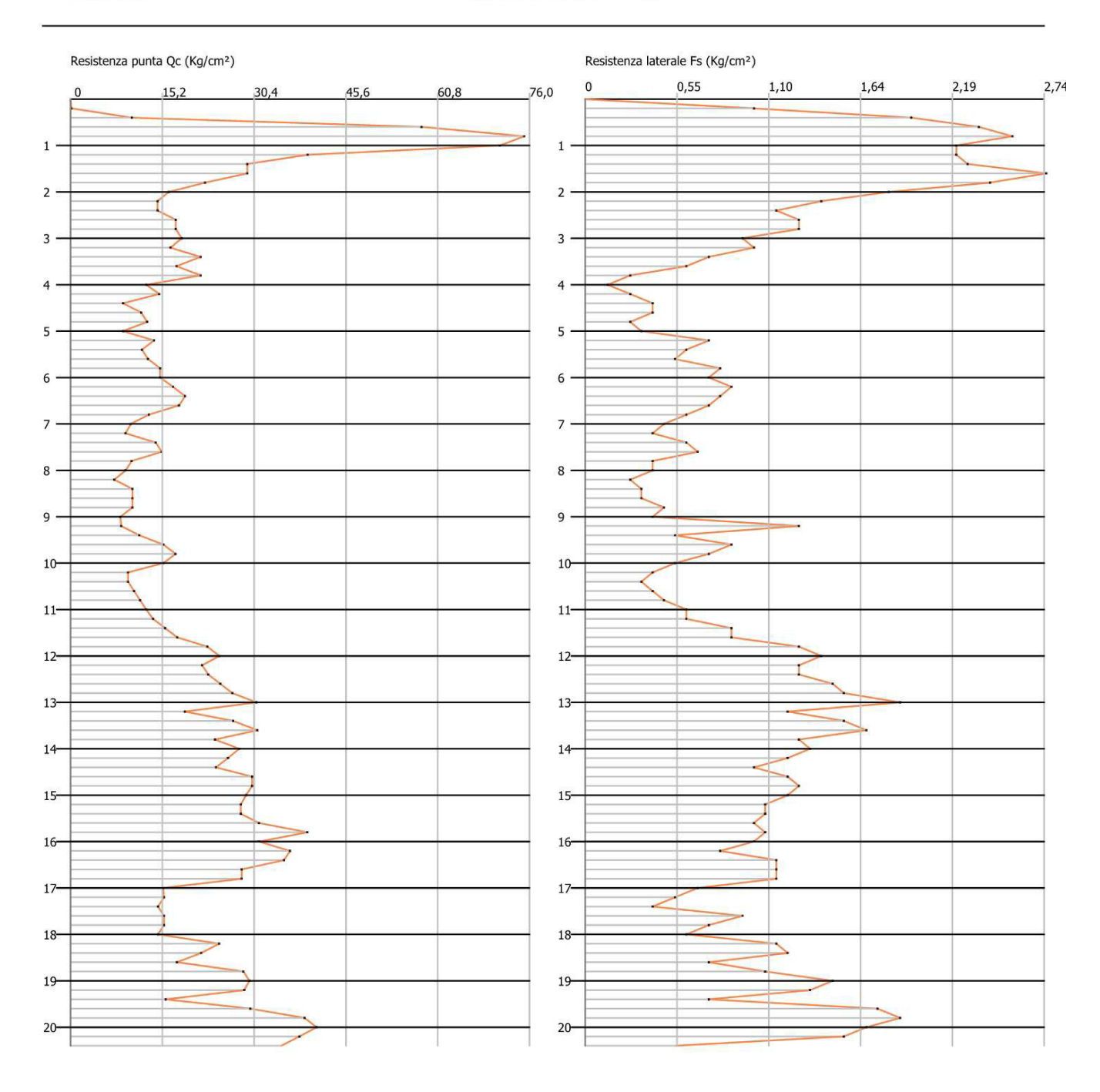
Nr.	Prof.	Tipo	Cu	Eu	Mo	G	OCR	Puv	PuvS	Dr	Fi	Ey	Vs
1	1,60	C	2,0	1458,9	78,1	262,9	>9	2,1	2,2				207,83
2	3,80	C	0,9	661,0	45,9	163,6	>9	2,0	2,0				205,45
3	10,60	C	0,6	429,2	47,1	129,2	4,9	1,9	2,0				216,06
4	16,80	CI	1,3	915,6	51,6	204,0	< 0.5	2,0	2,1	17,7	29,8	0,0	288,04
5	18,00	C	0,8	501,9	48,4	147,2	2,6	1,9	2,0				256,21
6	20,40	CI	1,5	1017,8	58,1	219,4	< 0.5	2,0	2,1	13,9	29,1	0,0	309,20

(Dott. Grol. Valeriano Franchi-169AND_Manzolino-Castelfranco E. - MO) 9

Probe CPT - Cone Penetration Nr.2 Strumento utilizzato PAGANI 100 kN

Data: 21/10/2016 Committente: Dott. Grol. Valeriano Franchi

Cantiere: 169AND_Manzolino Località: Castelfranco E. - MO





PROVA PENETROMETRICA STATICA

Caratteristiche Strumentali PAGANI 100 kN

Rif. Norme	ASTM D3441-86
Diametro Punta conica meccanica	35,7
Angolo di apertura punta	60
Area punta	10
Superficie manicotto	150
Passo letture (cm)	20
Costante di trasformazione Ct	10

PROVA ... Nr.1

Committente: Dott. Grol. Valeriano Franchi Strumento utilizzato: PAGANI 100 kN Prova eseguita in data: 20/10/2016 Profondità prova: 20,00 mt Località: Castelfranco E. - MO

Falda non rilevata

Profondità	Lettura punta	Lettura laterale	qc	fs	qc/fs	fs/qcx100
(m)	(Kg/cm²)	(Kg/cm²)	(Kg/cm²)	(Kg/cm²)	Begemann	(Schmertmann)
0,20	0,00	0,0	0,138		0,173	579,7
0,40	15,00	27,0	15,138		12,615	7,9
0,60	21,00	39,0	21,138		13,789	7,3
0,80	38,00	61,0	38,138		15,891	6,3
1,00	24,00	60,0	24,138		10,058	9,9
1,20	21,00	57,0	21,276		9,671	10,3
1,40	12,00	45,0	12,276		9,209	10,9
1,60	12,00	32,0	12,276		20,46	4,9
1,80	10,00	19,0	10,276		22,004	4,5
2,00	10,00	17,0	10,276		30,859	3,2
2,20	10,00	15,0	10,414		22,3	4,5
2,40	10,00	17,0	10,414		26,035	3,8
2,60	11,00	17,0	11,414		24,441	4,1
2,80	11,00	18,0	11,414	0,467	24,441	4,1
3,00	9,00	16,0	9,414	0,267	35,258	2,8
3,20	9,00	13,0	9,552	0,333	28,685	3,5
3,40	9,00	14,0	9,552	0,267	35,775	2,8
3,60	10,00	14,0	10,552	0,467	22,595	4,4
3,80	8,00	15,0	8,552	0,2	42,76	2,3
4,00	10,00	13,0	10,552	0,333	31,688	3,2
4,20	6,00	11,0	6,69	0,133	50,301	2,0
4,40	6,00	8,0	6,69	0,2	33,45	3,0
4,60	11,00	14,0	11,69	0,467	25,032	4,0
4,80	8,00	15,0	8,69	0,533	16,304	6,1
5,00	9,00	17,0	9,69	0,467	20,749	4,8
5,20	7,00	14,0	7,828	0,4	19,57	5,1
5,40	7,00	13,0	7,828		14,687	6,8
5,60	11,00	19,0	11,828		22,191	4,5
5,80	19,00	27,0	19,828		27,05	3,7
6,00	20,00	31,0	20,828		39,077	2,6
6,20	11,00	19,0	11,966		25,623	3,9
6,40	11,00	18,0	11,966		22,45	4,5
6,60	12,00	20,0	12,966		21,61	4,6
6,80	14,00	23,0	14,966		22,438	4,5
7,00	12,00	22,0	12,966		24,326	4,1
7,20	13,00	21,0	14,104		21,145	4,7
7,40	14,00	24,0	15,104	0,733	20,606	4,9
7,60	20,00	31,0	21,104	0,8	26,38	3,8
7,80	22,00	34,0	23,104		26,648	3,8
8,00	20,00	33,0	21,104		28,791	3,5
8,20	20,00	31,0	21,242		26,553	3,8
8,40	21,00	33,0	22,242	0,733	30,344	3,3
8,60	21,00	32,0	22,242		33,346	3,0
8,80	18,00	28,0	19,242		28,849	3,5
9,00	10,00	20,0	11,242		18,737	5,3
9,20	12,00	21,0	13,38		25,103	4,0
9,40	13,00	21,0	14,38		30,792	3,2
9,60	16,00	23,0	17,38		32,608	3,1
9,80	17,00	25,0	18,38		25,075	4,0
10,00	13,00	24,0	14,38		23,967	4,2
10,20	11,00	20,0	12,518		46,884	2,1
10,40	14,00	18,0	15,518		25,863	3,9
10,60	14,00	23,0	15,518		33,229	3,0
10,80	15,00	22,0	16,518		20,648	4,8
11,00	11,00	23,0	12,518	0,667	18,768	5,3

(Dott. Grol. Valeriano Franchi-AND105.2 - Cavazzona-Castelfranco E. - MO) 2

11,40							
11.60	11,20	15,00	25,0	16,656		20,82	4,8
11.60	11,40	23,00	35,0	24,656	1,467	16,807	5,9
11.80	11,60	26,00	48,0	27,656	1,533	18,04	5,5
12,00	11,80	26,00	49,0	27,656	1,267	21,828	4,6
12,20							4,5
12,40							4,0
12,60							4,2
12,80				25,794	1.2	21.495	4,7
13,00					,		5,0
13.20							4,9
13,40							4,8
13,60							4,2
13,80				19,932	1.0		5,0
14,00							2,4
14,20				18 032		42,199	2,1
14,40 18,00 26,0 20,07 0,333 60,27 1, 14,60 16,00 21,0 18,07 0,667 27,091 3, 14,80 16,00 26,0 18,07 0,8 22,588 4, 15,00 21,00 33,0 23,07 1,2 19,225 5, 15,20 22,00 40,0 24,208 1,133 21,366 4, 15,40 23,00 40,0 25,208 1,4 18,006 5, 15,60 28,00 49,0 30,208 1,467 20,592 4, 15,80 41,00 63,0 43,208 1,933 22,353 4, 16,00 43,00 72,0 45,208 1,533 29,49 3, 16,20 39,00 62,0 41,346 1,267 36,579 2, 16,60 41,00 60,0 43,346 1,267 34,212 2, 16,80 37,00 56,0 39,346 1,2 32,788							1,8
14,60 16,00 21,0 18,07 0,667 27,091 3, 14,80 16,00 26,0 18,07 0,8 22,588 4, 15,00 21,00 33,0 23,07 1,2 19,225 5, 15,20 22,00 40,0 24,208 1,133 21,366 4, 15,40 23,00 40,0 25,208 1,4 18,006 5, 15,60 28,00 49,0 30,208 1,467 20,592 4, 15,80 41,00 63,0 43,208 1,933 22,353 4, 16,00 43,00 72,0 45,208 1,533 29,49 3, 16,20 39,00 62,0 41,346 1,267 32,633 3, 16,40 44,00 63,0 46,346 1,267 36,579 2, 16,60 41,00 60,0 43,346 1,267 34,212 2, 16,80 37,00 56,0 39,346 1,2 32,788							1,0
14,80							2.7
15,00							3,7
15,20						22,388	4,4
15,40 23,00 40,0 25,208 1,4 18,006 5, 15,60 28,00 49,0 30,208 1,467 20,592 4, 15,80 41,00 63,0 43,208 1,933 22,353 4, 16,00 43,00 72,0 45,208 1,533 29,49 3, 16,20 39,00 62,0 41,346 1,267 32,633 3, 16,40 44,00 63,0 46,346 1,267 36,579 2, 16,60 41,00 60,0 43,346 1,267 34,212 2, 16,80 37,00 56,0 39,346 1,2 32,788 3, 17,00 36,00 54,0 38,346 1,133 33,845 3, 17,40 38,00 55,0 41,484 1,133 36,614 2, 17,40 38,00 55,0 40,484 1,267 31,953 3, 17,60 26,00 45,0 28,484							3,2
15,60							4,/
15,80 41,00 63,0 43,208 1,933 22,353 4, 16,00 43,00 72,0 45,208 1,533 29,49 3, 16,20 39,00 62,0 41,346 1,267 32,633 3, 16,40 44,00 63,0 46,346 1,267 36,579 2, 16,60 41,00 60,0 43,346 1,267 34,212 2, 16,80 37,00 56,0 39,346 1,2 32,788 3, 17,00 36,00 54,0 38,346 1,133 33,845 3, 17,20 39,00 56,0 41,484 1,133 36,614 2, 17,40 38,00 55,0 40,484 1,267 31,953 3, 17,60 26,00 45,0 28,484 0,933 30,529 3, 17,80 21,00 35,0 23,484 0,933 25,17 4, 18,00 12,00 36,0 1							5,6
16,00 43,00 72,0 45,208 1,533 29,49 3, 16,20 39,00 62,0 41,346 1,267 32,633 3, 16,40 44,00 63,0 46,346 1,267 36,579 2, 16,60 41,00 60,0 43,346 1,267 34,212 2, 16,80 37,00 56,0 39,346 1,2 32,788 3, 17,00 36,00 54,0 38,346 1,133 33,845 3, 17,20 39,00 56,0 41,484 1,133 36,614 2, 17,40 38,00 55,0 40,484 1,267 31,953 3, 17,60 26,00 45,0 28,484 0,933 30,529 3, 17,80 21,00 35,0 23,484 0,933 25,17 4, 18,00 12,00 26,0 14,484 0,6 24,14 4, 18,20 23,00 32,0 25,6							4,9
16,20 39,00 62,0 41,346 1,267 32,633 3, 16,40 44,00 63,0 46,346 1,267 36,579 2, 16,60 41,00 60,0 43,346 1,267 34,212 2, 16,80 37,00 56,0 39,346 1,2 32,788 3, 17,00 36,00 54,0 38,346 1,133 33,845 3, 17,20 39,00 56,0 41,484 1,133 36,614 2, 17,40 38,00 55,0 40,484 1,267 31,953 3, 17,60 26,00 45,0 28,484 0,933 30,529 3, 17,80 21,00 35,0 23,484 0,933 25,17 4, 18,00 12,00 26,0 14,484 0,6 24,14 4, 18,20 23,00 32,0 25,622 1,267 20,223 4, 18,40 20,00 39,0 22,							4,5
16,40 44,00 63,0 46,346 1,267 36,579 2, 16,60 41,00 60,0 43,346 1,267 34,212 2, 16,80 37,00 56,0 39,346 1,2 32,788 3, 17,00 36,00 54,0 38,346 1,133 33,845 3, 17,20 39,00 56,0 41,484 1,133 36,614 2, 17,40 38,00 55,0 40,484 1,267 31,953 3, 17,60 26,00 45,0 28,484 0,933 30,529 3, 17,80 21,00 35,0 23,484 0,933 25,17 4, 18,00 12,00 26,0 14,484 0,6 24,14 4, 18,20 23,00 32,0 25,622 1,267 20,223 4, 18,40 20,00 39,0 22,622 1,133 19,966 5, 18,60 21,00 38,0 23,							3,4
16,60 41,00 60,0 43,346 1,267 34,212 2, 16,80 37,00 56,0 39,346 1,2 32,788 3, 17,00 36,00 54,0 38,346 1,133 33,845 3, 17,20 39,00 56,0 41,484 1,133 36,614 2, 17,40 38,00 55,0 40,484 1,267 31,953 3, 17,60 26,00 45,0 28,484 0,933 30,529 3, 17,80 21,00 35,0 23,484 0,933 25,17 4, 18,00 12,00 26,0 14,484 0,6 24,14 4, 18,20 23,00 32,0 25,622 1,267 20,223 4, 18,40 20,00 39,0 22,622 1,133 19,966 5, 18,60 21,00 38,0 23,622 1,067 22,139 4, 19,00 17,00 31,0 19,							3,1
16,80 37,00 56,0 39,346 1,2 32,788 3, 17,00 36,00 54,0 38,346 1,133 33,845 3, 17,20 39,00 56,0 41,484 1,133 36,614 2, 17,40 38,00 55,0 40,484 1,267 31,953 3, 17,60 26,00 45,0 28,484 0,933 30,529 3, 17,80 21,00 35,0 23,484 0,933 25,17 4, 18,00 12,00 26,0 14,484 0,6 24,14 4, 18,20 23,00 32,0 25,622 1,267 20,223 4, 18,40 20,00 39,0 22,622 1,133 19,966 5, 18,60 21,00 38,0 23,622 1,067 22,139 4, 19,00 17,00 31,0 19,622 0,933 21,031 4, 19,40 21,00 32,0 23,							2,7
17,00 36,00 54,0 38,346 1,133 33,845 3, 17,20 39,00 56,0 41,484 1,133 36,614 2, 17,40 38,00 55,0 40,484 1,267 31,953 3, 17,60 26,00 45,0 28,484 0,933 30,529 3, 17,80 21,00 35,0 23,484 0,933 25,17 4, 18,00 12,00 26,0 14,484 0,6 24,14 4, 18,20 23,00 32,0 25,622 1,267 20,223 4, 18,40 20,00 39,0 22,622 1,133 19,966 5, 18,60 21,00 38,0 23,622 1,067 22,139 4, 19,00 17,00 31,0 19,622 0,933 21,031 4, 19,00 17,00 31,0 19,622 0,733 26,769 3, 19,40 21,00 38,0 2						34,212	2,9
17,20 39,00 56,0 41,484 1,133 36,614 2, 17,40 38,00 55,0 40,484 1,267 31,953 3, 17,60 26,00 45,0 28,484 0,933 30,529 3, 17,80 21,00 35,0 23,484 0,933 25,17 4, 18,00 12,00 26,0 14,484 0,6 24,14 4, 18,20 23,00 32,0 25,622 1,267 20,223 4, 18,40 20,00 39,0 22,622 1,133 19,966 5, 18,60 21,00 38,0 23,622 1,067 22,139 4, 18,80 17,00 33,0 19,622 0,933 21,031 4, 19,00 17,00 31,0 19,622 0,733 26,769 3, 19,20 21,00 32,0 23,76 1,133 20,971 4, 19,60 19,00 35,0 23							3,0
17,40 38,00 55,0 40,484 1,267 31,953 3, 17,60 26,00 45,0 28,484 0,933 30,529 3, 17,80 21,00 35,0 23,484 0,933 25,17 4, 18,00 12,00 26,0 14,484 0,6 24,14 4, 18,20 23,00 32,0 25,622 1,267 20,223 4, 18,40 20,00 39,0 22,622 1,133 19,966 5, 18,60 21,00 38,0 23,622 1,067 22,139 4, 18,80 17,00 33,0 19,622 0,933 21,031 4, 19,00 17,00 31,0 19,622 0,733 26,769 3, 19,20 21,00 32,0 23,76 1,133 20,971 4, 19,40 21,00 38,0 23,76 1,067 22,268 4, 19,60 19,00 35,0 21,							3,0
17,60 26,00 45,0 28,484 0,933 30,529 3, 17,80 21,00 35,0 23,484 0,933 25,17 4, 18,00 12,00 26,0 14,484 0,6 24,14 4, 18,20 23,00 32,0 25,622 1,267 20,223 4, 18,40 20,00 39,0 22,622 1,133 19,966 5, 18,60 21,00 38,0 23,622 1,067 22,139 4, 18,80 17,00 33,0 19,622 0,933 21,031 4, 19,00 17,00 31,0 19,622 0,733 26,769 3, 19,20 21,00 32,0 23,76 1,133 20,971 4, 19,40 21,00 38,0 23,76 1,067 22,268 4, 19,60 19,00 35,0 21,76 1,0 21,76 4, 19,80 17,00 32,0 19,76 </td <td></td> <td></td> <td></td> <td></td> <td></td> <td></td> <td>2,7</td>							2,7
17,80 21,00 35,0 23,484 0,933 25,17 4, 18,00 12,00 26,0 14,484 0,6 24,14 4, 18,20 23,00 32,0 25,622 1,267 20,223 4, 18,40 20,00 39,0 22,622 1,133 19,966 5, 18,60 21,00 38,0 23,622 1,067 22,139 4, 18,80 17,00 33,0 19,622 0,933 21,031 4, 19,00 17,00 31,0 19,622 0,733 26,769 3, 19,20 21,00 32,0 23,76 1,133 20,971 4, 19,40 21,00 38,0 23,76 1,067 22,268 4, 19,60 19,00 35,0 21,76 1,0 21,76 4, 19,80 17,00 32,0 19,76 0,933 21,179 4,							3,1
18,00 12,00 26,0 14,484 0,6 24,14 4, 18,20 23,00 32,0 25,622 1,267 20,223 4, 18,40 20,00 39,0 22,622 1,133 19,966 5, 18,60 21,00 38,0 23,622 1,067 22,139 4, 18,80 17,00 33,0 19,622 0,933 21,031 4, 19,00 17,00 31,0 19,622 0,733 26,769 3, 19,20 21,00 32,0 23,76 1,133 20,971 4, 19,40 21,00 38,0 23,76 1,067 22,268 4, 19,60 19,00 35,0 21,76 1,0 21,76 4, 19,80 17,00 32,0 19,76 0,933 21,179 4,							3,3
18,20 23,00 32,0 25,622 1,267 20,223 4, 18,40 20,00 39,0 22,622 1,133 19,966 5, 18,60 21,00 38,0 23,622 1,067 22,139 4, 18,80 17,00 33,0 19,622 0,933 21,031 4, 19,00 17,00 31,0 19,622 0,733 26,769 3, 19,20 21,00 32,0 23,76 1,133 20,971 4, 19,40 21,00 38,0 23,76 1,067 22,268 4, 19,60 19,00 35,0 21,76 1,0 21,76 4, 19,80 17,00 32,0 19,76 0,933 21,179 4,							4,0
18,40 20,00 39,0 22,622 1,133 19,966 5, 18,60 21,00 38,0 23,622 1,067 22,139 4, 18,80 17,00 33,0 19,622 0,933 21,031 4, 19,00 17,00 31,0 19,622 0,733 26,769 3, 19,20 21,00 32,0 23,76 1,133 20,971 4, 19,40 21,00 38,0 23,76 1,067 22,268 4, 19,60 19,00 35,0 21,76 1,0 21,76 4, 19,80 17,00 32,0 19,76 0,933 21,179 4,							4,1
18,60 21,00 38,0 23,622 1,067 22,139 4, 18,80 17,00 33,0 19,622 0,933 21,031 4, 19,00 17,00 31,0 19,622 0,733 26,769 3, 19,20 21,00 32,0 23,76 1,133 20,971 4, 19,40 21,00 38,0 23,76 1,067 22,268 4, 19,60 19,00 35,0 21,76 1,0 21,76 4, 19,80 17,00 32,0 19,76 0,933 21,179 4,							4,9
18,80 17,00 33,0 19,622 0,933 21,031 4, 19,00 17,00 31,0 19,622 0,733 26,769 3, 19,20 21,00 32,0 23,76 1,133 20,971 4, 19,40 21,00 38,0 23,76 1,067 22,268 4, 19,60 19,00 35,0 21,76 1,0 21,76 4, 19,80 17,00 32,0 19,76 0,933 21,179 4,	18,40	20,00	39,0	22,622	1,133	19,966	5,0
18,80 17,00 33,0 19,622 0,933 21,031 4, 19,00 17,00 31,0 19,622 0,733 26,769 3, 19,20 21,00 32,0 23,76 1,133 20,971 4, 19,40 21,00 38,0 23,76 1,067 22,268 4, 19,60 19,00 35,0 21,76 1,0 21,76 4, 19,80 17,00 32,0 19,76 0,933 21,179 4,	18,60	21,00	38,0	23,622	1,067	22,139	4,5
19,00 17,00 31,0 19,622 0,733 26,769 3, 19,20 21,00 32,0 23,76 1,133 20,971 4, 19,40 21,00 38,0 23,76 1,067 22,268 4, 19,60 19,00 35,0 21,76 1,0 21,76 4, 19,80 17,00 32,0 19,76 0,933 21,179 4,	18,80	17,00	33,0	19,622	0,933	21,031	4,8
19,20 21,00 32,0 23,76 1,133 20,971 4, 19,40 21,00 38,0 23,76 1,067 22,268 4, 19,60 19,00 35,0 21,76 1,0 21,76 4, 19,80 17,00 32,0 19,76 0,933 21,179 4,	19,00	17,00	31,0	19,622	0,733	26,769	3,7
19,40 21,00 38,0 23,76 1,067 22,268 4, 19,60 19,00 35,0 21,76 1,0 21,76 4, 19,80 17,00 32,0 19,76 0,933 21,179 4,							4,8
19,60 19,00 35,0 21,76 1,0 21,76 4, 19,80 17,00 32,0 19,76 0,933 21,179 4,							4,5
19,80 17,00 32,0 19,76 0,933 21,179 4,							4,6
				19.76			4,7
	_==,00		2.2,0	_==,,,	- ,-	,07	,

Prof. Strato (m)	qc Media (Kg/cm²)	fs Media (Kg/cm²)	Gamma Medio (t/m³)	Comp. Geotecnico	Descrizione
1,20	19,994	1,756	1,9	Coesivo	Argilla inorganica molto compatta
5,60	9,903	0,439	1,8	Coesivo	Argilla inorganica di media consistenza
7,20	14,949	0,592	1,9	Incoerente-Coesivo	Argille sabbiose e limose
8,80	20,673	0,75	2,0	Incoerente-Coesivo	Argille sabbiose e limose
11,20	14,866	0,589	1,9	Incoerente-Coesivo	Argille sabbiose e limose
15,40	23,858	1,009	2,0	Incoerente-Coesivo	Argille sabbiose e limose
17,40	40,932	1,347	2,1	Incoerente-Coesivo	Terre Limo sabbiose - Sabbie Arg Limi
20,00	22,105	0,972	2,0	Incoerente-Coesivo	Argille sabbiose e limose

------pag. 79 ------

STIMA PARAMETRI GEOTECNICI

Nr: Numero progressivo strato Prof: Profondità strato (m)

Tipo: C: Coesivo. I: Incoerente. CI: Coesivo-Incoerente

Cu: Coesione non drenata (Kg/cm²)

Eu: Modulo di defomazione non drenato (Kg/cm²)

Mo: Modulo Edometrico (Kg/cm²)

G: Modulo di deformazione a taglio (Kg/cm²)

OCR: Grado di sovraconsolidazione
Puv: Peso unità di volume (t/m³)
PuvS: Peso unità di volume saturo (t/m³)

Dr: Densità relativa (%)

Fi: Angolo di resistenza al taglio (°)
Ey: Modulo di Young (Kg/cm²)
Vs: Velocità onde di taglio (m/s)

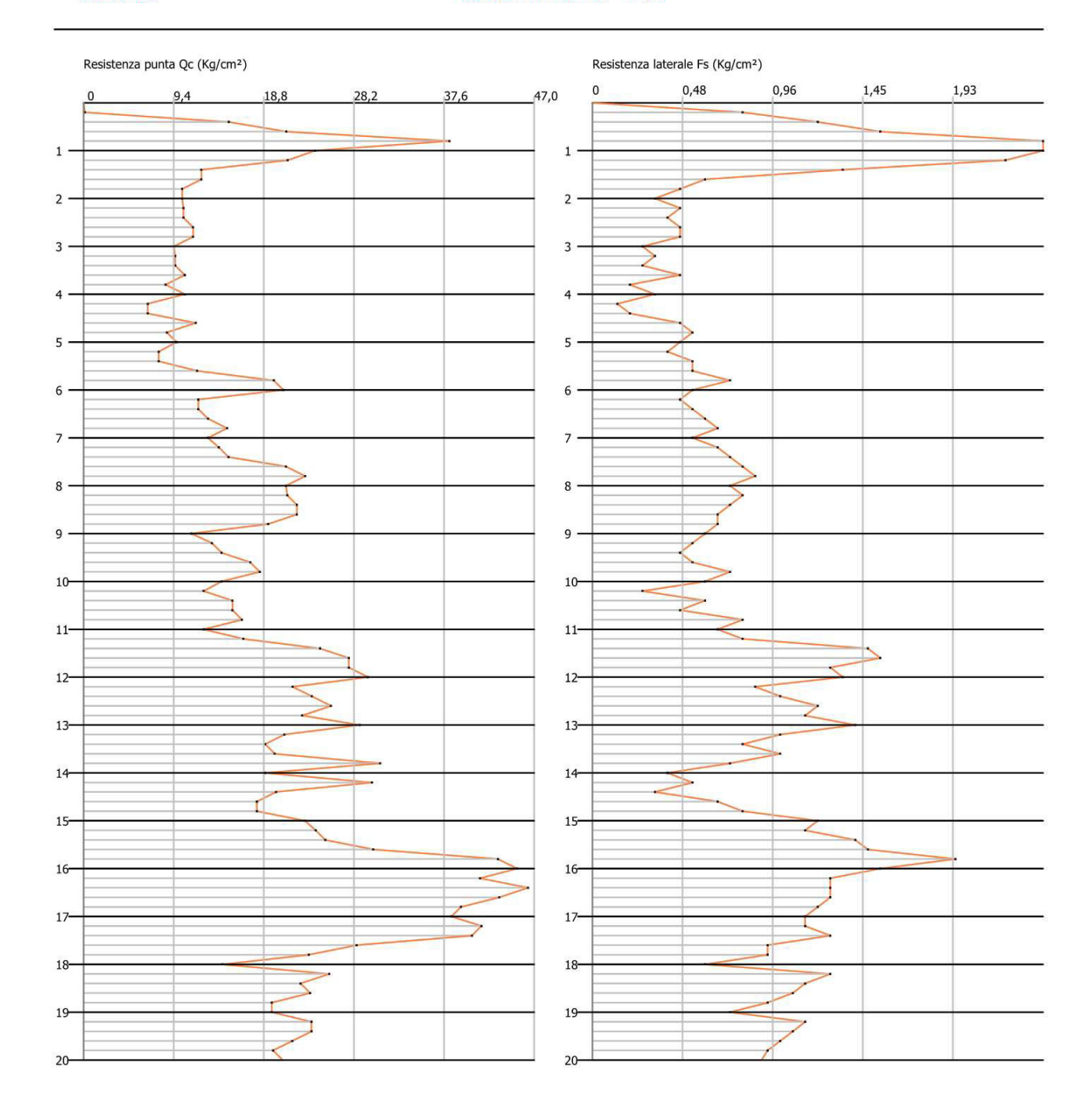
Nr.	Prof.	Tipo	Cu	Eu	Mo	G	OCR	Puv	PuvS	Dr	Fi	Ey	Vs
1	1,20	C	1,0	745,5	42,0	174,6	>9	2,0	2,1				174,41
2	5,60	C	0,5	348,0	43,3	113,7	5,0	1,8	1,9				201,42
3	7,20	CI	0,7	516,6	48,4	146,2	< 0.5	1,9	2,0	5,0	28,7	0,0	246,12
4	8,80	CI	1,0	719,6	41,3	178,2	< 0.5	2,0	2,0	8,4	28,7	0,0	274,95
5	11,20	CI	0,7	487,3	48,4	145,7	< 0.5	1,9	2,0	5,0	28,7	0,0	260,53
6	15,40	CI	1,2	800,2	47,7	194,5	< 0.5	2,0	2,1	5,0	28,7	0,0	304,44
7	17,40	CI	2,0	1416,8	81,9	270,5	< 0.5	2,1	2,2	13,7	29,0	0,0	358,43
8	20,00	CI	1,1	693,2	44,2	185,6	< 0.5	2,0	2,0	5,0	28,7	0,0	312,44

(Dott. Grol. Valeriano Franchi-AND105.2 - Cavazzona-Castelfranco E. - MO) 4

Probe CPT - Cone Penetration Nr.1 Strumento utilizzato PAGANI 100 kN

Committente: Dott. Grol. Valeriano Franchi Data: 20/10/2016
Cantiere: AND105.2 - Cavazzona

Località: Castelfranco E. - MO





PROVA ... Nr.2

Committente: Dott. Grol. Valeriano Franchi Strumento utilizzato: PAGANI 100 kN Prova eseguita in data: 20/10/2016 Profondità prova: 19,80 mt Località: Castelfranco E. – MO

Falda non rilevata

Profondità	Lettura punta	Lettura laterale	qc	fs	qc/fs	fs/qcx100
(m)	(Kg/cm²)	(Kg/cm²)	(Kg/cm²)	(Kg/cm²)	Begemann	(Schmertmann)
0,20	0,00	0,0	0,138	1,533	0,09	1110,9
0,40	12,00	35,0	12,138	1,4	8,67	11,5
0,60	11,00	32,0	11,138	1,267	8,791	11,4
0,80	25,00	44,0	25,138	1,067	23,56	4,2
1,00	23,00	39,0	23,138	2,267	10,206	9,8
1,20	18,00	52,0	18,276		8,568	11,7
1,40	10,00	42,0	10,276		8,563	11,7
1,60	12,00	30,0	12,276		23,032	4,3
1,80 2,00	9,00 8,00	17,0	9,276 8,276		23,19	4,3 3,2
2,00	10,00	14,0 14,0	10,414	0,267	30,996 31,273	3,2
2,40	8,00	13,0	8,414		31,513	3,2
2,40	7,00	11,0	7,414	0,267	27,768	3,6
2,80	8,00	12,0	8,414	0,467	18,017	5,6
3,00	8,00	15,0	8,414	0,333	25,267	4,0
3,20	8,00	13,0	8,552	0,333	21,38	4,7
3,40	17,00	23,0	17,552	0,733	23,945	4,2
3,60	11,00	22,0	11,552	0,4	28,88	3,5
3,80	19,00	25,0	19,552	0,333	58,715	1,7
4,00	6,00	11,0	6,552	0,267	24,539	4,1
4,20	6,00	10,0	6,69	0,2	33,45	3,0
4,40	5,00	8,0	5,69	0,2	28,45	3,5
4,60	5,00	8,0	5,69	0,267	21,311	4,7
4,80	9,00	13,0	9,69	0,467	20,749	4,8
5,00	9,00	16,0	9,69		24,225	4,1
5,20	11,00	17,0	11,828	0,533	22,191	4,5
5,40	10,00	18,0	10,828	0,533	20,315	4,9
5,60	14,00	22,0	14,828	0,667	22,231	4,5
5,80	15,00	25,0	15,828	0,533	29,696	3,4
6,00	11,00	19,0	11,828	0,533	22,191	4,5
6,20	9,00	17,0	9,966		18,698	5,3
6,40	10,00	18,0	10,966		23,482	4,3
6,60	13,00	20,0	13,966		23,277	4,3
6,80	13,00	22,0	13,966		23,277	4,3
7,00	10,00	19,0	10,966		16,441	6,1
7,20	10,00	20,0	11,104		18,507	5,4
7,40	16,00	25,0	17,104	0,733	23,334	4,3
7,60 7,80	15,00 14,00	26,0 27,0	16,104 15,104		18,574 17,421	5,4 5,7
8,00	18,00	31,0	15,104		17,421	5,7
8,00	22,00	37,0	23,242		17,436	5,2
8,40	19,00	39,0	20,242		21,696	4,6
8,60	12,00	26,0	13,242		28,355	3,5
8,80	12,00	19,0	13,242		33,105	3,0
9,00	12,00	18,0	13,242	0,6	22,07	4,5
9,20	9,00	18,0	10,38		22,227	4,5
9,40	8,00	15,0	9,38	0,4	23,45	4,3
9,60	12,00	18,0	13,38		22,3	4,5
9,80	10,00	19,0	11,38		28,45	3,5
10,00	12,00	18,0	13,38		28,651	3,5
10,20	8,00	15,0	9,518		23,795	4,2
10,40	10,00	16,0	11,518		24,664	4,1
10,60	11,00	18,0	12,518		18,768	5,3
10,80	10,00	20,0	11,518	0,533	21,61	4,6
11,00	12,00	20,0	13,518	0,933	14,489	6,9

(Dott. Grol. Valeriano Franchi-AND105.2 - Cavazzona-Castelfranco E. - MO) 7

11,20	21,00	35,0	22,656		16,183	6,2
11,40	31,00	52,0	32,656	1,867	17,491	5,7
11,60	30,00	58,0	31,656	1,933	16,377	6,1
11,80	31,00	60,0	32,656		18,142	5,5
12,00	24,00	51,0	25,656		16,035	6,2
12,20	21,00	45,0	22,794	1,067	21,363	4,7
12,40	29,00	45,0	30,794	1,667	18,473	5,4
12,60	15,00	40,0	16,794	0,867	19,37	5,2
12,80	23,00	36,0	24,794	0,933	26,574	3,8
13,00	21,00	35,0	22,794		18,995	5,3
13,20	11,00	29,0	12,932	0,933	13,861	7,2
13,40	15,00	29,0	16,932	1,067	15,869	6,3
13,60	21,00	37,0	22,932	0,533	43,024	2,3
13,80	44,00	52,0	45,932		38,277	2,6
14,00	39,00	57,0	40,932	0,733	55,842	1,8
14,20	17,00	28,0	19,07	0,733	26,016	3,8
14,40	21,00	32,0	23,07	0,6	38,45	2,6
14,60	21,00	30,0	23,07	0,867	26,609	3,8
14,80	24,00	37,0	26,07	1,067	24,433	4,1
15,00	17,00	33,0	19,07	1,0	19,07	5,2
15,20	17,00	32,0	19,208	1,0	19,208	5,2
15,40	25,00	40,0	27,208	1,667	16,322	6,1
15,60	35,00	60,0	37,208	2,0	18,604	5,4
15,80	40,00	70,0	42,208	1,467	28,772	3,5
16,00	40,00	62,0	42,208	1,267	33,313	3,0
16,20	41,00	60,0	43,346	1,267	34,212	2,9
16,40	37,00	56,0	39,346	1,333	29,517	3,4
16,60	37,00	57,0	39,346	1,2	32,788	3,0
16,80	37,00	55,0	39,346	1,067	36,875	2,7
17,00	35,00	51,0	37,346	1,2	31,122	3,2
17,20	34,00	52,0	36,484	1,6	22,803	4,4
17,40	32,00	56,0	34,484	1,333	25,869	3,9
17,60	41,00	61,0	43,484	1,4	31,06	3,2
17,80	26,00	47,0	28,484	1,067	26,695	3,7
18,00	29,00	45,0	31,484	1,267	24,849	4,0
18,20	39,00	58,0	41,622	1,267	32,851	3,0
18,40	39,00	58,0	41,622	2,0	20,811	4,8
18,60	39,00	69,0	41,622	1,733	24,017	4,2
18,80	30,00	56,0	32,622	1,4	23,301	4,3
19,00	30,00	51,0	32,622		32,622	3,1
19,20	27,00	42,0	29,76	1,533	19,413	5,2
19,40	23,00	46,0	25,76	1,267	20,331	4,9
19,60	25,00	44,0	27,76	1,267	21,91	4,6
19,80	25,00	44,0	25,0	1,2	20,833	4,8
17,00	25,00	11,0	25,0	1,2	20,033	1,0

Prof. Strato (m)	qc Media (Kg/cm²)	fs Media (Kg/cm²)	Gamma Medio (t/m³)	Comp. Geotecnico	Descrizione
1,40	14,32	1,552	1,9	Coesivo	Argille organiche e terreni misti
11,00	12,027	0,528	1,9	Coesivo	Argilla inorganica compatta
19,80	30,746	1,27	2,0	Incoerente-Coesivo	Argille sabbiose e limose

STIMA PARAMETRI GEOTECNICI

Nr: Numero progressivo strato
Prof: Profondità strato (m)

Tipo: C: Coesivo. I: Incoerente. CI: Coesivo-Incoerente

Cu: Coesione non drenata (Kg/cm²)

Eu: Modulo di defomazione non drenato (Kg/cm²)

Mo: Modulo Edometrico (Kg/cm²)

G: Modulo di deformazione a taglio (Kg/cm²)

OCR: Grado di sovraconsolidazione
Puv: Peso unità di volume (t/m³)
PuvS: Peso unità di volume saturo (t/m³)

Dr: Densità relativa (%)

Fi: Angolo di resistenza al taglio (°)
Ey: Modulo di Young (Kg/cm²)
Vs: Velocità onde di taglio (m/s)

Nr.	Prof.	Tipo	Cu	Eu	Mo	G	OCR	Puv	PuvS	Dr	Fi	Ey	Vs
1	1,40	C	0,7	532,0	48,4	142,4	>9	1,9	2,0				168,27
2	11,00	C	0,6	406,8	46,9	128,0	3,1	1,9	2,0				230,88
3	19,80	CI	1,5	1041,6	61,5	227,1	< 0.5	2,0	2,1	5,3	28,7	0,0	331,16

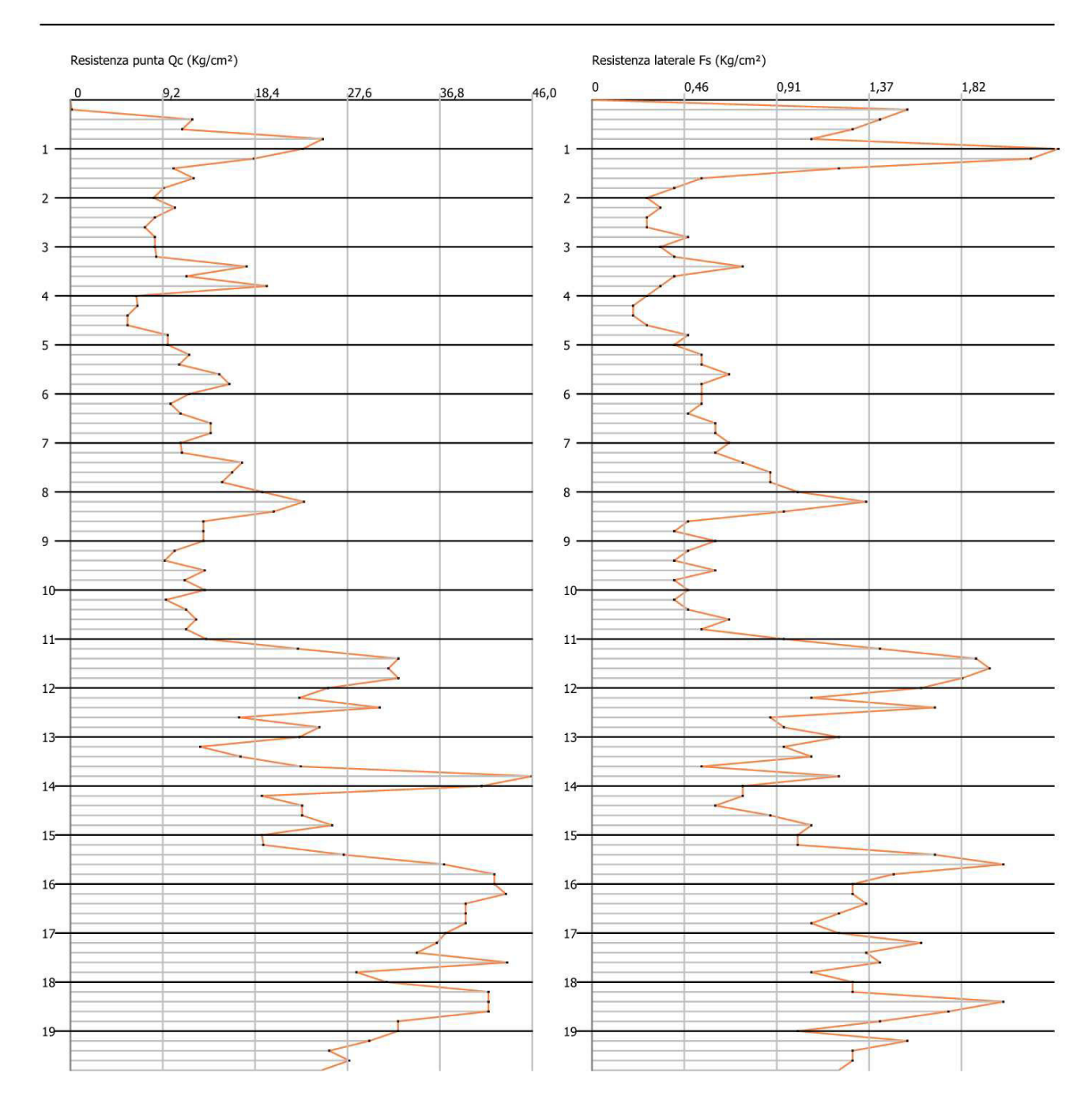
(Dott. Grol. Valeriano Franchi-AND105.2 - Cavazzona-Castelfranco E. - MO) 9

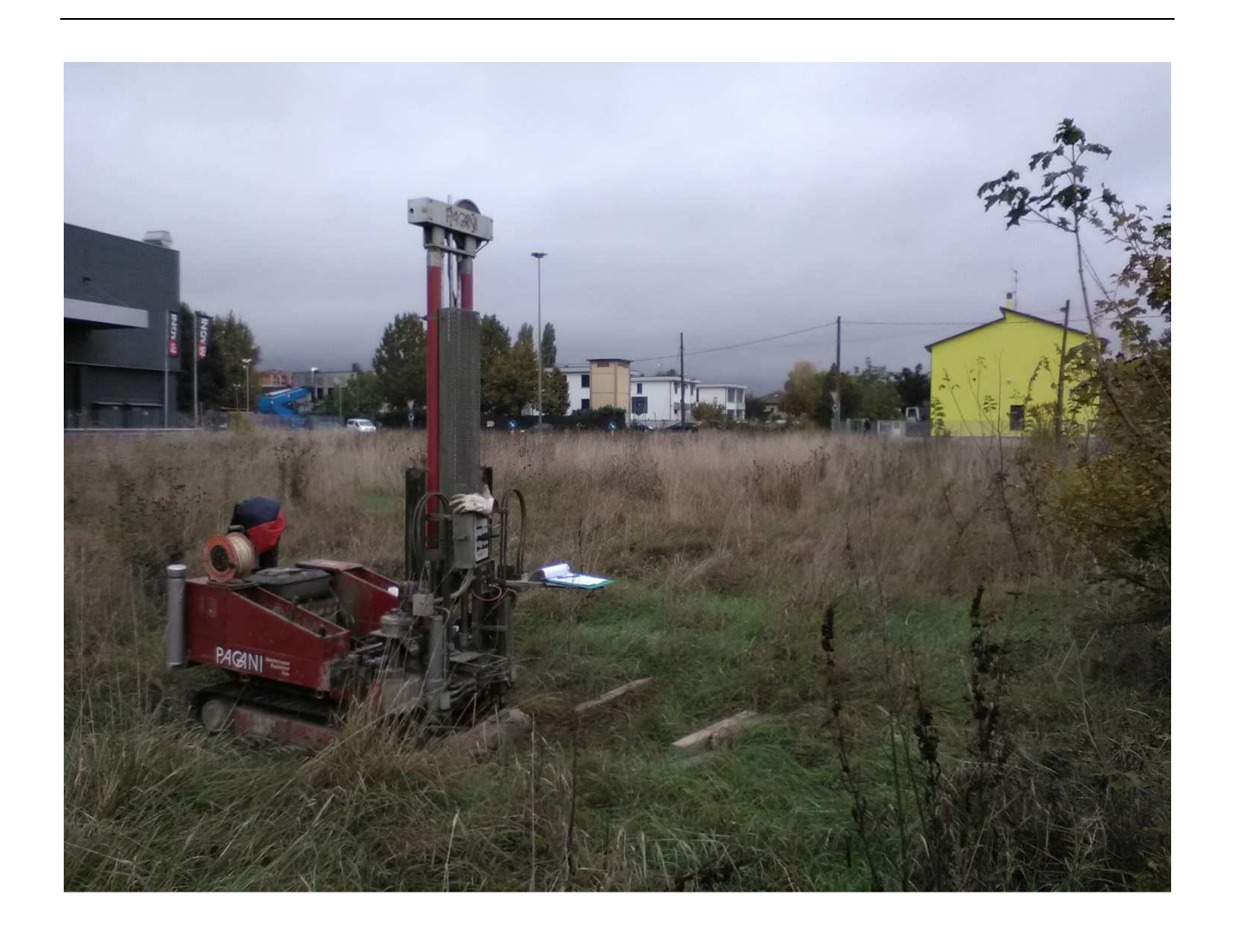
------ pag. 85

Probe CPT - Cone Penetration Nr.2 Strumento utilizzato PAGANI 100 kN

Committente: Dott. Grol. Valeriano Franchi Data: 20/10/2016

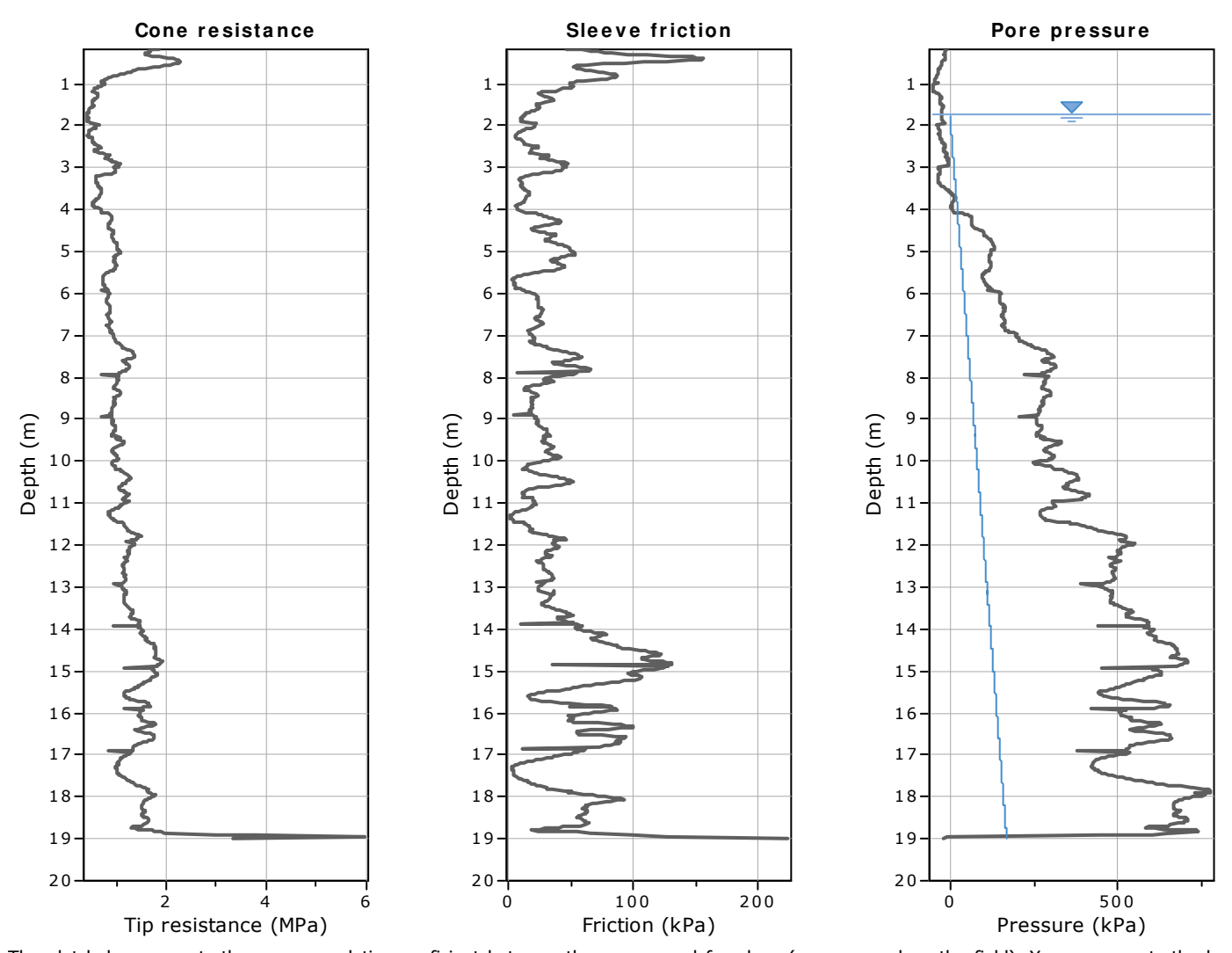
Cantiere: AND105.2 - Cavazzona Località: Castelfranco E. - MO



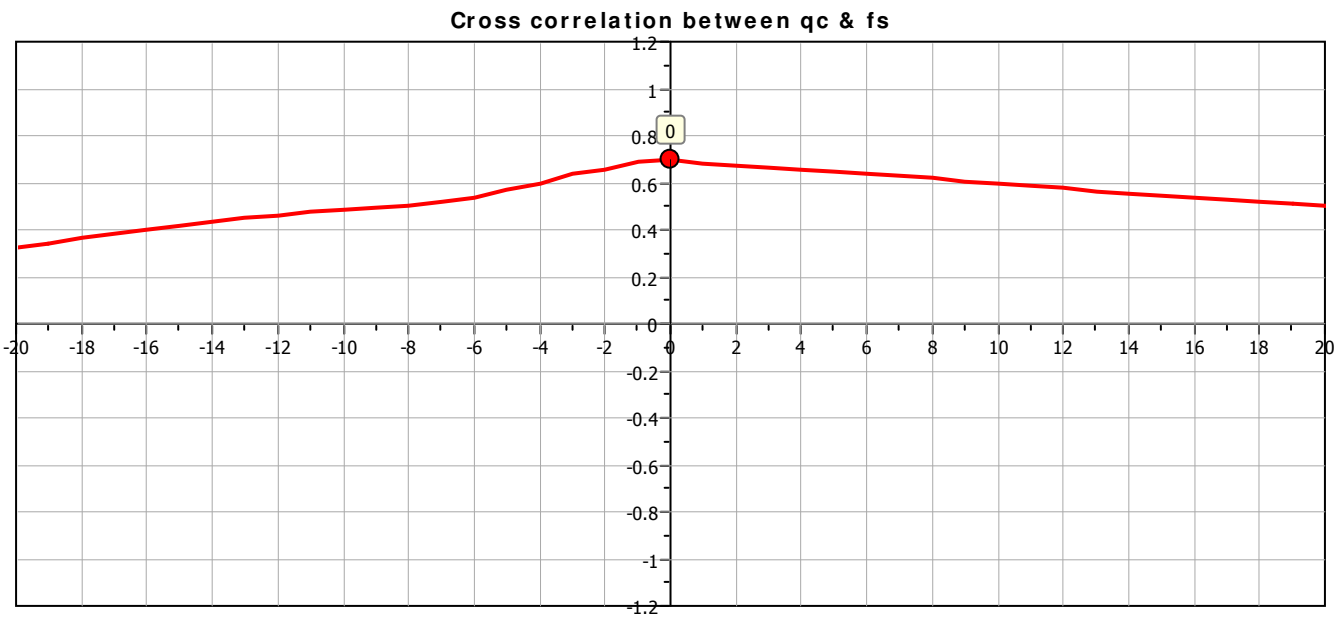


V.le Caduti in Guerra, 1 41121 Modena valerianofranchi@tin.it

Project: CPTU1_Cav_Scuola
Location: Total depth: 19.01 m



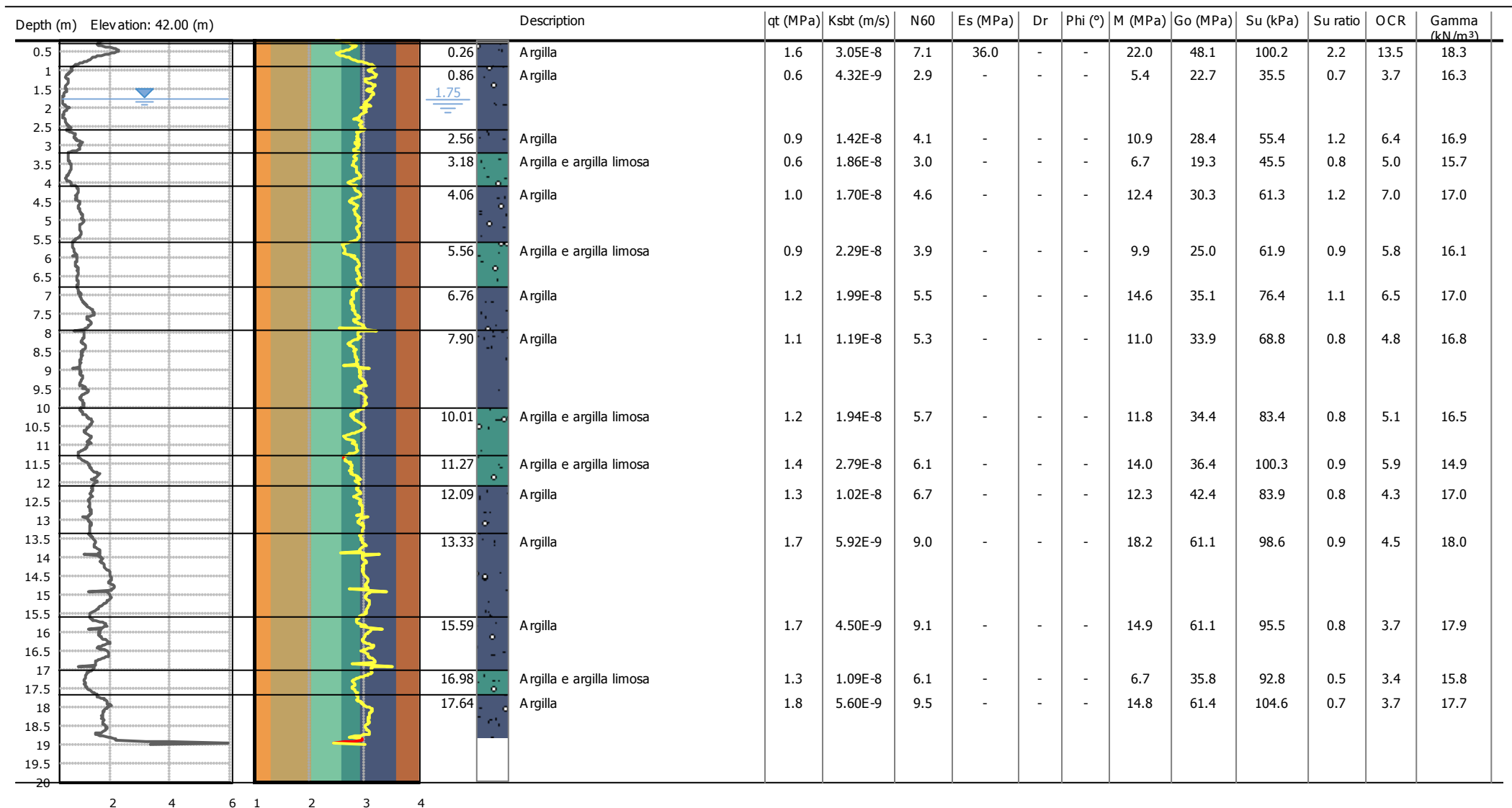
The plot below presents the cross correlation coeficient between the raw qc and fs values (as measured on the field). X axes presents the lag distance (one lag is the distance between two sucessive CPT measurements).



V.le Caduti in Guerra, 1 41121 Modena valerianofranchi@tin.it

Project: Location: CPT: CPTU1_Cav_Scuola

Total depth: 19.01 m



Ιc

Tip resistance (MPa)

V.le Caduti in Guerra, 1 41121 Modena valerianofranchi@tin.it

Project: Location: CPT: CPTU1_Cav_Scuola

Total depth: 19.01 m, Date: 23/06/2017

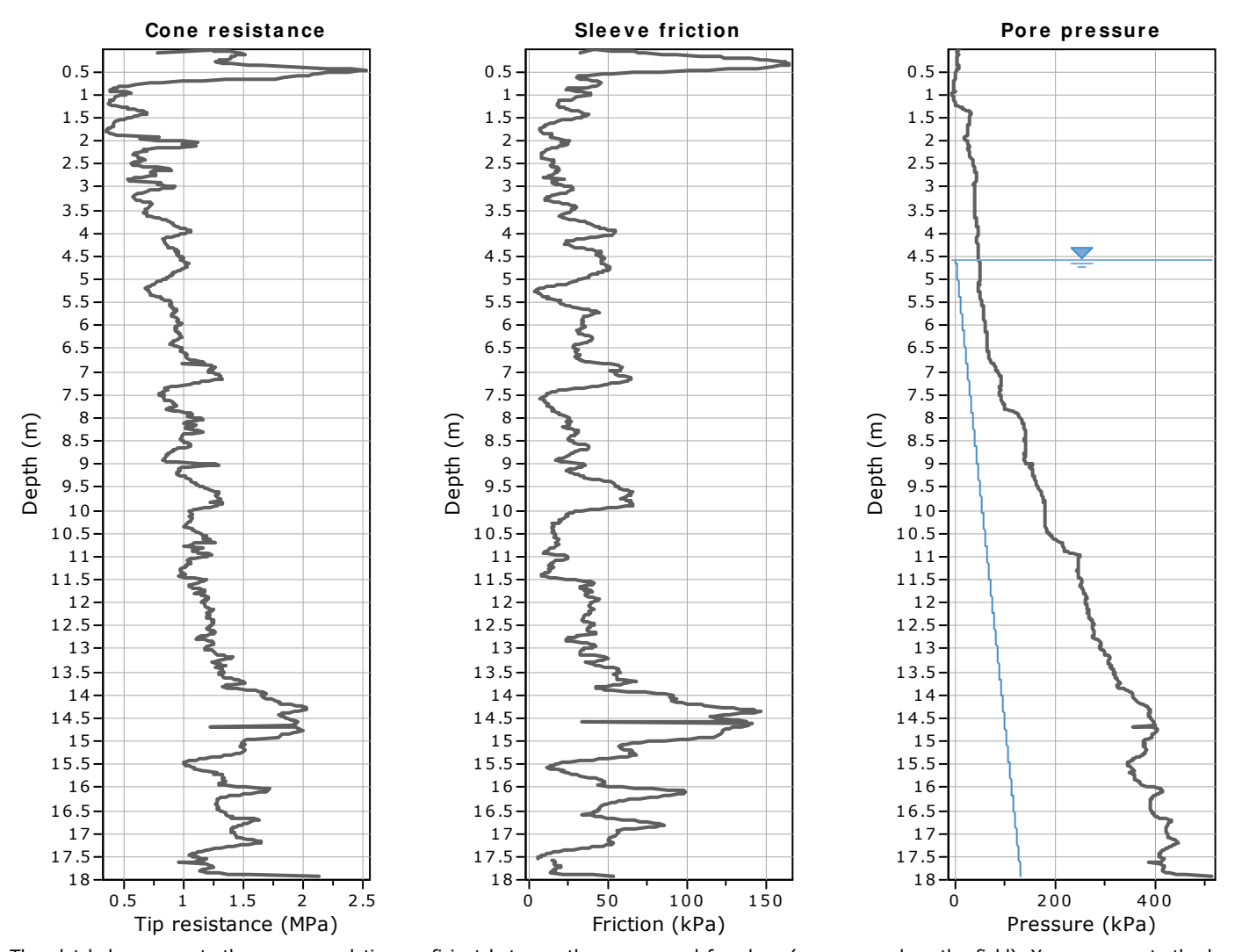
Summary table of mean values

From depth To depth (m)	Thickness (m)	Permeability (m/s)	SPT _{N60} (blows/30cm)	E _s (MPa)	Dr	Friction angle	Constrained modulus, M (MPa)	Shear modulus, G ₀ (MPa)	Undrained strength, S _∪ (kPa)	Undrained strength ratio	OCR	Unit weight (kN/m³)
0.26	0.60	3.05E-08	7.1	36.0	0.0	0.0	22.0	48.1	100.2	2.2	13.5	18.3
0.86	0.00	(±6.61E-08)	(±1.6)	(±3.9)	(±0.0)	(±0.0)	(±6.4)	(±8.7)	(±33.0)	(±0.7)	(±5.6)	(±0.4)
0.86	1.70	4.32E-09	2.9	0.0	0.0	0.0	5.4	22.7	35.5	0.7	3.7	16.3
2.56	1.70	(±4.15E-09)	(±0.7)	(±0.0)	(±0.0)	(±0.0)	(±2.2)	(±6.0)	(±5.2)	(±0.1)	(±0.7)	(±0.8)
2.56	0.62	1.42E-08	4.1	0.0	0.0	0.0	10.9	28.4	55.4	1.2	6.4	16.9
3.18	0.02	(±4.66E-09)	(±0.8)	(±0.0)	(±0.0)	(±0.0)	(±2.5)	(±4.4)	(±8.6)	(±0.2)	(±1.2)	(±0.5)
3.18	0.88	1.86E-08	3.0	0.0	0.0	0.0	6.7	19.3	45.5	0.8	5.0	15.7
4.06	0.00	(±7.83E-09)	(±0.0)	(±0.0)	(±0.0)	(±0.0)	(±1.3)	(±1.7)	(±4.3)	(±0.1)	(±0.6)	(±0.3)
4.06	1.50	1.70E-08	4.6	0.0	0.0	0.0	12.4	30.3	61.3	1.2	7.0	17.0
5.56	1.50	(±8.29E-09)	(±0.6)	(±0.0)	(±0.0)	(±0.0)	(±1.4)	(±4.3)	(±4.4)	(±0.1)	(±0.7)	(±0.5)
5.56	1.20	2.29E-08	3.9	0.0	0.0	0.0	9.9	25.0	61.9	0.9	5.8	16.1
6.76	1120	(±3.12E-08)	(±0.7)	(±0.0)	(±0.0)	(±0.0)	(±1.3)	(±4.8)	(±6.9)	(±0.1)	(±0.8)	(±0.8)
6.76	1.14	1.99E-08	5.5	0.0	0.0	0.0	14.6	35.1	76.4	1.1	6.5	17.0
7.90	111 1	(±1.90E-08)	(±1.1)	(±0.0)	(±0.0)	(±0.0)	(±2.8)	(±7.3)	(±10.0)	(±0.2)	(±0.9)	(±0.6)
7.90	2.11	1.19E-08	5.3	0.0	0.0	0.0	11.0	33.9	68.8	0.8	4.8	16.8
10.01		(±1.20E-08)	(±0.5)	(±0.0)	(±0.0)	(±0.0)	(±2.0)	(±3.9)	(±8.1)	(±0.1)	(±0.8)	(±0.4)
10.01	1.26	1.94E-08	5.7	0.0	0.0	0.0	11.8	34.4	83.4	0.8	5.1	16.5
11.27	2.20	(±1.90E-08)	(±0.8)	(±0.0)	(± 0.0)	(±0.0)	(±3.1)	(±6.0)	(±12.5)	(±0.1)	(±0.9)	(±0.7)
11.27	0.82	2.79E-08	6.1	0.0	0.0	0.0	14.0	36.4	100.3	0.9	5.9	14.9
12.09	0.02	(±2.22E-08)	(±1.1)	(±0.0)	(±0.0)	(±0.0)	(±4.4)	(±9.3)	(±9.1)	(±0.1)	(±0.7)	(±5.0)
12.09	1.24	1.02E-08	6.7	0.0	0.0	0.0	12.3	42.4	83.9	0.8	4.3	17.0
13.33	1121	(±3.75E-09)	(±0.4)	(±0.0)	(±0.0)	(±0.0)	(±1.5)	(±2.1)	(±5.4)	(±0.1)	(±0.4)	(±0.2)

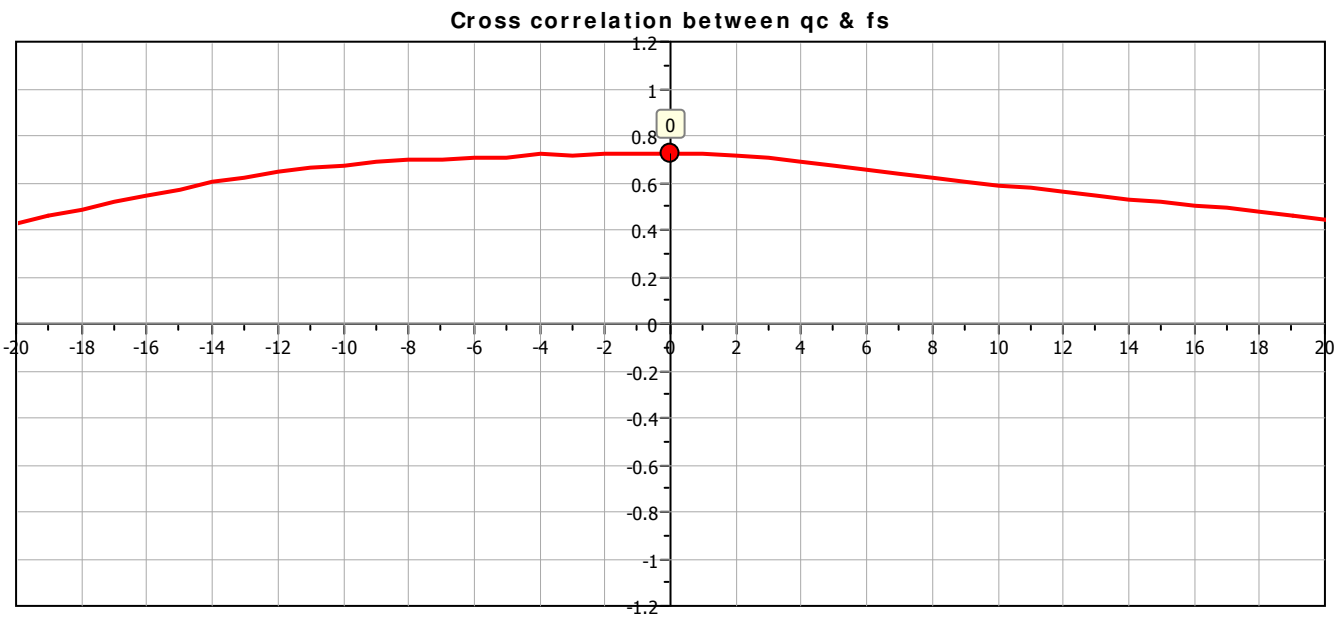
CPeT-IT - CPTU data presentation & interpretation software - Report created on: 23/06/2017, 10:04:21 Project file: F:\LAVORI\CPTU\CASTELFRANCO_EMILIA\2017-CAVAZZONA-PUA_VERDE\Cavazscuola.cpt

V.le Caduti in Guerra, 1 41121 Modena valerianofranchi@tin.it

Project: CPT: CPTU2-Cav_Scuola
Location: Total depth: 17.91 m



The plot below presents the cross correlation coeficient between the raw qc and fs values (as measured on the field). X axes presents the lag distance (one lag is the distance between two sucessive CPT measurements).

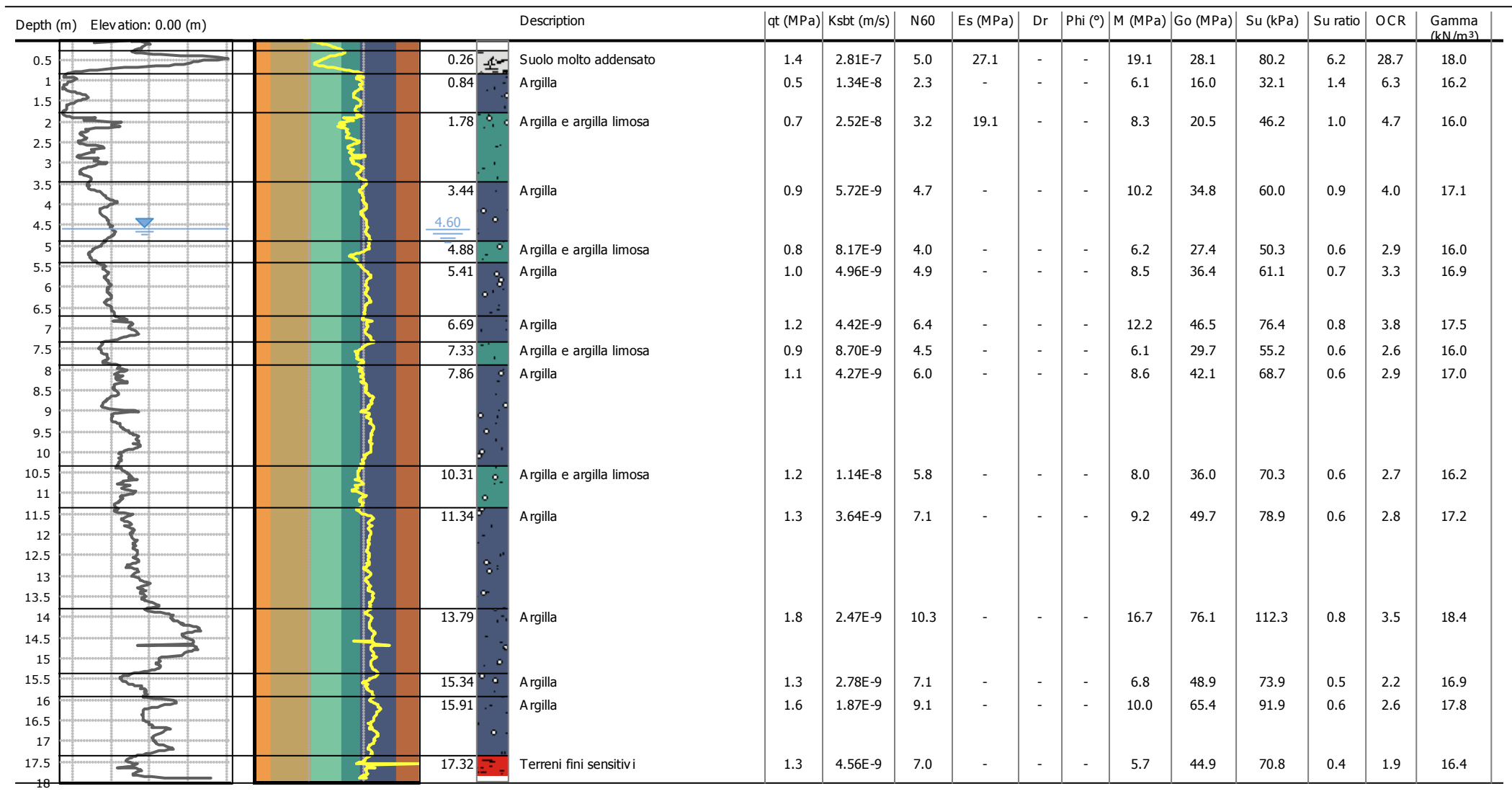


V.le Caduti in Guerra, 1 41121 Modena valerianofranchi@tin.it

Project: Location: CPT: CPTU2-Cav_Scuola

Total depth: 17.91 m

6



CPeT-IT - CPTU data presentation & interpretation software - Report created on: 23/06/2017, 10:02:50 Project file: F:\LAVORI\CPTU\CASTELFRANCO_EMILIA\2017-CAVAZZONA-PUA_VERDE\Cavazscuola.cpt

Ic 3

1 1.5 2 2.5 1

Tip resistance (MPa)

V.le Caduti in Guerra, 1 41121 Modena valerianofranchi@tin.it

Project: Location: CPT: CPTU2-Cav_Scuola

Total depth: 17.91 m, Date: 23/06/2017

Summary table of mean values

From depth To depth (m)	Thickness (m)	Permeability (m/s)	SPT _{N60} (blows/30cm)	E _s (MPa)	D _r	Friction angle	Constrained modulus, M (MPa)	Shear modulus, G ₀ (MPa)	Undrained strength, S _∪ (kPa)	Undrained strength ratio	OCR	Unit weight (kN/m³)
0.26	0.58	2.81E-07	5.0	27.1	0.0	0.0	19.1	28.1	80.2	6.2	28.7	18.0
0.84	0.56	(±1.25E-06)	(±1.8)	(±6.1)	(±0.0)	(±0.0)	(±9.1)	(±7.9)	(±46.9)	(±4.4)	(±20.3)	(±0.8)
0.84	0.94	1.34E-08	2.3	0.0	0.0	0.0	6.1	16.0	32.1	1.4	6.3	16.2
1.78	0.54	(±5.64E-09)	(±0.5)	(±0.0)	(±0.0)	(±0.0)	(±1.6)	(±3.0)	(±7.2)	(±0.4)	(±1.7)	(±0.6)
1.78	1.66	2.52E-08	3.2	19.1	0.0	0.0	8.3	20.5	46.2	1.0	4.7	16.0
3.44	1.00	(±3.61E-08)	(±0.6)	(±0.9)	(±0.0)	(±0.0)	(±2.8)	(±4.0)	(±11.8)	(±0.3)	(±1.4)	(±0.5)
3.44	1.44	5.72E-09	4.7	0.0	0.0	0.0	10.2	34.8	60.0	0.9	4.0	17.1
4.88	2.11	(±2.13E-09)	(±0.6)	(±0.0)	(±0.0)	(±0.0)	(±1.9)	(±5.4)	(±7.5)	(±0.1)	(±0.4)	(±0.4)
4.88	0.53	8.17E-09	4.0	0.0	0.0	0.0	6.2	27.4	50.3	0.6	2.9	16.0
5.41	0.55	(±1.10E-08)	(±0.8)	(±0.0)	(±0.0)	(±0.0)	(±1.5)	(±7.0)	(±5.4)	(±0.1)	(±0.3)	(±1.0)
5.41	1.28	4.96E-09	4.9	0.0	0.0	0.0	8.5	36.4	61.1	0.7	3.3	16.9
6.69	1120	(±2.63E-09)	(±0.2)	(±0.0)	(±0.0)	(±0.0)	(±0.7)	(±3.4)	(±3.1)	(±0.0)	(±0.1)	(±0.3)
6.69	0.64	4.42E-09	6.4	0.0	0.0	0.0	12.2	46.5	76.4	0.8	3.8	17.5
7.33	0.0 1	(±1.71E-09)	(±0.7)	(±0.0)	(±0.0)	(±0.0)	(±2.6)	(±4.7)	(±8.3)	(±0.1)	(±0.4)	(±0.3)
7.33	0.53	8.70E-09	4.5	0.0	0.0	0.0	6.1	29.7	55.2	0.6	2.6	16.0
7.86	0.55	(±5.31E-09)	(±0.5)	(±0.0)	(±0.0)	(±0.0)	(±0.6)	(±3.8)	(±2.9)	(±0.0)	(±0.1)	(±0.5)
7.86	2.45	4.27E-09	6.0	0.0	0.0	0.0	8.6	42.1	68.7	0.6	2.9	17.0
10.31	21.13	(±3.03E-09)	(±0.9)	(±0.0)	(±0.0)	(±0.0)	(±2.2)	(±7.3)	(±8.9)	(±0.1)	(±0.4)	(±0.5)
10.31	1.03	1.14E-08	5.8	0.0	0.0	0.0	8.0	36.0	70.3	0.6	2.7	16.2
11.34	1.05	(±5.57E-09)	(±0.4)	(±0.0)	(±0.0)	(±0.0)	(±1.4)	(±2.5)	(±5.8)	(±0.1)	(±0.2)	(±0.3)
11.34	2.45	3.64E-09	7.1	0.0	0.0	0.0	9.2	49.7	78.9	0.6	2.8	17.2
13.79	2.13	(±2.62E-09)	(±0.8)	(±0.0)	(±0.0)	(±0.0)	(±1.5)	(±6.8)	(±7.6)	(±0.0)	(±0.2)	(±0.5)

CPeT-IT - CPTU data presentation & interpretation software - Report created on: 23/06/2017, 10:02:50 Project file: F:\LAVORI\CPTU\CASTELFRANCO_EMILIA\2017-CAVAZZONA-PUA_VERDE\Cavazscuola.cpt

V.le Caduti in Guerra, 1 41121 Modena valerianofranchi@tin.it

Project: Location: CPT: CPTU2-Cav_Scuola

Total depth: 17.91 m, Date: 23/06/2017

Summary table of mean values

From depth To depth (m)	Thickness (m)	Permeability (m/s)	SPT _{N60} (blows/30cm)	E _s (MPa)	Dr	Friction angle	Constrained modulus, M (MPa)	Shear modulus, G _o (MPa)	Undrained strength, S _U (kPa)	Undrained strength ratio	OCR	Unit weight (kN/m³)
13.79	1.55	2.47E-09	10.3	0.0	0.0	0.0	16.7	76.1	112.3	0.8	3.5	18.4
15.34	1.55	(±2.93E-09)	(±1.3)	(±0.0)	(±0.0)	(±0.0)	(±4.9)	(±11.5)	(±16.2)	(±0.1)	(±0.5)	(±0.5)
15.34	0.57	2.78E-09	7.1	0.0	0.0	0.0	6.8	48.9	73.9	0.5	2.2	16.9
15.91	0.57	(±1.89E-09)	(±0.9)	(±0.0)	(±0.0)	(±0.0)	(±1.6)	(±8.2)	(±9.0)	(±0.1)	(±0.3)	(±0.6)
15.91	1.41	1.87E-09	9.1	0.0	0.0	0.0	10.0	65.4	91.9	0.6	2.6	17.8
17.32	1.11	(±8.60E-10)	(±0.9)	(±0.0)	(±0.0)	(±0.0)	(±2.2)	(±6.8)	(±9.5)	(±0.1)	(±0.3)	(±0.3)
17.32	0.51	4.56E-09	7.0	0.0	0.0	0.0	5.7	44.9	70.8	0.4	1.9	16.4
17.83	0.51	(±3.23E-09)	(±1.5)	(±0.0)	(±0.0)	(±0.0)	(±0.9)	(±23.3)	(±5.8)	(±0.0)	(±0.2)	(±1.2)

Depth values presented in this table are measured from free ground surface

V.le Caduti in Guerra, 1 41121 Modena valerianofranchi@tin.it

Project: Location: CPT: CPTU1_Cav_Scuola

Total depth: 19.01 m, Date: 23/06/2017

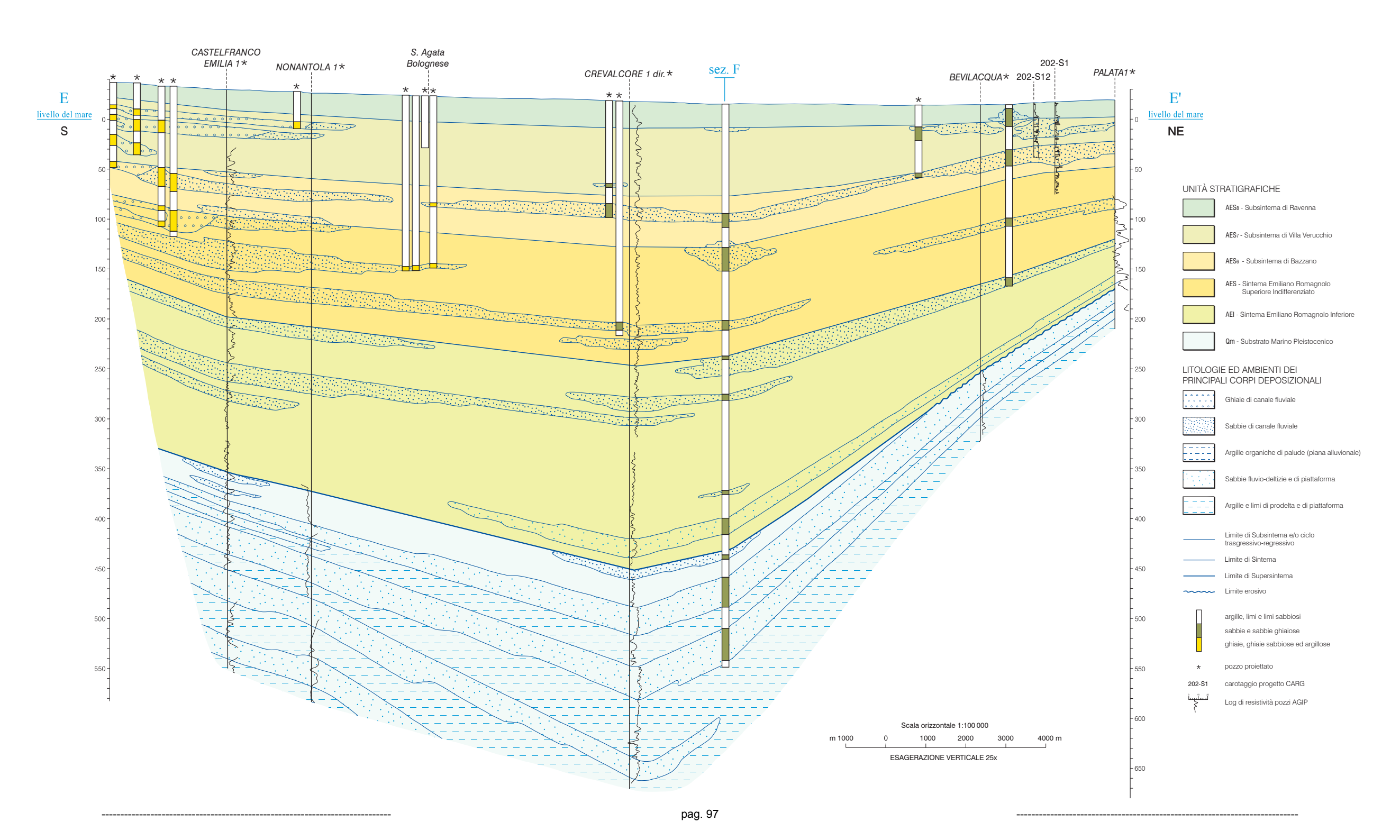
Summary table of mean values

From depth To depth (m)	Thickness (m)	Permeability (m/s)	SPT _{N60} (blows/30cm)	E₅ (MPa)	D _r	Friction angle	Constrained modulus, M (MPa)	Shear modulus, G ₀ (MPa)	Undrained strength, S _∪ (kPa)	Undrained strength ratio	OCR	Unit weight (kN/m³)
13.33	2.26	5.92E-09	9.0	0.0	0.0	0.0	18.2	61.1	98.6	0.9	4.5	18.0
15.59	2.20	(±1.15E-08)	(±1.5)	(±0.0)	(±0.0)	(±0.0)	(±5.5)	(±12.9)	(±13.1)	(±0.1)	(±0.7)	(±0.6)
15.59	1.39	4.50E-09	9.1	0.0	0.0	0.0	14.9	61.1	95.5	0.8	3.7	17.9
16.98	1.59	(±5.49E-09)	(±1.2)	(±0.0)	(±0.0)	(±0.0)	(±4.3)	(±10.3)	(±14.2)	(±0.1)	(±0.7)	(±0.6)
16.98	0.66	1.09E-08	6.1	0.0	0.0	0.0	6.7	35.8	92.8	0.5	3.4	15.8
17.64	0.00	(±1.06E-08)	(±1.0)	(±0.0)	(±0.0)	(±0.0)	(±1.6)	(±9.3)	(±16.2)	(±0.1)	(±0.7)	(±1.0)
17.64	1.17	5.60E-09	9.5	0.0	0.0	0.0	14.8	61.4	104.6	0.7	3.7	17.7
18.81	1.17	(±6.93E-09)	(±1.0)	(±0.0)	(±0.0)	(±0.0)	(±2.6)	(±9.1)	(±11.3)	(±0.1)	(±0.5)	(±0.6)

Depth values presented in this table are measured from free ground surface

Allegato 3

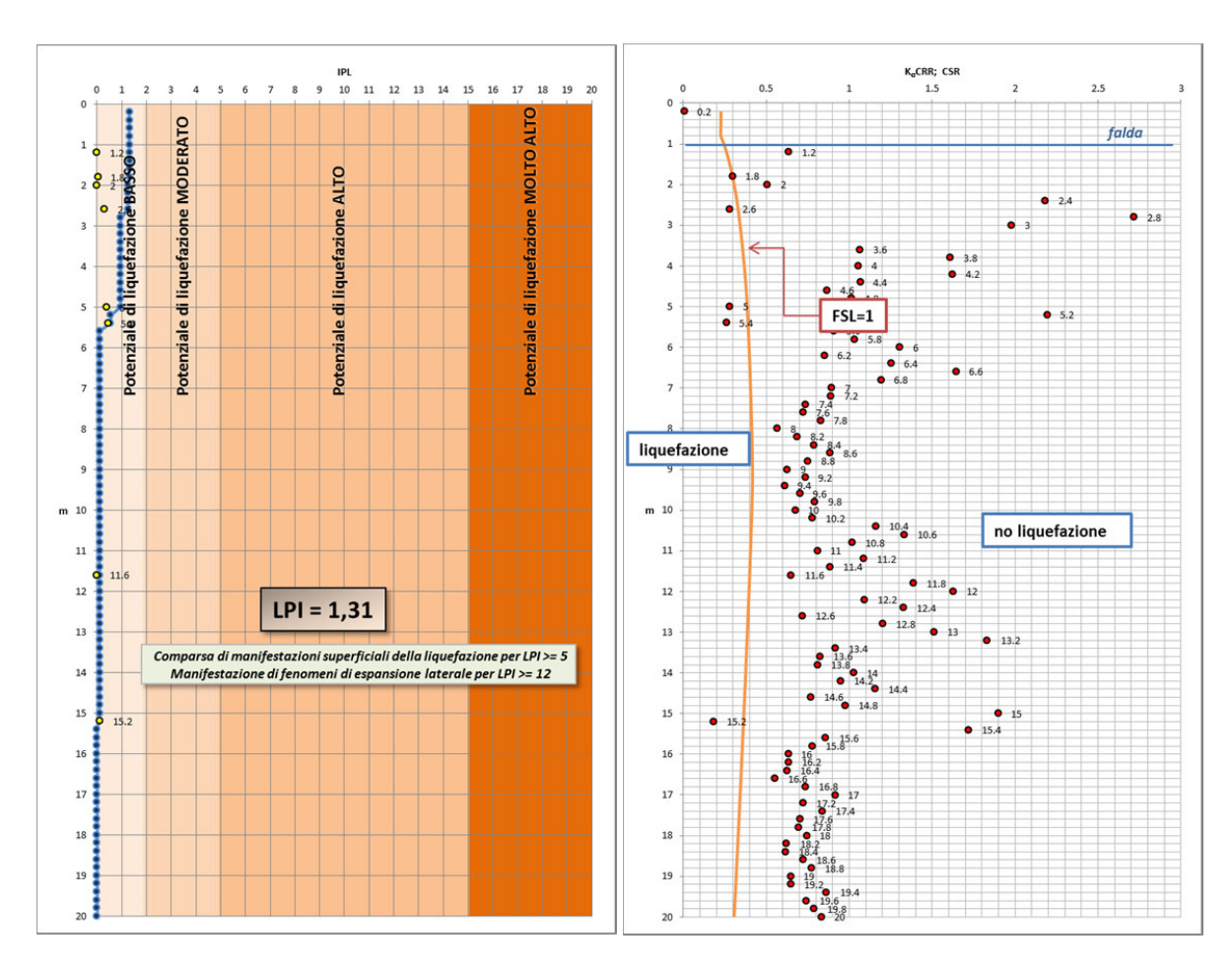
Sezione geologica (database geognostico Regione Emilia-Romagna)



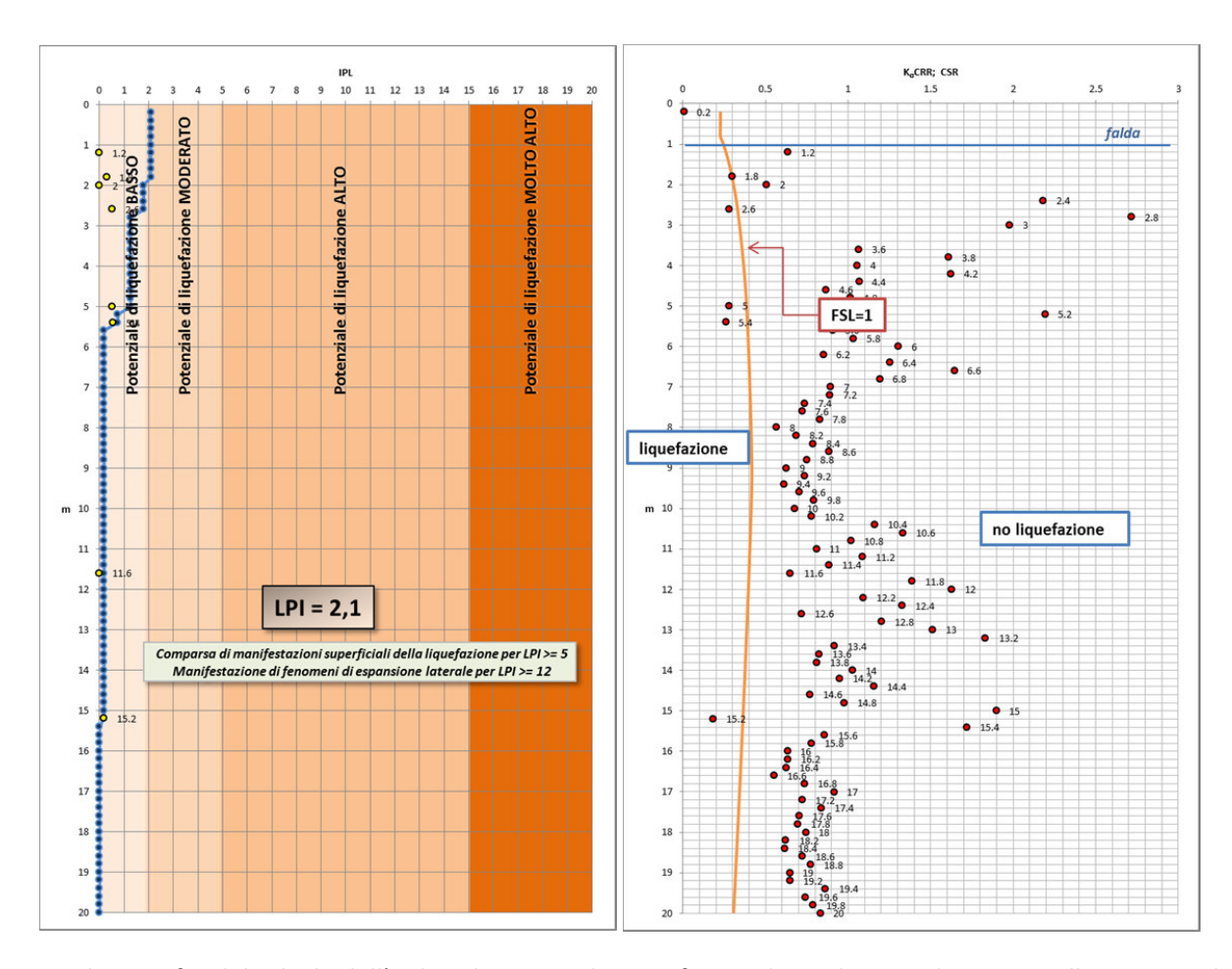
INTEGRAZIONI A SEGUITO PARERE GEOLOGICO-SISMICO DELLA PROVINCIA DI MODENA DEL 8/06/2017

Allegato 4

Analisi potenziale liquefazione eseguite per questo studio

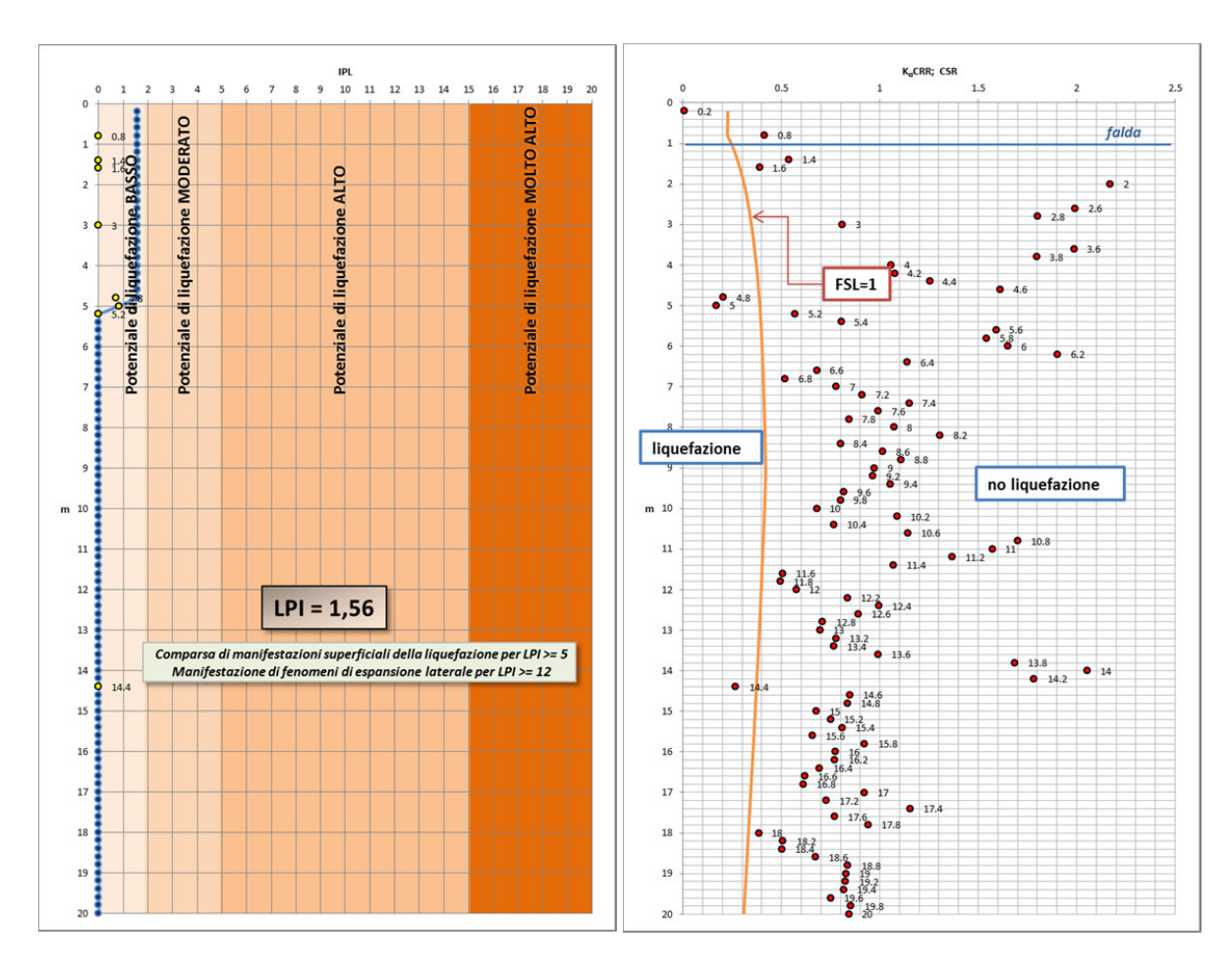


Risultati grafici del calcolo dell'Indice di Potenziale Liquefazione lungo la CPT1 di Gaggio nello scenario di Risposta Sismica Locale con interfaccia risonante a -50 m.



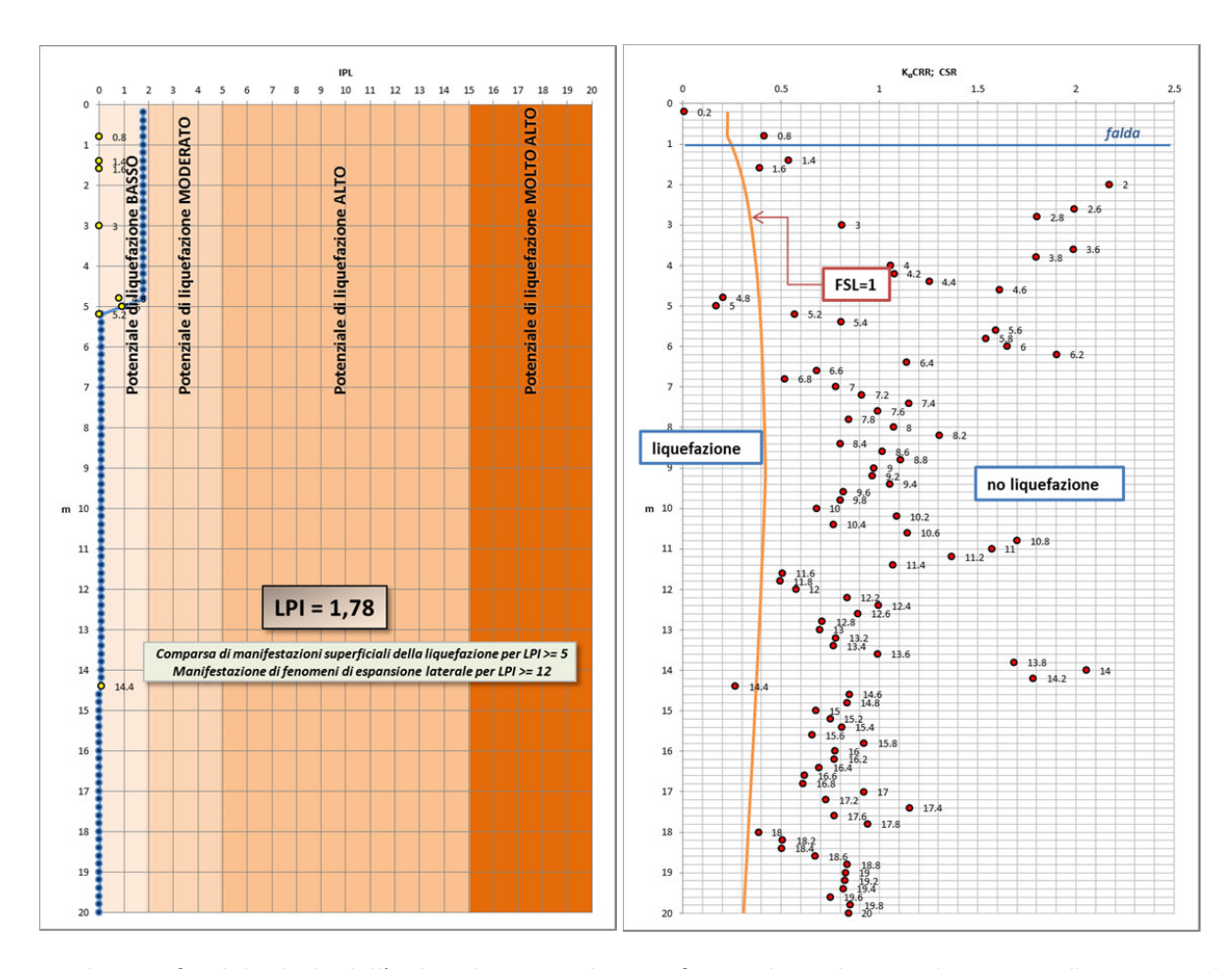
Risultati grafici del calcolo dell'Indice di Potenziale Liquefazione lungo la CPT1 di Gaggio nello scenario di Risposta Sismica Locale con bedrock sismico a -150 m.

------ pag. 100 -------



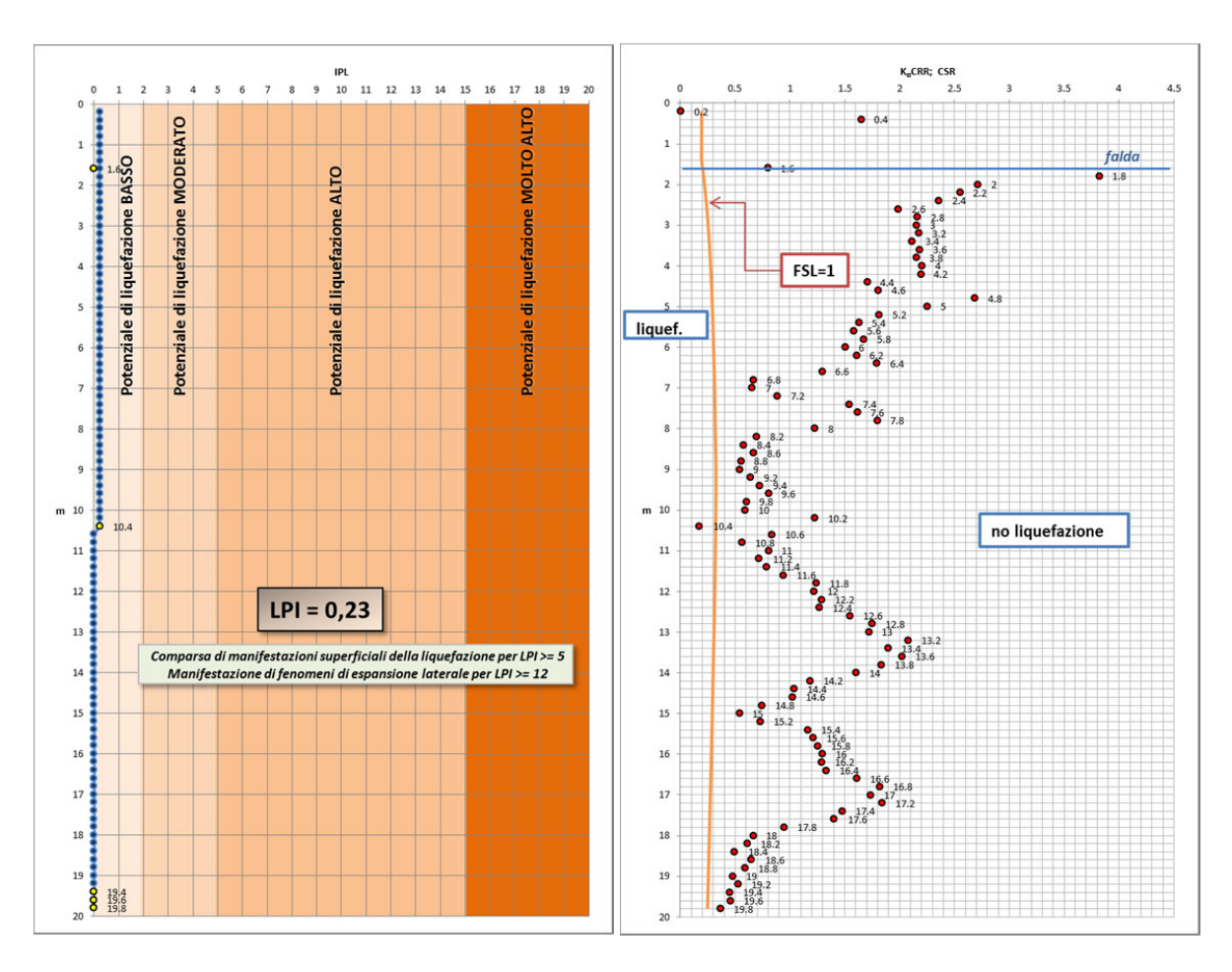
Risultati grafici del calcolo dell'Indice di Potenziale Liquefazione lungo la CPT2 di Gaggio nello scenario di Risposta Sismica Locale con interfaccia risonante a -50 m.

------ pag. 101 ------



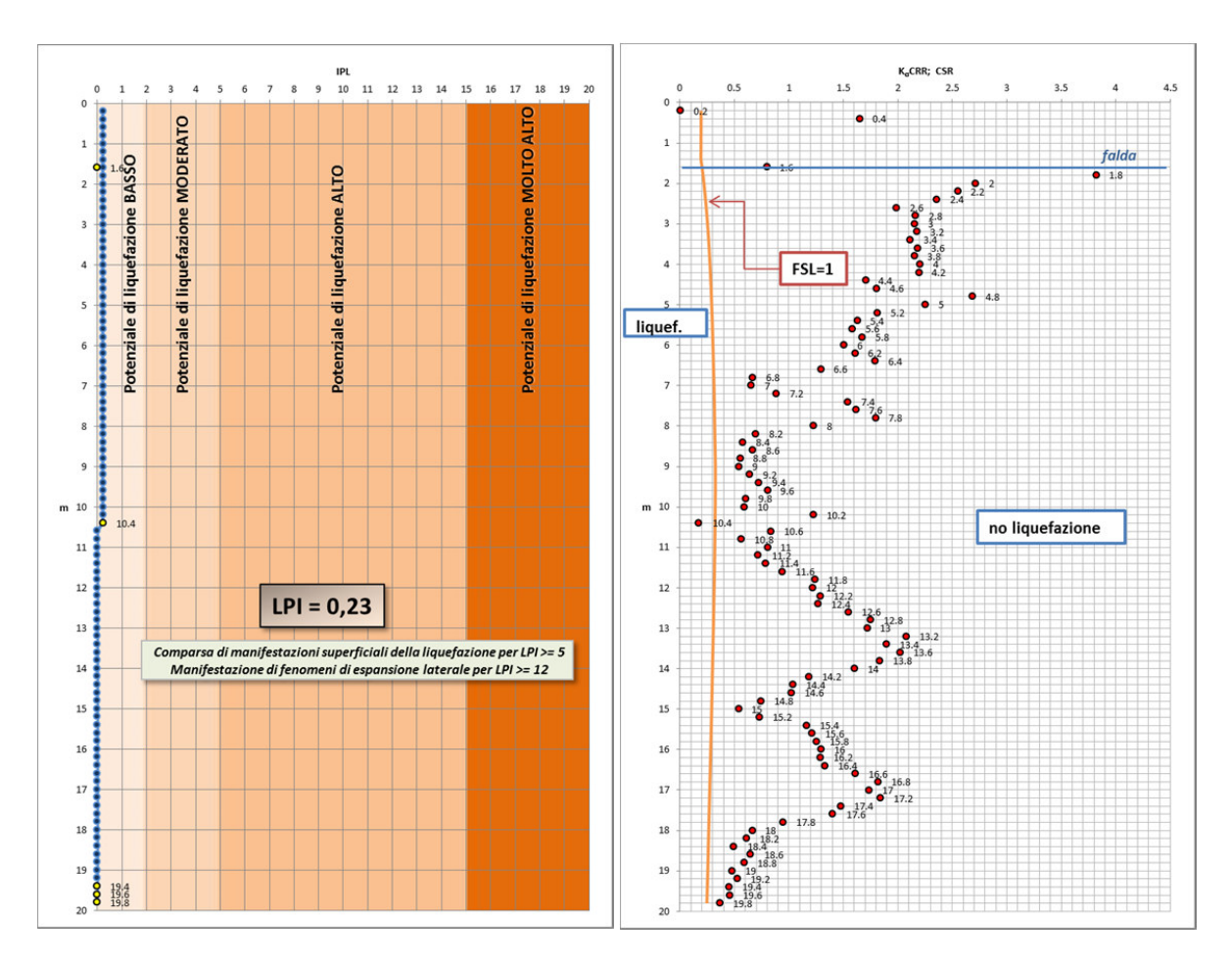
Risultati grafici del calcolo dell'Indice di Potenziale Liquefazione lungo la CPT2 di Gaggio nello scenario di Risposta Sismica Locale con bedrock sismico a -150 m.

------ pag. 102 ------



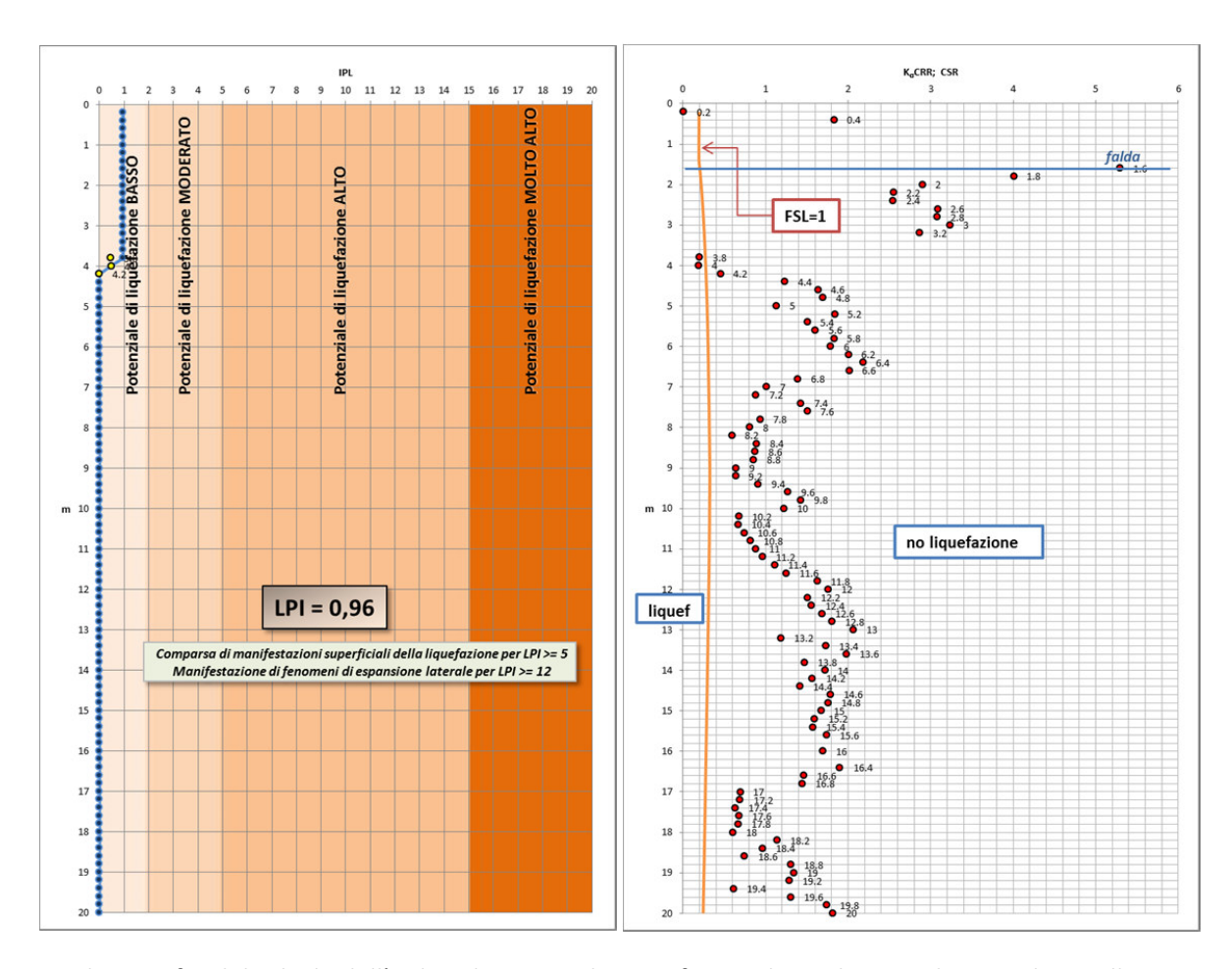
Risultati grafici del calcolo dell'Indice di Potenziale Liquefazione lungo la CPT1 di Manzolino nello scenario di Risposta Sismica Locale con interfaccia risonante a -44 m.

------ pag. 103 ------



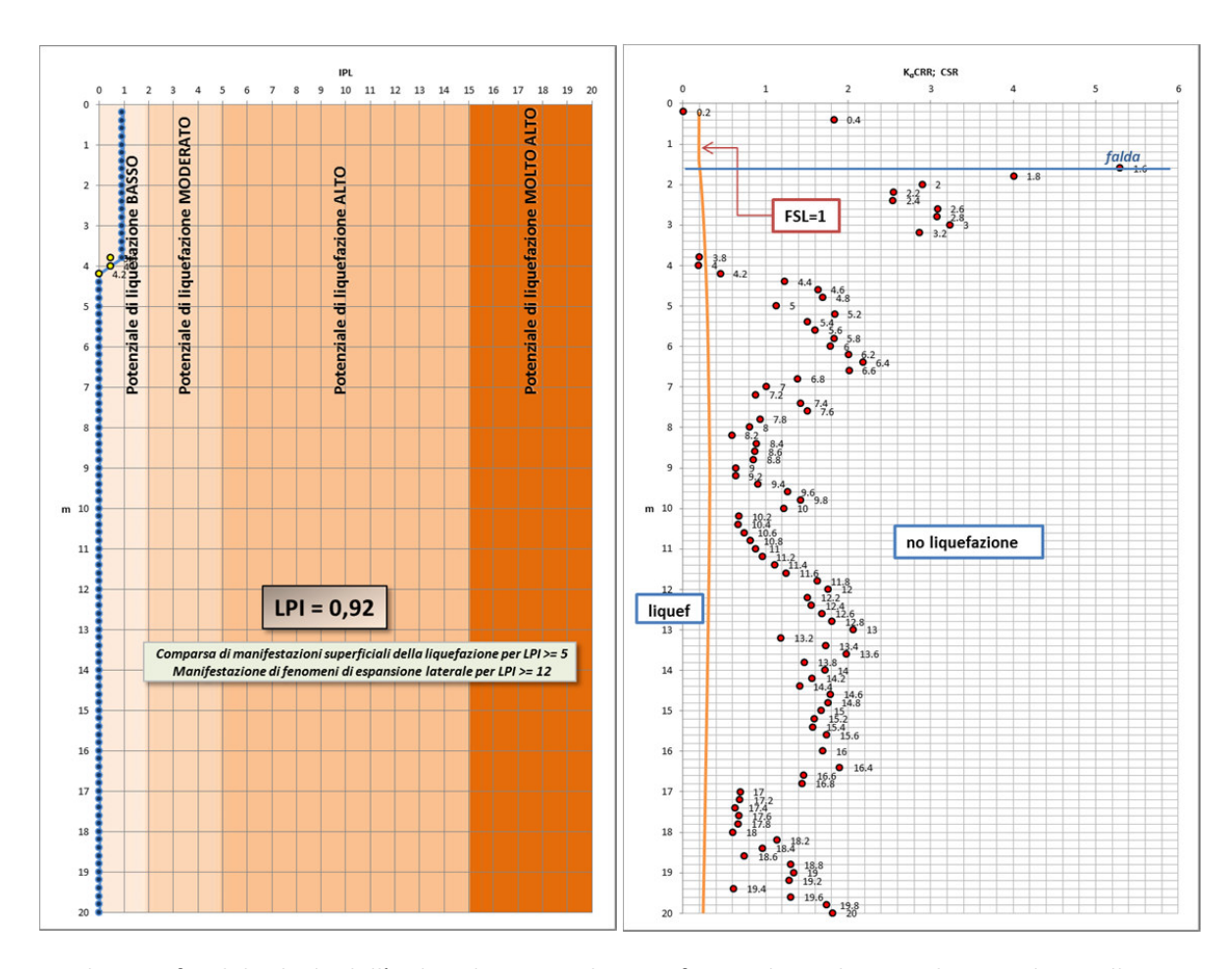
Risultati grafici del calcolo dell'Indice di Potenziale Liquefazione lungo la CPT1 di Manzolino nello scenario di Risposta Sismica Locale con bedrock sismico a -190 m.

------ pag. 104 ------



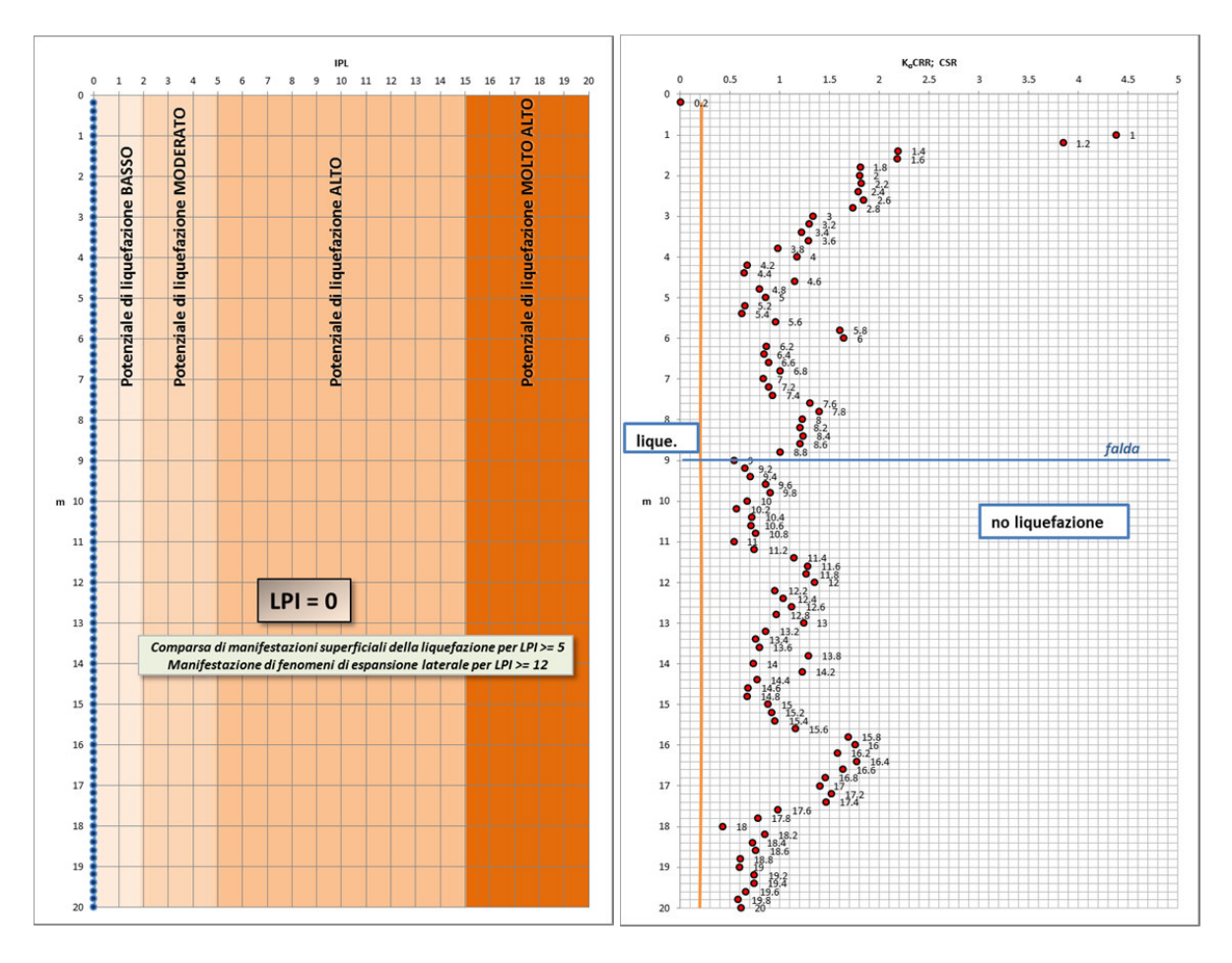
Risultati grafici del calcolo dell'Indice di Potenziale Liquefazione lungo la CPT2 di Manzolino nello scenario di Risposta Sismica Locale con interfaccia risonante a -44 m.

------ pag. 105 ------



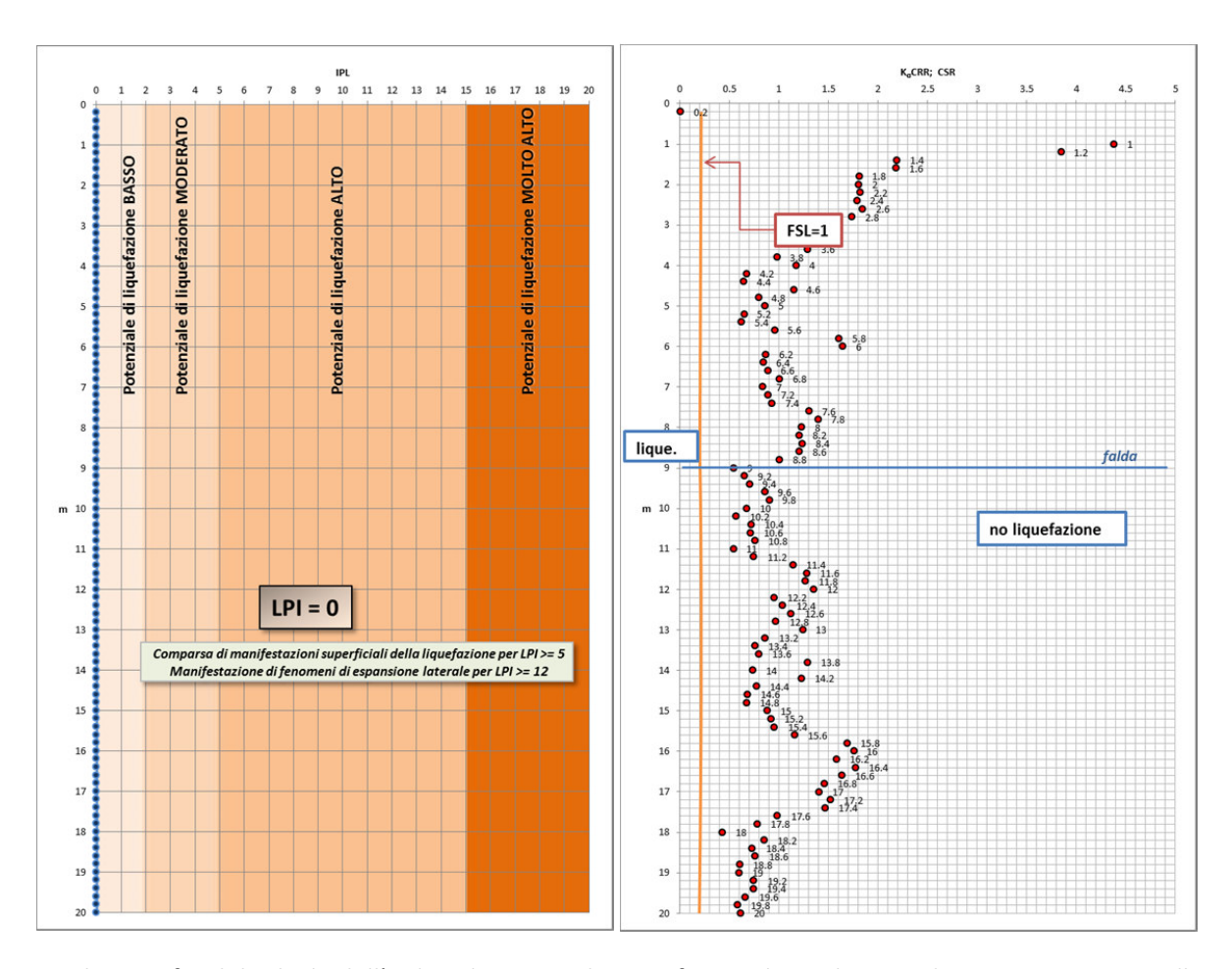
Risultati grafici del calcolo dell'Indice di Potenziale Liquefazione lungo la CPT2 di Manzolino nello scenario di Risposta Sismica Locale con bedrock sismico a -190 m.

------ pag. 106 ------



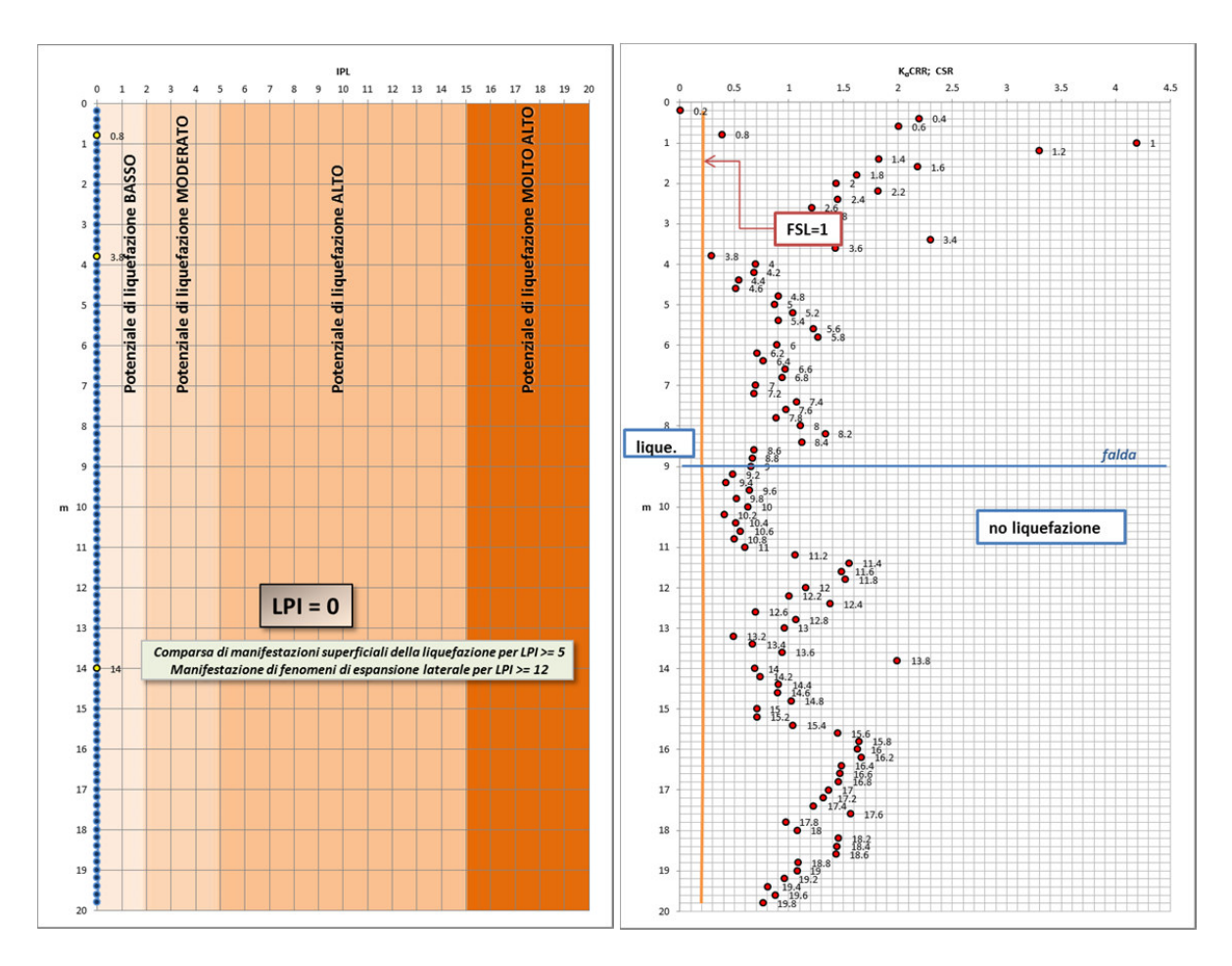
Risultati grafici del calcolo dell'Indice di Potenziale Liquefazione lungo la CPT1 di Cavazzona-Sport nello scenario di Risposta Sismica Locale con interfaccia risonante a -26 m.

----- pag. 107 ------



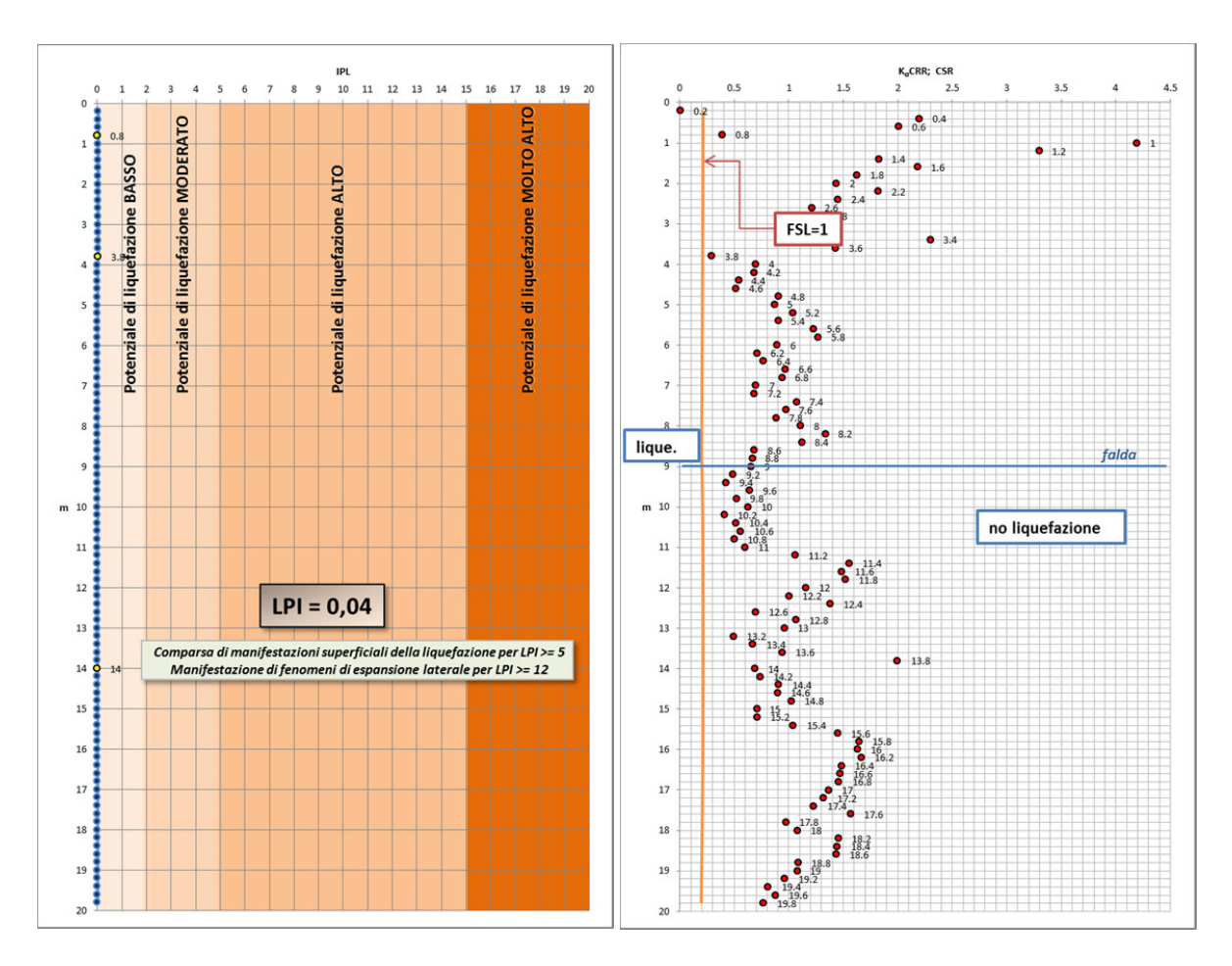
Risultati grafici del calcolo dell'Indice di Potenziale Liquefazione lungo la CPT1 di Cavazzona-Sport nello scenario di Risposta Sismica Locale con bedrock sismico a -120 m.

------ pag. 108 ------



Risultati grafici del calcolo dell'Indice di Potenziale Liquefazione lungo la CPT2 di Cavazzona-Sport nello scenario di Risposta Sismica Locale con interfaccia risonante a -26 m.

------ pag. 109



Risultati grafici del calcolo dell'Indice di Potenziale Liquefazione lungo la CPT2 di Cavazzona-Sport nello scenario di Risposta Sismica Locale con bedrock sismico a -120 m.

LIQUEFACTION ANALYSIS REPORT

Project title: Location:

CPT file: CPTU1_Cav_Scuola Input parameters and analysis data

Analysis method: B&I (2014) Fines correction method: B&I (2014) Points to test:

Peak ground acceleration:

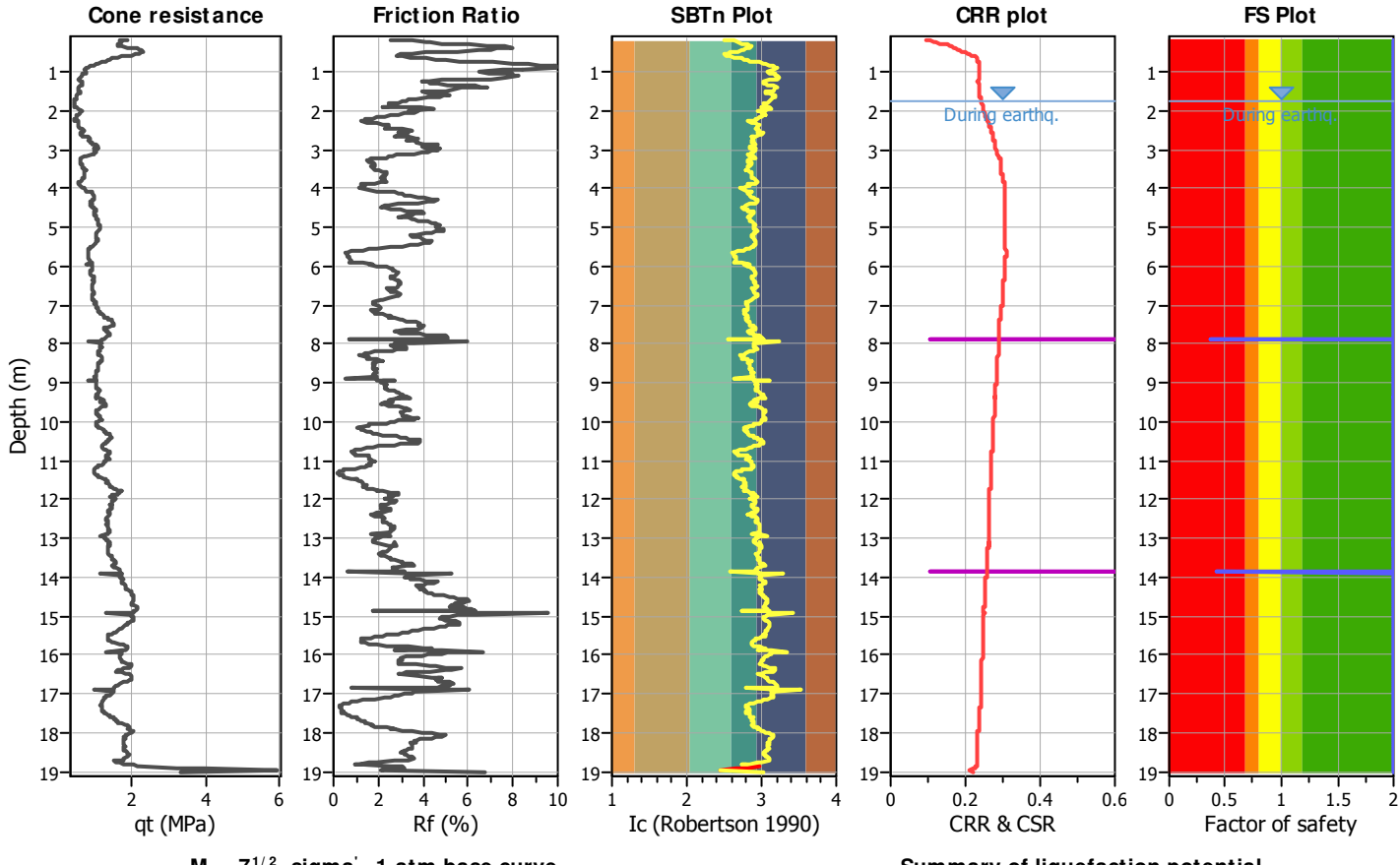
Based on Ic value Earthquake magnitude M_w: 5.98

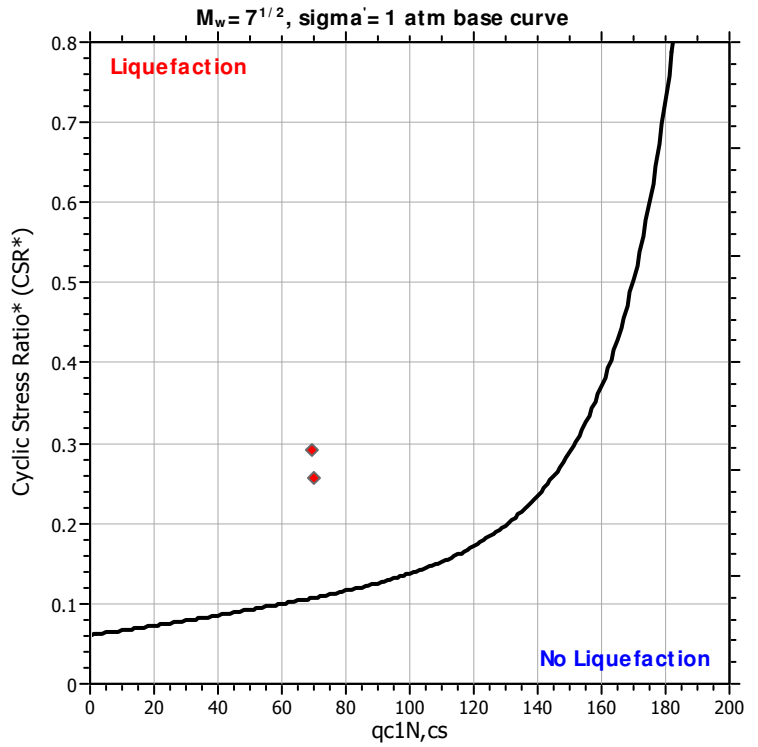
G.W.T. (in-situ): G.W.T. (earthq.): Average results interval: Ic cut-off value: Unit weight calculation:

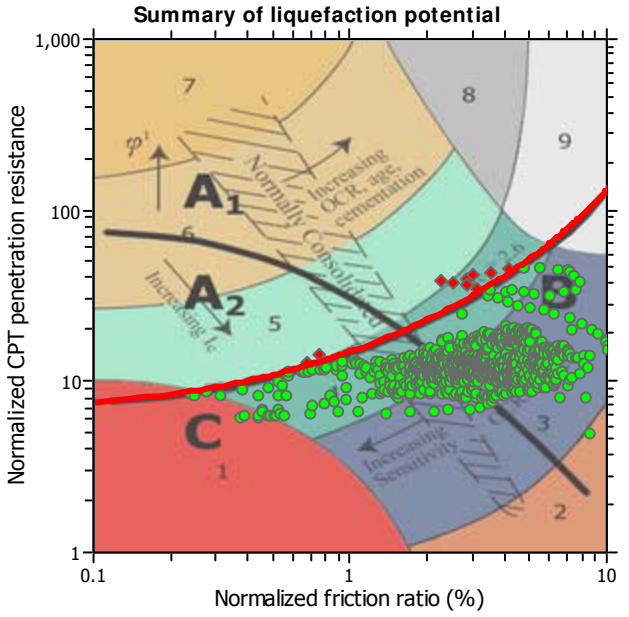
1.75 m 1.75 m 2.60 Based on SBT Use fill: No Fill height: N/A Fill weight: N/A Trans. detect. applied: Yes K_{σ} applied: Yes

Clay like behavior applied: Limit depth applied: Limit depth: MSF method:

Sands only Yes 20.00 m Method





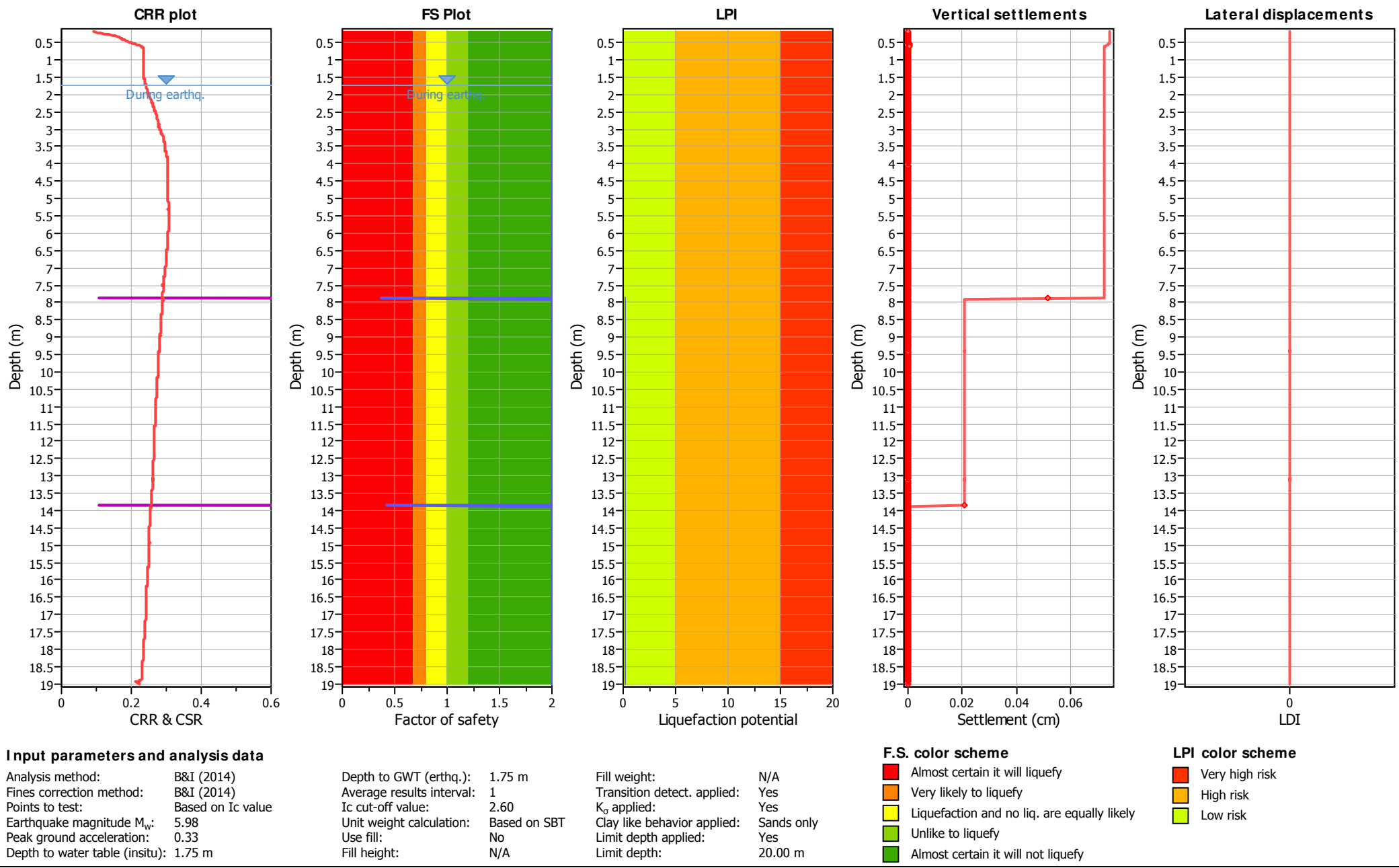


Zone A₁: Cyclic liquefaction likely depending on size and duration of cyclic loading Zone A₂: Cyclic liquefaction and strength loss likely depending on loading and ground

Zone B: Liquefaction and post-earthquake strength loss unlikely, check cyclic softening Zone C: Cyclic liquefaction and strength loss possible depending on soil plasticity, brittleness/sensitivity, strain to peak undrained strength and ground geometry

This software is licensed to: Alessandro Ghinoi CPT name: CPTU1_Cav_Scuola

Liquefaction analysis overall plots

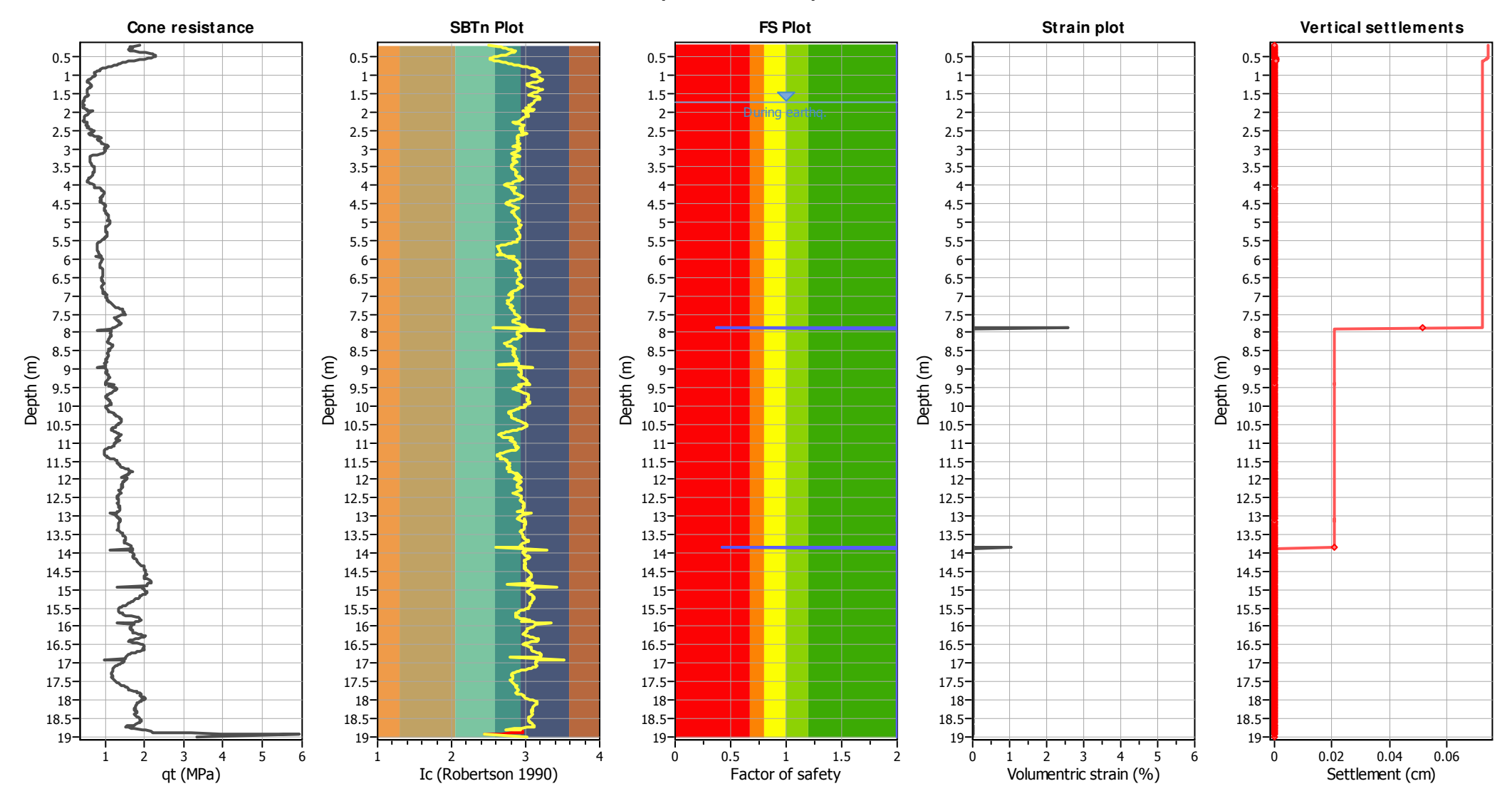


CLiq v.2.0.6.97 - CPT Liquefaction Assessment Software - Report created on: 23/06/2017, 18:12:27
Project file: F:\LAVORI\LIQUEFLOW\CASTELFRANCO\2017-PUA_VERDE-INT_2\Cavascuola-20m.clq

5

This software is licensed to: Alessandro Ghinoi CPT name: CPTU1_Cav_Scuola

Estimation of post-earthquake settlements



Abbreviations

qt: Total cone resistance (cone resistance qc corrected for pore water effects)

I_c: Soil Behaviour Type Index

FS: Calculated Factor of Safety against liquefaction

Volumentric strain: Post-liquefaction volumentric strain

LIQUEFACTION ANALYSIS REPORT

Project title: Location:

CPT file : CPTU2-Cav_Scuola

Peak ground acceleration:

I nput parameters and analysis data

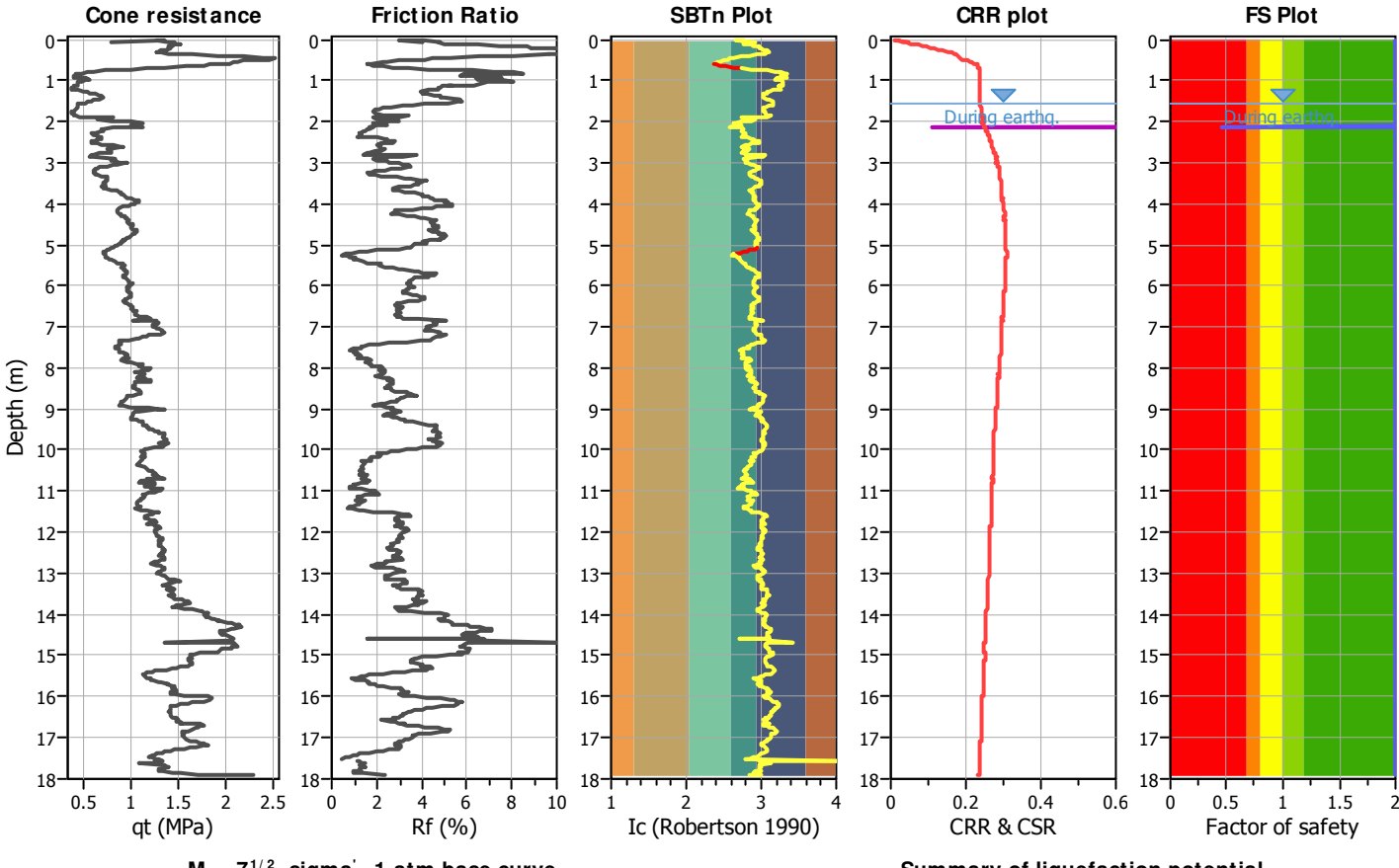
Analysis method: B&I (2014)
Fines correction method: B&I (2014)
Points to test: Based on Ic value
Earthquake magnitude M_w: 5.98

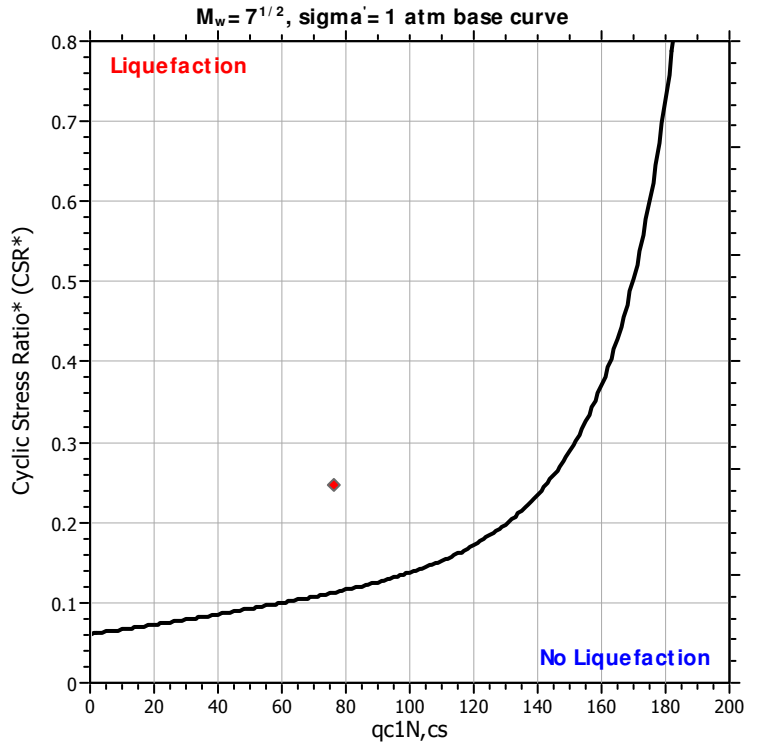
0.33

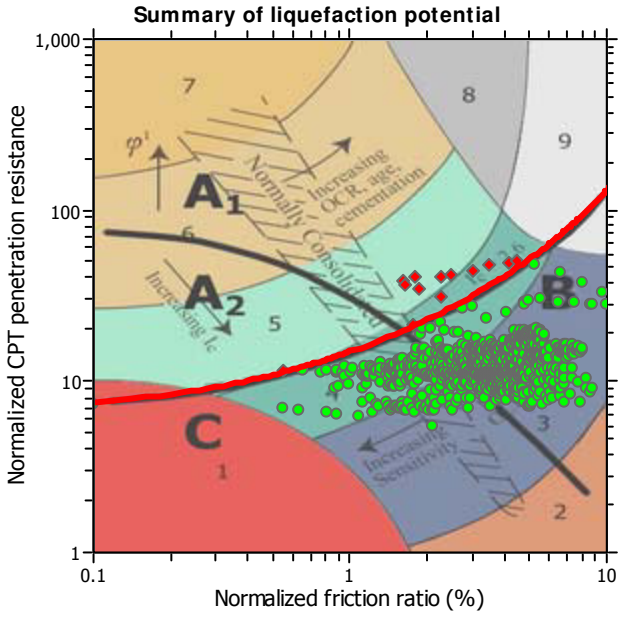
G.W.T. (in-situ): G.W.T. (earthq.): Average results interval: Ic cut-off value: Unit weight calculation:

1.55 m 1.55 m 1 2.60 Based on SBT Use fill: No Fill height: N/A Fill weight: N/A Trans. detect. applied: Yes K_{σ} applied: Yes

Clay like behavior applied: Sands only Limit depth applied: Yes Limit depth: 20.00 m MSF method: Method

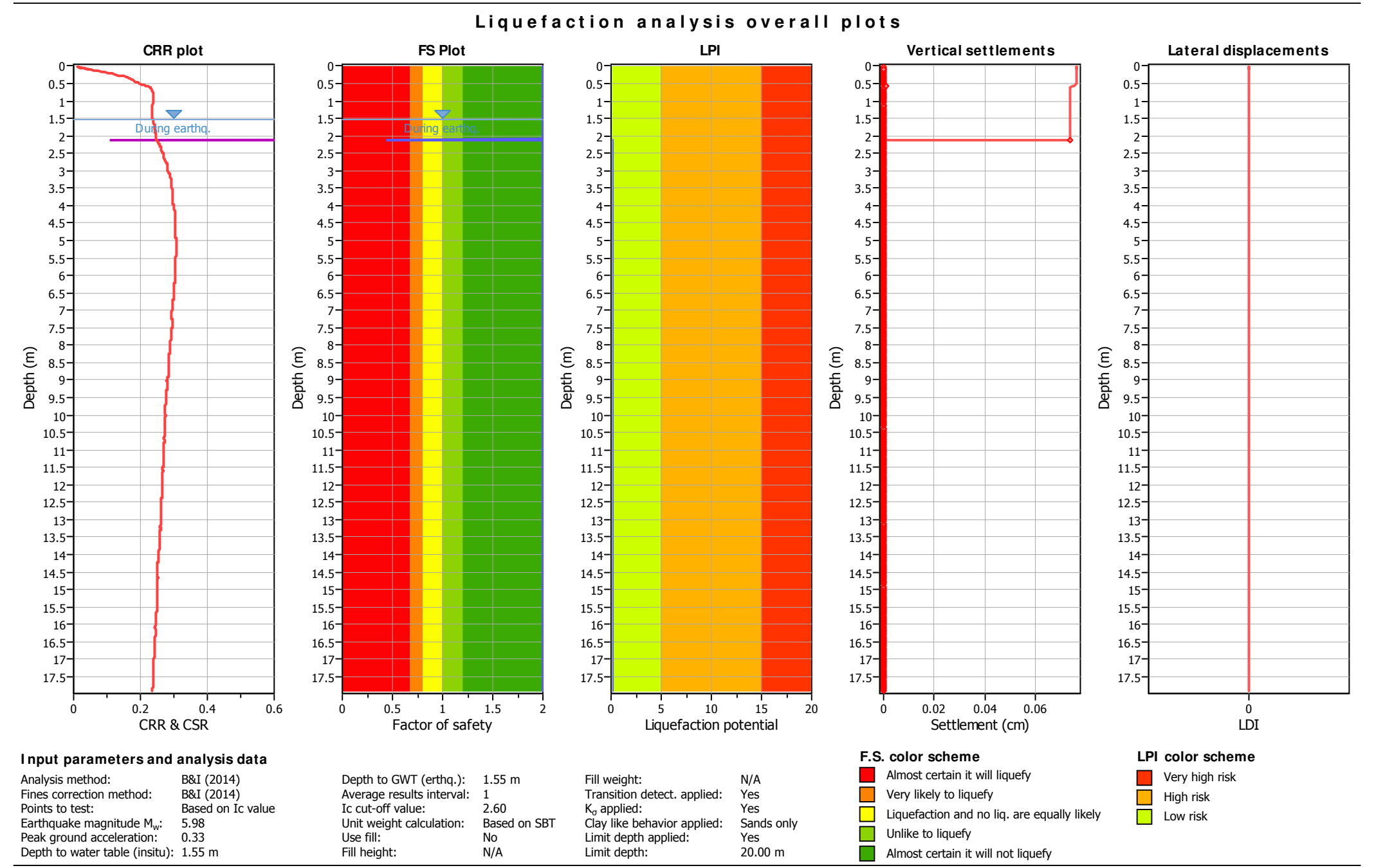






Zone A_1 : Cyclic liquefaction likely depending on size and duration of cyclic loading Zone A_2 : Cyclic liquefaction and strength loss likely depending on loading and ground geometry

Zone B: Liquefaction and post-earthquake strength loss unlikely, check cyclic softening Zone C: Cyclic liquefaction and strength loss possible depending on soil plasticity, brittleness/sensitivity, strain to peak undrained strength and ground geometry This software is licensed to: Alessandro Ghinoi

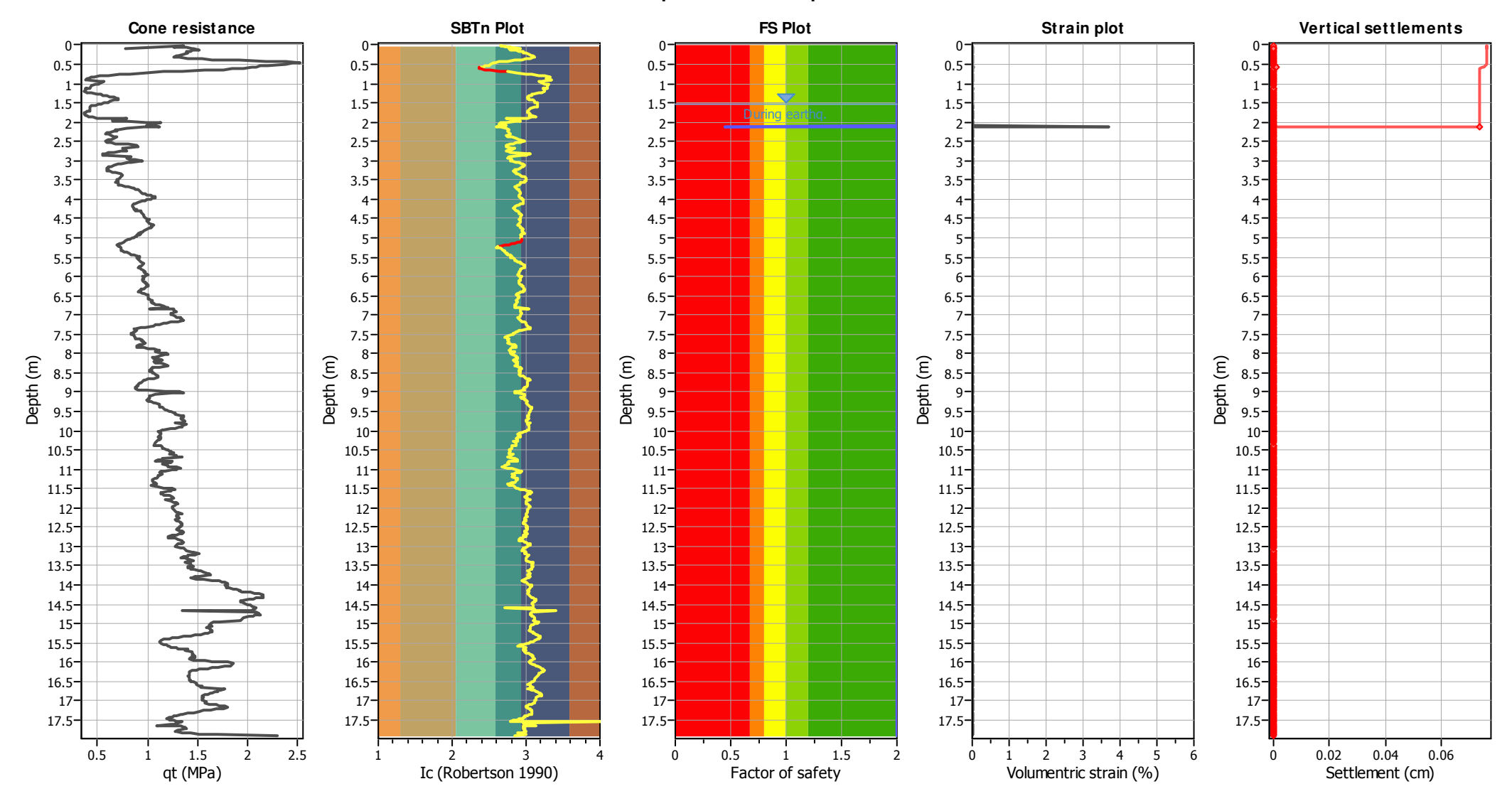


CLiq v.2.0.6.97 - CPT Liquefaction Assessment Software - Report created on: 23/06/2017, 18:12:28 Project file: F:\LAVORI\LIQUEFLOW\CASTELFRANCO\2017-PUA_VERDE-INT_2\Cavascuola-20m.clq

12

This software is licensed to: Alessandro Ghinoi CPT name: CPTU2-Cav_Scuola

Estimation of post-earthquake settlements



Abbreviations

qt: Total cone resistance (cone resistance qc corrected for pore water effects)

I_c: Soil Behaviour Type Index

FS: Calculated Factor of Safety against liquefaction

Volumentric strain: Post-liquefaction volumentric strain

LIQUEFACTION ANALYSIS REPORT

Project title: Location:

CPT file: CPTU1_Cav_Scuola
I nput parameters and analysis data

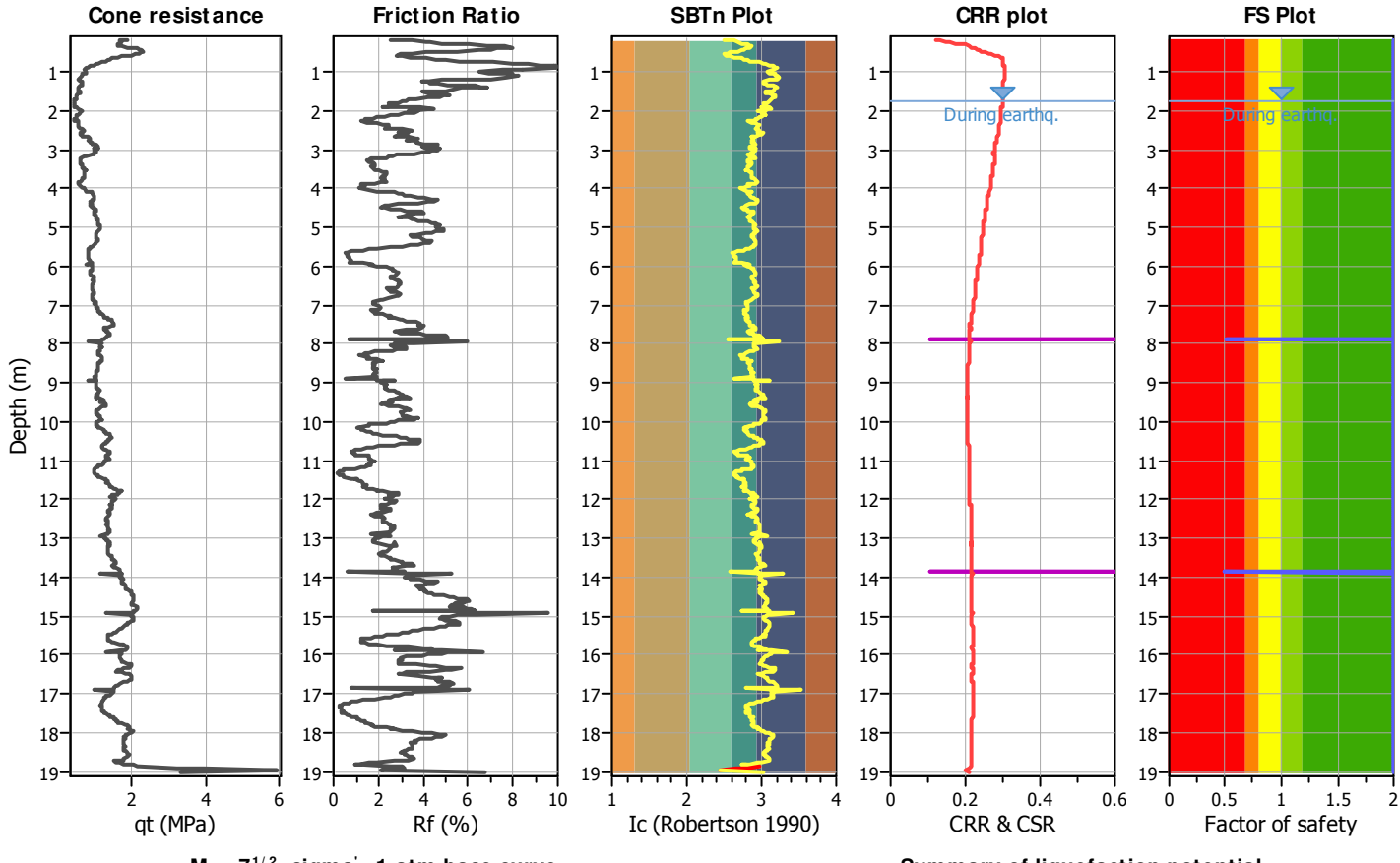
Analysis method: B&I (2014)
Fines correction method: B&I (2014)

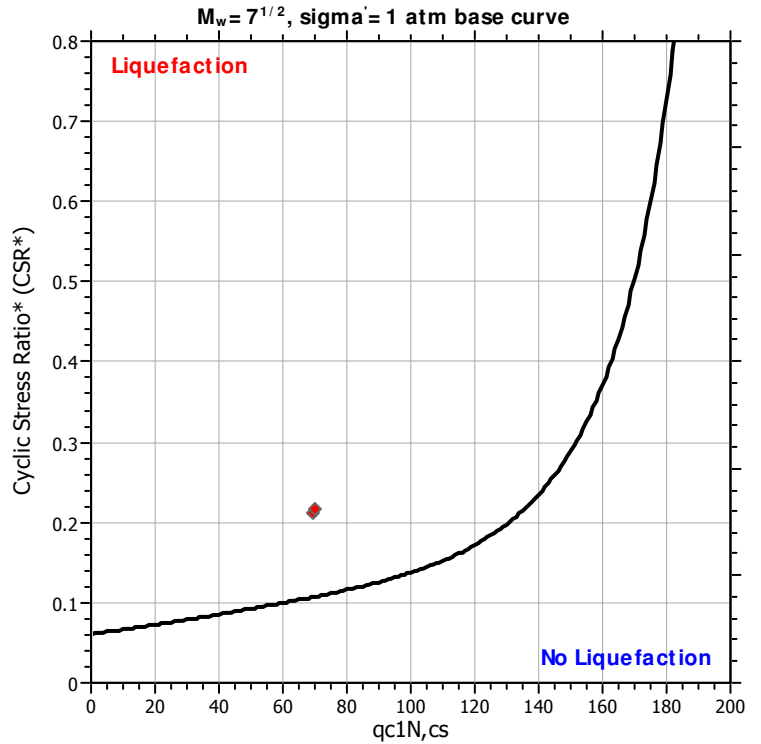
Points to test: Based on Ic value Earthquake magnitude M_w: 5.98
Peak ground acceleration: 0.33

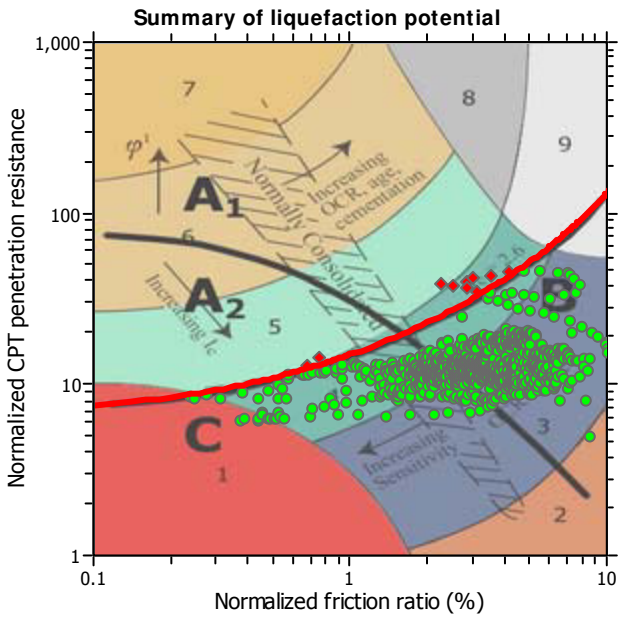
G.W.T. (in-situ): G.W.T. (earthq.): Average results interval: Ic cut-off value: Unit weight calculation:

1.75 m 1.75 m : 1 2.60 Based on SBT $\begin{array}{lll} \text{Use fill:} & \text{No} \\ \text{Fill height:} & \text{N/A} \\ \text{Fill weight:} & \text{N/A} \\ \text{Trans. detect. applied:} & \text{Yes} \\ \text{K_σ applied:} & \text{Yes} \\ \end{array}$

Clay like behavior applied: Sands only Limit depth applied: Yes Limit depth: 20.00 m MSF method: Method







Zone A_1 : Cyclic liquefaction likely depending on size and duration of cyclic loading Zone A_2 : Cyclic liquefaction and strength loss likely depending on loading and ground geometry

Zone B: Liquefaction and post-earthquake strength loss unlikely, check cyclic softening Zone C: Cyclic liquefaction and strength loss possible depending on soil plasticity, brittleness/sensitivity, strain to peak undrained strength and ground geometry This software is licensed to: Alessandro Ghinoi CPT name: CPTU1_Cav_Scuola

Liquefaction analysis overall plots **CRR** plot **FS Plot** LPI Vertical settlements Lateral displacements 0.5 0.5-0.5 0.5-0.5-1.5 1.5 1.5-1.5-1.5 During earthg 2-2-2-2-2.5-2.5-2.5-2.5-2.5 3-3-3. 3-3.5 3.5-3.5-3.5-3.5 4.5-4.5 4.5-4.5 4.5-5-5. 5.5 5.5-5.5-5.5-5.5-6-6-6-6.5 6.5-6.5 6.5-6.5-7.5-7.5-7.5-7.5-7.5-8-8-8-8. 8.5 8.5 8.5-8.5-Depth (m) Depth (m) Depth (m) Depth (m) Depth (m) 9.5 9.5-9.5-9.5-9.5-10 10-10 10-10 10.5 10.5-10.5 10.5 11 11 11-11 11-11.5 11.5-11.5 11.5-11.5 12-12-12-12-12-12.5⁻ 12.5 12.5-12.5 12.5-13-13-13-13-13-13.5 13.5-13.5-13.5-13.5 14 14-14-14-14-14.5 14.5 14.5 14.5-14.5 15-15-15-15-15-15.5 15.5-15.5 15.5-15.5-16 16-16-16-16 16.5-16.5-16.5-16.5-16.5 17-17-17 17-17 17.5 17.5-17.5-17.5-17.5 18-18-18-18-18-18.5-18.5-18.5-18.5-18.5 19-19 19 19 0.2 0.4 1.5 10 15 0.02 0.04 0.06 0 CRR & CSR Factor of safety Liquefaction potential Settlement (cm) LDI F.S. color scheme LPI color scheme Input parameters and analysis data Almost certain it will liquefy Very high risk Analysis method: B&I (2014) Depth to GWT (erthq.): 1.75 m Fill weight: N/A

CLiq v.2.0.6.97 - CPT Liquefaction Assessment Software - Report created on: 23/06/2017, 18:14:08
Project file: F:\LAVORI\LIQUEFLOW\CASTELFRANCO\2017-PUA_VERDE-INT_2\Cavascuola-100m.clq

Average results interval: 1

Unit weight calculation:

2.60

N/A

Based on SBT

Ic cut-off value:

Use fill:

Fill height:

Fines correction method:

Earthquake magnitude M_w:

Peak ground acceleration:

Depth to water table (insitu): 1.75 m

Points to test:

B&I (2014)

5.98

0.33

Based on Ic value

5

High risk

Low risk

Yes

Yes

Yes

Sands only

20.00 m

Very likely to liquefy

Unlike to liquefy

Liquefaction and no liq. are equally likely

Almost certain it will not liquefy

Transition detect. applied:

Clay like behavior applied:

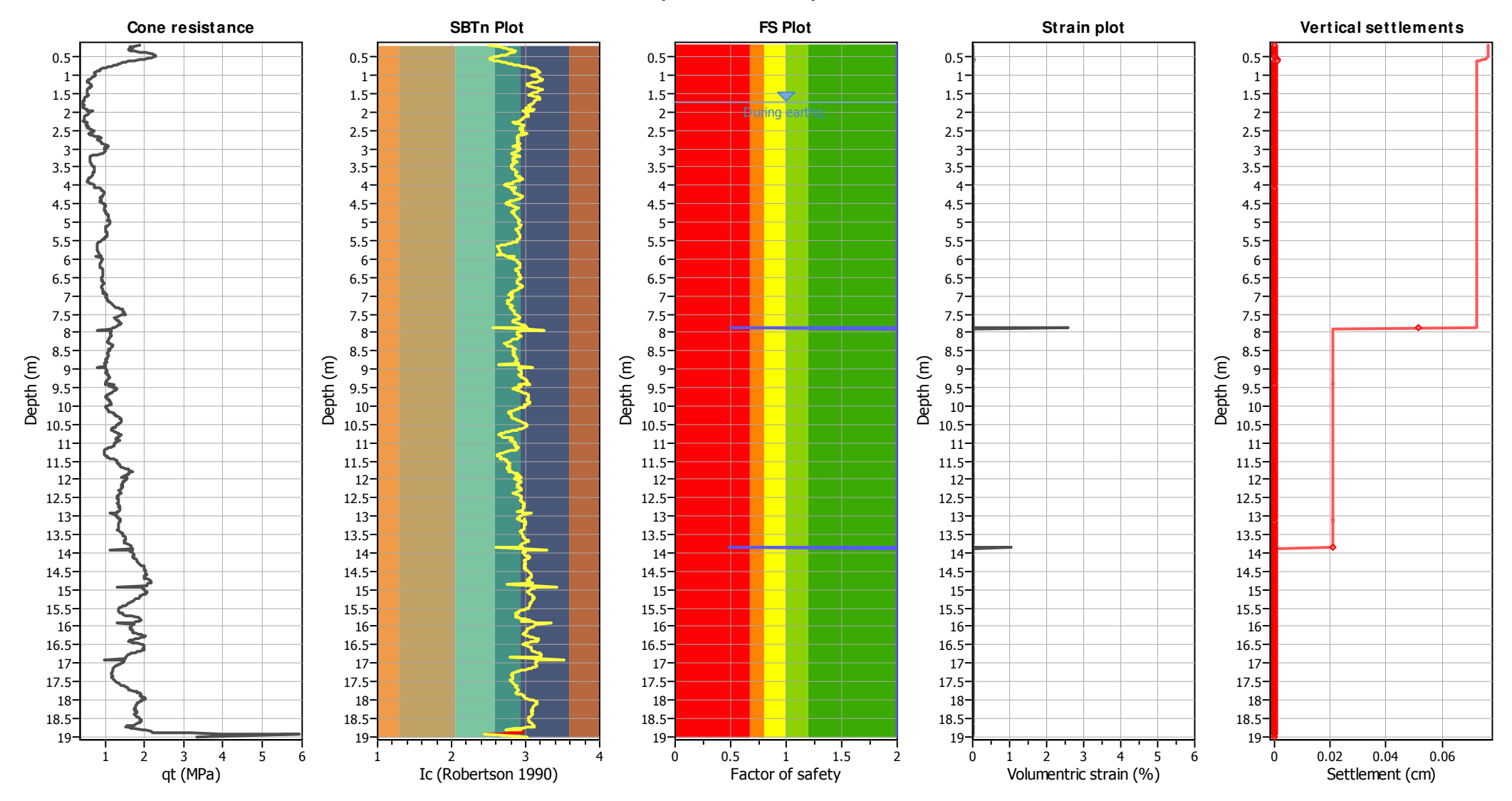
Limit depth applied:

 K_{σ} applied:

Limit depth:

This software is licensed to: Alessandro Ghinoi CPT name: CPTU1_Cav_Scuola

Estimation of post-earthquake settlements



Abbreviations

qt: Total cone resistance (cone resistance qc corrected for pore water effects)

I_c: Soil Behaviour Type Index

FS: Calculated Factor of Safety against liquefaction

Volumentric strain: Post-liquefaction volumentric strain

LIQUEFACTION ANALYSIS REPORT

Project title: Location:

CPT file : CPTU2-Cav_Scuola

Peak ground acceleration:

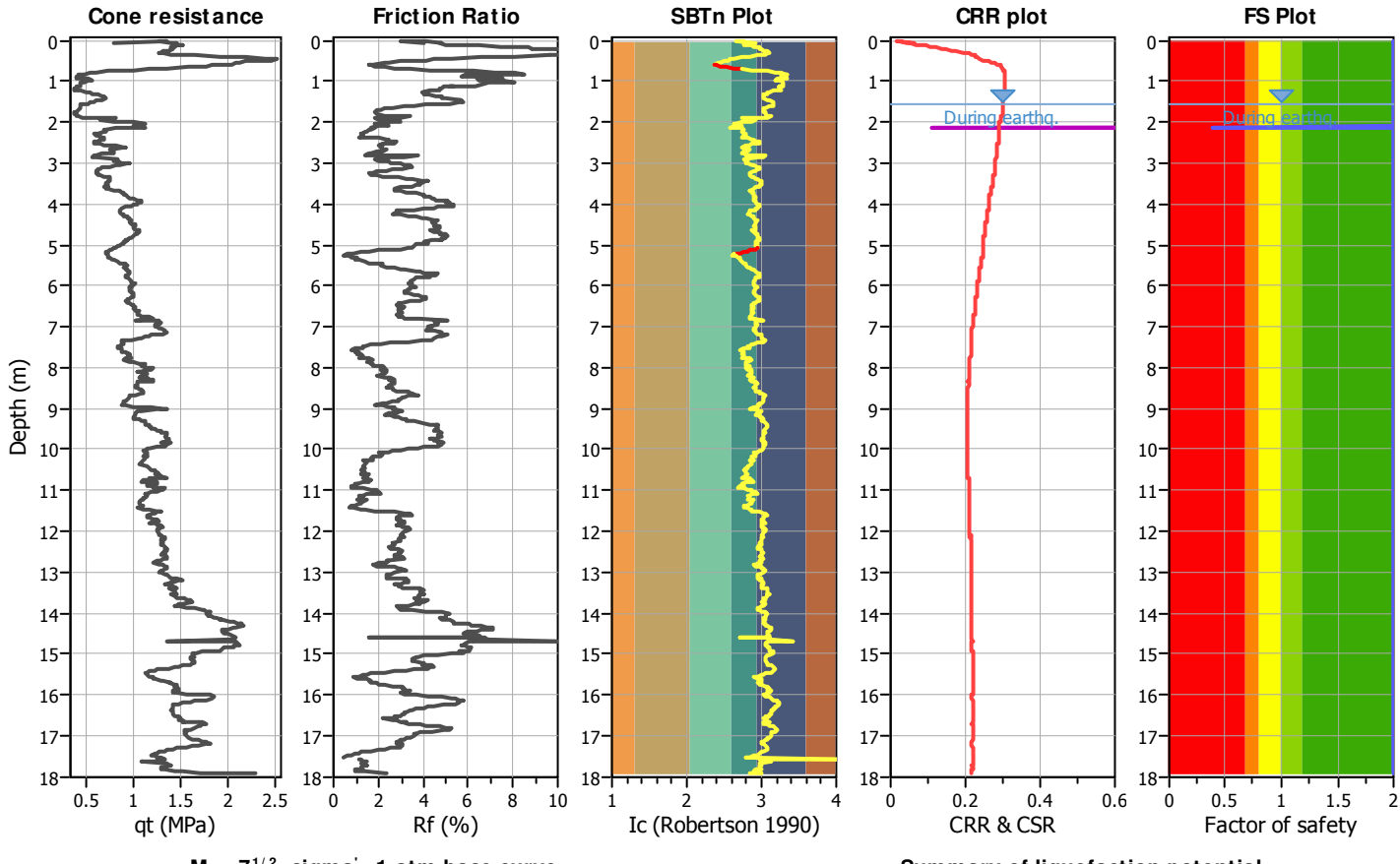
I nput parameters and analysis data

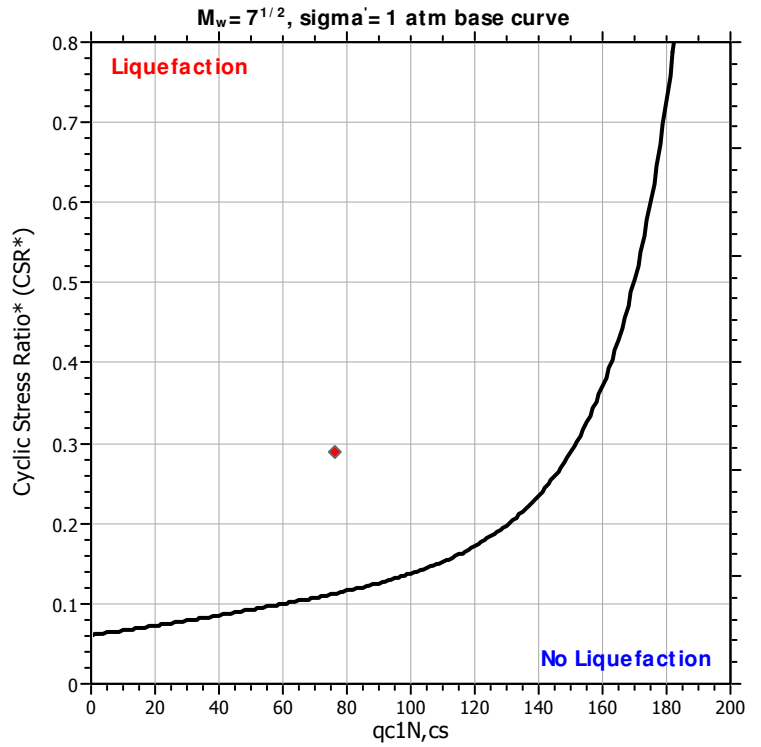
Analysis method: B&I (2014)
Fines correction method: B&I (2014)
Points to test: Based on Ic value
Earthquake magnitude M_w: 5.98

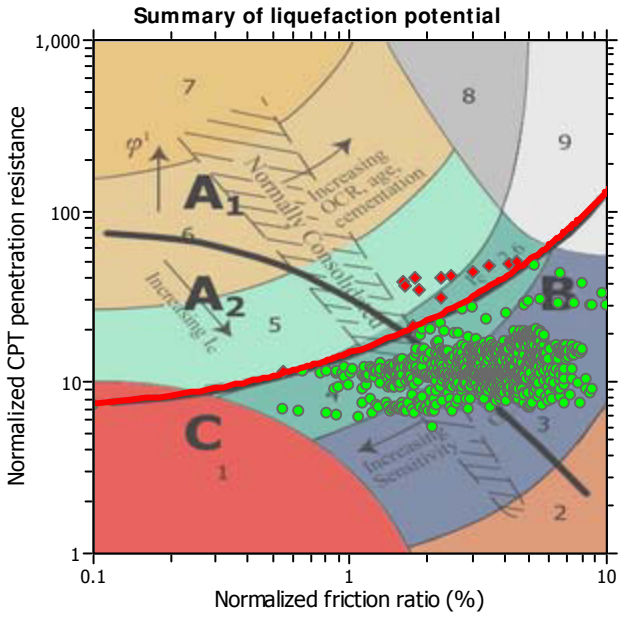
G.W.T. (in-situ): G.W.T. (earthq.): Average results interval: Ic cut-off value: Unit weight calculation:

1.55 m 1.55 m 1 2.60 Based on SBT $\begin{array}{lll} \text{Use fill:} & \text{No} \\ \text{Fill height:} & \text{N/A} \\ \text{Fill weight:} & \text{N/A} \\ \text{Trans. detect. applied:} & \text{Yes} \\ \text{K_σ applied:} & \text{Yes} \\ \end{array}$

Clay like behavior applied: Sands only Limit depth applied: Yes Limit depth: 20.00 m MSF method: Method

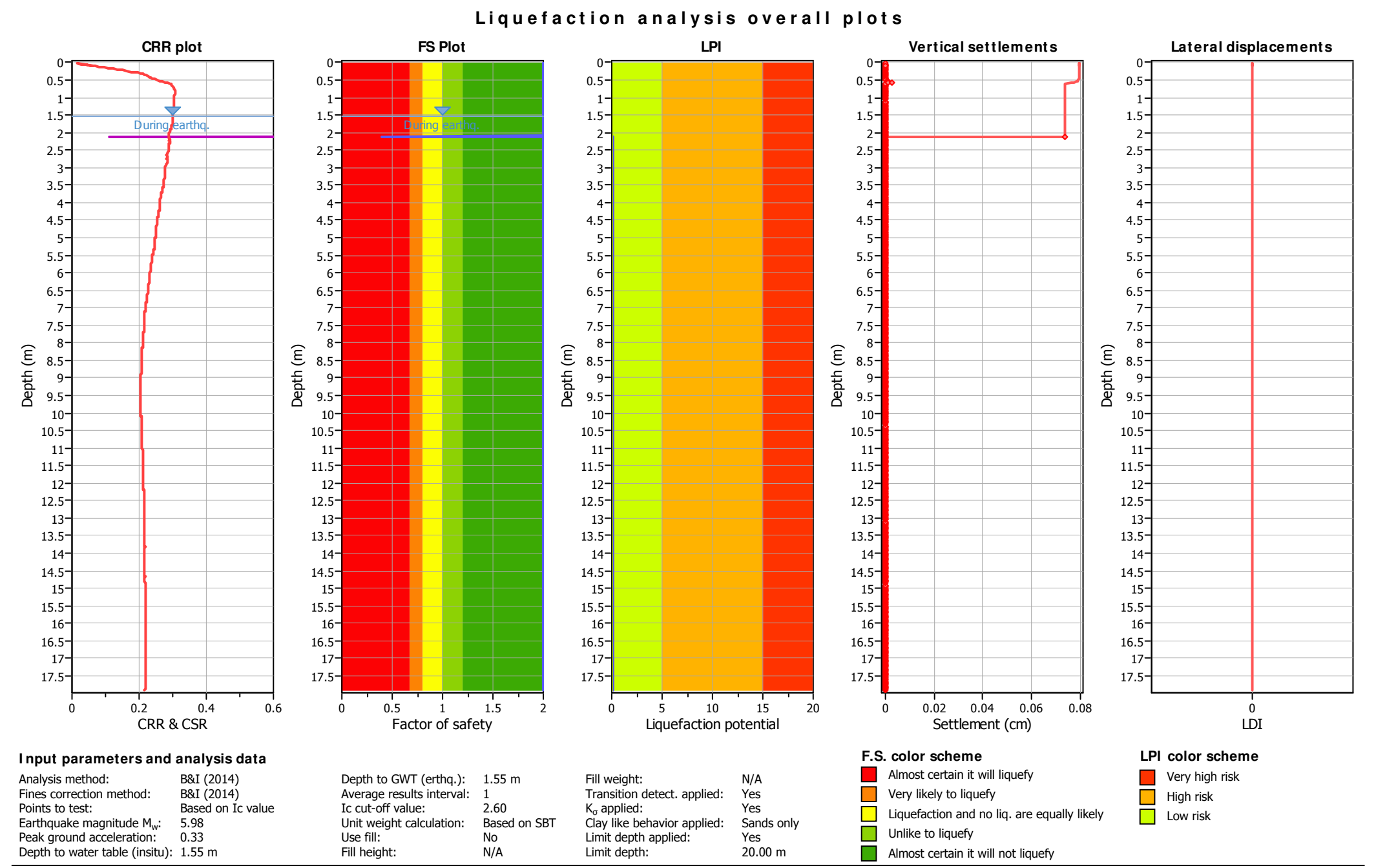






Zone A_1 : Cyclic liquefaction likely depending on size and duration of cyclic loading Zone A_2 : Cyclic liquefaction and strength loss likely depending on loading and ground depending on loading and ground dependent.

Zone B: Liquefaction and post-earthquake strength loss unlikely, check cyclic softening Zone C: Cyclic liquefaction and strength loss possible depending on soil plasticity, brittleness/sensitivity, strain to peak undrained strength and ground geometry This software is licensed to: Alessandro Ghinoi CPT name: CPTU2-Cav_Scuola

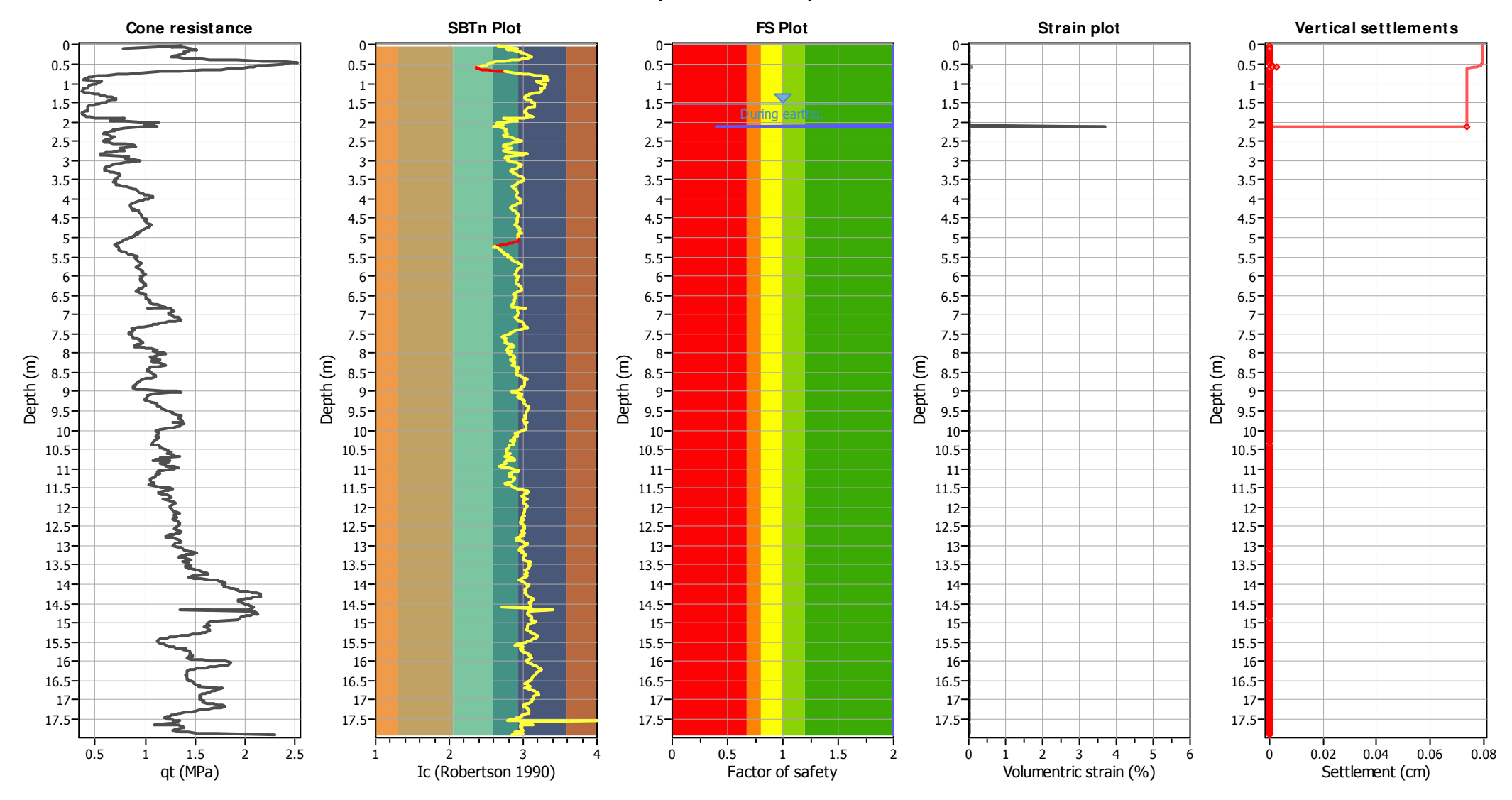


CLiq v.2.0.6.97 - CPT Liquefaction Assessment Software - Report created on: 23/06/2017, 18:14:10 Project file: F:\LAVORI\LIQUEFLOW\CASTELFRANCO\2017-PUA_VERDE-INT_2\Cavascuola-100m.clq

12

This software is licensed to: Alessandro Ghinoi CPT name: CPTU2-Cav_Scuola

Estimation of post-earthquake settlements



Abbreviations

qt: Total cone resistance (cone resistance qc corrected for pore water effects)

I_c: Soil Behaviour Type Index

FS: Calculated Factor of Safety against liquefaction

Volumentric strain: Post-liquefaction volumentric strain



101
 pag. 124

REGIONE EMILIA ROMAGNA COMUNE DI CASTELFRANCO EMILIA PROVINCIA DI MODENA

RELAZIONE GEOLOGICA inerente le indagini eseguite per la caratterizzazione e modellazione geologica del sito (6.2.1 DM 14/01/08)

ANALISI DELLA RISPOSTA SISMICA DI BASE 1° e 2° livello di approfondimento + 3° livello (per cedimenti post-sismici); Verifica rischio liquefazione (DM 14/01/08 NTC - D.A.L. n°112/07 - D.G.R. n°2193 del 21.12.2015)

RELAZIONE GEOTECNICA basata sulle indagini geognostiche effettuate, al fine della caratterizzazione geotecnica e modellazione del volume significativo di terreno del sito (6.2.2 DM 14/01/08); Verifica dello Stato Limite Ultimo (6.4 del DM 14/01/08)



COMMITTENTE: CMC S.r.I.

UBICAZIONE SITO: Via Emilia Est, Loc. Cavazzona, Castelfranco Emilia (MO)

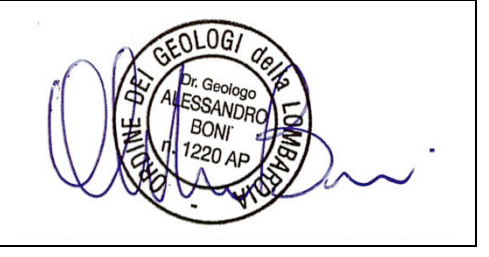
PROGETTO: Studio geologico sismico e geotecnico a corredo del P.U.A.

di iniziativa privata in variante al P.S.C. e P.T.C.P.

DATA: Settembre 2016

IL TECNICO:

Dott. Geol. Alessandro Boni



INDICE

PREMESSA	Pag. 02
RELAZIONE GEOLOGICA	Pag. 03
1 - INQUADRAMENTO GEOGRAFICO	Pag. 03
2 - MODELLAZIONE GEOLOGICA DEL SITO	Pag. 04
2.1 Geologia e geomorfologia del territorio	Pag. 04
2.2 Inquadramento idrogeologico ed idrografico	Pag. 07
2.3 Soggiacenza della falda freatica	Pag. 09
2.4 Prove penetrometriche statiche	Pag. 10
2.5 Caratterizzazione litostratigrafica	Pag. 29
ANALISI DELLA RISPOSTA SISMICA DI BASE	Pag. 51
3 - PERICOLOSITÀ SISMICA DI BASE DEL SITO	Pag. 51
3.1 Categoria sismica dei suoli di fondazione	Pag. 54
3.2 Caratterizzazione e classificazione sismica del terreno	Pag. 55
3.3 Microzonazione sismica	Pag. 68
3.4 Valutazione della liquefacibilità dei terreni	Pag. 74
3.5 Stima dei cedimenti permanenti post-sismici	Pag. 78
RELAZIONE GEOTECNICA	Pag. 80
4 - INDAGINI, CARATTERIZZAZIONE E MODELLAZIONE GEOTECNICA	Pag. 80
4.1 Metodologia d'esecuzione ed interpretazione delle CPTU	Pag. 80
4.2 Elaborazione dati prove penetrometriche statiche	Pag. 80
5 - TIPOOGIA FONDALE IPOTIZZATA	Pag. 87
6 - VERIFICHE DELLA SICUREZZA E DELLE PRESTAZIONI (SLU-SLE)	
IN BASE AL D.M. DEL 14/01/2008 : TESTO UNICO - NORME TECNICHE	
PER LE COSTRUZIONI	Pag. 88
6.1 Verifiche nei confronti degli stati limiti ultimi (SLU)	Pag. 88
6.2 Valore caratteristico della resistenza (Rk)	Pag. 89
6.3 Stato limite ultimo (SLU) ed approcci progettuali	Pag. 89
6.4 Combinazioni e verifiche agli stati limite ultimi (SLU)	Pag. 90
6.5 Calcolo del carico limite ultimo q _{d(SLU)}	Pag. 91
7 - VALUTAZIONI DI FATTIBILITA' GEOLOGICA: CONSIDERAZIONI CONCLUSIVE	Pag. 92

PREMESSA

A seguito dell'incarico ricevuto dall'Arch. Ricardo Sala, per conto della Società C.M.C. S.r.l. è stato condotto uno studio geologico, geotecnico e sismico a corredo di un Piano Urbanistico Attuativo di iniziativa privata da realizzarsi in Via Emilia Est, in Località Cavazzona a Castelfranco Emilia (MO). L'area oggetto di studio, destinata ad un piano di sviluppo industriale, su cui sorgeranno strutture prefabbricate in c.a. (e non solo), è di circa 200.000 mq.

L'obiettivo di questo studio è quello quindi di caratterizzare l'area sotto il profilo geologico, geotecnico e sismico al fine di fornire gli elementi di conoscenza necessari alla formulazione delle successive scelte progettuali relative gli interventi in progetto.

Le scelte progettuali devono quindi tener conto delle prestazioni attese delle opere, dei caratteri geologici del sito ed essere basati su una preventiva modellazione geotecnica dei terreni, ottenuti attraverso specifici studi, rilievi, indagini e prove.

Le indagini e le analisi suddette, sono state eseguite in ottemperanza ai dettati delle leggi nazionali e regionali relative gli studi di fattibilità geologico-geotecnica su grandi aree:

- D.M. 11 Marzo 1988 e s.m.i.;
- Circolare RER n.555/72 del 02/11/72 e s.m.i.;
- Circolare LL.PP. n.30483 del 24/09/88 e s.m.i.;
- L.R. RER n.23/80; n.47/78; n.64/74 e s.m.i.;
- Art. 49 della L.R. 47 del 7 dicembre 1978 e s.m.i. (allegato n.12);
- Circolare regionale n.3891/AT.SU del 21 Marzo 1974 e s.m.i.;
- Circolare regionale prot. 1288 dell'11 febbraio 1983 e s.m.i. (allegato n.13);
- Art. 16 della L.R. n.20 del 24.03.2000;
- O.P.C.M. n.3274 del 20.03.2003 e s.m.i.;
- D.A.L. n.112 del 2007;
- D.M. del 14 Gennaio 2008 (Norme Tecniche per le costruzioni);
- Circolare n.617 del 02.02.2009:
- D.G.R. n.2193 del 21.12.2015.

Per la caratterizzazione del sito e per la definizione del modello geologico sono state prese in considerazione le indagini geognostiche eseguite dal sottoscritto in data 08/09/2016. A tal proposito sono state realizzate:

- n°3 prove penetrometriche statiche eseguite con punta elettrica (CPTU: n°1) e cono sismico (SCPTU: n°2), mediante l'utilizzo di un penetrometro GeoMill da 200 kN di spinta massima, montato su autocarro Mercedes Unimog 4X4;
- n°2 prospezioni sismiche tipo "down-hole", eseguite durante le prove penetrometriche con cono sismico (SCPTU) di cui sopra;
- n°1 indagine sismica passiva a stazione singola (HVSR) eseguita mediante tromometro digitale.

Il presente studio vieni quindi articolato nelle seguenti fasi:

Relazione geologica:

Inquadramento geografico;

· Modellazione geologica del sito.

<u>Analisi della risposta sismica di base:</u> (I e II livello di approfondimento + III livello per la sola valutazione dei cedimenti post-sismici)

- Classificare il sottosuolo di fondazione dal punto di vista sismico;
- Verifica rischio liquefazione;
- Calcolo dei cedimenti post-sismici.

Relazione geotecnica:

- Indagini, caratterizzazione e modellazione geotecnica;
- Valutazioni sulla tipologia fondale;
- Verifiche della sicurezza e delle prestazioni in relazione al D.M. del 14/01/2008: (SLU, SLE, considerazioni sui cedimenti).

RELAZIONE GEOLOGICA:

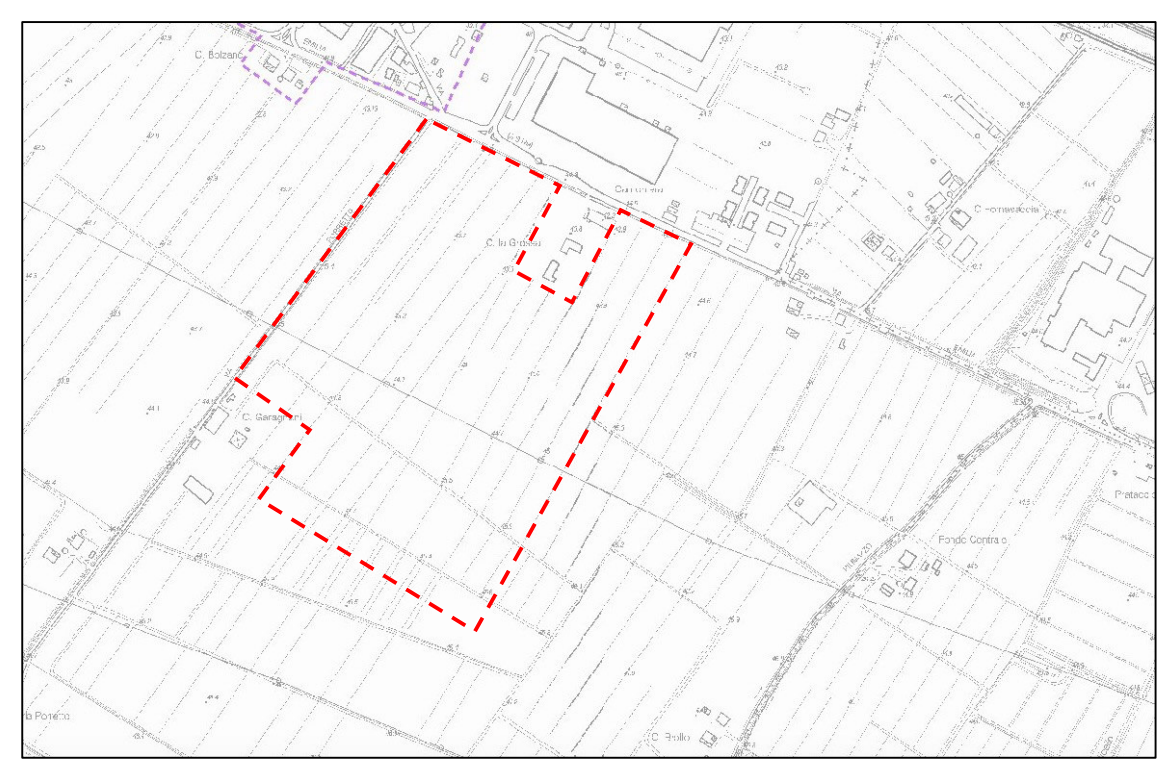
1 - INQUADRAMENTO GEOGRAFICO

L'area oggetto di studio si colloca all'interno dei confini comunali di Castelfranco Emilia (MO) in Località Cavazzona lungo Via Emilia Est.

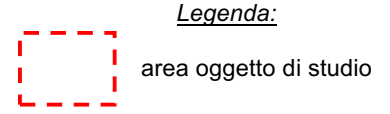
L'altimetria dell'area in studio varia da 43 a 44 metri s.l.m.

Dal punto di vista cartografico, l'area esaminata ricade nelle seguenti basi topografiche:

- Sezione C.T.R. 1:10.000 : 220022 e 220023



TAV. 1 – INQUADRAMENTO GEOGRAFICO C.T.R.



2 - MODELLAZIONE GEOLOGICA DEL SITO

Il modello geologico del sito deve essere orientato alla ricostruzione dei caratteri stratigrafici, litologici, strutturali, idrogeologici, geomorfologici, sismici e, più in generale, di pericolosità geologica del territorio circostante l'area oggetto di studio.

Per quanto riguarda gli inquadramenti di carattere geologico, idrogeologico e geomorfologico, non essendo intervenute modificazioni sostanziali nella tipologia di utilizzo del territorio comunale, sono stati recepiti quelli dello studio geologico a corredo del P.S.C., del P.O.C. e s.m.i.; ad essi si rimanda per una disamina di dettaglio.

2.1 - Geologia e geomorfologia del territorio

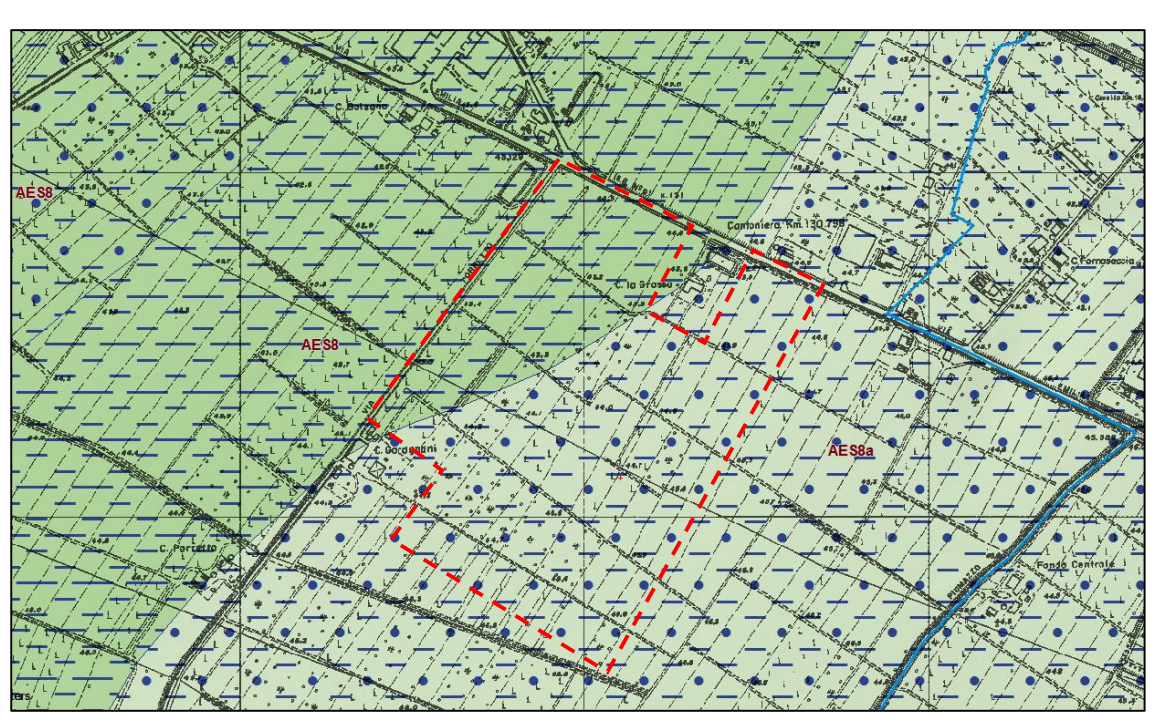
L'area in esame ricade entro il bacino subsidente padano che è costituito da una depressione a carattere marcatamente compressivo colmata da una successione regressiva plioquaternaria che culmina al tetto con depositi continentali (Olocenici) di origine alluvionale. Il quadro generale dell'intera regione entro la quale ricade l'area in oggetto può essere descritto riportando uno schema, ampiamente riconosciuto, che suddivide a seconda della posizione geomorfologica l'intera pianura in tre settori:

- alta pianura: con il cui nome si intende la fascia pedecollinare delle conoidi. Essa é caratterizzata da depositi prevalentemente sabbioso-ghiaiosi;
- media pianura: con il cui nome si intende la fascia compresa tra le conoidi e la Via Emilia. Essa é caratterizzata da depositi prevalentemente limoso-sabbiosi;
- bassa pianura: che comprende la zona che va dalla Via Emilia al Fiume Po. Essa é caratterizzata da depositi prevalentemente argilloso-limosi.

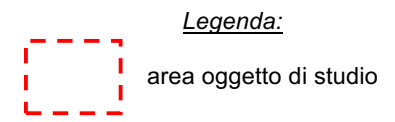
L'area d'indagine è posta in quella zona definita in bibliografia come media pianura nella quale i depositi alluvionali sono strettamente legati alle fasi deposizionali sia del fiume Panaro che dei corsi d'acqua minori di tipo appenninico, tra i quali di primaria importanza risulta senz'altro il torrente Samoggia; si tratta di depositi di origine continentale a granulometria assai variabile sia in senso areale che verticale, con prevalenza di granulometrie più grossolane, in corrispondenza della parte distale della conoide del Panaro e dei tracciati, sia attuale che passati, dello stesso fiume e granulometrie mediamente più fini, nella zona settentrionale del territorio comunale (grossomodo a nord della Via Emilia).

Le forme del paesaggio sono riconducibili essenzialmente a due agenti morfogenetici principali, i corsi d'acqua (primo tra tutti il fiume Panaro), la cui azione si è espletata principalmente in passato, e l'intervento antropico, che con l'attività agricola, la costruzione di arginature per il contenimento delle piene, il modellamento delle sponde, ha considerevolmente trasformato la morfologia dell'area.

Da un punto di vista litologico nell'area in esame affiorano depositi alluvionali appartenenti all'Unità di Modena (AES8a) e al Subsintema di Ravenna (AES8) con la presenza di depositi superficiali prevalentemente fini (limo-sabbiosi e limo-argillosi) seguiti dai depositi ghiaiosi del fiume Panaro il cui tetto risulta essere posto ad una profondità media di circa -20 m da p.c.



TAV. 2 - INQUADRAMENTO GEOLOGICO



CODICE	SIGLA	LEGENDA	AMBIENTI	TESSITURA	UBICAZIONE
	AES8a	Unità di Modena	Piana alluvionale	Limo Sabbioso	Pianura
+++++	AES8	Subsintema di Ravenna	Piana alluvionale	Limo Argilloso	Pianura

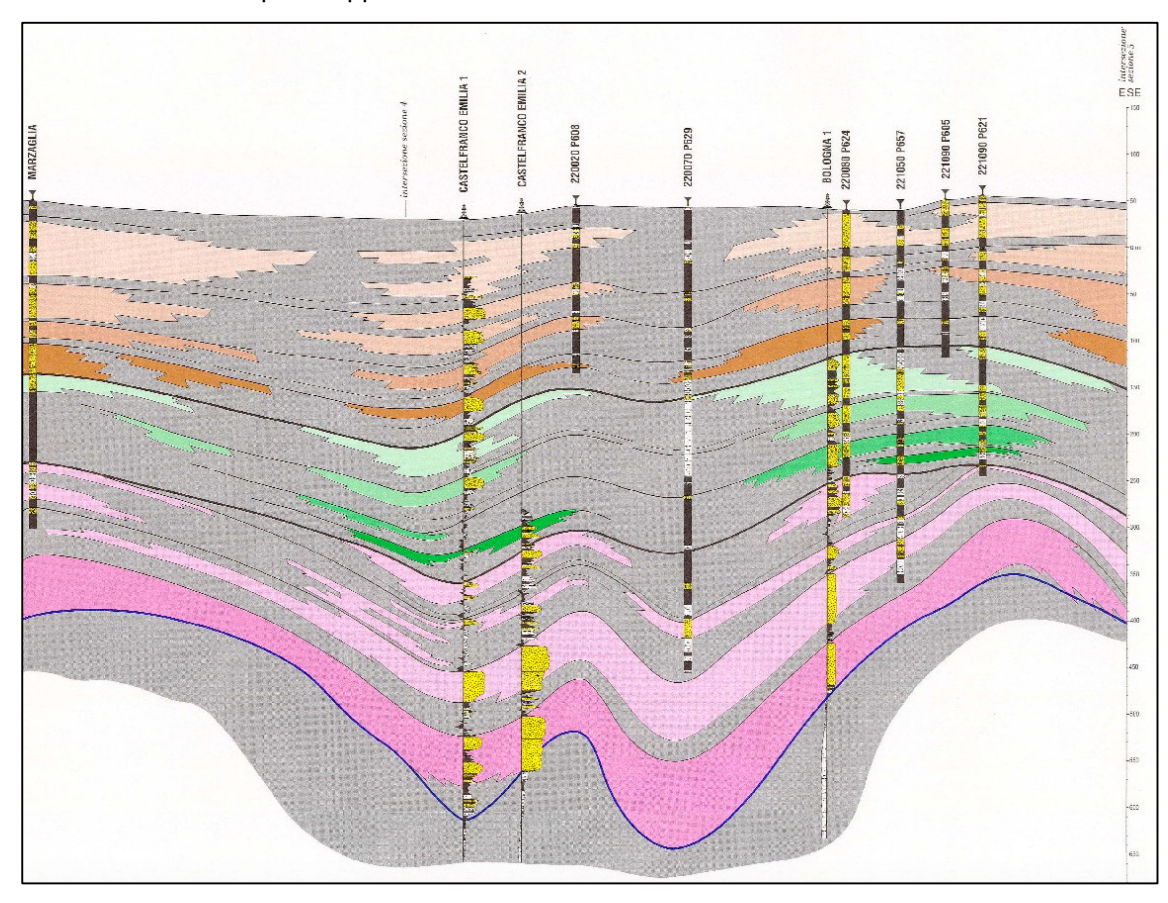
L'azione congiunta di fattori morfoclimatici e morfotettonici hanno dato luogo ad una struttura litomorfologica varia e complessa. I terreni Olocenici, di origine alluvionale, poggiano sul sottostante Pleistocene continentale e/o marino, strutturalmente caratterizzato da elementi sufficientemente definiti. In termini generali ed in modo schematico possiamo individuare 3 zone e cioè:

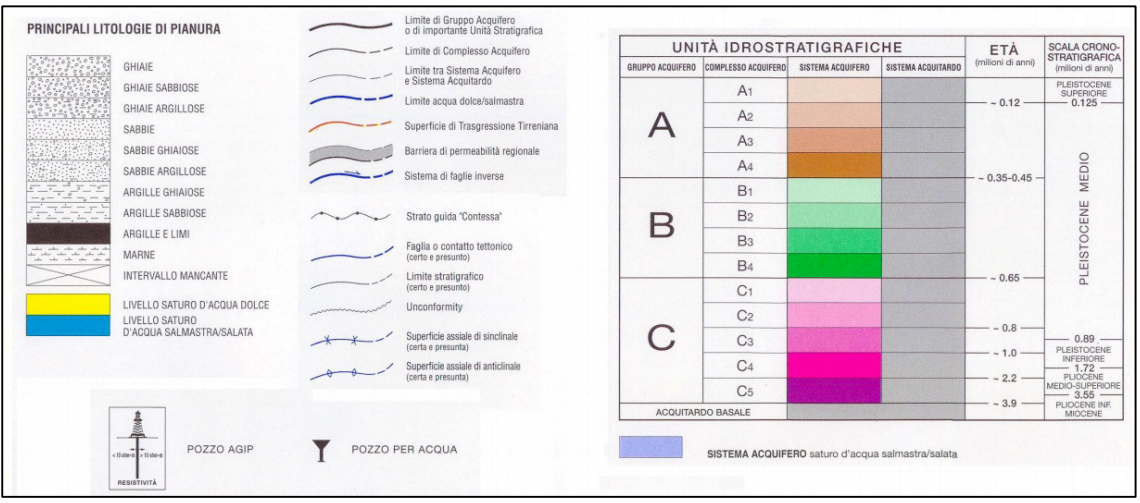
- a) "Zona delle pieghe Pedeappennniniche", dal margine collinare alla Via Emilia, costituita da una successione di sinclinali ed anticlinali, con asse a vergenza Appenninica spesso fagliate e sovrascorse sul fianco nord.
- b) "Zona della Sinclinale di Bologna-Bomporto-Reggio Emilia, dove i depositi Quaternari raggiungono il loro massimo spessore per tutta la Pianura Padana.
- c) "Zona della Dorsale Ferrarese", alto strutturale costituito da una serie di pieghe associate a faglie dove, in talune culminazioni, lo spessore del Quaternario si riduce a poche decine di metri

Le conoscenze sull'assetto geologico-strutturale del Bacino Padano derivano dalle prospezioni geofisiche e perforazioni eseguite da AGIP e SPI.

Tali ricerche indicano la sostanziale presenza di due complessi sedimentari poggianti su substrato Mesozoico: il primo, inferiore, caratterizzato da formazioni Pliocenico-Pleistoceniche,

essenzialmente costituite da sedimenti in facies marina, il secondo, superiore, da formazioni Oloceniche costituite da depositi clastici in facies continentale, di origine glaciale e fluviale, dovuti all'attività dei fiumi alpini e appenninici.





L'assetto geostrutturale del sottosuolo è caratterizzato da un susseguirsi di sovrasconimenti, più o meno sviluppati, talora complicati da faglie, interessanti principalmente le serie deposizionali marine mesozoiche. I depositi alluvionali che formano i primi 150÷250 m di sottosuolo sono costituiti da ripetitive sequenze di livelli sostanzialmente argillosi limosi ai quali si intercalano strati sabbiosi e/o ghiaiosi, contraddistinti da una spiccata lenticolarità ed una sensibile discontinuità laterale.

La geologia del settore di territorio studiato è quindi caratterizzata dalla presenza di sequenze deposizionali di tipo alluvionale a tessitura estremamente variabile, che vanno dalle argille, ai limi fino alle sabbie e/o ghiaie più o meno addensate.

In particolare si tratta di depositi distribuiti secondo alternanze di litotipi a diversa granulometria, organizzati in strati a geometria variabile, spesso lenticolare, e quindi arealmente discontinui, in cui i rapporti tra le diverse litologie sono da ricondurre all'evolversi di un ambiente caratterizzato da energie di trasporto e da modalità deposizionali variabili nel tempo.

L'attuale assetto geomorfologico del territorio Comunale di Castelfranco Emilia, consegue quindi dalle passate vicende fluviali dei principali corsi d'acqua (Panaro e Samoggia) e in subordine da quelle del Fiume Reno e del Fiume Po; tali corsi d'acqua e l'azione dell'uomo: bonifiche, canalizzazioni, urbanizzazioni, ecc...,hanno sensibilmente modificato l'assetto morfologico del territorio. Gli agenti descritti hanno portato alla formazione di una topografia pianeggiante blandamente ondulata, con quote medie nell'ordine dei 43-44 m. s.l.m. e pendenze dello 0,5÷1%.

Dal punto di vista geomorfologico il comparto in oggetto, considerata la collocazione e l'assetto del piano campagna, non presenta alcun processo morfologico destabilizzante in atto e/o in potenziale evoluzione; l'area si presenta perciò stabile.

2.2 - Inquadramento idrogeologico ed idrografico

Dal Punto di vista idrogeologico il territorio in esame ricade entro il sistema acquifero della Pianura Padana. Tale sistema acquifero risulta caratterizzato dall'alternanza di orizzonti permeabili e orizzonti impermeabili.

Le caratteristiche idrogeologiche dell'area sono state evidenziate soprattutto grazie alle recenti ed estese indagini condotte da Regione Emilia-Romagna (1999) in collaborazione con AGIP, sulla base delle quali è possibile schematizzare un modello idrostratigrafico del sottosuolo del bacino padano, costituito da tre maggiori gruppi acquiferi (Gruppo acquifero "A", Gruppo acquifero "B" e Gruppo acquifero "C"), coincidenti con i depositi grossolani afferenti alle più recenti sequenze deposizionali a prevalente carattere continentale del Quaternario, le quali risultano poggianti in discordanza (ed in profondità nell'asse della pianura) sulle sequenze più antiche del Pliocene superiore.

I gruppi acquiferi sono sede di importanti falde idriche che risultano interconnesse e di tipo freatico nella fascia delle conoidi appenniniche, mentre divengono in pressione (confinate) e relativamente compartimentalizzate spostandosi dal margine pedecollinare verso l'asse della pianura. In quest'ultimo ambito i tre gruppi sono suddivisi da barriere di permeabilità, ad estensione regionale.

Il gruppo acquifero "A" rappresenta l'unità idrostratigrafica più prossima alla superficie. Esso risulta sub-affiorante nei settori meridionali del territorio comunale di Castelfranco (zona di Piumazzo, confine comunale di Bazzano), immergendosi verso sud al di sotto di depositi fini limoso-argillosi.

Nell'area della zona indagata il tetto delle ghiaie si trova a profondità medie di circa 20 m dal piano campagna, come è stato possibile riscontrare dai risultati delle indagini geognostiche

effettuate. I depositi ad elevata trasmissività che lo costituiscono sono, in questa zona, direttamente connessi alla deposizione di ghiaie e sabbie da parte della conoide del Fiume Panaro la quale si interdigita con quella del Torrente Samoggia più ad est. Lo spessore di questi depositi è variabile da 20-40 m nelle zone più prossime alla fascia pedecollinare sino ad oltre 70-80 m a nord del capoluogo.

La falda superficiale che caratterizza i luoghi d'indagine, risulta essere prossima al piano campagna, è di tipo freatico ed è legata alle oscillazioni stagionali del sistema idrografico superficiale presente in zona. I livelli di tale falda sono assai variabili sia stagionalmente sia localmente, tendendo ad abbassarsi (aumento della soggiacenza) nei periodi siccitosi e/o estivi e ad innalzarsi nelle stagioni piovose.

Dal punto di vista locale il sottosuolo è contraddistinto da orizzonti idrogeologici non omogenei caratterizzati da sequenze di litotipi con grado di permeabilità variabile, sia in senso laterale che verticale, che esprimono (in superficie) una media prevalenza nelle frazioni argillo-limose, con intercalazioni ghiaiose e sabbiose più in profondità, ne consegue quindi una permeabilità bassa ed una scarsa vulnerabilità del sottostante acquifero da eventuali agenti inquinanti.

L'acquifero in esame è quindi ascrivibile all'Unità Idrogeologica della Media Pianura Padana Appenninica che, nel complesso, presenta una produttività idrica soddisfacente. L'analisi sull'assetto idrogeologico della falda freatica evidenzia quindi una sostanziale conservatività delle principali strutture idrogeologiche sotterranee.

L'idrografia dell'area è piuttosto complessa, definita oltre che dal Torrente Samoggia e dal Fiume Panaro, il cui alveo scorre a sud-ovest dell'area oggetto d'intervento, dalla presenza di fossi minori, più o meno interconnessi, i cui percorsi sono il prodotto di modificazioni sia artificiali che naturali, a diversa funzionalità, utilizzati a scopo o puramente irriguo, o esclusivamente di scolo, o ad uso promiscuo.

Il Fiume Panaro, l'asta idrograficamente più importante nella zona, costituisce anche l'elemento di maggiore criticità sia per il territorio comunale di Modena sia per quello di Castelfranco Emilia. A sud del territorio comunale il suo alveo presenta caratteristiche di canale tipo braided con una larghezza piuttosto ampia e tipiche canalizzazioni intrecciate da barre longitudinali. In concomitanza con la brusca diminuzione del gradiente topografico presente poco a sud di Castelfranco l'alveo si restringe notevolmente assumendo la configurazione di canale meandrizzato e pensile, con imponenti arginature realizzate per impedirne la divagazione.

La piana in questo settore è caratterizzata dalle strutture morfologiche rialzate, che coincidono sia con le aree golenali e le arginature del fiume, sia con i paleodossi originati dalla dinamica fluviale medio-olocenica. In quest'ottica, attraverso l'analisi della distribuzione altimetrica di dette zone è possibile determinare con sufficiente approssimazione le aree che risultano a rischio di esondazione in coincidenza con episodi di rotta fluviale, determinati da eventi di piena eccezionale.

Queste aree sono state individuate grazie a studi effettuati a cura dell'Ing. A. Pagotto finalizzati all'istruzione del Piano Territoriale di Coordinamento Provinciale ed a quella del Piano Strutturale Comunale del Comune di Castelfranco Emilia (MO).

Da questi studi è stata estrapolata la carta del rischio idraulico la quale mostra che l'area indagata si trova al di fuori della zona di probabile inondazione a seguito di evento di piena con un tempo di ritorno pari a 200 anni. Ciò appare dovuto alla presenza dei sopraccitati paleodossi ed alle caratteristiche topografiche del sito. Infatti, le quote medie dell'area di intervento risultano superiori rispetto all'altezza media dell'area golenale.

La zona oggetto di indagine si colloca in una zona di media pianura, in destra idrografica del Fiume Panaro, che rappresenta anchel'elemento morfologico più importante.

Attualmente non esiste nell'area specifica e nelle zone circostanti alcun tipo di dissesto in atto e/o pregresso e non se ne prevedono in futuro.

Morfologicamente, l'area è ricompresa all'interno della conoide del Fiume Panaro che presenta la classica forma sub-triangolare con l'apice che si raccorda con il solco vallivo alla quota di 130-150 m (Vignola-Marano), la quale risulta quasi tutta spostata sulla destra idrografica dell'attuale corso del fiume e si chiude poi rapidamente a Nord di Castelfranco Emilia (30 m s.l.m.). Ad Est il limite della conoide è segnato dall'attuale corso del Torrente Samoggia che scorre attualmente al margine del territorio comunale di Castelfranco Emilia, e successivamente, fino a confluire con il Torrente Lavino mentre il Fiume Panaro attualmente incide la conoide nel suo lato più occidentale.

La conoide è il risultato della sovrapposizione di più corpi sedimentari alluvionali di diversa età, con i più recenti (Olocenici) che ricoprono per la quasi totalità i sottostanti (giungenti fino al Pleistocene medio e superiore). Lungo la superficie dell'area in esame, che risulta pressoché pianeggiante, affiorano sedimenti alluvionali di età Olocenica composti, dal punto di vista granulometrico, da miscele di limi argillo-sabbiosi. I terreni alluvionali recenti ed attuali sono costituiti prevalentemente da potenti banchi di ghiaie eterometriche con matrice solitamente sabbioso-limosa, in cui si intercalano livelli argillo-limosi.

L'area in esame, in virtù dei frequenti scoli di acque superficiali che allontanano facilmente le acque legate ad eventi meteorici si presenta quindi ben drenata, sono pertanto da escludersi, per la porzione di territorio interessata dagli interventi in progetto, eventuali esondazioni. Più che da veri e propri fenomeni di esondazione per tracimazione di cavi o canali, l'area in studio potrebbe eventualmente essere interessata da locali allagamenti per difficoltà di scolo e per ristagno delle acque in occasione di eventi climatici di pioggia critica. Dal punto di vista del drenaggio superficiale le pendenze del terreno, mediamente comprese tra 0,5 e 1% evidenziano un drenaggio di tipo lento; ne consegue che le opere di sistemazione esterna, dovranno prevedere opportune linee di scolo e smaltimento delle acque meteoriche che suppliscano a tale situazione, in funzione anche ad un incremento delle superfici impermeabilizzate.

2.3 - Soggiacenza della falda freatica

A verifica delle condizioni strutturali della falda freatica, al termine delle prove penetrometriche è stato misurato all'interno di ogni foro d'indagine il livello della falda freatica, il cui valore rispetto al piano d'esecuzione della prova è da riferirsi alla data in cui è stato eseguito il lavoro (08/09/2016); i valori rilevati sono:

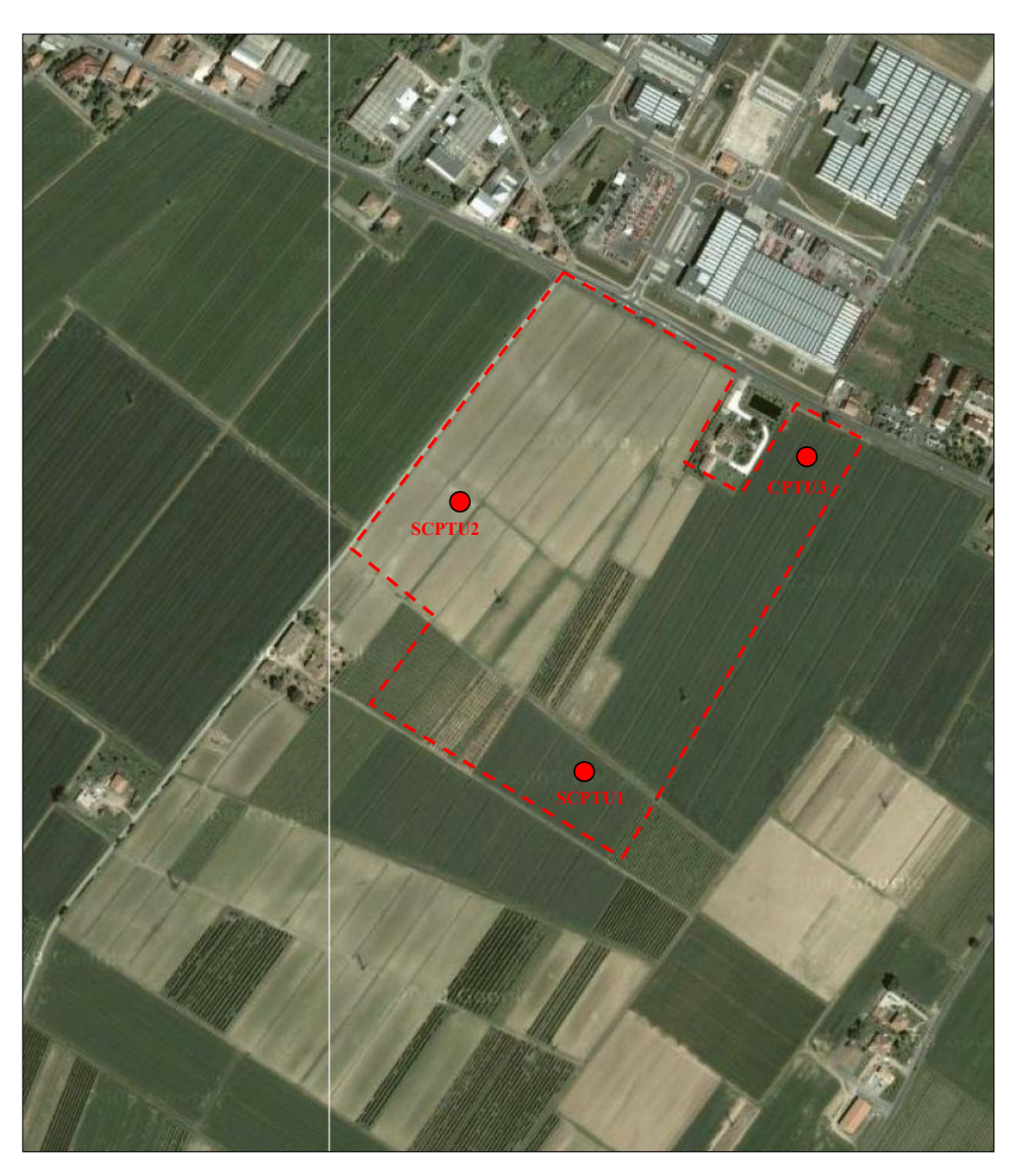
- ➤ Perforo SCPTU1 : -5,10 m da piano prova e/o piano campagna
- Perforo SCPTU2 : -3,00 m da piano prova e/o piano campagna
- Perforo CPTU3 : -4,50 m da piano prova e/o piano campagna

È' opportuno segnalare come tali valori risultino fortemente influenzati, sia dalle variazioni meteoriche che dal litotipo riscontrato, nonché da fenomeni di evapotraspirazione e di differente quota topografica; tali fattori possono determinare in determinati periodi dell'anno, possibili venute d'acqua in fase di scavo per la realizzazione delle strutture fondali, in particolar modo nel caso di piani interrati e/o fondazioni con un piano di posa profondo. Nelle stagione secca e nelle annate meno piovose possono infatti registrarsi abbassamenti dell'ordine di qualche metro; al contrario nelle annate e nei mesi più piovosi possono registrarsi valori prossimi al piano campagna, la cui presenza dovrà essere comunque opportunamente valutata in fase esecutiva.

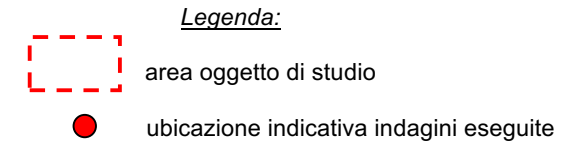
In tali condizioni sarebbe necessario prevedere adeguati interventi finalizzati all'abbattimento del livello freatico e/o all'isolamento idraulico di pavimenti e muri esterni interrati; dette peculiarità dovrebbero essere eseguite con metodologie che non alterino sensibilmente l'assetto strutturale della falda freatica; ciò poiché l'abbattimento delle pressioni neutre eventualmente causato da dette operazioni potrebbe determinare incrementi sia delle velocità che nelle entità dei cedimenti dei litotipi sottostanti le opere fondali e la comparsa e/o ripresa di lesioni nelle strutture in elevazione indipendentemente dal periodo di costruzione delle stesse.

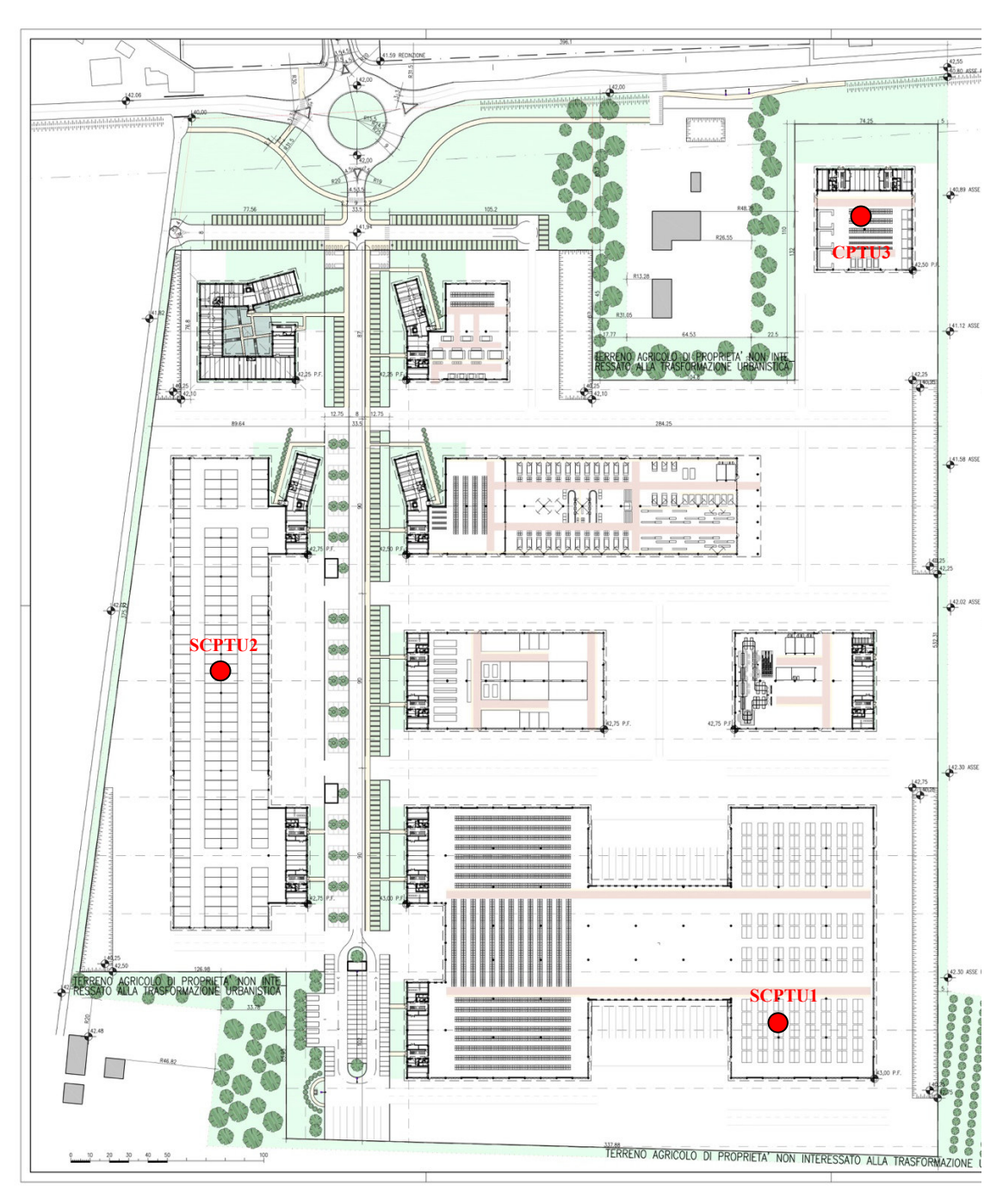
2.4 - Prove penetrometrie statiche

Per la caratterizzazione litologica dei terreni di fondazione dell'area in esame, sono stati presi in esame i dati restituiti dalle prove penetrometriche statiche eseguite dal sottoscritto in data 08/09/2016, ubicate come riportato nelle due Tavole successive.



TAV. 3 – VISTA AEREA DELL'AREA OGGETTO DI STUDIO



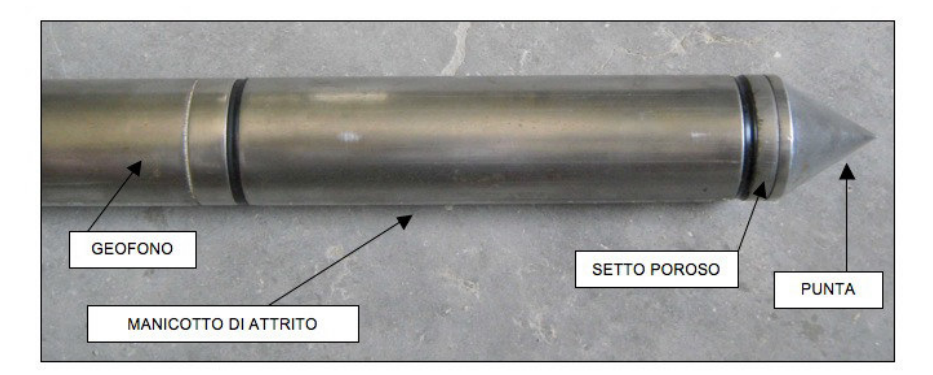


TAV. 4 – PIANO DI SVILUPPO INDUSTRIALE

Legenda:

ubicazione indicativa indagini eseguite

Le prove penetrometriche sono state eseguite utilizzando un penetrometro GeoMill da 200 kN di spinta massima, dotato di punta elettrica, montato su autocarro Mercedes Unimog 4X4. Le prove SCPTU (S = Seismic; CPT = Cone Penetration Test; U = con misura della pressione neutra U) consiste, come per le prove CPTU standard, nell'infissione nel terreno del piezocono per la misura, ogni 2 cm, dei classici parametri gc (resistenza di punta), fs (resistenza laterale) ed U (pressione neutra). Ad ogni metro di profondità (od eventualmente a profondità prestabilite a seconda delle necessità progettuali) viene sospesa l'infissione del piezocono ed a piano campagna, tramite adeguato sistema di energizzazione, vengono generate delle vibrazioni artificiali nel terreno. Tramite i sensori sismici (geofoni) presenti all'interno del piezocono ed adeguato acquisitore sismico è possibile quindi rilevare e registrare tali segnali sismici e di conseguenza determinare i tempi necessari alle onde sismiche per percorrere il tratto da piano campagna fino alla profondità a cui si trova il piezocono (tempi di arrivo). Grazie alla presenza di tre geofoni o accelerometri disposti all'intero del piezocono lungo le tre direzioni X, Y e Z ed al tipo di sistema di energizzazione utilizzato è possibile discriminare nei sismogrammi i segnali generati dalle onde di taglio S e dalle onde di compressione P (solo in terreni privi di falda freatica). Ottenuti i tempi di arrivo è possibile quindi calcolare la velocità di propagazione delle onde S e P. La prova penetrometrica statica SCPTU consiste nella misura della resistenza alla penetrazione di una punta elettrica dotata di piezocono, di dimensioni e caratteristiche standardizzate, infissa nel terreno a velocità costante (V = 2 cm/s ± 0.5 cm/s). La punta sismica è una punta penetrometrica elettrica dotata, oltre che dei geofoni succitati, di un trasduttore di pressione per la misura della pressione interstiziale dei pori, cioè il carico idraulico istantaneo presente nell'intorno della punta. La pressione dell'acqua interstiziale del terremo viene trasmessa al trasduttore attraverso un filtro, che è posto tra la base dell'estremità conica della punta ed il manicotto di attrito. La penetrazione avviene attraverso un dispositivo di spinta, che agisce su una batteria di aste (aste cave con il cavo di trasmissione dati all'interno), alla cui estremità inferiore è collegata la punta con piezocono.



Lo sforzo necessario per l'infissione viene determinato a mezzo di un opportuno sistema di misura estensimetrico collegato alla punta ed al manicotto dell'attrito laterale, e da un trasduttore di pressione che registra le pressioni dell'acqua di falda durante l'infissione della punta, attraverso un setto poroso opportunamente saturato e disareato. I dati delle resistenze alla punta, al manicotto laterale, della pressione dei pori e dell'inclinazione della punta vengono

registrate su supporti magnetici ed e successivamente elaborati. Le dimensioni della punta/manicotto sono standardizzate, e precisamente:

-	diametro di base del cono	f =	35.7 mm
-	area della punta conica	Ap =	10 cm ²
-	angolo apertura del cono	B =	60°
-	superficie laterale manicotto	Am =	150 cm^2

Nei diagrammi e tabelle allegati alle pagine successive sono riportati i seguenti valori di resistenza (rilevati dalle letture di campagna, durante l'infissione dello strumento):

- qc (kg/cm²) = resistenza alla punta (conica);
- fs (kg/cm²) = resistenza laterale (manicotto);
- U (kg/cm²) = pressione dei pori (setto poroso);
- fs/qc (%) = rapporto attrito laterale / resistenza alla punta;
- ΔU/qc = variazione pressione dei pori in funzione della resistenza alla punta.

Oltre all'elaborazione dei valori di resistenza del sottosuolo, vengono fornite anche utili informazioni per il riconoscimento di massima dei terreni attraversati (stratigrafia), in base al rapporto qc/fs fra la resistenza alla punta e la resistenza laterale del penetrometro, ovvero in base ai valori di qc e del rapporto FR = (fs/qc) %.

Le prove penetrometriche effettuate sono state spinte sino alla profondità massima di -23,00 m da p.c. (SCPTU1), -18,80 m (SCPTU2) e -22,00 m CPTU3. Non è stato possibile approfondire le suddette prove sino alla profondità di -30 m, per la presenza di un orizzonte ghiaioso impenetrabile dal penetrometro. Con riferimento ai dati acquisiti durante la campagna geognostica si riportano di seguito le risultanze dei test penetrometrici.

PROVA SCPTU1 (lettura dati ogni 2 cm)



 COMMITTENTE:
 dott. geol.Alessandro Boni - Via Giulio Romano 54 - CAP 46035 Ostiglia (MN)

 CANTIERE:
 Piano Urbanistico di Iniziativa Privata - Loc. Cavazzona, Castelfranco Emilia (MO)

 CPT N°
 SCPTU 1
 PROF. FALDA (m da p.c.)
 5.10
 PUNTA: Tecnopenta G1-CPLZIN (matr. ±11010)[a = 0.66]

 DATA
 08/09/16
 PREFORO (m da p.c.)
 S160376 del 12.09.16
 LAT. (WGS 84):
 44.565910°

 COMMESSA
 13030/14
 C. SITO N°:
 S160376 del 12.09.16
 LONG. (WGS 84):
 11.121723°
 kPa 111,422 105,202 105,202 105,202 105,202 105,202 105,202 105,202 105,203 10 kPa 20.77 20 kPa (12.09) (1 gradio (1.0) (1 kPap 117.73 118.77 117.73 118.77 118. gradio 0.792 0.00 0.792 0.00 0.793 0.075 0 gnaling and the state of the st kPg
25.877
267.311262
267.31126
267.31126
267.31126
267.31126
267.31126
267.31126
267.31126
267.31126
267.31126
267.31126
267.31126
267.31126
267.31126
267.31126
267.31126
267.31126
267.31126
267.31126
267.31126
267.31126
267.31126
267.31126
267.31126
267.31126
267.31126
267.31126
267.31126
267.31126
267.31126
267.31126
267.31126
267.31126
267.31126
267.31126
267.31126
267.31126
267.31126
267.31126
267.31126
267.31126
267.31126
267.31126
267.31126
267.31126
267.31126
267.31126
267.31126
267.31126
267.31126
267.31126
267.31126
267.31126
267.31126
267.31126
267.31126
267.31126
267.31126
267.31126
267.31126
267.31126
267.31126
267.31126
267.31126
267.31126
267.31126
267.31126
267.31126
267.31126
267.31126
267.31126
267.31126
267.31126
267.31126
267.31126
267.31126
267.31126
267.31126
267.31126
267.31126
267.31126
267.31126
267.31126
267.31126
267.31126
267.31126
267.31126
267.31126
267.31126
267.31126
267.31126
267.31126
267.31126
267.31126
267.31126
267.31126
267.31126
267.31126
267.31126
267.31126
267.31126
267.31126
267.31126
267.31126
267.31126
267.31126
267.31126
267.31126
267.31126
267.31126
267.31126
267.31126
267.31126
267.31126
267.31126
267.31126
267.31126
267.31126
267.31126
267.31126
267.31126
267.31126
267.31126
267.31126
267.31126
267.31126
267.31126
267.31126
267.31126
267.31126
267.31126
267.31126
267.31126
267.31126
267.31126
267.31126
267.31126
267.31126
267.31126
267.31126
267.31126
267.31126
267.31126
267.31126
267.31126
267.31126
267.31126
267.31126
267.31126
267.31126
267.31126
267.31126
267.31126
267.31126
267.31126
267.31126
267.31126
267.31126
267.31126
267.31126
267.31126
267.31126
267.31126
267.31126
267.31126
267.31126
267.31126
267.31126
267.31126
267.31126
267.31126
267.31126
267.31126
267.31126
267.31126
267.31126
267.31126
267.31126
267.31126
267.31126
267.31126
267.31126
267.31126
267.31126
267.31126
267.31126
267.31126
267.31126
267.31126
267.31126
267.31126
267.31126
267.31126
267.31126
267.31126
267.31126
267.31126
267.31126
267.31126
267.31126
267.31126
267.31126
267.31126
267. 8.008 8.102 8.146 8.128 8.146 8.128 8.146 8.128 8.146 8.128 8.146 8.128 8.146 8.128 8.146 gradid (1974) (1 161.3 99.3 100.7 100 60.53 53.185 53.185 53.185 53.185 53.185 53.185 53.185 53.185 53.185 53.185 53.185 53.185 53.185 53.185 66.287 66.31 66.53 66.76 66.76 66.76 66.76 66.76 66.77 66.77 66.77 66.78 66.79 6

Lo Sperimentatore: II Derettore del Laboratorio dott. Luciano Rossi s160376_SCPTU 1.xls - pag 1 di 6 dott. geol. Massimo Romagnoli



Sede operativa ed amm.va: Via Annibale Zucchini, 69 - 44100 FERRARA tel. 0532/56771; fax 0532/56119 e-mail: info@elletipi.it sito: www.elletipi.it P IVA e Codice Fiscale n. 00174600387





] @			Fiscale ecnico au			7 . n. 6572	del 07/10	V2014, ar	t. 59 del	D.P.R. 38	30/2001,	Circolari I	Ministeria	i 7618/S	<u>T</u> C						III DI GESTION ERTIFICATI	se:
cc	MMI.							ro Boi										a (MN	1)					
CA	NTIE			Piano				niziativ	a Priv	vata -	Loc.	Cavaz	zona,	Caste	Ifranc	o Em	ilia (M	0)				1010)		0 663
5000	T N°		SCPT 08/0							DA (m (m da		.c.)	5.10	PU	NIA:	recno	openta		PLZII (WGS)			1010) 4.565		0.66]
	MMES	SSA						C. SI				376 d	lel 12.	.09.16						SS 84)		1.121		
prof.	qc	fs	U	incl.	prof.	qc	fs	U	incl.	prof.	qc	fs	U	incl.	prof.	qc	fs	U	incl.	prof.	qc	fs	U	incl.
m 10.02	Mpa 1.50	kPa 95.64	kPa 183	gradi 7.42	m 12.02	Mpa 1.11	kPa 51.31	kPa 210.7	gradi 8.64	m 14.02	Mpa 0.96	kPa 25.64	kPa 202.0	gradi 10.09	m 16.02	Mpa 1.22	kPa 55.53	kPa 270.7	gradi 11.26	m 18.02	Mpa 1.25	kPa 98.09	kPa 289.3	gradi 12.65
10.04 10.06	1.46	98.20 96.64	192 199	7.44 7.46	12.04 12.06	1.14	51.42 50.31	212.0 216.7	8.65 8.68	14.04 14.06	1.06	26.87 29.20	204.0 204.0	10.11	16.04 16.06	1.18	60.76 62.87	269.3 269.3	11.27 11.28	18.04 18.06	1.31	90.20 81.09	294.0 292.7	12.66 12.69
10.08	1.38	89.31 79.87	202	7.48 7.51	12.08 12.10	1.22	47.53 47.87	215.3 214.7	8.70 8.70	14.08 14.10	1.13	32.20 33.42	210.0 209.3	10.16 10.17	16.08 16.10	1.09	65.53 69.09	267.3 266.0	11.30 11.32	18.08 18.10	1.17	73.64 68.64	288.7 285.3	12.68 12.70
10.12 10.14	1.35	73.42 69.64	201 200	7.52 7.54	12.12 12.14	1.14	47.53 46.98	214.0 214.7	8.71 8.73	14.12 14.14	1.23	37.20 39.09	211.3 212.0	10.18 10.19	16.12 16.14	1.02	68.87 64.20	267.3 270.7	11.34 11.35	18.12 18.14	1.02 0.88	64.87 60.53	285.3 282.0	12.72 12.74
10.16 10.18	1.31	68.76 66.64	203 203	7.55 7.58	12.16 12.18	1.12	47.64 49.20	215.3	8.74 8.75	14.16 14.18	1.30	42.98 46.09	214.0 213.3	10.22 10.23	16.16 16.18	1.15	59.20 54.64	274.7 276.0	11.35 11.38	18.16 18.18	0.87	55.20 52.09	281.3 286.7	12.75 12.77
10.20	1.32	66.98 67.87	203 203	7.59 7.60	12.20 12.22	1.14	50.42 50.31	221.3 221.3	8.75 8.78	14.20 14.22	1.25	48.98 50.87	212.0 210.0	10.24 10.26	16.20 16.22	1.13	52.20 50.87	274.7 272.0	11.39 11.40	18.20 18.22	0.94	45.31 37.98	287.3 292.0	12.78 12.80
10.24 10.26	1.41	67.87 66.98	204 205	7.63 7.65	12.24 12.26	0.99	48.53 47.20	220.7 218.7	8.79 8.80	14.24 14.26	0.91 1.00	46.09 62.09	203.3 206.0	10.29 10.29	16.24 16.26	0.95 0.88	52.64 55.87	268.7 264.7	11.44 11.43	18.24 18.26	0.95	34.98 33.42	292.7 287.3	12.83 12.84
10.28	1.52	66.09 67.53	207 205	7.67 7.67	12.28 12.30	0.97	43.98 44.09	218.7 218.0	8.83	14.28 14.30	0.95	64.42 63.20	203.3 202.7	10.30	16.28 16.30	0.84	57.53 59.42	263.3 262.0	11.45 11.46	18.28 18.30	0.79	33.42	287.3 292.7	12.86 12.89
10.32 10.34	1.62 1.62	72.76 75.53	192 193	7.75 7.76	12.32 12.34	0.94	44.64 44.64	218.7 220.7	8.86 8.87	14.32 14.34	0.88	64.31 62.87	202.0 200.7	10.35 10.37	16.32 16.34	0.73	58.09 48.20	261.3 260.0	11.49 11.50	18.32 18.34	0.92	26.87 26.87	294.0 300.0	12.90 12.92
10.36 10.38	1.62	77.64 80.98	195 195	7.78 7.79	12.36 12.38	1.01	44.53 42.98	224.7 229.3	8.91 8.91	14.36 14.38	0.87	58.87 55.20	202.0 204.0	10.38 10.41	16.36 16.38	0.67	38.31 35.98	254.7 254.0	11.53 11.55	18.36 18.38	0.92 1.02	26.76 27.09	298.7 303.3	12.94 12.94
10.40 10.42	1.54 1.50	86.31 88.98	196 208	7.79 7.81	12.40 12.42	1.20	40.87 37.42	233.3 241.3	8.93 8.96	14.40 14.42	0.88	52.42 50.98	203.3 202.0	10.42 10.43	16.40 16.42	0.69	31.09 28.64	256.0 258.7	11.57 11.59	18.40 18.42	1.02 0.94	26.42 27.98	303.3 300.0	12.97 12.97
10.44 10.46	1.46 1.47	86.98 81.09	215 221	7.82 7.83	12.44 12.46	1.37	32.98 28.53	243.3 245.3	8.97 8.98	14.44 14.46	0.95	50.20 51.20	204.0 204.0	10.45 10.46	16.44 16.46	0.78	28.20 27.31	258.7 260.0	11.61 11.63	18.44 18.46	0.89	29.53 30.53	301.3 296.0	12.98 13.00
10.48 10.50	1.50 1.46	77.09 73.76	222 221	7.84 7.86	12.48 12.50	1.55 1.52	40.53 46.09	254.7 254.0	9.01 9.01	14.48 14.50	1.00	52.76 54.98	204.7 207.3	10.48 10.50	16.48 16.50	0.79	24.53 23.09	261.3 258.7	11.66 11.70	18.48 18.50	0.84	31.87 27.64	296.7 306.0	13.01 13.03
10.52 10.54	1.37	70.64 64.98	223 224	7.89 7.91	12.52 12.54	1.47	50.87 58.87	252.0 248.7	9.02	14.52 14.54	1.06	56.87 57.64	206.7 207.3	10.50 10.53	16.52 16.54	0.80	25.09 26.20	261.3 262.0	11.71 11.73	18.52 18.54	0.87	27.98 26.98	309.3 312.7	13.06 13.07
10.56 10.58	1.38	61.76 58.76	225 231	7.94 7.96	12.56 12.58	1.23	67.42 71.53	244.7 242.7	9.04 9.04	14.56 14.58	1.18	60.53 61.09	209.3 210.7	10.54 10.55	16.56 16.58	0.82	26.42 27.64	262.0 262.0	11.74 11.76	18.56 18.58	0.91	26.31 23.98	318.7 320.7	13.09 13.12
10.60 10.62	1.48	54.09 46.76	236 239	7.99 7.99	12.60 12.62	0.94	73.42 75.31	239.3 238.0	9.06 9.09	14.60 14.62	1.23	61.09 61.98	209.3 210.7	10.56 10.57	16.60 16.62	0.82	28.76 28.20	262.0 270.0	11.77 11.82	18.60 18.62	1.00	23.31 23.87	326.0 332.0	13.15 13.15
10.64 10.66	1.48	43.31 42.20	245 247	8.01 8.02	12.64 12.66	0.85	75.53 71.31	239.3 241.3	9.10 9.13	14.64 14.66	1.20	61.87 64.31	209.3 209.3	10.58	16.64 16.66	0.92 1.00	26.20 25.42	267.3 269.3	11.83 11.84	18.64 18.66	1.18	25.53 26.98	350.0 350.7	13.17 13.19
10.68	1.46	41.64 41.09	247 252	8.03 8.04	12.68	0.78	63.87 53.87	242.7 244.7	9.14	14.68 14.70	1.19	66.31 68.09	210.0	10.57	16.68 16.70	1.11	26.98 24.53	276.0 278.0	11.87 11.88	18.68	1.23	29.09 32.64	358.7 362.0	13.24
10.72	1.46	41.42	260 272	8.05 8.08	12.72 12.74	0.83	42.31 33.20	244.0 246.7	9.19	14.72 14.74	1.12	68.20 67.87	207.3 210.0	10.60	16.72 16.74	1.25	25.76 32.53	280.0 288.0	11.92 11.94	18.72 18.74	1.27	36.09 38.42	362.0 358.0	13.25 13.28
10.76	1.43	39.20 37.53	289 299	8.08	12.76	0.87	26.76	247.3	9.22	14.76	1.12	66.98	208.0	10.62	16.76 16.78	1.42	41.76	296.7	11.97	18.76	1.25	42.09 48.53	358.0 366.0	13.29
10.80	1.54	37.42 40.98	303 315	8.10	12.80	0.76	24.31	244.0	9.25	14.80	1.27	65.31 66.53	213.3	10.62	16.80	1.30	49.42 57.09	289.3	11.99	18.80	1.34	49.76 54.31	364.0 368.7	13.34
10.84 10.86 10.88	1.60 1.70 1.81	40.31 39.98 41.20	337 359 372	8.12 8.12 8.12	12.84	1.30	21.87 22.76 23.09	250.7 262.7 270.0	9.31 9.31 9.31	14.84 14.86 14.88	1.32 1.27 1.29	64.76 66.53 70.42	215.3 214.7 215.3	10.62 10.63 10.64	16.84	1.23 1.23 1.14	61.42 63.53 65.98	285.3 285.3 280.7	12.01 12.03 12.03	18.84 18.86 18.88	1.37 1.41 1.46	58.09 57.98 55.76	366.7 372.0 375.3	13.38 13.40 13.41
10.90	1.83	44.76 44.53	373 368	8.14 8.15	12.88 12.90 12.92	1.69 2.02 2.03	30.31 41.76	274.0 262.7	9.31 9.32 9.33	14.88 14.90 14.92	1.25	76.42 82.76	214.0 215.3	10.66	16.88 16.90 16.92	1.12	69.87 72.53	281.3 280.7	12.05 12.06	18.90 18.92	1.52	55.87 57.20	374.0 358.0	13.41
10.94	1.55	49.76	359 354	8.16 8.16	12.94	2.14	57.42 71.31	259.3 259.3	9.35 9.37	14.94	1.30	88.42 89.53	218.0	10.67	16.94	1.17	71.09	284.7	12.10	18.94	1.31	58.64 58.76	362.7 361.3	13.43
10.98	1.41	56.42 55.64	352 357	8.19 8.19	12.98	2.25	79.20 88.98	252.7	9.38	14.98	1.46	87.87 87.20	224.7	10.69	16.98 17.00	1.19	63.87	286.7	12.12	18.98	1.47	63.20	372.7 356.7	13.47
11.02	1.38	54.98 51.64	362 376	8.19 8.20	13.02	1.32	88.98 83.42	240.0 250.0	9.41	15.02 15.04	1.62	86.87 82.20	226.7	10.71	17.02 17.04	1.17	57.20 55.53	283.3 284.0	12.15	19.02	1.19	66.31 66.98	355.3 356.7	13.45 13.50
11.06	1.55	49.98	391 413	8.21 8.23	13.06	1.14	74.31	262.0 288.0	9.44	15.06 15.08	1.55	93.31	225.3	10.72	17.06 17.08	1.14	55.09 56.31	284.7 283.3	12.17	19.06	1.13	69.42 67.98	353.3 344.0	13.50 13.49
11.10 11.12	1.72	44.76 45.76	427 429	8.25 8.27	13.10 13.12	2.67	52.42 49.53	314.7 214.0	9.46 9.48	15.10 15.12	1.38	112.20 117.53	218.7	10.73 10.72	17.10 17.12	1.17	54.87 53.42	285.3 285.3	12.21 12.23	19.10 19.12	1.11	65.53 62.42	350.0 348.0	13.49 13.50
11.14 11.16	1.81	43.31 43.42	451 461	8.25 8.29	13.14 13.16	1.77	50.20 47.87	167.3 163.3	9.51 9.51	15.14 15.16	1.27	117.20 103.98	217.3	10.73 10.73	17.14 17.16	1.17	52.87 52.20	285.3 284.0	12.21 12.25	19.14 19.16	0.99	59.31 56.09	344.0 346.7	13.52 13.52
11.18 11.20	1.64	45.98 47.53	447 439	8.29 8.30	13.18 13.20	1.30	43.53 44.53	165.3 163.3	9.53 9.55	15.18 15.20	1.19	96.76 92.76	219.3 217.3	10.73 10.73	17.18 17.20	1.18	52.42 51.64	285.3 283.3	12.25 12.25	19.18 19.20	0.91	50.98 49.42	338.7 340.7	13.54 13.55
11.22 11.24	1.53	59.98 59.98	391 388	8.33 8.34	13.22 13.24	1.08	38.76 37.53	168.0 182.7	9.57 9.61	15.22 15.24	1.15 1.15	88.64 83.76	217.3 219.3	10.76 10.76	17.22 17.24	1.15	52.76 55.09	284.7 284.7	12.28 12.30	19.22 19.24	0.88	48.98 47.53	337.3 332.0	13.56 13.57
11.26 11.28	1.48	60.64 61.64	387 387	8.34 8.34	13.26 13.28	1.88	40.98 34.76	209.3 178.0	9.64 9.65	15.26 15.28	1.11	78.87 74.76	217.3 217.3	10.76 10.76	17.26 17.28	1.13	55.09 46.64	284.0 283.3	12.30 12.33	19.26 19.28	0.73	46.53 45.20	330.0	13.60 13.62
11.30 11.32	1.48	61.64 61.64	387 384	8.34 8.34	13.30 13.32	2.06 1.62	28.31 47.31	92.0 70.0	9.65 9.66	15.30 15.32	1.11	70.09 63.53	218.7 228.7	10.76 10.80	17.30 17.32	1.01	44.53 43.98	282.0 281.3	12.34 12.34	19.30 19.32	0.82	42.76 37.42	333.3 324.7	13.63 13.63
11.34 11.36	1.48 1.49	62.64 62.53	383 381	8.34 8.34	13.34 13.36	1.38	61.64 57.76	112.7 196.7	9.68 9.68	15.34 15.36	1.17 1.19	62.09 57.98	228.7 228.7	10.81 10.82	17.34 17.36	1.01	43.53 43.53	281.3 280.0	12.33 12.33	19.34 19.36	0.65	33.42 29.98	325.3 328.7	13.66 13.68
11.38 11.40	1.52 1.52	63.09 62.53	383 383	8.36 8.34	13.38 13.40	1.23	61.64 56.31	202.7 199.3	9.68 9.68	15.38 15.40	1.23	57.20 57.98	230.0 232.7	10.84 10.84	17.38 17.40	1.02	44.31 44.64	280.0 279.3	12.34 12.34	19.38 19.40	0.73	27.64 23.98	327.3 324.7	13.70 13.72
11.42 11.44	1.58 1.59	61.87 61.09	383 381	8.34 8.34	13.42 13.44	1.08 0.97	71.53 72.53	197.3 195.3	9.71 9.73	15.42 15.44	1.22	59.42 57.09	235.3 242.7	10.85 10.89	17.42 17.44	1.03	45.31 45.31	280.0 279.3	12.35 12.37	19.42 19.44	0.70	23.64 21.98	324.0 320.7	13.74 13.76
11.46 11.48	1.64	60.64 59.87	383 383	8.36 8.34	13.46 13.48	0.85	71.76 71.53	192.7 191.3	9.74 9.74	15.46 15.48	1.41 1.52	54.31 58.76	246.7 250.7	10.90 10.91	17.46 17.48	1.00	45.53 46.09	277.3 280.0	12.35 12.37	19.46 19.48	0.60	20.31 19.09	317.3 324.7	13.79 13.82
11.50 11.52	1.73 1.85	58.42 69.98	383 289	8.34 8.34	13.50 13.52	0.76	71.76 63.64	190.0 190.0	9.75 9.78	15.50 15.52	1.65	59.64 60.53	258.0 264.7	10.94 10.96	17.50 17.52	1.03	46.31 46.42	279.3 282.0	12.37 12.38	19.50 19.52	0.72	19.42 20.09	320.7 322.0	13.82 13.87
11.54 11.56	1.65 1.55	64.76 58.98	303 307	8.37 8.37	13.54 13.56	0.73	52.42 42.98	190.0 194.7	9.79 9.82	15.54 15.56	1.81	62.87 68.76	265.3 263.3	10.98 10.98	17.54 17.56	1.01	45.76 45.87	277.3 280.0	12.37 12.39	19.54 19.56	0.71	21.31 21.76	320.0 322.0	13.88 13.91
11.58 11.60	1.47	59.98 59.87	323 333	8.38 8.39	13.58 13.60	0.94	34.76 29.20	196.0 199.3	9.83 9.86	15.58 15.60	1.69 1.53	77.09 88.76	260.0 258.7	10.99 11.03	17.58 17.60	1.06	45.98 45.87	280.0 277.3	12.38 12.38	19.58 19.60	0.73	23.31 22.53	318.0 322.0	13.92 13.95
11.62 11.64	1.26	58.98 57.09	333 339	8.41 8.42	13.62 13.64	1.00	26.76 25.64	200.0	9.87 9.88	15.62 15.64	1.52	93.31 96.64	258.7 262.7	11.04	17.62 17.64	1.06	46.31 46.76	279.3 279.3	12.39 12.39	19.62 19.64	0.83	23.64	325.3 321.3	13.97 13.97
11.66 11.68	1.29	55.64 55.09	343 347	8.41 8.42	13.66 13.68	0.97	27.87 32.98	200.0 199.3	9.89	15.66 15.68	1.61	99.31 100.53		11.07 11.09	17.66 17.68	1.09	47.98 48.98	279.3 280.7	12.39 12.42	19.66 19.68	0.79	24.64 26.42	318.0 322.0	13.98 14.01
11.70	1.20	49.98 46.31	344	8.43 8.45	13.70	0.94	34.98	197.3	9.91	15.70	1.65	92.09 85.76	272.0	11.13		1.11	49.53 54.53	281.3	12.43	19.70	0.82	27.09 27.31	322.7 322.7	14.03
11.74	1.11	43.87	343 343	8.45 8.45	13.74	0.79	39.31 40.20	192.7	9.93	15.74 15.76	1.59	83.42 85.42	272.0	11.14	17.74 17.76	1.35	55.09 56.09	288.7	12.48 12.48	19.74	0.83	29.76	322.0	14.06
11.78	1.13	38.53	343 346	8.47	13.78	0.65	40.42	189.3 189.3	9.96 9.97	15.78 15.80	1.38	88.42 90.64	263.3	11.14	17.78 17.80	1.27	56.42 62.98	278.0 288.0	12.47	19.78	0.88	29.76 31.20	326.0 328.0	14.10 14.10
11.82	1.06	42.09 43.87	237	8.48	13.82	0.65	42.87 38.98	188.7 191.3	10.00	15.82 15.84	1.19	93.42 94.31	257.3 258.0	11.16	17.82 17.84	1.38	69.76 75.98	284.0	12.51 12.51	19.82 19.84	0.95	29.31 30.98	328.7 324.0	14.14
11.86	0.96	45.53 51.42	207	8.48	13.86	0.78	35.09 33.42	192.0	10.02	15.86	1.11	92.64 85.64	258.7	11.18	17.86 17.88	1.49	79.53 86.87	289.3 288.0 287.3	12.55	19.86	0.83	29.98	324.7	14.17
11.90	0.88	54.53 56.98	200	8.51 8.53	13.90	0.73	32.31 29.09	190.0	10.04	15.90 15.92	1.15	74.64 66.09	263.3	11.21	17.90 17.92	1.46	94.20 97.87	285.3	12.55	19.90 19.92 19.94	0.85	25.09	328.0	14.23
11.94 11.96 11.98	0.92 0.94 0.99	59.42 58.42 56.87	203 203 207	8.55 8.57 8.59	13.94 13.96 13.98	0.73 0.72 0.85	28.20 26.87 27.42	193.3 195.3 200.0	10.06 10.06 10.08	15.94 15.96 15.98	1.19 1.22 1.22	60.09 52.09 47.98	269.3 270.0 270.0	11.26 11.23 11.27	17.94 17.96	1.43 1.38 1.37	102.87	292.0 289.3 287.3	12.60	19.94 19.96 19.98	1.18 1.19 1.17	22.98 22.20 25.64	346.7 346.7 346.0	14.29 14.30 14.32
12.00	1.02	53.76	207	8.61	14.00	0.85	27.42	202.7	10.08	16.00	1.22	50.09	270.0		18.00	1.46		301.3		20.00	1.17	31.31	349.3	14.33

Lo Sperimentatore: dott. Luciano Rossi

S160376_SCPTU 1.xls - pag 2 di 6

Il Derettore del Laboratorio: dott. geol. Massimo Romagnoli

Via Giulio Romano n. 54 - 46035 Ostiglia (MN)
Tel. e Fax. 0386.670315 Cell. 335.8470747 e-mail: bonialessandro@tiscali.it



elletipi s.r.l.

Sede operativa ed amm.va: Via Annibale Zucchini, 69 - 44100 FERRARA tel. 0532/56771; fax: 0532/56119 e-mail: info@elletipi.it sito: www.elletipi.it P IVA e Codice Fiscale n. 00174600387





	P IVA e Codice	e Fiscale n. 001		2 del 07/10/2014 a	rt 59 del l	DPR 38	80/2001	Circolari I	Ministeria	di 7618/S	TC				o a amezonave	SISTE	MI DI GESTICI ERTIFICATI	NE
COMMITTE CANTIERE: CPT N° DATA COMMESSA	NTE: dott Piand SCPTU 1 08/09/16 13030/14	. geol.Ales o Urbanistic	ssandro Bo to di Iniziat PRO PRE C. S	oni - Via Gi iva Privata F. FALDA (n FORO (m da ITO N°:	ulio R Loc. (n da p n p.c.) S160	omar Cavaz .c.)	no 54 zona,	- CAI Caste PU	P 460 elfrand INTA:	035 O co Em Tecno	stigli ilia (M	10) a G1-0 LAT.	CPL2II (WGS	GS 84): 11	1010) 1.565 1.121	910°	
Prof. Qc From Prof. Qc Prof.	Real Peak Grade Peak Peak	22.04 1.18 22.10 1.18 22.10 1.18 22.11 1.15 22.11 1.15 22.14 1.06 22.16 1.02 22.10 1.18 22.12 1.15 22.14 1.06 22.16 1.02 22.14 1.06 22.16 1.02 22.20 0.10 22.22 0.11 22.24 0.98 22.26 0.84 22.26 0.84 22.26 0.84 22.27 1.28 22.28 0.99 22.24 0.99 22.44 1.12 22.24 0.97 22.24 0.97 22.24 0.97 22.25 1.42 22.25 1.42 22.25 1.42 22.25 1.42 22.26 1.22 22.26 1.22 22.27 33.44	72.31 144.0 38.09 175.3 69.31 198.3	16.09 16.11 16.15 16.15 16.16 16.18 16.18 16.18 16.21 16.21 16.21 16.22 16.26 16.27 16.20 16.21 16.23 16.35 16.38 16.40	е е е е е е е е е е е е е е е е е е е	i kPa	KPa .	incl.	prof. m	qс Мра	is kPa	WPa Pa	incl. gradi	prof. m	ф. Мра	KPa	kPa .	incl.

Lo Sperimentatore: dott. Luciano Rossi

S160376_SCPTU 1.xls - pag 3 di 6

Il Derettore del Laboratorio: dott. geol. Massimo Romagnoli



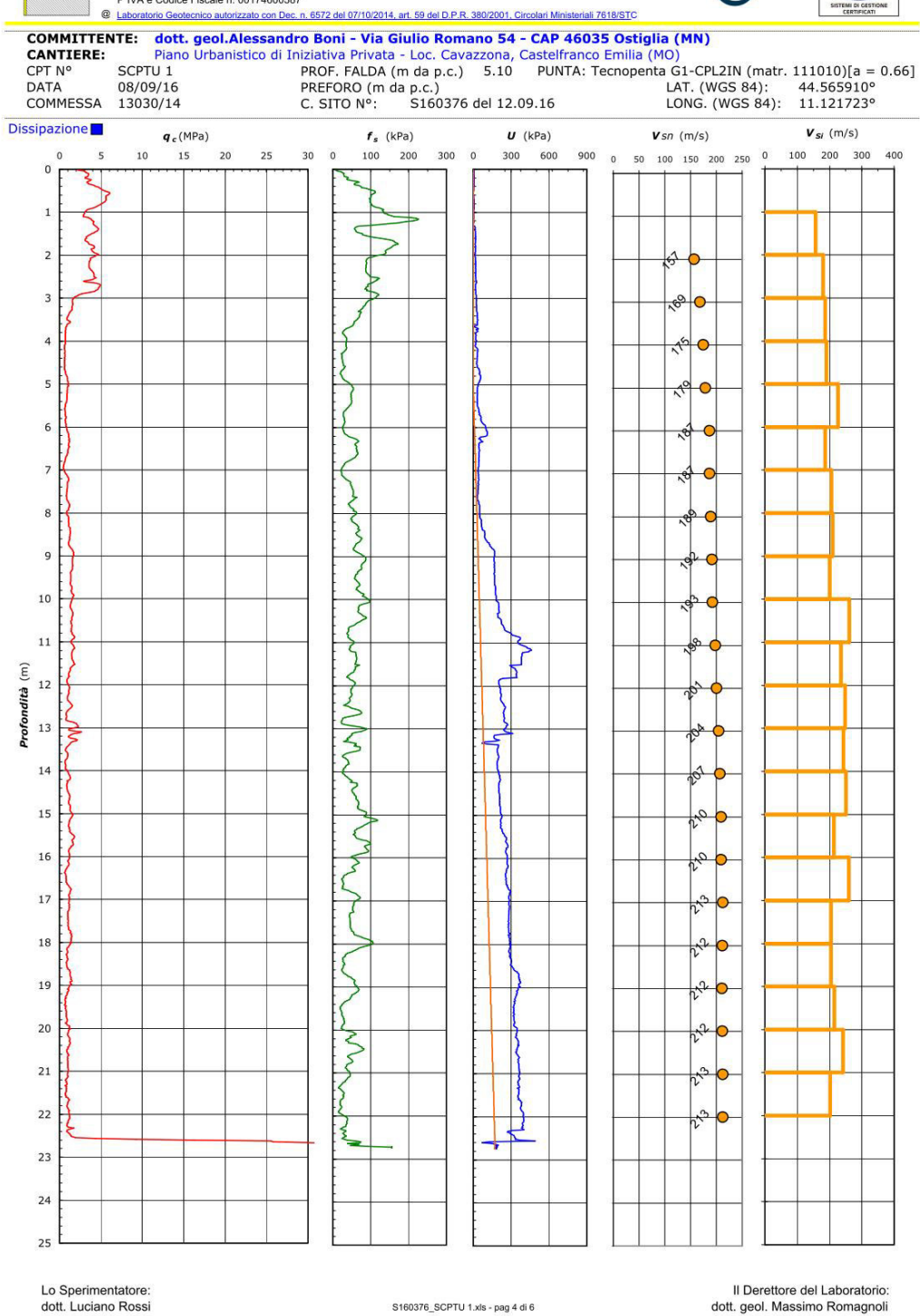


elletipi s.r.l.

Sede operativa ed amm.va: Via Annibale Zucchini, 69 - 44100 FERRARA
tel. 0532/56771; fax 0532/56119 — e-mail: info@elletipi.it sito: www.elletipi.it
P IVA e Codice Fiscale n. 0.0174600387

Labonatorio Geotecnico autorizzato con Dec. n. 6572 del 07/10/2014, art. 59 del D.P.R. 380/2001. Circolari Ministeriali 7618/STC





18

Tel. e Fax. 0386.670315 Cell. 335.8470747 e-mail: bonialessandro@tiscali.it



elletipi s.r.l.

Sede operativa ed amm.va: Via Annibale Zucchini, 69 - 44100 FERRARA

tel. 0532/6571; fax 0532/56119 e-mail: info@elletipi.it sito: www.elletipi.it

P IVA e Codice Fiscale n. 00174600387

Laboratorio Geotecnico autorizzato con Dec. n. 6572 del 07/10/2014, art. 59 del D.P.R. 380/2001. Circolari Ministeriali 7618/STC





 COMMITTENTE:
 dott. geol.Alessandro Boni - Via Giulio Romano 54 - CAP 46035 Ostiglia (MN)

 CANTIERE:
 Piano Urbanistico di Iniziativa Privata - Loc. Cavazzona, Castelfranco Emilia (MO)

 CPT N°
 SCPTU 1
 PROF. FALDA (m da p.c.)
 5.10
 PUNTA: Tecnopenta G1-CPL2IN (matr. 111010)[a = 0.66]

 DATA
 08/09/16
 PREFORO (m da p.c.)
 LAT. (WGS 84):
 44.565910°

 COMMESSA
 13030/14
 C. SITO N°:
 S160376 del 12.09.16
 LONG. (WGS 84):
 11.121723°

UBICAZIONE

Località: Piano Urbanistico di Iniziativa Privata - Loc. Cavazzona, Castelfranco Emilia (MO)



NOTE: Utilizzato 1 anello allargatore da inizio prova

Lo Sperimentatore: dott. Luciano Rossi

S160376_SCPTU 1.xls - pag 6 di 6

Il Derettore del Laboratorio: dott. geol. Massimo Romagnoli

PROVA SCPTU2 (lettura dati ogni 2 cm)



elletipi Sede tel. 09 P IVA	tipi s.r.l. operativa ed amm.va: Via Annibale Zucchini, 69 - 44100 FERRARA 532/56771; fax 0532/56119 e-mail: info@elletipi.it sito: www.elletipi.it te Codice Fiscale n. 00174600387 atorio Geotecnico autorizzato con Dec. n. 6572 del 07/10/2014, art. 59 del D.P.R. 380/2001, Circolari Ministeriali 7618/STC	la soatech s.p.a.	UNI EN ISO 9001:2008 UNI EN ISO 14001:2008 BS 0H5AS 18001:2007 SISTEM DI GESTIONE CERTIFICATI
DATA 08/	Piano Urbanistico di Iniziativa Privata - Loc. Cavazzona, Castelfranco Emilia (MO) TU 2 PROF. FALDA (m da p.c.) 3.00 PUNTA: Tecnopenta G1-C 09/16 PREFORO (m da p.c.) 0.02 LAT.	CPL2IN (matr. 111 (WGS 84): 44.	010)[a = 0.66] .568857° .119805°
Mipa		2.44 8.06 0.87 2.24 8.06 0.87 2.246 8.08 0.78 2.246 8.10 0.94 2.246 8.12 0.91 2.247 8.16 0.99 2.247 8.16 0.99 2.247 8.16 0.99 2.247 8.16 0.99 2.247 8.16 0.99 2.25 8.24 0.99 2.25 8.28 0.99 2.25 8.28 0.99 2.25 8.28 0.99 2.25 8.36 0.99 2.25 8.36 1.05 2.25 8.36 1.05 2.25 8.36 1.05 2.25 8.36 1.05 2.25 8.36 1.05 2.25 8.36 1.05 2.25 8.36 1.05 2.25 8.36 1.05 2.26 8.44 1.77 2.26 8.44 1.77 2.26 8.44 1.77 2.26 8.44 1.77 2.26 8.44 1.77 2.26 8.44 1.77 2.27 8.66 1.27 2.27 8.66	

Lo Sperimentatore: Il Derettore del Laboratorio: dott. Luciano Rossi S160377_SCPTU 2.xls - pag 1 di 5 dott. geol. Massimo Romagnoli

Via Giulio Romano n. 54 - 46035 Ostiglia (MN)
Tel. e Fax. 0386.670315 Cell. 335.8470747 e-mail: bonialessandro@tiscali.it



elletipi s.r.l.

Sede operativa ed amm.va: Via Annibale Zucchini, 69 - 44100 FERRARA

tel. 0532/56771; fax 0532/56119 e-mail: info@elletipi.it sito: www.elletipi.it

P IVA e Codice Fiscale n. 00174600387

Laboratorio Geotecnico autorizzato con Dec. n. 6572 del 07/10/2014, art. 59 del D.P.R. 380/2001, Circolari Ministeriali 7618/STC

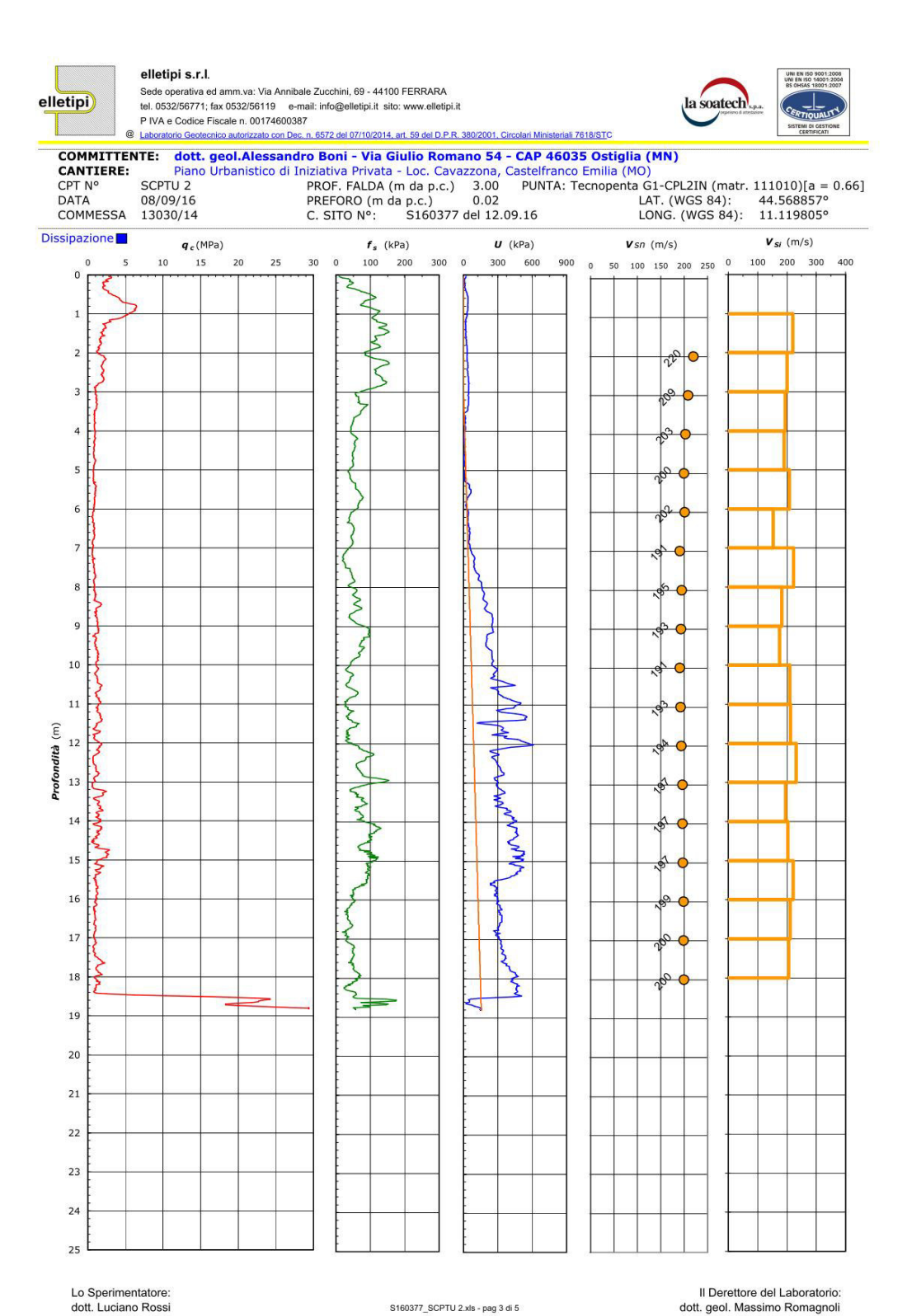




	MMI NTIE		ITE:				sandr o di In												1)					
CP ²	T Nº		SCPT 08/09 1303	U 2 9/16				PROF	. FAL	DA (m (m da	da p	.c.)	3.00 0.02	PU	INTA:			G1-C	(WGS	N (ma 84): GS 84	4	1010) 4.568 1.119	857°	0.66]
prof.	qc	fs	U	incl.	prof.	qc	fs	U	incl.	prof.	qc	fs	U	incl.	prof.	qc	fs	U	incl.	prof.	qc	fs	U	incl.
m 10.04	Mpa 1.18	kPa 34.98	kPa 275	gradi 4.53	m 12.04	Mpa 1.81	kPa 58.31	kPa 570.0	gradi 5.40	m 14.04	Mpa 1.43	kPa 101.02	kPa 406.4	gradi 6.67	m 16.04	Mpa 0.95	kPa 53.16	kPa 293.1	gradi 7.74	m 18.04	Mpa 1.05	kPa 62.89	kPa 432.7	gradi 9.18
10.06 10.08	1.26	32.53 29.87	285 295	4.53 4.56	12.06 12.08	1.79	65.42 66.31	502.0 410.4	5.40 5.36	14.06 14.08	1.20 0.70	113.36 108.56	382.0	6.77	16.06 16.08	1.06	52.64 44.88	292.2 290.4	7.67 7.66	18.06 18.08	1.05	60.34 55.03	414.2 416.0	9.11 9.07
10.10	1.42	27.53 29.87	294 291	4.53	12.10	1.60	68.64 66.76	376.2 334.0	5.47 5.36	14.10 14.12	0.86	115.33 116.24		6.65	16.10 16.12	0.96	44.05 45.63	300.2 317.1	7.68 7.83	18.10 18.12	1.35	47.47 49.83	434.9 445.6	9.05 9.17
10.14	1.25	32.20	283 278	4.56	12.14	1.39	74.64	296.0	5.43	14.14	1.69	125.42	463.8	6.77	16.14	1.18	40.16	320.9	7.83	18.14	1.61	46.52	472.7	9.21
10.18	1.11	41.42	271	4.59	12.18	1.17	80.09	231.8	5.40	14.18	1.70	125.02	461.3	6.84	16.18	0.99	40.07	318.2	7.85	18.18	1.61	41.30	488.9	9.36
10.20 10.22	1.01	46.76 48.53	264 261	4.59 4.59	12.20	1.39	89.64 93.31	237.8 256.2	5.44 5.41	14.20 14.22	1.84	120.49	461.8	6.81	16.20 16.22	0.82	37.68 32.82	324.2 334.2	7.83 7.84	18.20 18.22	1.12	28.40 29.35	465.1 465.3	9.17 9.28
10.24 10.26	0.95	50.76 48.98	265 273	4.57 4.59	12.24 12.26	1.54 1.41	105.64 110.42	296.7 311.1	5.48 5.51	14.24 14.26	1.66	117.59 110.99	463.6 451.8	6.88 6.73	16.24 16.26	0.86	31.54 31.15	334.7 302.9	7.85 7.83	18.24 18.26	1.06	24.41 23.28	459.1 464.4	9.14 9.27
10.28 10.30	1.15	45.20 41.42	262 246	4.63	12.28	1.25	109.98 106.31	305.6 269.8	5.49	14.28 14.30	1.41	112.51 104.37	469.8	6.77	16.28 16.30	0.88	33.89 25.72	312.2 310.7	7.84 7.51	18.28 18.30	1.06	27.51 30.08	459.1 466.4	9.23
10.32	1.27	42.98	237	4.71	12.32	0.94	99.87	251.3	5.48	14.32	1.42	95.65	473.1 477.8	6.95	16.32	0.98	34.11 33.08	323.8 318.7	7.86 7.89	18.32 18.34	1.02	38.53	470.2 471.6	9.33
10.34 10.36	1.28	40.42	294	4.71	12.36	0.72	86.41	260.7	5.48	14.36	1.40	96.13	468.9	6.80	16.34 16.36	0.89	28.78	317.3	7.81	18.36	0.89	56.87	457.1	9.40
10.38 10.40	1.29	38.09 38.64	327 348	4.73 4.76	12.38 12.40	0.65	86.42 86.53	268.2 277.6	5.45 5.46	14.38 14.40	1.26	103.85 97.04	459.6 437.6	6.88	16.38 16.40	0.89 0.90 0.93	33.65 34.12	337.3 336.9	7.89 7.90	18.38 18.40	0.73 0.86	57.00 59.64	445.1 456.0	9.35 9.36
10.42 10.44	1.26	37.53 34.09	362 378	4.76	12.42 12.44	0.66	84.76 82.53	279.6 286.7	5.46 5.50	14.42 14.44	1.20	99.55 102.56	439.6 431.3	6.85	16.42 16.44	0.93	34.67 33.58	336.9 336.9	7.90 7.90	18.42 18.44	1.11	59.10 56.56	489.3 507.6	9.43 9.42
10.46 10.48	1.31	30.53 29.87	398 427	4.77	12.46 12.48	0.66	72.87 66.87	286.7 293.3	5.49 5.52	14.46 14.48	0.76	103.48 96.39	407.8 397.3	6.82	16.46 16.48	0.94	33.13 34.23	335.1 333.6	7.90 7.93	18.46 18.48	6.18	52.83 49.03	438.9 281.1	9.41 8.29
10.50	1.68	28.87	451	4.77	12.50	0.72	60.53	295.8	5.50	14.50	0.54	90.70	384.7	6.94	16.50	1.00	33.89	334.0	7.93	18.50	15.10	51.37	132.0	9.41
10.52 10.54	1.87 1.84	30.76 31.87	386 303	4.80 4.80	12.52 12.54	0.74	59.53 59.20	298.2 303.1	5.52 5.55	14.52 14.54	0.79	96.44 84.06	400.7 392.7	6.77 6.75	16.52 16.54	1.06 1.06	37.56 39.44	336.0 334.7	7.93 7.97	18.52 18.54	18.75 22.21	59.54 145.65		9.57 9.66
10.56 10.58	1.72	37.76 44.64	237 254	4.83	12.56 12.58	0.86	59.42 59.98	306.7 317.8	5.54 5.57	14.56 14.58	0.70	81.83 73.13	406.7 416.9	6.72	16.56 16.58	0.89	40.88 42.02	322.0 318.0	7.98 7.98	18.56 18.58	24.23 24.23	176.20 173.75	51.1	9.69 9.84
10.60 10.62	1.64	48.87 52.20	284 295	4.87	12.60 12.62	1.05	59.53 63.53	318.9 323.1	5.57	14.60 14.62	1.15	68.71 66.42	455.1 482.4	6.79 6.94	16.60 16.62	0.83	40.92 45.23	314.9 315.3	7.95 8.00	18.60 18.62	23.20 22.72	129.49 72.69	52.0 26.9	9.80 9.76
10.64	1.63	56.09 61.20	305 307	4.88	12.64 12.66	1.03	62.42 65.76	319.3 326.7	5.61 5.61	14.64	1.45	63.70	485.1 466.7	7.10	16.64 16.66	0.79	48.08 47.15	312.2 308.7	8.03 8.03	18.64 18.66	22.70	126.27 151.76	21.1	9.77
10.66	1.49 1.27 1.10	63.31	304 304	4.91	12.68	1.05	66.53	326.2	5.62	14.66 14.68 14.70	0.94	64.89 67.28	419.3	6.92	16.68	0.97	46.61 44.46	305.3 298.0	8.06	18.68 18.70	19.92	146.61	76.4 94.7	9.82 9.85
10.70 10.72	0.97	63.76 63.53	305	4.90	12.70 12.72	1.13 1.07	69.87 69.98	333.1 334.9	5.63	14.72	2.17	70.99 67.69	461.6 455.1	6.86 6.72	16.70 16.72	1.06 1.06	40.68	302.0	8.11	18.72	18.30	79.63 95.70	124.7	9.94
10.74 10.76	1.11	61.31 58.09	320 329	4.92	12.74 12.76	1.36	73.76 73.09	352.2 352.4	5.66 5.64	14.74 14.76	2.86 2.75	97.24 82.77	530.0 528.0	7.06 6.83	16.74 16.76	0.97	34.87 33.68	298.7 306.7	8.11 8.17	18.74 18.76	19.91 23.74	96.29 50.37	140.2 157.6	9.97 10.12
10.78	1.21	56.76 48.31	343 347	5.00	12.78	1.50	78.31 76.42	352.2 331.3	5.69	14.78	2.56	103.48	529.8 521.8	7.13	16.78	1.06	27.95	262.7	8.09	18.78 18.80	26.23	54.02 56.61	151.7 148.0	10.21
10.82 10.84	1.20	42.98 38.76	368 383	4.95 4.97	12.82 12.84	1.34	79.53 85.31	306.0 289.6	5.75 5.73	14.82 14.84	2.45	90.26 105.40	532.9 506.9	6.83 7.08	16.82 16.84	0.99	18.18 29.82	279.8 321.3	8.07 8.24					
10.86	1.53	35.09 31.64	410 418	5.03	12.86 12.88	1.01	96.76 119.20	271.6 269.6	5.72 5.78	14.86 14.88	2.77	113.69 95.04	522.0	6.98 6.55	16.86 16.88	0.89	29.91 30.28	290.0 280.9	8.27					
10.90	1.50	32.98	446	5.05	12.90	0.79	130.76	273.6	5.75	14.90	2.56	122.93	497.1	7.05	16.90	0.83	26.00	288.2	8.25 8.14					
10.92 10.94	1.53	25.42 28.53	469 500	4.96 5.03	12.92 12.94	0.73	143.98 154.07	278.4 293.8	5.76 5.85	14.92 14.94	2.46 2.55	97.88 121.41		6.67 7.17	16.92 16.94	0.81	32.99 36.99	308.2 311.3	8.30 8.34					
10.96 10.98	1.71 1.63	28.09 26.76 27.42	501 492	5.01 5.07	12.96 12.98	0.93	147.42 139.07	296.4 302.0	5.79 5.81	14.96 14.98	2.02 1.70	118.12		7.28	16.96 16.98 17.00	0.78	31.77 32.41	302.7 312.0	8.31 8.35					
11.00 11.02	1.41	27.42 28.53	467 456	5.00 5.04	13.00 13.02	0.84	122.40 106.53	296.4 289.1	5.84 5.83	15.00 15.02	1.26	104.39 106.66	484.9 434.7	6.90 7.17	17.00 17.02	0.83	30.89 29.30	314.0 323.8	8.35 8.35					
11.04 11.06	1.38	26.20 31.31	449 443	4.97 5.00	13.04 13.06	0.56	93.09 81.31	286.9 291.1	5.89	15.04 15.06	1.21	100.00 87.65	410.4 397.3	6.91	17.04 17.06	0.98	28.13 31.73	328.2 327.8	8.35 8.43					
11.08	1.23	35.53	437	5.08	13.08	0.60	71.87	294.2	5.88	15.08	1.09	92.16	440.7 449.6	6.92	17.08	0.97	34.07	325.8 322.7	8.43 8.44					
11.10 11.12	1.10 1.34	33.53 34.31	369 338	4.97	13.10 13.12	0.62	65.98 55.31	303.6	5.92	15.10 15.12	0.93 1.30	90.25 94.50	493.8	6.97 7.04	17.10 17.12	0.95 1.13	37.12 42.39	331.1	8.47					
11.14 11.16	1.29	40.87 51.20	291 314	4.99 5.05	13.14 13.16	0.58	49.53 43.96	312.7 328.4	5.97 5.97	15.14 15.16	1.78 2.11	91.53 100.62	511.6 527.8	7.03 7.11	17.14 17.16	1.08	44.52 50.79	332.7 332.7	8.45 8.43					
11.18 11.20	1.19	44.09 42.98	333 393	4.97 5.00	13.18 13.20	0.80	40.42	334.0 344.9	5.94 6.11	15.18 15.20	1.77	96.30 92.14	496.0 497.3	7.08	17.18 17.20	0.84	52.24 53.28	334.9 327.1	8.51 8.51					
11.22 11.24	1.41	39.98	456 502	5.08	13.22	2.05	42.07 53.36	356.4 361.3	5.94	15.22	1.63	92.51	492.4	7.30	17.22	0.70	53.54 48.57	327.8	8.53 8.41					
11.26 11.28	1.65	38.98 33.42	528 545	5.08 5.04	13.24 13.26 13.28	2.22	59.55 55.61	361.1 334.0	6.33	15.26 15.28	0.99	91.15 88.19	472.7 469.3	7.16 7.25	17.26 17.28	0.76	49.02 49.01	341.8 350.0	8.54 8.56					
11.30	1.63	29.76 31.98	555	5.14	13.30	2.01	64.85	321.6	6.28	15.30 15.32	1.25	85.24	457.3 471.6	7.33	17.30	0.81	48.32	349.8	8.56					
11.32 11.34	1.74	35.87	551 536	5.11 5.09	13.32 13.34	2.07	59.90 64.11	268.7 286.0	6.20	15.34	1.72 1.57	95.21 93.32	453.1	7.21 7.06	17.32 17.34	0.77	48.09 49.34	341.6 334.7	8.58 8.60					
11.36 11.38	1.67 1.76	34.20 36.53	538 546	5.08 5.06	13.36 13.38	1.83	59.33 77.75	303.3 323.6	6.07	15.36 15.38	1.39	98.82 91.04	445.6 415.3	7.37 7.23	17.36 17.38	0.80	48.85 51.47	337.6 353.1	8.44 8.58					
11.40 11.42	1.89	44.53 47.20	459 299	5.13 5.09	13.40 13.42	1.03 0.75	79.77 73.56	300.7 267.1	6.39	15.40 15.42	1.03	91.48 90.92	410.9 400.9	7.21	17.40 17.42	0.99	52.67 52.94	363.6 369.1	8.66 8.69					
11.44 11.46	1.87	47.76 56.31	146 117	5.07 5.18	13.44 13.46	0.78	75.58 74.74	286.9 301.1	6.25	15.44 15.46	1.02 0.98	93.57 91.81	377.1 333.6	7.23 7.17	17.44 17.46	0.86	50.40 49.97	367.1 365.1	8.70 8.67					
11.48 11.50	1.47	66.87 62.64	176 245	5.18 5.17	13.48 13.50	1.30	81.59 83.85	333.3 343.1	6.36	15.48 15.50	0.75	88.05 89.92	286.0 270.2	7.18	17.48 17.50	1.05	48.61 45.68	372.4 360.7	8.75 8.71					
11.52 11.54	1.19	60.42 59.87	296 324	5.12 5.18	13.52 13.54	1.52	86.11 91.15	346.4 330.7	6.39	15.52 15.54	0.92	88.17 90.12	265.3 274.9	7.30 7.28	17.52 17.54	1.37	47.54 43.36	360.2 351.8	8.78 8.80					
11.56	1.07	59.42	333	5.14	13.56	1.24	84.62	320.7	6.44	15.56	1.03	88.83	233.1	7.36	17.56	1.68	44.00	329.1	8.77					
11.58 11.60	1.08	52.87 42.20	345 345	5.14 5.12	13.58 13.60	1.36 1.37	76.62 73.74	276.4 296.0	6.32	15.58 15.60	1.16	85.92 73.81	242.4 232.9	7.33 7.16	17.58 17.60	1.70	45.51 36.48	340.7 350.7	8.80 8.64					
11.62 11.64	0.92	38.76	343 329	5.15 5.13	13.62 13.64	1.71	56.42 64.34	325.1 378.0	6.30	15.62 15.64	1.13	82.20 68.61	273.3 270.2	7.44	17.62 17.64	1.91	48.21 50.07	378.9 373.8	8.83 8.85					
11.66 11.68	0.85	32.20 31.20	336 354	5.13	13.66 13.68	1.68	62.70 55.53	380.9 377.1	6.57	15.66 15.68	1.15	68.02	282.4	7.45 7.41	17.66 17.68	1.96	46.47 50.14	374.0 394.9	8.86					
11.70 11.72	1.65	35.31 31.20	392 343	5.20	13.70	1.52 1.77 1.97	54.65 57.97	377.1 402.0 413.8	6.49	15.70 15.72	1.28	53.82 55.76	287.8 291.1	7.41 7.42 7.38	17.70 17.72	1.32	51.18 52.07	401.8	8.90 8.94					
11.74	1.52	35.64	292	5.25	13.74	1.99	67.71	410.7	6.45	15.74	1.08	48.47	277.8	7.36	17.74	1.24	52.03	399.8	8.86					
11.76 11.78	1.24 0.72	30.64 39.87	251 320	5.14 5.27	13.76 13.78	1.48	68.39 71.38	376.9 356.0	6.55	15.76 15.78	1.16	49.31 49.03	287.3 288.7	7.47 7.48	17.76 17.78	1.10	49.41 51.21	404.9 404.7	8.92 8.95					
11.80 11.82	0.89	36.87 29.98	378 357	5.19 5.19	13.80 13.82	1.11	71.94 75.11	361.6 393.8	6.54	15.80 15.82	1.13	49.96 52.08	287.8 292.0	7.54 7.57	17.80 17.82	1.11	54.24 55.12	409.8 421.1	8.93 8.85					
11.84 11.86	0.91	30.09 34.98	360 389	5.21 5.24	13.84 13.86	1.50	78.30 79.14	414.7 426.7	6.58	15.84 15.86	1.26	50.59 51.74	270.7 280.7	7.59 7.59	17.84 17.86	1.28	60.92 63.06	442.0 454.0	8.97 9.01					
11.88	0.81	39.98 31.76	471 495	5.31 5.25	13.88	1.42	78.99 70.91	442.2 424.7	6.66	15.88 15.90	1.25	41.98 48.96	271.1 298.0	7.47	17.88 17.90	1.39	67.13 69.16	453.6 466.0	9.07					
11.92	0.89	27.87 30.76	501	5.27	13.92	1.33	73.39	435.8	6.68	15.90 15.92 15.94	1.08	45.27 47.64	294.2	7.57 7.63	17.92 17.94	1.70	67.21 72.27	462.2	9.00					
11.94 11.96	1.27	35.53	521 541	5.29	13.94 13.96	1.72	73.82	464.4	6.69	15.96	1.10	48.46	291.8	7.62	17.96	1.45	65.21	450.2	8.96					
11.98 12.00	1.47	46.42 46.42	569 587	5.40 5.30	13.98 14.00	1.68	82.60 83.97	461.1 430.7	6.72 6.51	15.98 16.00	1.19	50.01 51.35	299.3 296.4	7.65 7.53	17.98 18.00	1.04	69.45 60.64	433.8 419.6	9.17 9.03					
12.02	1.79	50.31	610	5.33	14.02	1.72	92.94	434.4	6.71	16.02	1.15	56.31	307.3	7.68	18.02	0.87	55.75	426.2	9.04					

Lo Sperimentatore: dott. Luciano Rossi

Il Derettore del Laboratorio: dott. geol. Massimo Romagnoli



Tel. e Fax. 0386.670315 Cell. 335.8470747 e-mail: bonialessandro@tiscali.it



elletipi s.r.l.

Sede operativa ed amm.va: Via Annibale Zucchini, 69 - 44100 FERRARA

tel. 0532/6571; fax 0532/56119 e-mail: info@elletipi.it sito: www.elletipi.it

P IVA e Codice Fiscale n. 00174600387

Laboratorio Geotecnico autorizzato con Dec. n. 6572 del 07/10/2014, art. 59 del D.P.R. 380/2001. Circolari Ministeriali 7618/STC





 COMMITTENTE:
 dott. geol.Alessandro Boni - Via Giulio Romano 54 - CAP 46035 Ostiglia (MN)

 CANTIERE:
 Piano Urbanistico di Iniziativa Privata - Loc. Cavazzona, Castelfranco Emilia (MO)

 CPT N°
 SCPTU 2
 PROF. FALDA (m da p.c.)
 3.00
 PUNTA: Tecnopenta G1-CPLZIN (matr. 111010)[a = 0.66]

 DATA
 08/09/16
 PREFORO (m da p.c.)
 0.02
 LAT. (WGS 84):
 44.568857°

 COMMESSA
 13030/14
 C. SITO N°:
 S160377 del 12.09.16
 LONG. (WGS 84):
 11.119805°

UBICAZIONE

Località: Piano Urbanistico di Iniziativa Privata - Loc. Cavazzona, Castelfranco Emilia (MO)



NOTE: Utilizzato 1 anello allargatore da inizio prova

Lo Sperimentatore: dott. Luciano Rossi

S160377_SCPTU 2.xls - pag 5 di 5

Il Derettore del Laboratorio: dott. geol. Massimo Romagnoli

PROVA CPTU3(lettura dati ogni 2 cm)





elletipi s.r.l. ellettipi S.r.I.

Sede operativa ed amm.va: Via Annibale Zucchini, 69 - 44100 FERRARA

tol. 0532/65771; fax 0532/56119 e-mail: info@elletipi.it sito: www.elletipi.it

P IVA e Codice Fiscale n. 00174600387

Laboratorio Geotecnico autorizzato con Dec. n. 6572 del 07/10/2014, art. 59 del D.P.R. 380/2001, Circolari Ministeriali 7618/STC



CA	NTI	ERE:		Piano	Urba	nistic	sandr o di Ini	iziativ	a Priv	/ata -	Loc.	Cavaz		Caste	Ifranc	o Em	ilia (M	0)		1 (L. 12	1114)[-	0.661
m Mpa kPa kPa gradi m Mpa kPa kPa kPa kPa kPa kPa kPa kPa kPa kP																							
prof.	qc			incl.	prof.	qc			incl.	prof.	qc			incl.		qc			incl.	prof.	qc	fs U	incl.
	2.17	5.15	30.67		m 2.02	2.81	158.38				Mpa 1.04	65.28	64.00		6.02	Mpa 0.84	45.20	34.67			1.21	kPa kPa 38.26 104.0	
0.04	2.13	7.70	20.00	1.00	2.04	2.88	158.60 155.78	2.67	0.88	4.04	1.03	65.62	54.67 56.67	0.40	6.04	0.86	41.54	34.67	1.86	8.04	1.16	38.82 104.0	
0.08	1.80	13.15	22.00	3.02	2.08	3.66	149.34	2.67	0.85	4.08	1.02	66.18	68.00	0.44	6.08	0.86	39.20	38.00	1.89	8.08	1.55	48.94 111.3	3 3.10
0.10	1.90	13.48	22.67	2.70	2.10	3.91	148.90 151.79	2.67	0.85	4.10	1.00	68.29	51.33	0.47	6.10	0.92	38.87	38.67	1.90	8.10	1.41	49.50 111.3	
0.14	1.66	15.04	18.00	1.97	2.14	4.60	159.80	2.00	0.80	4.14	0.98	58.63	75.33	0.51	6.14	1.02	40.20	40.00	1.93	8.14	1.09	44.39 110.0	
0.16	1.58	16.93 18.04	18.67 20.00	1.85 2.01	2.16 2.18	4.78 4.74	163.03 170.59	3.33	0.79	4.16 4.18	1.07	64.47 62.25	81.33 73.33	0.58	6.16	1.11	40.87 40.21	40.00 40.67	1.96	8.16 8.18	1.01	44.39 114.0 45.39 117.3	
0.20	1.60	20.93 19.38	16.00 15.33	2.04	2.20 2.22	4.66 4.59	180.04 191.49	6.00 4.00	0.74	4.20	0.98	59.58 56.70	66.00 93.33	0.63	6.20	1.26	41.87	40.00 40.67	1.98	8.20 8.22	0.95	43.95 117.3 42.95 118.6	
0.24	1.55	20.27	15.33	2.09	2.24	4.37	190.27	6.67	0.74	4.24	0.88	54.14	104.00	0.65	6.24	1.23	46.99	40.00	2.02	8.24	0.93	42.72 118.0	0 3.19
0.26	1.87	19.16 20.94	15.33 14.00	2.02	2.26	4.19 3.96	191.94 199.05	6.67 7.33	0.72	4.26	0.89	51.26 46.37	130.67 132.00	0.67	6.26	1.19	49.21 53.99	40.67 40.67	2.04	8.26 8.28	0.93	36.39 118.0 31.50 117.3	
0.30	1.47	22.83 22.94	14.00 14.00	2.11	2.30 2.32	3.64	205.83 203.17	8.00	0.67	4.30	0.93	41.93 38.26	132.67 159.33	0.69	6.30	1.13	55.99 57.55	40.67 42.67	2.05	8.30 8.32	0.90	30.95 117.3 32.17 118.6	3 3.24
0.34	1.73	25.83	12.67	2.15	2.34	2.73	194.39	8.00	0.65	4.34	0.96	35.60	138.00	0.73	6.34	1.09	58.55	44.67	2.09	8.34	0.90	33.17 118.6	7 3.28
0.36	2.08	24.17 27.84	12.67	2.21	2.36	2.40		10.67	0.63	4.36	0.77	33.27	148.00 134.67	0.74	6.36	1.05	59.88 57.55	42.67 42.67	2.10	8.36 8.38	0.89	34.17 118.6 34.39 118.6	
0.40	2.32	32.62 35.73	18.00 16.00	2.03	2.40	1.93	134.62	12.67	0.60	4.40	0.80	33.94	137.33 146.67	0.76	6.40	1.02	55.00 53.88	42.67 42.67	2.14	8.40	0.82	35.83 118.0 36.39 118.0	0 3.33
0.44	2.47	44.51	15.33	2.05	2.44	1.82	103.73	10.67	0.53	4.44	0.90	34.39	150.67	0.80	6.44	0.97	54.22	42.67	2.17	8.44	0.74	37.17 118.6	7 3.35
0.46	2.58	51.07 54.85	15.33 15.33	2.01	2.46	1.65		10.67	0.52	4.46	0.91	34.39	140.00 118.67	0.79	6.46	0.95	55.22	42.00 44.00	2.18	8.46	0.71	37.95 117.3 38.28 118.0	
0.50	3.01	60.63	15.33	1.92	2.50	1.62	88.96	11.33	0.49	4.50	0.87	36.39	114.00	0.82	6.50	0.90	53.67	44.00	2.20	8.50	0.67	38.39 118.0	
0.52 0.54	2.96 3.29	70.19 77.19	15.33 16.00	1.83	2.52 2.54	1.54	84.52 80.75	12.67 10.67	0.46	4.52	0.90	35.73 32.85	110.67 115.33	0.85	6.52 6.54	0.90	51.22 49.33	44.67 45.33	2.20	8.52 8.54	0.67	37.39 119.3 35.28 118.0	
0.56 0.58	3.75 4.01	95.54 106.55	11.33 10.67	1.68	2.56 2.58	1.72		12.67 10.67	0.42	4.56	0.88	34.18	112.67 102.67	0.87	6.56 6.58	0.93	45.78 43.22	45.33 45.33	2.22	8.56 8.58	0.70	32.72 118.0 30.50 119.3	
0.60	4.00	121.21	9.33	1.72	2.60	2.00	99.42	11.33	0.40	4.60	0.88	34.52	105.33	0.89	6.60	0.96	42.00	46.00	2.23	8.60	0.76	28.17 118.6	7 3.48
0.62	3.74	140.22 156.11	8.67 8.00	1.64	2.62 2.64	2.10	100.43	11.33	0.36	4.62	0.92 1.15	34.19 34.42	108.67 108.67	0.90	6.62	1.02	41.55 42.00	45.33 46.00	2.24	8.62 8.64	0.87	25.72 120.0 24.83 122.0	0 3.51
0.66	4.07	165.33 177.78	8.00 9.33	1.67	2.66	2.49		10.67 10.67	0.34	4.66	1.00	33.53	114.00 111.33	0.93	6.66	1.03	43.45 46.78	46.00	2.25	8.66 8.68	0.89	24.50 122.0 25.39 122.6	
0.70	3.90	184.22 188.67	8.00	1.62	2.70	3.02	111.55	10.67	0.29	4.70	1.23	35.75 35.42	99.33	0.94	6.70	1.04	51.11 53.56	46.00 47.33	2.29	8.70 8.72	0.94	26.83 123.3	3 3.55
0.74	3.94	186.22	7.33	1.54	2.74	3.34	128.22	10.67	0.27	4.74	1.33	35.32	81.33	0.96	6.74	1.15	56.90	48.00	2.32	8.74	0.99	32.39 123.3	3 3.58
0.76	3.92 4.04	181.00	7.33	1.50	2.76 2.78	3.36	134.89 144.01	12.67	0.27	4.76	1.16	36.65 37.55	75.33 73.33	1.01	6.76	1.20	59.12 61.12	47.33 48.00	2.34	8.76 8.78	1.00	34.06 123.3 36.62 123.3	
0.80 0.82	4.10	162.99 153.32	7.33 8.00	1.55	2.80 2.82	3.36 3.31		12.67 13.33	0.23	4.80	1.16 1.18	39.55 43.10	67.33 66.67	1.03	6.80	1.29	62.23 64.67	48.67 48.67	2.35	8.80 8.82	1.04	39.73 123.3 42.39 122.6	
0.84	4.08	131.88	9.33	1.49	2.84	3.34	163.02	13.33	0.21	4.84	1.17	44.99	66.67	1.06	6.84	1.27	67.12	48.67	2.38	8.84	1.09	44.84 123.3	3 3.65
0.86 0.88	3.97 4.01	118.87 110.65	8.00 7.33	1.50 1.46	2.86	3.26	168.80 172.15	14.67	0.21	4.86	1.13	46.44	66.67 66.00	1.07	6.86 6.88	1.22	69.01 70.56	48.67 48.00	2.39	8.86 8.88	1.10	49.28 125.3 52.06 125.3	
0.90	4.01	102.20 93.76	7.33 6.67	1.45 1.43	2.90 2.92	2.94 2.86	173.48	14.00 16.67	0.18	4.90	1.01	48.00 47.01	62.67 59.33	1.08	6.90	1.15	73.23 75.12	48.00 48.67	2.40	8.90 8.92	1.21	53.62 126.0 54.62 126.6	0 3.69
0.94	4.06	86.75	7.33	1.44	2.94	2.80	169.04	15.33	0.16	4.94	1.01	45.45	57.33	1.09	6.94	1.03	74.68	47.33	2.43	8.94	1.28	56.17 126.6	7 3.71
0.96	4.09	81.19 76.86	8.67 12.67	1.44	2.96 2.98	2.67 2.58	171.05	17.33 17.33	0.16	4.96	1.03	44.90 45.01	56.00 53.33	1.12	6.96	0.99	74.12 61.35	48.67 46.00	2.48	8.96 8.98	1.28	57.28 126.6 59.73 126.6	7 3.74
1.00	4.56	72.19	11.33	1.32	3.00	2.47	146.68	1.33	0.13	5.00	0.96	45.90 47.12	52.00	1.14	7.00	0.85	60.01 58.79	47.33 46.00	2.47	9.00	1.23	61.95 126.6	
1.04	4.35	75.96	10.67	1.33	3.04	2.36	144.91		0.13	5.04	0.94	47.02	50.00	1.17	7.04	0.82	57.35	48.00	2.49	9.04	1.25	69.84 126.0	0 3.77
1.06 1.08	4.23	81.18 80.63	10.67 9.33	1.30	3.06 3.08	2.35	146.69 146.03	0.67	0.10	5.06 5.08	0.94	46.91 48.60	50.00 48.67	1.19	7.06 7.08	0.80	55.24 53.13	44.67 44.67	2.49	9.06 9.08	1.25	75.29 126.0 77.29 126.6	
1.10	4.00	92.18	8.67	1.28	3.10	2.30	146.03	2.00	0.10	5.10	1.01	49.49 50.49	48.67 48.67	1.27	7.10	0.80	51.24 49.57	46.00	2.54	9.10	1.33	78.40 126.6 79.40 129.3	
1.14	4.14	119.98	6.67	1.26	3.14	2.22	142.14 140.03	2.00	0.11	5.14	1.09	51.93	47.33	1.31	7.14	0.77	48.02 47.79	45.33 47.33	2.52	9.14	1.29	75.18 128.6	7 3.78
1.16	4.26	137.21 158.88	7.33 6.67	1.25	3.16 3.18	2.11	139.70	2.67 3.33	0.12	5.16 5.18	1.13	52.71 51.16	45.33 42.67	1.34	7.16 7.18	0.79	45.79	44.00	2.52	9.16 9.18	1.25	73.07 128.6 74.07 128.6	7 3.78
1.20	4.73 5.03	185.21	7.33	1.24	3.20	2.04 1.94	137.26 136.82	4.00	0.10	5.20	1.26	49.16	42.00	1.37	7.20	0.79	43.24	45.33 46.67	2.52	9.20	1.25	74.84 129.3 75.40 128.6	
1.24	5.29	233.00	9.33	1.22	3.24 3.26	1.88	136.93	0.67	0.11	5.24	1.28	50.60 50.83	40.00	1.40	7.24	0.85	43.24	46.00	2.56	9.24	1.24	76.73 127.3 78.40 128.6	
1.28	5.45	275.55	9.33	1.21	3.28	1.79	134.16	2.00	0.13	5.28	1.19	52.38	38.00	1.42	7.28	0.81	37.24	46.00	2.58	9.28	1.21	80.07 127.3	3 3.80
1.30 1.32	5.55 5.61	278.78 282.11	10.67	1.24	3.30 3.32	1.77	133.38 139.94	2.00 6.67	0.10	5.30	1.19	54.27 57.39	37.33 36.67	1.42	7.30	0.85	35.24 33.69	46.00 48.00	2.59	9.30 9.32	1.19	81.07 127.3 73.06 126.6	
1.34 1.36	5.66 5.60	276.33 268.00	11.33 9.33	1.20	3.34	1.84		27.33 38.00	0.09	5.34 5.36	1.19	59.16 61.83	36.67 34.67	1.45	7.34 7.36	0.89	33.58	48.67 48.00	2.59	9.34	1.22	70.84 127.3 71.39 127.3	3 3.80 3 3.79
1.38	5.56	252.77	9.33 9.33	1.18	3.38	1.77	125.06	38.67	0.11	5.38	1.11	62.05	34.00	1.46	7.38	0.92	35.25	49.33	2.64	9.38	1.10	71.84 126.6	7 3.80
1.40	5.67 5.68	224.77	11.33	1.16	3.40 3.42	1.70	117.06	62.00 50.00	0.11	5.40 5.42	1.09	61.61 61.61	34.00 33.33	1.47	7.40	0.89	37.03 42.36	48.67 50.00	2.67	9.40 9.42	1.10	72.73 127.3 97.95 128.6	7 3.80
1.44	5.85	215.87	11.33	1.16	3.44	1.68		56.67 76.67	0.12	5.44	1.05	61.17 59.61	34.00	1.49	7.44	0.88	46.03	50.00	2.71	9.44	1.33	97.17 128.6 96.06 129.3	
1.48 1.50	6.27	222.42		1.15	3.48 3.50	1.59	109.29	62.00	0.13	5.48	1.01	57.17 53.84	34.00 34.00	1.51	7.48	0.96	47.14 47.14	53.33 54.67	2.74	9.48	1.44	94.39 130.6 91.84 130.6	7 3.83
1.52	6.58	237.97	12.00	1.15	3.52	1.45	100.52	56.00	0.12	5.52	1.02	51.95	34.00	1.53	7.52	1.08	45.14	56.00	2.78	9.52	1.49	92.39 130.6	7 3.85
1.54	6.42	249.42 250.31	12.67	1.13	3.54 3.56	1.47		66.67 70.00	0.12	5.54 5.56	1.02	51.95 51.39	34.00	1.54	7.54 7.56	1.11	44.59 44.81	57.33 57.33	2.81	9.54 9.56	1.55	88.72 132.6 88.17 130.6	
1.58 1.60	6.56	252.64 254.41	12.67	1.14	3.58 3.60	1.47		58.67 45.33	0.14	5.58 5.60	1.02	52.06 52.06	34.00	1.55	7.58 7.60	1.15	44.14 43.59	58.67 59.33	2.84	9.58 9.60	1.55	90.61 130.6 92.72 132.6	
1.62	6.40	250.18	11.33	1.10	3.62	1.40	85.53	51.33	0.13	5.62	1.08	52.06	34.67	1.58	7.62	1.12	43.81	58.67	2.87	9.62	1.62	95.16 132.6	7 3.89
1.64	6.41	245.07 240.29	12.67 12.00	1.09	3.64	1.44	80.43	62.00 74.00	0.15	5.64 5.66	1.17	52.28 52.28	34.67 34.00	1.59	7.64	1.10	44.70 45.37	58.67 58.67	2.87	9.64 9.66	1.64	97.61 132.6 100.05 133.3	3 3.92
1.68	5.86	231.29 246.17	11.33 9.33	1.08	3.68 3.70	1.32		86.67 104.00	0.15	5.68 5.70	1.15	54.28 54.40	34.00 34.67	1.61	7.68	1.04	46.48 46.59	59.33 59.33	2.91	9.68 9.70	1.72	99.71 134.0	0 3.93
1.72	4.59	242.28	8.00	1.06	3.72	1.28	75.10	115.33 126.00	0.17	5.72	1.17	55.06	32.67	1.64	7.72	1.05	46.26	58.67 59.33	2.94	9.72 9.74	1.64	103.49 134.0	0 3.93
1.74 1.76	3.58	242.83	8.00 7.33	0.99	3.76	1.30	72.67	117.33	0.20	5.76	1.09	59.62 62.51	34.00	1.65	7.76	1.12 1.15	42.04	60.00	2.98	9.76	1.66	105.93 134.0	0 3.94
1.78	3.40	233.94 232.16	6.67 5.33	0.99	3.78 3.80	1.27		112.67 111.33	0.21	5.78 5.80	1.07	66.51 68.29	34.00 34.67	1.67	7.78 7.80	1.12	38.59 39.26	59.33 58.67	2.97	9.78 9.80	1.66	106.71 134.0 107.15 134.6	
1.82	3.12	230.60	5.33	0.97	3.82	1.19	67.57	89.33 77.33	0.22	5.82 5.84	1.13	67.84	35.33 34.67	1.69	7.82	0.80	39.26 37.37	58.67 58.67	3.00	9.82 9.84	1.69	108.26 133.3 108.93 134.6	3 3.98
1.84 1.86	2.99	222.26 215.48	4.00	0.96	3.86	1.17	61.24	80.67	0.24	5.86	1.04	61.74	34.67	1.70	7.84 7.86	0.73 0.78	32.92	62.00	3.01	9.86	1.68	110.70 136.0	0 3.98
1.88	3.17	205.82 190.59	5.33	0.93	3.88	1.16		76.67 69.33	0.26	5.88 5.90	0.92	60.07 56.63	34.00	1.71	7.88	0.89	30.70	68.00 74.67	2.99	9.88	1.70	113.70 136.0 117.14 136.0	
1.92	3.07	172.59 165.48	3.33	0.91	3.92 3.94	1.14	60.92	84.67 78.67	0.29	5.92 5.94	0.80	55.63 54.74	33.33 34.00	1.72	7.92 7.94	1.05	29.26 25.15	81.33 84.67	3.05	9.92	1.68	122.03 140.0 123.58 141.3	0 4.00
1.96	2.80	158.37	0.67	0.88	3.96	1.12	61.04	67.33	0.34	5.96	0.74	53.74	34.67	1.75	7.96	1.40	23.04	94.00	3.06	9.96	1.70	122.69 143.3	3 4.01
1.98 2.00	2.60	157.82 153.82	0.67	0.87	3.98 4.00	1.11		56.00 50.00	0.35	5.98 6.00	0.74	53.07 50.19	34.67 35.33	1.75	7.98 8.00	1.46	21.71 26.04	103.33 104.00	3.08	9.98 10.00	1.69 1.64	118.36 144.0 115.80 144.6	0 4.03 7 4.03

Lo Sperimentatore:

S160378_CPTU 3.xls - pag 1 di 5

Il Direttore Settore Prove in Sito: dott. Massimo Romagnoli

Tel. e Fax. 0386.670315 Cell. 335.8470747 e-mail: bonialessandro@tiscali.it



elletipi s.r.l.

Sede operativa ed amm.va: Via Annibale Zucchini, 69 - 44100 FERRARA
tel. 0532/56771; fax 0532/56119 e-mail: info@elletipi.it sito: www.elletipi.it P IVA e Codice Fiscale n. 00174600387





COMMITTENTE: dott. geol. Alessandro Boni - Via Giulio Romano 54 - CAP 46035 Ostiglia (MN)

CANTIERE: Piano Urbanistico di Iniziativa Privata - Loc. Cavazzona, Castelfranco Emilia (MO)

PROVA N°: CPTU 3 PROF. FALDA (m da p.c.): 4.50 PUNTA: Tecnopenta G1-CPLZIN (matr. 121114)[a = 0.66]

DATA: 08/09/16 PREFORO (m da p.c.): LAT. (WGS 84): 44.569084° LONG. (WGS 84): 11.124734°

COMMESSA: 313030/14 C. SITO N°: S160378 del 12.09.16 OPERATORE: L. Zanirato prof. m 12.02 12.04 12.05 12.0 Mpa 1.586 1. m 14.02 14.04 14.06 14.10 14.02 14.10 14.02 14.10 14.02 14.10 14.1 Mpai 1.225 1.154 1.126 1.256 1.256 1.256 1.257 1.170 1.257 1 gradio (1.5) m 16.02 16.04 16.10 16.11 16.02 16.14 16.15 16.14 16.15 16.14 16.15 16.14 16.15 16.14 16.15 16.14 16.15 16.14 16.15 16.1 gradic 6.909 (1.00) (1. m 18.02 18.04 18.04 18.05 18.0 Mpa 1.491 1.492 1.494 1.495 1. kPa 77.56 73.52 77.56 63.92 63.92 63.92 63.92 63.92 63.92 63.92 63.92 63.92 63.92 63.92 63.92 63.92 63.92 69.40 77.22 77 kPa 278.00 279.33 279.33 279.33 279.33 279.33 279.33 279.33 279.33 279.33 279.33 279.33 279.33 279.33 279.33 279.33 279.33 274.66 272.66 272.66 272.66 272.67 272.6 \$\frac{k}{k}\frac{k}\frac{k}{k}\frac{k}{k}\frac{k}{k}\frac{k}{k}\frac{k}{k}\frac{k}{k}\frac{k}{k}\frac{k}{k}\frac{k}{k}\frac{k}{k}\frac{k}{k}\frac{k}{k}\frac{k}{k}\frac{k}{k}\frac{k}{k}\frac{k}{k}\frac{k}{k}\frac{k}\frac{k}{k}\frac{k}{k}\frac{k}{k}\frac{k}{k}\frac{k}{k}\frac Mpag KP8a 224.67 (224.60 (225.63 (2 189.33 199.00 191.33 191.33 191.35 19 31,92 32,43 31,21 30,43 31,21 30,43 30,43 30,43 30,43 30,43 30,43 30,43 30,43 31,52 30,43 31,52 31,166 49,44

Lo Sperimentatore:

\$160378_CPTU 3.xls - pag 2 di 5

Il Direttore Settore Prove in Sito

Lo Sperimentatore:

Tel. e Fax. 0386.670315 Cell. 335.8470747 e-mail: bonialessandro@tiscali.it

elletipi s.r.l. Sede operativa ed amm.va: Via Annibale Zucchini, 69 - 44100 FERRARA tel. 0532/56771; fax 0532/56119 e-mail: info@elletipi.it sito: www.elletipi.it elletipi P IVA e Codice Fiscale n. 00174600387 orio Geotecnico autorizzato con Dec. n. 6572 del 07/10/2014, art. 59 del D.P.R. 380/2001, Circolari Ministeriali 7618/STC
 COMMITTENTE:
 dott. geol.Alessandro Boni - Via Giulio Romano 54 - CAP 46035 Ostiglia (MN)

 CANTIERE:
 Piano Urbanistico di Iniziativa Privata - Loc. Cavazzona, Castelfranco Emilia (MO)

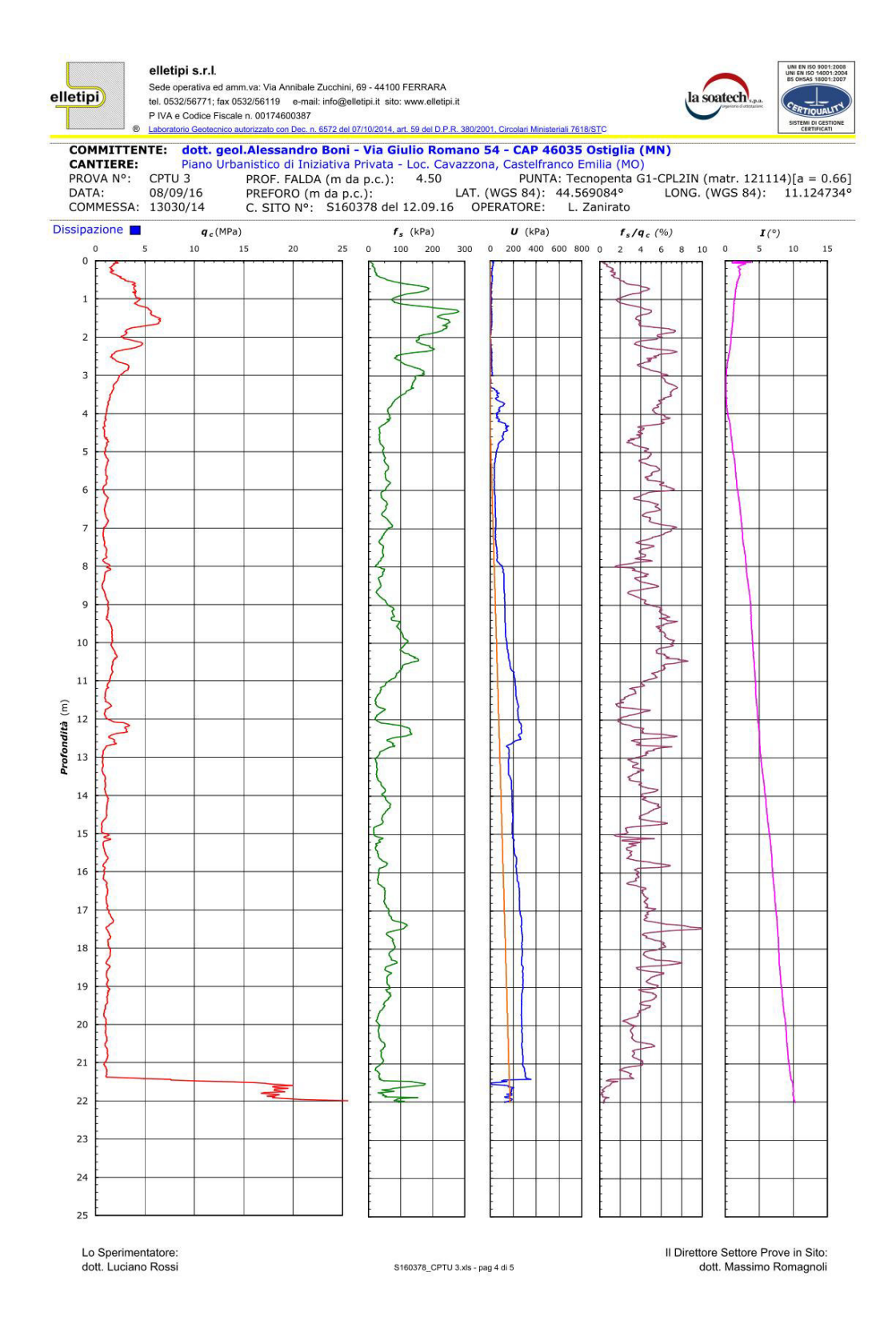
 PROVA N°:
 CPTU 3
 PROF. FALDA (m da p.c.):
 4.50
 PUNTA: Tecnopenta G1-CPL2IN (matr. 121114)[a = 0.66]

 DATA:
 08/09/16
 PREFORO (m da p.c.):
 LAT. (WGS 84):
 44.569084°
 LONG. (WGS 84):
 11.124734°

 COMMESSA:
 13030/14
 C. SITO N°:
 S160378 del 12.09.16
 OPERATORE:
 L. Zanirato
 fs U incl. prof. qc kPa kPa gradi m Mpa

26

Il Direttore Settore Prove in Sito: dott. Massimo Romagnoli





Sede operativa ed amm.va: Via Annibale Zucchini, 69 - 44100 FERRARA

tel. 0532/56771; fax 0532/56119 e-mail: info@elletipi.it sito: www.elletipi.it

P IVA e Codice Fiscale n. 00174600387

Laboratorio Geotecnico autorizzato con Dec. n. 65/2 del 07/10/2014, art. 59 del D.P.R. 380/2001, Circolari Ministeriali 7618/STC





 COMMITTENTE:
 dott. geol. Alessandro Boni - Via Giulio Romano 54 - CAP 46035 Ostiglia (MN)

 CANTIERE:
 Piano Urbanistico di Iniziativa Privata - Loc. Cavazzona, Castellfranco Emilia (MO)

 PROVA N°:
 CPTU 3
 PROF. FALDA (m da p.c.):
 4.50
 PUNTA: Tecnopenta GI-CPLZIN (matr. 121114)[a = 0.66]

 DATA:
 08/09/16
 PREFORO (m da p.c.):
 LAT. (WGS 84):
 44.569084°
 LONG. (WGS 84):
 11.124734°

 COMMESSA:
 13030/14
 C. SITO N°:
 S160378 del 12.09.16
 OPERATORE:
 L. Zanirato

UBICAZIONE

Piano Urbanistico di Iniziativa Privata - Loc. Cavazzona, Castelfranco Emilia (MO)



NOTE: Utilizzato 1 anello allargatore da inizio prova

Lo Sperimentatore: dott. Luciano Rossi

S160378_CPTU 3.xls - pag 5 di 5

Il Direttore Settore Prove in Sito: dott. Massimo Romagnoli

2.5 - Caratterizzazione litostratigrafica

Per la caratterizzazione litologica dei terreni di fondazione dell'area in esame, vengono prese in considerazione le prove penetrometriche statiche di cui sopra.

L'elaborazione dei valori di resistenza all'infissione, caratteristici dei vari livelli del substrato, forniscono utili informazioni per il riconoscimento di massima dei terreni investigati, sulla base del rapporto Rp/RI, fra la resistenza alla punta e la resistenza laterale (Rapporto Begemann 1965 - Raccomandazioni A.G.I. 1977), ovvero sulla base dei valori di Rp e del rapporto FR = RI/Rp % (esperienze di Schmertmann 1978).

Sotto il profilo litostratigrafico, l'area investigata è caratterizzata da depositi alluvionali quaternari, appartenenti alle classi granulometriche che vanno dalle argille ai limi fino alle sabbie e/o ghiaie più o meno addensate; in particolare si tratta di terreni eterogenei variamente combinati tra di loro, costituiti lungo i primi 18,40/22,40 m da un'alternanza di argille, argille limose e limi argillosi più o meno consistenti. Segue, fino alla massima profondità raggiunta dai test penetrometrici (-23,00 m da p.c.) un orizzonte ghiaioso molto addensato, risultato impenetrabile dallo strumento.

Dalle indagini di cui sopra è stato possibile ricostruire le seguenti successioni stratigrafiche di riferimento:

INTERPRETAZIONE STRATIGRAFICA PROVA SCPTU1



elletipi s.r.l.

Sede operativa ed amm.va: Via Annibale Zucchini, 69 - 44100 FERRARA tel. 0532/56771; fax 0532/56119 e-mail: info@elletipi.it sito: www.elletipi.it P IVA e Codice Fiscale n. 00174600387





Laboratorio Geotecnico autorizzato con Dec. n. 6572 del 07/10/2014, art. 59 del D.P.R. 380/2001, Circolari Ministeriali 7618/STC COMMITTENTE: dott. geol. Alessandro Boni - Via Giulio Romano 54 - CAP 46035 Ostiglia (MN)
CANTIERE: Piano Urbanistico di Iniziativa Privata - Loc. Cavazzona, Castelfranco Emilia (MO)

5.10 PUNTA: Tecnopenta G1-CPL2IN (matr. 111010)[a = 0.66] 0.00 LAT. (WGS 84): 44.565910° LONG. (WGS 84): 11.121723° OPERATORE: L. Zanirato CPTU Nº: SCPTU 1 PROF. FALDA (m da p.c.): 5.10 08/09/16 DATA: PREFORO (m da p.c.): commessa 13030/14

COITII	ne	55d	13030/14			OPERATO	KE. L.	Zanirato			
Pr da	of.	(m) a	Prof. media (m)	Pot. strato (m)	Litologia	q _c media (kg/cm²)	γ' (t/m³)	σ' _{v0} (kg/cm²)	C _u media (kg/cm²)	Φ' (1) (gradi)	Φ (2) (gradi)
0.00	8	0.28	0.14	0.28	sabbie limose	32.25435	1.3-1.8	0.05	8	43	45
0.28	2	0.30	0.29	0.02	limi e limi sabbiosi	32.5	1.3-1.8	0.05	2.2	43	41
0.30		0.84	0.57	0.54	sabbie limose	50.5	1.3-1.8	0.15	2	42	39
0.84	43	0.92	0.88	0.08	limi e limi sabbiosi	40.9	1.3-1.8	0.17	2.7	41	36
0.92	*	1.04	0.98	0.12	limi argillosi e argille limose	30.6	1.3-1.8	0.19	2.0	-	-
1.04	-	1.12	1.08	0.08	argille	29.6	0.7-1.3	0.20	2.0	5	8
1.12	70	1.14	1.13	0.02	torbe	35.3	0.7-1.3	0.20	2.3	5).	
1.14	-	1.18	1.16	0.04	argille	37.7	0.7-1.3	0.21	2.5	-	5
1.18	8	1.24	1.21	0.06	limi argillosi e argille limose	40.0	1.3-1.8	0.22	2.7	29	9
1.24	2	1.30	1.27	0.06	limi e limi sabbiosi	40.2	1.3-1.8	0.23	2.7	39	34
1.30	2	1.48	1.39	0.18	sabbie limose	44.0	1.3-1.8	0.26	-	39	34
1.48	4	1.58	1.53	0.10	limi e limi sabbiosi	34.5	1.3-1.8	0.28	2.3	38	32
1.58	*	1.78	1.68	0.20	limi argillosi e argille limose	33.6	1.3-1.8	0.31	2.2	-	-
1.78	-	1.84	1.81	0.06	limi e limi sabbiosi	41.1	1.3-1.8	0.32	2.7	38	32
1.84	25	1.86	1.85	0.02	limi argillosi e argille limose	37.5	1.3-1.8	0.33	2.5	=1	
1.86		2.58	2.22	0.72	limi e limi sabbiosi	38.6	1.3-1.8	0.46	2.5	36	30
2.58	3	2.60	2.59	0.02	limi argillosi e argille limose	28.4	1.3-1.8	0.46	1.9	8	3
2.60	2	2.64	2.62	0.04	limi e limi sabbiosi	35.1	1.3-1.8	0.47	2.3	35	29
2.64	2	2.82	2.73	0.18	sabbie limose	46.2	1.3-1.8	0.50	-	36	30
2.82	2	2.86	2.84	0.04	limi e limi sabbiosi	38.9	1.3-1.8	0.51	2.6	35	29
2.86		2.90	2.88	0.04	limi argillosi e argille limose	28.5	1.3-1.8	0.52	1.9		
2.90	-	2.96	2.93	0.06	argille	21.6	0.7-1.3	0.52	1.4		
2.96	-	3.06	3.01	0.10	torbe	16.3	0.7-1.3	0.54	1.0	8	-
110000	- 2										
3.06	8	3.34	3.20	0.28	argille	14.6	0.7-1.3	0.57	0.9	5	5
3.34	2	3.50	3.42	0.16	torbe	9.7	0.7-1.3	0.59	0.6	-	-
3.50		3.60	3.55	0.10	argille	11.4	0.7-1.3	0.61	0.7	-	-
3.60	-	3.66	3.63	0.06	torbe	8.2	0.7-1.3	0.61	0.5	-	-
3.66	-	3.78	3.72	0.12	argille	7.3	0.7-1.3	0.63	0.4	-	-
3.78	=	3.80	3.79	0.02	limi argillosi e argille limose	7.2	1.3-1.8	0.63	0.4		8
3.80	=	4.68	4.24	0.88	argille	6.3	0.7-1.3	0.75	0.4	=1	5
4.68	73	4.94	4.81	0.26	limi argillosi e argille limose	8.4	1.3-1.8	0.79	0.5	=	8
4.94	-	5.42	5.18	0.48	argille	9.2	0.4-0.8	0.87	0.6	5	-
5.42	-	5.50	5.46	0.08	torbe	7.1	0.4-0.8	0.86	0.4	-	
5.50	2	5.52	5.51	0.02	argille	7.0	0.4-0.8	0.86	0.4	2	=
5.52	-	5.54	5.53	0.02	torbe	6.4	0.4-0.8	0.86	0.4		=
5.54	-	5.92	5.73	0.38	argille	7.0	0.4-0.8	0.91	0.4	H	8
5.92	8	6.20	6.06	0.28	limi argillosi e argille limose	9.2	0.8-1.1	0.94	0.5	8	*
6.20	5	6.52	6.36	0.32	argille	11.1	0.4-0.8	0.96	0.7	*	5
6.52	3	6.78	6.65	0.26	torbe	8.4	0.4-0.8	0.98	0.5	5.	5
6.78	-	7.04	6.91	0.26	argille	5.2	0.4-0.8	1.00	0.3	7	8
7.04	2	7.24	7.14	0.20	limi argillosi e argille limose	9.2	0.8-1.1	1.02	0.5	27	8
7.24	2	7.46	7.35	0.22	argille	9.3	0.4-0.8	1.04	0.5	-	2
7.46	23	7.68	7.57	0.22	torbe	8.4	0.4-0.8	1.06	0.5	20	2
7.68	-	7.74	7.71	0.06	argille	9.6	0.4-0.8	1.06	0.6	E)	*
7.74	-	7.84	7.79	0.10	limi argillosi e argille limose	11.5	0.8-1.1	1.07	0.7	-:	8
7.84	5	7.94	7.89	0.10	argille	10.8	0.4-0.8	1.08	0.6	-	5
7.94		8.04	7.99	0.10	torbe	8.5	0.4-0.8	1.09	0.5	5	6
8.04		8.30	8.17	0.26	argille	10.7	0.4-0.8	1.12	0.6	¥	8
8.30	27	8.32	8.31	0.02	torbe	11.2	0.4-0.8	1.11	0.7	2	9
8.32	2	8.54	8.43	0.22	argille	12.5	0.4-0.8	1.13	0.7	29	2
8.54	23	8.66	8.60	0.12	torbe	11.6	0.4-0.8	1.14	0.7	2	2
8.66	8	8.80	8.73	0.14	argille	11.3	0.4-0.8	1.15	0.7		и.
8.80		8.94	8.87	0.14	limi argillosi e argille limose	15.4	0.8-1.1	1.17	0.9	-	
8.94	-	9.48	9.21	0.54	argille	14.9	0.4-0.8	1.23	0.9	-	
9.48	- 01	9.52	9.50	0.04	limi argillosi e argille limose	13.4	0.8-1.1	1.21	0.9	-	9
9.40	8	3.32	9.30	0.04	arginosi e argine innose	13.4	0.0*1.1	1.41	0.0	-	

S160378_CPTU 3.xls - Interpretazioni - pag 1 di 4



Sede operativa ed amm.va: Via Annibale Zucchini, 69 - 44100 FERRARA
tel. 0532/56771; fax: 0532/56119 e-mail: info@elletipi.it sito: www.elletipi.it
P IVA e Codice Fiscale n. 00174600387
Laboratorio Geotecnico autorizzato con Dec. n. 6572 del 07/10/2014, art. 59 del D.P.R. to con Dec. n. 6572 del 07/10/2014, art. 59 del D.P.R. 380/2001, Circolari Minis





COMMITTENTE:	dott. geol. Alessandro Boni - Via Giulio Romano 54 - CAP 46035 Ostiglia (MN)
CANTIERE:	Piano Urbanistico di Iniziativa Privata - Loc Cavazzona, Castelfranco Emilia (MO)

PUNTA: Tecnopenta G1-CPL2IN (matr. 111010)[a = 0.66] VGS 84): 44.565910° LONG. (WGS 84): 11.121723° CPTU Nº: PROF. FALDA (m da p.c.): 5.10 SCPTU 1 DATA: 08/09/16 PREFORO (m da p.c.): 0.00 LAT. (WGS 84): 44.565910° 13030/14

Prof. (m)	Prof. media	Pot. strato	Litologia	q _c media	γ' (* (3)	σ' _{v0}	C _u media	Φ' (1)	Φ (2)
da a	(m)	(m)		(kg/cm ²)	(t/m³)	(kg/cm²)	(kg/cm ²)	(gradi)	(gradi)
9.52 - 9.70	9.61	0.18	argille	13.2	0.4-0.8	1.23	0.8	2	9
9.70 - 9.72		0.02	limi argillosi e argille limose	14.6	0.8-1.1	1.23	0.9	25	2
9.72 - 9.74		0.02	argille	14.4	0.4-0.8	1.23	0.8	2	2
9.74 - 9.76	9.75	0.02	limi argillosi e argille limose	14.6	0.8-1.1	1.23	0.9	-	9
9.76 - 9.90	9.83	0.14	argille	14.6	0.4-0.8	1.25	0.9	-	
9.90 - 9.92		0.02	limi argillosi e argille limose	17.4	0.8-1.1	1.24	1.0		
9.92 - 9.98		0.06	argille	15.7	0.4-0.8	1.25	0.9	-	
9.98 - 10.08	10.03	0.10	torbe	14.3	0.4-0.8	1.26	0.8	-	
10.08 - 10.26	10.17	0.18	argille	13.3	0.4-0.8	1.28	0.8	2	9
10.26 - 10.28		0.02	limi argillosi e argille limose	14.9	0.8-1.1	1.27	0.9	2	2
10.28 - 10.56		0.28	argille	14.7	0.4-0.8	1.31	0.9	25	
10.56 - 10.76	10.66	0.20	limi argillosi e argille limose	14.2	0.8-1.1	1.33	0.8		
10.76 - 10.93		0.16	limi e limi sabbiosi	16.2	0.8-1.1	1.34	1.0	<32	19
10.92 - 11.08		0.16	limi argillosi e argille limose	14.5	0.8-1.1	1.36	0.8	-	
11.08 - 11.18		0.10	limi e limi sabbiosi	17.1	0.8-1.1	1.37	1.0	<32	20
11.18 - 11.58		0.40	limi argillosi e argille limose	15.3	0.8-1.1	1.43	0.9	2	
11.58 - 11.70		0.12	argille	12.5	0.4-0.8	1.43	0.7		Ü
11.70 - 11.82		0.12	limi argillosi e argille limose	11.0	0.8-1.1	1.44	0.6	9	9
11.82 - 11.88		0.06	argille	9.5	0.4-0.8	1.44	0.5	23	
11.88 - 11.96		0.08	torbe	8.9	0.4-0.8	1.45	0.5	2	2
11.96 - 12.04		0.08	argille	10.4	0.4-0.8	1.46	0.6	-	-
12.04 - 12.10		0.06	limi argillosi e argille limose	11.8	0.8-1.1	1.46	0.6	_	_
12.10 - 12.36		0.26	argille	10.2	0.4-0.8	1.49	0.5	-	-
12.36 - 12.42		0.06	limi argillosi e argille limose	11.8	0.8-1.1	1.49	0.6		
12.42 - 12.48		0.06	limi e limi sabbiosi	14.3	0.8-1.1	1.50	0.8	<32	18
12.48 - 12.52		0.04	limi argillosi e argille limose	14.7	0.8-1.1	1.50	0.8	345	-
12.52 - 12.50		0.04	argille	12.7	0.4-0.8	1.50	0.7		
12.56 - 12.70		0.14	torbe	8.8	0.4-0.8	1.52	0.4		
12.70 - 12.74		0.04	argille	8.4	0.4-0.8	1.52	0.4		
12.74 - 12.84		0.10	limi argillosi e argille limose	8.1	0.8-1.1	1.53	0.4		
12.84 - 12.94		0.10	limi e limi sabbiosi	18.0	0.8-1.1	1.54	1.0	<32	19
12.94 - 12.98		0.04	limi argillosi e argille limose	22.0	0.8-1.1	1.54	1.3		
12.98 - 13.00		0.02	argille	17.5	0.4-0.8	1.54	1.0	9	8
13.00 - 13.00		0.06	torbe	11.6	0.4-0.8	1.55	0.6		
13.06 - 13.08		0.02	limi argillosi e argille limose	17.8	0.8-1.1	1.55	1.0		
13.08 - 13.14		0.06	limi e limi sabbiosi	22.2	0.8-1.1	1.56	1.3	<32	20
13.14 - 13.24		0.10	limi argillosi e argille limose	12.3	0.8-1.1	1.57	0.7		20
13.24 - 13.30		0.06	limi e limi sabbiosi	20.0	0.8-1.1	1.58	1.2	< 32	19
13.30 - 13.3		0.02	limi argillosi e argille limose	15.9	0.8-1.1	1.58	0.9	\J2	19
13.32 - 13.40		0.08	argille	12.4	0.4-0.8	1.59	0.7	8	2
13.40 - 13.54		0.14	torbe	8.3	0.4-0.8	1.60	0.4	5) 2)	D 21
13.54 - 13.56		0.02	argille	8.3	0.4-0.8	1.60	0.4		
13.56 - 13.70		0.14	limi argillosi e argille limose	9.6	0.8-1.1	1.62	0.5	3	-
13.70 - 13.76		0.06	argille	7.9	0.4-0.8	1.62	0.4		
13.76 - 13.8		0.06	torbe	6.4	0.4-0.8	1.63	0.3		-
13.82 - 13.90		0.14	argille	7.3	0.4-0.8	1.64	0.3		
13.96 - 14.20		0.24	limi argillosi e argille limose	11.1	0.8-1.1	1.67	0.6	31	5
14.20 - 14.20		0.04	argille	10.1	0.4-0.8	1.67	0.5	8	8
14.20 - 14.20		0.04	torbe	8.9	0.4-0.8	1.68	0.4		B 20
14.24 - 14.36		0.14	argille	10.7	0.4-0.8	1.72	0.4	-	
14.38 - 14.68		0.30	torbe	10.7	0.4-0.8	1.72	0.5		-
(T.M.)	5 FMM5			12010		711	0.6	-	-
14.76 - 14.88 14.88 - 14.98		0.12	argille torbe	12.5 12.9	0.4-0.8	1.72	0.7	-	-
14.88 - 14.98		0.10		12.9			0.7	*	
			argille		0.4-0.8	1.73		7.	5
15.04 - 15.30	15.17	0.26	torbe	12.1	0.4-0.8	1.76	0.6	5	8

S160378_CPTU 3.xls - Interpretazioni - pag 2 di 4



Sede operativa ed amm.va: Via Annibale Zucchini, 69 - 44100 FERRARA

tel. 0532/56771; fax 0532/56119 e-mail: info@elletipi.it sito: www.elletipi.it

P IVA e Codice Fiscale n. 00174600387

Laboratorio Geolecnico autorizzato con Dec. n. 5572 del 07/10/2014, art. 59 del D.P.R. 380/2001, Circolari Ministeriali 7616/STC





COMMITTENTE: dott. geol. Alessandro Boni - Via Giulio Romano 54 - CAP 46035 Ostiglia (MN)
CANTIERE: Piano Urbanistico di Iniziativa Privata - Loc. Cavazzona, Castelfranco Emilia (MO)

CPTU N°: SCPTU 1 PROF. FALDA (m da p.c.): 5.10 PUNTA: Tecnopenta G1-CPL2IN (matr. 111010)[a = 0.66]

DATA: 08/09/16 PREFORO (m da p.c.): 0.00 LAT. (WGS 84): 44.565910° LONG. (WGS 84): 11.121723°

commessa 13030/14 OPERATORE: L. Zanirato

Prof. (m) da a	Prof. media	Pot. strato	Litologia	q _c media (kg/cm²)	γ' (t/m³)	σ' _{νο} (kg/cm²)	C _u media (kg/cm²)	Φ' (1) (gradi)	Φ (2) (gradi)
15.30 - 15.44	15.37	0.14	argille	12.0	0.4-0.8	1.77	0.6	2	2
15.44 - 15.56	15.50	0.12	limi argillosi e argille limose	16.1	0.8-1.1	1.78	0.9	27	2
15.56 - 15.60	15.58	0.04	argille	15.8	0.4-0.8	1.78	0.9	-	2
15.60 - 15.68	15.64	0.08	torbe	15.5	0.4-0.8	1.79	0.8	-	9
15.68 - 15.76	15.72	0.08	argille	15.4	0.4-0.8	1.80	0.8	-	*
15.76 - 15.90	15.83	0.14	torbe	11.7	0.4-0.8	1.81	0.6	5	5
15.90 - 15.96	15.93	0.06	argille	11.7	0.4-0.8	1.81	0.6	51	a
15.96 - 16.00	15.98	0.04	limi argillosi e argille limose	12.0	0.8-1.1	1.82	0.6	7	
16.00 - 16.06	16.03	0.06	argille	11.6	0.4-0.8	1.82	0.6	27	25
16.06 - 16.12	16.09	0.06	torbe	10.2	0.4-0.8	1.83	0.5	27	2
16.12 - 16.24	16.18	0.12	argille	10.7	0.4-0.8	1.84	0.5	20	- 1
16.24 - 16.34	16.29	0.10	torbe	7.7	0.4-0.8	1.85	0.3	-	8
16.34 - 16.42	16.38	0.08	argille	6.7	0.4-0.8	1.85	0.2	-	Ħ
16.42 - 16.68	16.55	0.26	limi argillosi e argille limose	8.4	0.8-1.1	1.89	0.4	51	5
16.68 - 16.74	16.71	0.06	limi e limi sabbiosi	12.3	0.8-1.1	1.89	0.6	<32	15
16.74 - 16.80	16.77	0.06	limi argillosi e argille limose	13.4	0.8-1.1	1.89	0.7	2	3
16.80 - 16.88	16.84	0.08	argille	12.0	0.4-0.8	1.90	0.6	27	9
16.88 - 16.94	16.91	0.06	torbe	11.2	0.4-0.8	1.90	0.5	2)	21
16.94 - 17.72	17.33	0.78	argille	10.7	0.4-0.8	2.00	0.5	21	20
17.72 - 17.76	17.74	0.04	limi argillosi e argille limose	13.2	0.8-1.1	1.97	0.7	±)	8
17.76 - 17.78	17.77	0.02	argille	12.4	0.4-0.8	1.97	0.6	-	=
17.78 - 17.80	17.79	0.02	limi argillosi e argille limose	14.3	0.8-1.1	1.98	0.7	5	8
17.80 - 17.86	17.83	0.06	argille	13.9	0.4-0.8	1.98	0.7	T.	5
17.86 - 18.16	18.01	0.30	torbe	12.2	0.4-0.8	2.02	0.6	-	3
18.16 - 18.20	18.18	0.04	argille	9.2	0.4-0.8	2.01	0.4	20	9
18.20 - 18.26	18.23	0.06	limi argillosi e argille limose	9.3	0.8-1.1	2.02	0.4	27	2
18.26 - 18.28	18.27	0.02	argille	7.7	0.4-0.8	2.02	0.3	21	21
18.28 - 18.46	18.37	0.18	limi argillosi e argille limose	9.1	0.8-1.1	2.04	0.4	-	*
18.46 - 18.48	18.47	0.02	argille	8.3	0.4-0.8	2.04	0.3	-	8
18.48 - 18.60	18.54	0.12	limi argillosi e argille limose	8.8	0.8-1.1	2.06	0.4	5.	
18.60 - 18.70	18.65	0.10	limi e limi sabbiosi	11.7	0.8-1.1	2.07	0.6	<32	14
18.70 - 18.90	18.80	0.20	limi argillosi e argille limose	13.3	0.8-1.1	2.09	0.7		8
18.90 - 18.96	18.93	0.06	argille	12.7	0.4-0.8	2.09	0.6	2	9
18.96 - 18.98	18.97	0.02	limi argillosi e argille limose	14.4	0.8-1.1	2.09	0.7	2	2
18.98 - 19.04	19.01	0.06	argille	11.6	0.4-0.8	2.10	0.5	4	2
19.04 - 19.08	19.06	0.04	torbe	10.3	0.4-0.8	2.10	0.5		- 2
19.08 - 19.22	19.15	0.14	argille	9.8	0.4-0.8	2.12	0.4		
19.22 - 19.28	19.25	0.06	torbe	7.3	0.4-0.8	2.12	0.3	-	
19.28 - 19.38	19.33	0.10	argille	7.1	0.4-0.8	2.13	0.2	-	
19.38 - 19.44	19.41	0.06	limi argillosi e argille limose	6.8	0.8-1.1	2.13	0.2		
19.44 - 19.46	19.45	0.02	argille	5.9	0.4-0.8	2.13	0.2	2	2
19.46 - 19.86	19.66	0.40	limi argillosi e argille limose	8.0	0.8-1.1	2.20	0.3	2	
19.86 - 19.88	19.87	0.02	argille	7.1	0.4-0.8	2.18	0.2	2	
19.88 - 19.92	19.90	0.04	limi argillosi e argille limose	8.8	0.8-1.1	2.19	0.3		
19.92 - 20.00	19.96	0.08	limi e limi sabbiosi	11.8	0.8-1.1	2.20	0.5	<32	14
20.00 - 20.02	20.01	0.08	limi argillosi e argille limose	12.4	0.8-1.1	2.20	0.6	<32	14
20.02 - 20.18	20.10	0.16	argille	10.1	0.4-0.8	2.22	0.4	54	3
20.18 - 20.30	20.10	0.12		11.7	0.4-0.8	2.23	0.5	- 5	5
			limi argillosi e argille limose					5	E
20.30 - 20.38 20.38 - 20.54	20.34	0.08	argille torbe	12.2 9.9	0.4-0.8	2.23	0.6	90	-
20.38 - 20.54	20.46	(E/15.5)/	10000000		10.76	2.25	25/2/20	-	
		0.06	argille	9.7	0.4-0.8	0.000	0.4	-	-
20.60 - 20.64	20.62	0.04	limi argillosi e argille limose	10.9	0.8-1.1	2.25	0.5	•	-
20.64 - 20.78	20.71	0.14	argille	9.6	0.4-0.8	2.27	0.4		
20.78 - 20.94	20.86	0.16	limi argillosi e argille limose	9.9	0.8-1.1	2.29	0.4	7.5	5
20.94 - 21.10	21.02	0.16	argille	9.9	0.4-0.8	2.30	0.4	5	5

S160378_CPTU 3.xls - Interpretazioni - pag 3 di 4

Via Giulio Romano n. 54 - 46035 Ostiglia (MN)
Tel. e Fax. 0386.670315 Cell. 335.8470747 e-mail: bonialessandro@tiscali.it



elletipi s.r.l.

Sede operativa ed amm.va: Via Annibale Zucchini, 69 - 44100 FERRARA
tel. 0532/56771; fax 0532/56119 e-mail: info@elletip.it sito: www.elletipi.it
P IVA e Codice Fiscale n. 00174600387
Laboratorio Geolecnico autorizzato con Dec. n. 6572 del 07/10/2014, art. 59 del D.P.R. 380/2001. Circolari Ministeriali 7618/STC





COMMITTENTE: dott. geol. Alessandro Boni - Via Giulio Romano 54 - CAP 46035 Ostiglia (MN) CANTIERE: Piano Urbanistico di Iniziativa Privata - Loc. Cavazzona, Castelfranco Emilia (MO)

CPTU Nº:	SCPTU 1	PROF. FALDA (m da p.c.):	5.10	PUNTA:	Tecnopenta G1	-CPL2IN (matr. 1110	10)[a = 0.66]
DATA:	08/09/16	PREFORO (m da p.c.):	0.00	LAT. (WGS 84):	44.565910°	LONG. (WGS 84):	11.121723°
commessa	13030/14			OPERATORE:	L. Zanirato		

F	rof.	(m)	Prof. media	Pot. strato	Litologia	q _c media	r'	σ' _{v0}	C _u media	Φ' (1)	Φ (2)
da		а	(m)	(m)		(kg/cm ²)	(t/m³)	(kg/cm²)	(kg/cm ²)	(gradi)	(gradi)
21.1	D -	21.12	21.11	0.02	limi argillosi e argille limose	10.1	0.8-1.1	2.30	0.4	9	9
21.1	2 -	21.20	21.16	0.08	argille	8.2	0.4-0.8	2.31	0.3	9	2
21.2	0 -	21.28	21.24	0.08	limi argillosi e argille limose	8.1	0.8-1.1	2.31	0.3	2	=
21.2	в -	21.3	21.30	0.04	limi e limi sabbiosi	8.8	0.8-1.1	2.32	0.3	<32	12
21.3	2 -	21.46	21.39	0.14	limi argillosi e argille limose	7.9	0.8-1.1	2.34	0.3	-	-
21.4	6 -	21.5	21.51	0.10	argille	7.3	0.4-0.8	2.34	0.2	5	5
21.5	6 -	21.60	21.58	0.04	limi argillosi e argille limose	7.5	0.8-1.1	2.35	0.2	=1	a
21.6	0 -	21.76	21.68	0.16	limi e limi sabbiosi	10.3	0.8-1.1	2.37	0.4	<32	13
21.7	6 -	21.82	21.79	0.06	limi argillosi e argille limose	9.0	0.8-1.1	2.37	0.3	27	25
21.8	2 -	21.98	21.90	0.16	limi e limi sabbiosi	10.8	0.8-1.1	2.39	0.4	<32	13
21.9	8 -	22.28	22.13	0.30	limi argillosi e argille limose	10.5	0.8-1.1	2.43	0.4		E1
22.2	8 -	22.3	22.31	0.06	limi e limi sabbiosi	13.8	0.8-1.1	2.43	0.6	<32	14
22.3	4 -	22.48	22.41	0.14	limi argillosi e argille limose	10.3	0.8-1.1	2.45	0.4	=	-
22.4	8 -	22.5	22.51	0.06	limi e limi sabbiosi	15.4	0.8-1.1	2.45	0.8	<32	15
22.5	4 -	22.56	22.55	0.02	sabbie limose	42.9	0.8-1.1	2.45	8	<32	21
22.5	6 -	22.7	22 64	0.16	sahhie	251.0	0.8-1.1	2 48	2	34	31

S160378_CPTU 3.xls - Interpretazioni - pag 4 di 4

INTERPRETAZIONE STRATIGRAFICA PROVA SCPTU2



elletipi s.r.l.

Sede operativa ed amm.va: Via Annibale Zucchini, 69 - 44100 FERRARA

tel. 0532/56771; fax 0532/56119 e-mail: info@elletip.i.t sito: www.elletipi.it

P IVA e Codice Fiscale n. 00174600387

Laboratorio Geolecnico autorizzato con Dec. n. 5572 del 07/10/2014, art. 59 del D.P.R. 380/2001, Circolari Ministeriali 7616/STC





COMMITTENTE: dott. geol. Alessandro Boni - Via Giulio Romano 54 - CAP 46035 Ostiglia (MN)
CANTIERE: Piano Urbanistico di Iniziativa Privata - Loc. Cavazzona, Castelfranco Emilia (MO)

CPTU Nº:	SCPTU 2	PROF. FALDA (m da p.c.):	3.00	PUNTA:	Tecnopenta G1-	CPL2IN (matr. 111010)[a = 0.66]	
DATA:	08/09/16	PREFORO (m da p.c.):	0.02	LAT. (WGS 84):	44.568857°	LONG. (WGS 84): 11.119805°	
commessa	13030/14			OPERATORE:	L. Zanirato		

comme	essa	13030/14			OPERATO	KE: L.	Zanirato			
Prof. da	. (m) a	Prof. media (m)	Pot. strato (m)	Litologia	q _c media (kg/cm²)	γ' (t/m³)	σ' _{ν0} (kg/cm²)	C _u media (kg/cm²)	Φ' (1) (gradi)	Φ (2) (gradi)
0.00 -	- 0.1	0 0.05	0.10	sabbie limose	29.03875	1.3-1.8	0.02	9	>45	50
0.10 -	0.1	4 0.12	0.04	limi e limi sabbiosi	24.0	1.3-1.8	0.03	1.6	>45	44
0.14 -	0.1	6 0.15	0.02	sabbie limose	26.5	1.3-1.8	0.03	2	>45	43
0.16 -	0.6	4 0.40	0.48	limi e limi sabbiosi	27.6	1.3-1.8	0.12	1.8	41	38
0.64 -	1.0	4 0.84	0.40	sabbie limose	56.2	1.3-1.8	0.19		42	38
1.04 -	1.1	4 1.09	0.10	limi e limi sabbiosi	41.3	1.3-1.8	0.21	2.7	40	35
1.14 -	1.2	2 1.18	0.08	limi argillosi e argille limose	28.1	1.3-1.8	0.22	1.9	=1	-
1.22 -	1.2	4 1.23	0.02	argille	24.1	0.7-1.3	0.22	1.6	-	-
1.24 -	1.3		0.06	torbe	21.3	0.7-1.3	0.23	1.4	29	25
1.30 -	1.3	6 1.33	0.06	argille	23.2	0.7-1.3	0.24	1.5	2	2
1.36 -	1.5		0.18	torbe	19.3	0.7-1.3	0.26	1.3	4	2
1.54 -	- 1.5		0.02	argille	22.0	0.7-1.3	0.26	1.5	=)	-
1.56 -			0.16	torbe	16.3	0.7-1.3	0.28	1.1	=	-
1.72 -			0.02	argille	17.8	0.7-1.3	0.29	1.2	_	_
1.74 -			0.24	torbe	14.3	0.7-1.3	0.32	0.9	_	-
1.98 -			0.02	argille	13.9	0.7-1.3	0.32	0.9	5	B 2
2.00 -			0.02	torbe		0.7-1.3	0.32	0.9		5
					13.6				-	-
2.02	2.0		0.04	argille	16.9	0.7-1.3	0.33	1.1	-	-
2.06 -			0.04	limi argillosi e argille limose	21.0	1.3-1.8	0.34	1.4	-	-
2.10 -			0.08	argille	22.6	0.7-1.3	0.35	1.5	-	-
2.18 -	2.4		0.22	torbe	18.9	0.7-1.3	0.38	1.2		-
2.40 -	2.5		0.12	argille	19.9	0.7-1.3	0.39	1.3	8	5
2.52 -	- 3.0		0.48	torbe	15.2	0.4-0.8	0.48	1.0	FI.	
3.00 -	3.1		0.14	argille	10.6	0.4-0.8	0.50	0.7	5	5
3.14 -	3,1		0.02	torbe	10.4	0.4-0.8	0.49	0.7	2	9
3.16 -	3.2	6 3.21	0.10	argille	11.3	0.4-0.8	0.50	0.7	2	2
3.26 -	3.2	8 3.27	0.02	torbe	11.1	0.4-0.8	0.50	0.7	U)	21
3.28 -	3.3	0 3.29	0.02	argille	11.7	0.4-0.8	0.50	0.7		*
3.30 -	3.6	6 3.48	0.36	torbe	9.8	0.4-0.8	0.55	0.6		-
3.66 -	4.1	2 3.89	0.46	argille	8.9	0.4-0.8	0.59	0.5	7.	5
4.12 -	4.3	2 4.22	0.20	torbe	8.7	0.4-0.8	0.59	0.5	5	5.
4.32 -	4.3	4 4.33	0.02	argille	8.8	0.4-0.8	0.59	0.5	- 5	-
4.34 -	4.6	8 4.51	0.34	torbe	7.9	0.4-0.8	0.63	0.5	2	9
4.68 -	4.8	6 4.77	0.18	argille	9.2	0.4-0.8	0.64	0.6	2	2
4.86 -	4.8	8 4.87	0.02	torbe	7.8	0.4-0.8	0.63	0.5	2	2
4.88 -	5.2	4 5.06	0.36	argille	7.5	0.4-0.8	0.68	0.4		*
5.24 -	5.3	0 5.27	0.06	torbe	7.2	0.4-0.8	0.67	0.4	*	
5.30 -	5.3	2 5.31	0.02	argille	9.7	0.4-0.8	0.67	0.6		5
5.32 -	- 5.3	6 5.34	0.04	torbe	8.1	0.4-0.8	0.67	0.5	=1	-
5.36 -			0.10	argille	10.3	0.4-0.8	0.68	0.6		-
5.46 -	5.4	8 5.47	0.02	torbe	9.3	0.4-0.8	0.68	0.6	20	2
5.48 -			0.02	argille	10.5	0.4-0.8	0.68	0.6	2	2
5.50 -			0.72	torbe	8.1	0.4-0.8	0.78	0.5	2	2
6.22 -			0.02	argille	6.6	0.4-0.8	0.74	0.4		
6.24 -			0.02	torbe	6.3	0.4-0.8	0.75	0.3		
									-	-
6.26 -	- 6.3		0.12	argille	7.1	0.4-0.8	0.76	0.4	-	9
6.38 -			0.10	torbe	7.8	0.4-0.8	0.77	0.4	8	3 10
6.48 -	0.0		0.02	argille	8.7	0.4-0.8	0.76	0.5		10
6.50 -	6.6		0.10	torbe	7.9	0.4-0.8	0.78	0.4	-	-
6.60 -	0.7		0.18	argille	8.2	0.4-0.8	0.80	0.5	-	-
6.78 -	6.9		0.14	torbe	6.3	0.4-0.8	0.81	0.3	2	2
6.92 -	7.1		0.26	argille	6.1	0.4-0.8	0.83	0.3		-
7.18 -	7.3		0.16	limi argillosi e argille limose	6.9	0.8-1.1	0.85	0.4		
7.34 -	7.3		0.02	argille	6.5	0.4-0.8	0.84	0.3	73	5
7.36 -	7.4	6 7.41	0.10	limi argillosi e argille limose	7.8	0.8-1.1	0.86	0.4	5.	20

S160378_CPTU 3.xls - Interpretazioni - pag 1 di 4



Sede operativa ed amm.va: Via Annibale Zucchini, 69 - 44100 FERRARA tel. 0532/56771; fax 0532/56119 e-mail: info@elletipi.it sito: www.elletipi.it P IVA e Codice Fiscale n. 00174600387 lecnico autorizzato con Dec. n. 6572 del 07/10/2014, art. 59 del D.P.R. 380/2001, Circolari Ministeriali 7618/STC





COMMITTENTE: dott. geol.Alessandro Boni - Via Giulio Romano 54 - CAP 46035 Ostiglia (MN) CANTIERE: Piano Urbanistico di Iniziativa Privata - Loc. Cavazzona, Castelfranco Emilia (MO)

CPTU Nº:	SCPTU 2	PROF. FALDA (m da p.c.):	3.00	PUNTA: Tecnopenta G1-CPL2IN (matr. 111010)[a = 0.66]	
DATA:	08/09/16	PREFORO (m da p.c.):	0.02	LAT. (WGS 84): 44.568857° LONG. (WGS 84): 11.119805°	
commessa	13030/14			OPERATORE: L. Zanirato	

comme	ssa	13030/14			OPERATO	KE: L.	Zanirato			
Prof. da	(m) a	Prof. media (m)	Pot. strato (m)	Litologia	q _c media (kg/cm²)	γ' (t/m³)	σ' _{νο} (kg/cm²)	C _u media (kg/cm²)	Φ' (1) (gradi)	Φ (2) (gradi)
7.46 -	7.48	7.47	0.02	argille	7.2	0.4-0.8	0.85	0.4	9	9
7.48 -	7.50	7.49	0.02	limi argillosi e argille limose	7.4	0.8-1.1	0.86	0.4	9	2
7.50 -		7.64	0.28	argille	8.9	0.4-0.8	0.89	0.5		2
7.78 -	7.88	7.83	0.10	torbe	7.8	0.4-0.8	0.89	0.4	E)	
7.88 -	8.00	7.94	0.12	argille	8.4	0.4-0.8	0.90	0.5	_	
8.00 -	8.12	8.06	0.12	torbe	8.5	0.4-0.8	0.91	0.5	-	
8.12 -		8.18	0.12	argille	9.7	0.4-0.8	0.92	0.6	-	_
8.24 -	8.36	8.30	0.12	torbe	9.2	0.4-0.8	0.93	0.5	_	
8.36 -		8.37	0.02	argille	12.2	0.4-0.8	0.93	0.7	2	25
8.38 -		8.44	0.12	limi argillosi e argille limose	16.6	0.8-1.1	0.95	1.0	23	2
8.50 -		8.51	0.02	argille	13.4	0.4-0.8	0.94	0.8	2	5
8.52 -		8.54	0.04	torbe	11.1	0.4-0.8	0.95	0.6		
8.56 -		8.62	0.12	argille	10.4	0.4-0.8	0.96	0.6	_	
8.68 -	8.72	8.70	0.04	limi argillosi e argille limose	11.0	0.8-1.1	0.96	0.6	-	
8.72 -	8.74	8.73	0.02	argille	9.3	0.4-0.8	0.96	0.5	- 20	- 10
8.74 -	8.86	8.80	0.12	limi argillosi e argille limose	11.9	0.8-1.1	0.98	0.7	E(ā. 2
8.86 -		8.87	0.02	argille	12.0	0.4-0.8	0.98	0.7		8 0
8.88 -		8.89	0.02	limi argillosi e argille limose	13.5	0.8-1.1	0.98	0.8		-
8.90 -		8.93	0.02		12.8	0.4-0.8	0.98	0.8		
8.96 -		9.28	0.64	argille torbe	11.0	0.4-0.8	1.07	0.6	-	-
		9.69			12.9			0.6	-	-
	9.78	9.69	0.18	argille		0.4-0.8	1.06	0.7	=	-
9.78 -				limi argillosi e argille limose	13.7	0.8-1.1	1.05		5/	8
9.80 -	9.82	9.81	0.02	argille	12.5	0.4-0.8	1.05	0.7	El.	8
9.82 -	9.92	9.87	0.10	limi argillosi e argille limose	12.6	0.8-1.1	1.07	0.7	5	5
9.92 -	9.98	9.95	0.06	argille	10.2	0.4-0.8	1.07	0.6	_	
9.98 -	200	10.02	0.08	limi argillosi e argille limose	11.5	0.8-1.1	1.08	0.7	-	-
10.06 -	1000000	10.09	0.06	limi e limi sabbiosi	13.7	0.8-1.1	1.09	0.8	<32	19
10.12 -		10.15	0.06	limi argillosi e argille limose	11.7	0.8-1.1	1.10	0.7	8	*
10.18 -		10.22	0.08	argille	9.5	0.4-0.8	1.10	0.5	-	
10.26 -		10.35	0.18	limi argillosi e argille limose	12.2	0.8-1.1	1.13	0.7	5	5
10.44 -		10.51	0.14	limi e limi sabbiosi	16.2	0.8-1.1	1.14	1.0	<32	19
10.58 -		10.62	0.08	limi argillosi e argille limose	15.8	0.8-1.1	1.15	0.9	-	
10.66 -	10.70	10.68	0.04	argille	11.7	0.4-0.8	1.15	0.7	-	
10.70 -			0.02	torbe	9.5	0.4-0.8	1.15	0.5	-	-
10.72 -	10.80	10.76	0.08	argille	11.1	0.4-0.8	1.16	0.6	-	2
10.80 -	10.84	10.82	0.04	limi argillosi e argille limose	12.2	0.8-1.1	1.16	0.7		8
10.84 -	11.06	10.95	0.22	limi e limi sabbiosi	14.8	0.8-1.1	1.20	0.9	<32	19
11.06 -			0.04	limi argillosi e argille limose	11.5	0.8-1.1	1.19	0.6	=	8
11.10 -	11.12	11.11	0.02	limi e limi sabbiosi	13.2	0.8-1.1	1.19	0.7	<32	18
11.12 -	11.22	11.17	0.10	limi argillosi e argille limose	12.7	0.8-1.1	1.21	0.7	-	5
11.22 -	11.44	11.33	0.22	limi e limi sabbiosi	16.8	0.8-1.1	1.24	1.0	<32	19
11.44 -	11.46	11.45	0.02	limi argillosi e argille limose	16.5	0.8-1.1	1.23	1.0	-	20
11.46 -	11.66	11.56	0.20	argille	10.4	0.4-0.8	1.26	0.6	2	=
11.66 -	11.68	11.67	0.02	limi argillosi e argille limose	11.0	0.8-1.1	1.25	0.6	8	-
11.68 -	11.76	11.72	0.08	limi e limi sabbiosi	14.8	0.8-1.1	1.26	0.8	<32	18
11.76 -	11.80	11.78	0.04	argille	7.9	0.4-0.8	1.26	0.4	=	5
11.80 -	11.84	11.82	0.04	limi argillosi e argille limose	8.6	0.8-1.1	1.27	0.4	=	8
11.84 -	11.88	11.86	0.04	argille	7.8	0.4-0.8	1.27	0.4	-	9
11.88 -	12.00	11.94	0.12	limi argillosi e argille limose	12.0	0.8-1.1	1.29	0.7	27	2
12.00 -	12.02	12.01	0.02	limi e limi sabbiosi	17.5	0.8-1.1	1.28	1.0	<32	19
12.02 -	12.10	12.06	0.08	limi argillosi e argille limose	16.5	0.8-1.1	1.30	1.0	20	2
12.10 -		12.12	0.04	argille	14.0	0.4-0.8	1.30	0.8	₩.	-
12.14 -			0.42	torbe	9.5	0.4-0.8	1.35	0.5		
12.56 -		12.59	0.06	argille	10.5	0.4-0.8	1.34	0.5	-	
12.62 -		12.63	0.02	torbe	10.1	0.4-0.8	1.34	0.5	-	-
				Develope Side				(0.00)		

S160378_CPTU 3.xls - Interpretazioni - pag 2 di 4



Sede operativa ed amm.va: Via Annibale Zucchini, 69 - 44100 FERRARA

tel. 0532/56771; fax 0532/56119 e-mail: info@elletipi.it sito: www.elletipi.it

P IVA e Codice Fiscale n. 00174600387

Laboratorio Geolecnico autorizzato con Dec. n. 5572 del 07/10/2014, art. 59 del D.P.R. 380/2001, Circolari Ministeriali 7616/STC





COMMITTENTE: dott. geol. Alessandro Boni - Via Giulio Romano 54 - CAP 46035 Ostiglia (MN)

CANTIERE: Piano Urbanistico di Iniziativa Privata - Loc. Cavazzona, Castelfranco Emilia (MO)

CPTU N°: SCPTU 2 PROF. FALDA (m da p.c.): 3.00 PUNTA: Tecnopenta G1-CPL2IN (matr. 111010)[a = 0.66]
DATA: 08/09/16 PREFORO (m da p.c.): 0.02 LAT. (WGS 84): 44.568857° LONG. (WGS 84): 11.119805°
commessa 13030/14 OPERATORE: L. Zanirato

Prof. (m)	Prof. media	Pot. strato	Litologia	q _c media	γ*	o'vo	C _u media	Φ'(1)	Φ (2)
da a	(m)	(m)		(kg/cm ²)	(t/m^3)	(kg/cm ²)	(kg/cm²)	(gradi)	(gradi)
			per testador.				201001		
12.64 - 12.66 12.66 - 12.72		0.02	argille torbe	11.0 10.6	0.4-0.8	1.34	0.6	-	
12.66 - 12.72		0.10	argille				0.8	-	-
12.72 - 12.82				13.7	0.4-0.8	1.36	0.4	-	-
		0.32	torbe	7.7	0.4-0.8	1.39		-	-
		0.04	argille	7.6	0.4-0.8	1.38	0.3	-	-
13.18 - 13.20 13.20 - 13.28		0.02	limi argillosi e argille limose limi e limi sabbiosi	14.4 21.3	0.8-1.1	1.38	0.8	<32	20
				10-0-10-1				<32	20
13.28 - 13.30		0.02	limi argillosi e argille limose	19.8	0.8-1.1	1.40	1.2	5	5.
13.30 - 13.32		0.02	limi e limi sabbiosi	20.3	0.8-1.1	1.40	1.2	<32	19
13.32 - 13.36		0.04	limi argillosi e argille limose	18.9	0.8-1.1	1.40	1.1	-	-
13.36 - 13.38		0.02	argille	14.1	0.4-0.8	1.40	0.8	-	-
13.38 - 13.48		0.10	torbe	9.6	0.4-0.8	1.42	0.5	-	=
13.48 - 13.52		0.04	argille	14.7	0.4-0.8	1.42	0.8	*	=
13.52 - 13.56		0.04	torbe	13.0	0.4-0.8	1.42	0.7	=	5.
13.56 - 13.60		0.04	argille	13.4	0.4-0.8	1.42	0.7	=	8
13.60 - 13.70		0.10	limi argillosi e argille limose	16.4	0.8-1.1	1.44	0.9	7	5
13.70 - 13.72		0.02	limi e limi sabbiosi	19.4	0.8-1.1	1.44	1.1	<32	19
13.72 - 13.74		0.02	limi argillosi e argille limose	19.5	0.8-1.1	1.44	1.1	-	-
13.74 - 13.78		0.04	argille	13.2	0.4-0.8	1.44	0.7	-	
13.78 - 13.80		0.02	torbe	10.9	0.4-0.8	1.44	0.6	8	-
13.80 - 13.88		0.08	argille	14.0	0.4-0.8	1.45	0.8	8	-
13.88 - 13.90		0.02	torbe	10.3	0.4-0.8	1.45	0.5	5/	5
13.90 - 13.94		0.04	argille	13.3	0.4-0.8	1.45	0.7	El.	75
13.94 - 13.96		0.02	limi argillosi e argille limose	16.8	0.8-1.1	1.46	1.0	-	5
13.96 - 14.02	13.99	0.06	argille	16.1	0.4-0.8	1.46	0.9	20	25
14.02 - 14.58	14.30	0.56	torbe	11.8	0.4-0.8	1.53	0.6	2	2
14.58 - 14.66	14.62	0.08	argille	13.1	0.4-0.8	1.52	0.7	20	21
14.66 - 14.68	14.67	0.02	torbe	9.2	0.4-0.8	1.52	0.4	-	-
14.68 - 14.70	14.69	0.02	argille	14.7	0.4-0.8	1.52	0.8		-
14.70 - 14.76	14.73	0.06	limi e limi sabbiosi	25.4	0.8-1.1	1.53	1.5	<32	20
14.76 - 14.94	14.85	0.18	limi argillosi e argille limose	24.9	0.8-1.1	1.55	1.5	<u></u>	5
14.94 - 14.96	14.95	0.02	argille	19.8	0.4-0.8	1.55	1.1	-	8
14.96 - 15.12	15.04	0.16	torbe	12.1	0.4-0.8	1.57	0.6	2	©
15.12 - 15.22	15.17	0.10	argille	17.7	0.4-0.8	1.57	1.0	-	2
15.22 - 15.30	15.26	0.08	torbe	11.9	0.4-0.8	1.58	0.6	-	21
15.30 - 15.34	15.32	0.04	argille	16.1	0.4-0.8	1.58	0.9		
15.34 - 15.64	15.49	0.30	torbe	10.3	0.4-0.8	1.61	0.5	*	*
15.64 - 15.70	15.67	0.06	argille	12.4	0.4-0.8	1.61	0.6	5	-
15.70 - 15.72	15.71	0.02	limi argillosi e argille limose	13.2	0.8-1.1	1.61	0.7	51	
15.72 - 15.82	15.77	0.10	argille	11.2	0.4-0.8	1.62	0.6	-	8
15.82 - 15.88	15.85	0.06	limi argillosi e argille limose	12.6	0.8-1.1	1.62	0.7	27	23
15.88 - 16.12	16.00	0.24	argille	10.5	0.4-0.8	1.65	0.5	2	23
16.12 - 16.16	16.14	0.04	limi argillosi e argille limose	11.5	0.8-1.1	1.65	0.6	2	=
16.16 - 16.22	16.19	0.06	argille	8.5	0.4-0.8	1.65	0.4	-	81
16.22 - 16.24	16.23	0.02	limi argillosi e argille limose	8.4	0.8-1.1	1.65	0.4	-	-
16.24 - 16.28	16.26	0.04	argille	8.0	0.4-0.8	1.66	0.3	-1	-
16.28 - 16.54		0.26	limi argillosi e argille limose	9.3	0.8-1.1	1.70	0.4	-	-
16.54 - 16.62		0.08	argille	8.4	0.4-0.8	1.70	0.4		
16.62 - 16.64		0.02	torbe	7.8	0.4-0.8	1.69	0.3	27	2
16.64 - 16.70		0.06	argille	9.3	0.4-0.8	1.70	0.4	2	2
16.70 - 16.80		0.10	limi argillosi e argille limose	10.1	0.8-1.1	1.71	0.5	20	21
16.80 - 16.82		0.02	limi e limi sabbiosi	9.7	0.8-1.1	1.71	0.4	<32	14
16.82 - 16.90		0.02	limi argillosi e argille limose	8.6	0.8-1.1	1.71	0.4	-34	14
16.90 - 17.00		0.08	argille	7.9	0.4-0.8	1.73	0.4		
16.90 - 17.00 17.00 - 17.08		0.10	=======================================		0.4-0.8		10.000	T).	5
17.00 - 17.08	17.04	0.08	limi argillosi e argille limose	9.4	0.8-1.1	1.74	0.4	55	2

S160378_CPTU 3.xls - Interpretazioni - pag 3 di 4



Sede operativa ed amm.va: Via Annibale Zucchini, 69 - 44100 FERRARA

tel. 0532/56771; fax 0532/56119 e-mail: info@elletipi.it sito: www.elletipi.it

P IVA e Codice Fiscale n. 00174600387

Laboratorio Geolecnico autorizzato con Dec. n. 5572 del 07/10/2014, art. 59 del D.P.R. 380/2001, Circolari Ministeriali 7616/STC





COMMITTENTE: dott. geol. Alessandro Boni - Via Giulio Romano 54 - CAP 46035 Ostiglia (MN) CANTIERE: Piano Urbanistico di Iniziativa Privata - Loc. Cavazzona, Castelfranco Emilia (MO)

CPTU Nº:	SCPTU 2	PROF. FALDA (m da p.c.):	3.00	PUNTA:	Tecnopenta G1-	CPL2IN (matr. 111010)[a = 0.66]
DATA:	08/09/16	PREFORO (m da p.c.):	0.02	LAT. (WGS 84):	44.568857°	LONG. (WGS 84): 11.119805°
commessa	13030/14			OPERATORE:	L. Zanirato	

Prof.	. (m)	Prof. media	Pot. strato	Litologia	q _c media	γ'	σ' _{v0}	C _u media	Φ' (1)	Φ (2)
da		a	(m)	(m)		(kg/cm ²)	(t/m³)	(kg/cm²)	(kg/cm ²)	(gradi)	(gradi)
17.08 -		17.10	17.09	0.02	argille	9.4	0.4-0.8	1.74	0.4	<u> </u>	9
17.10 -	_	17.12	17.11	0.02	limi argillosi e argille limose	11.1	0.8-1.1	1.74	0.5	27	2
17.12 -		17.16	17.14	0.04	argille	10.2	0.4-0.8	1.75	0.5	4	21
17.16 -	4	17.26	17.21	0.10	torbe	7.4	0.4-0.8	1.76	0.3	-	- 1
17.26		17.30	17.28	0.04	argille	8.1	0.4-0.8	1.76	0.3	-	
17.30 -	-	17.36	17.33	0.06	torbe	7.5	0.4-0.8	1.76	0.3	5	5
17.36 -		17.48	17.42	0.12	argille	9.4	0.4-0.8	1.78	0.4	EL .	8
17.48 -	-	17.54	17.51	0.06	limi argillosi e argille limose	13.2	0.8-1.1	1.78	0.7	7	8
17.54		17.66	17.60	0.12	limi e limi sabbiosi	18.7	0.8-1.1	1.80	1.0	<32	17
17.66 -	_	17.72	17.69	0.06	limi argillosi e argille limose	14.0	0.8-1.1	1.80	0.7	2	2
17.72 -	-	17.88	17.80	0.16	argille	11.9	0.4-0.8	1.82	0.6	43	4
17.88 -	-	17.94	17.91	0.06	limi argillosi e argille limose	17.3	0.8-1.1	1.82	0.9	-	-
17.94	-	17.96	17.95	0.02	argille	14.2	0.4-0.8	1.82	0.7	-	-
17.96 -	-	18.04	18.00	0.08	torbe	9.3	0.4-0.8	1.83	0.4	=	5
18.04 -	-	18.08	18.06	0.04	argille	10.7	0.4-0.8	1.83	0.5	-	
18.08 -	-	18.10	18.09	0.02	limi argillosi e argille limose	13.2	0.8-1.1	1.83	0.7		8
18.10 -	-	18.12	18.11	0.02	argille	11.5	0.4-0.8	1.83	0.5	2)	9
18.12 -	_	18.14	18.13	0.02	limi argillosi e argille limose	15.8	0.8-1.1	1.84	0.8	2)	20
18.14 -	-	18.18	18.16	0.04	limi e limi sabbiosi	15.0	0.8-1.1	1.84	0.8	<32	16
18.18 -	-	18.22	18.20	0.04	limi argillosi e argille limose	10.8	0.8-1.1	1.85	0.5	=	-
18.22 -	-	18.26	18.24	0.04	limi e limi sabbiosi	10.5	0.8-1.1	1.85	0.5	<32	14
18.26 -	-	18.32	18.29	0.06	limi argillosi e argille limose	9.8	0.8-1.1	1.86	0.4	5	8
18.32 -	•	18.34	18.33	0.02	argille	10.4	0.4-0.8	1.86	0.5		
18.34 -	-	18.40	18.37	0.06	torbe	8.1	0.4-0.8	1.87	0.3	-	-
18.40 -	-	18.42	18.41	0.02	argille	10.8	0.4-0.8	1.87	0.5	27	9
18.42 -		18.44	18.43	0.02	limi e limi sabbiosi	25.0	0.8-1.1	1.87	1.4	<32	19
18.44 -	-	18.80	18.62	0.36	sabbie	200.1	0.8-1.1	1.92		33	30

S160378_CPTU 3.xls - Interpretazioni - pag 4 di 4

INTERPRETAZIONE STRATIGRAFICA PROVA CPTU3



elletipi s.r.l.

Sede operativa ed amm.va: Via Annibale Zucchini, 69 - 44100 FERRARA tel. 0532/56771; fax 0532/56119 e-mail: info@elletipi.it sito: www.elletipi.it P IVA e Codice Fiscale n. 00174600387





COMMITTENTE: dott. geol. Alessandro Boni - Via Giulio Romano 54 - CAP 46035 Ostiglia (MN)
CANTIERE: Piano Urbanistico di Iniziativa Privata - Loc. Cavazzona, Castelfranco Emilia (MO)

rio Geotecnico autorizzato con Dec. n. 6572 del 07/10/2014, art. 59 del D.P.R. 380/2001, Circolari Ministeriali 7618/STC

COMMESSA: 13030/14												
Pro	of. (1	m)	Prof. media	Pot. strato	Litologia	q _c media	y'	σ' _{ν0}	C _u media	Φ' (1)	Φ (2)	
da		a	(m)	(m)		(kg/cm ²)	(t/m ³)	(kg/cm²)	(kg/cm²)	(gradi)	(gradi)	
0.00	25	0.14	0.07	0.14	sabbie limose	19.22153	1.3-1.8	0.03	9	>45	46	
0.14	23	0.24	0.19	0.10	limi e limi sabbiosi	15.4	1.3-1.8	0.04	1.0	42	39	
0.24	-	0.26	0.25	0.02	sabbie limose	18.3	1.3-1.8	0.05	21	43	38	
0.26	*3	0.34	0.30	0.08	limi e limi sabbiosi	16.1	1.3-1.8	0.06	1.1	41	37	
0.34	-	0.42	0.38	0.08	sabbie limose	22.5	1.3-1.8	0.08	-	42	37	
0.42	5	0.60	0.51	0.18	limi e limi sabbiosi	31.5	1.3-1.8	0.11	2.1	42	37	
0.60	73	0.82	0.71	0.22	limi argillosi e argille limose	38.5	1.3-1.8	0.15	2.6	-		
0.82	23	0.94	0.88	0.12	limi e limi sabbiosi	39.6	1.3-1.8	0.17	2.6	41	36	
0.94	25	1.08	1.01	0.14	sabbie limose	42.5	1.3-1.8	0.19	9	40	35	
1.08	23	1.20	1.14	0.12	limi e limi sabbiosi	41.7	1.3-1.8	0.22	2.8	40	34	
1.20	-	1.38	1.29	0.18	limi argillosi e argille limose	53.5	1.3-1.8	0.25	3.6		E 2	
1.38	-	1.68	1.53	0.30	limi e limi sabbiosi	61.1	1.3-1.8	0.30	4.1	40	35	
1.68	3	1.72	1.70	0.04	limi argillosi e argille limose	47.9	1.3-1.8	0.31	3.2	=(Ħ	
1.72	3	1.88	1.80	0.16	torbe	32.5	0.7-1.3	0.33	2.1	57	5)	
1.88	8	1.96	1.92	0.08	argille	29.4	0.7-1.3	0.34	1.9	=	5	
1.96	13	1.98	1.97	0.02	torbe	25.5	0.7-1.3	0.34	1.7	=	5	
1.98	2	2.04	2.01	0.06	argille	27.4	0.7-1.3	0.35	1.8	=	-	
2.04	2	2.10	2.07	0.06	limi argillosi e argille limose	35.6	1.3-1.8	0.36	2.3	-	-	
2.10	-	2.20	2.15	0.10	limi e limi sabbiosi	45.2	1.3-1.8	0.38	3.0	37	31	
2.20	-	2.28	2.24	0.08	limi argillosi e argille limose	42.0	1.3-1.8	0.39	2.8	-		
2.28	*	2.30	2.29	0.02	argille	35.7	0.7-1.3	0.40	2.4	-		
2.30	=	2.42	2.36	0.12	torbe	23.2	0.7-1.3	0.41	1.5	5/	5	
2.42	70	2.62	2.52	0.20	argille	17.4	0.7-1.3	0.44	1.1		8	
2.62	8	2.84	2.73	0.22	limi argillosi e argille limose	30.2	1.3-1.8	0.48	2.0	5	5	
2.84	23	2.90	2.87	0.06	argille	30.4	0.7-1.3	0.49	2.0	-		
2.90	28	2.98	2.94	0.08	torbe	26.7	0.7-1.3	0.50	1.7	-	-	
2.98	2	3.00	2.99	0.02	argille	24.2	0.7-1.3	0.50	1.6	-	-	
3.00	*	3.62	3.31	0.62	torbe	18.2	0.7-1.3	0.58	1.2	-		
3.62	2	3.68	3.65	0.06	argille	13.5	0.7-1.3	0.59	0.9			
3.68	53	3.70	3.69	0.02	torbe	12.5	0.7-1.3	0.59	0.8	5	5	
3.70	20	4.00	3.85	0.30	argille	11.7	0.7-1.3	0.63	0.7		-	
4.00	8	4.12	4.06	0.12	torbe	10.0	0.7-1.3	0.64	0.6	5	8	
4.12	-	4.14	4.13	0.02	argille	9.6	0.7-1.3	0.65	0.6			
4.14	20	4.24	4.19	0.10	torbe	9.5	0.7-1.3	0.66	0.6	-	-	
4.24	-	4.32	4.28	0.08	argille	9.1	0.7-1.3	0.67	0.6		-	
4.32	-	4.34	4.33	0.02	limi argillosi e argille limose	9.4	1.3-1.8	0.67	0.6	-		
4.34	*	4.42	4.38	0.08	argille	7.9	0.7-1.3	0.68	0.5	*	*	
4.42	5	4.46	4.44	0.04	limi argillosi e argille limose	8.9	1.3-1.8	0.69	0.5	-	5	
4.46	2	4.52	4.49	0.06	argille	8.7	0.4-0.8	0.70	0.5	8	5	
4.52	5	4.54	4.53	0.02	limi argillosi e argille limose	8.9	0.8-1.1	0.70	0.5	5	5	
4.54	2	4.60	4.57	0.06	argille	8.6	0.4-0.8	0.71	0.5	-	-	
4.60		4.84	4.72	0.24	limi argillosi e argille limose	11.4	0.8-1.1	0.75	0.7	-	-	
4.84	- 51	5.18	5.01	0.34	argille	10.1	0.4-0.8	0.78	0.6		-	
5.18	8	5.26	5.22	0.08	limi argillosi e argille limose	12.5	0.8-1.1	0.78	0.8			
5.26	5	5.76	5.51	0.50	argille	10.8	0.4-0.8	0.84	0.7	8	-	
5.76	=	5.82	5.79	0.06	torbe	10.8	0.4-0.8	0.82	0.7	5	5	
5.82	8	5.86	5.84	0.04	argille	10.6	0.4-0.8	0.82	0.6	5.	5	
5.86	8	6.00	5.93	0.14	torbe	7.8	0.4-0.8	0.84	0.5	5		
6.00	27	6.12	6.06	0.12	argille	8.7	0.4-0.8	0.85	0.5	-	-	
6.12	20	6.24	6.18	0.12	limi argillosi e argille limose	11.6	0.8-1.1	0.86	0.7	=	-	
6.24	22	6.88	6.56	0.64	argille	10.5	0.4-0.8	0.94	0.6	-2	-	
6.88	8	7.16	7.02	0.28	torbe	8.7	0.4-0.8	0.94	0.5	*)	-	
7.16	*	7.32	7.24	0.16	argille	8.0	0.4-0.8	0.95	0.5			
7.32	53	7.38	7.35	0.06	limi argillosi e argille limose	9.0	0.8-1.1	0.95	0.5	70	5	
7.38	8	7.52	7.45	0.14	argille	9.3	0.4-0.8	0.97	0.5	8	8	

S160378_CPTU 3.xls - Interpretazioni - pag 1 di 4



Sede operativa ed amm.va: Via Annibale Zucchini, 69 - 44100 FERRARA

tel. 0532/56771; fax 0532/56119 e-mail: info@elletipi.it sito: www.elletipi.it

P IVA e Codice Fiscale n. 00174600387

Laboratorio Geolecnico autorizzato con Dec. n. 5572 del 07/10/2014, art. 59 del D.P.R. 380/2001, Circolari Ministeriali 7616/STC





COMMITTENTE: dott. geol. Alessandro Boni - Via Giulio Romano 54 - CAP 46035 Ostiglia (MN)

CANTIERE: Piano Urbanistico di Iniziativa Privata - Loc. Cavazzona, Castelfranco Emilia (MO)

 PROVA N°:
 CPTU 3
 PROF. FALDA (m da p.c.):
 4.50
 PUNTA: Tecnopenta G1-CPL2IN (matr. 121114)[a = 0.66]

 DATA:
 08/09/16
 PREFORO (m da p.c.):
 0.00
 LAT. (WGS 84):
 44.569084°
 LONG. (WGS 84):
 11.124734°

 COMMESSA:
 13030/14
 OPERATORE:
 L. Zanirato

Prof. (i da	m) a	Prof. media (m)	Pot. strato (m)	Litologia	q _c media (kg/cm²)	γ' (t/m³)	σ' _{v0} (kg/cm²)	C _u media (kg/cm²)	Φ' (1) (gradi)	Φ (2) (gradi)
		Part and								
7.52 -	7.62	7.57	0.10	limi argillosi e argille limose	11.0	0.8-1.1	0.98	0.7	-	-
7.62 -	7.72	7.67	0.10	argille	10.4	0.4-0.8	0.99	0.6	-	-
7.72 -	7.78	7.75	0.06	limi argillosi e argille limose	11.0	0.8-1.1	0.99	0.6		-
7.78 -	7.86	7.82	0.08	argille	8.0	0.4-0.8	1.00	0.4	-	
7.86 -	7.92	7.89	0.06	limi argillosi e argille limose	9.4	0.8-1.1	1.00	0.5	-	-
7.92 -	8.00	7.96	0.08	limi e limi sabbiosi	13.5	0.8-1.1	1.01	0.8	<32	20
8.00 -	8.12	8.06	0.12	limi argillosi e argille limose	13.2	0.8-1.1	1.03	0.8	=1	ň.
8.12 -	8.26	8.19	0.14	argille	9.6	0.4-0.8	1.04	0.5	5	5
8.26 -	8.34	8.30	0.08	limi argillosi e argille limose	8.9	0.8-1.1	1.05	0.5	27	9
8.34 -	8.60	8.47	0.26	argille	7.3	0.4-0.8	1.08	0.4	2	-
8.60 -	8.80	8.70	0.20	limi argillosi e argille limose	9.3	0.8-1.1	1.10	0.5	20	=
8.80 -	9.04	8.92	0.24	argille	11.8	0.4-0.8	1.12	0.7	-	=
9.04 -	9.08	9.06	0.04	torbe	12.5	0.4-0.8	1.11	0.7	=:	Ħ
9.08 -	9.10	9.09	0.02	argille	13.0	0.4-0.8	1.11	0.8	5	8
9.10 -	9.12	9.11	0.02	torbe	12.8	0.4-0.8	1.12	0.8	=	5
9.12 -	9.20	9.16	0.08	argille	12.4	0.4-0.8	1.12	0.7	-	8
9.20 -	9.32	9.26	0.12	torbe	11.8	0.4-0.8	1.14	0.7	27	9
9.32 -	9.34	9.33	0.02	argille	12.0	0.4-0.8	1.13	0.7	2	2)
9.34 -	9.52	9.43	0.18	torbe	12.8	0.4-0.8	1.16	0.7	23	20
9.52 -	9.68	9.60	0.16	argille	15.9	0.4-0.8	1.17	1.0	-	=
9.68 -	10.12	9.90	0.44	torbe	16.3	0.4-0.8	1.22	1.0	-	-
10.12 -	10.26	10.19	0.14	argille	18.4	0.4-0.8	1.21	1.1	5	8
10.26 -	10.70	10.48	0.44	torbe	18.1	0.4-0.8	1.27	1.1	-	5
10.70 -	10.96	10.83	0.26	argille	15.6	0.4-0.8	1.28	0.9	-	8
10.96 -	11.06	11.01	0.10	limi argillosi e argille limose	13.6	0.8-1.1	1.28	0.8	20	9
11.06 -	11.10	11.08	0.04	argille	12.0	0.4-0.8	1.28	0.7	27	2
11.10 -	11.46	11.28	0.36	limi argillosi e argille limose	10.4	0.8-1.1	1.34	0.6	2	2
11.46 -	11.68	11.57	0.22	limi e limi sabbiosi	12.8	0.8-1.1	1.36	0.7	<32	18
11.68 -	11.72	11.70	0.04	limi argillosi e argille limose	13.1	0.8-1.1	1.35	0.7	-	-
11.72 -	11.80	11.76	0.08	argille	9.9	0.4-0.8	1.36	0.5	5	-
11.80 -	11.92	11.86	0.12	limi argillosi e argille limose	9.2	0.8-1.1	1.37	0.5	-	-
11.92 -	12.18	12.05	0.26	limi e limi sabbiosi	20.4	0.8-1.1	1.41	1.2	<32	20
12.18 -	12.36	12.27	0.18	limi argillosi e argille limose	30.1	0.8-1.1	1.43	1.9	29	0
12.36 -	12.46	12.41	0.10	torbe	16.5	0.4-0.8	1.43	1.0		2
12.46 -	12.50	12.48	0.04	argille	13.7	0.4-0.8	1.43	0.8	2	2
12.50 -	12.66	12.58	0.16	limi argillosi e argille limose	18.7	0.8-1.1	1.46	1.1		-
12.66 -	12.68	12.67	0.02	argille	14.5	0.4-0.8	1.45	0.8	-	-
	12.72	12.70	0.04	torbe	10.8	0.4-0.8	1.45	0.6	-	
	12.98	12.85	0.26	argille	8.1	0.4-0.8	1.49	0.4	-	-
12.98 -	13.12	13.05	0.14	limi argillosi e argille limose	7.0	0.8-1.1	1.50	0.3	2	
	13.16	13.14	0.04	argille	7.0	0.4-0.8	1.49	0.3	29	2
13.16 -	13.24	13.20	0.08	limi argillosi e argille limose	7.6	0.8-1.1	1.51	0.3	2	2
13.24 -	13.38	13.31	0.14	argille	6.7	0.4-0.8	1.52	0.3	2	
13.38 -	13.60	13.49	0.22	limi argillosi e argille limose	8.8	0.8-1.1	1.55	0.4	2	
13.60 -	13.66	13.63	0.06	argille	9.3	0.4-0.8	1.55	0.5	_	
13.66 -	13.70	13.68	0.04	limi argillosi e argille limose	9.9	0.4-0.8	1.55	0.5	-	
13.70 -	14.06	13.88	0.36	argille	10.2	0.4-0.8	1.59	0.5	74	5
										8
	14.08	14.07	0.02	limi argillosi e argille limose	12.6	0.8-1.1	1.58	0.7	5	D. 20
12.130.00	14.48	14.28	0.40	argille	11.4	0.4-0.8	1.63	0.6	-	-
10/2000	14.58	14.53	0.10	limi argillosi e argille limose	10.9	0.8-1.1	1.63	0.5		=
14.58 -	14.66	14.62	0.08	argille	8.9	0.4-0.8	1.63	0.4	-	-
	14.72	14.69	0.06	torbe	6.7	0.4-0.8	1.64	0.3	-	Ψ.
	14.78	14.75	0.06	argille	6.3	0.4-0.8	1.64	0.2	8	8
	14.98	14.88	0.20	limi argillosi e argille limose	6.4	0.8-1.1	1.67	0.2	73	5
14.98 -	15.06	15.02	0.08	limi e limi sabbiosi	12.1	0.8-1.1	1.67	0.6	<32	16

S160378_CPTU 3.xls - Interpretazioni - pag 2 di 4



Sede operativa ed amm.va: Via Annibale Zucchini, 69 - 44100 FERRARA

tel. 0532/56771; fax 0532/56119 e-mail: info@elletipi.it sito: www.elletipi.it

P IVA e Codice Fiscale n. 00174600387

Laboratorio Geolecnico autorizzato con Dec. n. 5572 del 07/10/2014, art. 59 del D.P.R. 380/2001, Circolari Ministeriali 7616/STC





COMMITTENTE: dott. geol. Alessandro Boni - Via Giulio Romano 54 - CAP 46035 Ostiglia (MN)
CANTIERE: Piano Urbanistico di Iniziativa Privata - Loc. Cavazzona, Castelfranco Emilia (MO)

Prof. (m) da a	Prof. media (m)	Pot. strato (m)	Litologia	q _c media (kg/cm²)	γ' (t/m³)	σ' _{ν0} (kg/cm²)	C _u media (kg/cm²)	Φ' (1) (gradi)	Φ (2) (gradi)
15.06 - 15.08	15.07	0.02	limi argillosi e argille limose	9.5	0.8-1.1	1.67	0.5	2	9
15.08 - 15.10	15.09	0.02	argille	8.4	0.4-0.8	1.68	0.4	9	2
15.10 - 15.12	15.11	0.02	limi argillosi e argille limose	11.2	0.8-1.1	1.68	0.6		20
15.12 - 15.16	15.14	0.04	limi e limi sabbiosi	14.8	0.8-1.1	1.68	0.8	<32	17
15.16 - 15.18	15.17	0.02	limi argillosi e argille limose	11.3	0.8-1.1	1.68	0.6	-	
15.18 - 15.20	15.19	0.02	argille	8.9	0.4-0.8	1.69	0.4		
15.20 - 15.68	15.44	0.48	limi argillosi e argille limose	9.4	0.8-1.1	1.76	0.4	-	-
15.68 - 15.76	15.72	0.08	argille	10.4	0.4-0.8	1.75	0.5	-	-
15.76 - 15.84	15.80	0.08	torbe	8.0	0.4-0.8	1.76	0.3	2	25
15.84 - 15.86	15.85	0.02	argille	7.5	0.4-0.8	1.75	0.3	23	
15.86 - 15.96	15.91	0.10	limi argillosi e argille limose	9.0	0.8-1.1	1.77	0.4	23	2
15.96 - 15.98	15.97	0.02	argille	8.4	0.4-0.8	1.77	0.4	=	
15.98 - 16.08	16.03	0.10	limi argillosi e argille limose	8.6	0.8-1.1	1.78	0.4	=	=
16.08 - 16.12	16.10	0.04	argille	7.9	0.4-0.8	1.78	0.3	_	_
16.12 - 16.36	16.24	0.24	limi argillosi e argille limose	9.7	0.8-1.1	1.82	0.4	-	_
16.36 - 16.44	16.40	0.08	argille	11.2	0.4-0.8	1.82	0.5	2	2
16.44 - 16.46	16.45	0.02	limi argillosi e argille limose	12.1	0.8-1.1	1.82	0.6	25	
16.46 - 16.48	16.47	0.02	argille	12.2	0.4-0.8	1.82	0.6	13	10
16.48 - 16.52	16.50	0.04	limi argillosi e argille limose	12.1	0.8-1.1	1.82	0.6		
16.52 - 17.18	16.85	0.66	argille	12.1	0.4-0.8	1.91	0.6	20	-
17.18 - 17.24	17.21	0.06	limi argillosi e argille limose	16.5	0.4-0.8	1.89	0.9		-
17.18 - 17.24	17.21	0.06	argille	17.6	0.4-0.8	1.89	1.0	-	-
17.24 - 17.30	17.41	0.06	torbe	13.2	0.4-0.8	1.92	0.7	5	8
	17.41		1000000	12.5			150000	5.	
	17.56	0.08	argille		0.4-0.8	1.92	0.6	5	5
			limi argillosi e argille limose	13.6	0.8-1.1		0.7	-	
17.62 - 17.80 17.80 - 17.96	17.71	0.18	argille	13.9	0.4-0.8	1.94	0.7	-	-
17.00 17.50	17.88	0.16	torbe	12.6	0.4-0.8	1.95	0.6	-	-
17.96 - 18.08	18.02	0.12	argille	14.3	0.4-0.8	1.96	0.7	-	-
18.08 - 18.16	18.12	0.08	limi argillosi e argille limose	14.6	0.8-1.1	1.97	0.8		-
18.16 - 18.28	18.22	0.12	argille	13.9	0.4-0.8	1.98	0.7	5	5
18.28 - 18.42	18.35	0.14	torbe	11.1	0.4-0.8	1.99	0.5	5	-
18.42 - 18.44	18.43	0.02	argille	12.9	0.4-0.8	1.99	0.6	-	-
18.44 - 18.54	18.49	0.10	limi argillosi e argille limose	13.8	0.8-1.1	2.00	0.7		
18.54 - 18.60	18.57	0.06	argille	11.9	0.4-0.8	2.00	0.6	-	-
18.60 - 18.64	18.62	0.04	torbe	11.1	0.4-0.8	2.01	0.5	2	
18.64 - 19.04	18.84	0.40	argille	11.6	0.4-0.8	2.06	0.5	*	-
19.04 - 19.10	19.07	0.06	limi argillosi e argille limose	13.7	0.8-1.1	2.05	0.7	*	*
19.10 - 19.38	19.24	0.28	argille	12.0	0.4-0.8	2.08	0.6	5	5
19.38 - 19.44	19.41	0.06	limi argillosi e argille limose	11.8	0.8-1.1	2.08	0.6	53	5
19.44 - 19.60	19.52	0.16	argille	10.0	0.4-0.8	2.09	0.4	7.	8
19.60 - 19.62	19.61	0.02	limi argillosi e argille limose	9.2	0.8-1.1	2.09	0.4	20	2
19.62 - 19.66	19.64	0.04	argille	8.7	0.4-0.8	2.09	0.3	-	2
19.66 - 19.72	19.69	0.06	limi argillosi e argille limose	8.4	0.8-1.1	2.10	0.3	2	-
19.72 - 19.74	19.73	0.02	argille	8.1	0.4-0.8	2.10	0.3	8)	~
19.74 - 19.86	19.80	0.12	limi argillosi e argille limose	9.1	0.8-1.1	2.12	0.4	8	-
19.86 - 19.88	19.87	0.02	limi e limi sabbiosi	10.4	0.8-1.1	2.12	0.5	<32	14
19.88 - 20.42	20.15	0.54	limi argillosi e argille limose	10.4	0.8-1.1	2.20	0.4	55	5
20.42 - 20.60	20.51	0.18	argille	10.0	0.4-0.8	2.20	0.4	-	9
20.60 - 20.90	20.75	0.30	limi argillosi e argille limose	11.8	0.8-1.1	2.24	0.5	27	2
20.90 - 21.04	20.97	0.14	argille	9.7	0.4-0.8	2.24	0.4	2	2
21.04 - 21.10	21.07	0.06	limi argillosi e argille limose	9.3	0.8-1.1	2.25	0.4	20	2
21.10 - 21.18	21.14	0.08	limi e limi sabbiosi	10.7	0.8-1.1	2.26	0.5	<32	13
21.18 - 21.38	21.28	0.20	limi argillosi e argille limose	11.0	0.8-1.1	2.28	0.5	-	8
21.38 - 21.42	21.40	0.04	sabbie limose	39.8	0.8-1.1	2.28	8	<32	21
21.42 - 21.44	21.43	0.02	sabble	74.5	0.8-1.1	2.28		<32	24

S160378_CPTU 3.xls - Interpretazioni - pag 3 di 4



Sede operativa ed amm.va: Via Annibale Zucchini, 69 - 44100 FERRARA tel. 0532/56771; fax 0532/56119 e-mail: info@elletipi.it sito: www.elletipi.it P IVA e Codice Fiscale n. 00174600387





COMMITTENTE:	dott. geol. Alessandro Boni - Via Giulio Romano 54 - CAP 46035 Ostiglia (MN)
CANTIERE:	Piano Urbanistico di Iniziativa Privata - Loc. Cavazzona, Castelfranco Emilia (MO)

PROVA Nº:	CPTU 3	PROF. FALDA (m da p.c.):	4.50	PUNTA:	Tecnopenta G1	-CPL2IN (matr. 12111	4)[a = 0.66]
DATA:	08/09/16	PREFORO (m da p.c.):	0.00	LAT. (WGS 84):	44.569084°	LONG. (WGS 84):	11.124734°
COMMESSA:	13030/14			OPERATORE:	L. Zanirato		

001111200711						o, Eratione.								
Pro	of. ((m)	Prof. media	Pot. strato	Litologia	\mathbf{q}_{c} media	γ*	σ'v0	C _u media	Φ' (1)	Φ (2)			
da		a	(m)	(m)		(kg/cm²)	(t/m³)	(kg/cm²)	(kg/cm²)	(gradi)	(gradi)			
21.44	3	21.46	21.45	0.02	sabbie limose	75.3	0.8-1.1	2.28	9	<32	24			
21.46	2	22.00	21.73	0.54	sabbie	179.5	0.8-1.1	2.37	2.0	32	29			

S160378_CPTU 3.xls - Interpretazioni - pag 4 di 4

Nei diagrammi d'interpretazione litologica allegati alle pagine successive, vengono riportati, con passo 20 cm, i valori e le successioni stratigrafiche dedotte dai dati strumentali di campagna.

41

PROVA SCPTU1 (lettura dati ogni 20 cm)

Studio di Geologia e Geotecnica di Dott. Geol. Alessandro Boni Via Giulio Romano n.54 - Ostiglia (MN) Tel e Fax 0386.31727 - Cell 335.8470747

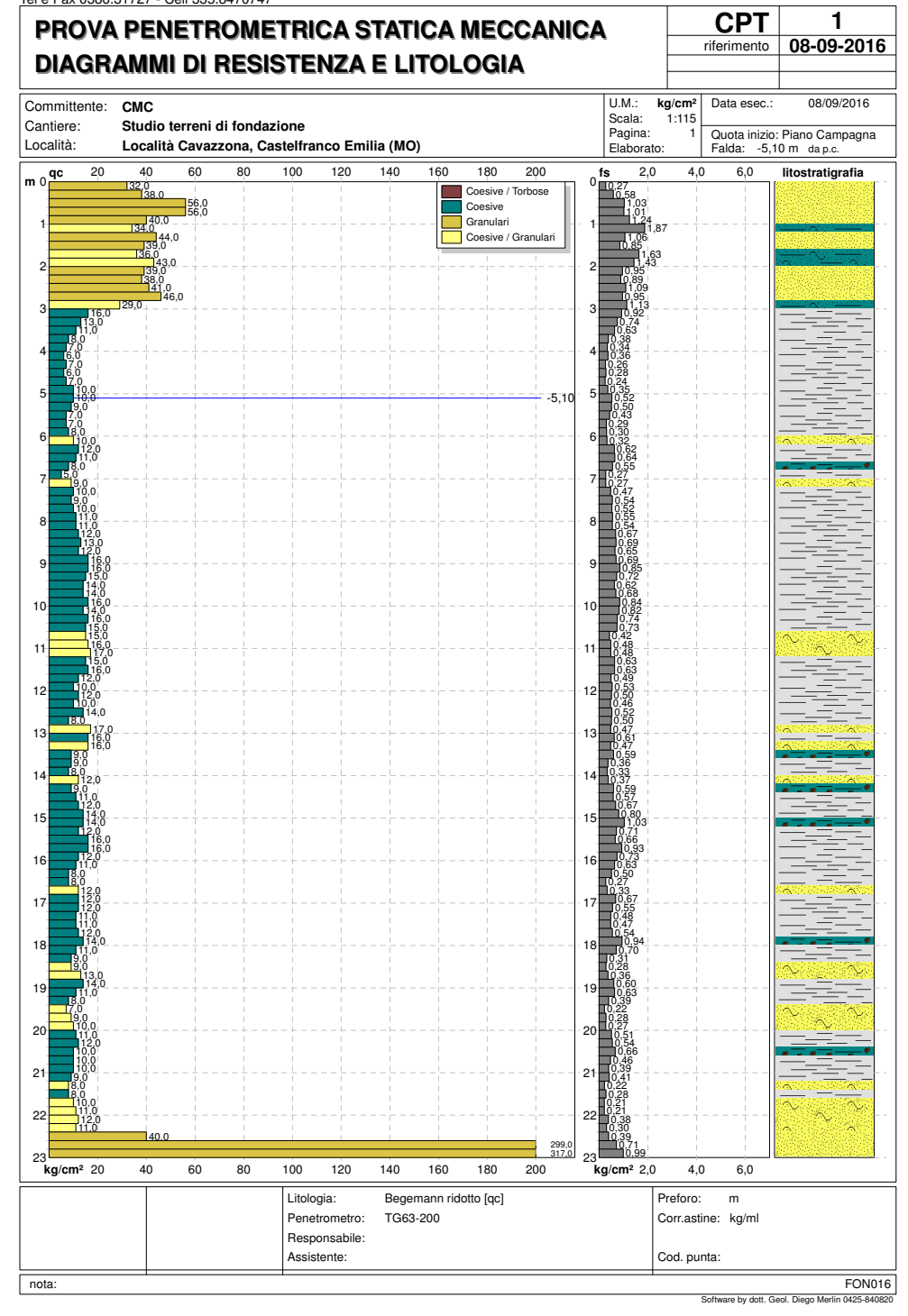
Committe Cantiere: .ocalità:	nte:	CMC Studio ter Località C				ilia (MC	D)				U.M.: I Pagina: Elaborato	kg/cm²	Data e		08/09/2 m dap.c.	016
H	L1	L2	Lt	qc kg/cm²	fs kg/cm²	F	Rf %	H	L1	L2	Lt		qc g/cm²	fs kg/om/	F	Rf %
0,20	32,0	36,0		32,0	0,27	119	0.8	15,20	14,0	29,	0 -		14,0	kg/cm ² 1,03	14	7.
0,40	38,0 56.0	47,0 72.0		38,0 56.0	0,58 1,03	66 54	1,5	15,40	12,0 16.0	22, 26.			12,0 16.0	0,71	17	5,
0,60 0,80	56,0	72,0 71,0		56,0	1,03	54 55	1,8 1,8	15,60 15,80	16,0	30,			16,0	0,66	24 17	4, 5,
1,00	40,0	58,0		40,0	1,24	32	3,1	16,00	12,0	23,	0		12,0	0,73	16	6
1,20 1.40	34,0 44.0	62,0 60.0		34,0 44,0	1,87 1,06	18 42	5,5 2,4	16,20 16,40	11,0 8,0	21, 16,			11,0 8.0	0,63 0,50		5 6
1.60	39,0	52,0		39,0	0,85	46	2,2 4,5	16,60	8,0	12,	0		8,0	0,27	16 30	3
1,80 2,00	36,0 43,0	60,0 64,0		36,0 43,0	1,63	22 30	4,5 3,3	16,80 17,00	12,0 12,0	17,	0		12,0 12.0	0,33 0,67	36 18_	5
2,20	39.0	53,0		39.0	1,43 0,95	41	2,4	17,00	12,0	22, 20,	0		12,0	0,55	22	4
2,40	38,0	51,0		38,0	0,89	43	2,3	17,40	11,0	18,	0		11,0	0,48	23	4.
2,60 2.80	41,0 46.0	57,0 60.0		41,0 46.0	1,09 0,95	38 48	2,7 2.1	17,60 17.80	11,0 12.0	18, 20,			11,0 12.0	0,47 0.54	22 23 23 22 15_	4
3,00	29,0	46,0		29,0	1,13	26	3,9	18,00	14,0	29,	0		14,0	0,94	15_	6
3,20 3,40	16,0 13,0	30,0 25,0		16,0 13,0	0,92 0,74	17 18	5,8 5,7	18,20 18,40	11,0 9,0	21, 14,	U N		11,0 9,0	0,70 0,31	16 29	6 3
3,60	11,0	20,0		11,0	0,63	17	5,7	18,60	9,0	13,	0		9,0	0,28	32	3
3,80	8,0	14,0		8,0	0,38	21	4,8	18,80	13,0	18,	0		13,0 14,0	0,36	36	2
4, 00 4,20	7,0 6,0	12,0 12,0		7,0 6,0	0,34 0,36	21_ 17	4,9 6,0	1 9,00 19,20	14,0 11,0	23, 20,	0		11,0	0,60	23_	4 5
4,40	7,0	10,0		7,0	0,26	27	3,7	19,40	8,0	13,	0		8,0	0,39	21	4
4,60 4,80	6,0 7,0	10,0 11.0		6,0 7,0	0,28 0,24	21 29	4,7 3,4	19,60 19,80	7,0 9,0	11, 13,			7,0 9,0	0,22 0,28	32 32	3
5,00	10,0	15,0		10,0	0.35	29_	3.5	20,00	10,0	14,	0		10,0	0.27	32 37	2
5,20 5,40	10,0 9,0	18,0 17,0		10,0 9,0	0,52 0,50	19 18	5,2 5,6	20,20 20,40	11,0 12,0	18, 21,	D n		11,0 12,0	0,51 0,54	22 22	4
5,60	7.0	14,0		7,0	0,43	16	6,1	20,60	10,0	20,	0		10,0	0,66	15	6
5,80 6.00	7,0 8,0	12,0		7,0 8,0	0,29 0,30	24 27_	4,1 3,8	20,80	10,0 10,0	17, 16,	0		10,0 10,0	0,46	22 26	4 3
6,20	10,0	12,0 15,0		10,0	0,32	31	3,2	21,00 21,20	9,0	16,	0		9,0	0,39	22	3 4
6,40	12,0	21,0		12,0	0,62	19	5.2	21.40	8,0	12.	0		8,0	0,22	36	2
6,60 6,80	11,0 8,0	21,0 16.0		11,0 8,0	0,64 0,55	17 15	5,8 6,9	21,60 21,80	8,0 10,0	12, 14,	D D		8,0 10,0	0,28	29 48	3
7,00	5.0	9,0		5,0	0.27	19_	5.4	22,00	11.0	14,	0		11,0	0,21	52	1.
7,20 7,40	9,0	13,0 17,0		9,0 10,0	0,27 0,47	33 21	3,0 4,7	22,20 22,40	12,0 11,0	17, 15,	D n		12,0 11.0	0,38	32 37	3
7,60	9,0	17,0		9,0	0.54	17	6,0	22,60	40,0	46,	0		40,0	0.39	103	1.
7,80 8,00	10,0 11,0	18,0 19.0		10,0 11,0	0,52 0,55	19 20	5,2 5,0	22,80 23,00	299,0 317,0	309, 332,	0	2	99,0 17,0	0,71 0,99	421 320	0
8,20	11,0	19,0		11,0	0,54	20	4,9	23,00	317,0	JJZ,	0		17,0	0,33	520_	0
8,40	12,0	22,0		12,0	0,67	18	5,6									
8,60 8,80	13,0 12.0	23,0 21,0		13,0 12.0	0,69 0,65	19 18	5,3 5,4									
9,00	16,0	27.0		16,0	0,69	23	4,3									
9,20 9,40	16,0 15,0	29,0 26,0		16,0 15.0	0,85 0.72	19 21	5,3 4.8									
9,60	14,0	23,0		14,0	0,62	23	4,4									
9,80 10,00	14,0 16,0	24,0 29.0		14,0 16,0	0,68 0,84	21	4,9 5,3									
10,20	14,0	26,0		14,0	0,82	19 17	5,9									
10,40 10.60	16,0 15.0	27,0 26,0		16,0 15.0	0,74 0,73	22 21	4,6 4.9									
10,80	15,0	21,0		15,0	0,42	36	2,8									
11,00	16,0	24,0		16,0	0,48	33_	3,0									
11,20 11,40	17,0 15,0	24,0 25,0		17,0 15,0	0,48 0,63	35 24	2,8 4,2									
11,60	16,0	26,0		16,0	0,63	25	3,9									
11,80 12,00	12,0 10,0	20,0 18,0		12,0 10,0	0,49 0,53	24 19_	4,1 5,3									
12,20	12,0	19,0		12,0	0,50	24	4,2									
12,40 12,60	10,0 14,0	17,0 21,0		10,0 14,0	0,46 0,52	22 27	4,6 3,7									
12,80	8,0	16,0		8,0	0,50	16	6,3									
13,00 13,20	17,0 16,0	25,0 25,0		17,0 16,0	0,47 0,61	36 26	2,8 3,8									
13,40	16,0	23,0		16,0	0.47	34	2,9									
13,60 13,80	9,0	18,0 14.0		9,0 9,0	0,59 0,36	15 25	6,6 4,0									
14,00	9,0 8,0	13,0		8,0	0,33	24	4.1									
14,20	12.0	18,0		12,0	0.37	32	3,1									
14,40 14,60	9,0 11,0	18,0 19,0		9,0 11,0	0,59 0,57	15 19	6,6 5.2									
14,80	12,0	22,0		12,0	0,67	18	5.6									
15,00	14,0	26,0		14,0	0,80	18	5,7									

Lt = terza lettura (totale)
CT =10,00 costante di trasformazione

F = rapporto Begemann (qc / fs) Rf = rapporto Schmertmann (fs / qc)*100

nota:

Studio di Geologia e Geotecnica di Dott. Geol. Alessandro Boni Via Giulio Romano n.54 - Ostiglia (MN) Tel e Fax 0386.31727 - Cell 335.8470747



Studio di Geologia e Geotecnica di Dott. Geol. Alessandro Boni Via Giulio Romano n.54 - Ostiglia (MN) Tel e Fax 0386.31727 - Cell 335.8470747

CPT PROVA PENETROMETRICA STATICA MECCANICA 08-09-2016 riferimento **DIAGRAMMI LITOLOGIA** 08/09/2016 Committente: CMC Scala: Pagina: Cantiere: Studio terreni di fondazione Località: Località Cavazzona, Castelfranco Emilia (MO) Falda: -5,10 m da p.o DEGEMANN (classica) 15 SCHMERTMANN 10 10 11 11 12 12 ORGANICHE 13 13 14 e/o GHIAIE ARGILLE 16 SABBIE 16 17 SABBIE SABBIE TORBE 18 20 20 21 21 22 22 qc/fs qc - fs/qc qc Argilla Sabbiosa e Limosa: Sabbia e Limo / Sabbia e limo arg. Sabbia sciolta: Torbe / Argille org. Argille e/o Limi : Limi e/o Sabbie : 3 punti, 2,63% 78 punti, 68,42% 29 punti, 25,44% 3 punti, 2,63% 2 punti, 1,75% Argilla Organica e terreni misti: Argilla (inorganica) media consist.: Argilla (inorganica) consistente: Argilla (inorganica) molto consist.: Sabbie: Sabbie e/o Ghiaie nota:

PROVA SCPTU2 (lettura dati ogni 20 cm)

Studio di Geologia e Geotecnica di Dott. Geol. Alessandro Boni Via Giulio Romano n.54 - Ostiglia (MN) Tel e Fax 0386.31727 - Cell 335.8470747

nota:

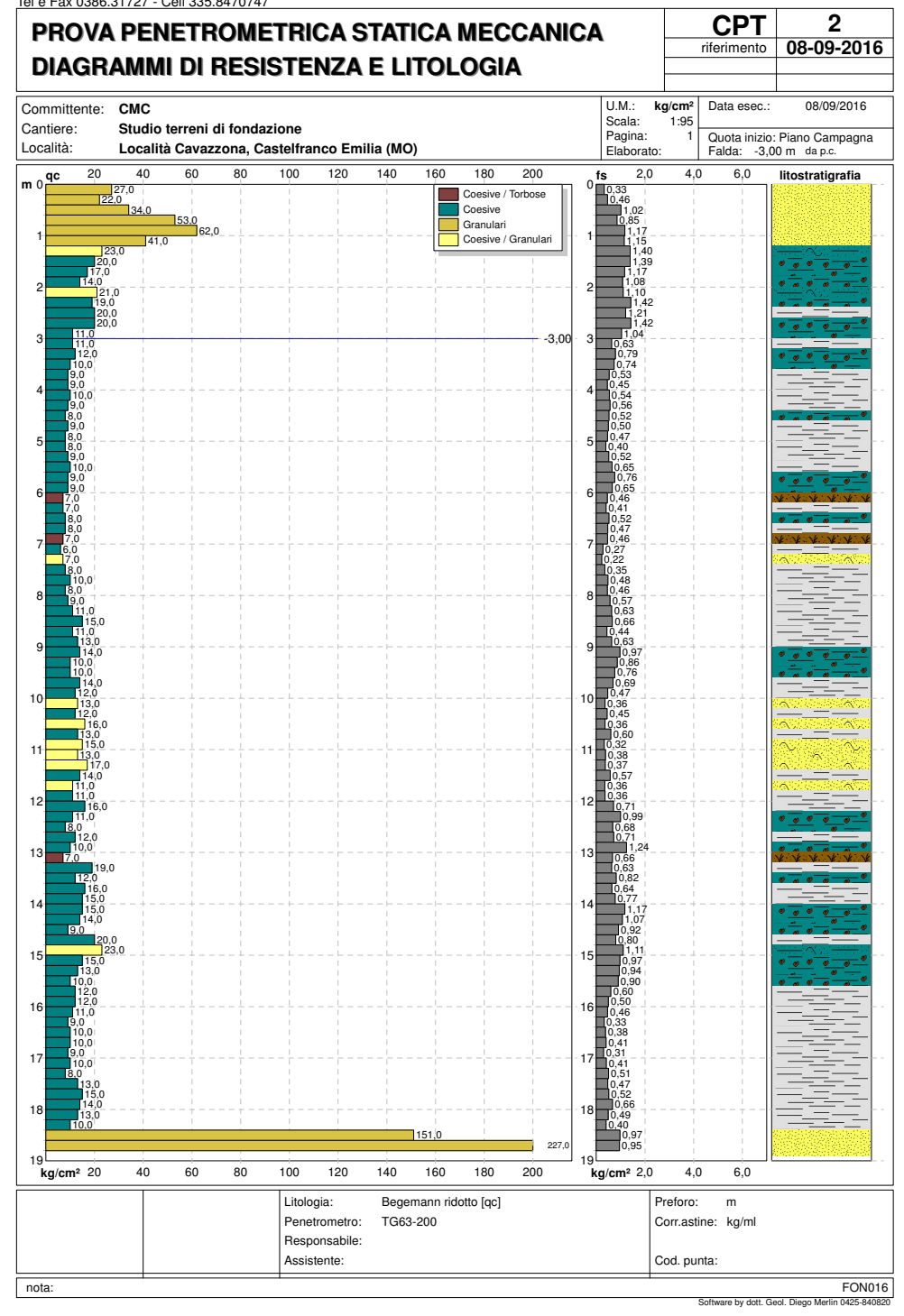
		PENE											riferin	PT nento	2 08-09-	
Committe Cantiere:	ente:	CMC		ondazione		ORI	TRA	SFO	RMA	TI		g/cm²	Data	esec.:	08/09/2	2016
ocalità:				na, Castell			Pagina: Elaborato:	1 Falda		ı: -3,00 m da p.c.						
H m	L1	L2	Lt -	qc kg/cm²	fs kg/cm²	F -	Rf %	H m	L1	L2	Lt -	k	qc g/cm²	fs kg/cm	F 2 -	Rf %
0,20 0,40	27,0 22,0	32,0 29,0		27,0 22,0	0,33 0,46	82 48	1,2 2,1	15,20 15,40	15,0 13,0	29,0 28,0)		15,0 13,0	0,97 0,94	15	6,5 7,2
0,60	34,0	50,0		34,0	1,02	33	3,0	15,60	10,0	24,0)		10,0	0,90	11	9,0
0,80 1,00	53,0 62,0	66,0 80,0		53,0 62,0	0,85 1,17	62 53_	1,6 1,9	15,80 16,00	12,0 12,0	21,0			12,0 12,0	0,60		5,
1,20	41,0	58,0		41,0	1,15	36	2,8	16,20	11,0	17,0)		11,0	0,46	24	4,
1,40 1,60	23,0 20,0	44,0 40,0		23,0 20,0	1,40 1,39	16 14	6,1 7,0	16,40 16,60	9,0 10,0	14,0 15,0)		9,0 10,0	0,33 0,38	28 26	3, 3,
1,80	17,0	35,0		17,0	1,17	15	6,9	16,80	10,0	16,0)		10,0	0,41	25	4,
_ 2,00	14,0 21,0	37,0		14,0_ 21,0	1,08	13 19	<u>7,7</u> _ 5,3	1 7,00 17,20	9,0 	13,0			9,0 10,0	0,31	30_ 24	3,4
2,40	19,0	41,0		19,0	1,42	13	7,5	17,40	8,0	16,0)		8,0	0,51	16	6,4
2,60 2,80	20,0 20,0	38,0 41,0		20,0 20,0	1,21 1,42	17 14	6,0 7,1	17,60 17,80	13,0 15,0	21,0 23,0			13,0 15,0	0,47 0,52	27	3,4 3,4
3,00	_ 11,0	26,0		11,0	1,04	tt	9,4	18,00	14,0	24,0)		14,0	0,66	21_	4,
3,20 3,40	11,0	21,0 24,0		11,0 12,0	0,63 0,79	18 15	5,7	18,20 18,40	13,0 10,0	20,0 16,0			13,0 10,0	0,49 0,40	26 25	3,8 4,0
3,60	12,0 10,0	21,0		10,0	0,79	14	6,6 7,4	18,60	151,0	165,0			51,0	0,40	155	0,
3,80	9,0	17,0		9,0	0,53	17	5,9	18,80	227,0	242,0)		27,0	0,95	239	0,4
4,00 4,20	9,0 10,0	16,0 18,0		9,0 10,0	0,45	20_ 19	5,0 5,4									
4,40	9,0	17,0		9,0	0,56	16	6,2									
4,60 4,80	8,0 9,0	16,0 17,0		8,0 9,0	0,52 0,50	15 18	6,5 5,5									
5,00	8,0	15,0		8,0	0,47	1.7	5,8									
5,20 5,40	8,0 9,0	14,0 16,0		8,0 9,0	0,40 0,52	20 17	4,9 5,7									
5,60	10,0	20,0		10,0	0,65	16	6,5									
5,80	9,0	21,0		9,0	0,76	12	8,4									
6, 00 6,20	9,0 7,0	18,0 14,0		9,0 7,0	0,65 0,46	14_ 15	7,3 6,5									
6.40	7,0	13,0		7,0	0,41	17	5,8									
6,60 6,80	8,0 8,0	16,0 15,0		8,0 8,0	0,52 0,47	15 17	6,5 5,9									
7,00	7,0	14,0		7,0	0,46	15_	6,6									
7,20 7,40	6,0 7,0	10,0 11,0		6,0 7,0	0,27 0,22	22 31	4,5 3,2									
7,60	8,0	14.0		8,0	0,35	23	4,4									
7,80 8,00	10,0	17,0 15,0		10,0 8,0	0,48 0,46	21 18	4,8 5,7									
8,20	9,0	18,0		9,0	0,57	16	6,3									
8,40	11,0	20,0		11,0	0,63	17	5,8									
8,60 8,80	15,0 11,0	25,0 18,0		15,0 11,0	0,66 0,44	23 25	4,4 4,0									
9,00	_ 13,0	22,0		13,0	0,63	21_	4,8									
9,20 9,40	14,0 10,0	28,0 23,0		14,0 10,0	0,97 0,86	14 12	6,9 8,6									
9,60	10,0	22,0		10,0	0,76	13	7,6									
9,80 10,00	14,0 12,0	24,0 19,0		14,0 12,0	0,69 0,47	20 26	4,9 3,9									
10,20	13,0	18,0		13,0	0,36	37	2,7									
10,40 10,60	12,0 16,0	18,0 21,0		12,0 16,0	0,45 0,36	27 44	3,7 2,3									
10,80	13,0	22,0		13,0	0,60	22	4,6									
11,00 11,20	_ 15,0 13,0	19,0		15,0 13,0	0,32 0,38	46_ 35	2,2 2,9									
11,40	17,0	22,0		17,0	0,37	46	2,2									
11,60 11,80	14,0 11,0	22,0 17,0		14,0 11,0	0,57 0,36	25 31	4,1 3,2									
12,00	_ 11,0	17,0		11,0	0,36	30_	3,2									
12,20	16,0	26,0		16,0	0,71	23	4,4									
12,40 12,60	11,0 8,0	26,0 18,0		11,0 8,0	0,99 0,68	11 12	9,0 8,5									
12,80	12,0	23,0		12,0	0,71	17	5,9									
13,00 13,20	_ 10,0 7,0	29,0 _ 17,0		10,0 7,0	1,24 0,66	8_	12,4 9,5									
13,40	19,0	29,0		19,0	0,63	30	3,3									
13,60 13,80	12,0 16,0	25,0 26,0		12,0 16,0	0,82 0,64	15 25	6,8 4,0									
14,00	_ 15,0	26,0		15,0	0,77	19_	5,1									
14,20 14,40	15,0 14,0	32,0 30,0		15,0 14,0	1,17 1,07	13 13	7,8 7,7									
14,60	9,0	22,0		9,0	0,92	10	10,2									
14,80 15,00	20,0	32,0 40,0		20,0	0,80 1,11	25 21	4,0 4,8									
	_ 20,0	,0,0 _														
	a lettur	a (punta)			qc = resister s = resister	nza latera	ale calcol	ata								
		ttura (punta a (totale)	+ laterale)			ssa quota		(fo)								
		(AIDIAIA)		F	 = rannort 	u pegem	atiti (OC /	181								

E-mail: bonialessandro@tiscali.it

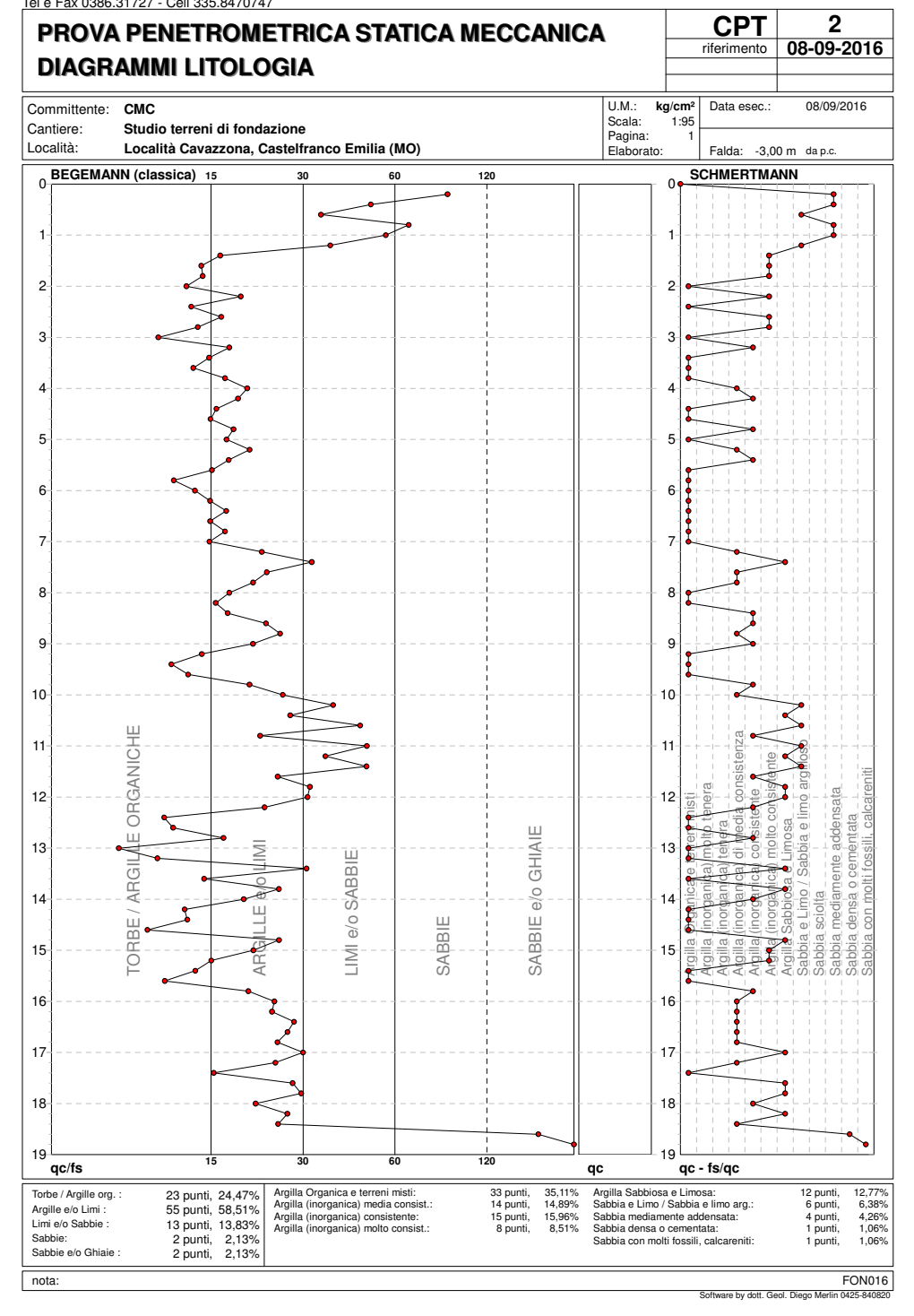
FON016

Software by dott. Geol. Diego Merlin 0425-840820

Studio di Geologia e Geotecnica di Dott. Geol. Alessandro Boni Via Giulio Romano n.54 - Ostiglia (MN) Tel e Fax 0386.31727 - Cell 335.8470747



Studio di Geologia e Geotecnica di Dott. Geol. Alessandro Boni Via Giulio Romano n.54 - Ostiglia (MN) Tel e Fax 0386.31727 - Cell 335.8470747



PROVA CPTU3 (lettura dati ogni 20 cm)

Studio di Geologia e Geotecnica di Dott. Geol. Alessandro Boni Via Giulio Romano n.54 - Ostiglia (MN) Tel e Fax 0386.31727 - Cell 335.8470747

PRO	VA	PENE	TRO	METF	RICA S	STAT	TICA	MEC	CAN	ICA	1		CF riferim		08-09-2	20
LET"	ΓUI	RE CA	MPA	GNA E	E VAL	ORI	TR/	ASFO	RMA	TI			111011111	CITO	00-03-	
ommitte	nte:	CMC									U.M.: k	g/cm²	Data	esec.:	08/09/2	2016
antiere:		Studio ter									Pagina:	1				
ocalità:		Località C	avazzon	a, Castelf	ranco Em	nilia (MC)				Elaborato:		Falda	: -4,50	m da p.c.	
H m	L1	L2	Lt -	qc kg/cm²	fs kg/cm²	F -	Rf %	H m	L1	L2	Lt -		qc g/cm²	fs kg/cm	F -	I
0,20	19,0	21,0		19,0	0,14	140	0.7	15,20	12,0	17,	0	1	2,0	0,34	36	
0,40 0.60	19,0 32,0			19,0 32,0	0,24 0,73	79 44	1,3 2,3	15,40 15,60	8,0 10,0	12, 15,	0 0		8,0	0,25	33 33	
0,80	40,0	66,0		40,0	1,75	23	4,4	15,80	11,0	19,	0	1	11,0	0,49	22	
1,00 1,20	42,0 44,0	58,0 61,0		42,0 44,0	1,05 1,13	40_ 39	2,5 2,6	1 6,00 16,20	9,0	15, 13,	0		9,0	0,38 0,31	24 29	
1,40	56,0	95,0		56,0	2.62	21	4.7	16,40	11,0	17,	0	1	11,0	0.37	29	
1,60 1,80	64,0 50.0	100,0 87.0		64,0 50,0	2,40 2,46	27 20	3,7	16,60 16,80	12,0	20, 19,	0		12,0 11.0	0,52 0,51	23 22	
2,00	30.0	59.0		30,0	2,46 1,91	16	4,9 6,4	17,00	11,0 12.0	21.	0		11,0	0,51	20	
2,20	40,0	65,0		40,0	1,63	25	4,1	17,20	15,0	25,	0	1	5,0	0,68	22	
2,40 2,60	34,0 18,0			34,0 18,0	1,88 0,95	18 19	5,5 5,3	17,40 17,60	17,0 12,0	32, 25,	U		17,0 12,0	1,02 0,86		
2,80	30,0	48,0		30,0	1,23 1,70	24	4,1	17,80	14,0	25,	0	- 1	4,0	0,71	20	
3,00	30.0	55,0		30,0	1,70	18	5,7	18,00	13.0	26.	0	1	3,0	0.82	16	
3,20	23,0 19,0	45,0 39.0		23,0 19,0	1,46 1,35	16 14	6,3 7,1	18,20 18,40	15,0 13,0	26, 25,	0		15,0 13,0	0,69	22 16	
3,60	16,0	32,0		16,0	1,06	15	6,6	18,60	13,0	22,	0	1	3,0	0,59	22	
3,80 4,00	13,0 12,0			13,0 12,0	0,78 0,63	17 19_	6,0 5,3	18,80 19,00	12,0 12,0	21, 22,			2,0 2,0	0,63 0,63		
4,20	10,0	20,0		10,0	0,66	15	6,6	19,20	13,0	23,	0	1	13,0	0,64	20	
4,40 4,60	9,0 9,0	15,0 14,0		9,0 9,0	0,43 0,35	21 25	4,8 3,9	19,40 19,60	12,0 11,0	21, 18,		1	12,0 11,0	0,61 0,47	20 23	
4,80	12,0	17,0		12,0	0.36	33	3.0	19,80	9,0	14,	0		9,0	0,47	28	
5,00	11,0	18,0		11,0	0,47 0,50	24	4,3 4,6	20,00	11,0	15.	0	1	11,0	0,30	37_ 31	
5,20 5.40	11,0 12.0	18,0 21.0		11,0 12.0	0,50 0,57	22 21	4,6 4,8	20,20 20,40	10,0 11,0	15, 16.			10,0 11,0	0,32 0.36	31	
5,60	10,0	19,0		10,0	0,56	18	5,6	20,60	11,0	18,	Ō	1	11,0	0,49	22	
5,80 6,00	11,0	20,0		11,0	0,59 0,59	19 15_	5,4	20,80	12,0	18,	0	1	2,0	0,41	29	
6,20	9,0 10,0	16,0		9,0	0,42	24	6,6 4,2	21,00 21,20	_ 11,0 10,0	18, 14,	0	- 1	11,0 0,0	0,44		
6,40	12,0			12,0	0.55	22	4,6	21.40	14,0	19,	0		4,0	0,35	41	
6,60 6,80	10,0 11,0			10,0 11,0	0,51 0.53	19 21	5,1 4,8	21,60 21.80	138,0 185.0	158, 194,			38,0 35,0	1,34 0.60	103 306	
7,00	_ 11,0	22,0		11,0	0,53 0,70	16	6,4 6,5	22,00	201,0	215,	Ŏ		01,0	0,89	225_	
7,20 7,40	8,0 9,0	16,0 14,0		8,0 9,0	0,52 0,38	15 24	6,5 4,2									
7,60	10,0	17,0		10,0	0,46	22	4.6									
7,80 8,00	11,0 11,0	18,0 15,0		11,0 11,0	0,45 0,30	25 36	4,1 2,7									
8.20	12.0	19,0		12.0	0,46	26	3,8									
8,40	9,0	15,0		9,0	0,36	25	4,0									
8,60 8,80	7,0 10,0	13,0 14,0		7,0 10,0	0,36 0,31	19 33	5,1 3,1									
9,00	12.0	20.0		12,0	0,54	22_	4.5	.								
9,20 9,40	13,0 12,0	24,0 24,0		13,0 12,0	0,76 0,77	17 16	5,8 6,4									
9,40	15,0			15,0	0,77	16	6,3									
9,80	17,0	33,0		17,0	1,04	16	6,1									
0,00 0.20	17,0 17,0	35,0		17,0 17,0	1,18 _ 1,08	14_ 16	7,0 6,3	1								
0,40	21,0	41,0		21,0	1,32	16	6,3 7,4									
0,60 0,80	18,0 17,0	38,0 32,0		18,0 17,0	1,33 0,99	14 17	7,4 5,8									
1,00	15.0	27.0		15,0	0.78	19_	5,2	.								
1.20	13,0	20,0		13,0	0.49	27	3,8									
1,40 1.60	10,0	15,0 15.0		10,0 11,0	0,33 0,23 0,41	30 48	3,3 2.1									
1,80	13,0	19,0		13,0	0,41	32	3,2 2,7									
2,00 2,20	10,0 26,0	14,0 37,0		10,0 26,0	0,27 0,71	37_ 37	2,7 2,7	· [
2,40	29,0	49,0		29,0	1,33 0,79	22	4,6									
2,60	17,0	29,0		17,0	0,79 0,68	22	4,6 4,9									
2,80 3,00	14,0 8,0			14,0 8,0	0,68	21 24	4,9 4,1									
3,20	7,0 7,0	11,0		7,0	0,24	29	3,5									
3,40 3,60	7,0 9,0	11,0 14,0		7,0 9,0	0,27 0,28	26 32	3,8 3,1									
3,80	10,0	16,0		10,0	0,43	23	4,3									
4,00	10,0	18,0		10,0	0,49	20_	4,9	-								
4,20 4,40	13,0 12,0	21,0 21,0		13,0 12,0	0.64	19	4,6 5,3									
4,60	11,0	18,0		11,0 7,0	0,47 0,39	24	4,2 5,5									
	7,0 7.0	13,0 10.0		7,0 7.0	0,39 0.17	18 41	5,5 2.4									
14,80 15,00	7,0 7,0	13,0		7,0 7,0	0,39 0,17 	18 41	5,5 2,4 									

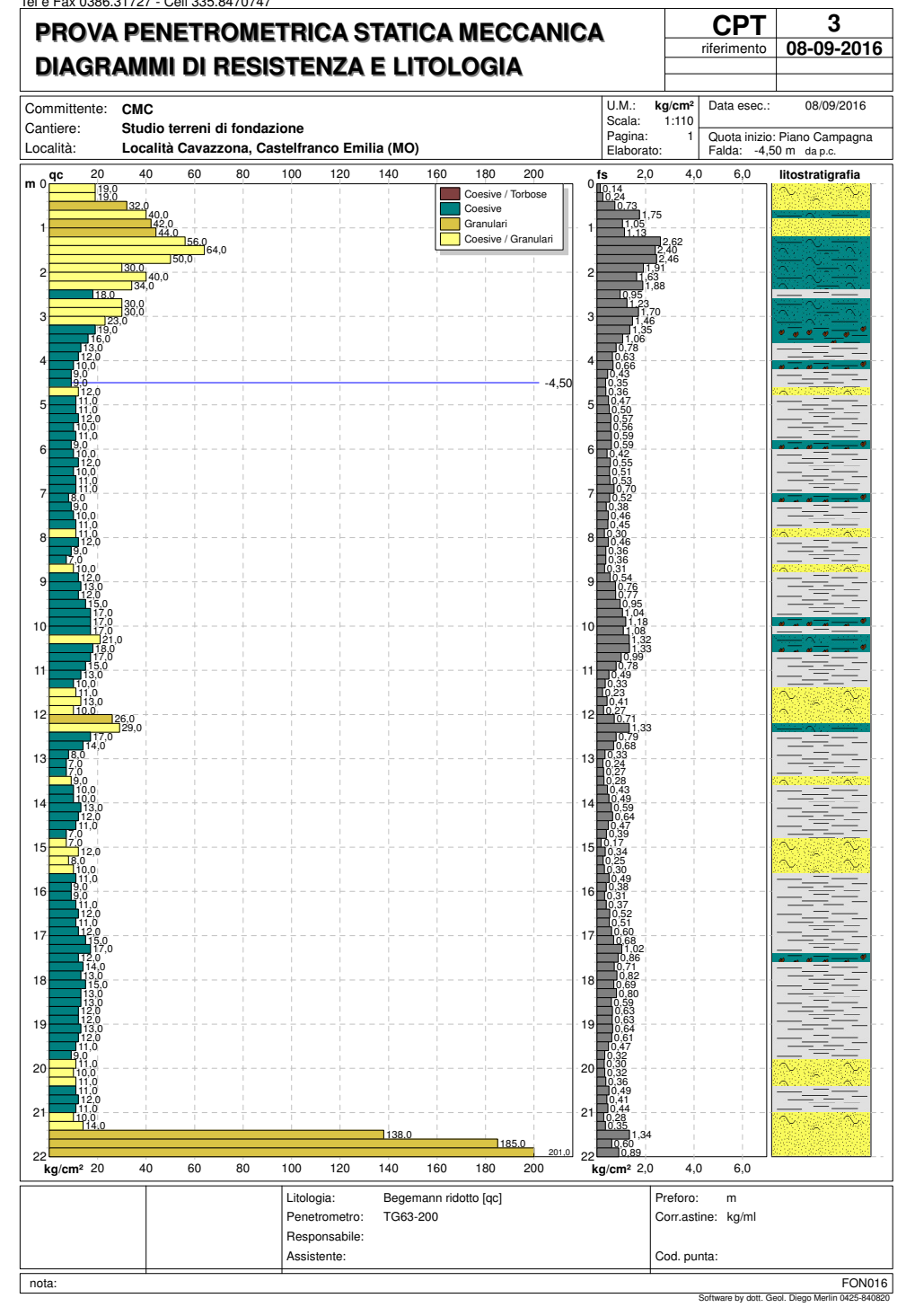
nota:

L1 = prima lettura (punta)
L2 = seconda lettura (punta + laterale)
Lt = terza lettura (totale)
CT =10,00 costante di trasformazione

qc = resistenza u punta fs = resistenza laterale calcolata alla stessa quota di qc F = rapporto Begemann (qc / fs) Rf = rapporto Schmertmann (fs / qc)*100

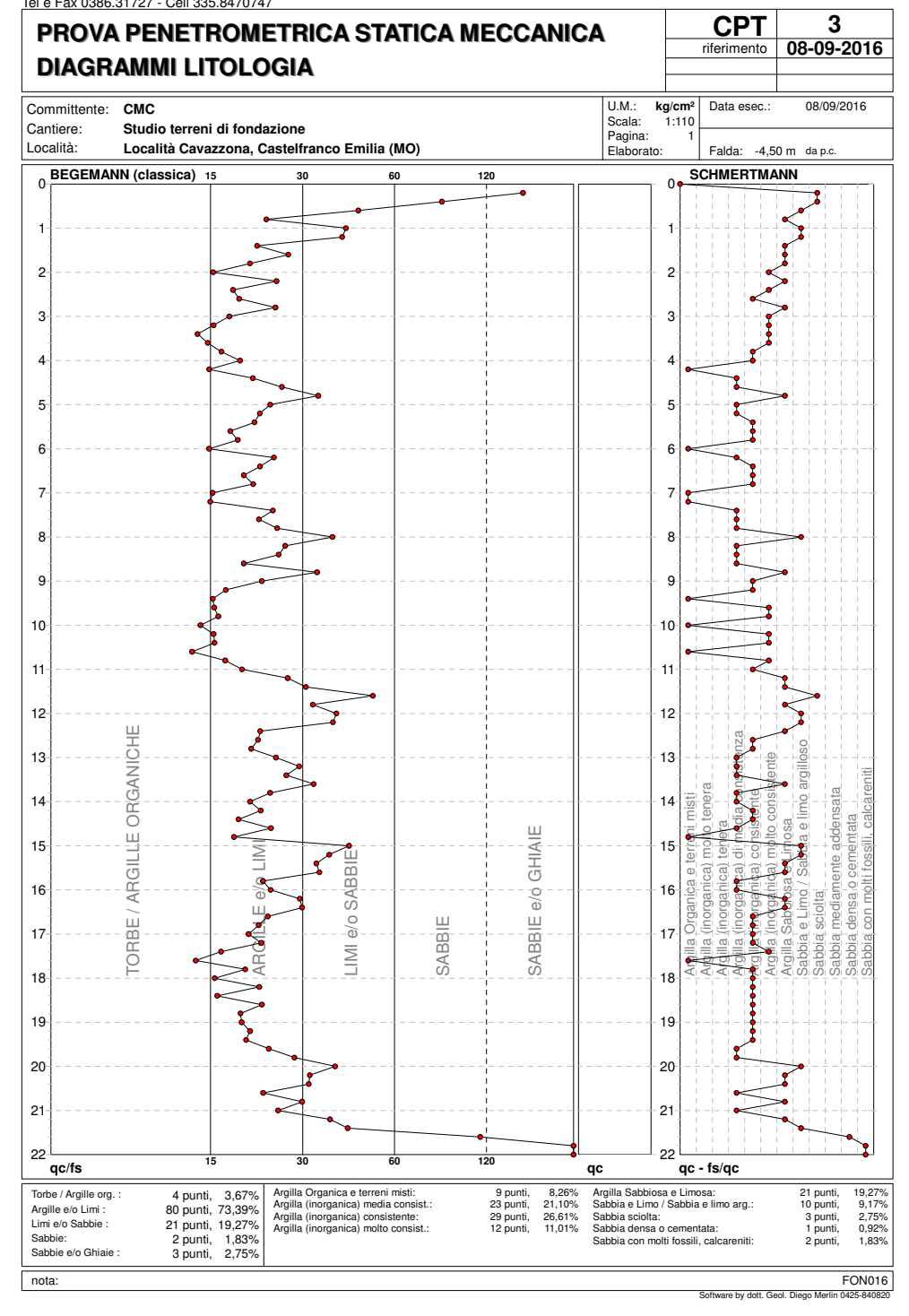
FON016 Software by dott. Geol. Diego Merlin 0425-84082

Studio di Geologia e Geotecnica di Dott. Geol. Alessandro Boni Via Giulio Romano n.54 - Ostiglia (MN) Tel e Fax 0386.31727 - Cell 335.8470747



 $\hbox{E-mail: bonialess and ro@tiscali.it}$

Studio di Geologia e Geotecnica di Dott. Geol. Alessandro Boni Via Giulio Romano n.54 - Ostiglia (MN) Tel e Fax 0386.31727 - Cell 335.8470747



E-mail: bonialessandro@tiscali.it

ANALISI DELLA RISPOSTA SISMICA DI BASE:

3 - PERICOLOSITÀ SISMICA DI BASE DEL SITO

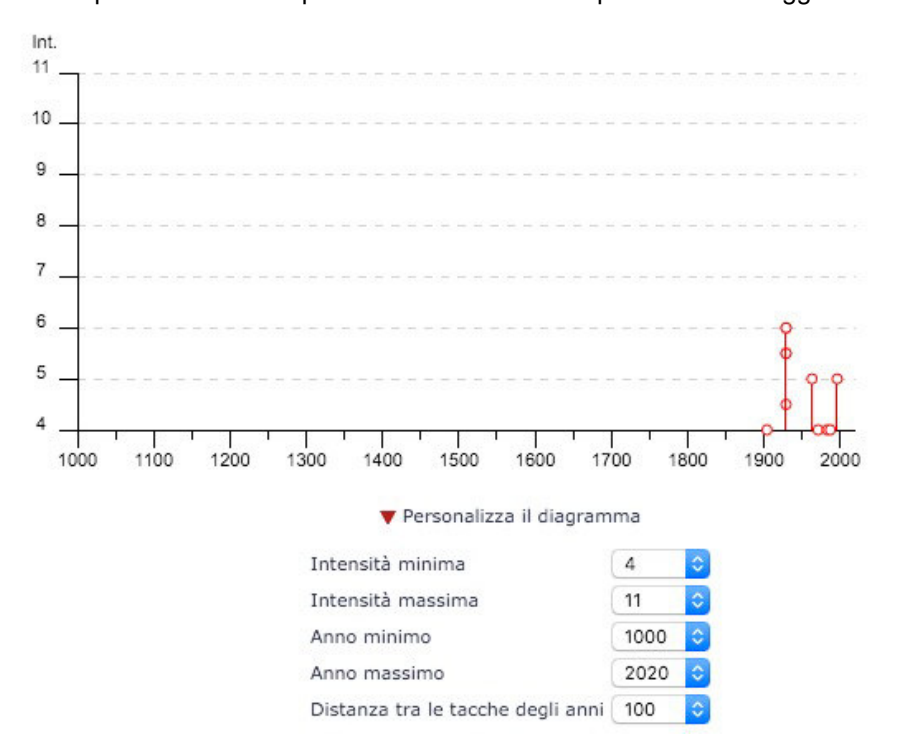
Le azioni sismiche di progetto, in base alle quali valutare il rispetto dei diversi stati limite considerati, si definiscono a partire dalla "pericolosità sismica di base" del sito di interesse.

Essa costituisce l'elemento di conoscenza primario per la determinazione delle azioni sismiche. La pericolosità sismica è definita in termini di accelerazione orizzontale massima attesa a_g in condizioni di campo libero su sito di riferimento rigido (categoria A) con superficie topografica orizzontale, nonché di ordinate dello spettro di risposta elastico in accelerazione ad essa corrispondente $S_e(T)$, con riferimento a prefissate probabilità di eccedenza P_{VR} nel periodo di riferimento V_R . Per ogni Comune d'Italia a_g (intesa come accelerazione di picco orizzontale del suolo, con probabilità di superamento del 10% in 50 anni) è definita mediante l'OPCM n.3274/2003 e successive modifiche, che stabilisce i "Criteri generali per l'individuazione delle zone sismiche e per la formazione e l'aggiornamento degli elenchi delle medesime zone".

Secondo tale classificazione il Comune di Castelfranco Emilia ricade nella zona 3, indicativa di zona a bassa pericolosità sismica.

In riferimento alle "Norme Tecniche" contenute nell'OPCM 3274/2003, il valore massimo di a_g/g (accelerazione orizzontale di ancoraggio dello spettro di risposta elastico) corrispondente alla classe 3 è pari a 0,15.

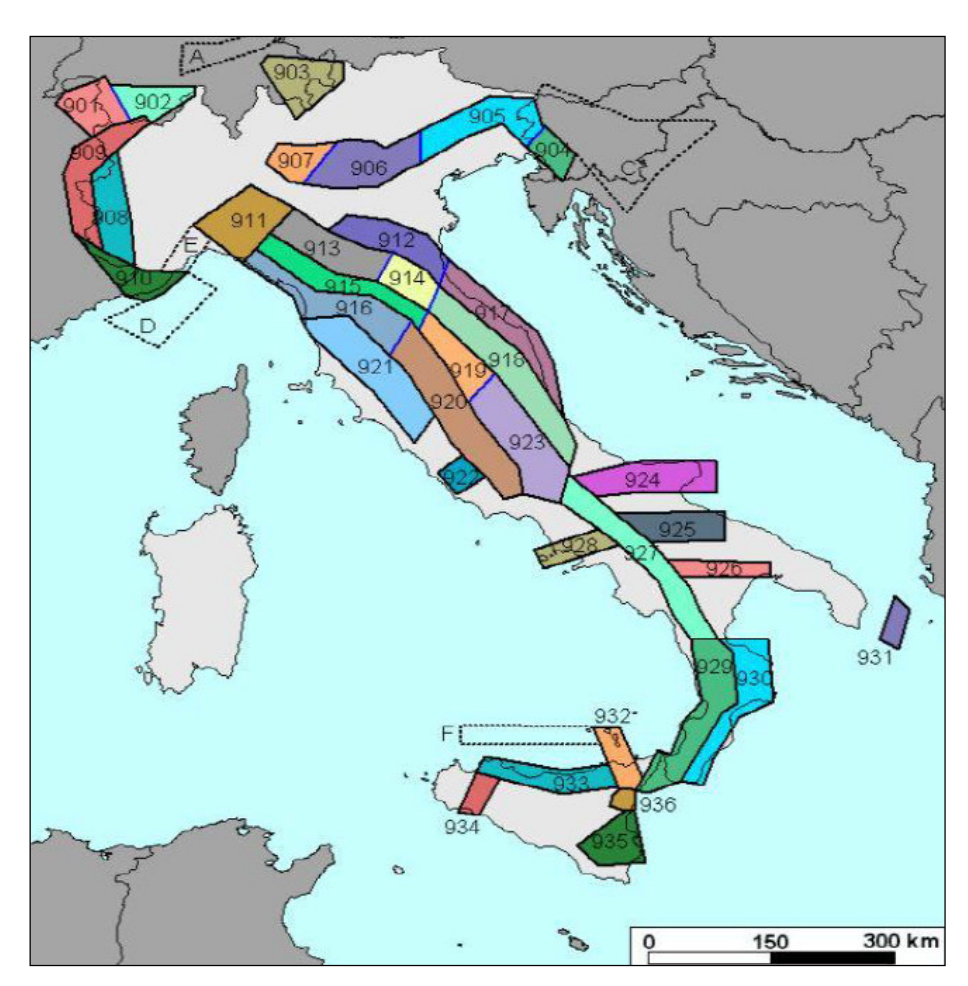
Con l'introduzione del D.M. del 14.01.2008 "Approvazione delle Nuove Norme Tecniche per le Costruzioni", per la valutazione della pericolosità sismica di base, è stato redatto un documento in cui sono riportati, a seconda delle coordinate geografiche, i valori di accelerazione massima orizzontale al suolo e gli spettri rappresentativi delle componenti (orizzontali e verticale) delle azioni sismiche di progetto per un generico sito del territorio Nazionale. Nella tabella sottostante sono riportati i terremoti più intensi verificatisi nei pressi del sito oggetto di studio:



Effetti							In occasione del terremoto del			
Int.	An	no M	e Gi	Но	Mi	Se	Area epicentrale	NMDP	Io	Mw
F	P	1885	02	26	20	48	Pianura Padana	78	6	5.01
3	P	1898	03	04	21	05	Parmense	313	7-8	5.37
4	P	1904	02	25	18	47 9	Reggiano	62	6	4.81
NF	P	1904	11	17	05	02	Pistoiese	204	7	5.10
NF	P	1912	09	12	21	15	Carpí	13	4	3.76
NF	P	1913	11	25	20	55	Appennino parmense	73	4-5	4.65
2	P	1922	05	24	21	17 2	Ferrarese	7	4	3.70
3	g.	1923	06	28	15	12	Modenese	22	6	5.04
4-5	P	1929	04	19	04	16	Bolognese	82	6-7	5.13
5-6	P	1929	04	20	01	10	Bolognese	109	7	5.36
6	P	1929	04	22	08	26	Bolognese	41	6-7	5.10
5-6	P	1929	04	22	14	19	Bolognese	12	5-6	4.61
6	P	1929	04	29	18	36	Bolognese	45	6	5.20
3	P	1929	08	17	04	25	Bolognese	10	4-5	3.89
2	P	1931	06	10	17	02	Modenese	14	4	4.59
3	P	1934	09	18	09	37	Vignola	6	4	3.95
5	P	1963	11	04	15	46	Bassa modenese	5	5	4.16
2	P	1967	04	0.3	16	36 1	Reggiano	45	5	4.44
4	P	1971	07	15	01	33 2	Parmense	228	8	5.51
NF	P	1971	09	11	23	18 1	Pianura emiliana	15	5	4.19
4	P	1983	11	09	16	29 5	Parmense	850	6-7	5.04
3-4	P	1986	12	06	17	07 1	Ferrarese	604	6	4.43
4	P	1987	05	02	20	43 5	Reggiano	802	6	4.71
NF	P	1988	03	15	12	03 1	Reggiano	160	6	4.57
NF	P	1992	04	17	11	59 (Appennino bolognese	56	4-5	4.11
5	P	1996	10	15	09	55 5	Pianura emiliana	135	7	5.38
NF	P	1998	02	21	02	21 1	Pianura emiliana	104	5	3.93
3-4	P	1999	07	07	17	16 1	Frignano	32	5	4.67
3	₽.	2000	06	18	07	42 (Pianura emiliana	304	5-6	4.40
NF	P	2002	06	08	20	13 (Frignano	115	4	4.23

Gli epicentri sismici verificatisi nel territorio in esame hanno origine, nella maggior parte dei casi, nei primi 15 ÷ 25 km del sottosuolo ed evidenziano la prevalenza di un'attività sismogenetica di tipo superficiale o crostale.

La zonazione sismica del territorio nazionale, che identifica le zone sorgente a caratteristiche sismiche omogenee, elaborata dal Gruppo di Lavoro (2004), attribuisce l'ambito territoriale in oggetto all'interno della zona sismogenetica ZS912: "Dorsale Ferrarese" a cui corrisponde una magnitudo massima di 6,14.



Magnitudo di Riferimento: Gruppo di Lavoro (2004), Redazione della mappa di pericolosità sismica prevista dall'Ordinanza PCM 3274 del 20 marzo 2003.

Rapporto conclusivo per il Dipartimento della Protezione Civile, INGV, Milano-Roma, aprile 2004, appendice 2

I sovrascorrimenti delle falde profonde appenniniche sono ancora attivi, e sono la zona di origine dei terremoti, i cui ipocentri sono collocati tra i 5 e gli 8 km di profondità, con meccanismo di fagliazione prevalentemente compressivo.

La sismicità dell'Emilia Romagna può essere definita media relativamente alla sismicità nazionale, poiché i terremoti storici hanno avuto magnitudo massima compresa tra 5,5 e 6 della scala Richter e intensità del IX-X grado della scala MCS.

I maggiori terremoti (Magnitudo > 5,5) si sono verificati nel settore sud-orientale, in particolare nell'Appennino Romagnolo e lungo la costa riminese. Altri settori interessati da sismicità frequente ma generalmente di minore energia (Magnitudo < 5,5) sono il margine appenninico-padano tra la Val d'Arda e Bologna, l'arco della dorsale ferrarese e il crinale appenninico. I maggiori terremoti occorsi in epoca storica nel reggiano sono stati il terremoto dell'Appennino Modenese del 1501 e con una intensità di 8.5 gradi della scala Mercalli, stimata di magnitudo 5,85 della scala Richter; ed il terremoto di Ferrara del 1346 e con una intensità di 7.5 gradi della scala Mercalli, stimata di magnitudo 5,81 della scala Richter.

Tali eventi storici sono quindi più o meno congruenti con i recenti sismi del 20 e 29 maggio 2012, che confermano l'intensità sismica dell'areale emiliano romagnolo.

3.1 - Categoria sismica dei suoli di fondazione

L'Ordinanza del Presidente del Consiglio dei Ministri n.3274, il Testo Unico sulle norme tecniche per le costruzioni in zona sismica e l'Ordinanza del P.C.M. n.3431 prescrivono che deve essere valutata l'influenza delle condizioni litologiche e morfologiche locali sulle caratteristiche del moto del suolo in superficie, mediante studi specifici di risposta sismica locale. In mancanza di tali studi si può utilizzare una classificazione che riguardi i terreni compresi tra il piano di imposta delle fondazioni degli edifici ed il substrato rigido di riferimento (bedrock) o comunque un substrato commisurato all'estensione ed all'importanza dell'opera da realizzarsi (-30 m. da piano posa fondazioni).

L'O.P.C.M. n°3274 contempla, per la definizione dell'azione sismica di progetto, cinque categorie principali di terreno di fondazione, individuate dai valori della velocità media (Vs₃₀) delle onde di taglio nei primi 30 m. di sottosuolo o della resistenza penetrometrica (Nspt) o della coesione non drenata (Cu).

La classificazione viene quindi effettuata principalmente sulla base del valore Vs_{30} valutato dalla seguente espressione:

$$Vs_{30} = 30 / \Sigma (h_i / W_i)$$

Con h_i e W_i rispettivamente spessore e velocità dello strato esimo degli N strati nei primi 30 m. di sottosuolo; in assenza di informazioni sulle velocità delle onde di taglio, potranno essere presi in considerazione i valori di Nspt o Cu; ad ogni modo per l'identificazione della categoria di sottosuolo viene fortemente raccomandata la misura diretta della velocità di propagazione delle onde di taglio Vs (paragrafo 3.2.2 delle NTC).

In particolare, fatta salva la necessità di estendere le indagini geotecniche nel volume significativo di terreno interagente con l'opera, la classificazione si effettua in base ai valori della velocità equivalente Vs₃₀, definita mediante l'equazione di cui sopra.

La velocità equivalente è ottenuta imponendo l'equivalenza tra i tempi di arrivo delle onde di taglio in un terreno omogeneo equivalente, di spessore pari a 30 m, e nel terreno stratificato in esame, di spessore complessivo ancora pari a 30 m.

Essa assume quindi valori differenti da quelli ottenuti dalla media delle velocità dei singoli strati pesata sui relativi spessori, soprattutto in presenza di strati molto deformabili di limitato spessore.

Lo scopo della definizione adottata è quello di privilegiare il contributo degli strati più deformabili. Le categorie definite sono quelle riportate di seguito:

3.1 Categorie di suolo di fondazione

Ai fini della definizione della azione sismica di progetto si definiscono le seguenti categorie di profilo stratigrafico del suolo di fondazione (le profondità si riferiscono al piano di posa delle fondazioni):

- A Formazioni litoidi o suoli omogenei molto rigidi caratterizzati da valori di Vs30 superiori a 800 m/s, comprendenti eventuali strati di alterazione superficiale di spessore max pari a 5 m.
- B Depositi di sabbie o ghiaie molto addensate o argille molto consistenti, con spessori di diverse decine di metri, caratterizzati da un graduale miglioramento delle proprietà meccaniche con la profondità e da valori di Vs30 compresi tra 360 m/s e 800 m/s (ovvero resistenza penetrometrica N SPT > 50, o coesione non drenata cu>250 kPa).
- C Depositi di sabbie e ghiaie mediamente addensate, o di argille di media consistenza, con spessori variabili da diverse decine fino a centinaia di metri, caratterizzati da valori di Vs30 compresi tra 180 e 360 m/s (15 < N SPT < 50, 70 <cu<250 kPa).
- D Depositi di terreni granulari da sciolti a poco addensati oppure coesivi da poco a mediamente consistenti , caratterizzati da valori di Vs30 < 180 m/s (N SPT < 15, cu<70 kPa).
- E Profili di terreno costituiti da strati superficiali alluvionali, con valori di Vs30 simili a quelli dei tipi C o D e spessore compreso tra 5 e 20 m, giacenti su di un substrato di materiale più rigido con Vs30 > 800 m/s.

In aggiunta a queste categorie, se ne definiscono altre due, per le quali sono richiesti studi speciali per la definizione dell'azione sismica da considerare:

- S1 Depositi costituiti da, o che includono, uno strato spesso almeno 10 m di argille/limi di bassa consistenza, con elevato indice di plasticità (PI > 40) e contenuto di acqua, caratterizzati da valori di Vs30 < 100 m/s (10 < cu < 20 kPa)
- S2 Depositi di terreni soggetti a liquefazione, di argille sensitive, o qualsiasi altra categoria di terreno non classificabile nei tipi precedenti

Nelle definizioni precedenti Vs30 è la velocità media di propagazione entro 30 m di profondità delle onde di taglio e viene calcolata determinando la Vs relativamente ad ogni singola lettura della prova CPT (h 0,20m)

La formula utilizzata per ottenere la VS(30) é:

 $Vs = 55,3 qc^{0,377}$

lyisan 1996

Cat.	Descrizione	Vs	Nspt	qc	cu
Α	Formazioni litoidi o suoli omogenei molto rigidi	>800			
В	Sabbie o ghiaie molto addensate	>360	>50	>20	>250
С	Sabbie e ghiaie mediamente addensate	>180	>15	>6	>70
D	Terreni granulari da sciolti a poco addensati oppure coesivi	<180	<15	<6	<70
E	Strati superficiali alluvionali, con Vs tra C o D, spessore 5/20m	<360	<50	<20	<250
S1	Depositi includenti, strato di almeno 10 m di argille/limi	<100		<10	<20
S2	Terreni soggetti a liquefazione, argille sensitive, o altro				

Vs (m/sec) qc (MPa) rapporto qc - Nspt: indicativamente 4 - 1 (per terreni di natura granulare)
Nspt (colpi) cu (kPa) rapporto qc - Nspt: indicativamente 2 - 1 (per terreni di natura coesiva)

3.2 - Caratterizzazione e classificazione sismica del terreno

La diversa entità dei danni prodotti dal terremoto nello stesso ambito territoriale dimostra che le azioni sismiche possono assumere, anche a distanze di poche decine di metri, caratteristiche differenti in funzione delle diverse condizioni geologiche che definiscono un determinato ambito territoriale (morfologia superficiale, morfologia del substrato roccioso, presenza e profondità della falda, costituzione e proprietà del sottosuolo, presenza di faglie, ecc...). La microzonazione sismica si propone quindi di studiare e valutare quantitativamente l'influenza che le condizioni geologiche locali hanno sui movimenti del suolo durante un evento sismico. Il risultato di uno studio di questo tipo si traduce in una carta di dettaglio (carta della

microzonazione sismica) che pone limitazioni di natura urbanistica e fornisce prescrizioni di progetto per le costruzioni che, in alcuni casi, possono anche risultare più gravose di quelle contemplate dalle normative vigenti. L'elemento base della microzonazione sismica è la valutazione della "risposta sismica locale (RSL). Con tale termine s'intende l'insieme delle modifiche in intensità, ampiezza e frequenza che un moto sismico relativo ad una formazione rocciosa di base (bedrock), posta ad una certa profondità nel sottosuolo, subisce attraverso gli strati di terreno sovrastanti fino alla superficie. In questa logica le indagini geognostiche assumono grande rilevanza per la caratterizzazione dei terreni dal punto di vista fisico (strato di compattezza ed addensamento) e dal punto di vista meccanico rispetto alle sollecitazioni indotte. In seguito all'entrata in vigore della Delibera Regionale n°112 del 02.05.2007 ("Disciplina generale sulla tutela e l'uso del territorio", in merito a "Indirizzi per gli studi di micro zonazione sismica in Emilia-Romagna per la pianificazione territoriale e urbanistica") e della D.G.R. (Deliberazione della Giunta Regionale) n°2193 del dicembre 2015, vengono introdotte alcune tabelle e formule per la valutazione dei fattori di amplificazione sismica per le analisi del secondo livello di approfondimento e per la valutazione degli effetti topografici.

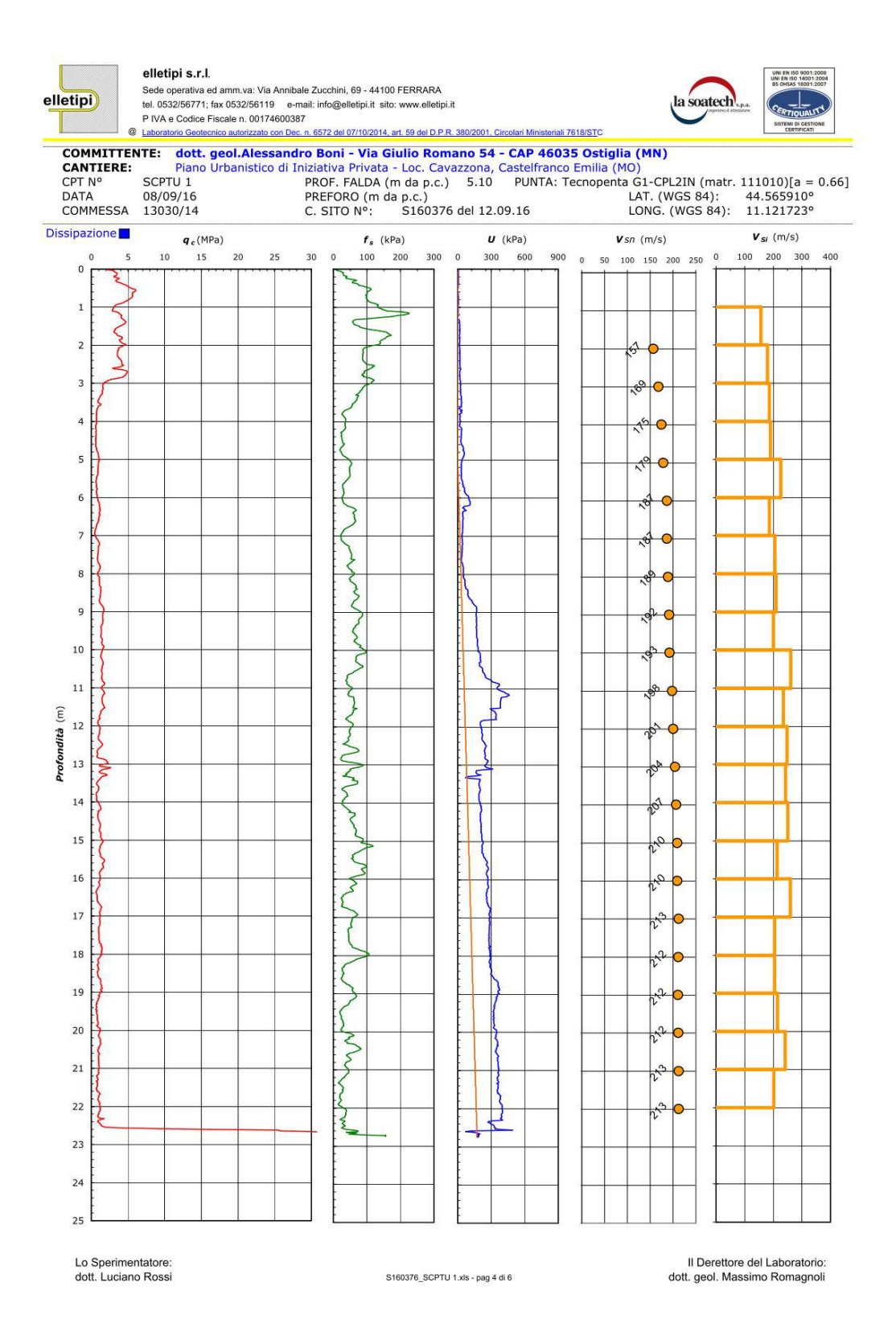
Per calcolare i fattori di amplificazione (F.A.) richiesti dall'analisi semplificata richiesta e ritenuta sufficiente per gli ambiti suscettibili di urbanizzazione e per gli interventi sul territorio urbanizzato, nelle aree pianeggianti e sub-pianeggianti devono essere realizzate indagini geotecniche che permettano la definizione dello spessore del deposito di copertura e della profondità del "bedrock" e della velocità equivalente delle onde di taglio per lo spessore considerato (V_{SH} e V_{S30}) del deposito di copertura secondo le formule già riportate e descritte al paragrafo precedente, mentre per quanto riguarda i fattori di amplificazione inerenti l'accelerazione massima orizzontale (PGA) e l'intensità spettrale si rimanda alla visione delle tabelle di riferimento contenute nelle Delibere stesse. In riferimento a quanto sopra, la classificazione delle categorie dei suoli di fondazione, come da Allegato 2 (cfr. Ord. Pres. Consiglio dei Ministri 3274 del 20/03/2003), deve essere associata alla successione stratigrafica riscontrata fino alla profondità di 30 m dal piano di posa delle fondazioni.

Per la caratterizzazione sismica dei suoli di fondazione dell'area oggetto di studio si fa riferimento alle indagini geognostiche compiute dallo scrivente in data 08/09/2016, mediante la realizzazione di n°2 prove penetrometriche statiche eseguite con punta elettrica e sismocono (SCPTU1 e 2) spinte rispettivamente sino alla profondità massima di -23,00 e -18,80 m da p.c.

Le indagini con cono sismico o sismocono vengono realizzate grazie ad una punta metallica opportunamente attrezzata con una terna geofonica. Le prove vengono svolte successivamente alle prove penetrometriche statiche, allo scopo di determinare, oltre ai valori di Vs, anche le caratteristiche meccaniche del sito. Il cono sismico utilizza lo stesso principio della prova down-hole; vengono misurati i tempi di percorrenza delle onde sismiche che si propagano dal piano campagna alla terna geofonica all'interno della punta sismica posta a profondità diverse.

La prova è affidabile, economica e veloce permettendo analogamente alla prova downhole di avere un profilo molto dettagliato della velocità delle onde sismiche senza dover ricorrere all'esecuzione di sondaggi. I risultati di questo tipo di indagine vengono riportati alla pagina successiva.

INDAGINE SISMICA EFFETTUATA SULLA PROVA SCPTU1



Tel. e Fax. 0386.670315 Cell. 335.8470747 e-mail: bonialessandro@tiscali.it



elletipi s.r.l.

Sede operativa ed amm.va: Via Annibale Zucchini, 69 - 44100 FERRARA tel. 0532/6571; fax 0532/65119 e-mail: info@elletipi.it sito: www.elletipi.it

P IVA e Codice Fiscale n. 00174600387

Laboratorio Geotecnico autorizzato con Dec. n. 6572 del 07/10/2014, art. 59 del D.P.R. 380/2001. Circolari Ministeriali 7618/STC





 COMMITTENTE:
 dott. geol.Alessandro Boni - Via Giulio Romano 54 - CAP 46035 Ostiglia (MN)

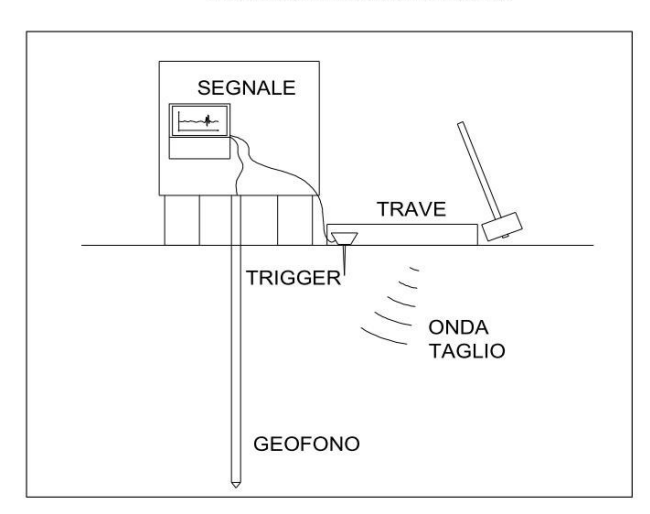
 CANTIERE:
 Piano Urbanistico di Iniziativa Privata - Loc. Cavazzona, Castelfranco Emilia (MO)

 CPT N°
 SCPTU 1
 PROF. FALDA (m da p.c.)
 5.10
 PUNTA: Tecnopenta G1-CPLZIN (matr. 111010)[a = 0.66]

 DATA
 08/09/16
 PREFORO (m da p.c.)
 LAT. (WGS 84):
 44.565910°

 COMMESSA
 13030/14
 C. SITO N°:
 S160376 del 12.09.16
 LONG. (WGS 84):
 11.121723°

Prova Down Hole ASTM D 7400



Profondità	Ts	L	Vs	Vis
(m)	(ms)	(m)	(m/s)	(m/s)
1.0	TO	1.43	949	1020
2.0	5.13	2.24	157	157
3.0	10.27	3.16	169	180
4.0	15.40	4.12	175	187
5.0	20.54	5.10	179	190
6.0	24.86	6.08	187	227
7.0	30.16	7.06	187	186
8.0	34.97	8.05	189	205
9.0	39.68	9.04	192	210
10.0	44.59	10.03	193	201
11.0	48.36	11.01	198	262
12.0	52.54	12.00	201	236
13.0	56.51	12.98	204	248
14.0	60.55	13.97	207	243
15.0	64.46	14.95	210	251
16.0	69.04	15.93	210	214
17.0	72.80	16.90	213	260
18.0	77.55	17.88	212	205
19.0	82.31	18.85	212	205
20.0	86.83	19.82	212	214
21.0	90.82	20.79	213	242
22.0	95.58	21.75	213	202

 $V_{s,22} = 213 \text{ m/s}$

Intervallo di profondità considerato per il calcolo della Vs22: m 1.0 - 22.0

D

Distanza centro trave generatrice onde di taglio - verticale di prov 1.00

Profondità = Profondità punta da piano campagna

I = Tempo percorrenza onda di taglio

L = Lunghezza percorso onda di taglio

Vs = Velocità onde di taglio da piano campagna alla profondità indic = 22.0 m

Vis = Velocità onde di taglio dello strato di terreno compreso fra le due profondità indicate

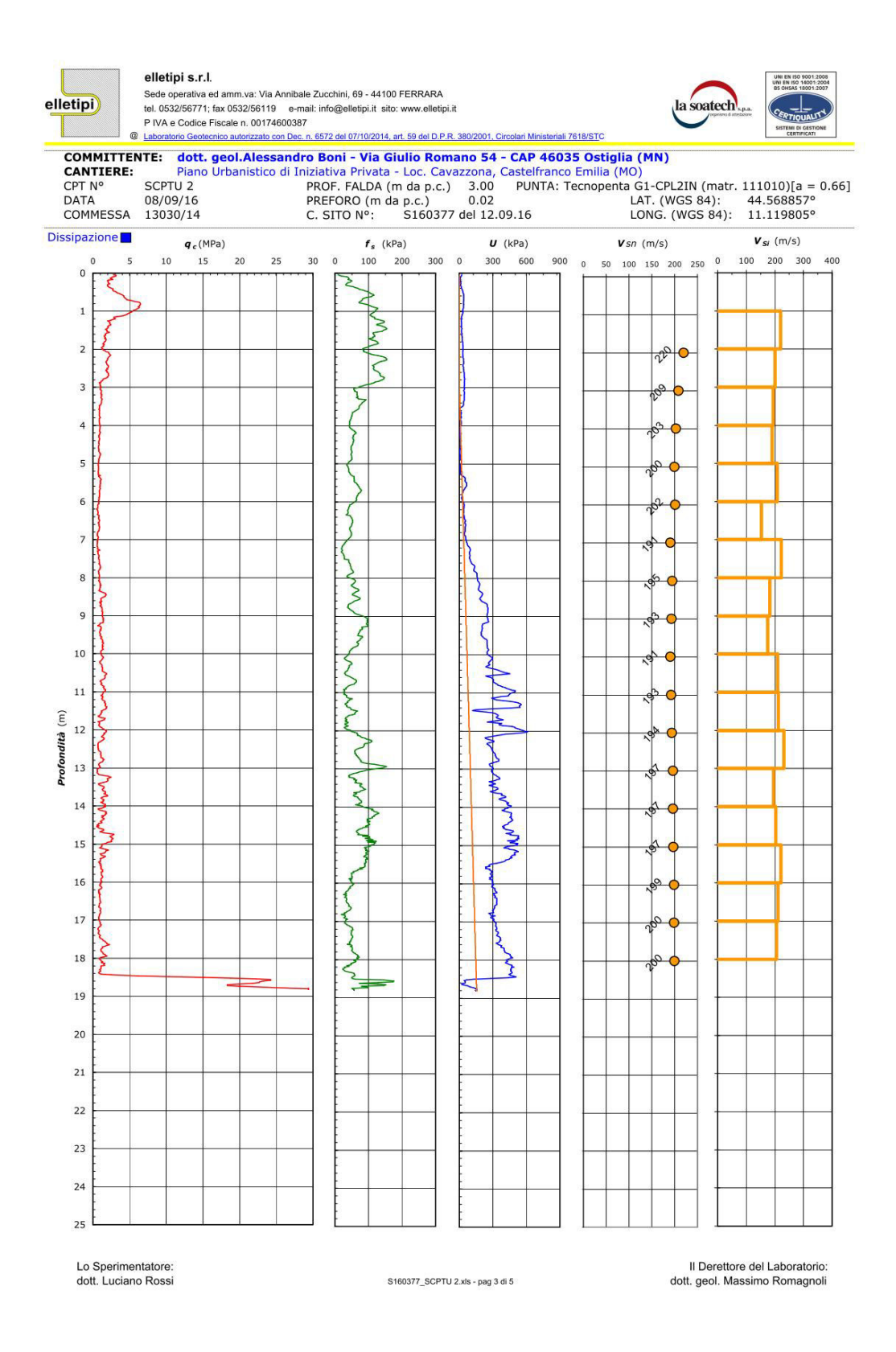
N.B.: Il calcolo del percorso delle onde di talgio viene corretto per l'inclinazione zenitale

Lo Sperimentatore: dott. Luciano Rossi

S160376_SCPTU 1.xls - pag 5 di 6

Il Derettore del Laboratorio: dott. geol. Massimo Romagnoli

INDAGINE SISMICA EFFETTUATA SULLA PROVA SCPTU2





elletipi s.r.l.

Sede operativa ed amm.va: Via Annibale Zucchini, 69 - 44100 FERRARA tel. 0532/56771; fax 0532/56119 e-mail: info@elletipi.it sito: www.elletipi.it P IVA e Codice Fiscale n. 00174600387 rizzato con Dec. n. 6572 del 07/10/2014, art. 59 del D.P.R. 380/2001, Circolari Ministeriali 7618/STC





 COMMITTENTE:
 dott. geol.Alessandro Boni - Via Giulio Romano 54 - CAP 46035 Ostiglia (MN)

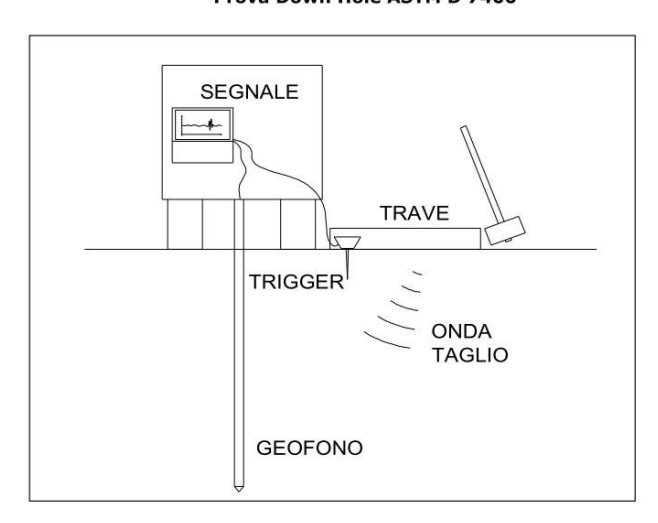
 CANTIERE:
 Piano Urbanistico di Iniziativa Privata - Loc. Cavazzona, Castelfranco Emilia (MO)

 CPT N°
 SCPTU 2
 PROF. FALDA (m da p.c.)
 3.00
 PUNTA: Tecnopenta G1-CPLZIN (matr. 111010)[a = 0.66]

 DATA
 08/09/16
 PREFORO (m da p.c.)
 0.02
 LAT. (WGS 84):
 44.568857°

 COMMESSA
 13030/14
 C. SITO N°:
 S160377 del 12.09.16
 LONG. (WGS 84):
 11.119805°

Prova Down Hole ASTM D 7400



Profondità	Ts	L	Vs	Vis
(m)	(ms)	(m)	(m/s)	(m/s
1.0	TO	1.43	141	929
2.0	3.67	2.24	220	220
3.0	8.28	3.16	209	201
4.0	13.24	4.12	203	194
5.0	18.35	5.10	200	191
6.0	23.08	6.08	202	208
7.0	29.52	7.07	191	153
8.0	33.96	8.06	195	223
9.0	39.40	9.05	193	182
10.0	45.07	10.04	191	175
11.0	49.82	11.03	193	209
12.0	54.50	12.02	194	212
13.0	58.78	13.02	197	232
14.0	63.86	14.01	197	195
15.0	68.75	15.00	197	203
16.0	73.23	15.99	199	221
17.0	77.91	16.98	200	211
18.0	82.69	17.96	200	206

V_{s,18} = 200 m/s

Intervallo di profondità considerato per il calcolo della Vs18: m 1.0 - 18.0

D

Distanza centro trave generatrice onde di taglio - verticale di prov 1.00

Profondità = Profondità punta da piano campagna

I = Tempo percorrenza onda di taglio

L = Lunghezza percorso onda di taglio

Vs = Velocità onde di taglio da piano campagna alla profondità indic = 18.0 m

Vis = Velocità onde di taglio de piano campagna percorso fra le due profondità indicate

N.B.: Il calcolo del percorso delle onde di talgio viene corretto per l'inclinazione zenitale

Lo Sperimentatore: dott. Luciano Rossi

S160377_SCPTU 2.xls - pag 4 di 5

Il Derettore del Laboratorio: dott. geol. Massimo Romagnoli

Dal punto di vista sismico, in base ai dati emersi nel corso della campagna geognostica, interpolandoli con altre penetrometrie profonde eseguite nelle immediate vicinanze del sito oggetto di studio, ha permesso di considerare il profilo stratigrafico del sottosuolo di fondazione dell'area investigata appartenente alla classe C ($V_{S30~SCPTU1} \approx 213~m/s$; $V_{S30~SCPTU2} \approx 200~m/s$), ossia: "depositi di sabbie e ghiaie mediamente addensate o di argilla di media consistenza, con spessori variabili da diverse decine fino a centinaia di metri, caratterizzati da valori di V_{S30} compresi tra 180 m/s e 360 m/s (15 < $V_{S30} < V_{S30} < V$

Di seguito vengono fornite tabelle recanti la classificazione del sito; tale condizione corrisponde allo stato limite ultimo di salvaguardia della vita (SLV secondo NTC).

CLASSIFICAZIONE DEL SITO NTC 2008

Località: Via Emilia Est, Località Cavazzona, Castelfranco Emilia (MO)

Coordinate ED50: Latitudine: 44,569469; Longitudine: 11,122341

Vita nominale della costruzione (V_N): 50 anni

Classe d'uso della costruzione: II

Coefficiente d'uso della costruzione (Cu): 1

Stato limite considerato: (SLV)

 $a_g = 0.164 g$

Categorie di suolo di fondazione

		Ss	Cc	S=S _S xS _T
А	Ammassi rocciosi affioranti o terreni molto rigidi caratterizzati da valori di Vs30 superiori a 800 m/s, eventualmente comprendenti in superficie uno strato di alterazione, con spessore massimo pari a 3 m.	1,000	1,000	1,000
В	Rocce tenere e depositi di terreni a grana grossa molto addensati o terreni a grana fina molto consistenti con spessori superiori a 30 m, caratterizzati da un graduale miglioramento delle proprietà meccaniche con la profondità e da valori di Vs30 compresi tra 360 m/s e 800 m/s (ovvero NSPR30>50 nei terreni a grana grossa e Cu30>250 kPa nei terreni a grana fina).	1,200	1,400	1,200
С	Depositi di terreni a grana grossa mediamente addensati o terreni a grana fina mediamente consistenti con spessori superiori a 30 m, caratterizzati da un graduale miglioramento delle proprietà meccaniche con la profondità e da valori di Vs30 compresi tra 180 m/s e 360 m/s (ovvero 15 <nspt,30<50 70="" <cu30<250="" a="" e="" fina).<="" grana="" grossa="" kpa="" nei="" td="" terreni=""><td>1,465</td><td>1,562</td><td>1,465</td></nspt,30<50>	1,465	1,562	1,465
D	Depositi di terreni a grana grossa scarsamente addensati o di terreni a grana fina scarsamente consistenti, con spessori superiori a 30 m, caratterizzati da un graduale miglioramento delle proprietà meccaniche con la profondità e da valori di Vs30 inferiori aa 180 m/s (ovvero NSPT,30<15 nei terreni a grana grossa e Cu30<70 kPa nei terreni a grana fina).	1,800	2,283	1,800
Е	Terreni dei sottosuoli di tipo C o D per spessore non superiore a 20 m, posti sul substrato di riferimento (con Vs>800 m/s).	1,568	1,862	1,568
S1	Depositi di terreni caratterizzati da valori di Vs30 inferiori a 100 m/s (ovvero 10 <cu30<20 3="" 8="" a="" almeno="" altamente="" argille="" bassa="" che="" consistenza,="" di="" fina="" grana="" includono="" kpa),="" m="" o="" oppure="" organiche.<="" strato="" td="" terreni="" torba="" uno=""><td>Servono studi</td><td></td><td></td></cu30<20>	Servono studi		
S2	Depositi di terreni suscettibili di liquefazione, di argille sensitive o qualsiasi altra categoria di sottosuolo non classificabile nei tipi precedenti.	specifici		

I parametri a/g, F_0 e $T^{\star}{}_{\text{\tiny C}}$ vengono forniti dalla normativa

Categorie Topografiche

		S _T	
T1	Superficie pianeggiante, pendii e rilievi isolati con inclinazione media i ≤ 15°	1,00	
T2	Pendii con inclinazione media i >15°	1,20	Valore alla sommità del pendio
Т3	Rilievi con larghezza in cresta molto minore che alla base e inclinazione media 15°≤ i ≤ 30°	1,20	Valore della cresta del rilievo
T4	Rilievi con larghezza in cresta molto minore che alla base e inclinazione media i > 30°	1,40	Valore della cresta del rilievo

Le sovraesposte categorie topografiche si riferiscono a configurazioni geometriche prevalentemente bidimensionali, creste o dorsali allungate, e devono essere considerate nella definizione sismica se di altezza maggiore di 30 m.

61

Per la caratterizzazione sismica dei suoli di fondazione è stata inoltre eseguita un'indagine sismica passiva mediante la tecnica del rapporto spettrale H/V a stazione singola effettuata con tromometro digitale Tromino-Micromed ed elaborazione dei dati mediante software Grilla-Micromed.

La metodologia tromografica si basa sulla misura diretta delle frequenze di naturale vibrazione dei suoli (e/o di altri oggetti poggianti direttamente o indirettamente sul suolo), sfruttando in pratica l'effetto pendolo. Nel dominio della frequenza vengono coinvolti quattro spettri rappresentati dalle componenti orizzontali e verticali del moto in superficie (HS e VS) e alla base dello strato (HB e VB).

La tecnica di Nakamura si basa sulle seguenti ipotesi: le sorgenti dei microtremori sono locali, trascurando qualsiasi contributo dovuto a sorgenti profonde; le sorgenti dei microtremori in superficie non influenzano i microtremori alla base; la componente verticale del moto non risente di effetti di amplificazione locale. Sotto queste ipotesi, il rapporto fra le componenti verticali del moto in superficie ed alla base contiene solo termini delle sorgenti locali AS(f) e delle sorgenti alla base AB(f), ed è pari a: $Rv(f) = Vs(f)/VB(f\omega) = As(f)/AB(f)$; mentre il rapporto fra l'ampiezza dello spettro della componente orizzontale del moto in superficie (HS) e alla base dello strato (HB), contiene oltre che il termine di sorgente anche il termine di amplificazione di sito in superficie S(f) e può essere espresso nel seguente modo: S(f) = S(f)/B(f) = As(f) + S(f) + Ab(f).

Per rimuovere l'effetto di sorgente dai segnali, Nakamura divide i due rapporti R fra loro ottenendo così la seguente espressione per la funzione trasferimento di sito: $Rh(f)/Rv(f) = Ss(\omega) = Hs(f)/HB(f) * VB(f)/Vs(f)$.

Ipotizzando infine che alla base dei sedimenti l'ampiezza spettrale della componente verticale e di quella orizzontale siano uguali e cioè: VB(f)/HB(f) = 1. il fattore di amplificazione del moto orizzontale in superficie potrà essere valutato direttamente nel seguente modo: S(f) = Hs(f9/Vs(f)).

Le varie ipotesi sono state verificate dallo stesso Nakamura (1989) con misure di microtremori in superficie e in pozzo. Le stesse assunzioni sono state verificate anche da altri autori confrontando i risultati ottenuti con modelli di propagazione di onde di Rayleigh, modelli di propagazione 1-D di onde S e con modelli di generazione sintetica di rumore.

Le conclusioni a cui sono giunti gli studi suddetti sono che il picco visibile nei rapporti H/V ottenuti con il rumore simulato è indipendente dalle caratteristiche della sorgente del rumore e che dipende invece fortemente dalla stratigrafia del terreno. Tale picco è inoltre ben correlato con la frequenza fondamentale di risonanza del terreno soggetto alla propagazione di onde S verticali e con il picco fondamentale delle curve di dispersione delle onde di Rayleigh. Le misure sono state eseguite con un apparecchio portatile compatto (TROMINO MICROMED) che alloggia in un unico contenitore rigido metallico tre sensori sismometrici, un digitalizzatore a 24 bit ed il sistema di archiviazione su flash memory.

Per il punto di misura si è acquisita una registrazione della durata di 20 minuti, campionata ad una frequenza di 128 Hz. Il segnale acquisito è stato quindi: corretto per la linea di base (sottraendo a ciascun punto la media effettuata sull'intera traccia); corretto da andamenti (trend) anomali (sottraendo la retta della regressione lineare effettuata su tutti i punti della traccia);

Tel. e Fax. 0386.670315 Cell. 335.8470747 e-mail: bonialessandro@tiscali.it

filtrato con un passa banda tra 0.1 e 64 Hz, Per ogni segnale si è calcolata quindi la trasformata di Fourier e successivamente si è effettuato il rapporto spettrale fra le componenti orizzontale e verticale.

Tale rapporto è stato smussato con una finestra triangolare al 10% ed il risultato di tale operazione è stato assunto come stima delle funzioni di amplificazione locale di Nakamura.

Tutte le operazioni descritte sono state fatte prevalentemente in campagna, mediante un programma applicativo appositamente implementato. Questo ha permesso di avere già al sito la possibilità di verificare le misure effettuate ed eventualmente ripeterle. La misura di microtremori è infatti soggetta ad influenze ambientali (vento, pioggia, copertura artificiale dei terreni, ecc.): per una descrizione dettagliata dei problemi legati alla corretta effettuazione delle misure si veda Mucciarelli (1998).

Di seguito si riporta una succinta bibliografia di riferimento circa metodologia, utilizzo e restituzione della metodologia tromografica: Mucciarelli, M. (1998). Reliability and applicability range of Nakamura's technique using microtremors: an experimental approach, J. Earthquake Engin., Vol. 2, n. 4, 1-14. Nakamura, Y. (1989). A method for dynamic characteristics estimation of subsurface using microtremor on the ground surface. QR Railway Tech. Res. Inst. 30,1.

L'indagine tromografica deve essere supportata dalle conoscenze stratigrafiche locali derivanti dalle indagini dirette condotte in sito. Ciò è indispensabile data la natura della strumentazione utilizzata e date le possibilità offerte dalle esperienze di Nakamura (et Alii), di cui si è sopra già ampiamente riportato. È importante far osservare come uno strumento tromografico sia l'unica strumentazione in grado di misurare la frequenza propria di oscillazione dei terreni.

Da tali dati si possono poi ricostruire tutte le altre componenti caratterizzanti dal punto di vista sismico i terreni di un'area (e sopra indicati). La possibilità di stimare i valori di Vs30 conoscendo le frequenze tipiche di un suolo e gli spessori (profondità) dei suoi riflettori sismici, discende dalle esperienze di Nakamura e del derivato metodo HSVR precedentemente descritto.

Il metodo di indagine utilizzato presuppone alcune approssimazioni legate ad esempio al fatto che le velocità di propagazione delle onde sismiche provocate aumentano dall'alto verso il basso (per questo il metodo consente la determinazione delle velocità intese come medie del volume di terra indagato non avendo un grado di definizione elevato); le velocità Vs così misurate sono comunque significative, trattandosi pur sempre di una misura diretta.

Nei grafici H/V - f, che verranno in seguito riportati, si individuano le varie frequenze tipiche dei terreni di fondazione, dato di notevole importanza per una accurata progettazione delle strutture da realizzarsi sull'area in esame.

Soprattutto in considerazione della tipologia strutturale da realizzarsi, si dovranno evitare accoppiamenti fra le modalità di vibrazione delle strutture (prevedibili in fase di progettazione) e le modalità di vibrazione dei terreni di fondazione, di cui sopra.

Di seguito si riporta l'interpretazione della prospezione geofisica H/V SR

Ubicazione cantiere: Via Emilia Est, Località Cavazzona, Castelfranco Emilia (MO)

Instrument: TRZ-0009/01-09

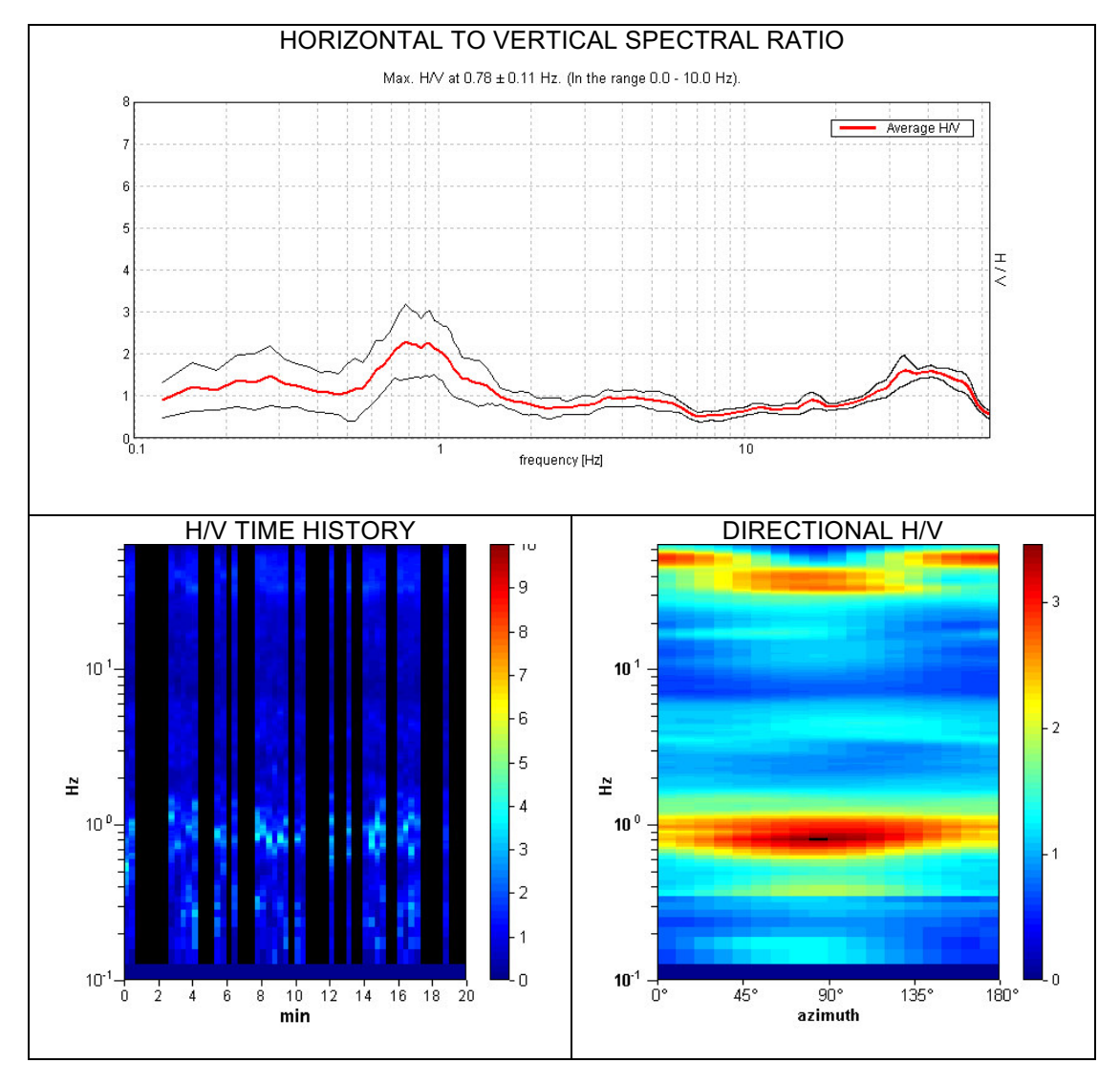
Channel labels: NORTH SOUTH; EAST WEST; UP DOWN

Trace length: 0h20'00". Analyzed 48% trace (manual window selection)

Sampling rate: 128 Hz Window size: 20 s

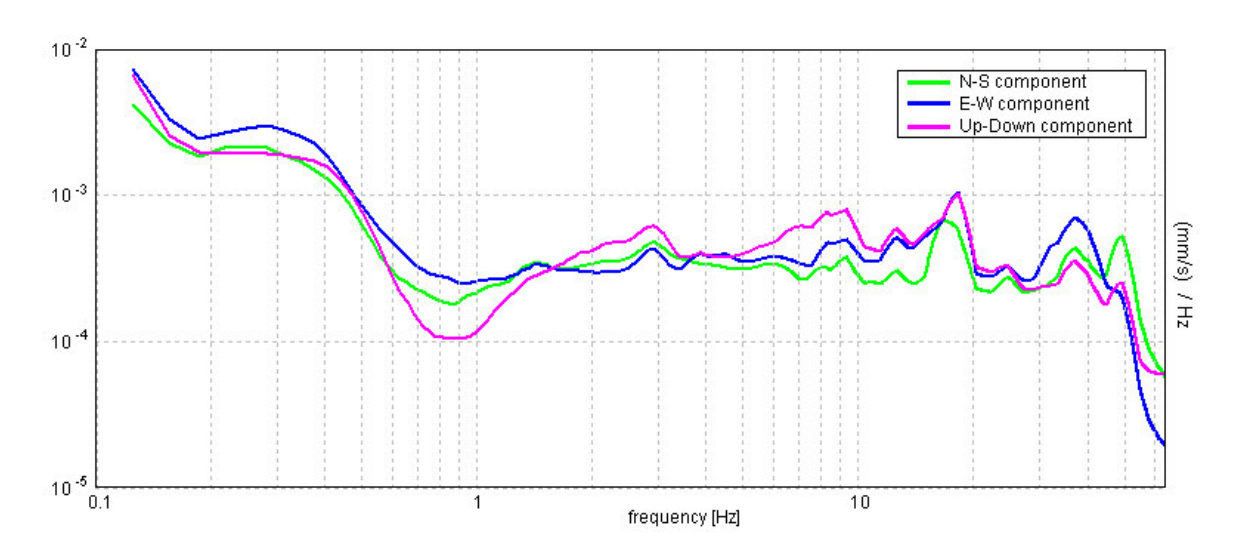
Smoothing type: Triangular window

Smiithing: 10%



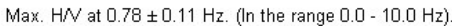
SCHEMI DI RESTITUZIONE GRAFICA (tempi e frequenze) DELLA MISURA TROMOGRAFICA

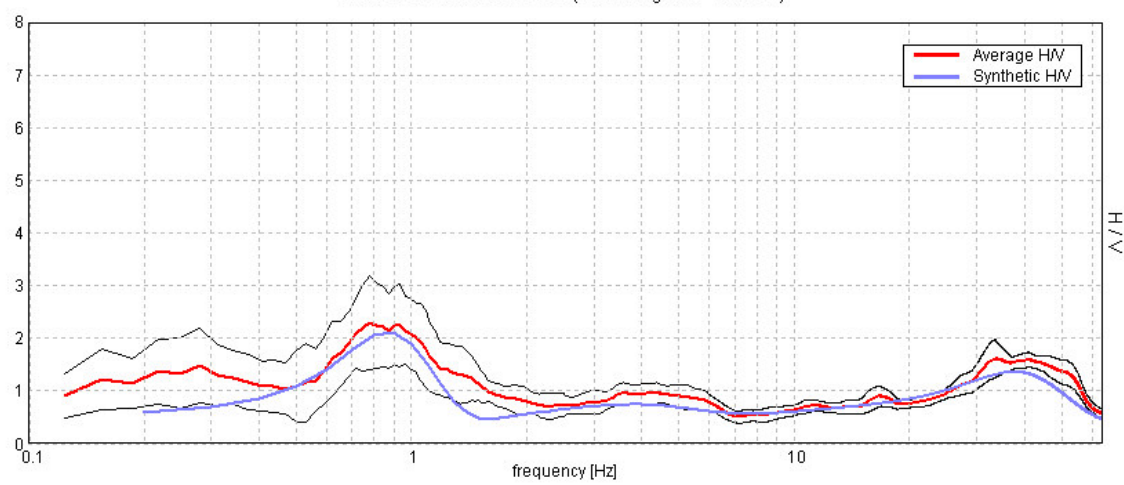
SINGLE COMPONENT SPECTRA



SCHEMI DI RESTITUZIONE GRAFICA (nel campo delle frequenze) DELLA MISURA TROMOGRAFICA.

EXPERIMENTAL VS. SYNTHETIC H/V

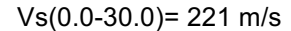


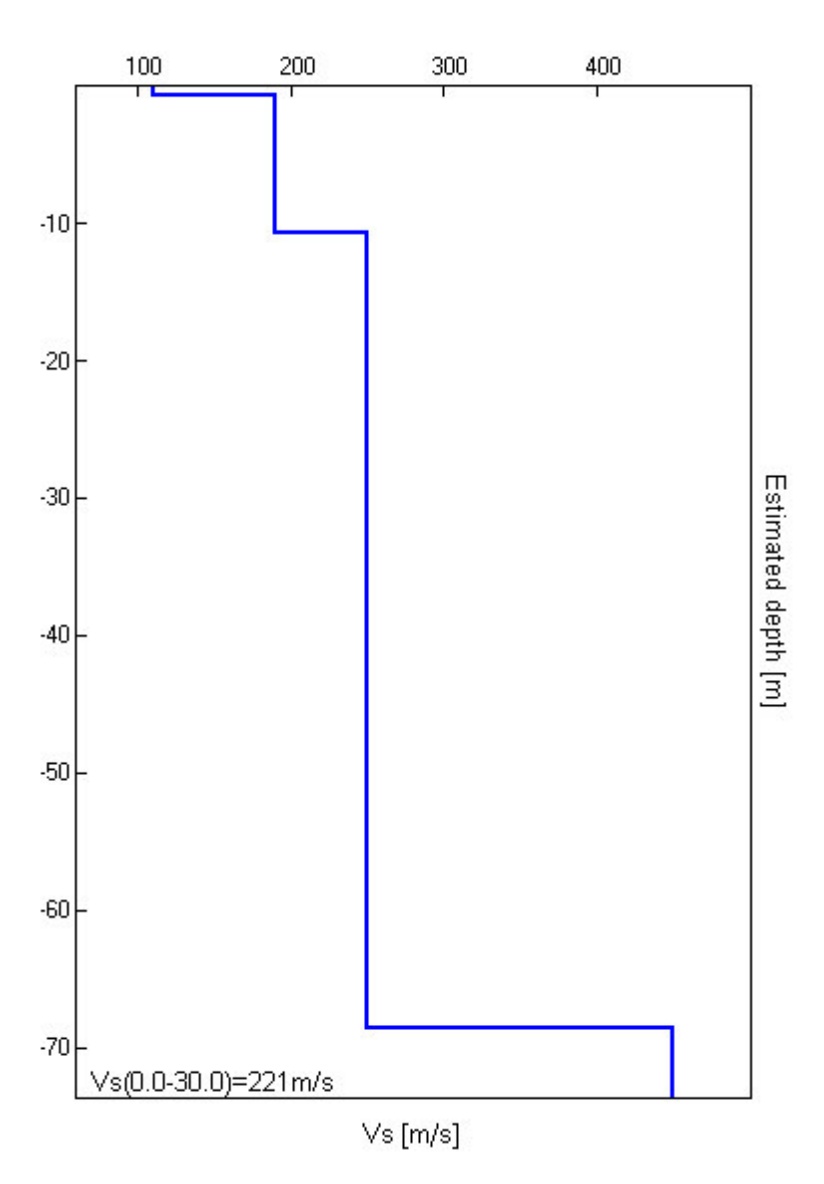


SCHEMI DI RESTITUZIONE DELLA MISURA TRAMITE LA METODOLOGIA H/V

Si noti la pressoché perfetta corrispondenza fra la curva H/V sintetica e quella misurata, a conferma della corretta elaborazione dei dati raccolti e quindi dell'attendibilità dell'indagine stessa.

Depth at the bottom of the layer [m]	Thickness [m]	Vs [m/s]	Poisson ratio
0.65	0.65	110	0.42
10.65	10.00	190	0.42
PROFONDITA' MASSIMA INDAGATA: 68.65 m Ampiamente superiore ai 30,00 m previsti dal D.M./N.T.C	58.00	250	0.42
inf.	inf.	450	0.42





RESTITUZIONE GRAFICA DELL'INDIVIDUAZIONE DEI SISMOSTRATI TRAMITE H/V

According to the Sesame, 2005 guidelines Please read carefully the Grilla manual before interpreting the following tables

Max. H/V at 0.78 ± 0.11 Hz (in the range 0.0 - 10.0 Hz) Frequenza caratteristica del terreno di fondazione

	a for a reliable H/V curve 3 should be fulfilled]	
f ₀ > 10 / L _w	0.78 > 0.50	ОК
n _c (f ₀) > 200	468.8 > 200	ОК
$\sigma_A(f) < 2 \text{ for } 0.5f_0 < f < 2f_0 \text{ if } f_0 > 0.5Hz$ $\sigma_A(f) < 3 \text{ for } 0.5f_0 < f < 2f_0 \text{ if } f_0 < 0.5Hz$	Exceeded 0 out of 38 times	ОК
	ria for a clear H/V peak out of 6 should be fulfilled]	
Exists f in $[f_0/4, f_0] \mid A_{H/V}(f) < A_0 / 2$		ОК
Exists f^+ in $[f_0, 4f_0] A_{H/V}(f^+) < A_0 / 2$	3.063 Hz	ОК
A ₀ > 2	1.80 > 2	ОК
$f_{peak}[A_{H/V}(f) \pm \sigma_A(f)] = f_0 \pm 5\%$	0.05856 < 0.05	ОК
$\sigma_{f} < \varepsilon(f_0)$	0.04575 < 0.11719	ОК
$\sigma_{A}(f_0) < \theta \ (f_0)$	0.121 < 2.0	OK

L _w w	indow length							
••	number of windows used in the analysis							
	number of windows used in the analysis							
	urrent frequency	o, 0.00						
	/V peak frequenc	CV						
	andard deviation	•	equency					
· ·	reshold value for	•	, ,					
(0)	/V peak amplitud	•	,					
0	/V curve amplitud	, ,	•					
1 // V (- /	equency betweer	, ,		A ₀ /2				
	equency betweer							
				which the mean	A _{H/V} (f) curve			
	nould be multiplie		,		()			
σ _{logH/V} (f) st	andard deviation	of log A _{H//} (f) cu	ırve					
0/5 \	reshold value for	•,		(f_0)				
		,						
	Thre	shold values for	$r \sigma_f$ and $\sigma_A(f_0)$					
Freq. range [Hz] < 0.2 0.2 - 0.5 0.5 - 1.0 1.0 - 2.0								
ε(f ₀) [Hz]	0.25 f ₀	0.2 f ₀	0.15 f ₀	0.10 f ₀	0.05 f ₀			
$\theta(f_0)$ for $\sigma_A(f_0)$	3.0	2.5	2.0	1.78	1.58			
	0.48	0.40	0.30	0.25	0.20			
$\log \theta(f_0)$ for $\sigma_{\log H/V}(f_0)$								

Si sono potute rispettare tutte le "richieste" formali del protocollo SESAME, ad ulteriore conferma della validità della restituzione dell'indagine. La frequenza caratteristica del suolo in esame, può ritenersi sostanzialmente corretta, infatti riconduce a modalità vibratorie locali (a modificazioni del segnale sismico) di profondità congrua ad una interazione con le strutture da realizzarsi sull'area in esame e cioè individua una prima marcata discontinuità "sismica" (o di rigidezza sismica) alla profondità indicativamente di circa 69,00 m dal p.c. Occorrerà comunque tenere conto dell'intero range di frequenze comprese fra 0,60 e 1,50 Hz circa, nonché la frequenza di 0,28 Hz circa. Sono tutte, queste frequenze tipiche e caratteristiche della bassa Pianura Padana, come già ampiamente dimostrato da numerosissime indagini H/V e studi relativi eseguiti.

3.3 - Microzonazione sismica

L'Assemblea Legislativa della Regione Emilia-Romagna con deliberazione n.112 oggetto n.2131 del 02/05/2007 ha approvato l'atto di indirizzo e coordinamento tecnico ai sensi dell'art.16, c.1, della LR 20/2000: "Indirizzi per gli studi di microzonazione sismica in Emilia-Romagna per la pianificazione territoriale e urbanistica" e dei suoi allegati.

In tale documento sono forniti i criteri per l'individuazione delle aree soggette ad effetti locali e per la microzonazione sismica del territorio con particolare riguardo alla tipologia ed al livello di approfondimento degli studi da effettuare per una migliore definizione della risposta sismica locale. E' ormai accertato da numerosi studi a livello internazionale che, a parità di magnitudo e localizzazione della sorgente sismica (ipocentro), terreni con caratteristiche fisico meccaniche diverse subiscono deformazioni di intensità differente.

Strumentalmente, ciò è rilevabile attraverso la modifica del moto sismico (accelerogramma o spettro di risposta elastico) impressa in termini di accelerazione in un dato periodo di tempo. Infatti il moto sismico, impresso alle particelle, si propaga in modo contiguo nel terreno ampliandosi o smorzandosi in funzione del grado di addensamento e viscosità del materiale attraversato, caratterizzandosi per velocità delle onde di taglio (Vsh), più veloci tanto quanto il mezzo attraversato è addensato. Risulta di primaria importanza per una attenta analisi della risposta sismica locale, un'accurata indagine di campagna finalizzata alla definizione delle proprietà di seguito elencate:

Indagine geologica e geomorfologia classica:

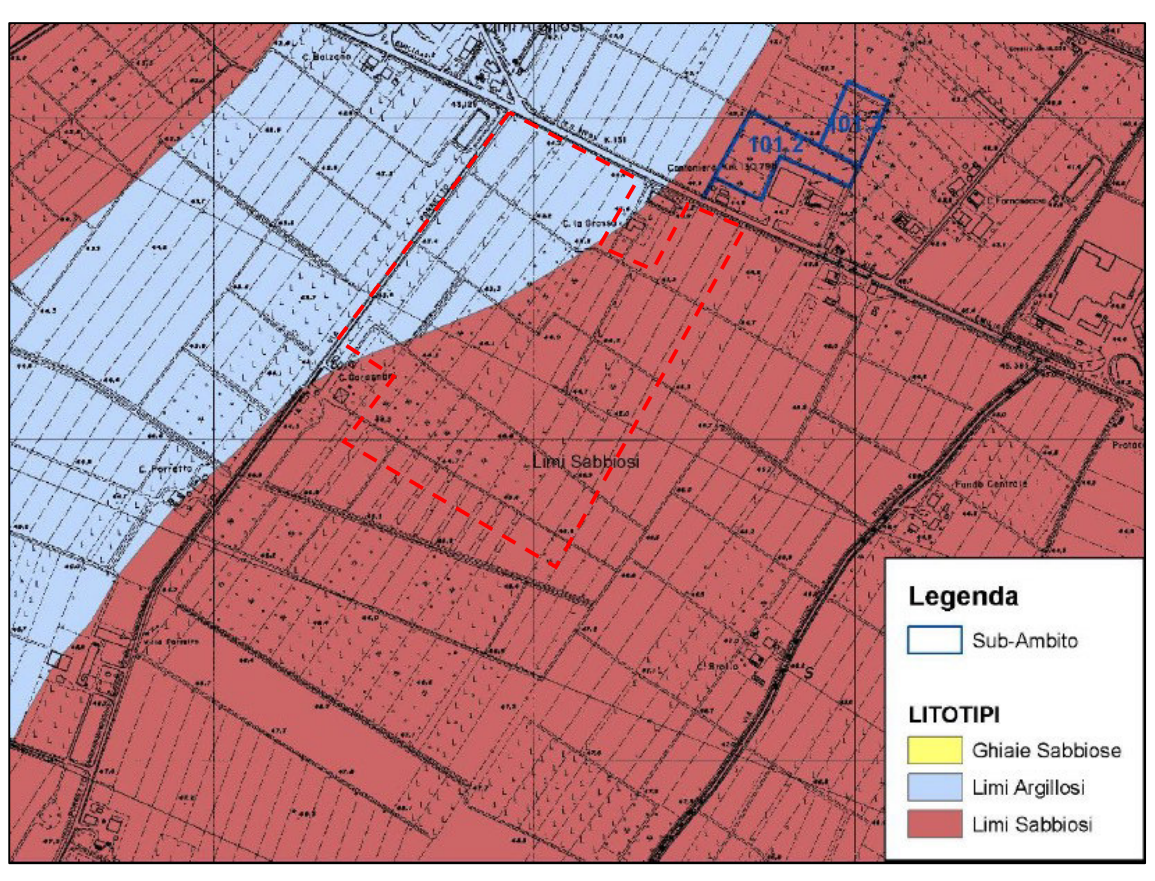
- a) Stratigrafia delle formazioni superficiali con definizione del contatto tra copertura superficiale e bedrock;
- b) Morfologia di dettaglio dell'area con rilievo delle forme lineari o strutturali che possono generare amplificazione del moto sismico.

Studi geofisici specifici:

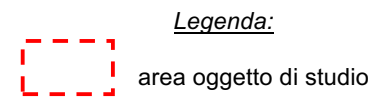
c) Profili di velocità delle onde sismiche trasversali Vs e longitudinali dentro le formazioni superficiali.

PRIMO LIVELLO DI APPROFONDIMENTO: Carta delle aree suscettibili di effetti locali

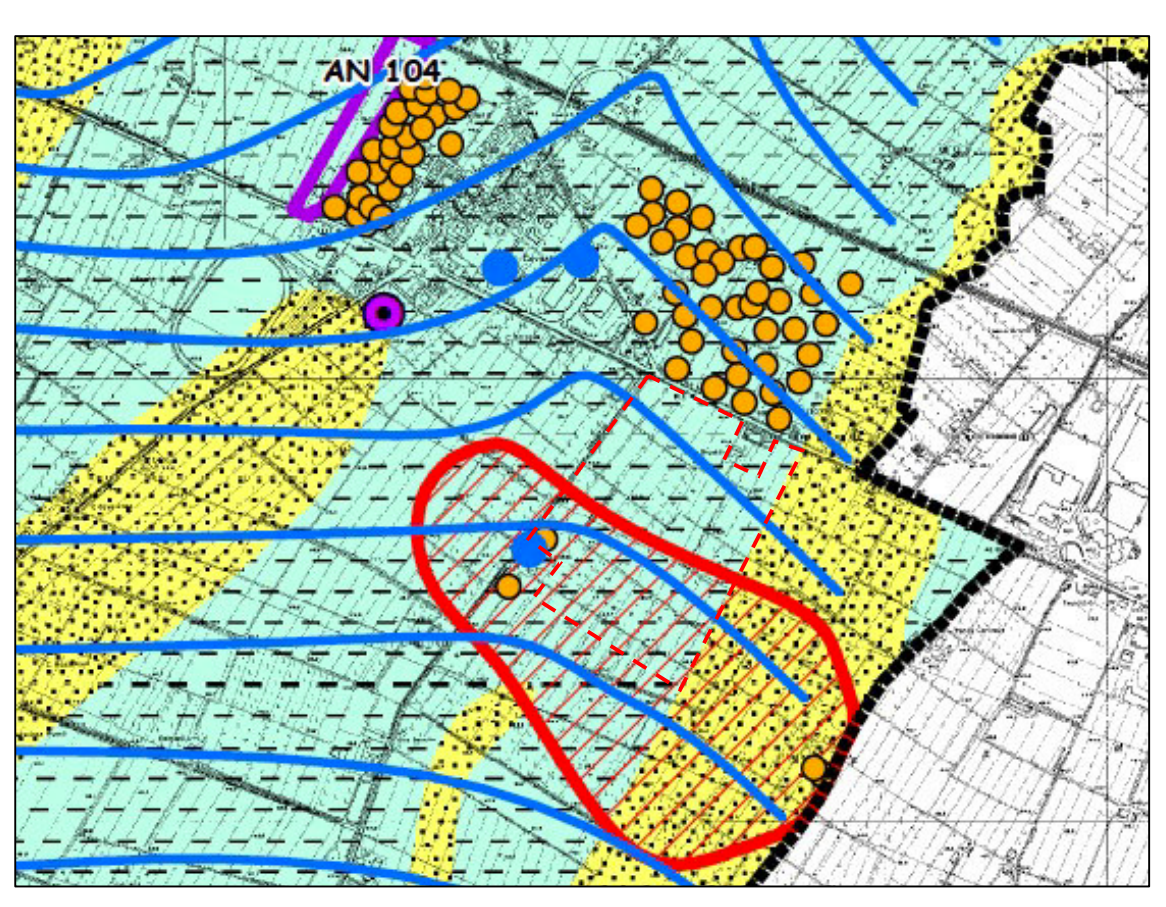
Il primo livello di approfondimento raggruppa gli studi e la cartografia di base propedeutica alla redazione della "Carta delle Aree Suscettibili di Effetti Locali" in cui sono evidenziate le zone caratterizzate da differenti scenari di pericolosità locale con indicazione degli effetti locali attesi. Tale elaborato tematico rappresenta la sintesi delle conoscenze a livello geologico-geomorfologico e di tipo urbanistico dalla cui integrazione delle informazioni si produce una prima zonizzazione delle aree potenzialmente soggette ad amplificazione di effetto locale a cui si associa un effetto atteso (liquefazione, cedimento, amplificazione del moto ecc...). Tale elaborato di sintesi è propedeutico per la scelta della tipologia di studio e per decidere a quale livello di approfondimento attenersi al fine di meglio caratterizzare una determinata area dal punto di vista sismico (microzonazione). Per la caratterizzazione geologica e geomorfologica della zona degli ambiti in oggetto si è fatto riferimento alla Carta Geologica-Geomorfologica della Regione Emilia Romagna riportata di seguito.



TAV. 5 - ESTRATTO P.S.C.: CARTA GEOLOGICA-GEOMORFOLOGICA



Come si evince dalla Carta Geologica-Geomorfologica il sottosuolo dell'ambito oggetto di studio è caratterizzato dalla presenza di litotipi prevalentemente limoso sabbiosi. Dal punto di vista geomorfologico l'ambito è compreso nell'area di piana alluvionale propriamente detta, caratterizzata da una morfologia pianeggiante, priva di evidenze geomorfologiche particolari. Nella Tavola "Carta delle aree suscettibili ad effetti locali" allegata al PSC (a cui si rimanda per una disamina di dettaglio) sono riportati i principali elementi e caratteristiche del territorio che concorrono a definire la pericolosità sismica locale per la zona in località Cavazzona nel comune di Castelfranco Emilia, mentre nella carta "Effetti attesi - Zonazione Sismica" viene rappresentata la suddivisione in ambiti caratterizzati da uguali effetti attesi in caso di sisma, indicando per ognuno di essi gli studi necessari nelle successive fasi pianificatorie. Facendo riferimento a queste due carte di seguito si riportano le osservazioni relative a ciascun ambito.



TAV. 6 - ESTRATTO P.S.C.: CARTA RELATIVA LE AREE SUSCETTIBILI DI EFFETTI LOCALI

<u>Legenda:</u> area oggetto di studio

Ubicazione prove penetrometriche

- Prove penetrometriche (campagna geognostica agosto 2008)
- O Prove penetrometriche (archivio)

Soggiacenza della falda acquifera

- Ubicazione dei pozzi di misurazione della soggiacenza (campagna piezometrica primavera 2002)
- Isolinee dei valori misurati di soggiacenza (m)

Aree suscettibili ad effetti locali

Aree individuate come suscettibili di cedimenti in base all'elaborazione dei dati penetrometrici. Depositi (spessore > 5 m) di terreni granulari sciolti o poco addensati o di terreni coesivi poco consistenti, caratterizzati da valori di Rp < 8kg/cmq.

Area potenzialmente soggetta ad amplificazione litologica.

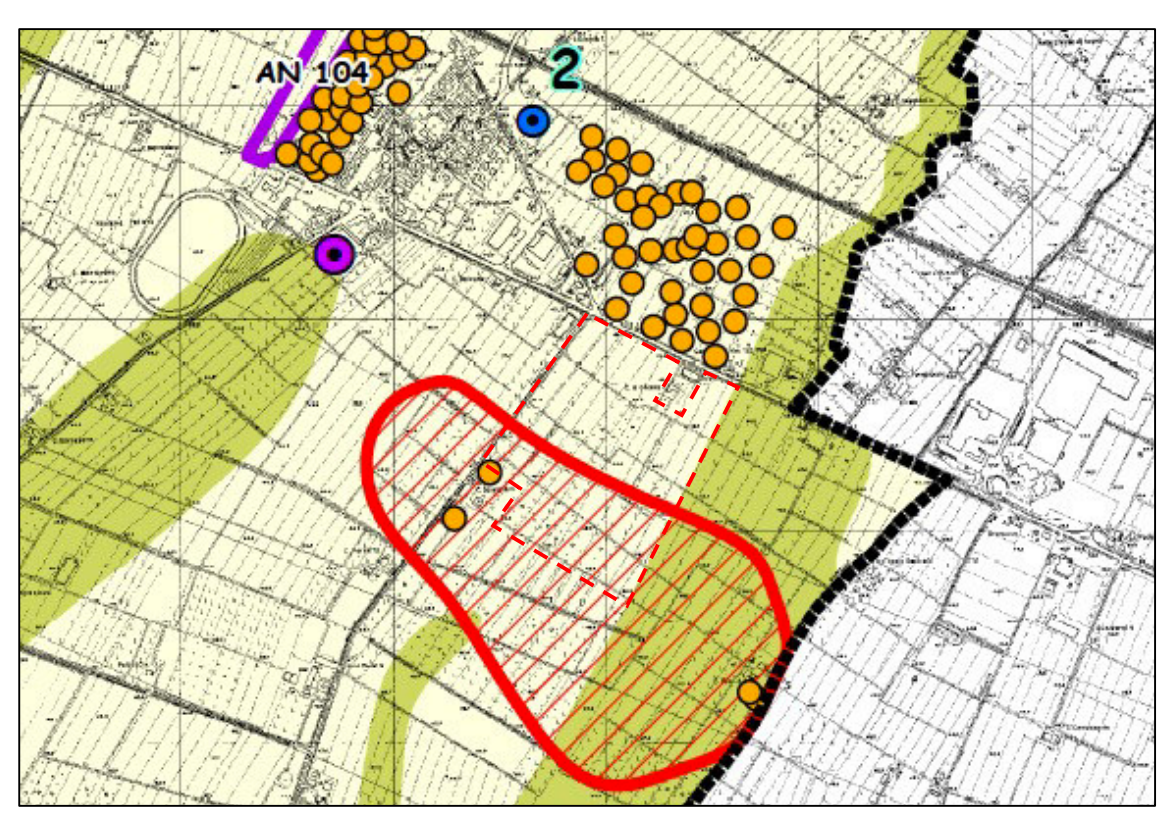
Area soggetta ad amplificazione per caratteristiche litologiche e a possibili cedimenti.

Area soggetta ad amplificazione per caratteristiche litologiche e a potenziale liquefazione e cedimenti.

Ambiti PSC

Nuovi ambiti con destinazione residenziale
Nuovi ambiti con destinazione produttiva

Confine comunale



TAV. 7 - ESTRATTO P.S.C.: CARTA RELATIVA AGLI EFFETTI ATTESI

Legenda:



area oggetto di studio

Effetti attesi

Aree individuate come suscettibili di cedimenti in base all'elaborazione dei dati penetrometrici. Depositi (spessore > 5 m) di terreni granulari sciolti o poco addensati o di terreni coesivi poco consistenti, caratterizzati da valori

di Rp < 8kg/cmq. Studi: valutazione del coefficiente di amplificazione litologico

e dei cedimenti attesi. Sono richiesti approfondimenti di III livello per la stima degli eventuali cedimenti post sismici.

Aree potenzialmente soggette ad amplificazione per caratteristiche litologiche. Studi: valutazione del coefficiente di amplificazione litologico.

Approfondimenti di II livello.

Aree soggette ad amplificazione per caratteristiche litologiche e a potenziale liquefazione.

Studi: valutazione del coefficiente di amplificazione litologico, del potenziale di liquefazione e dei cedimenti attesi.

Sono richiesti approfondimenti di III livello.

Aree soggette ad amplificazione per caratteristiche litologiche e a potenziali cedimenti.

Studi: valutazione del coefficiente di amplificazione litologico e dei cedimenti attesi.

Sono ritenuti sufficienti approfondimenti di II livello per la valutazione del coefficiente di amplificazione litologico e sono richiesti approfondimenti di III livello per la stima degli eventuali cedimenti post sismici in presenza di terreni con scadenti caratteristiche meccnaiche.

Ambiti PSC

Nuovi ambiti con destinazione residenziale Nuovi ambiti con destinazione produttiva

Confine comunale

Come si evince dall'osservazione delle due carte l'area oggetto di studio ricade in una zona individuata come "Area soggetta ad amplificazione per caratteristiche litologiche ed a possibili cedimenti". Gli studi richiesti per quest'ambito sono: la valutazione del coefficiente di amplificazione litologico, del potenziale di liquefazione e dei cedimenti attesi. Sono ritenuti sufficienti approfondimenti di II livello per la valutazione del coefficiente di amplificazione litologico e sono richiesti approfondimenti di III livello per la stima di eventuali cedimenti post sismici in presenza di terreni con scadenti caratteristiche meccaniche.

I corrispettivi effetti attesi e studi di approfondimento consigliati in fase esecutiva per una tale situazione geomorfologica e geologico-tecnica sono:

- 1) Area potenzialmente soggetta ad effetti locali indagini per caratterizzare Vs30; in caso Vs30 ≥ di 800 m/s non è richiesta nessuna ulteriore indagine, in caso Vs30 minore di 800 m/s è richiesta la valutazione del coefficiente di amplificazione litologico; microzonazione sismica: non richiesta nel primo caso, nel secondo caso approfondimenti del II livello.
- 2) Area potenzialmente soggetta ad amplificazione per caratteristiche litologiche studi: valutazione del coefficiente di amplificazione litologico. Tali classi, in relazione alla valutazione della microzonazione sismica (art.16; L.R. 20/2000 All.3), determinano di realizzare approfondimenti di III livello per la valutazione della possibilità di occorrenza di fenomeni di liquefazione e di stima di cedimenti permanenti nei terreni granulari saturi liquefacibili.

SECONDO LIVELLO DI APPROFONDIMENTO: microzonazione

Una volta identificati gli scenari che individuano il livello di approfondimento dell'area oggetto di studio, trattandosi di zona con variabilità di copertura detritica sia in senso laterale che verticale, si è valutato anche il coefficiente di amplificazione, effettuando una microzonazione sismica d'area della porzione in studio su cui vi sarà interazione tra deposito locale di terreno con Vs30 compreso tra 200 e 213 m/s. Quale sintesi dei risultati delle indagini per la definizione del modello sismostratigrafico e dei profili di velocità di propagazione delle onde di Taglio Vs si riportano, per l'area sismica oggetto di studio, i coefficienti di amplificazione sismica rispetto al suolo di riferimento secondo le tabelle con i coefficienti normalizzati riportati in Tab. A2.1.2 del D.R. 112. L'area oggetto del presente studio secondo la Delibera Regionale n°112 del 02.05.2007 ("Disciplina generale sulla tutela e l'uso del territorio", in merito a "Indirizzi per gli studi di micro zonazione sismica in Emilia-Romagna per la pianificazione territoriale e urbanistica") ricade in zona di pianura alluvionale (Pianura 2), con strato di sedimenti fini e coesivi interdigitati a lenti ghiaiose il cui spessore prima di raggiungere il bedrock formazionale o uno strato con elevato contrasto di impedenza "bedrock-like" è > di 100 m da p.c. Si riportano di seguito, per l'area oggetto di studio, i fattori di amplificazione sismica secondo il D.A.L. n°112/2007:

In ambito di pianura caratterizzato da profilo stratigrafico costituito da alternanze di sabbie e peliti, con spessori anche decametrici, talora con intercalazioni di orizzonti di ghiaie (di spessore anche decine di metri), con substrato profondo (≥ 100 m da p.c.) (PIANURA 2) si devono usare le seguenti tabelle. F.A. P.G.A 200 250 300 350 450 500 600 700 800 VS30 1.5 1.0 F.A. 1.5 1.5 1.4 1.3 1.1 1.0 1.4 1.4 F.A. INTENSITA' SPETTRALE - 0.1s < To < 0.5s 450 500 600 700 800 F.A. 1.8 1.7 1.7 1.4 1.2 1.0 1.0 1.8 1.5 1.3 F.A. INTENSITA' SPETTRALE - 0.5s < To < 1.0s 250 300 350 400 450 500 600 700 800 F.A. 2.3 1.5 1.2 1.0

La recente Deliberazione della Giunta Regionale n°2193 del dicembre 2015, introduce nuove tabelle e formule per la valutazione dei fattori di amplificazione sismica per le analisi del secondo livello di approfondimento e per la valutazione degli effetti topografici. Si riportano di seguito, per l'area sismica oggetto di studio, i coefficienti di amplificazione sismica rispetto al suolo di riferimento secondo le tabelle riportati in Tab. A2.1.2 del D.G.R. suddetto.

MARGINE: settore di transizione tra la zona collinare (Appennino) e la pianura caratterizzato da terreni prevalentemente fini sovrastanti orizzonti grossolani (ghiaie, ghiaie sabbiose); il substrato geologico è generalmente costituito da sabbie marine pleistoceniche o da peliti plio-pleistoceniche (substrato non rigido); questo settore è suddiviso in:

MARGINE di tipo A: caratterizzato da spessore dei terreni fini sovrastanti gli orizzonti grossolani inferiore a 30 m; gli strati grossolani sovrastano direttamente il substrato geologico;

	150	200	250	300	350	400
5	2.3	2.1	1.8	1.5		
10	2.3	2.2	2.0	1.8		
15	2.1	2.1	2.0	1.8		
20	2.1	2.1	2.0	1.9		
25	2.0	2.0	2.0	1.9		
30	1.9	1.9	1.9	1.9		

Fattori di Amplificazione PGA. Colonna 1 H (m), riga 1 VsH(m/s)

	150	200	250	300	350	400
5	2.2	1.9	1.7	1.6		
10	2.6	2.4	2.0	1.8		
15	2.6	2.5	2.2	1.9		
20	2.5	2.5	2.3	2.0		
25	2.3	2.3	2.2	2.1		
30	2.1	2.1	2.1	2.0		

Fattori di Amplificazione SII $(0.1s \le T_0 \le 0.5s)$. Colonna 1 H(m), riga 1 $Vs_H(m/s)$

	150	200	250	300	350	400
5	1.8	1.7	1.6	1.6		
10	2.3	2.0	1.8	1.7		
15	3.2	2.6	2.1	2.0		
20	3.5	3.1	2.5	2.1		
25	3.7	3.4	2.8	2.4		
30	3.6	3.5	3.0	2.6		

Fattori di Amplificazione SI2 (0.1s $\leq T_0 \leq 0.5s$). Colonna 1 H(m), riga 1 $Vs_H(m/s)$

3.4 - Valutazione della liquefacibilità dei terreni

Per liquefazione di un terreno s'intende il quasi totale annullamento della sua resistenza al taglio, con l'assunzione del comportamento meccanico caratteristico dei liquidi.

I fenomeni di liquefazione interessano i depositi sabbiosi saturi e dipendono da:

- proprietà geotecniche dei terreni;
- caratteristiche delle vibrazioni sismiche e loro durata;
- genesi e storia geologica dei terreni;
- fattori ambientali.

Un terreno incoerente saturo, in assenza di sollecitazioni sismiche è soggetto soltanto alla pressione litostatica, dovuta al peso dei sedimenti sovrastanti (in campo libero e con superficie piana). Durante una sollecitazione sismica vengono indotte nel terreno delle sollecitazioni cicliche di taglio, dovute alla propagazione delle onde sismiche verso la superficie, mentre la pressione litostatica resta costante.

Per tutta la durata della scossa ogni elemento di terreno è soggetto ad una serie di sforzi tangenziali che cambiano ripetutamente verso ed ampiezza.

Nel terreno si possono generare fenomeni di liquefazione se la scossa sismica produce un numero di cicli tale da far sì che la pressione interstiziale uguagli la pressione di confinamento. Nei depositi la pressione di confinamento aumenta con la profondità, mentre l'ampiezza dello sforzo di taglio indotto dal sisma diminuisce. La resistenza alla liquefazione quindi è maggiore con la profondità. Di conseguenza, maggiore è la durata di un terremoto (maggior numero di cicli), più alta è la possibilità che si arrivi alla liquefazione.

Inoltre, maggiore è l'ampiezza della vibrazione e della deformazione indotta e minore è il numero di cicli necessari per giungere a tale condizione.

Il terreno può essere però soggetto a sforzi di taglio statici dovuti alla presenza di strutture in superficie o alla sua particolare posizione (per esempio al di sotto di un versante).

In questo caso l'instaurarsi del fenomeno della liquefazione dipende, oltre che dalle caratteristiche del sisma, anche dal rapporto che si stabilisce tra le tensioni di taglio indotte da quest'ultimo e quelle statiche preesistenti al terremoto.

La probabilità che un deposito raggiunga le condizioni per la liquefazione dipende anche dallo stato di addensamento, dalla composizione granulometrica, dalle condizioni di drenaggio, dalla storia delle sollecitazioni sismiche e dall'età del deposito stesso.

Tanto minore è il grado di addensamento del materiale (elevato indice dei vuoti e bassa densità relativa) tanto maggiore è la probabilità che, a parità di altre condizioni, un deposito raggiunga lo stato di liquefazione.

Anche la distribuzione, la forma delle particelle e il grado di uniformità influenzano notevolmente il fenomeno, per le implicazioni che questi fattori hanno sulla resistenza al taglio e per il modo di dissiparsi della pressione interstiziale in eccesso.

Per quanto riguarda la storia delle sollecitazioni sismiche, si può affermare che precedenti deformazioni moderate influiscano positivamente sulla resistenza del deposito, mentre una storia caratterizzata da alti livelli di deformazione (deposito già soggetto a liquefazione) ha effetti negativi sul potenziale di riliquefazione.

I depositi sabbiosi con più alto potenziale di liquefazione sono i più recenti.

A parità di composizione e di altre condizioni lo stesso deposito, se più antico, avrà sviluppato legami intergranulari e cementazioni sempre più forti con il tempo. Inoltre, la struttura di un deposito antico sarà resa più stabile e omogenea per gli effetti delle vibrazioni indotte da precedenti terremoti di piccola entità.

La stima del potenziale di liquefazione è stata eseguita con metodi semplificati applicati ai dati delle prove penetrometriche effettuate (SCPTU1, SCPTU2 e CPTU3); in particolare si è utilizzato il metodo di Robertson & Wride (1998) appositamente calibrato per la prova penetrometrica statica eseguita con punta elettrica, e consigliato negli atti di indirizzo per la micro zonazione sismica dell'Emilia Romagna.

Per il calcolo del MSF si è invece utilizzata la correlazione proposta da Idriss e Boulanger (2008). Il metodo suddetto richiede che venga definito un sisma di progetto, attraverso l'introduzione dell'accelerazione sismica orizzontale massima in superficie e della magnitudo di riferimento.

L'accelerazione utilizzata per il calcolo del Cyclic Stress Ratio (CSR) è quella ricavata dalla mappa di pericolosità sismica dell'INGV per lo SLV, moltiplicata per S (coefficiente correttore $S = S_S \times S_T = 1,465 \times 1,00$) e corrispondente a 0,240 (0,164 x 1,465), mentre la magnitudo del sisma di progetto, elaborata da I.N.G.V. (2003), attribuisce l'ambito territoriale in oggetto vicino alla zona sismogenetica ZS912 a cui corrisponde una magnitudo massima di 6,14. In sintesi:

a_q (accelerazione di picco su suolo rigido) = 0,164

S_S (coefficiente di amplificazione stratigrafica) = 1,465

 S_T (coefficiente topografico) = 1,00

S (coefficiente correttore) = $S_S \times S_T = 1,465$

 a_{gmax} (accelerazione di picco nel sito) = 0,164 x 1,465 = 0,240

L'indice del potenziale di liquefazione IP_L del terreno (Iwasaki et. al. 1978), come da allegato alle pagine successive, dagli atti di indirizzo della regione Emilia Romagna, è risultato, per le verticali prese come riferimento:

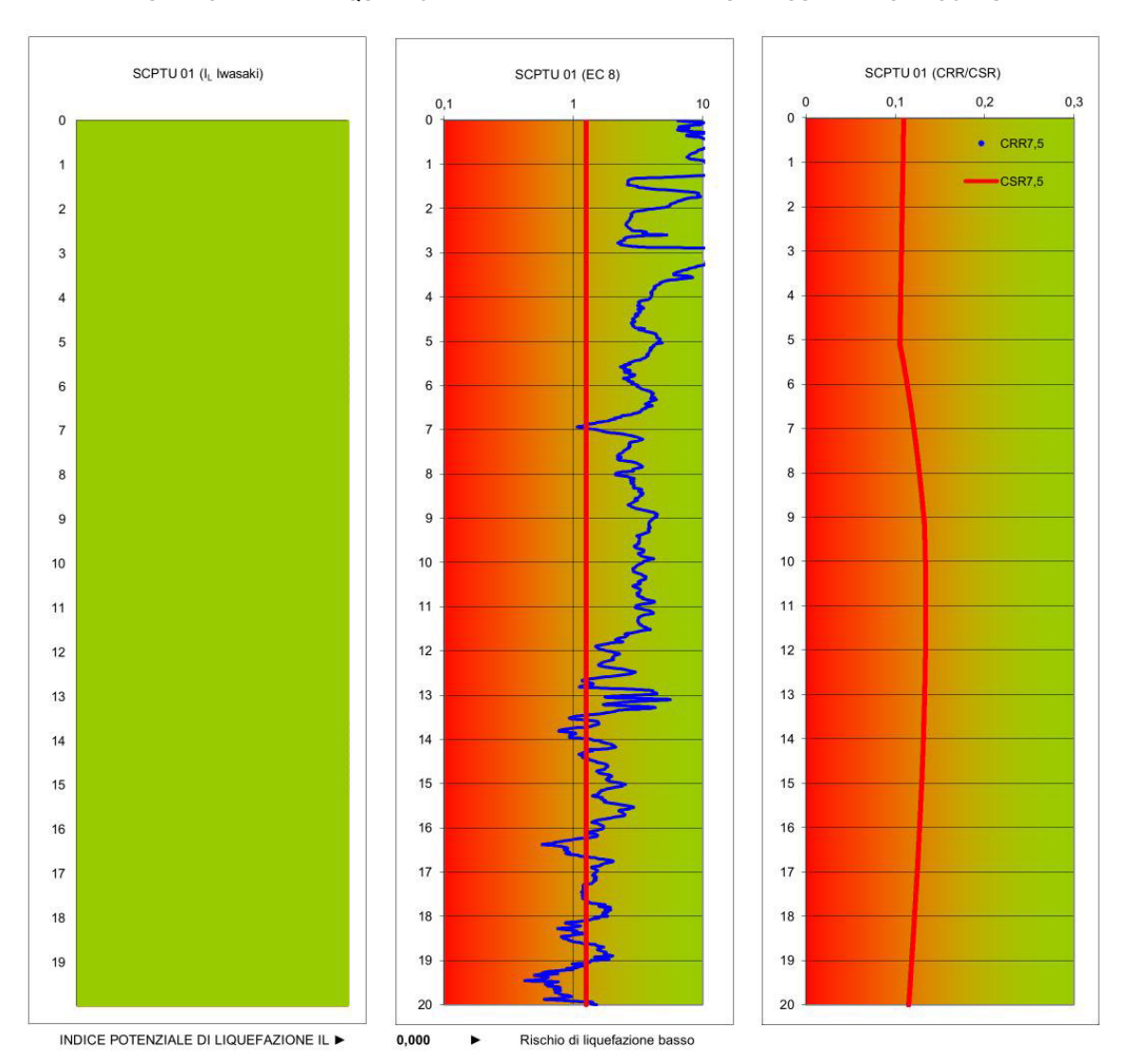
- > SCPTU1: IP_L = 0,000 (a cui corrisponde un rischio molto basso o nullo)
- ➤ SCPTU2: IP_L = 0,000 (a cui corrisponde un rischio molto basso o nullo)
- CPTU3: IP_L = 0,000 (a cui corrisponde un rischio molto basso)

Tabella 1 - Correlazione tra l'indice del potenziale di liquefazione (IP_L Iwasaki et. al. 1978) e quello (IP_L), di Sonmez H. 2003

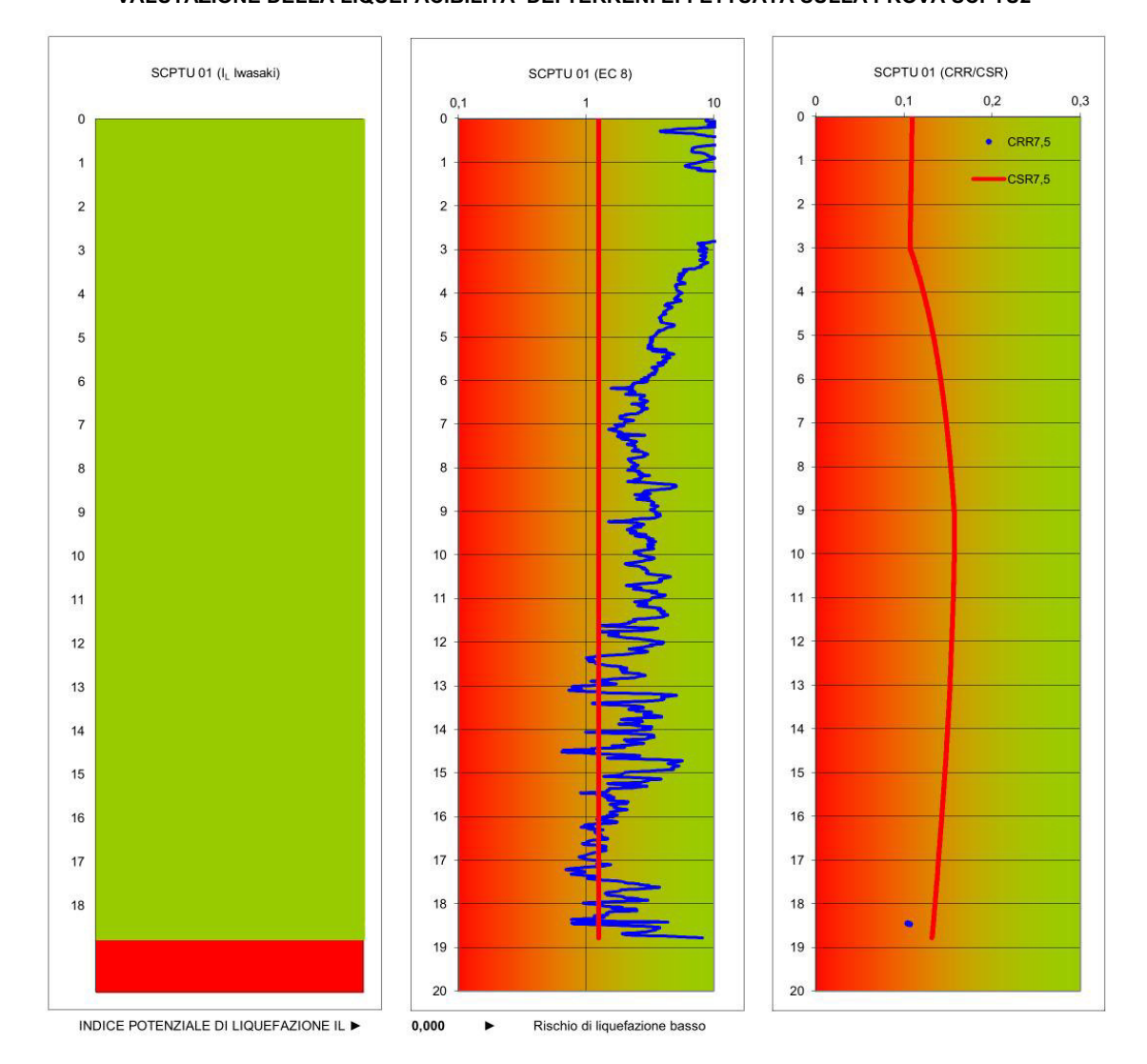
Valore IP∟ (Iwasaki et. al. 1978)	Potenziale di I	iquefazione	Valore IP _L (Sonmez H. 2003)
IP _L = 0	Molto bass	o / Nullo	$IP_L = 0$
0 < IP₁ ≤ 5	Basso	Basso	0 ≤ IP _L < 2
0 111 [3 3	Dasso	Moderato	2 ≤ IP _L < 5
5 < IP _L ≤ 15	Alto		5 ≤ IP _L < 15
IP _L > 15	Molto	alto	IP _L ≥ 15

Nei grafici sotto riportati, gli orizzonti in cui FL (fattore di sicurezza alla liquefazione) è inferiore all'unità sono contraddistinti dal colore rosso, e come si può notare nei primi elaborati grafici (colonne di sinistra), non ne è presente nessuno. I secondi grafici, che mostrano l'andamento del fattore di sicurezza confrontato con la soglia di attenzione di 1.25, indicata dall'Eurocodice 8, evidenzia la presenza di qualche livello con possibilità di liquefazione. Il grafico più a destra mostra invece la posizione relativa della resistenza alla liquefazione dei livelli sabbiosi CRR, rispetto alla sollecitazione sismica di progetto CSR, dei soli livelli sabbiosi il cui fattore di sicurezza nei confronti della liquefazione è inferiore a 1. Si riportano di seguito le risultanze delle analisi effettuate.

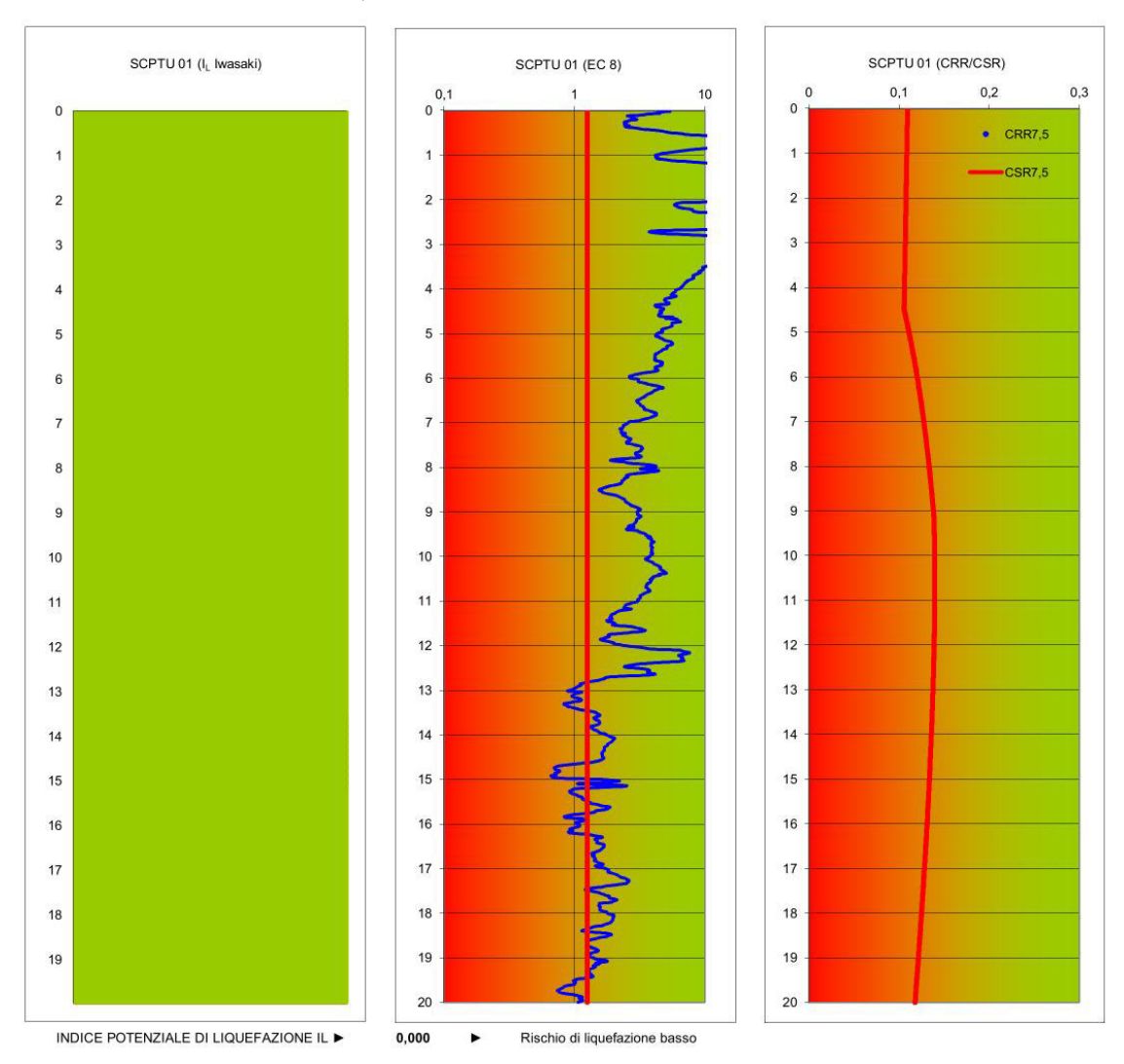
VALUTAZIONE DELLA LIQUEFACIBILITA' DEI TERRENI EFFETTUATA SULLA PROVA SCPTU1



VALUTAZIONE DELLA LIQUEFACIBILITA' DEI TERRENI EFFETTUATA SULLA PROVA SCPTU2



VALUTAZIONE DELLA LIQUEFACIBILITA' DEI TERRENI EFFETTUATA SULLA PROVA CPTU3



Da segnalare come l'effetto di liquefazione nei sedimenti granulari è funzione della magnitudo del sisma ed anche della distanza dall'epicentro del terremoto; quest'ultima costituisce infatti un importante parametro di stima della liquefacibilità (P. Galli, 2000). Ciò detto, per eventi di magnitudo inferiore a 6.0 la distanza dalla zona epicentrale per produrre liquefazione deve essere molto modesta, dell'ordine della decina di chilometri. I sismi attesi nell'area modenese, con magnitudo massima di 5.5 hanno per lo più epicentro nell'Appennino, nel Ferrarese, o nella Pianura tra Reggio e Modena, come ad esempio i recenti eventi sismici che hanno interessato la bassa pianura padana. Per l'elaborazione dei dati suddetti è stato impiegato un software di calcolo che permette di verificare la liquefazione dei terreni, basandosi sulla teoria di Robertson e Wride (1998). In assenza di prove geotecniche di laboratorio le suddette indicazioni hanno validità orientativa.

3.5 - Stima dei cedimenti permanenti post-sismici (III Livello di approfondimento)

La stima dei cedimenti permanenti nei terreni dell'area in esame è stata effettuata, a titolo puramente orientativo, con riferimento all'Atto di indirizzo e coordinamento tecnico ai sensi dell'art.16, c.1, della L.R. 20/2000 per "Indirizzi per gli studi di micro zonizzazione sismica in

Emilia-Romagna per la pianificazione territoriale e urbanistica" del 2 maggio 2007 (progr.112) dell'Assemblea legislativa della Regione Emilia-Romagna. A tale scopo è stata utilizzata la seguente formula:

$$\Delta H = \epsilon_v H$$

dove: H = altezza dello strato liquefacibile

 ε_{v} (%) = deformazione volumetrica, calcolabile nel seguente modo:

$$\varepsilon_{v} = \frac{\alpha C_{r}}{1 + e_{0}} \log \left(\frac{1}{1 - \frac{\Delta u}{\sigma'_{0}}} \right)$$

dove:

α = costante sperimentale in prima approssimazione uguale a 1

Cr = indice di riconsolidazione postciclica = 0,225 Cc

Cc = indice di compressione ottenuto in prove edometriche

e₀ = indice dei vuoti iniziale

 $\Delta u/\sigma'_0$ = rapporto di pressione interstiziale (r_u), è stato valutato con la Tabella 2 dell'allegato A3 della norma, in funzione della deformazione massima γ_{max} indotta dal terremoto, dove:

$$\gamma_{max} = 0.65 \; \frac{a_{max}}{g} \; \sigma_v \; r_d \; \frac{1}{MSF}$$

con:

a_{max} = accelerazione sismica massima;

g = accelerazione di gravità = 9.81 m/s²;

 σ_{v0} = pressione verticale totale alla profondità z dal p.c.;

 $\sigma_{v0'}$ = pressione verticale efficace alla profondità z dal p.c.;

 r_d = coefficiente funzione della prof. dal p.c., valutabile secondo il seguente schema:

 $r_d = 1-0.00765z \text{ per } z \le 9.15 \text{ m}$

 $r_d = 1.174-0.0267z \text{ per } 9.15 < z \le 23 \text{ m}$

 $r_d = 0.774-0.008z \text{ per } 23 < z \le 30 \text{ m}$

 $r_d = 0.5 \text{ per z} > 30 \text{ m}$

MSF = coefficiente correttivo funzione della magnitudo del sisma

La stima orientativa dei cedimenti sismici permanenti è stata eseguita per ogni singola verticale di prova realizzata nell'area oggetto di studio, tenendo conto dell'amplificazione locale della risposta sismica in accordo con quanto prescritto al punto (E) dell'allegato A3 della D.A.L. n°112/2007 e s.m.i. Nei calcoli sono stati assunti valori prudenziali ricavati dalla letteratura geotecnica. Per il calcolo dei cedimenti non è stato considerato il primo metro di terreno, in quanto interessato dallo scavo di fondazione. Inoltre, il calcolo ha interessato una profondità di indagine variabile tra i -16,56 m da p.c. (SCPTU1), 14,18 (SCPTU2) e -16,00 (CPTU3). Dai calcoli effettuati in corrispondenza delle tre verticali di prova si stima un cedimento totale post-sismico compreso tra 4,4 cm per la SCPTU1, 4,9 cm per la SCPTU2 e 4,0 cm per la CPTU3.

RELAZIONE GEOTECNICA:

4 - INDAGINI, CARATTERIZZAZIONE E MODELLAZIONE GEOTECNICA

La caratterizzazione geotecnica consiste nell'individuazione, in funzione del tipo di opera e/o intervento, delle caratteristiche fisiche e meccaniche del terreno, necessarie alla definizione del modello geotecnico, alla valutazione della sicurezza, della funzionalità in relazione alle prestazioni attese, curabilità e robustezza delle opere.

Per la caratterizzazione e determinazione dei parametri geomeccanici dei terreni di fondazione dell'area in esame vengono prese in considerazione le prove penetrometriche statiche (SCPTU1-SCPTU2-CPTU3) eseguite dal sottoscritto in data 08/09/2016. Tali prove risultano ubicate come indicato in Tav.3 a pagina 11 e Tav.5 a pagina 12. La caratterizzazione geotecnica dei terreni di fondazione, determinata con prove penetromentriche statiche, è stata definita mediante l'utilizzo di un penetrometro GeoMill da 200 kN di spinta massima, montato su autocarro Mercedes Unimog 4X4.

Si segnala che non è stato possibile approfondire le prove penetrometriche di cui sopra oltre la profondità di -23,00 m da p.c., per la presenza di un orizzonte ghiaioso impenetrabile.

I valori vengono determinati attraverso l'infissione nel terreno di una punta conica strumentata con sensori elettrici, collegata tramite cavo ad una unità di acquisizione in superficie. La punta elettrica utilizzata, presenta le seguenti caratteristiche:

-	diametro di base del cono	f =	35.7 mm
-	area della punta conica	Ap =	10 cm ²
-	angolo apertura del cono	B =	60°
_	superficie laterale manicotto	Am =	150 cm ²

4.1 - Metodologia d'esecuzione ed interpretazione delle CPTU

Scopo delle prove penetrometriche è quello di fornire i valori di resistenza degli strati di terreno attraversati dalla batteria di perforazione.

Le prove penetrometriche statiche con punta elettrica CPTU (CPT = Cone Penetration Test; U = con misura della pressione neutra U) consistono nell'infissione nel terreno del punta (piezocono) strumentata di celle di carico, per la misura dei parametri di resistenza di punta (qc), di resistenza all'attrito laterale (fs) e delle sovrappressioni interstiziali (u).

4.2 - Elaborazione dati prove penetrometriche statiche

L'elaborazione dei valori di resistenza all'infissione, caratteristici dei vari livelli del substrato, forniscono utili informazioni relativi i principali parametri geotecnici stimati: coesione non drenata Cu, angolo di attrito interno efficace Ø, densità relativa Dr, peso di volume y', ecc).

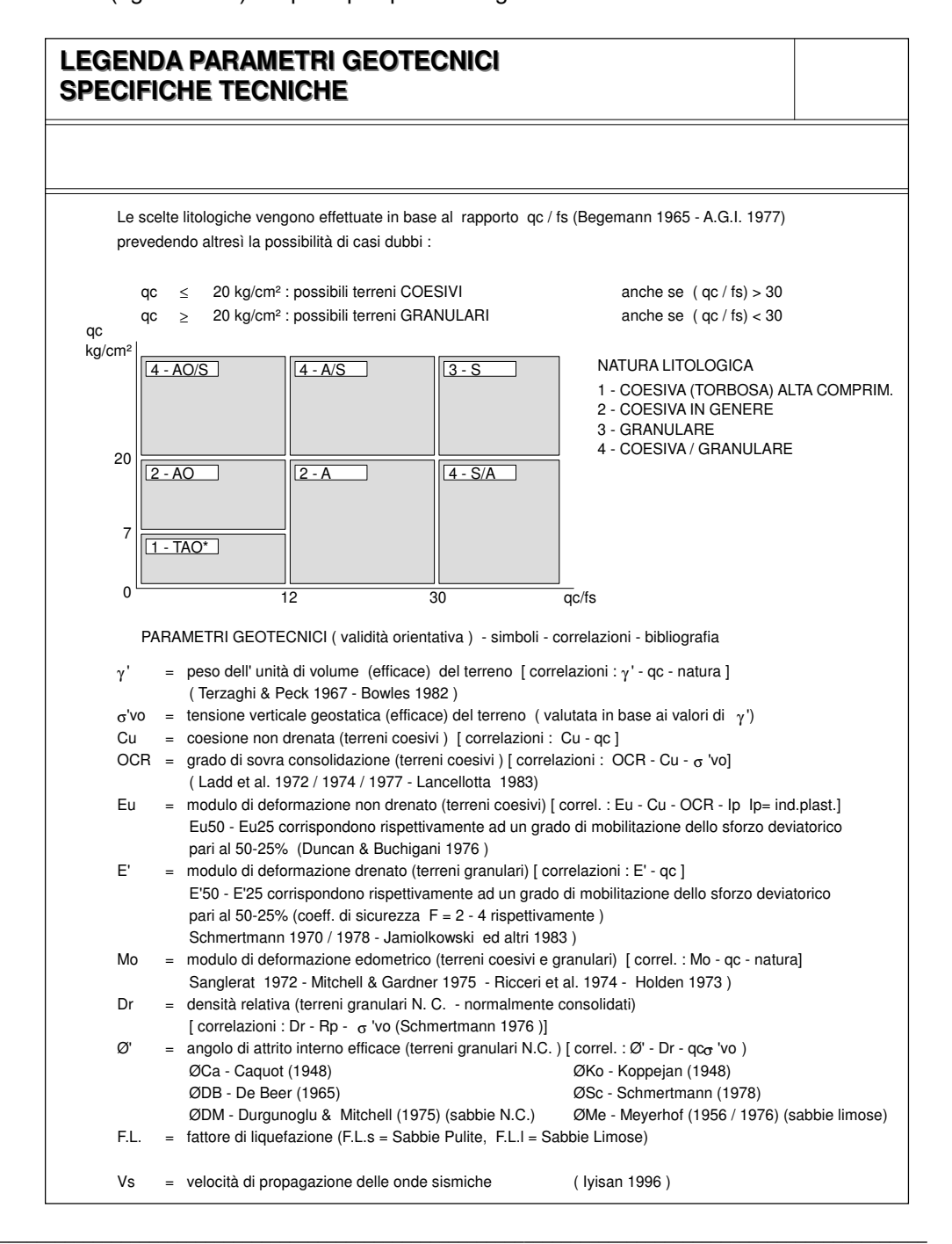
Le elaborazioni sopra citate fanno riferimento ad esperienze e ricerche condotte in vari Paesi da diversi Autori, nonché a conoscenze personali da parte di chi scrive. In assenza di prove geotecniche di laboratorio su campioni indisturbati le suddette correlazioni hanno validità orientativa.

Dall'osservazione dei risultati delle prove penetrometriche eseguite si evince che il sottosuolo dell'area in studio è caratterizzato dalla presenza di una monotona sequenza argilloso limosa a consistenza variabile cui segue un orizzonte ghiaioso molto addensato.

Al di sotto dello strato di terreno superficiale sovraconsolidato è presente uno strato argilloso-limoso continuo sino a circa 18,40/22,40 m, caratterizzato da consistenza mediocre con valori di Rpm pari a circa 11 kg/cm² e valori medi minimi pari a 7 kg/cm².

Segue, fino alla massima profondità raggiunta dai test penetrometrici (-23,00 m da p.c.) un orizzonte ghiaioso molto addensato (con valori medi di Rpm sempre >150 kg/cm²), risultato impenetrabile dallo strumento.

Con riferimento ai dati acquisiti durante la campagna geognostica si riportano di seguito le risultanze (ogni 20 cm.) dei principali parametri geotecnici riscontrati.



PROVA SCPTU1 (letture medie ogni 20 cm)

Studio di Geologia e Geotecnica di Dott. Geol. Alessandro Boni Via Giulio Romano n.54 - Ostiglia (MN) Tel e Fax 0386.31727 - Cell 335.8470747

PROVA	PENETROMETR	ICA STATIC	A MECCAN	NICA			CPT riferiment		1 -09-2016
PARAM	IETRI GEOTECNI	CI					memmem	, 00-	03-2010
Damentina	0110				U.M.: k	g/cm²	Data esec		18/09/2016
Committente: Cantiere:	CMC Studio terreni di fondazione					•	Dala esec	0	10/09/2010
_ocalità:	Località Cavazzona, Castelfr	anco Emilia (MO)			Pagina: Elaborato:	1	Falda: -5	5,10 m d	a p.c.
		NATURA C					GRANU		
Prof. qc m U.M.	qc/fs zone γ' σ' vo Vs t/m^3 U.M. m/s	Cu OCR Eu50 U.M. % U.M.	Eu25 Mo Dr U.M. U.M. %	Sc Ca		DM Me (°) (°)		2 E'50 U.M.	E'25 Mo U.M. U.M.
0,20 32,0 0,40 38,0 0,60 56,0	118,5 3 1,85 20 65,5 3 1,85 218 54,4 3 1,85 25		100 100 100	43 43 43 41 43 41	41 38 38 36 38 36	45 29 44 30 44 31)	53,3 63,3 93,3	80,0 96 95,0 114 140,0 168
0,80 56,0 1,00 40,0	55,4 3 1,85 25 32,3 3 1,85 22	= = =	99 82	43 39 41 36	37 34 34 31	43 31 40 30		93,3 66,7	140,0 168 100,0 120
1,20 34,0 1,40 44,0 1,60 39,0	18,2 4 \(\sigma\) 1,85 20(41,5 3 1,85 23(45,9 3 1,85 0,50 22(289,0 102,0 72 77 69	40 35 40 35 40 34	32 30 33 30 31 29	39 29 39 31 38 30		56,7 73,3 65,0	85,0 102 110,0 132 97,5 117
1,80 36,0 2,00 43,0 2,20 39,0	22,1 4 \(\sqrt{0} \) 1,85 0,33 214 30,1 3 1,85 0,37 224 41,1 3 1,85 0,41 220	1,20 31,2 204,0	306,0 108,0 64 67 62	39 33 39 33 39 32	30 28 31 29 30 28	37 30 38 30 37 30))	60,0 71,7 65,0	90,0 108 107,5 129 97,5 117
2,40 38,0 2,60 41,0	42,7 3 1,85 0,44 218 37,6 3 1,85 0,48 224		59 59	38 32 38 32	29 27 29 27	36 30 36 30))	63,3 68,3	95,0 114 102,5 123
2,80 46,0 3,00 29,0 3,20 16,0	48,4 3 1,85 0,52 234 25,7 4 \(\sigma\) 1,85 0,56 19 17,4 2 == 1,85 0,59 15	0,98 12,8 167,1 0,70 7,7 143,8	61 250,7 87,0 44 215,7 51,8	39 32 37 29	29 27 26 25	36 31 33 29		76,7 48,3	115,0 138 72,5 87
3,40 13,0 3,60 11,0	17,6 2 == 1,85 0,63 145 17,5 2 == 1,85 0,67 13	0,60 6,0 166,7 0,54 4,8 184,8	250,0 46,5 277,2 42,5	= =	: :			= =	
3,80 8,0 4,00 7,0 4,20 6,0	20,6 2 1,85 0,74 115 16,7 2 1,85 0,78 105	0,40 3,1 194,0 0,35 2,5 186,4 0,30 1,9 169,4	291,0 35,2 279,6 32,2 254,1 28,8	= =	= =	= =	-	= =	
4,40 7,0 4,60 6,0 4.80 7.0	26,9 2 == 1,85 0,81 11; 21,4 2 == 1,85 0,85 10; 29,2 2 == 1,85 0,89 11;	0,30 1,7 172,4	288,6 32,2 258,5 28,8 295,1 32,2						
5,00 10,0 5,20 10,0	28,6 2 1,85 0,93 13; 19,2 2 0,90 0,94 13;	0,50 2,9 250,2 0,50 2,8 252,9	375,3 40,0 379,3 40,0	= =	: :	- :		= =	
5,40 9,0 5,60 7,0 5,80 7,0	18,0 2 == 0,88 0,96 12 16,3 2 == 0,84 0,98 11 24,1 2 == 0,84 0,99 11	0,35 1,7 200,6 0,35 1,7 201,1	360,7 37,8 300,8 32,2 301,7 32,2				-		
6,00 8,0 6,20 10,0 6,40 12.0	26,7 2 == 0,86 1,01 12 31,3 4 \(\sigma\)\(\sigma\) 0,86 1,03 13 19,4 2 == 0,92 1,05 14	0,40 2,0 224,7 0,50 2,5 263,4 0.57 2,9 284,4	337,0 35,2 395,1 40,0 426,6 44,6	31 21	18 17	25 26	-	16,7	25,0 30
6,60 11,0 6,80 8,0	17,2 2 0,91 1,07 13 14,5 2 0,86 1,08 12	0,54 2,7 278,3 0,40 1,8 227,9	417,5 42,5 341,8 35,2	= =	: :	= =		= =	
7,00 5,0 7,20 9,0 7,40 10,0	18,5 2 0,80 1,10 10 33,3 4 0 0,85 1,12 12 21,3 2 0,90 1,13 13	0,25 1,0 150,0 0,45 2,0 251,6 0,50 2,3 272,7	225,0 25,0 377,3 37,8 409,1 40,0	31 20	17 16	25 26		15,0	22,5 27
7,60 9,0 7,80 10,0 8,00 11,0	16,7 2 0,88 1,15 12 19,2 2 0,90 1,17 13 20,0 2 0,91 1,19 13	0,45 1,9 253,4 0,50 2,2 275,2 0,54 2,3 290,4	380,1 37,8 412,9 40,0 435,6 42,5						=
8,20 11,0 8,40 12,0	20,4 2 == 0,91 1,21 13 17,9 2 == 0,92 1,22 14	0,54 2,3 291,8 0,57 2,4 305,7	437,7 42,5 458,6 44,6				-		=
8,60 13,0 8,80 12,0 9,00 16,0	18,8 2 == 0,93 1,24 14; 18,5 2 == 0,92 1,26 14; 23,2 2 == 0,96 1,28 15;	0,60 2,6 318,4 0,57 2,3 309,0 0.70 2.9 347.1	477,5 46,5 463,4 44,6 520,6 51,8	= =			-	= =	
9,20 16,0 9,40 15,0 9,60 14,0	18,8 2 = 0,96 1,30 15 20,8 2 = 0,95 1,32 15 22,6 2 = 0,94 1,34 150	0,70 2,9 350,0 0,67 2,7 345,2 0,64 2,5 338,0	525,0 51,8 517,8 49,5 507,1 48,2					: :	
9,80 14,0 10,00 16,0	20,6 2 == 0,94 1,36 150 19,0 2 == 0,96 1,38 150	0,64 2,4 339,8 0,70 2,7 360,1	509,8 48,2 540,2 51,8	= =	= =	= =	=	= =	=
10,20 14,0 10,40 16,0 10,60 15,0	17,1 2 == 0,94 1,39 150 21,6 2 == 0,96 1,41 15: 20,5 2 == 0,95 1,43 154	0,64 2,4 343,2 0,70 2,6 364,5 0,67 2,4 357,1	514,8 48,2 546,7 51,8 535,6 49,5	= =			-	= =	=
10,80 15,0 11,00 16,0	35,7 4 \(\infty \cdot \) 0,89 1,45 15- 33,3 4 \(\infty \cdot \) 0,90 1,47 15:	0,67 2,4 358,7 0,70 2,5 370,1	538,0 49,5 555,2 51,8	31 21 31 22 31 22	18 17 18 17 18 18	25 27 25 27 25 27		25,0 26,7 28,3	40.0 48
11,20 17,0 11,40 15,0 11,60 16,0	35,4 4 \(\sqrt{0}\) 0,91 1,49 16 23,8 2 \(\frac{1}{22}\) 0,95 1,51 15 25,4 2 \(\frac{1}{22}\) 0,96 1,52 15	0,72 2,6 380,8 0,67 2,3 363,1 0,70 2,4 375,2	544,7 49,5 562,8 51,8		18 18 	25 27		20,3	42,5 51
11,80 12,0 1 2,00 10,0 12,20 12.0	24,5 2 0,92 1,54 14 18,9 2 0,90 1,56 13; 24,0 2 0,92 1,58 14	0,57 1,8 325,4 0,50 1,5 291,4 0,57 1,8 326,8	488,1 44,6 437,1 40,0 490,2 44,6				-		
2,40 10,0 2,60 14,0 2,80 8,0	21,7 2 = 0,90 1,60 13 26,9 2 = 0,94 1,62 15 16,0 2 = 0,86 1,63 12	0,50 1,5 292,3 0,64 2,0 357,8 0.40 1,1 239,1	438,4 40,0 536,6 48,2 358,6 35,2					: :	
3,00 17,0 3,20 16.0	36,2 4 ~ ~ 0,91 1,65 16 26,2 2 = 0.96 1,67 15	0,72 2,2 395,4 0,70 2,1 385,7	593,1 54,1 578,6 51,8	31 21	18 17	25 27		28,3	
13,40 16,0 13,60 9,0 13,80 9,0	34,0 4 \(\sqrt{0},\sqrt{0},\sqrt{0},0 \) 1,69 15; 15,3 2 \(\frac{1}{2} \) 0,88 1,71 12; 25,0 2 \(\frac{1}{2} \) 0,88 1,72 12;	0,70 2,1 386,8 0,45 1,2 267,5 0,45 1,2 267,8	580,2 51,8 401,3 37,8 401,6 37,8	31 21	17 17 	25 27		26,7 	40,0 48
4,00 8,0 4,20 12,0	24,2 2 == 0,86 1,74 12 32,4 4 \(\times \) \(\times \) 0,88 1,76 14	0,40 1,0 240,0 0,57 1,5 332,4 0.45 1,1 268.4	360,0 35,2 498,6 44,6 402.5 37.8	31 19	16 15	25 26		20,0	30,0 36
4,60 11,0 4,80 12,0	19,3 2 0,91 1,79 13 17,9 2 0,92 1,81 14	0,54 1,4 315,3 0,57 1,5 333,7	473,0 42,5 500,6 44,6	= =		= =	=	= =	==
5,00 14,0 5,20 14,0 5,40 12,0	17,5 2 == 0,94 1,83 150 13,6 2 == 0,94 1,85 150 16,9 2 == 0,92 1,87 14	0,64 1,7 366,5 0,64 1,7 367,1 0,57 1,4 334,9	549,7 48,2 550,6 48,2 502,4 44,6	= =				= =	-
5,60 16,0 5,80 16,0 6,00 12,0	24,2 2 0,96 1,89 15 17,2 2 0,96 1,91 15 16,4 2 0,92 1,93 14	0,70 1,8 396,5 0,70 1,8 397,3 0,57 1,4 336,1	594,8 51,8 595,9 51,8 504,1 44,6					= =	-
6,20 11,0 6,40 8,0	17,5 2 == 0,91 1,94 13 16,0 2 == 0,86 1,96 12	0,54 1,3 317,8 0,40 0,9 240,0	476,7 42,5 360,0 35,2	= =			-	= =	-
6,60 8,0 6,80 12,0 7,00 12,0	29,6 2 == 0,86 1,98 12 36,4 4 \cdot \cdot \cdot \cdot \cdot 0,88 2,00 14 17,9 2 == 0,92 2,01 14	0,40 0,9 240,0 0,57 1,3 337,3 0,57 1,3 337,6	360,0 35,2 505,9 44,6 506,4 44,6	31 19	15 14	25 26		20,0	30,0 36
7,20 12,0 7,40 11,0 7,60 11,0	21,8 2 0,92 2,03 14 22,9 2 0,91 2,05 13 23,4 2 0,91 2,07 13	0.57 1.3 337.9	506,8 44,6 478,8 42,5 479,2 42,5	= =	= =	= :		= =	
7,80 12,0 8,00 14,0	22,2 2 0,92 2,09 14 14,9 2 0,94 2,11 15	0,57 1,2 338,7 0,64 1,4 373,5	508,0 44,6 560,3 48,2					: :	
8,20 11,0 8,40 9,0 8,60 9,0		0,45 0,9 270,0	480,1 42,5 405,0 37,8 405,0 37,8	31 17	 13 13	25 26		 15,0	22,5 2
8,80 13,0 9,00 14,0	36,1 4 \(\times \) 0,88 2,18 149 23.3 2 == 0.94 2,20 150	0,60 1,3 357,9 0,64 1,3 375,2	536,9 46,5 562,8 48,2	31 19	15 14	25 26		21,7	32,5 39
9,20 11,0 9,40 8,0 9,60 7,0	17,5 2 = 0,91 2,21 13; 20,5 2 = 0,86 2,23 12; 31,8 4 \(\sqrt{\sq}}}}}}}}\sqrt{\sq}\sqrt{\sq}\sqrt{\sq}\sqrt{\sq}\sqrt{\sq}\sq\sint{\sq}\sign{\sq}\sign{\sq}\sign{\sq}\sq}\sq\sint{\sin}\sign{\sin}\sign{\sin}\sig	0,40 0,7 240,0 0,35 0,6 210,0	360,0 35,2 315,0 32,2	31 15	 12 11	25 26		 11,7	17,5 2
9,80 9,0 10,00 10,0	32,1 4 \(\sigma\) 0,85 2,26 12 37,0 4 \(\sigma\) 0,86 2,28 13	0,45 0,8 270,0	405,0 37,8 450,0 40,0	31 17 31 17	13 12 13 13	25 26 25 26		15,0 16,7	22,5 2 25,0 30
							Software by dott	0	FONC

Studio di Geologia e Geotecnica di Dott. Geol. Alessandro Boni Via Giulio Romano n.54 - Ostiglia (MN) Tel e Fax 0386.31727 - Cell 335.8470747

U.M. % (°) (°) 40,0 31 17 42,5 44,6 40,0 40,0 40,0 37,8 35,2 31 16 35,2 31 16	Pagina: Elaborato: NATI a Ko DB I) (°) (°) (°) 7 13 13 7 13 13 	Palda URA GRA DM Me FL1 (9) (9)		08/09/2016
Mo Dr Sc Ca U.M. % (°) (°) 40,0 31 17 42,5 44,6 40,0 40,0 37,8 35,2 31 16 35,2 31	a Ko DB [) (°) (°) (7 13 13 	DM Me FL1		
Mo Dr Sc Ca U.M. % (°) (°) 40,0 31 17 42,5 44,6 40,0 40,0 37,8 35,2 31 16 35,2 31	a Ko DB [) (°) (°) (7 13 13 	DM Me FL1	INULAH	
44,6 31 18 42,5 31 17 18 33 23 87 42 33	7 13 13 7 14 13 8 14 13 7 13 13 3 20 19 3 31 29		U	50 E'25 Mc .M. U.M. U.M. 16.7 25.0 5 113.3 20.0 2 18.3 27.5 5 25.0 5 18.3 27.5 5 26.7 100.0 1 27.5 5 28.3 792.5 95
44, 42,	5 31 1' 6 31 1' 5 31 1' 18 33 2 87 42 3	5 31 17 14 13 6 31 18 14 13 5 31 17 13 13 18 33 23 20 19 87 42 33 31 29	5 31 17 14 13 25 26 6 31 18 14 13 25 26 5 31 17 13 13 25 26 18 33 23 20 19 27 30 0,6 87 42 33 31 29 38 40 >2.0	5 - 31 17 14 13 25 26 5 6 - 31 18 14 13 25 26 5 5 - 31 17 13 13 25 26 5 18 33 23 20 19 27 30 0,60 0,90 87 42 33 31 29 38 40 >2.00 >2.00 4

PROVA SCPTU2 (letture medie ogni 20 cm)

Studio di Geologia e Geotecnica di Dott. Geol. Alessandro Boni Via Giulio Romano n.54 - Ostiglia (MN) Tel e Fax 0386.31727 - Cell 335 8470747

PROV <i>E</i>	\ PE	NET	RO	MET	ΓRIG	CA S	STA	TIC	A MI	ECC	A:	NIC	ÇΑ					CP.	- +	00	2	<u>~</u>
PARAN	/ET	RI G	EO.	TEC	NIC	21										H	ri	ferimen	IO	08-	09-2	υī
		•				- 1											_					
ommittente:		o to	m; al: e	d										U.M	l.: I	kg/cn	n²	Data ese	ec.:	80	8/09/20	16
antiere: ocalità:		io terre lità Cav				nco Er	nilia (I	MO)						Pag Elab	ina: oorato):	1	Falda:	-3,00	m da	D.C	
						_		RA C)ESI	/Λ								RAN			p.o.	
Prof. qc	qc/fs	zone	γ'_	σ'νο	Vs	Cu	OCR	Eu50	Eu25	Мо	Dr	Sc		Ko	DB	DM	Ме	FL1 F		E'50	E'25	Мс
m U.M. 0,20 27,0	81,8	3	t/m³ 1,85	U.M. 0,04	m/s 192	U.M.	%	U.M.	U.M.	U.M. 	% 100	(°) 43	(°) 42	(°) 40	(°) 37	(°) 45	(°) 28			U.M. 45,0	67,5	U.N
0,40 22,0 0,60 34,0 0,80 53,0	47,6 33,5 62,2	3	1,85 1,85 1,85	0,07 0,11 0,15	177 209 247						83 89 97	41 42 43	38 38 39	35 36 36	33 33 34	42 42 43	28 29 31			36,7 56,7 88,3	55,0 85,0 132,5	11
1,00 62,0 1,20 41,0	52,9 35,8	3	1,85 1,85	0,19 0,22	262 224						97 78	43 41	39 36	36 33	34 31	42 40	32 30			103,3 68,3	155,0 102,5	13
1,40 23,0 1,60 20,0 1,80 17,0	16,5 14,4 14.5	4 ~~~	1,85 1,85 1,85	0,26 0,30 0,33	180 171 161	0,87 0,80 0,72	28,5 21,8 16,6	147,5 136,0 123.0	221,3 204,0 184.5	69,0 60,0 54,1	54 46	38 37	32 31	29 28	27 26	36 35	28 27	-		38,3 33,3	57,5 50,0	
2,00 14,0 2,20 21,0	13,0 19,0	4 7	1,85 1,85	0,37 0,41	150 174	0,64 0,82	12,4 15,2	108,2 140,0	162,3 210,0	48,2 63,0	40	36	29	26	25	33	27			35,0	52,5	
2,40 19,0 2,60 20,0 2,80 20.0	13,4 16,6 14.0	4 ~~~	1,85 1,85 1,85	0,44 0,48 0.52	168 171 171	0,78 0,80 0.80	12,6 11,9 10.8	131,8 136,0 136.0	197,8 204,0 204.0	58,1 60,0 60.0	35 33	35 35	28 28	25 25	24 23	32 32	27 27	-		33,3 33,3	50,0 50,0	
3,00 11,0 3,20 11,0	10,6 17,5	2 ===	0,91 0,91	0,54 0,55	137 137	0,54 0,54	6,3 6,0	139,8 146,5	209,7 219,8	42,5 42,5		-	-	-	-							
3,40 12,0 3,60 10,0 3,80 9,0	15,2 13,6 17,0	2 ===	0,92 0,90 0,88	0,57 0,59 0,61	141 132 127	0,57 0,50 0,45	6,3 5,1 4,3	149,6 162,6 169,9	224,3 243,8 254,9	44,6 40,0 37,8		-	-									
4,00 9,0 4,20 10,0	19,9 18,7	2 =====================================	0,88 0,90	0,63 0,64	127 132	0,45 0,50	4,2 4,6	174,8 179,4	262,2 269,1	37,8 40,0		-		-								
4,40 9,0 4,60 8,0 4,80 9,0	16,0 15,4 18,1	2 ===	0,88 0,86 0,88	0,66 0,68 0,70	127 121 127	0,45 0,40 0,45	3,9 3,2 3,6	185,8 189,3 196,6	278,6 283,9 294,9	37,8 35,2 37,8		-	-	-	-			-				
5,00 8,0 5,20 8,0 5,40 9.0	17,2 20,3 17,5	2 ====	0,86 0,86 0.88	0,71 0,73	121 121 127	0,40 0,40 0.45	3,0	195,9 198,7 209,7	293,8 298,1 314,5	35,2 35,2 37,8					-							
5,60 10,0 5,80 9,0	15,5 11,9	2 ===	0,88 0,88	0,75 0,77 0,78	132 127	0,45 0,50 0,45	3,3 3,7 3,1	216,3 217,0	324,5 325,5	40,0 37,8		-	-	-				-				
5,00 9,0 5,20 7,0 5,40 7,0	13,8 15,3 17,2	2 ===	0,88 0,84 0,84	0,80 0,82 0,84	127 115 115	0,45 0,35 0,35	3,1 2,2 2,1	220,2 192,7 193,8	330,2 289,0 290,6	37,8 32,2 32,2												
5,60 8,0 5,80 8,0	15,3 17,0	2 ===	0,86 0,86	0,85 0,87	121 121	0,40 0,40	2,4 2,4	213,6 215,2	320,4 322,7	35,2 35,2		-	-	-								
7,00 7,0 7,20 6,0	15,3 22,1 31.4	2 ===	0,84 0,82	0,89 0,90 0.92	115 109	0,35 0,30	2,0 1,6	196,6 174,0 198,2	295,0 260,9 297.3	32,2 28,8		31				 25					17.5	
7,60 8,0 7,80 10,0	22,9 20,7	4 ~~~	0,83 0,86 0,90	0,94 0,95	115 121 132	0,35 0,40 0,50	1,9 2,2 2,8	220,3 254,5	330,4 381,7	32,2 35,2 40,0			20 	16 	16 	 	26 	-		11,7	17,5 	
8,00 8,0 8,20 9,0 8,40 11,0	17,5 15,9 17.4	2 ===	0,86 0,88 0,91	0,97 0,99 1,01	121 127 137	0,40 0,45 0,54	2,1 2,3 2,9	222,5 243,0 270,7	333,7 364,5 406,1	35,2 37,8				-							-	
8,60 15,0 8,80 11,0	22,7 25,1	2 ===	0,95 0,91	1,03 1,04	154 137	0,67 0,54	3,7 2,7	289,8 275,8	434,7 413,7	49,5 42,5			-	-							-	
9,00 13,0 9,20 14,0 9,40 10,0	20,7 14,4 11,7	2	0,93 0,94 0,90	1,06 1,08 1,10	145 150 132	0,60 0,64 0,50	3,1 3,2 2,3	293,4 301,6 270,1	440,1 452,4 405,1	46,5 48,2 40,0				-				-				
9,60 10,0 9,80 14,0	13,1 20,2	2 ===	0,90 0,94	1,12 1,14	132 150	0,50 0,64	2,3 3,0	271,5 311,9	407,3 467,9	40,0 48,2				-								
0,00 12,0 0,20 13,0 0,40 12,0	25,6 36,5 27.0	4 2	0,92 0,88 0,92	1,16 1,17 1,19	141 145 141	0,57 0,60 0.57	2,6 2,7 2,5	298,8 310,2 302.6	448,2 465,3 453.9	44,6 46,5 44.6		31	22	18	17	25	26	-		21,7	32,5	
0,60 16,0 0,80 13,0	44,2 21,8	4 ~~~	0,90 0,93	1,21 1,23	157 145	0,70 0,60	3,1 2,6	334,9 316,8	502,4 475,2	51,8 46,5	4	32	23	19	18	26	27			26,7	40,0	
1,00 15,0 1,20 13,0 1,40 17,0	46,3 34,6 46,2	4 ~~~~	0,89 0,88 0,91	1,25 1,26 1,28	154 145 161	0,67 0,60 0,72	2,9 2,5 3,1	335,5 320,5 352,7	503,3 480,8 529,0	49,5 46,5 54,1	1 5	31 31 32	22 21 23	19 18 19	18 17 18	25 25 26	27 26 27			25,0 21,7 28,3	37,5 32,5 42,5	
1,60 14,0 1,80 11,0	24,7 31,0	4 7	0,94 0,87	1,30 1,32	150 137	0,64 0,54	2,6 2,0	334,3 299,3	501,4 448,9	48,2 42,5	-	31	20	17	16	25	26			18,3	27,5	:
2,00 11,0 2,20 16,0 2,40 11,0	30,5 22,5 11,1	2 ===	0,87 0,96 0.91	1,34 1,35 1,37	137 157 137	0,54 0,70 0.54	2,0 2,7 1,9	300,2 357,5 302,2	450,3 536,3 453,2	42,5 51,8 42.5		31	20	17	16 	25 	26	-		18,3	27,5 	:
2,60 8,0 2,80 12,0 3,00 10,0	11,8 16,8 8.0	2 ===	0,86 0,92 0.90	1,39 1,41 1,43	121 141 132	0,40 0,57 0,50	1,3 2,0 1,7	236,0 319,0 287,5	354,0 478,5 431.3	35,2 44,6 40.0		-		-								
3,20 7,0 3,40 19,0	10,6 30,3	4 000	0,46 0,92	1,44 1,45	115 168	0,35 0,78	1,1 2,9	45,4 390,9	68,0 586,4	10,5 58,1		32	23	19	18	26	27	-		31,7	47,5	
3,60 12,0 3,80 16,0 4,00 15,0	14,7 24,9 19.4	2 ===	0,92 0,96 0,95	1,47 1,49 1,51	141 157 154	0,57 0,70 0,67	1,9 2,4 2,3	322,3 372,3 363.5	483,4 558,5 545,3	44,6 51,8 49.5				-				-				
4,20 15,0 4,40 14,0	12,8 13,0	2 ===	0,95 0,94	1,53 1,55	154 150	0,67 0,64	2,2 2,1	364,9 354,1	547,4 531,1	49,5 48,2				-								
4,60 9,0 4,80 20,0 5,00 23,0	9,8 24,9 20,8	4 777	0,88 0,93 0.94	1,57 1,58 1.60	127 171 180	0,45 0,80 0.87	1,3 2,7 2,9	265,5 414,5 433.9	398,3 621,7 650.9	37,8 60,0 69.0	5 10	32 32	22 23	19 20	18 19	25 26	27 28	-		33,3 38,3	50,0 57,5	
5,20 15,0 5,40 13,0	15,4 13,8	2 2	0,95 0,93 0,90	1,62 1,64	154 145 132	0,67 0,60 0,50	2,1 1,8	370,9 344,6	556,4 517,0 440,3	49,5 46,5 40.0			-	-	=							
5,60 10,0 5,80 12,0 5,00 12,0	11,1 20,1 24,1	2 2	0,90 0,92 0,92	1,66 1,68 1,70	132 141 141	0,50 0,57 0,57	1,4 1,6 1,6	293,6 330,1 330,7	440,3 495,2 496,0	40,0 44,6 44,6		-	-	-	-	-		=	-		-	
5,20 11,0 5,40 9,0 5,60 10,0	23,7 27,7 26,5	2 ===	0,91 0,88 0,90	1,71 1,73 1,75	137 127 132	0,54 0,45 0,50	1,5 1,2 1,3	313,6 267,9 295,2	470,4 401,8 442,8	42,5 37,8 40,0				=	-							
5,80 10,0 7,00 9,0	24,6 29,5	2 ===	0,90 0,88	1,77 1,78	132 127	0,50 0,45	1,3 1,1	295,5 268,5	443,2 402,7	40,0 37,8												
7,20 10,0 7,40 8,0 7,60 13,0	24,3 15,7 27.4	2 =====================================	0,90 0,86 0,93	1,80 1,82 1,84	132 121 145	0,50 0,40 0,60	1,3 0,9	296,0 240,0 351,1	444,0 360,0 526,7	40,0 35,2 46,5		-		-	-							
7,80 15,0 8,00 14,0	29,1 21,1	2 ===	0,95 0,94	1,86 1,88	154 150	0,67 0,64	1,6 1,7 1,6 1,5	381,9 367,9	572,8 551,9	49,5 48,2												
8,20 13,0 8,40 10,0 8,60 151,0	26,4 24,8 155,3	2 2 2 2 2 2 2 2 2 2 2 2 2 2 2 2 2 2 2 2	0,93 0,90 1,08	1,90 1,91 1,93	145 132 367	0,60 0,50	1,5 1,2 	352,6 297,5	528,9 446,2	46,5 40,0	 70	 40	31	 28	 27	36	36	1,26 >	 2.00	251,7	377,5	4
8,80 227,0	239,5	3	1,15	1,96	428					-	84	41	33	31	29	38	39	>2.00 >	2.00	378,3	567,5	68

PROVA CPTU3 (letture medie ogni 20 cm)

Studio di Geologia e Geotecnica di Dott. Geol. Alessandro Boni Via Giulio Romano n.54 - Ostiglia (MN) Tela Geor 0996 91707 (2019 98 9470747

PROVA							STA	TIC	A MI	ECC	A)	110	CA	1			ri	CP iferimen	•	08-	3 09-2	01
PARAN	/ETI	RI G	EO.	TEC	NIC	1													1			
																		D. I.			2/00/00	
ommittente: antiere:		o terre	ni di f	ondazi	one									U.M Pag		kg/cr	n² 1	Data ese	ec.:	08	3/09/20)16
ocalità:	Loca	lità Cav	azzor	na, Cas	telfrai	_								Elab	orato			Falda:			p.c.	
Prof. qc	qc/fs	zone	γ'	σ'νο	Vs	Cu	OCR	RA C	OESI\ Eu25	/A Mo	Dr	Sc	Ca		NAT DB	DM DM	A C	FL1 F			E'25	Мо
m U.M. 0,20 19,0	139.7	4 ~ ~ ~	t/m³ 1,85	U.M. 0,04	m/s 168	U.M. 0,78	% 99.9	U.M. 131,8	U.M. 197,8	U.M. 58,1	% 95	(°) 43	(°) 41	(°) 38	(°) 36	(°) 44	(°) 27	_		U.M. 31,7	U.M. 47,5	U.M 5
0,40 19,0 0,60 32.0	78,8 43,7	4 ~~~	1,85 1,85	0,07 0,11	168 204	0,78	99,9	131,8	197,8	58,1	78 86	41 42	37 38	35 35	32 33	41 42	27 29	-	-	31,7 53,3	47,5 80.0	į
0,80 40,0 1,00 42,0	22,9 40.1	4 ~~~	1,85 1,85	0,15 0,19	222 226	1,33	98,0	226,7	340,0	120,0	87	42 41	38 37	35 34	33 32	41	30 30	-		66,7 70,0	100,0 105,0	12
1,20 44,0 1,40 56,0	39,0 21,4	4 ~ ~	1,85 1,85	0,22 0,26	230 252	1,87	74,1	317,3	476,0	168,0	83 80 85	41 41	36 36	33 34	31 31	40 40	31 31			73,3 93,3	110,0 140,0	13
1,60 64,0 1,80 50,0	26,7 20,4	4 ~~~~	1,85 1,85	0,30 0,33	265 242	2,13 1,67	74,1 47,0	362,7 283,3	544,0 425,0	192,0 150,0	86 75 55	42 40	36 35	34 32	31 30	40 39	32 31	-	-	106,7 83,3	160,0 125,0	19 15
2,00 30,0 2,20 40,0	15,7 24,6	4 ~~~	1,85 1,85	0,37 0,41	199 222	1,00 1,33	21,8 27,7	170,0 226,7	255,0 340,0	90,0 120,0	62	38 39	32 33	29 30	27 28	36 37	29 30	-		50,0 66,7	75,0 100,0	12
2,40 34,0 2,60 18,0	18,1 18,9	4 ~~~	1,85 1,85	0,44 0,48	209 164	1,13 0,75	20,3 10,9	192,7 127,5	289,0 191,3	102,0 56,2	55 47	38	31	28 27	27 25	35 34	29 29			56,7	85,0	10
2,80 30,0 3,00 30,0 3,20 23,0	24,4 17,6 15.8	4 ~~~	1,85 1,85 1,85	0,52 0,56 0,59	199 199 180	1,00 1,00 0,87	14,3 13,1 10,1	170,0 170,0 147,5	255,0 255,0 221,3	90,0 90,0 69,0	47 45 34	37 37 35	30 28	27 27 25	25 25 23	34 34 32	29 29 28	-		50,0 50,0 38,3	75,0 75,0 57,5	9
3,40 19,0 3,60 16,0	14,1 15.1	4 ~~~ 2 ===	1,85 1,85	0,63 0,67	168 157	0,78 0,70	8,2 6,6	150,3 170.5	225,5 255,7	58,1 51,8								-	-			,
3,80 13,0 1,00 12,0	16,6 19,0	2 ===	1,85 1,85	0,70 0,74	145 141	0,70 0,60 0,57	5,2 4,5	192,8 206,3	289,1 309,4	46,5 44,6	-	-	-	-	-		-	-	-		-	
1,20 10,0 1,40 9,0	15,3 20,8	2 ===	1,85 1,85	0,78 0,81	132 127	0,50 0,45	3,6 3,0	219,4 222,3	329,1 333,4	40,0 37,8												
1,60 9,0 1,80 12,0	25,5 33,0	4 ~~~	0,88	0,83 0,85	127 141	0,45 0,57	2,9 3,8	225,1 238,9	337,6 358,3	37,8 44,6	3	32	23	20	19	26	26		-	20,0	30,0	:
5,00 11,0 5,20 11,0	23,5 21,8	2 ===	0,91 0,91	0,87 0,89	137 137	0,54 0,54	3,4 3,4	244,2 248,5	366,3 372,7	42,5 42,5												
i,40 12,0 i,60 10,0	21,0 17,7	2 ==	0,92 0,90	0,90 0,92	141 132	0,57 0,50	3,5 2,9	255,0 249,7	382,6 374,6	44,6 40,0												
5,80 11,0 5, 00 9,0	18,7 15,3	2 ===	0,91	0,94 0,96	137 127	0,54 0,45	3,1 2,4	259,7 240,2	389,5 360,3 385.9	42,5 37,8 40.0												
5,20 10,0 5,40 12,0 5,60 10,0	24,1 21,9 19,5	2 ==	0,90 0,92 0,90	0,98 0,99 1,01	132 141 132	0,50 0,57 0,50	2,7 3,1 2,6	257,3 275,2 261,6	412,9 392,4	44,6 40,0		-	-	-	-			-	-		-	
5,80 11,0 7,00 11,0	20,8 15,6	2 ===	0,91 0,91	1,03	137 137	0,54 0.54	2,8 2,7	273,9 276,3	410,9 414.4	42,5 42.5		-	-					-	-		-	
7,20 8,0 7,40 9,0	15,4	2 ===	0,86	1,07	121 127	0,40	1,8	227,2	340,8 374,5	35,2 37.8												
7,60 10,0 7,80 11,0	23,9 21,7 24,7	2 ===	0,88 0,90 0,91	1,08 1,10 1,12	132 137	0,50 0,54	2,1 2,3 2,5	270,2 284,3	405,3 426,4	40,0 42,5												
3,00 11,0 3,20 12,0	36,4 26,1	4 ~~~	0,87 0,92	1,14 1,16	137 141	0,54 0,57	2,5 2.6	285,9 298,8	428,9 448,2	42,5 44,6		31	21	18	17	25	26			18,3	27,5	3
3,40 9,0 3,60 7,0	24,9 19,5	2 ===	0,88	1,17 1,19	127 115	0,45 0,35	1,9 1,4	254,4 206,0	381,7 309,0	37,8 32,2												
3,80 10,0 9,00 12,0 9,20 13,0	32,7 22,1 17,2	4 ~~~ 2 ===	0,86 0,92 0,93	1,21 1,23 1,24	132 141 145	0,50 0,57 0,60	2,1 2,4 2,5	277,6 305,9 318,5	416,5 458,8 477,8	40,0 44,6 46,5		31	20	17	16	25	26	-		16,7	25,0	3
9,40 12,0 9,60 15,0	15,7 15,8	2 ===	0,93 0,92 0.95	1,24 1,26 1,28	141 154	0,57 0,67	2,3 2,8	309,1 340,5	463,6 510,7	46,5 44,6 49.5	-	-	-	-	=		-	-	-	-	-	
,80 17,0	16,3	2 ===	0,97 0.97	1,30	161	0,72	3.0	356,0 359,2	534,0 538,8	54,1 54,1		-	-				-					
0,20 17,0 0,40 21,0	14,4 15,8 15,9	4 2	0,97 0,93	1,32 1,34 1,36	161 161 174	0,72	3,0 2,9 3,4	362,2 381,2	543,3 571,8	54,1 63,0	11	33	23	20	19	27	27			35,0	52,5	6
0,60 18,0 0,80 17,0	13,5 17,1	2 ===	0,98 0,97	1,38 1,40	164 161	0,75 0,72	2,9 2,8	373,8 370,4	560,7 555,5	56,2 54,1												
1,00 15,0 1,20 13,0	19,3 26,6	2 ==	0,95 0,93	1,42 1,43	154 145	0,67 0,60	2,4 2,1	355,6 334,2	533,4 501,3	49,5 46,5												
1,40 10,0 1,60 11,0	30,2 48,5	4 ~~~	0,86	1,45 1,47	132	0,50 0,54	1,7	288,4 306,4	432,6 459,6	40,0 42,5		31	19 20 21	16 16	15 15	25 25	26 26			16,7 18,3	25,0 27,5	3
1,80 13,0 2,00 10,0 2,20 26,0	31,7 37,5 36,6	4 ~~~	0,88 0,86 0,87	1,49 1,50 1,52	145 132 189	0,60 0,50	2,0 1,6	337,4 289,9	506,0 434,9	46,5 40,0	15	31 31 33	19	17 16 21	16 15 19	25 25 27	26 26 28	0,65	0,98	21,7 16,7 43,3	32,5 25,0 65.0	3
2,40 29,0 2,60 17,0	21,9 21.5	4 ~~~	0,96	1,54	197	0,98	3,6	435,0 388.0	652,5 582.1	87,0 54.1	19	34	24	21	20	28	29			48,3	72,5	
2,80 14,0 3,00 8,0	20,5 24,5	2 ==	0,94 0,86	1,56 1,58 1,60	161 150 121	0,72 0,64 0,40	2,4 2,0 1,1	388,0 355,8 238,7	582,1 533,7 358,1	54,1 48,2 35,2												
1,20 7,0 1,40 7,0	28,8 26,3	2 ===	0,84 0,84	1,61 1,63	115 115	0,35 0,35	0,9 0,9	210,0 210,0	315,0 315,0	32,2 32,2												
3,60 9,0 3,80 10,0	31,9 23,5	4 ~~~	0,85 0,90	1,65 1,66	127 132	0,45 0,50	1,2 1,4	266,8 293,7	400,2 440,5	37,8 40,0		31	18	15 	14	25	26			15,0	22,5	
i,00 10,0 i,20 13,0 i,40 12,0	20,4 22,0 18,8	2 ===	0,90 0,93 0,92	1,68 1,70	132 145 141	0,50 0,60	1,4 1,7 1,6	294,0 346,9 331,4	441,0 520,4 497,1	40,0 46,5 44,6		-	-									
1,60 11,0 1,80 7,0	23,6 18.2	2 ===	0,91 0,84	1,72 1,74 1,75	137	0,57 0,54 0,35	1,4 0,8	314,2 210.0	471,3 315.0	42,5 32.2		-	-					-	-			
5,00 7,0 5,20 12,0	40,9 35.6	4 ~~~	0,83	1,77	115	0,35	0.8	210,0	315,0 499.7	32,2 44.6		31 31	17 19	13 16	12 15	25 25	26 26			11,7 20,0	17,5 30.0	3
5,40 8,0 5,60 10,0	32,5 33,2	4 ~~~~	0,88 0,84 0,86	1,79 1,81 1,82	141 121 132	0,40 0,50	1,5 1,0 1,2	240,0 296,3	360,0 444,5	35,2 40,0		31 31	19 17 18	14 15	15 13 14	25 25 25	26 26 26			13,3 16,7	30,0 20,0 25,0	-
5,80 11,0 5,00 9,0	22,3 23,6	2 ====	0,91 0,88	1,84 1,86	137 127	0,54 0,45	1,3 1,1	316,2 269,2	474,3 403,8	42,5 37,8												
5,20 9,0 5,40 11,0	28,9 29,4	2 ===	0,88	1,88 1,89	127 137	0,45 0,54	1,1 1,3	269,3 317,1	404,0 475,6	37,8 42,5		-	-				-					
5,60 12,0 5,80 11,0	23,1 21,7 20,2	2 ===	0,92 0,91 0,92	1,91 1,93 1,95	141 137 141	0,57 0,54 0,57	1,4 1,3 1,4	335,8 317,6 336,5	503,7 476,4 504,8	44,6 42,5	-	-	-	-	-	-	-					
7,00 12,0 7,20 15,0 7,40 17,0	20,2 22,1 16,6	2 ===	0,92 0,95 0.97	1,95 1,97 1,99	154 154 161	0,57 0,67 0,72	1,4 1,6 1,8	335,5 385,5 413,3	578,3 620.0	44,6 49,5 54,1		-	-				-	-				
7.60 12.0	13,9	2 ===	0,92	2,01 2.03	141 150	0,57 0.64	1,3	337,5	506,2 557.7	44,6		-	-	-			-	-	-		-	
3,00 13,0 3,20 15,0	19,7 15,9 21,7	2 ===	0,93 0,95	2,04 2,06	145 154	0,60 0,67	1,5 1,4 1,5	371,8 355,7 388,1	533,6 582,1	48,2 46,5 49,5			-									
3,40 13,0 3,60 13,0	16,2 22,1	2 ===	0,93 0,93	2,08 2,10	145 145	0,60	1,3 1,3	356,4 356,7	534,6 535,1	46,5 46,5												
3,80 12,0 9,00 12,0	19,0 19,2	2 ===	0,92	2,12 2.14	141 141	0,57 0,57	1,2 1,2	339,1 339,4	508,7 509,1	44,6 44,6												
9,20 13,0 9,40 12,0	20,4 19,8	2 2 2 2 2 2 2 2 2 2 2 2 2 2 2 2 2 2 2 2	0,93 0,92	2,16 2,17	145 141	0,60 0,57	1,3 1,2	357,6 339,8	536,4 509,8	46,5 44,6												
9,60 11,0 9,80 9,0	23,3 27,9	2 ===	0,91 0,88	2,19 2,21	137 127	0,54 0,45	1,1 0,9	320,7 270,0	481,1 405,0	42,5 37,8		 31	 18							10 2	 27 E	
0,00 11,0	37,2	_*~~_	0,87	2,23	137	0,54	1,1	321,1	481,6	42,5			18	14	14	25	26			18,3	27,5	:

Studio di Geologia e Geotecnica di Dott. Geol. Alessandro Boni Via Giulio Romano n.54 - Ostiglia (MN) Tel e Fax 0386.31727 - Cell 335.8470747

m U.M.	PR	OVA	PE	NET RI G		ME			STA	TIC	A MI	ECC	A	NIC	CA				ri	CP		08-0	3 09-2	016
Prof. qc qc/fs zone y' g'vo Vs Qu OCR Eu50 Eu25 Mo Dr Sc Ca Ko DB DM Me FL1 FL2 E'50 E'25 Mo Dr Sc Ca Ko DB DM Me FL1 FL2 E'50 Mo Dr Sc Ca Ko DB DM Me FL1 FL2 E'50 Mo Dr Sc Ca Ko DB DM Me FL1 FL2 E'50 Mo Dr Sc Ca Ko DB DM Me FL1 FL2 E'50 Mo	Cantier	e:	Studi	io terre				nco En	nilia (I	MO)						Pag	ina:		2					16
	m 20,00 20,20 20,40 20,60 20,80 21,00 21,20 21,40 21,60 21,80	U.M. 11,0 10,0 11,0 11,0 12,0 11,0 10,0 14,0 138,0 185,0	37,2 31,1 30,8 22,4 29,4 24,8 35,8 40,6 103,4 306,3	4 4 2 2 2 2 2 2 2 3 3 3 3	t/m³ 0,87 0,86 0,87 0,91 0,92 0,91 0,86 0,89 1,06 1,13	U.M. 2,24 2,26 2,28 2,30 2,32 2,33 2,35 2,37 2,39 2,41	m/s 137 132 137 137 141 137 132 150 354 396	Cu U.M. 0,54 0,50 0,54 0,54 0,57 0,54 0,50 0,64	OCR % 1,0 1,0 1,0 1,0 1,1 1,0 0,9 1,2	Eu50 U.M. 321,2 300,0 321,5 321,7 341,4 322,0 300,0 377,8	Eu25 U.M. 481,8 450,0 482,3 482,5 512,1 482,9 450,0 566,7	Mo U.M. 42,5 40,0 42,5 42,5 44,6 42,5 40,0 48,2	% 	(°) 31 31 31 31 31	(°) 18 17 18 17 19	Ko (°) 14 14 14 13 15 27 28	DB (°) 13 13 13 13 14 25 27	DM (°) 25 25 25 25 25 25 25 34 35	Me (°) 26 26 26 26 26 36 37	FL1	FL2	E'50 U.M. 18,3 16,7 18,3 16,7 23,3 230,0 308,3	U.M. 27,5 25,0 27,5 25,0 35,0 345,0 462,5	Mo U.M. 33,0 30,0 33,0 42,0 414,0 555,0 603,0

5 - TIPOOGIA FONDALE IPOTIZZATA

L'area oggetto di studio è destinata ad un piano di sviluppo industriale, in cui è prevista la realizzazione di una serie di capannoni prefabbricati in c.a. (vedi Tav.4 a pagina 12).

In funzione del carattere puntuale delle prove eseguite, in rapporto all'ampiezza dell'area oggetto di studio (circa 200.000 mq) e della possibile variabilità laterale e verticale dei parametri geotecnici riscontrabili nel sottosuolo dell'area in esame, il valore del carico limite ultimo è da ritenersi indicativo. In relazione a ciò, tale valore dovrà essere verificato in funzione dei cedimenti del terreno di fondazione, che dovranno essere tollerati dalle strutture in elevazione (carico limite di esercizio).

Sulla base delle caratteristiche geotecniche dei principali parametri geomeccanici del sottosuolo riscontrati nell'area oggetto di studio, (superato il primo metro di terreno agrario e/o vegetale interessato dal gelo e da significative variazioni stagionali del contenuto d'acqua), risulta possibile e consigliabile (in condizioni di carico non particolarmente gravose) l'adozione di fondazioni superficiali secondo le normali tecniche costruttive usualmente adottate nella pratica edificatoria per la costruzione di capannoni prefabbricati in c.a.v. e c.a.p. (ad esempio: fondazioni tipo plinto isolato, ecc...)

In fase esecutiva dovranno essere attentamente valutati i cedimenti dei terreni di sottofondazione, imposti dalle strutture in elevazione. Tale analisi dovrà consentire di verificare che l'entità degli abbassamenti dei terreni rientri nella norma, nel contesto dell'interazione terreno-struttura, per pressioni compatibili con i parametri geomeccanici riscontrati nel sottosuolo dell'area oggetto di studio.

Nella presente relazione si è optato quindi per una definizione del comportamento di massima dei terreni investigati; in quest'ottica sono state fatte delle assunzioni indicative sia per quanto riguarda la profondità del piano di posa sia per quanto riguarda le dimensioni delle strutture fondali, in quanto al momento della stesura della presente relazione non è conosciuto l'esatto carico d'esercizio trasmesso dalle strutture in elevazione.

Per la realizzazione delle strutture fondali sarebbe opportuno inoltre, in via cautelativa, adottare i seguenti accorgimenti tecnici:

- il piano di posa della fondazione deve essere situato sempre al di sotto della coltre di terreno vegetale e/o di riporto, nonché sotto lo strato interessato dal gelo e da significative variazioni stagionali del contenuto d'acqua;
- allontanare eventuali ristagni idrici dagli sbancamenti di fondazione al momento della posa in opera dei manufatti ed evitare permanenze d'acqua all'interno degli scavi per periodi di tempo lunghi;
- operare in modo che il tempo intercorso tra l'apertura degli sbancamenti di fondazione e la costruzione delle fondazioni sia breve per limitare al massimo il rilassamento del fondo dello scavo e le infiltrazioni d'acqua all'interno dello stesso;
- regolarizzare e proteggere i piani di posa delle opere fondali con getto di conglomerato magro.

6 - VERIFICHE DELLA SICUREZZA E DELLE PRESTAZIONI (SLU) IN BASE AL D.M. DEL 14/01/2008 : TESTO UNICO - NORME TECNICHE PER LE COSTRUZIONI

Le verifiche di sicurezza relative agli stati limite ultimi (SLU) vanno effettuate nel rispetto dei principi e delle procedure, illustrati nei paragrafi successivi. I calcoli, nel caso in esame, sono stati condotti applicando i criteri della progettazione geotecnica secondo quanto contenuto nel nuovo Testo Unico: D.M. del 14 Gennaio 2008 (Norme Tecniche per le costruzioni) e Circolare n.617 del 02.02.2009.

6.1 - Verifiche nei confronti degli stati limiti ultimi (SLU)

La verifica nei confronti degli Stati Limiti Ultimi (SLU) richiede che l'effetto delle azioni di progetto (o i loro effetti) non superi la resistenza di progetto.

Deve essere quindi rispettata la condizione:

$$E_d \le R_d$$

Dove:

E_d = valore di progetto dell'azione o degli effetti delle azioni

R_d = valore di progetto della resistenza del terreno

Nella verifica della suddetta condizione, si richiama quanto specificato nel T.U. ovvero che il Progettista e/o il Committente possono utilizzare modelli di calcolo diversi da quelli indicati nel seguito, purché vengano rispettati i livelli di sicurezza e di prestazioni attese nel capitolo 6 del nuovo T.U. La resistenza R_d è determinata:

- in modo analitico, con riferimento al valore caratteristico dei parametri geotecnici del terreno, diviso per il valore del coefficiente parziale γ_m specificato nella successiva tabella 6.2.Il e tenendo conto, ove necessario, dei coefficienti parziali γ_R specificati nei paragrafi relativi a ciascun tipo di opera;
- in modo analitico, con riferimento a correlazioni con i risultati di prove in sito, tenendo conto dei coefficienti parziali γ_R riportati nelle tabelle contenute nei paragrafi relativi a ciascun tipo di opera (nel ns. caso trattandosi di fondazioni superficiali si prende come riferimento la Tab. 6.4.I del N.T.U.);
- sulla base di misure dirette su prototipi, tenendo conto dei coefficienti parziali γ_R riportati nelle tabelle contenute nei paragrafi relativi a ciascun tipo di opera.

Parametro	Grandezza alla quale applicare il coefficiente parziale	Coefficiente parziale Yм	(M1)	(M2)	
Tangente dell'angolo di resistenza al taglio	tanφ' _k	Υφ.	1.0	1.25	
Coesione efficace	C' _k	Yc'	1.0	1.25	
Resistenza non drenata	C _{uk}	Ycu	1.0	1.4	
Peso dell'unità di volume	γ	Υγ	1.0	1.0	

Tabella 6.2.II - Coefficienti parziali per i parametri geotecnici del terreno

Verifica	Coefficiente parziale (R1)	Coefficiente parziale (R2)	Coefficiente parziale (R3)
Capacità portante	γ _R =1.0	γ _R =1.8	γ _R =2.3
Scorrimento	γ _R =1.0	γ _R =1.1	γ _R =1.1

Tabella 6.4.1 - Coefficienti parziali y_R per le verifiche agli stati limite ultimi di fondazioni superficiali.

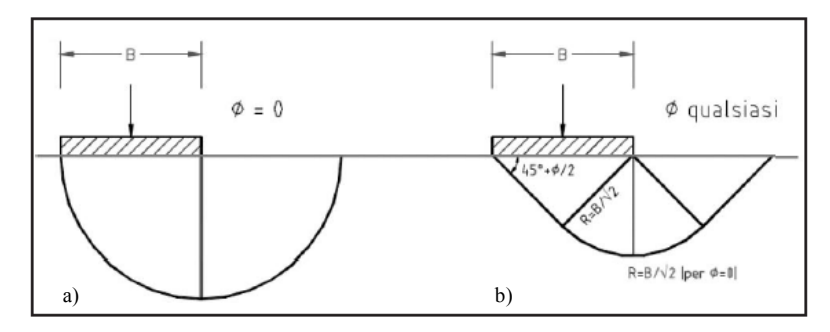
6.2 - Valore caratteristico della resistenza (Rk)

Con il D.M. dell'11/03/1988 eravamo abituati a suddividere il sottosuolo in vari elementi, separandoli in base alla variazione dei parametri geotecnici e assegnando a ogni elemento valori medi. Il T.U. ci impone di cambiare sistema, poiché non considera cautelativi i dati medi.

Oggi ci viene richiesto di ricavare il "valore caratteristico della resistenza", che sia c_u (come nel nostro caso), Ø o qualunque altro parametro.

Per valore caratteristico di un parametro geotecnico deve intendersi una stima ragionata e cautelativa del valore del parametro nello stato limite considerato. Nel nostro caso abbiamo a disposizione n°3 prove da cui ricavare il "valore caratteristico della resistenza" (Rk) della coesione non drenata Cu.

In questo paragrafo si vuole suggerire un modo per trattare statisticamente i dati penetrometrici a disposizione. Per quali dati trattare è necessario esaminare preliminarmente i possibili meccanismi di rottura delle fondazioni superficiali.



Possibili meccanismi di collasso plastico per fondazioni superficiali

Le geometrie di collasso plastico possibili in condizioni non drenate sono quelle rappresentate nella figura soprastante (caso a). Nota la geometria e la profondità della fondazione, si può ricavare facilmente lo spessore del terreno potenzialmente interessato dalla rottura. In condizioni non drenate, lo spessore R è compreso tra $B/\sqrt{2}$ e B. Il valore caratteristico della resistenza del terreno, in questo caso della c_u , viene ricavato analizzando statisticamente i dati penetrometrici che stanno tra la base della fondazione e la base del cerchio o del ventaglio di rottura. Così facendo, si ottiene il valore caratteristico della coesione non drenata:

$$c_{u,k} \approx 0.45 \text{ kg/cm}^2$$

6.3 - Stato limite ultimo (SLU) ed approcci progettuali

La verifica della suddetta condizione deve essere effettuata impiegando diverse combinazioni di coefficienti parziali, rispettivamente definiti per azioni (A1 e A2), vedi tabella 6.2.I,

per i parametri geotecnici (M1 e M2) e per le resistenze (R1, R2 e R3), specifiche per ogni tipo di opera.

Carlchi	Effetto	Coefficiente parziale YF (0 YE)	EQU	(A1) STR	(A2) GEO
Permanenti	Favorevole	V-C	0.9	1.0	1.0
Permanenti	Sfavorevole	YG1	1.1	1.3	1.0
Permanenti non strutturali*	Favorevole	V	0.0	0.0	0.0
Permanenti non strutturati	Sfavorevole	YG2	1.5	1.5	1.3
Variabili	Favorevole	YQ1	0.0	0.0	0.0
vai iäDili	Sfavorevole		1.5	1.5	1.3

^{*}Nel caso in cui i carichi permanenti non strutturali (ad esempio i carichi permanenti portati) siano compiutamente definiti, si potranno adottare gli stessi coefficienti validi per le azioni permanenti.

Tabella 6.2.1 - Coefficienti parziali per le azioni o per l'effetto delle azioni.

I diversi gruppi di coefficienti di sicurezza parziali sono scelti nell'ambito di due approcci progettuali distinti e alternativi. Nel primo approccio progettuale (Approccio 1) sono previste due diverse combinazioni di gruppi di coefficienti: la prima combinazione è generalmente più severa nei confronti del dimensionamento strutturale delle opere a contatto con il terreno, mentre la seconda combinazione è generalmente più severa nei riguardi del dimensionamento geotecnica.

Nel secondo approccio progettuale (Approccio 2) è prevista un'unica combinazione di gruppi di coefficienti da adottare sia nelle verifiche strutturali sia nelle verifiche geotecniche.

6.4 - Combinazioni e verifiche agli stati limite ultimi (SLU)

Le verifiche devono essere effettuate almeno nei confronti dei seguenti stati limite:

- SLU di tipo geotecnica (GEO)
 - collasso per carico limite dell'insieme fondazione-terreno
 - collasso per scorrimento sul piano di posa
 - stabilità globale
- SLU di tipo strutturale (STR)
 - Raggiungimento della resistenza negli elementi strutturali

La verifica di stabilità globale deve essere effettuata secondo l'Approccio 1, Combinazione 2 (A2+M2+R2) tenendo conto dei coefficienti parziali riportati nelle tabelle 6.2.I per le azioni, 6.2.II per i parametri geotecnici, nella tabella 6.4.I per le resistenze globali.

Le rimanenti verifiche devono essere effettuate tenendo conto dei valori dei coefficienti parziali riportati nelle Tabelle 6.2.I, 6.2.II e 6.4.I, seguendo almeno uno dei due approcci:

Approccio 1:

Combinazione 1: (A1+M1+R1)Combinazione 2: (A2+M2+R2)

Approccio 2:

- Combinazione unica: (A1+M1+R3)

Nelle verifiche effettuate con l'Approccio 2 che siano finalizzate al dimensionamento strutturale, il coefficiente γ_R non deve essere portato in conto.

90

6.5 - Calcolo del carico limite ultimo $q_{d(SLU)}$

Per la determinazione dei valori teorici del carico limite ultimo $q_{d(SLU)}$ è stata utilizzata la relazione proposta da Terzaghi, nel caso di terreni coesivi non drenati:

$$q_{d(SLU)} = 5.70 \cdot c_u + \gamma \cdot D$$

Dove:

 $q_{d(S.L.U.)}$ = carico limite ultimo;

c_{u,k}= valore caratteristico della coesione non drenata: 0,45 kg/cm²;

 γ = peso dell'unità di volume del terreno: 1,85 tonn/m³;

5,70 = coefficiente capacità portante;

D = piano d'imposta fondazione ipotizzato ≥ -1,00 m da piano campagna.

Per cui, assumendo quali parametri geotecnici quelli ricavati dalle terebrazioni precedenti, si sono potuti ricavare (a seconda degli Approcci e delle combinazioni possibili) i seguenti valori teorici del carico limite ultimo $q_{d(SLU)}$:

• •	roccio ettuale	Ум	УR	C _{u,k} (Kg/cm²)	Nc	Q _{d(SLU)} (Kg/cm²)
A1C1	A1M1R1	1,00	1,00	0,45	5,70	2,75*
A1C2	A2M2R2	1,40	1,80	0,32	5,70	1,12*
A2	A1M1R3	1,00	2,30	0,45	5,70	1,20*

valore già diviso per y_R

I suddetti calcoli sono stati eseguiti considerando una fondazione superficiale tipo plinto isolato posta ad una profondità (D) \geq 1,00 m da piano campagna e/o piano prove.

Per la definizione delle pressioni utilizzabili nella fase di progetto esecutivo (carico limite ultimo e di esercizio), dovrà essere quindi eseguito un idoneo numero di punti d'indagine integrativi e sviluppati i calcoli dei cedimenti totali e differenziali, nel contesto delle interazioni terreno-struttura in funzione del tipo d'intervento in progetto.

Le opere interagenti con i terreni dovranno quindi essere verificate nei confronti degli stati limite di esercizio (SLE). Il progetto dovrà pertanto indicare l'entità degli spostamenti e delle distorsioni, compatibili con la funzionalità delle strutture in elevato, e sviluppato, in modo che gli spostamenti attesi e le distorsioni risultino inferiori a quelle compatibili. Qualora tali cedimenti risultassero troppo elevati per il tipo di strutture in elevato si dovrà necessariamente ridurre il valore del carico limite suddetto. Sarà compito pertanto del Tecnico Progettista, una volta eseguita l'accurata determinazione dei carichi effettivamente imposti ai terreni di fondazione, definire con esattezza, il tipo ed il dimensionamento definitivo delle opere fondali, nonché il relativo carico massimo che le strutture in elevazione potranno scaricare sul terreno.

Per l'elaborazione dei dati geotecnici è stato impiegato un software di calcolo che permette di determinare la distribuzione tensionale secondo la teoria proposta da Boussinesq e conseguentemente elabora il calcolo dei cedimenti con il metodo " α ", Qc" ed il metodo Edometrico. In assenza di prove geotecniche di laboratorio le suddette indicazioni hanno validità orientativa.

7 - VALUTAZIONI DI FATTIBILITÁ GEOLOGICA: CONSIDERAZIONI CONCLUSIVE

La formulazione del giudizio di fattibilità geologica dell'area oggetto di studio, è stato dedotto dalla valutazione incrociata degli elementi di carattere geologico, geomorfologico, idrogeologico, geotecnico e sismico. A tal proposito sono stati elaborati i dati provenienti dalle indagini geognostiche effettuate dal sottoscritto in data 08.09.2016 all'interno del sito in oggetto, finalizzate a valutare la compatibilità dell'assetto geologico in senso lato con la destinazione d'uso dell'area investigata: ambiti per nuovi insediamenti industriali, produttivi, direzionali. L'analisi delle caratteristiche geologiche, geotecniche e sismiche dei terreni di fondazione siti all'interno dell'area oggetto di studio, hanno permesso di trarre le seguenti considerazioni:

- L'area in esame ricade entro il bacino subsidente padano che è costituito da una depressione a carattere marcatamente compressivo colmata da una successione regressiva plio-quaternaria che culmina al tetto con depositi continentali (Olocenici) di origine alluvionale. Sotto il profilo litostratigrafico, l'area investigata è caratterizzata da depositi alluvionali quaternari, appartenenti alle classi granulometriche che vanno dalle argille ai limi fino alle sabbie e/o ghiaie più o meno addensate; in particolare si tratta di terreni eterogenei variamente combinati tra di loro, costituiti lungo i primi 18,40/22,40 m da un'alternanza di argille, argille limose e limi argillosi più o meno consistenti. Segue, fino alla massima profondità raggiunta dai test penetrometrici (-23,00 m da p.c.) un orizzonte ghiaioso molto addensato, risultato impenetrabile dallo strumento. Dal punto di vista geomorfologico il comparto in oggetto, considerata la collocazione e l'assetto del piano campagna, non presenta alcun processo morfologico destabilizzante in atto e/o in potenziale evoluzione; l'area si presenta perciò stabile.
- Dal punto di vista locale il sottosuolo è contraddistinto da orizzonti idrogeologici non omogenei caratterizzati da sequenze di litotipi con grado di permeabilità variabile, sia in senso laterale che verticale, che esprimono (in superficie) una media prevalenza nelle frazioni argillo-limose, con intercalazioni ghiaiose e sabbiose più in profondità, ne consegue quindi una permeabilità bassa ed una scarsa vulnerabilità del sottostante acquifero da eventuali agenti inquinanti. L'acquifero in esame è quindi ascrivibile all'Unità Idrogeologica della Media Pianura Padana Appenninica che, nel complesso, presenta una produttività idrica soddisfacente. L'analisi sull'assetto idrogeologico della falda freatica evidenzia quindi una sostanziale conservatività delle principali strutture idrogeologiche sotterranee.
- L'idrografia dell'area è piuttosto complessa, definita oltre che dal Torrente Samoggia e dal Fiume Panaro, il cui alveo scorre a sud-ovest dell'area oggetto d'intervento, dalla presenza di fossi minori, più o meno interconnessi, i cui percorsi sono il prodotto di modificazioni sia artificiali che naturali, a diversa funzionalità, utilizzati a scopo o puramente irriguo, o esclusivamente di scolo, o ad uso promiscuo. L'area in esame, in virtù dei frequenti scoli di acque superficiali che allontanano facilmente le acque legate

ad eventi meteorici si presenta quindi ben drenata, sono pertanto da escludersi, per la porzione di territorio interessata dagli interventi in progetto, eventuali esondazioni. Più che da veri e propri fenomeni di esondazione per tracimazione di cavi o canali, l'area in studio potrebbe eventualmente essere interessata da locali allagamenti per difficoltà di scolo e per ristagno delle acque in occasione di eventi climatici di pioggia critica. Dal punto di vista del drenaggio superficiale le pendenze del terreno, mediamente comprese tra 0,5 e 1% evidenziano un drenaggio di tipo lento; ne consegue che le opere di sistemazione esterna, dovranno prevedere opportune linee di scolo e smaltimento delle acque meteoriche che suppliscano a tale situazione, in funzione anche ad un incremento delle superfici impermeabilizzate.

- La misurazione del livello piezometrico effettuata all'interno di ogni foro d'indagine (al momento della campagna geognostica 08.09.2016), ha evidenziato la presenza di acqua ad una profondità compresa tra -3,00 e 5,10 m da piano campagna e/o piano prova. È opportuno segnalare come tali valori risultino fortemente influenzati, sia dalle variazioni meteoriche che dal litotipo riscontrato, nonché da fenomeni di evapotraspirazione e di differente quota topografica; tali fattori possono determinare in determinati periodi dell'anno, possibili venute d'acqua in fase di scavo per la realizzazione delle strutture fondali, in particolar modo nel caso di piani interrati e/o fondazioni con un piano di posa profondo. Nelle stagione secca e nelle annate meno piovose possono infatti registrarsi abbassamenti dell'ordine di qualche metro; al contrario nelle annate e nei mesi più piovosi possono registrarsi valori prossimi al piano campagna, la cui presenza dovrà essere comunque opportunamente valutata in fase esecutiva.
- > Dal punto di vista sismico, in base ai dati emersi nel corso della campagna geognostica, interpolati con altre penetrometrie profonde eseguite nelle immediate vicinanze del sito oggetto di studio, ha permesso di considerare il profilo stratigrafico del sottosuolo di fondazione dell'area investigata appartenente alla classe C (200 ≤ V_{S30} ≤ 213 m/s), ossia: "depositi di sabbie e ghiaie mediamente addensate o di argilla di media consistenza, con spessori variabili da diverse decine fino a centinaia di metri, caratterizzati da valori di Vs₃₀ compresi tra 180 m/s e 360 m/s (15 < Nspt < 50 ; 70 < Cu < 250 kPa)". La verifica della suscettibilità alla liquefazione dei terreni, eseguita sulle prove penetrometriche effettuate, secondo secondo i metodi di "Robertson & Wride (1998)" ed "Idriss & Boulanger" (2008), hanno fornito valori con un indice ed un rischio di liquefazione molto basso e/o nullo (IPI = 0,000). La stima orientativa dei cedimenti post-sismici permanenti è stata eseguita per ogni singola verticale di prova realizzata nell'area oggetto di studio, tenendo conto dell'amplificazione locale della risposta sismica in accordo con quanto prescritto al punto (E) dell'allegato A3 della D.A.L. n°112/2007 e s.m.i. Nei calcoli sono stati assunti valori prudenziali ricavati dalla letteratura geotecnica. Il calcolo ha interessato profondità di indagine variabile tra i -16,56 m da p.c. (SCPTU1), 14,18 (SCPTU2) e -16,00 (CPTU3).

Dai calcoli effettuati in corrispondenza delle tre verticali di prova si stima un cedimento totale post-sismico compreso tra 4,0 e 4,9 cm.

Per la caratterizzazione e determinazione delle caratteristiche geomeccaniche dei terreni di fondazione dell'area in studio sono state elaborate le prove penetrometriche statiche (SCPTU1-SCPTU2-CPTU3) eseguite dal sottoscritto in data 08/09/2016. Tali prove risultano ubicate come indicato in Tavola 3 a pagina 11 e Tavola 4 a pagina 12. Dall'osservazione dei risultati delle prove penetrometriche eseguite si evince che il sottosuolo dell'area in studio è caratterizzato dalla presenza di una monotona sequenza argilloso limosa a consistenza variabile cui segue un orizzonte ghiaioso molto addensato. Al di sotto dello strato di terreno superficiale sovraconsolidato è presente uno strato argilloso-limoso continuo sino a circa 18,40/22,40 m, caratterizzato da consistenza mediocre con valori di Rpm pari a circa 11 kg/cm² e valori medi minimi pari a 7 kg/cm². Segue, fino alla massima profondità raggiunta dai test penetrometrici (-23,00 m da p.c.) un orizzonte ghiaioso molto addensato (con valori medi di Rpm sempre >150 kg/cm²), risultato impenetrabile dallo strumento. Sulla base delle caratteristiche geotecniche dei principali parametri geomeccanici del sottosuolo riscontrati nell'area oggetto di studio, (superato il primo metro di terreno agrario e/o vegetale interessato dal gelo e da significative variazioni stagionali del contenuto d'acqua), risulta possibile e consigliabile (in condizioni di carico non particolarmente gravose) l'adozione di fondazioni superficiali secondo le normali tecniche costruttive usualmente adottate nella pratica edificatoria per la costruzione di capannoni prefabbricati in c.a.v. e c.a.p. (ad esempio: fondazioni tipo plinto isolato, ecc...). I calcoli, nel caso in esame, sono stati condotti secondo quanto contenuto nel nuovo Testo Unico: D.M. del 14 Gennaio 2008 "Norme tecniche per le costruzioni" e nella Circolare n°617 del 02.02.09. Per cui, in relazione alle caratteristiche delle strutture in elevazione, ed assumendo quali parametri geotecnici quelli ricavati dai tabulati delle prove penetrometriche effettuate si sono potuti ricavare (a seconda degli Approcci e delle combinazioni possibili) i seguenti valori teorici del carico limite ultimo q_{d(SLU)}:

Appro Proge		Ум	УR	C _{u,k} (Kg/cm²)	Nc	q _{d(SLU)} (Kg/cm²)
A1C1	A1M1R1	1,00	1,00	0,45	5,70	2,75*
A1C2	A2M2R2	1,40	1,80	0,32	5,70	1,12*
A2	A1M1R3	1,00	2,30	0,45	5,70	1,20*

I suddetti calcoli sono stati eseguiti considerando una fondazione superficiale tipo plinto isolato posta ad una profondità (D) ≥ 1,00 m da piano campagna e/o piano prove. Dato il tipo di variabilità laterale e verticale sia dei valori di resistenza al taglio che di compressibilità riscontrabili nei primi 10 m di terreno, il valore del carico limite ultimo è da ritenersi indicativo e rappresentativo per la caratterizzazione litomeccanica generale del sito in analisi. Per la definizione delle pressioni utilizzabili nella fase di progetto esecutivo

(carico limite ultimo e di esercizio), dovrà essere eseguito un idoneo numero di punti d'indagine integrativi e sviluppati i calcoli dei cedimenti totali e differenziali, nel contesto delle interazioni terreno-struttura. Le opere interagenti con i terreni dovranno quindi essere verificate nei confronti degli stati limite di esercizio (SLE). Il progetto dovrà quindi indicare l'entità degli spostamenti e delle distorsioni, compatibili con la funzionalità delle strutture in elevato, e sviluppato, in modo che gli spostamenti attesi e le distorsioni risultino inferiori a quelle compatibili. Qualora tali cedimenti risultassero troppo elevati per il tipo di strutture in elevato si dovrà necessariamente ridurre il valore del carico limite suddetto. Sarà compito pertanto del Tecnico Progettista, una volta eseguita l'accurata determinazione dei carichi effettivamente imposti ai terreni di fondazione, definire con esattezza, il tipo ed il dimensionamento definitivo delle opere fondali, nonché il relativo carico massimo che le strutture in elevazione potranno scaricare sul terreno.

Tenuto conto quindi del contesto geologico, idrogeologico e sismico in cui si inserisce il comparto in oggetto, tenuto altresì conto delle caratteristiche geomeccaniche dei terreni di fondazione, in funzione del tipo di opere in progetto, si conferma la fattibilità geologica dell'area in studio.

II Geologo

Dr. Alessandro Boni

Ostiglia, settembre 2016

REGIONE EMILIA ROMAGNA COMUNE DI CASTELFRANCO EMILIA PROVINCIA DI MODENA

VALUTAZIONE DELLA RISPOSTA SISMICA LOCALE

Norme del P.S.C. di Castelfranco Emilia art.15.3 comma 5 approfondimenti/analisi di III livello, (D.G.R. n°2193 del 21.12.2015)



COMMITTENTE: CMC S.r.I.

UBICAZIONE SITO: Via Emilia Est, Loc. Cavazzona, Castelfranco Emilia (MO)

PROGETTO: Risposta sismica locale: III livello di approfondimento a corredo

del P.U.A. di iniziativa privata in variante al P.S.C. e P.T.C.P.

DATA: Luglio 2017

IL TECNICO:

Dott. Geol. Alessandro Boni



INDICE

VALUTAZIONE DELLA RISPOSTA SISMICA LOCALE (R.S.L.)	Pag. 02
01 – PREMESSA	Pag. 02
02 – CARATTERISTICHE E SCOPI DELL'ANALISI DI R.S.L	Pag. 02
03 – INQUADRAMENTO GEOLOGICO	Pag. 04
04 – INDAGINI IN SITO	Pag. 05
05 – MODELLO GEOTECNICO	Pag. 05
06 – ANALISI SISMICA: MOTO DI INPUT	Pag. 08
07 – OUTPUT SISMICO	Pag. 11 Pag. 12 Pag. 15
08 – PROFILI DI ACCELERAZIONE	Pag. 17
09 – RICALCOLO DEL RISCHIO DI LIQUEFAZIONE DEI TERRENI	Pag. 18
10 – RICALCOLO DEI CEDIMENTI POST-SISMICI	Pag. 21
11 – VALUTAZIONI DI FATTIBILITA' GEOLOGICA-SISMICA: CONSIDERAZIONI CONCLUSIVE E RIVALUTAZIONE DEI COEFFICIENTI DI AMPLIFICAZIONE SISMICA (D.G.R. n°2193 del 2015)	Pag. 22

VALUTAZIONE DELLA RISPOSTA SISMICA LOCALE (R.S.L.):

01 - PREMESSA

A seguito del parere geologico-sismico emesso dall'U.O. Geologico della Provincia di Modena in data 08/06/2017 (Protocollo n°23621 del 09/06/2017) riguardante l'ambito produttivo di nuovo insediamento (ANP₁₇₀ Cavazzona), "accordo di programma CMC S.r.l. in variante al P.S.C.", è stato effettuata ad integrazione della Relazione geologica, geotecnica e sismica datata settembre 2016 redatta dal sottoscritto Dott. Geol. Alessandro Boni, una risposta sismica locale con approfondimenti di III livello in ottemperanza all'art. 15.3, comma 5 delle Norme del P.S.C. di Castelfranco Emilia. Successivamente si proceduto nuovamente alla verifica del rischio di liquefazione dei terreni e del ricalcolo dei cedimenti post-sismici.

02 - CARATTERISTICHE E SCOPI DELL'ANALISI DI R..S.L.

Lo scopo di un'analisi di Risposta Sismica Locale è quello di valutare la risposta in termini di amplificazione, suscettibilità alla liquefazione e instabilità dei pendii, per un determinato sito nei confronti delle sollecitazioni trasmesse ad esso da un evento sismico che si origina in un determinato punto nel sottosuolo.

Per la valutazione del comportamento del terreno superficiale su cui andranno ad agire le opere in progetto o esistenti, ma in corso di valutazione sismica, occorre valutare:

- 1. le caratteristiche del meccanismo sorgente;
- 2. la propagazione delle onde dalla sorgente del sisma fino a giungere alla base dell'eventuale deposito superficiale;
- 3. trasmissione delle onde dal bedrock (o dalla base del deposito) alla superficie.

Per soddisfare la condizione posta dal primo punto si ricorre all'analisi di dati di sismicità storica, utilizzando le registrazioni di una rete di sismografi disposti sul territorio, e applicando modelli statistici per la rappresentazione del meccanismo sorgente in una determinata area.

Gli archivi contenenti le registrazioni della rete sismologica sono: per il territorio nazionale ITACA Italian Accelerometric Archive ottenuto dalle registrazioni del National Accelerometric Network e contenente gli accelerogrammi di un migliaio di eventi strong-motion mentre per il territorio europeo è disponibile l'European Strong Motion Database (ESD).

Il secondo punto è soddisfatto dall'osservazione e dallo studio della variazione del moto sismico con l'aumentare della distanza, e con la definizione di leggi di attenuazione, cioè di un modello che rappresenti la variazione dell'intensità macrosismica (e quindi degli effetti che si osservano) con la distanza dall'epicentro.

È anche possibile utilizzare correlazioni empiriche per rappresentare le modificazioni che subiscono le onde sismiche durante il percorso tra sorgente e base del deposito; tali leggi di attenuazione così ricavate sono però difficilmente riproducibili su tutti i siti e quindi poco affidabili.

L'analisi della sismicità regionale e l'applicazione delle leggi di attenuazione portano alla determinazione del moto sismico atteso alla base del deposito.

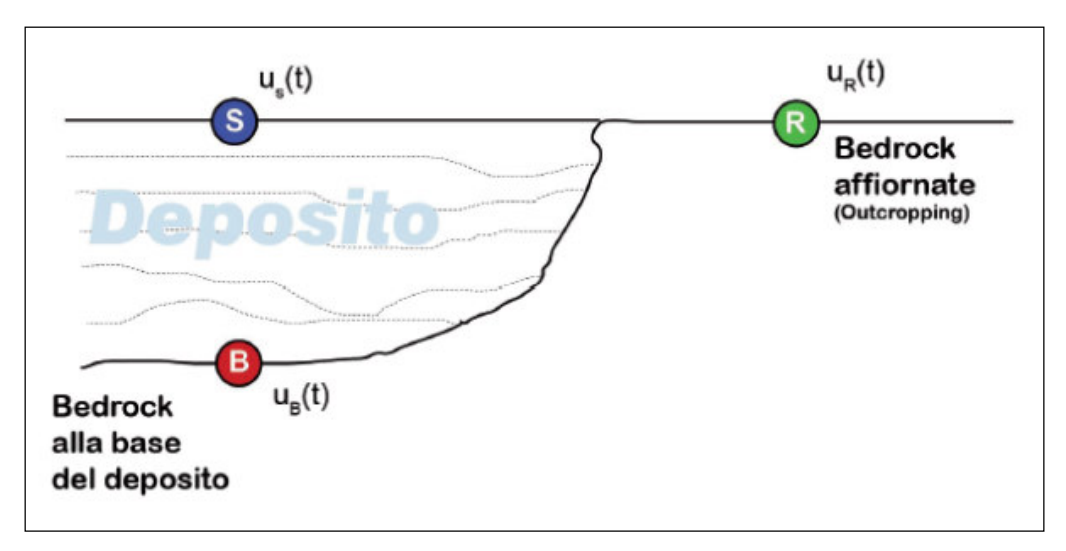


Figura 1: elementi base del moto sismico

Una volta stabilito il moto sismico atteso al bedrock UB(t) il problema della risposta sismica locale si risolve nella determinazione delle modifiche in termini di ampiezza, durata e contenuto in frequenza che il moto sismico subisce nell'attraversare gli strati di terreno che costituiscono il deposito e che si manifesta in superficie US(t).

L'analisi della risposta sismica locale può essere effettuata sia in modalità free-field, in cui viene considerato il sito privo di ogni tipo di struttura, oppure tenendo in considerazione le strutture presenti nel sito. Quest'ultimo tipo di analisi richiede la conoscenza dei parametri dinamici della struttura e dell'interazione tra terreno e struttura, necessitando di una modellazione di grande complessità.

Per lo scopo e le dimensioni del problema in questione, si considera sufficiente l'esecuzione un'analisi di tipo free-field, dato che l'inerzia del fabbricato viene ritenuta ininfluente nella modificazione delle accelerazioni attese al sito.

Sinteticamente i dati necessari (dati di input) alla valutazione della Risposta Sismica Locale sono:

- Moto sismico atteso alla base del deposito o su roccia affiorane (roccia o terreno duro di riferimento) con assegnato tempo di ritorno;
- Geometria del deposito (spessori ed estensione);
- Stratigrafia (natura, alternanza e spessore degli strati);
- Caratteristiche fisiche e geotecniche (densità, coefficiente di Poisson, modulo di taglio massimo, velocità delle onde di taglio S, rapporto di smorzamento, leggi di variazione della deformazione).

I dati di output saranno:

 Andamento del moto sismico sulla superficie espresso sotto forma di parametri sismici di ampiezza, frequenza e durata oppure interamente espressi in termini di tempo (time-history) o di contenuto in frequenza (spettri di risposta).

L'area oggetto di studio si colloca all'interno dei confini comunali di Castelfranco Emilia (MO) in Località Cavazzona lungo Via Emilia Est. L'altimetria dell'area in studio varia da 43 a 44 metri s.l.m, come evidenziato in figura 2.

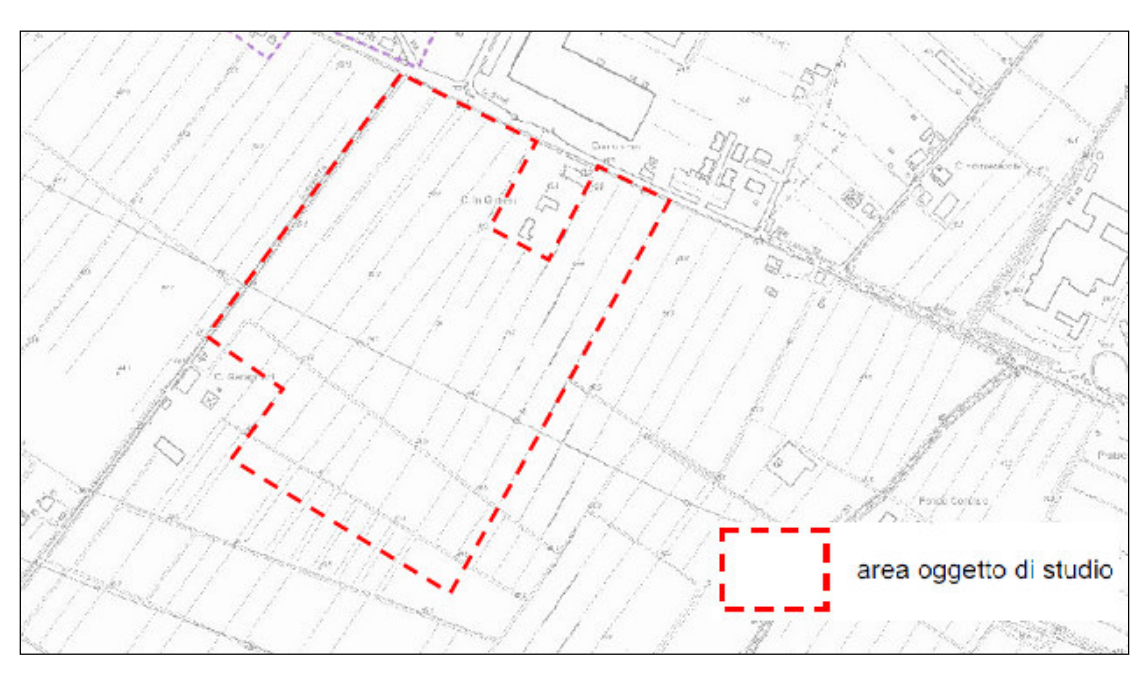


Figura 2: ubicazione sito di indagine

Dal punto di vista cartografico, l'area esaminata ricade nelle seguenti basi topografiche: Sezione C.T.R. 1:10.000 : 220022 e 220023.

Le coordinate geografiche del sito, ed utilizzate per estrarre i dati del moto sismico di input sono:

44.567977° N - 11.122513° E (WGS 84) = 44.568916° N - 11.123512° E (ED50)

03 - INQUADRAMENTO GEOLOGICO

L'areale modenese si colloca circa nel bacino sedimentario costituito dalla media pianura padana emiliana. A sud questo è delimitato dalla catena appenninica, mentre a nord il suo spessore si riduce, per la presenza di una dorsale sepolta costituita da pieghe fagliate note con la denominazione di "Pieghe Ferraresi".

Questa dorsale, in pianta, costituisce un arco il cui fronte si estende verso ovest fino a oltre Reggio Emilia, dove si unisce alle "Pieghe Emiliane", verso nord fino al Polesine e verso est fino alla costa adriatica dove, a sud-est di Ravenna, si unisce alle "Pieghe Adriatiche" (Pieri & Groppi, 1981). Tale struttura assottiglia molto la coltre sedimentaria alluvionale della pianura, riducendo lo spessore dei sedimenti quaternari fino a poco più di 120 metri, e collocando la prima importante discontinuità deposizionale, la base del Sintema Emiliano Romagnolo superiore, a circa 100-120 metri di profondità. Collocando il bedrock sismico al letto del Sintema Emiliano Romagnolo Superiore, nell'areale oggetto di indagine, come si può vedere dalla sezione geologica n°13 pubblicata dalla Regione Emilia Romagna (http://ambiente.regione.emilia-romagna.it/geologia/cartografia/webgis-banchedati), questo viene a trovarsi a profondità di diverse centinaia di metri dal piano campagna.

In considerazione di ciò, e del fatto variando la profondità del bedrock olte i 100 – 150 m dal piano campagna, non si notano grandi variazioni di comportamento del modello, in questa sede si sceglie di ubicare il bedrock sismico alla profondità di 150 m.

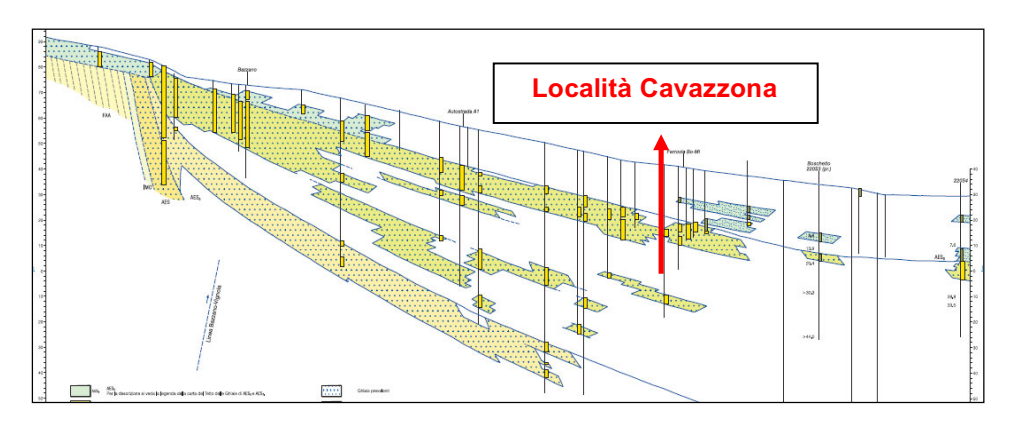


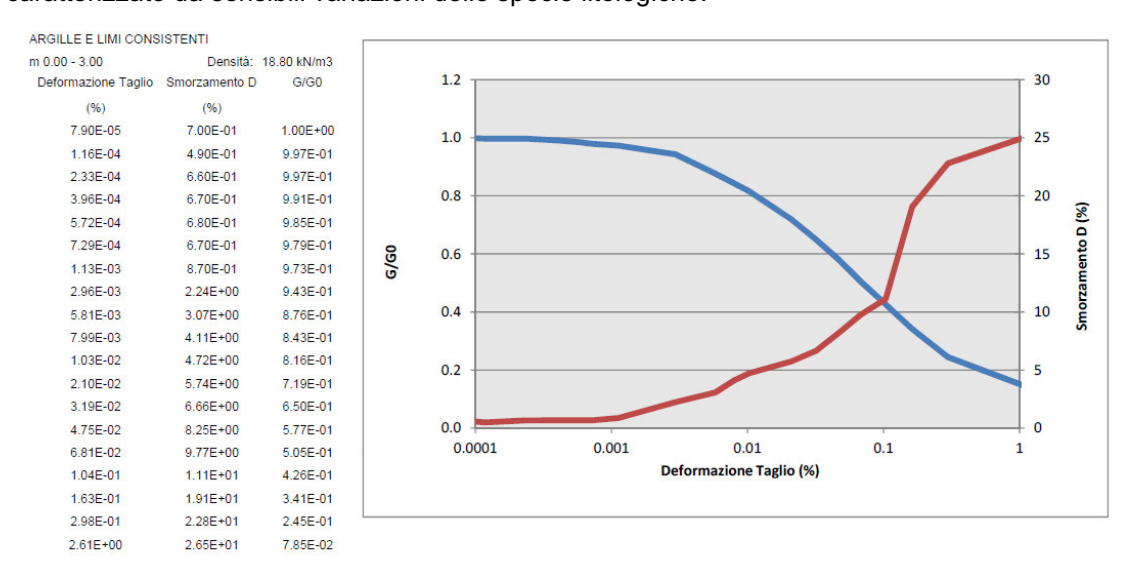
Figura 3: sezione geologica N 13

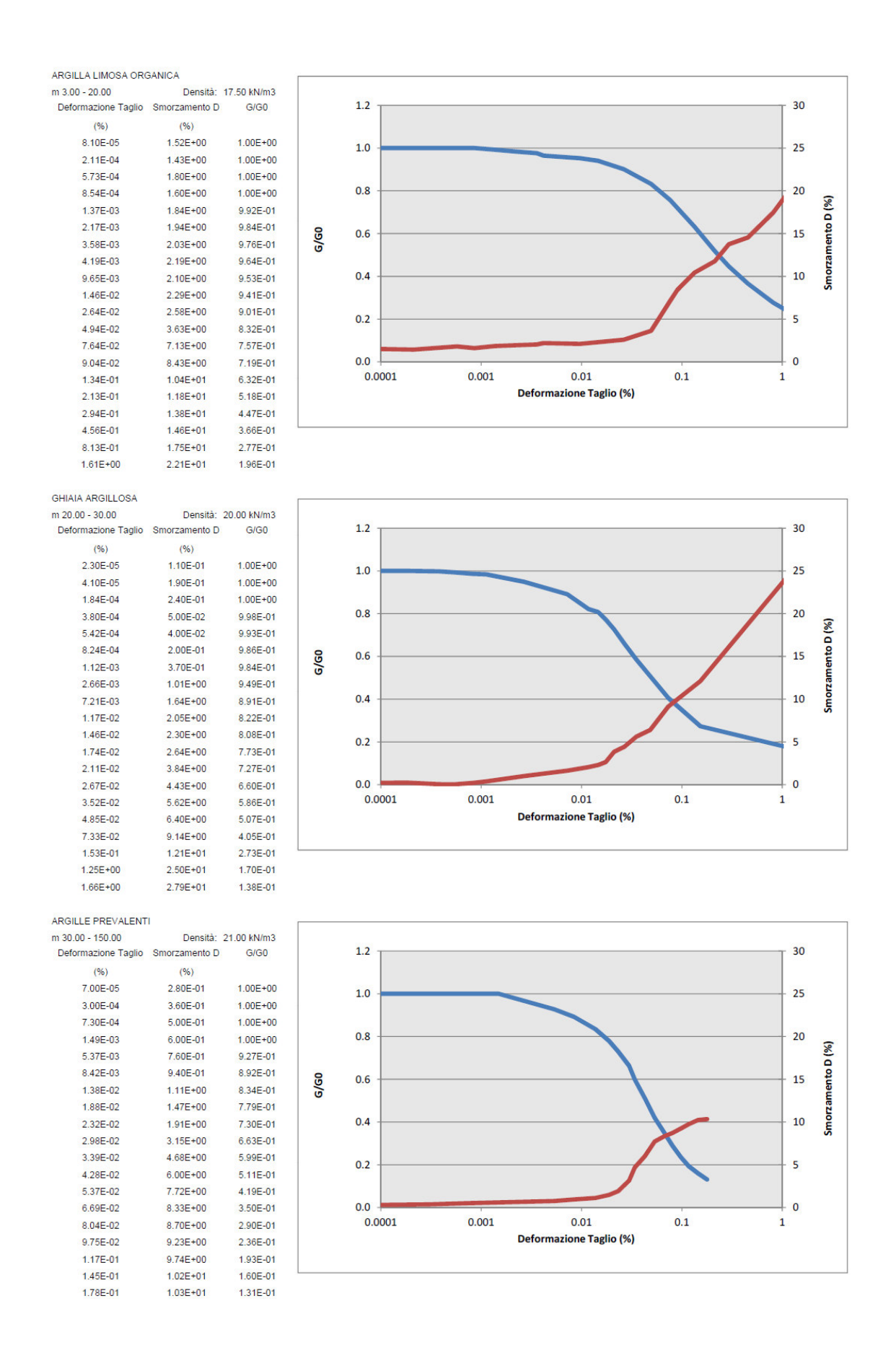
04 - INDAGINI IN SITO

Il modello geologico è stato realizzato utilizzando i dati della campagna di indagine eseguita nel settembre del 2016, e che si è articolata con l'esecuzione di tre penetrometrie statiche con sismocono a 20 m di profondità, e da una prospezione a sismica passiva a stazione singola (Tromino). Dal sito della regione Emilia Romagna si è utilizzato il profilo n 13 per definire la successione stratigrafica in profondità.

05 - MODELLO GEOTECNICO

Essenziale alla corretta procedura di analisi delle amplificazioni tramite software di calcolo è la definizione del modello geotecnico del sottosuolo. Il modello geotecnico del terreno è stato ottenuto utilizzandole curve di decadimento del modulo di taglio (G/G0) e dello smorzamento (D) ricavate da dati bibliografici, un profilo di Vs ottenute dalla prova con sismocono, correlate con la stratigrafia geologica di dettaglio dei primi 30 metri delle prove penetrometriche e del sondaggio, e da quella più a grande scala delle indagini geofisiche di superficie e dei profili geologici presenti nella banca dati della Regione Emilia Romagna. Nonostante le approssimazioni introdotte nella definizione del modello stratigrafico non si commettono errori particolarmente evidenti di valutazione, non essendo il sito oggetto di studio, caratterizzato da sensibili variazioni delle specie litologiche.





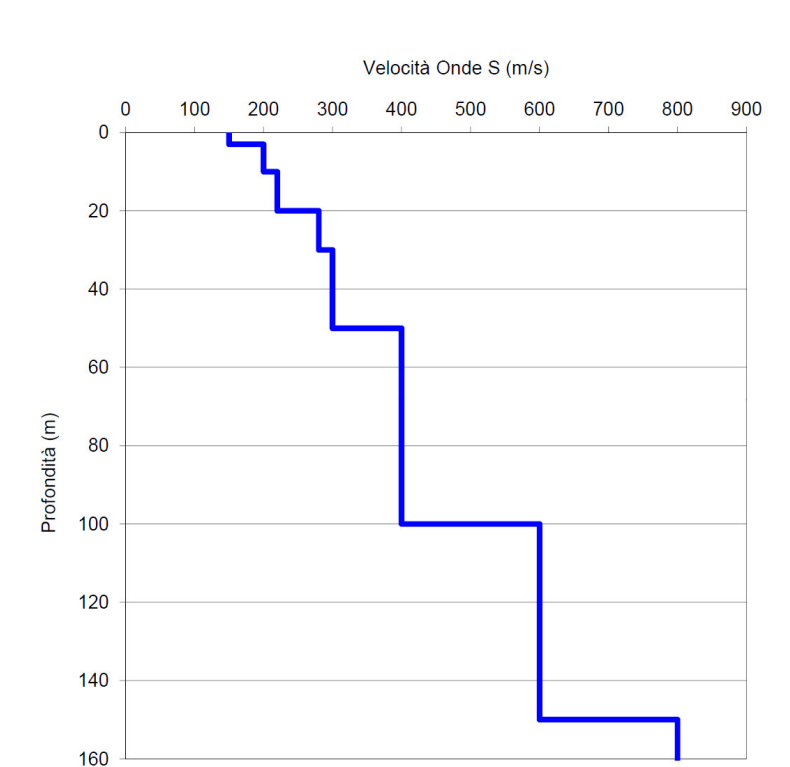


Figura 4: Profilo di Vs stimato

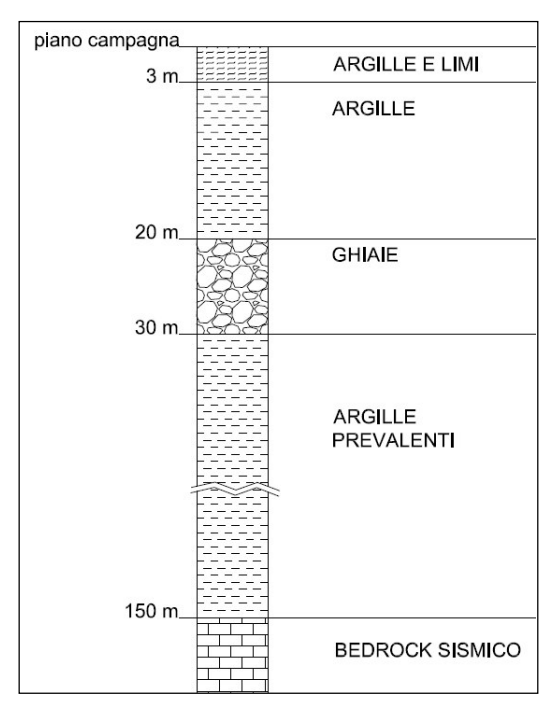


Figura 5: Profilo stratigrafico adottato nella modellazione

Anche se l'individuazione del bedrock sismico, così come la modellazione delle Vs in profondità, è affetta da un certo grado di incertezza, l'ubicazione del sismostrato di base a profondità superiori ai 100 m non è particolarmente rilevante. Infatti, a meno che nei livelli superficiali non sussistano importanti contrasti di rigidità per spessori non trascurabili, su grandi spessori di terreni non litoidi, i fenomeni dissipativi prevalgono su quelli amplificativi.

Tel. e Fax. 0386.670315 Cell. 335.8470747 e-mail: bonialessandro@tiscali.it

06 - ANALISI SISMICA: MOTO DI IMPUT

I moti di input utilizzati sono stati selezionati sulla base delle azioni di progetto indicate dalle NTC 2008, che rimandano al reticolo sismico dell'INGV per la definizione dei parametri sismici al bedrock (suolo di categoria A).

Nel caso oggetto di studio si sono fissate le seguenti condizioni:

- suolo di categoria T1 (morfologia pianeggiante);
- vita nominale di 50 anni
- classe d'uso li;
- smorzamento 5%;
- periodo di ritorno 475 e 50 anni;
- stato limite di salvaguardia della vita (SLV) e di danno (SLD).

Sullo spettro di progetto di riferimento sono stati scalati i sette accelerogrammi naturali spettro-compatibili selezionati dai data-base sismici disponibili. Lo spettro Lo spettro di progetto che si riferisce alla categoria di sottosuolo riscontrata in sito mediante la stima della Vs30 (sottosuolo di tipo C) verrà utilizzato come termine di paragone delle spettro medio ottenuto dalla modellazione del deposito col metodo analitico 1D.

Per la selezione degli accelerogrammi di input si è utilizzato il software Rexel v3.4 (beta) (lervolino, I., Galasso, C., Cosenza, E.) sviluppato nell'ambito del comitato inter-universitario ReLUIS (Rete dei Laboratori Universitari di Ingegneria Sismica).

Il software Rexel esegue la ricerca all'interno dei database sismici di accelerogrammi naturali, in funzione dei parametri di ricerca impostati dall'utente.

Tra i parametri più rilevanti per la corretta selezione degli accelerogrammi in relazione allo spettro target cui devono corrispondere ci sono:

- l'accelerazione del bedrock di riferimento a_{ref};
- l'intervallo di confidenza inferiore e superiore con lo spettro target, ed il relativo intervallo di tempo in cui deve essere rispettato;
- la magnitudo del sisma di riferimento (M);
- la distanza epicentrale (R).

La PGA utilizzata è quella fornita dal reticolo INGV per le coordinate del sito oggetto di studio, mentre l'intervallo di confidenza inferiore è quello di normativa, e quello superiore è stato fissato arbitrariamente, come indicato dalla tabella sottostante.

 PGA - Input [m/s^2]:
 1.608 (SLV)

 PGA - Input [m/s^2]:
 0.608 (SLD)

 Magnitude interval [Mw]:
 5.5 - 6.1 (SLV)

 Magnitude interval [Mw]:
 4.8 - 5.2 (SLD)

Radius interval [km]: 5-30

La magnitudo (M) e la distanza epicentrale (R), sono stati desunti dal diagramma di disaggregazione della pericolosità sismica forniti dal software Rexel e dall'INGV.

La disaggregazione della pericolosità sismica consente di valutare separatamente, per le coordinate prese a riferimento, i vari contributi dei sismi che hanno sollecitato il sito in oggetto.

Considerata una coppia di valori di magnitudo e distanza, il processo di disaggregazione fornisce il terremoto che domina lo scenario di pericolosità, inteso come l'evento sismico di magnitudo M e distanza R dal sito oggetto di studio che contribuisce maggiormente alla pericolosità sismica del sito stesso.

La disaggregazione della pericolosità sismica per il sito della Cantina Sociale Le Romagnole di Fusignano, Ravenna, è rappresentato dai diagrammi di seguito riportati, sia per le condizioni di danno che per quelle di vita.

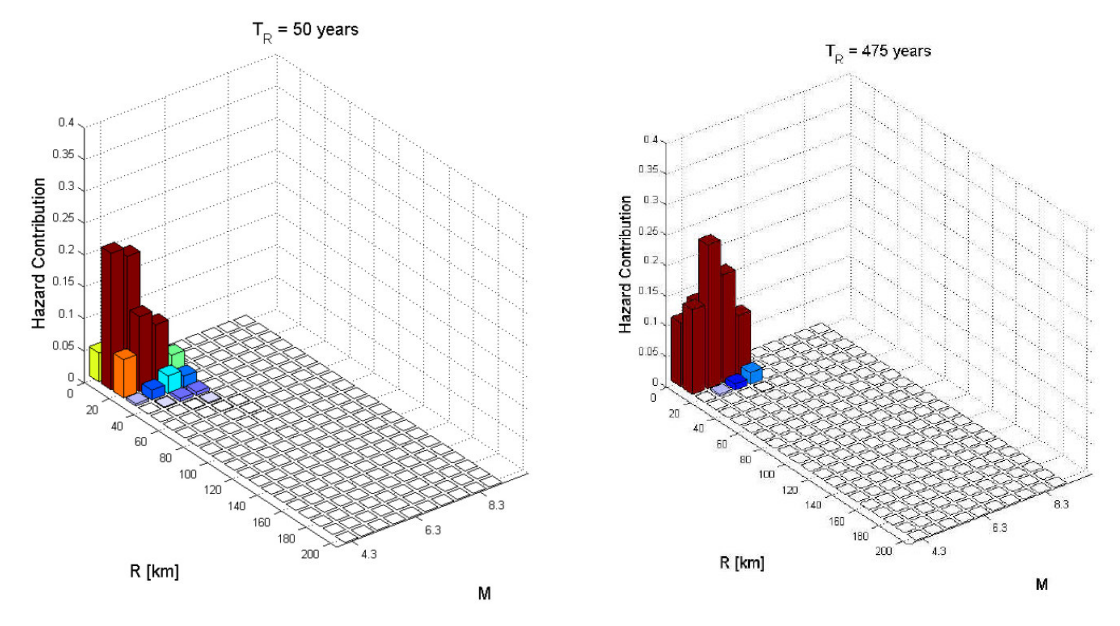


Figura 6: Diagramma della disaggregazione INGV

Dalla disaggregazione della pericolosità sismica del sito si sono ricavati i valori di M ed R utilizzati la ricerca degli accelerogrammi naturali con Rexel.

Solitamente i sette accelerogrammi estratti, non hanno le dimensioni corrette per corrispondere con sufficiente confidenza allo spettro target. Si rende necessaria quindi la scalatura lineare dei records

I sette accelerogrammi costituenti la combinazione utilizzata sono rappresentati nel diagramma di seguito riportato. Le linee tratteggiate rappresentano le fasce di tolleranza inferiore e superiore del 10 e 30 % rispettivamente, che devono essere rispettate all'interno dell'intervallo temporale considerato vincolante (0.1 – 2 secondi in tratteggio rosso).

In questo lavoro il fattore di scala medio degli accelerogrammi estratti (SFmean) risulta essere pari a 2.7279 per lo SLV e di 4.738 per lo SLD.

I grafici sotto riportati indicano anche i riferimenti dei suddetti records simici.

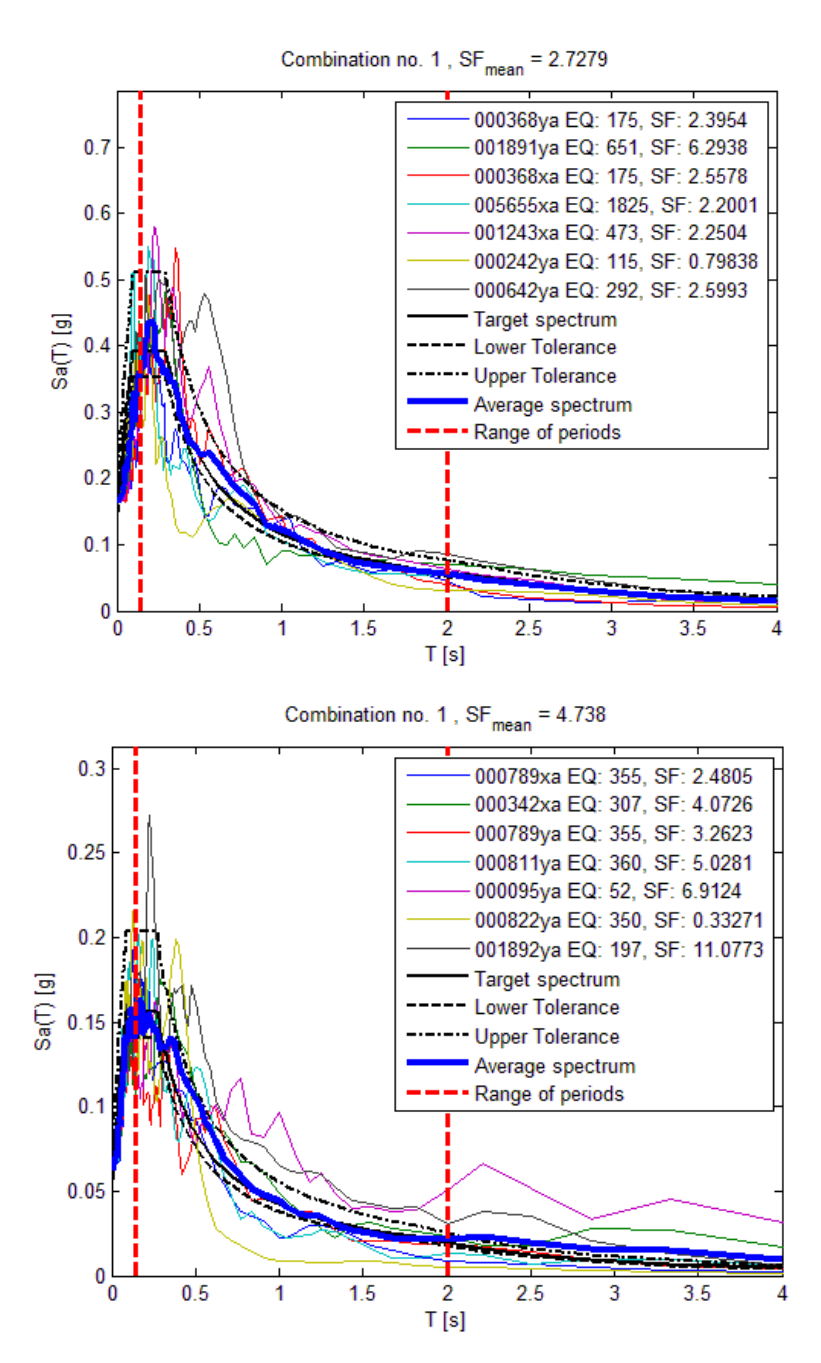


Figura 7: Spettri di risposta degli accelerogrammi naturali opportunamente scalati SLV ed SLD

SLV: Earthquake Name	Waveform ID	Date	Mw	Fault Mechanism	Epicentral Distance [km]	EC8 Site class
Lazio Abruzzo	368	07/05/84	5.9	normal	22	Α
Kranidia	1891	25/10/84	5.5	?	23	Α
Lazio Abruzzo	368	07/05/84	5.9	normal	22	Α
NE of Banja Luka	5655	13/08/81	5.7	oblique	10	А
Izmit (aftershock)	1243	13/09/99	5.8	oblique	15	А
Valnerina	242	19/09/79	5.8	normal	5	Α
Umbria Marche (aftershock)	642	14/10/97	5.6	normal	23	Α

SLD: Earthquake Name	Waveform ID	Date	Mw	Fault Mechanism	Epicentral Distance [km]	EC8 Site class
Umbria Marche (aftershock)	789	12/10/97	5.2	oblique	22	Α
Cazulas	342	24/06/84	4.9	oblique	24	А
Umbria Marche (aftershock)	789	12/10/97	5.2	oblique	22	А
Umbria Marche (aftershock)	811	09/11/97	4.9	normal	15	А
Friuli (aftershock)	95	17/06/76	5.2	oblique	26	А
Umbria Marche (aftershock)	822	03/10/97	5.3	normal	5	А
Kalamata (aftershock)	1892	15/09/86	4.9	normal	29	Α

07 - OUTPUT SISMICO

Il prodotto finale della RSL è l'output sismico derivante dall'analisi numerica eseguita sui dati di ingresso, come precedentemente determinati.

Per la modellazione sismica si è utilizzato il programma STRATA, sviluppato dalla University of Texas, Austin, e distribuito gratuitamente dal Pacific Earthquake Engineering Research Centre (PEER) dell'University of California, Berkeley.

STRATA sviluppa l'analisi della risposta sismica di sito mediante un modello monodimensionale (1D), dove non sono presenti significative variazioni laterali di impedenza sismica, con un metodo lineare equivalente nel dominio delle frequenze, utilizzando dei segnali di input nel dominio del tempo (accelerogrammi).

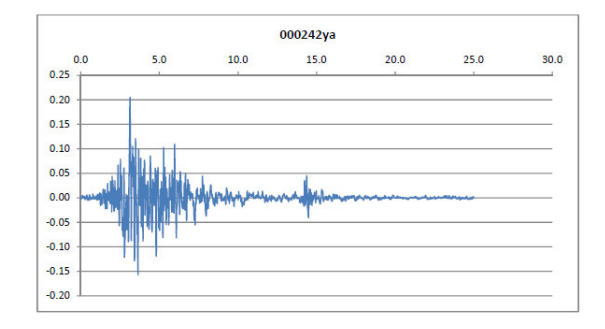
STRATA come EERA, sono modellatori che discendono dal codice di calcolo SHAKE, sviluppato già negli anni '70 da Shnabel, in California, e da allora ampiamente utilizzato.

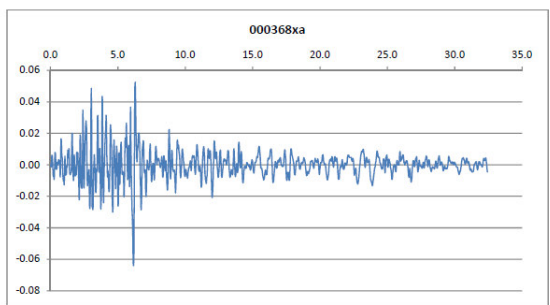
Di seguito vengono presentati i dati di output, per gli stati limite presi in considerazione, sia come grafici che come tabellare, in forma di:

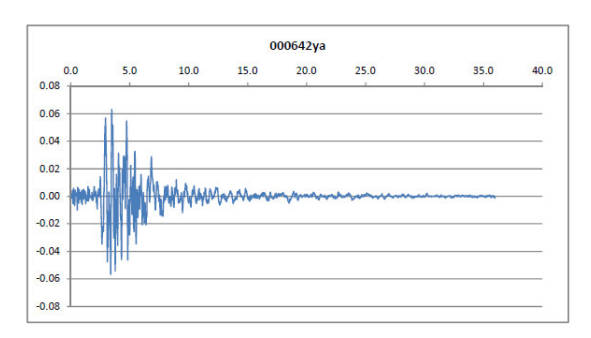
- ACCELEROGRAMMI DI OUTPUT;
- SPETTRI DI RISPOSTA ELASTICI;
- SPETTRO NORMALIZZATO.

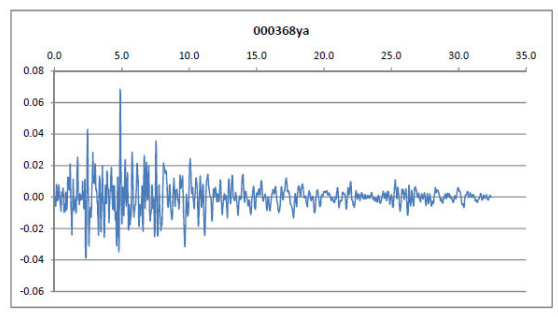
L'analisi è stata principalmente eseguita considerando il sottosuolo come prevalentemente argilloso. E' presentato (in marrone nelle elaborazioni grafiche) anche lo spettro di risposta ricavato inserendo uno strato di 5 metri di spessore di sabbia, come rilevato nella parte nord dell'edificio. Come si può notare la sua influenza è trascurabile. Conoscendo il fattore di struttura "q", è possibile fornire lo spettro di progetto.

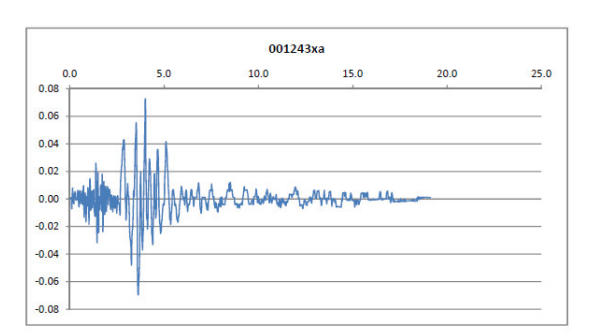
7.1 - Stato Limite Ultimo: Vita - SLV

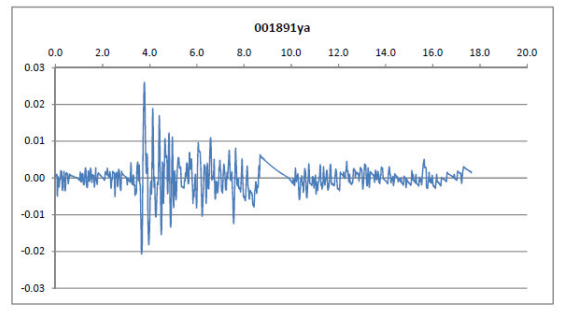


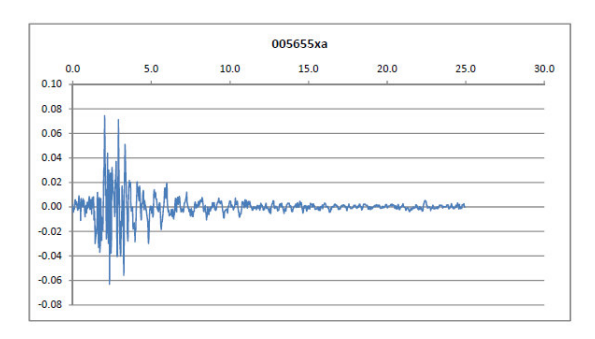












T (s) Se (g) T (s) Se (g) T (s) Se (g) (7 (s) Se (g) Se (SLV Suolo A (Target)	SLV Suolo C		SLV Suolo D		Spettro Elastic	o di Output
0.100 0.392 0.159 0.975 0.228 0.706 0.011 0.246 0.393 0.393 0.299 0.554 0.468 0.799 0.637 0.012 0.246 0.579 0.469 0.799 0.637 0.013 0.246 0.579 0.203 0.724 0.372 0.909 0.552 0.016 0.246 0.799 0.637 0.015 0.246 0.799 0.775 0.776 0.154 0.894 0.391 0.576 0.994 0.492 0.796 0.776 0.154 0.894 0.391 0.576 0.994 0.447 0.020 0.247 0.999 0.952 0.124 0.994 0.994 0.457 0.902 0.247 0.999 0.275 0.108 0.457 0.020 0.247 0.992 0.124 0.994 0.293 1.298 0.400 0.024 0.293 1.384 0.993 1.349 0.214 1.356 0.356 0.303 0.292 0.324 0.999 1.404 0.192 1.597 0.338 0.393 0.252 0.394 0.394 0.394 0.151 1.510 0.068 0.157 0.157 0.157 0.009 0.254 0.158 0.076 0.009 0.255 0.009 0.00	T(s)	Se (g)	T(s)	Se (g)	T (s)	Se (g)	T(s)	Se (g)
0.380 0.392 0.469 0.575 0.685 0.706 0.012 0.246 0.303 0.299 0.486 0.242 0.339 0.422 0.834 0.580 0.015 0.246 0.015 0.246 0.015 0.246 0.015 0.246 0.015 0.246 0.016 0.026 0.016 0.246 0.016 0.026 0.016 0.026 0.026 0.027 0.027 0.022 0.246 0.016 0.02	0.000	0.164	0.000	0.240	0.000	0.295	0.010	0.245
0.383 0.299	0.100	0.392	0.156	0.575	0.228	0.706		0.246
0.486 0.242 0.639 0.422 0.834 0.580 0.015 0.246 0.579 0.872 0.175 0.000 0.532 0.000 0.532 0.016 0.246 0.016 0.246 0.016 0.246 0.016 0.246 0.016 0.246 0.016 0.024 0.024 0.024 0.025 0.027 0.028 0.027 0.027 0.028 0.028 0.027 0.028 0.027 0.028 0.027 0.028 0.027 0.028 0.027 0.028 0.027 0.028 0.027 0.028 0.027 0.028 0.027 0.028 0.027 0.028 0.027 0.028 0.027 0.02								
0.678								
0.072								
0.765								
0.952 0.124 1.094 0.275 1.133 0.427 0.022 0.248 1.095 0.104 1.149 0.234 1.283 0.377 0.027 0.270 0.270 1.138 1.149 0.234 1.283 0.377 0.027 0.270 0.270 0.271 0.271 0.272 0.272 0.273 1.138 0.103 1.234 0.096 1.319 0.204 1.432 0.338 0.033 0.255 0.030 0.251 0.036 0.251 1.571 0.078 1.574 0.171 1.657 0.292 0.044 0.254 1.500 0.073 1.574 0.171 1.657 0.292 0.044 0.254 1.603 0.073 1.659 0.162 1.731 0.279 0.048 0.263 1.696 0.069 1.744 0.154 1.806 0.268 0.053 0.269 0.053 0.269 1.789 0.066 0.261 1.781 0.060 0.606 1.829 0.147 1.881 0.257 0.059 0.071 1.975 0.060 0.199 0.135 2.030 0.238 0.072 0.280 0.072 0.280 0.072 0.280 0.072 0.260 0.273 0.060 0.273 0.060 0.273 0.060 0.273 0.060 0.273 0.060 0.273 0.060 0.273 0.060 0.273 0.072 0.064 0.062 0.053 0.072 0.064 0.062 0.065 0.073 0.072 0.064 0.065 0.073 0.072 0.072 0.072 0.074 0.065 0.073 0.072 0.072 0.072 0.072 0.072 0.074 0.072 0.072 0.072 0.072 0.072 0.072 0.072 0.073 0.072 0.072 0.072 0.072 0.072 0.072 0.072 0.073 0.072 0.072 0.072 0.072 0.072 0.072 0.072 0.073 0.072 0.072 0.072 0.072 0.072 0.072 0.072 0.073 0.072 0.07			17.007.00.000.00				17.100.000.000.000.000	
0.952 0.124 1.064 0.253 1.208 0.400 0.024 0.244 0.141 1.149 0.234 1.283 0.377 0.077 0.277 0.250 0.301 1.231 0.096 1.319 0.204 1.432 0.338 0.033 0.252 0.334 0.038 1.489 0.181 1.592 0.306 0.040 0.254 0.076 0.07			17.107,000,000					7 - 100 C (100 C (100 C)
1.138							17.302.004.0000	7-10000000000
1.138								
1,231								
1.417 0.083	1.231	0.096	1.319	0.204	1.432	0.338	0.033	0.252
1.510	1.324	0.089	1.404	0.192	1.507	0.321	0.036	0.251
1.693	1.417	0.083	1.489	0.181	1.582	0.306	0.040	0.254
1,096	1.510	0.078	1.574	0.171	1.657	0.292	0.044	0.254
1,789	1.603	0.073	1.659	0.162	1.731	0.279	0.048	0.263
1.882		0.069	1.744	1132 200 112 1200			0.053	
1 1975					470000000000000000000000000000000000000			
2.068								
2 162								
2.255 0.052								
2.338								
2.421 0.045	100000000000000000000000000000000000000		100 TO 10					
2.504 0.042 2.504 0.097 2.587 0.091 2.587 0.163 0.130 0.411 0.143 0.447 0.567 0.037 0.037 0.037 0.085 0.2753 0.086 0.035 0.2753 0.080 0.033 0.033 0.033 0.067 0.071 0.2920 0.128 0.213 0.509 0.033 0.033 0.033 0.067 0.060 0.033 0.067 0.033 0.060 0.033 0.067 0.060 0.033 0.067 0.033 0.060 0.033 0.067 0.060 0.033 0.067 0.033 0.060 0.033 0.067 0.060 0.055 0.060 0.055 0.060 0.055 0.060 0.055 0.060 0.055 0.060 0.033 0.067 0.060 0.0								
2.587 0.040 2.670 0.037 2.670 0.085 2.753 0.080 2.836 0.033 2.836 0.075 2.920 0.033 3.003 0.033 3.003 0.067 3.003 0.033 3.003 0.067 3.003 0.033 3.169 0.060 3.169 0.109 3.252 0.103 3.252 0.033 3.355 0.033 3.3418 0.052 3.501 0.033 3.501 0.033 3.501 0.050 3.504 0.033 3.504 0.033 3.504 0.033 3.504 0.033 3.504 0.033 3.504 0.033 3.608 0.033 3.751 0.033 3.751 0.033 3.751 0.033 3.751 0.033 3.751 0.033 3.751 0.033 3.751 0.033 3.751 0.033 3.751 0.033 3.751 0.033 3.751 0.033 3.751 0.033 3.751 0.033 3.751 0.043 3.917 0.040 4.000 0.033 4.000 0.038 4.000 0.0088 4.000 0.0088 4.000 0.0088 4.000 0.0088 4.000 0.0088 4.000 0.0088 4.000 0.0088 4.000 0.0088 4.000 0.0088 4.000 0.0088 4.000 0.0088 4.000 0.0088 4.000 0.0089 4.000 0.0088 4.0008 0.0088 4.0008 0.0088 4.0008 0.0088 4.0008 0.0088 4.0008			100000000000000000000000000000000000000				100000000000000000000000000000000000000	
2.670 0.037						100000000000000000000000000000000000000		
2.753								1.000 00.000 00.000
2.920		0.035		0.080		0.144		0.507
3.003	2.836	0.033	2.836	0.075	2.836	0.136	0.193	0.509
3.086 0.033 3.086 0.064 3.169 0.060 3.169 0.093 0.286 0.513 3.252 0.037 3.335 0.033 3.355 0.033 3.3418 0.033 3.418 0.052 3.418 0.033 3.584 0.033 3.584 0.047 3.584 0.033 3.686 0.045 3.668 0.045 3.668 0.033 3.751 0.033 3.751 0.033 3.834 0.041 3.917 0.033 3.917 0.033 3.917 0.040 4.000 0.033 4.000 0.038 4.000 0.0088 4.000 0.000 0.000 4.000 0.000 0.000 0.00	2.920	0.033	2.920	0.071	2.920	0.128	0.213	0.509
3.169 0.033 3.169 0.060 3.252 0.057 3.252 0.053 3.252 0.053 3.252 0.053 3.252 0.053 3.252 0.053 3.252 0.053 3.335 0.098 3.252 0.033 3.355 0.095 3.3418 0.093 3.418 0.093 3.501 0.033 3.501 0.050 3.584 0.047 3.584 0.033 3.668 0.045 3.668 0.033 3.668 0.045 3.668 0.081 3.751 0.033 3.751 0.043 3.834 0.041 3.834 0.074 3.868 0.081 3.917 0.033 3.917 0.033 4.000 0.033 4.000 0.038 4.000 0.038 4.000 0.038 4.000 0.038 4.000 0.038 4.000 0.088 4.000 0.068 4.000 0.0000 0.00000 0.0000 0.0000 0.0000 0.0000 0.0000 0.0000 0.0000 0.0000 0.000000	3.003	0.033	3.003	0.067	3.003	0.121	0.235	0.497
3.252 0.033 3.35 0.055 3.335 0.098 0.349 0.551 0.349 0.551 0.030 0.3584 0.033 0.033 0.033 0.055 0.098 0.3501 0.033 0.033 0.055 0.3501 0.033 0.3501 0.033 0.3584 0.047 0.050 0.3584 0.045 0.3584 0.045 0.368 0.045 0.368 0.045 0.368 0.081 0.033 0.3751 0.043 0.3751 0.077 0.033 0.3834 0.033 0.3834 0.033 0.3834 0.041 0.050 0.033 0.033 0.033 0.041 0.050 0.033 0.041 0.050 0.033 0.033 0.041 0.050 0.033 0.041 0.050 0.051 0	3.086	0.033	3.086	0.064	3.086	0.114	0.259	0.523
3.335 0.033 3.418 0.033 3.418 0.052 3.418 0.093 3.501 0.080 0.385 0.497 3.584 0.033 3.564 0.047 3.584 0.085 3.668 0.045 3.751 0.033 3.834 0.033 3.834 0.033 3.834 0.033 3.917 0.033 3.917 0.033 4.000 0.033 4.000 0.038 3.917 0.040 4.000 0.038 3.917 0.040 4.000 0.038 3.917 0.040 3.917 0.071 4.000 0.068 3.917 0.071 4.000 0.068 3.917 0.071 4.000 0.068 3.917 0.071 4.000 0.068 3.917 0.071 4.000 0.068 3.917 0.071 4.000 0.068 3.917 0.071 4.000 0.068 3.917 0.071 4.000 0.068 3.917 0.071 4.000 0.068 3.917 0.071 4.000 0.068 3.917 0.071 4.000 0.068 3.917 0.071 4.000 0.068 3.917 0.071 4.000 0.068 3.917 0.071 4.000 0.068 3.917 0.071 4.000 0.068 3.917 0.071 4.000 0.068 3.917 0.071 4.000 0.068 3.917 0.071 3.918								
3.418 0.033 3.501 0.035 3.501 0.050 3.501 0.089 3.501 0.080 3.501							100000000000000000000000000000000000000	
3.501 0.033 3.584 0.033 3.584 0.047 3.668 0.045 3.584 0.085 3.584 0.085 3.584 0.081 3.571 0.033 3.751 0.033 3.834 0.033 3.834 0.041 3.834 0.074 0.630 0.341 0.071 0.000 0.033 0.000 0.038 0.000								
3.584 0.033 3.668 0.034 3.668 0.045 3.668 0.081 0.517 0.381 3.751 0.033 3.834 0.033 3.834 0.033 3.917 0.040 4.000 0.033 4.000 0.038 3.917 0.040 0.038 3.917 0.071 0.095 0.301 0.040 0.006								
3.668 0.033 3.668 0.045 3.751 0.033 3.751 0.043 3.751 0.077 3.834 0.077 3.834 0.074 3.917 0.033 3.917 0.040 4.000 0.033 4.000 0.033 4.000 0.038 3.854 0.041 3.917 0.071 0.0695 0.301 0.0695 0.301 0.0000 0.000 0.000 0.000 0.000 0.000 0.000 0.000 0.000 0.000 0.000 0.0								
3.751 0.033 3.834 0.041 3.834 0.074 3.834 0.074 0.630 0.341 0.695 0.301 0.695 0.301 0.695 0.767 0.276 0.600 0.003 0.400 0.038 0.500 0.600 0.500 0.600 0.500 0.600 0.500 0.600 0.500 0.600								
3.834 0.033 3.834 0.041 3.834 0.074 0.695 0.301 0.695 0.301 0.80 0.767 0.276 0.80 0.767 0.276 0.80 0.767 0.276 0.80 0.767 0.276 0.80 0.767 0.276 0.80 0.767 0.276 0.80 0.767 0.276 0.80 0.767 0.276 0.80 0.767 0.276 0.80 0.80 0.767 0.276 0.80 0.80 0.767 0.276 0.80 0.80 0.767 0.276 0.80 0.80 0.767 0.276 0.80 0.80 0.767 0.276 0.80 0.80 0.767 0.276 0.80 0.80 0.80 0.767 0.276 0.80 0.80 0.767 0.276 0.80 0.80 0.80 0.80 0.80 0.80 0.80 0.8		And a second second	100000000000000000000000000000000000000					
3.917 0.033 3.917 0.040 4.000 0.038 4.000 0.068 0.767 0.276 0.80								
4.000 0.033 4.000 0.038 4.000 0.068 0.767 0.276 0.80 0.70 0.60 0.50 0.30 0.30 0.30 0.20 0.30 0.20 0.10 0.10 0.00 0.00 0.003 4.000 0.038 4.000 0.068 0.00847 0.261 0.935 0.219 1.032 0.222 1.139 0.200 1.257 0.168 1.387 0.144 1.531 0.116 1.689 0.103 1.864 0.086 2.058 0.071 2.271 0.054 2.507 0.045 2.766 0.031 3.053 0.027 3.370 0.024 3.719 0.016 4.105 0.015 4.530 0.010 5.000 0.007					214000010100			
0.80 0.70 0.70 0.60 0.60 0.50 0.50 0.40 0.30 0.30 0.20 0.30 0.20 0.30 0.30 0.20 0.30 0.3	100000000000000000000000000000000000000	the Control of the Control			20 C C C C C C C C C C C C C C C C C C C	Section Control and Control		
0.80 0.70 0.60 0.60 0.50 0.50 0.30 0.30 0.20 0.30 0.20 0.30 0.20 0.30 0.20 0.30 0.20 0.30 0.3								100000000000000000000000000000000000000
0.70 0.60 0.60 0.50 0.50 0.40 0.30 0.20 0.10 0.10 0.00 0.10 0.10 0.00 0.10 0	0.80				21112		0.935	0.219
0.60 0.50 0.50 0.40 0.30 0.20 0.10 0.10 0.00 0.10 0.00 0.10 0.00 0.10 0.00 0.10 0.00 0.10 0.00 0.10 0.00 0.10 0.00 0.10 0.00 0.10 0.00 0.10 0.00 0.10 0.00 0.10 0.00 0.10 0.00 0.10 0.00 0.10 0.00 0.10 0.10 0.00 0.10 0.10 0.00 0.10 0.10 0.00 0.10 0.00 0.10 0.10 0.00 0.10 0.00 0.10 0.00 0.10 0.00 0.10 0.00 0.10 0.00 0.10 0.00 0.10 0.00 0.10 0.00 0.10 0.00 0.10 0.00 0.10 0.00 0.10 0.00 0.00 0.10 0.00 0				_	Constitution of the second of	et)		
0.60 0.50 0.40 0.30 0.20 0.10 0.10 0.10 0.00 0.10 0.00 0.10 0.10 0.00 0.10 0.10 0.00 0.10 0.10 0.00 0.10 0.10 0.00 0.10 0.10 0.00 0.10 0.00 0.10 0.00 0.10 0.00 0.10 0.00 0.10 0.00 0.10 0.00 0.10 0.00 0.10 0.00 0.10 0.00 0.10 0.00 0.10 0.00 0.10 0.00 0.10 0.10 0.00 0.10 0.00 0.10 0.00 0.10 0.00 0.10 0.00 0.10 0.00 0	0.70		\		SLV Suolo C	Н		
0.50 0.50 0.40 0.30 0.20 0.10 0.10 0.10 0.00 0.10 0.00 0.10 0.10 0.00 0.10 0.10 0.00 0.10 0.10 0.10 0.00 0.10 0.10 0.00 0.10 0.10 0.00 0.10 0.00 0.10 0.00 0.10 0.00 0.10 0.00 0.10 0.00 0.10 0.00 0.10 0.00 0.10 0.00 0.10 0.00 0.10 0.00 0.10 0.00 0.10 0.00 0.00 0.10 0.00 0			\	_	SLV Suolo D	[]		
0.50 0.40 0.30 0.20 0.10 0.10 0.10 1.689 0.103 1.864 0.086 2.058 0.071 2.271 0.054 2.507 0.045 2.766 0.031 3.053 0.027 3.370 0.024 3.719 0.016 4.105 0.015 4.530 0.010 5.000 0.007	0.60		1	_	Spettro Elastico di	Output		
0.30 0.30 0.20 0.10 0.10 0.00 1.864 0.086 2.058 0.071 2.271 0.054 2.507 0.045 2.766 0.031 3.053 0.027 3.370 0.024 3.719 0.016 4.105 0.015 4.530 0.010 5.000 0.007		_A\						
0.40 0.30 0.20 0.10 0.00 0.10 0.00	0.50		_			1		
0.30 0.20 0.10 0.00 2.507 0.045 2.766 0.031 3.053 0.027 3.370 0.024 3.719 0.016 4.105 0.015 4.530 0.010 5.000 0.007	8							
0.30 0.20 0.10 0.00 2.507 0.045 2.766 0.031 3.053 0.027 3.370 0.024 3.719 0.016 4.105 0.015 4.530 0.010 5.000 0.007	0.40					1		
0.30 0.20 0.10 0.10 0.00 2.766 0.031 3.053 0.027 3.370 0.024 3.719 0.016 4.105 0.015 4.530 0.010 5.000 0.007			1					
0.20	0.30							
0.20 3.370 0.024 3.719 0.016 4.105 0.015 4.530 0.010 5.000 0.007			71					
0.10	0.20		1					
0.10 4.105 0.015 4.530 0.010 5.000 0.007		1	/ / "					
0.00 4.530 0.010 5.000 0.007	0.10	 						
0.00 5.000 0.007								
0.0 1.0 T (s) 2.0 3.0 4.0	0.00	-	1	1				
- 1-7	0	0.0	1.0	T(s) 2.0	3.0	4.0)	

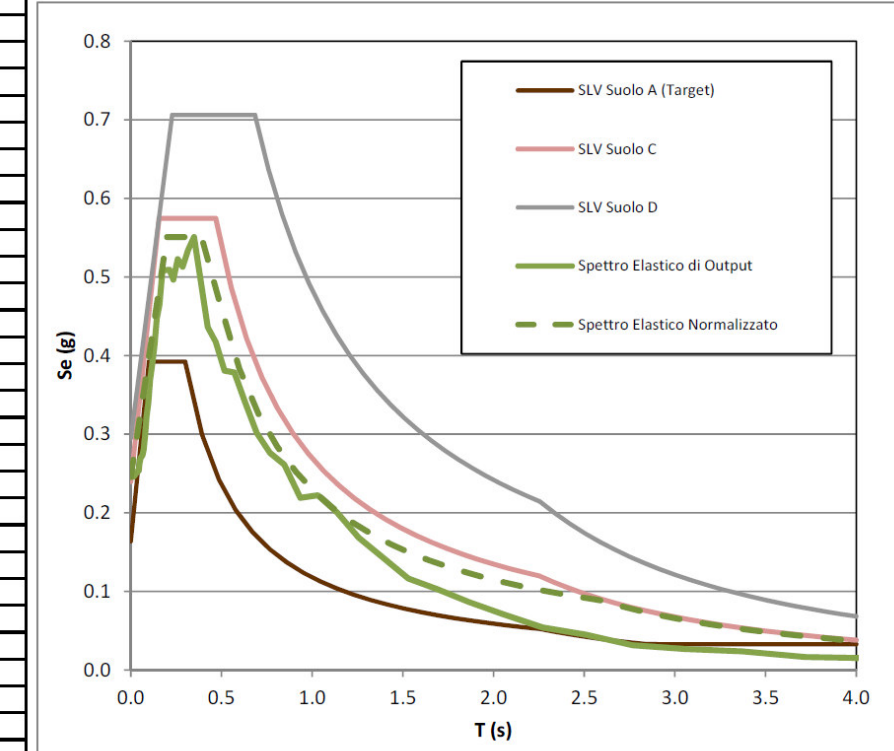
Spettro Elastico di Output Normalizzato

0.245

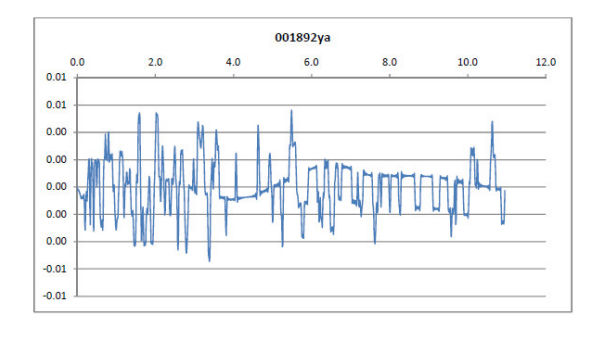
T (s)	Se (g)

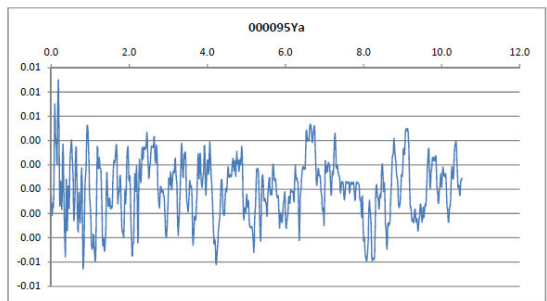
0.000

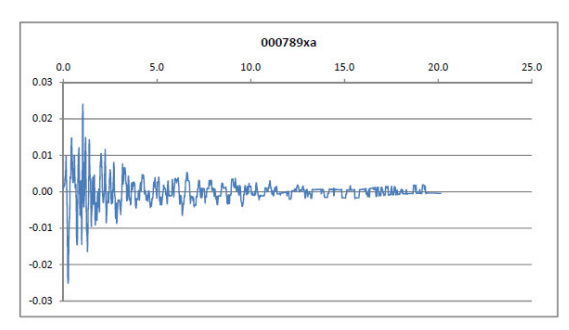
0.000	0.240	
0.200	0.551	
0.390	0.551	
0.494	0.464	
0.599	0.383	
0.703	0.326	
0.807	0.284	
0.912	0.252	
1.016	0.226	Г
1.121	0.205	
1.225	0.187	
1.329	0.173	
1.434	0.160	
1.538	0.149	
1.642	0.140	
1.747	0.131	
1.851	0.124	
1.956	0.117	
2.060	0.111	
2.164	0.106	
2.269	0.101	
2.373	0.097	
2.477	0.093	
2.582	0.089	
2.649	0.084	
2.717	0.080	
2.784	0.076	
2.852	0.073	
2.920	0.070	
2.987	0.066	
3.055	0.064	
3.122	0.061	
3.190	0.058	
3.257	0.056	
3.325	0.054	
3.392	0.051	
3.460	0.050	L
3.527	0.048	
3.595	0.046	
3.662	0.044	
3.730	0.043	
3.797	0.041	
3.865	0.040	
3.932	0.038	
4.000	0.037	

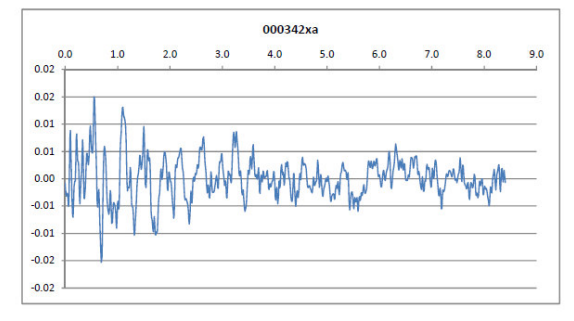


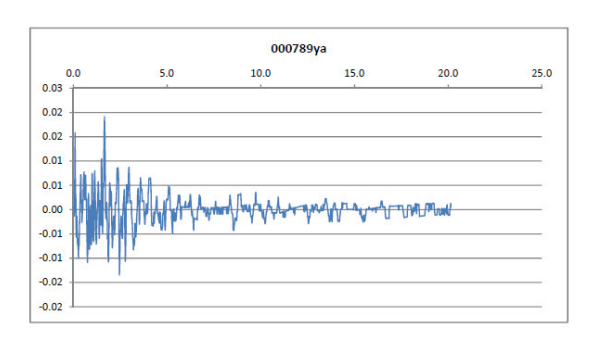
7.2 - Stato Limite di Esercizio: Danno - SLD

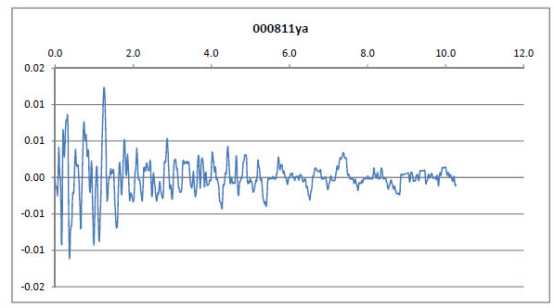


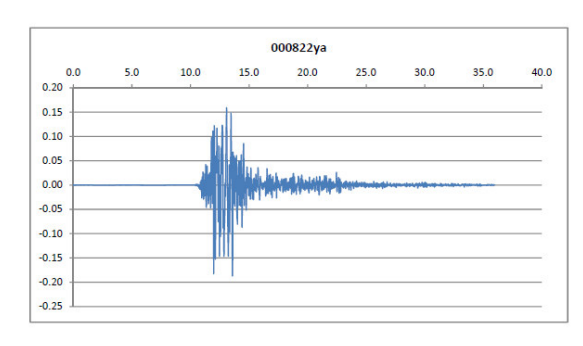




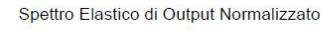


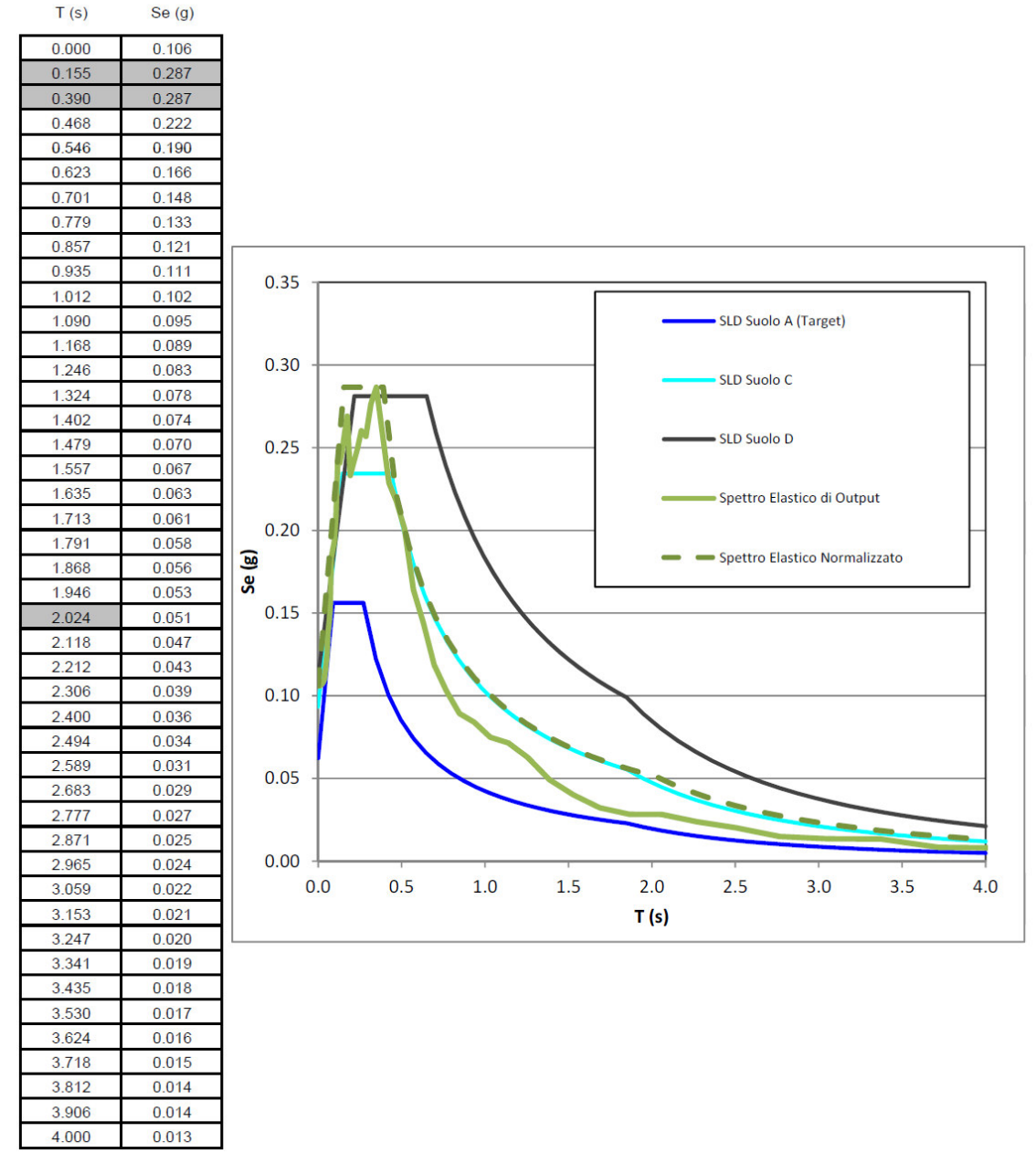






SLD Suolo A (Target)	SLD Suolo C		SLD Suolo D		Spettro Elastic	o di Output
T(s)	Se (g)	T(s)	Se (g)	T (s)	Se (g)	T(s)	Se (g)
0.000	0.062	0.000	0.093	0.000	0.112	0.010	0.106
0.090	0.156	0.146	0.234	0.217	0.281	0.011	0.106
0.271	0.156	0.438	0.234	0.651	0.281	0.012	0.106
0.346	0.122	0.505	0.203	0.708	0.258	0.013	0.106
0.421	0.100 0.085	0.572 0.640	0.179 0.160	0.765 0.822	0.239	0.015 0.016	0.106 0.106
0.497	0.065	0.707	0.100	0.879	0.208	0.018	0.100
0.647	0.065	0.774	0.133	0.936	0.195	0.020	0.107
0.722	0.059	0.841	0.122	0.993	0.184	0.022	0.107
0.797	0.053	0.908	0.113	1.050	0.174	0.024	0.107
0.872	0.049	0.976	0.105	1.107	0.165	0.027	0.108
0.947	0.045	1.043	0.098	1.164	0.157	0.030	0.108
1.023	0.041	1.110	0.092	1.221	0.150	0.033	0.109
1.098	0.039	1.177	0.087	1.279	0.143	0.036	0.110
1.173	0.036	1.244	0.082	1.336	0.137	0.040	0.112
1.248	0.034	1.311	0.078	1.393	0.131	0.044	0.115
1.323 1.398	0.032	1.379	0.074 0.071	1.450 1.507	0.126 0.121	0.048	0.120 0.125
1.473	0.030	1.446 1.513	0.071	1.507	0.121	0.053	0.125
1.548	0.029	1.580	0.065	1.621	0.117	0.065	0.138
1.624	0.026	1.647	0.062	1.678	0.109	0.072	0.151
1.699	0.025	1.715	0.060	1.735	0.105	0.079	0.183
1.774	0.024	1.782	0.058	1.792	0.102	0.088	0.188
1.849	0.023	1.849	0.055	1.849	0.099	0.097	0.193
1.951	0.021	1.951	0.050	1.951	0.089	0.107	0.208
2.054	0.019	2.054	0.045	2.054	0.080	0.118	0.242
2.156	0.017	2.156	0.041	2.156	0.073	0.130	0.241
2.259	0.015	2.259	0.037	2.259	0.066	0.143	0.247
2.361	0.014	2.361	0.034	2.361	0.061	0.158	0.258
2.464 2.566	0.013 0.012	2.464 2.566	0.031 0.029	2.464 2.566	0.056	0.175 0.193	0.269
2.668	0.012	2.668	0.023	2.668	0.048	0.213	0.241
2.771	0.010	2.771	0.025	2.771	0.044	0.235	0.249
2.873	0.009	2.873	0.023	2.873	0.041	0.259	0.260
2.976	0.009	2.976	0.021	2.976	0.038	0.286	0.257
3.078	0.008	3.078	0.020	3.078	0.036	0.316	0.276
3.181	0.008	3.181	0.019	3.181	0.033	0.349	0.287
3.283	0.007	3.283	0.018	3.283	0.031	0.385	0.259
3.385	0.007	3.385	0.017	3.385	0.030	0.425	0.229
3.488	0.006	3.488	0.016	3.488	0.028	0.469	0.218
3.590 3.693	0.006	3.590 3.693	0.015 0.014	3.590 3.693	0.026	0.517 0.571	0.201
3.795	0.005	3.795	0.014	3.795	0.023	0.630	0.164
3.898	0.005	3.898	0.013	3.898	0.023	0.695	0.119
4.000	0.005	4.000	0.012	4.000	0.021	0.767	0.103
•						0.847	0.089
0.35 -			-	0.00		0.935	0.084
			_	SLD Suolo A (Target	i)	1.032	0.075
0.30 -				SLD Suolo C	H	1.139	0.072
			_	SLD Suolo D		1.257	0.063
0.25 -				—Spettro Elastico di C	Output	1.387	0.049
0.23		\				1.531	0.040
0.20		\				1.689 1.864	0.032
6 0.20 -						2.058	0.028
Se (8)						2.271	0.024
0.15 -						2.507	0.020
						2.766	0.015
0.10 -		1				3.053	0.014
						3.370	0.013
0.05 -						3.719	0.008
0.03						4.105	0.008
						4.530	0.005
0.00	.0	1.0 T (s	2.0	3.0	4.0	5.000	0.004

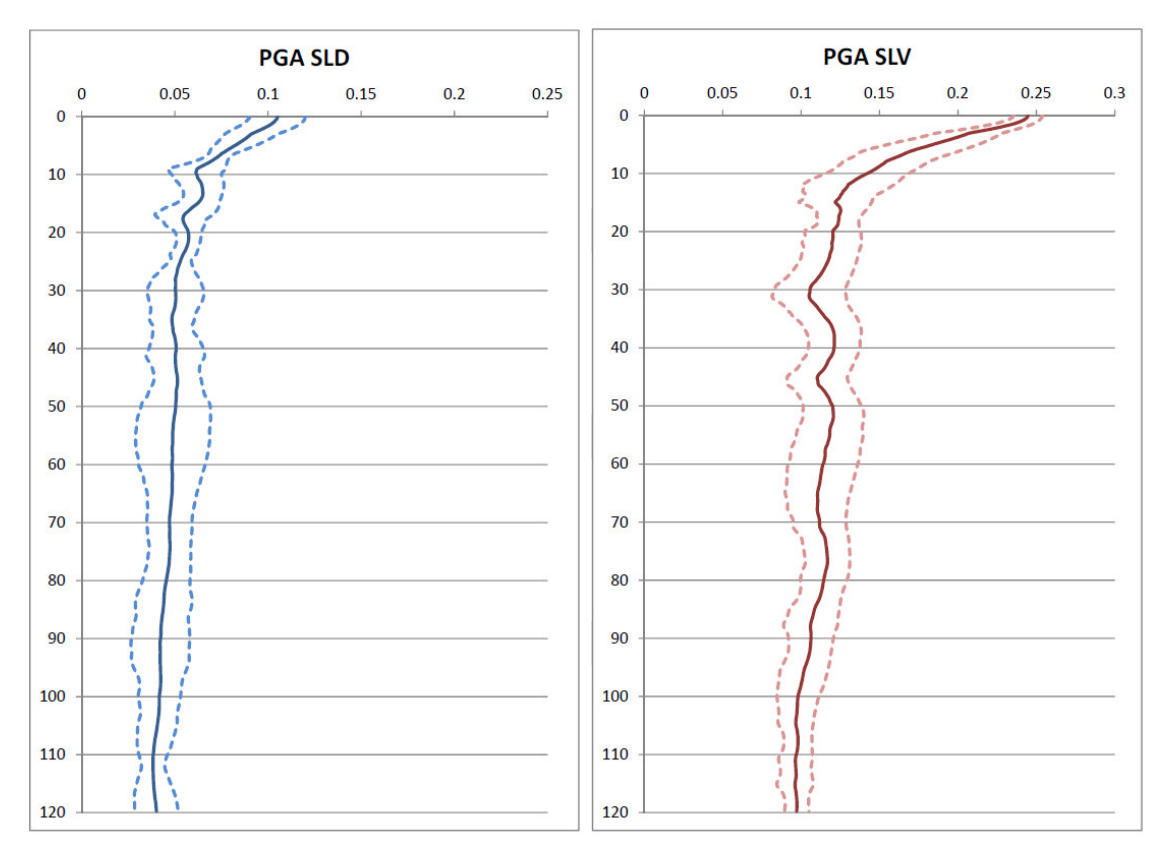




08 - PROFILI DI ACCELERAZIONE

Il grafico di seguito rappresentato riporta l'andamento dell'accelerazione calcolata in funzione della profondità. La linea continua centrale rappresenta la media delle accelerazioni in frazioni di "g" calcolata dai sette accelerogrammi di input, mentre le linee tratteggiate rappresentano la deviazione standard.

Il primo dato che si può ricavare dall'osservazione delle curve, è che l'amplificazione dell'accelerazione avviene principalmente negli ultimi 10 metri di terreno.



Dopo un iniziale smorzamento dell'azione sismica, questa procede con incrementi quasi costanti fino a 10 - 20 metri di profondità, dove sia agli SLD che agli SLV inizia ad aumentare significativamente

Allo SLD, in condizioni di sollecitazione medio bassa si produce un rapporto di amplificazione simile - agmax/ag0 = 0.105/0.062 = 1.46 - a quello indicato dalle norme tecniche di riferimento per terreni di categoria sismica "C", cioè 1.50.

Anche allo SLV l'amplificazione del moto sismico produce in superficie accelerazioni simili (0,245 g) rispetto a quelle previste dalle analisi semplificate, ovvero 0.240 g.

09 - RICALCOLO DEL RISCHIO DI LIQUEFACIBILITA' DEI TERRENI

La stima del potenziale di liquefazione è stata eseguita ai dati delle prove penetrometriche effettuate (SCPTU1, SCPTU2 e CPTU3); in particolare si è utilizzato il metodo di Robertson & Wride (1998) appositamente calibrato per la prova penetrometrica statica eseguita con punta elettrica, e consigliato negli atti di indirizzo per la micro zonazione sismica dell'Emilia Romagna.

Per il calcolo del MSF si è invece utilizzata la correlazione proposta da Idriss e Boulanger (2008). Il metodo suddetto richiede che venga definito un sisma di progetto, attraverso l'introduzione dell'accelerazione sismica orizzontale massima in superficie e della magnitudo di riferimento. L'accelerazione utilizzata per il calcolo del Cyclic Stress Ratio (CSR) è quella ricavata dallo studio di risposta sismica locale (RSL) di cui sopra e corrispondente a 0,245 mentre la magnitudo massima del sisma di progetto rimane invariata; 6,14. L'indice del potenziale di liquefazione IP_L del terreno (Iwasaki et. al. 1978), come da allegati alle pagine successive, dagli atti di indirizzo della regione Emilia Romagna, è risultato, per le verticali prese come riferimento:

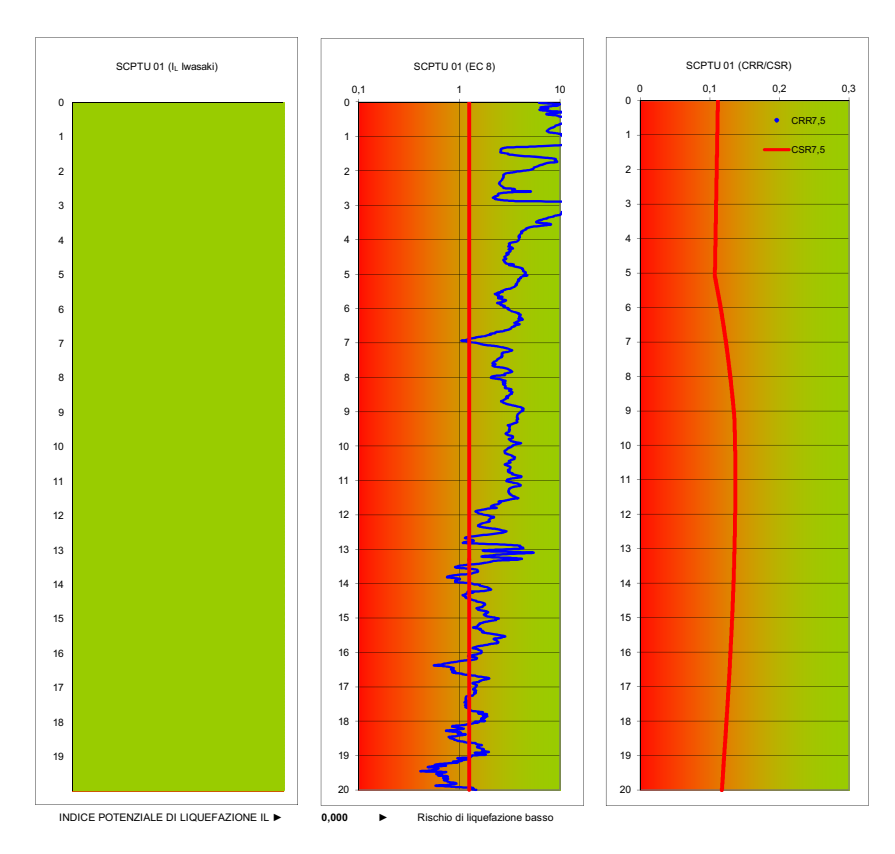
- > SCPTU1: IP_L = 0,000 (a cui corrisponde un rischio molto basso o nullo)
- > SCPTU2: IP_L = 0,000 (a cui corrisponde un rischio molto basso o nullo)
- CPTU3: IP_L = 0,000 (a cui corrisponde un rischio molto basso)

Valore IP∟ (Iwasaki et. al. 1978)	Potenziale di	liquefazione	Valore IP∟ (Sonmez H. 2003)		
IP _L = 0	Molto bass	so / Nullo	IP _L = 0		
0 < IP _L ≤ 5	Basso	Basso	0 ≤ IP _L < 2		
		Moderato	2 ≤ IP _L < 5		
5 < IP _L ≤ 15	Alt	0	5 ≤ IP _L < 15		
IP _L > 15	Molto	alto	IP _L ≥ 15		

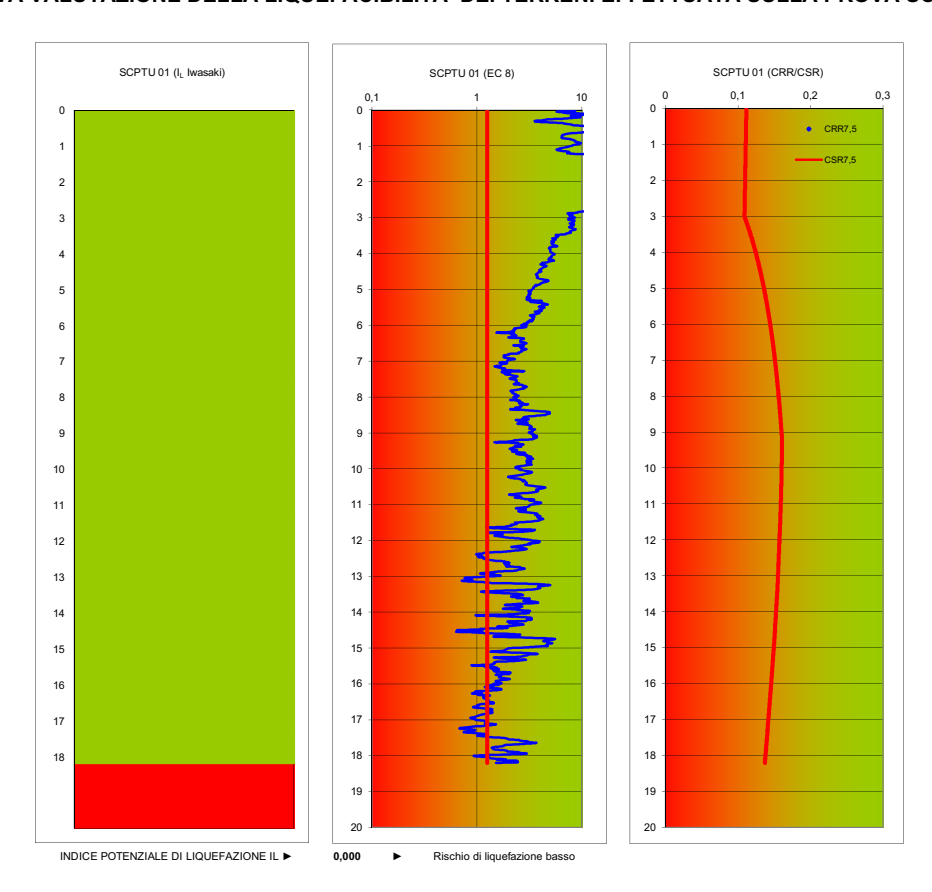
Tabella 1 - Correlazione tra l'indice del potenziale di liquefazione (IP_L Iwasaki et. al. 1978) e quello (IP_L), di Sonmez H. 2003

Nei grafici sotto riportati, gli orizzonti in cui FL (fattore di sicurezza alla liquefazione) è inferiore all'unità sono contraddistinti dal colore rosso, e come si può notare nei primi elaborati grafici (colonne di sinistra), non ne è presente nessuno. I secondi grafici, che mostrano l'andamento del fattore di sicurezza confrontato con la soglia di attenzione di 1.25, indicata dall'Eurocodice 8, evidenzia la presenza di solo qualche livello con possibilità di liquefazione. Il grafico più a destra mostra invece la posizione relativa della resistenza alla liquefazione dei livelli sabbiosi CRR, rispetto alla sollecitazione sismica di progetto CSR, dei soli livelli sabbiosi il cui fattore di sicurezza nei confronti della liquefazione è inferiore a 1. Si riportano di seguito le risultanze delle analisi effettuate.

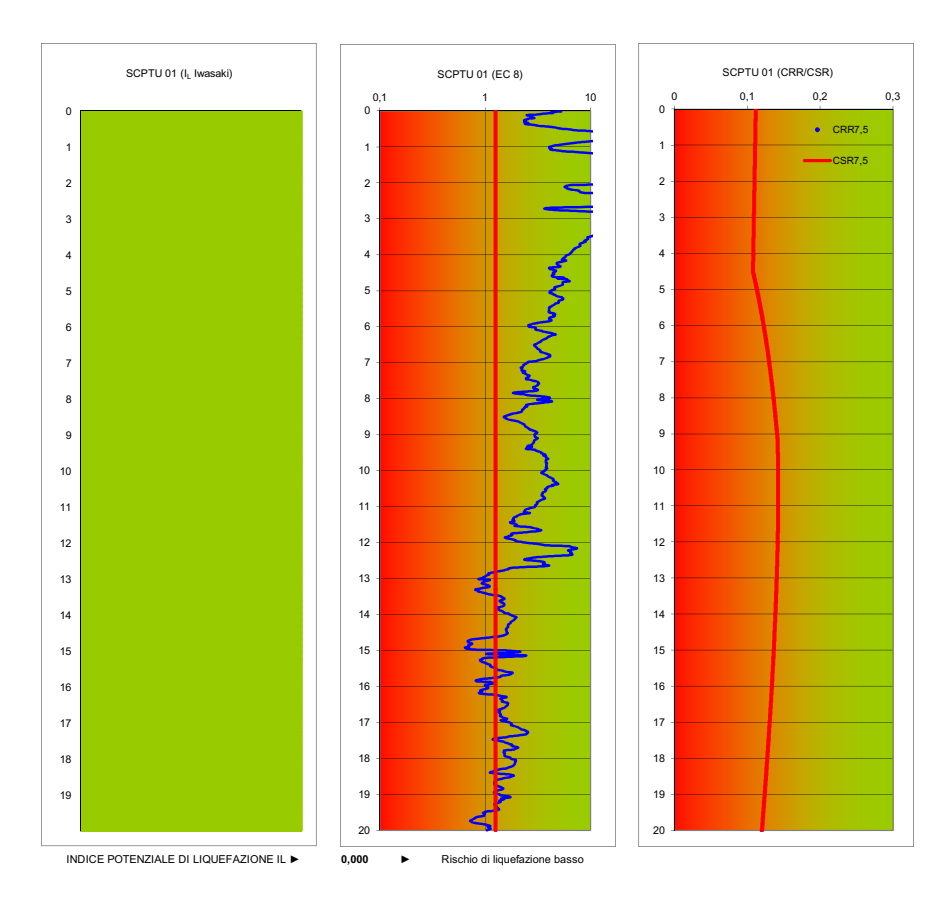
NUOVA VALUTAZIONE DELLA LIQUEFACIBILITA' DEI TERRENI EFFETTUATA SULLA PROVA SCPTU1



NUOVA VALUTAZIONE DELLA LIQUEFACIBILITA' DEI TERRENI EFFETTUATA SULLA PROVA SCPTU2



NUOVA VALUTAZIONE DELLA LIQUEFACIBILITA' DEI TERRENI EFFETTUATA SULLA PROVA CPTU3



10 - RICALCOLO DEI CEDIMENTI PERMANENTI POST-SISMICI

La stima dei cedimenti permanenti nei terreni dell'area in esame è stata effettuata, con riferimento all'Atto di indirizzo e coordinamento tecnico ai sensi dell'art.16, c.1, della L.R. 20/2000 per "Indirizzi per gli studi di micro zonizzazione sismica in Emilia-Romagna per la pianificazione territoriale e urbanistica" del 2 maggio 2007 (progr.112) dell'Assemblea legislativa della Regione Emilia-Romagna. A tale scopo è stata utilizzata la seguente formula:

$$\Delta H = \epsilon_v H$$

dove: H = altezza dello strato liquefacibile

 ε_{v} (%) = deformazione volumetrica, calcolabile nel seguente modo:

$$\varepsilon_{v} = \frac{\alpha C_{r}}{1 + e_{0}} \log \left(\frac{1}{1 - \frac{\Delta u}{\sigma'_{0}}} \right)$$

dove:

α = costante sperimentale in prima approssimazione uguale a 1

Cr = indice di riconsolidazione postciclica = 0,225 Cc

Cc = indice di compressione ottenuto in prove edometriche

e₀ = indice dei vuoti iniziale

 $\Delta u/\sigma'_0$ = rapporto di pressione interstiziale (r_u), è stato valutato con la Tabella 2 dell'allegato A3

della norma, in funzione della deformazione massima γ_{max} indotta dal terremoto, dove:

$$\gamma_{max} = 0.65 \; \frac{a_{max}}{g} \; \sigma_v \; r_d \; \frac{1}{MSF}$$

con:

 a_{max} = accelerazione sismica massima;

g = accelerazione di gravità = 9.81 m/s^2 ;

 σ_{v0} = pressione verticale totale alla profondità z dal p.c.;

 $\sigma_{v0'}$ = pressione verticale efficace alla profondità z dal p.c.;

r_d = coefficiente funzione della prof. dal p.c., valutabile secondo il seguente schema:

 $r_d = 1-0.00765z \text{ per } z \le 9.15 \text{ m}$

 r_d = 1.174-0.0267z per 9.15 < z ≤ 23 m

 $r_d = 0.774-0.008z \text{ per } 23 < z \le 30 \text{ m}$

 $r_d = 0.5 \text{ per z} > 30 \text{ m}$

MSF = coefficiente correttivo funzione della magnitudo del sisma

La stima orientativa dei cedimenti sismici permanenti è stata eseguita per ogni singola verticale di prova realizzata nell'area oggetto di studio, tenendo conto dello studio sulla risposta sismica locale riportato alle pagine precedenti. Il ricalcolo ha interessato una profondità di indagine variabile tra i -16,56 m da p.c. (SCPTU1), 14,18 (SCPTU2) e -16,00 (CPTU3). Dai calcoli effettuati in corrispondenza delle tre verticali di prova si stima un cedimento totale post-sismico compreso tra 4,5 cm per la SCPTU1, 5,2 cm per la SCPTU2 e 4,2 cm per la CPTU3.

11 - VALUTAZIONI DI FATTIBILITÀ GEOLOGICA: CONSIDERAZIONI CONCLUSIVE E RIVALUTAZIONE DEI COEFFICIENTI DI AMPLIFICAZIONE SISMICA

Tenuto conto quindi dello studio sulla risposta sismica locale (RSL) in cui si inserisce il comparto in oggetto, tenuto altresì conto delle caratteristiche geomeccaniche dei terreni di fondazione, in funzione del tipo di opere in progetto, si conferma la fattibilità geologica dell'area in studio. Si sono infine rivalutati i coefficienti di amplificazione sismica rispetto al suolo di riferimento, secondo la recente Deliberazione della Giunta Regionale n°2193 del dicembre 2015, di cui si riportano di seguito i valori.

MARGINE di tipo B: caratterizzato da spessore dei terreni fini superiore a 30 m; gli strati grossolani sovrastano altri strati di terreni fini presenti fino al substrato;

$Vs_{30}(m/s) \rightarrow$	150	200	250	300	350	400
F.A. PGA	1.6	1.6	1.6	1.6	1.6	1.5
F.A. SI1	1.9	1.9	1.9	1.8	1.7	1.6
F.A. SI2	2.9	2.8	2.5	2.3	2.1	2.0
F.A. SI3	3.3	3.1	2.7	2.4	2.2	2.0

Margine settore B: Tabella dei Fattori di Amplificazione PGA, SI1, SI2 e SI3.

II Geologo

Dr. Alessandro Boni

Ostiglia, Luglio 2017